

ITINERARIO RAGUSA-CATANIA

Collegamento viario compreso tra lo Svincolo della S.S. 514 "di Chiaramonte"
con la S.S. 115 e lo Svincolo della S.S. 194 "Ragusana"

LOTTO 1 - Dallo svincolo n. 1 sulla S.S. 115 (compreso) allo svincolo n. 3 sulla S.P. 5 (escluso)

PROGETTO ESECUTIVO

COD. PA895

PROGETTAZIONE: ATI SINTAGMA - GP INGEGNERIA - COOPROGETTI -GDG - ICARIA - OMNISERVICE

PROGETTISTA RESPONSABILE DELL'INTEGRAZIONE DELLE PRESTAZIONI SPECIALISTICHE:

Dott. Ing. Nando Granieri
Ordine degli Ingegneri della Prov. di Perugia n° A351



IL GEOLOGO:

Dott. Geol. Marco Leonardi
Ordine dei Geologi della Regione Lazio n° 1541

IL COORDINATORE PER LA SICUREZZA IN FASE DI PROGETTAZIONE:

Dott. Ing. Ambrogio Signorelli
Ordine degli Ingegneri della Provincia di Roma n° A35111

VISTO IL RESPONSABILE DEL PROCEDIMENTO

Dott. Ing. Luigi Mupo

IL GRUPPO DI PROGETTAZIONE:

MANDATARIA:



Dott. Ing. N.Granieri
Dott. Ing. F.Durastanti
Dott. Ing. V.Truffini
Dott. Arch. A.Bracchini
Dott. Ing. L.Nani

Dott. Ing. M.Abram
Dott. Ing. F.Pambianco
Dott. Ing. M.Briganti Botta
Dott. Ing. L.Gagliardini
Dott. Geol. G.Cerquiglini

MANDANTI:



Dott. Ing. G.Guiducci
Dott. Ing. A.Signorelli
Dott. Ing. E.Moscatelli
Dott. Ing. A.Belà

Dott. Ing. G.Lucibello
Dott. Arch. G.Guastella
Dott. Geol. M.Leonardi
Dott. Ing. G.Parente



Dott. Arch. E.A.E.Crimi
Dott. Ing. M.Panfili
Dott. Arch. P.Ghirelli
Dott. Ing. D.Pelle

Dott. Ing. L.Ragnacci
Dott. Arch. A.Strati
Archeol. M.G.Liseno



Dott. Ing. D.Carlaccini
Dott. Ing. S.Sacconi
Dott. Ing. C.Consorti

Dott. Ing. F.Aloe
Dott. Ing. A.Salvemini



Dott. Ing. V.Rotisciani
Dott. Ing. G.Pulli
Dott. Ing. F.Macchioni

Dott. Ing. G.Verini Supplizi
Dott. Ing. V.Piunno
Geom. C.Sugaroni



Dott. Ing. P.Agnello

IL RESPONSABILE DI PROGETTO:

Dott. Ing. Danilo PELLE
Iscrizione all'Albo n° A/3536
alla Sezione degli Ingegneri (Sez. A)
- Settore civile e ambientale
OI RC ORDINE DEGLI INGEGNERI
DELLA PROVINCIA DI REGGIO CALABRIA

CAVALCAVIA **CAVALCAVIA AL KM 12+325** **Relazione di calcolo spalle**

CODICE PROGETTO			NOME FILE	REVISIONE	SCALA:
PROGETTO	LIV. PROG.	N. PROG.	T01CV05STRRE01B		
LO408Z	E	2101	CODICE ELAB. T01 CV05 STR RE01	B	-
D					
C					
B	REVISIONE A SEGUITO DI RAPPORTO DI VERIFICA		NOVEMBRE 2021	RAGNACCI	PELLE
A	EMISSIONE		GIUGNO 2021	RAGNACCI	PELLE
REV.	DESCRIZIONE		DATA	REDATTO	VERIFICATO
					APPROVATO

LOTTO 1 – CAVALCAVIA AL KM. 12+325 - RELAZIONE DI CALCOLO IMPALCATO

INDICE

1 DESCRIZIONE DELLE OPERE	4
2 NORMATIVA DI RIFERIMENTO E RIFERIMENTI TECNICI	7
2.1 NORME TECNICHE.....	7
2.2 RIFERIMENTI TECNICI	7
2.2.1 CNR e UNI.....	7
2.2.2 EUROCODICI.....	7
3 METODO DI CALCOLO	8
3.1 CODICI DI CALCOLO.....	8
3.1.1 Programmi di Verifica	8
4 MATERIALI.....	9
4.1 CONGLOMERATO CEMENTIZIO.....	9
4.1.1 Calcestruzzo - solette	9
4.1.2 Calcestruzzo – pile e spalle	9
4.2 ACCIAIO.....	9
4.2.1 Acciaio per cemento armato tipo B450C.....	9
4.2.2 Acciaio per carpenteria tipo S355.....	9
4.2.3 Acciaio in reti e tralicci elettrosaldati ad aderenza migliorata per c.a.	10
4.3 BULLONI AD ALTA RESISTENZA – CLASSE 10.9	10
4.4 PIOLI CON TESTA.....	10
4.5 SALDATURE DI TESTA O A T A COMPLETA PENETRAZIONE	10
4.6 SALDATURE A CORDONE D'ANGOLO	10
5 ANALISI GENERALE DEI CARICHI	11
5.1 PESI PROPRI STRUTTURALI	11
5.2 PESI PROPRI PORTATI.....	11

LOTTO 1 – CAVALCAVIA AL KM. 12+325 - RELAZIONE DI CALCOLO IMPALCATO

5.2.1 PESO PROPRIO SOLETTA E CORDOLI	11
5.2.2 PESO PERMANENTE PORTATO.....	12
5.3 AZIONI ACCIDENTALI.....	13
5.3.1 Carichi mobili	13
5.3.2 Frenamento	15
5.4 CALCOLO SEZIONE COLLABORANTE	16
5.5 AZIONI METEORICHE.....	17
5.5.1 Azioni dovute alla neve.....	17
5.5.2 Azioni dovute al vento	17
5.5.3 Azioni dovute alla temperatura	19
5.6 AZIONE SISMICA	20
6 MODELLAZIONE STRUTTURALE	24
6.1 COMBINAZIONI DI CARICO	27
6.2 VERIFICHE STRUTTURALI.....	31
6.2.1 VERIFICA ELEMENTI DI IMPALCATO	31
6.2.2 TRAVE PRINCIPALE CONCIO 1	44
6.2.3 TRAVE PRINCIPALE CONCIO 2	63
6.2.4 TRAVE PRINCIPALE CONCIO 3	82
6.2.5 VERIFICA A FATICA	101
6.2.6 TRAVE DI SPINA	104
6.2.7 TRAVERSO	107
6.2.7.1 VERIFICA TRAVERSO DI CAMPATA.....	108
6.2.7.2 VERIFICA TRAVERSO DI TESTATA.....	110
6.2.8 VERIFICA PIOLI	112
6.2.9 GIUNTI BULLONATI	114

LOTTO 1 – CAVALCAVIA AL KM. 12+325 - RELAZIONE DI CALCOLO IMPALCATO

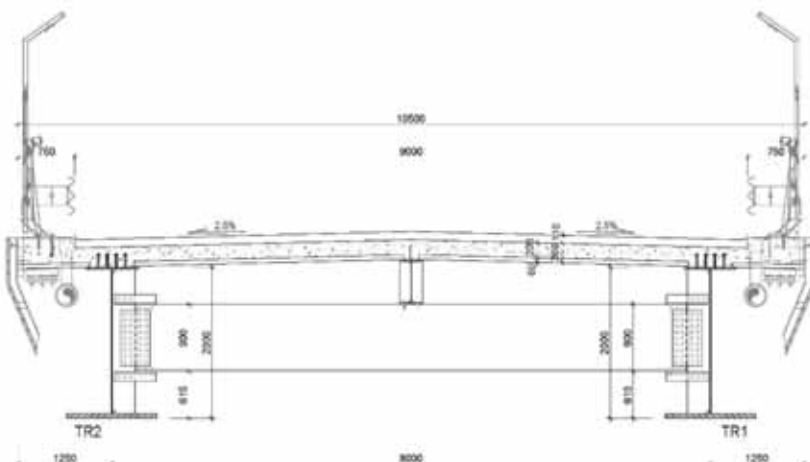
6.2.9.1	VERIFICA GIUNTO TRAVERSO DI CAMPATA	115
6.2.9.2	VERIFICA GIUNTO TRAVERSO DI TESTATA	117
6.2.10	VERIFICA VELETTA METALLICA.....	119
7	VERIFICA SOLETTA	127
7.1	VERIFICA SOLETTA FASE TRANSITORIA.....	127
7.1.1	ANALISI DEI CARICHI	127
7.1.2	VERIFICA A MOMENTO POSITIVO - CAMPATA.....	127
7.1.3	VERIFICA A MOMENTO NEGATIVO APPOGGIO.....	131
7.2	VERIFICA SOLETTA FASE DEFINITIVA	133
7.2.1	VERIFICA STRUTTURALE SOLETTA.....	140
8	VERIFICA ELEMENTI DI APPOGGIO	152
8.1	VERIFICA BAGGIOLI	154
8.2	ISOLATORI – EFFETTO VARIABILITA' RIGIDEZZA.....	155
8.3	VERIFICA GIUNTI.....	155
8.4	VERIFICA RITEGNI SISMICI.	155
8.5	VERIFICA DEFORMAZIONI	158
9	VALIDAZIONE CODICE DI CALCOLO	160
10	ALLEGATO 1 - TABULATO MIDAS.....	161

1 DESCRIZIONE DELLE OPERE

La presente relazione di calcolo riguarda l'impalcato posizionato alla progressiva 12+325 del Lotto 1. L'impalcato è realizzato in struttura mista acciaio-calcestruzzo e presenta una larghezza complessiva di 10,50 metri e luce di 42,50 metri, con cordoli laterali da 75cm. La soletta ha uno spessore medio di 25cm. Le travi in acciaio sono poste ad interasse pari a 4,00 metri e presentano un'altezza totale di 2000mm. Le piattabande hanno larghezze e spessori variabili. I traversi sono costituiti da profili a doppio T saldati di altezza pari a 880mm e posti ad interasse 4100mm. L'impalcato viene realizzato a mezzo di 3 conci diversi (Concio C1, C2 e C3) che vengono saldati in opera, collegati agli elementi trasversali e poi il tutto viene sollevato da autogru di grossa portata posizionate in corrispondenza dei rilevati delle spalle. Per dettagli circa le geometrie delle travi fare riferimento agli elaborati specifici, comunque nel proseguito vengono riportate delle immagini rappresentative delle opere in oggetto

SEZIONE TIPO IN CAMPATA

Scala 1:50



SEZIONE TIPO AGLI APPOGGI

Scala 1:50

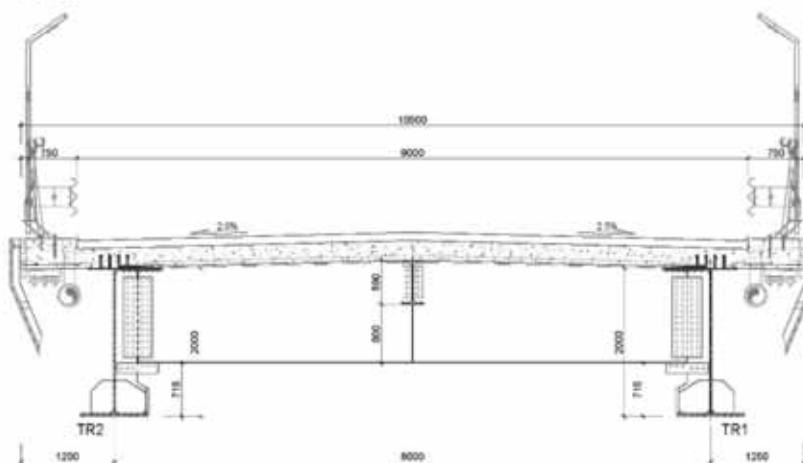


Figura 1 - Sezioni trasversali dell'impalcato

LOTTO 1 – CAVALCAVIA AL KM. 12+325 - RELAZIONE DI CALCOLO IMPALCATO

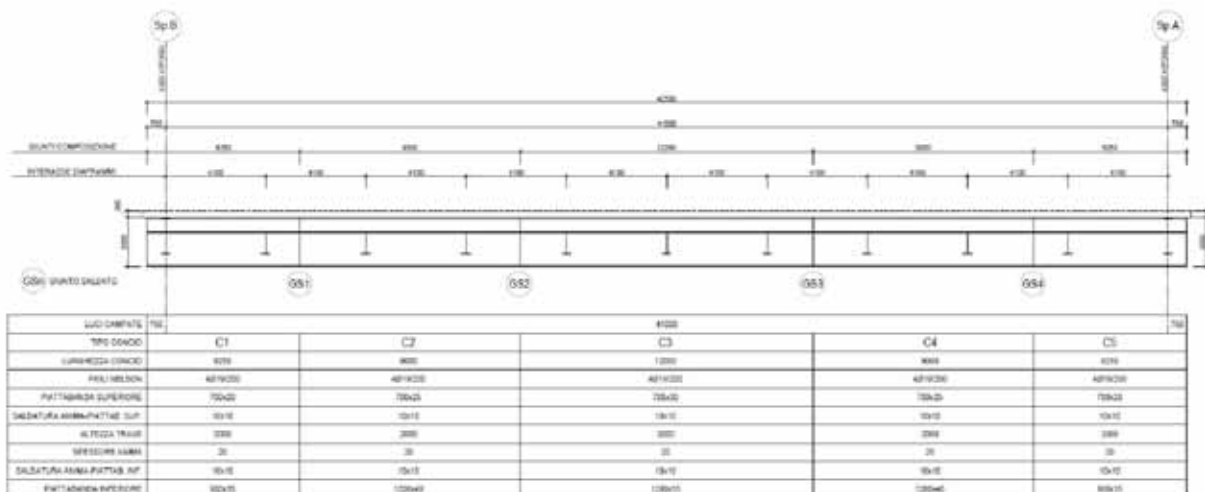


Figura 2 - Schema Conc

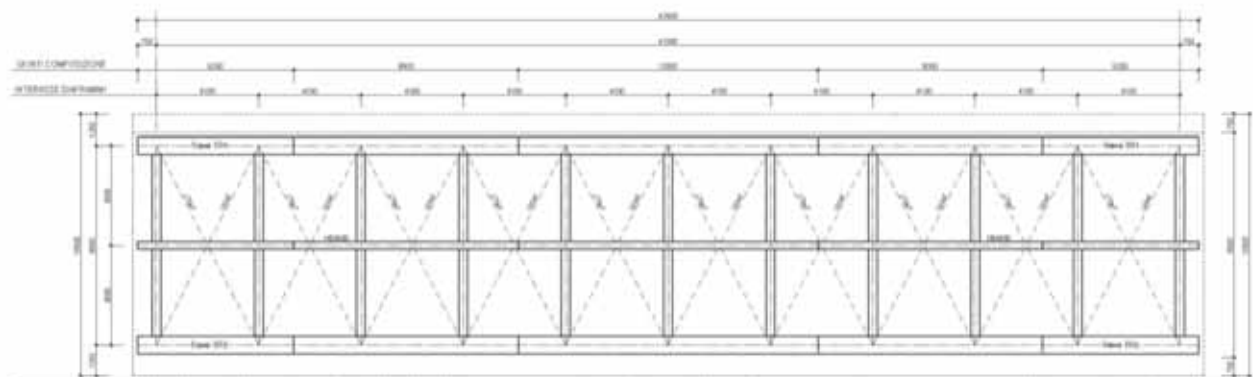


Figura 3 - Pianta conci

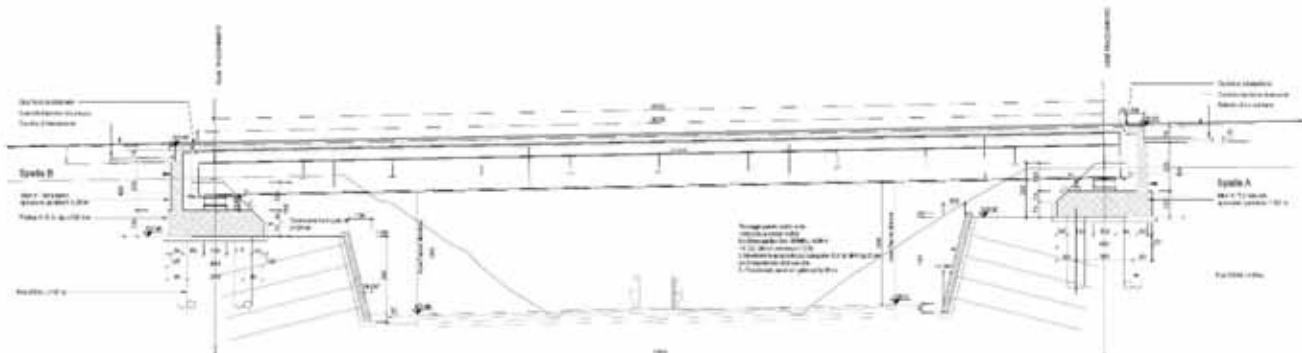


Figura 4 - Sezione prospetto

LOTTO 1 – CAVALCAVIA AL KM. 12+325 - RELAZIONE DI CALCOLO IMPALCATO

Lo schema di vincolo prevede l'utilizzo di 4 dispositivi di appoggio tipo isolatori elastomerici con nucleo di piombo che consentono uno spostamento di $\pm 300\text{mm}$ e di conseguenza un giunto di dilatazione di spalla che permetta il corrispondente spostamento. Si riporta di seguito le caratteristiche che deve avere il dispositivo di appoggio.

V	Fzd	Ke	ξ_e	Kv	Dg	te	h	H	Z
kN	kN	kN/mm	%	kN/mm	mm	mm	mm	mm	mm
15080	33560	3,83	21	3737	1000	180	316	396	1050

V	Carico verticale massimo agente in presenza del sisma allo SLC
Fzd	Carico verticale massimo in assenza di SISMA e spostamento 10mm
Ke	Rigidezza orizzontale equivalente
ξ_e	Coefficiente di smorzamento viscoso equivalente
Kv	Rigidezza verticale
Dg	Diametro elastomero
te	Spessore totale gomma
h	Altezza escluse piastre di ancoraggio
H	Altezza totale incluse piastre di ancoraggio
Z	Lato piastre di ancoraggio

SCHEMA APPOGGI

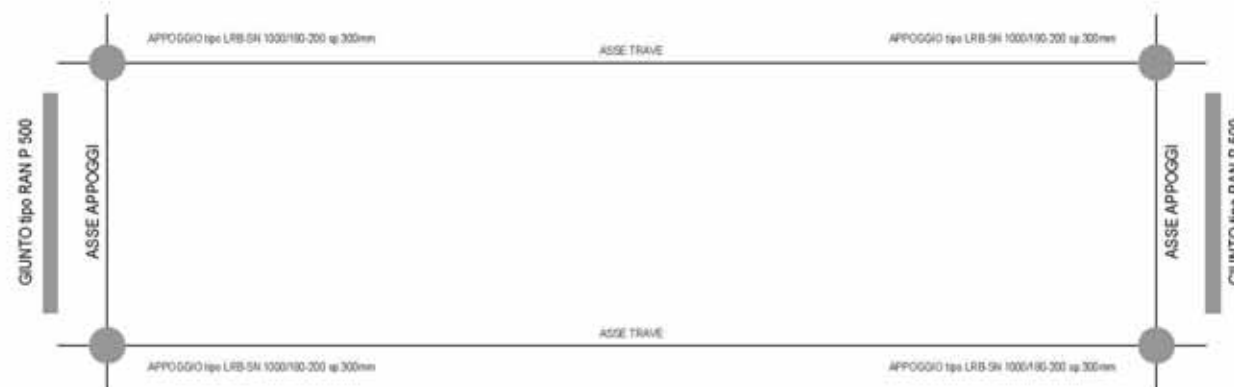


Figura 5 - Schema di vincolo

2 NORMATIVA DI RIFERIMENTO E RIFERIMENTI TECNICI

Le strutture sono state verificate con il criterio degli stati limite (SL). I calcoli sono stati eseguiti in osservanza alle seguenti disposizioni normative e regole tecniche:

2.1 NORME TECNICHE

- Ministero delle infrastrutture - D.M. 14/01/2008. Norme tecniche per le costruzioni.
- Consiglio superiore dei lavori pubblici. Istruzioni per l'applicazione delle "Norme tecniche per le costruzioni" di cui al D.M. 14/01/2008.

2.2 RIFERIMENTI TECNICI

2.2.1 CNR e UNI

- Norma UNI EN 11104:2004
- Calcestruzzo – Specificazione, prestazione, produzione e conformità – Istruzioni complementari per l'applicazione della EN 206-1.
- Norma UNI EN 13369:2013
- Regole comuni per i prodotti prefabbricati di calcestruzzo.
- Norma UNI EN 15050:2012
- Prodotti prefabbricati di calcestruzzo. Elementi da ponte.

2.2.2 EUROCODICI

- UNI EN 1993-1-1: Eurocodice 3 – Progettazione delle strutture in acciaio. Parte 1-1: Regole generali e regole per gli edifici.
- UNI EN 1993-1-5: Eurocodice 3 – Progettazione delle strutture in acciaio. Parte 1-5: Regole generali – Regole supplementari per lastre ortotrope in assenza di carichi trasversali.
- UNI EN 1993-1-9: Eurocodice 3 - Progettazione delle strutture in acciaio. Parte 1-9: Fatica.
- UNI EN 1993-1-10: Eurocodice 3 - Progettazione delle strutture in acciaio. Parte 1-10: Resilienza del materiale e proprietà attraverso lo spessore.
- UNI EN 1993-2: Eurocodice 3 – Progettazione delle strutture in acciaio. Parte 2: Ponti in acciaio.
- UNI EN 1998-2: Eurocodice 8 - Indicazioni progettuali per la resistenza sismica delle strutture. Parte 2: Ponti.

3 METODO DI CALCOLO

Lo studio delle strutture è stato condotto secondo i metodi della scienza delle costruzioni supponendo i materiali elastici, omogenei ed isotropi.

La ricerca dei parametri di sollecitazione è stata fatta secondo le disposizioni di carico più gravose avvalendosi di codici di calcolo automatico per l'analisi strutturale.

Le verifiche di resistenza delle sezioni sono state eseguite secondo il metodo degli stati limite.

3.1 CODICI DI CALCOLO

Tutti i codici di calcolo automatico utilizzati per il calcolo e la verifica delle strutture e la redazione della presente relazione di calcolo sono di sicura ed accertata validità e sono stati impiegati conformemente alle loro caratteristiche. Tale affermazione è suffragata dai seguenti elementi:

- grande diffusione del codice di calcolo sul mercato;
- storia consolidata del codice di calcolo (svariati anni di utilizzo);
- utilizzo delle versioni più aggiornate (dopo test);
- pratica d'uso frequente in studio.

In considerazione dei casi-studio, caratterizzati da piccoli spostamenti e tensioni inferiori ai limiti elastici dei materiali, si è ritenuto sufficiente adottare una schematizzazione della geometria e dei materiali di tipo lineare con leggi elastiche e isotrope ed omogenee.

3.1.1 Programmi di Verifica

Per la verifica delle sezioni in acciaio e composite è stato utilizzato un foglio di excel opportunamente testato.

4 MATERIALI

4.1 CONGLOMERATO CEMENTIZIO

4.1.1 Calcestruzzo - solette

Classe di resistenza	C32/40	fck/Rck = 32/40 MPa
Resistenza di calcolo (SLU)	$f_{cd} = \frac{\alpha_{ec} \cdot f_{ck}}{\gamma_c} = 18.81 \text{ MPa}$	
Resistenza a compressione media	$f_{cm} = f_{ck} + 8 = 41.20 \text{ MPa}$	
Resistenza a trazione semplice	$f_{csm} = 0,3 \cdot f_{ck}^{2/3} = 3.10 \text{ MPa}$	
Modulo elastico	$E_{cm} = 22000 \cdot [f_{cm} / 10]^{0.3} = 33642.78 \text{ MPa}$	

4.1.2 Calcestruzzo – pile e spalle

Classe di resistenza	C32/40	fck/Rck = 32/40 MPa
Resistenza di calcolo (SLU)	$f_{cd} = \frac{\alpha_{ec} \cdot f_{ck}}{\gamma_c} = 18.81 \text{ MPa}$	
Resistenza a compressione media	$f_{cm} = f_{ck} + 8 = 41.20 \text{ MPa}$	
Resistenza a trazione semplice	$f_{csm} = 0,3 \cdot f_{ck}^{2/3} = 3.10 \text{ MPa}$	
Modulo elastico	$E_{cm} = 22000 \cdot [f_{cm} / 10]^{0.3} = 33642.78 \text{ MPa}$	

4.2 ACCIAIO

4.2.1 Acciaio per cemento armato tipo B450C

Tensione caratteristica di snervamento	$f_{yk} \geq 450 \text{ MPa}$
Tensione caratteristica di rottura	$f_{ik} \geq 540 \text{ MPa}$
Resistenza di calcolo	$f_{yd} = \frac{f_{yk}}{1,15} = 391 \text{ MPa}$

4.2.2 Acciaio per carpenteria tipo S355

Tensione caratteristica di rottura	$f_{ik} = 470 \text{ MPa} (\text{per } s > 40\text{mm})$
	$f_{ik} = 510 \text{ MPa} (\text{per } s < 40\text{mm})$
Resistenza caratteristica di snervamento	$f_{yk} 335 \text{ MPa} (\text{per } s > 40\text{mm})$
	$f_{yk} 355 \text{ MPa} (\text{per } s < 40\text{mm})$
Coefficiente di sicurezza	$\gamma_{M0} = 1,05$

LOTTO 1 – CAVALCAVIA AL KM. 12+325 - RELAZIONE DI CALCOLO IMPALCATO

Coefficiente di sicurezza per verifiche a fatica

$$\gamma_{M,F} = 1,35$$

4.2.3 Acciaio in reti e tralicci elettrosaldati ad aderenza migliorata per c.a.

Tipo di acciaio: B450C ad aderenza migliorata, controllato in stabilimento

Tensione caratteristica di snervamento: $f_{yk} \geq 450 \text{ MPa}$

Tensione caratteristica di rottura: $f_{tk} \geq 540 \text{ MPa}$

Allungamento percentuale: $A_{gik} \geq 7.5\%$

4.3 BULLONI AD ALTA RESISTENZA – CLASSE 10.9

Vite: classe 10.9 (UNI EN 14399:2005)

Tensione di rottura a trazione $f_{tk} \geq 1000 \text{ MPa}$

Tensione di snervamento $f_{yk} \geq 900 \text{ MPa}$

4.4 PIOLI CON TESTA

Acciaio: S235J2G3+C450

Tensione di rottura a trazione $f_{tk} \geq 450 \text{ MPa}$

Tensione di snervamento $f_{yk} \geq 370 \text{ MPa}$

Allungamento $A_s \geq 15\%$

4.5 SALDATURE DI TESTA O A T A COMPLETA PENETRAZIONE

Giunto di prima classe: $f_{d,S355} = 338 \text{ MPa}$

Giunto di seconda classe: $0.85 f_{d,S355} = 287.38 \text{ MPa}$

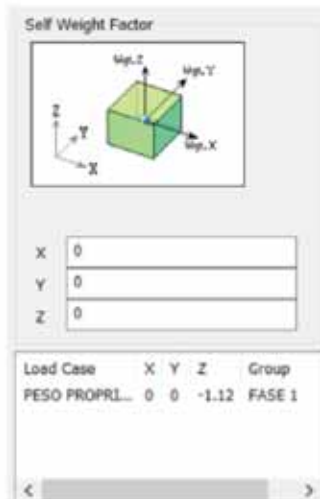
4.6 SALDATURE A CORDONE D'ANGOLO

Per S355: $|\sigma_{\perp}|, |\tau_{\perp}|, |\tau_{//}| \leq 0.70 f_{d,S355} = 236.6 \text{ MPa}$

5 ANALISI GENERALE DEI CARICHI

5.1 PESI PROPRI STRUTTURALI

I pesi strutturali delle opere in acciaio comprensive di travi principali, trave di spina, traversi e controventi, vengono considerati in automatico nel programma di calcolo. Per considerare l'effetto del "piastrame", è stato scelto di aumentare il peso proprio del 12%, come riportato nell'immagine che segue.



5.2 PESI PROPRI PORTATI

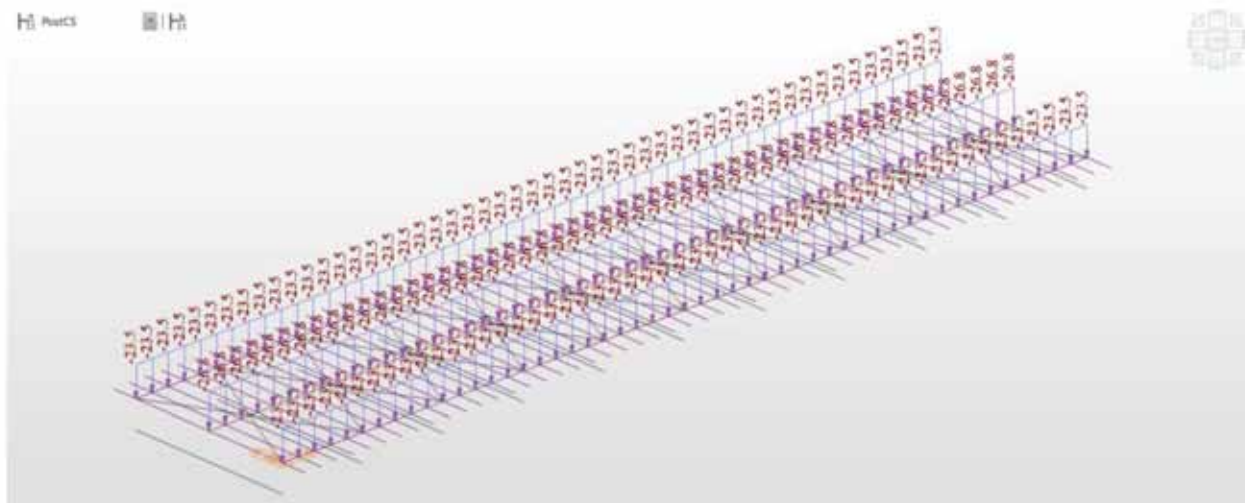
I pesi proprio portati sono stati presi in conto nel modello di calcolo utilizzato, come carichi lineari direttamente applicati alle singole travi portanti. Si riporta di seguito la definizione dei carichi applicati.

5.2.1 PESO PROPRIO SOLETTA E CORDOLI

Per la determinazione delle azioni da applicare alle singole travi è stata schematizzata una trave su più appoggi a cui è stata applicato il carico distribuito della soletta e dei cordoli laterali. Le reazioni vincolari risultanti sono poi state applicate alle travi del modello.

PESO SOLETTA		
Hsolella =	0,26	m
γ =	25	kN/mc
peso =	6,5	kN/mq
Carico trave SX =	19,783	
Carico trave Centrale =	28,685	
Carico trave DX =	19,783	
CORDOLI		
Hcordoli =	0,15	m
γ =	25	kN/mc
peso =	3,75	kN/mq
Carico trave SX =	3,733	
Carico trave Centrale =	-1,841	
Carico trave DX =	3,733	

LOTTO 1 – CAVALCAVIA AL KM. 12+325 - RELAZIONE DI CALCOLO IMPALCATO



LOTTO 1 – CAVALCAVIA AL KM. 12+325 - RELAZIONE DI CALCOLO IMPALCATO

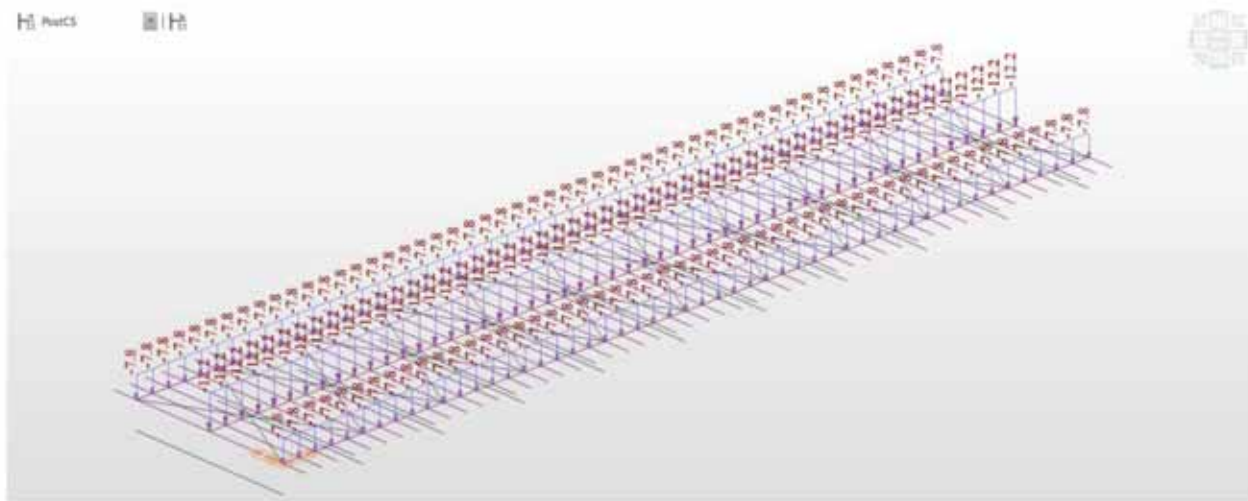


Figura 7 - Peso permanente portato

5.3 AZIONI ACCIDENTALI

5.3.1 Carichi mobili

Le azioni accidentali considerate nei calcoli sono quelle previste dall'attuale D.M. 14.1.2008 per i ponti classificati di prima categoria e calcolate in relazione alla larghezza dell'impalcato.

La carreggiata tra i cordoli ha larghezza di 9,00 m, pertanto sono state considerate ai fini del calcolo 3 corsie da 3,00 m.

Si riporta lo schema di carico 1:

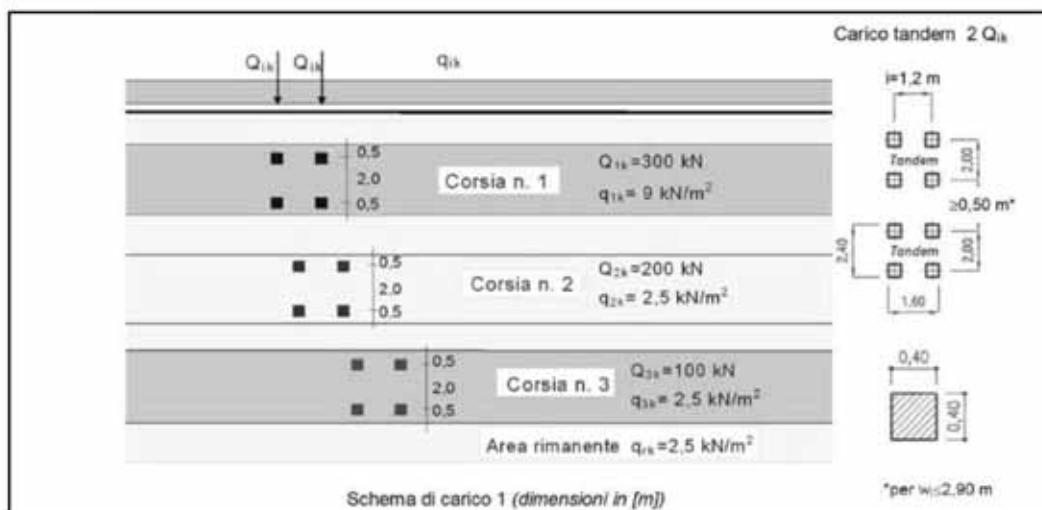


Figura 8 - Schema di carico 1

LOTTO 1 – CAVALCAVIA AL KM. 12+325 - RELAZIONE DI CALCOLO IMPALCATO

L'intensità dei carichi da applicare è riportata nella seguente tabella:

Tabella 5.1.II - Intensità dei carichi Q_{ik} e q_{ik} per le diverse corsie

Posizione	Carico asse Q_{ik} [kN]	q_{ik} [kN/m ²]
Corsia Numero 1	300	9,00
Corsia Numero 2	200	2,50
Corsia Numero 3	100	2,50
Altre corsie	0,00	2,50

Le suddette colonne di carico sono state disposte secondo lo schema longitudinale che produce le azioni accidentali più gravose per la struttura in esame.

Si riportano di seguito alcune immagini dei carichi considerati.

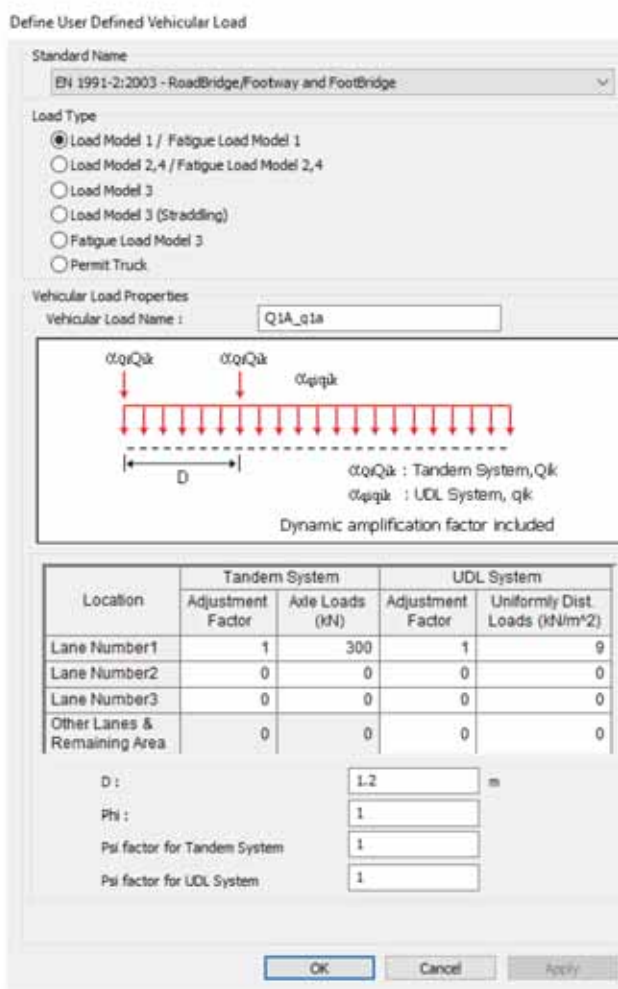


Figura 9 - Colonna di carico 1

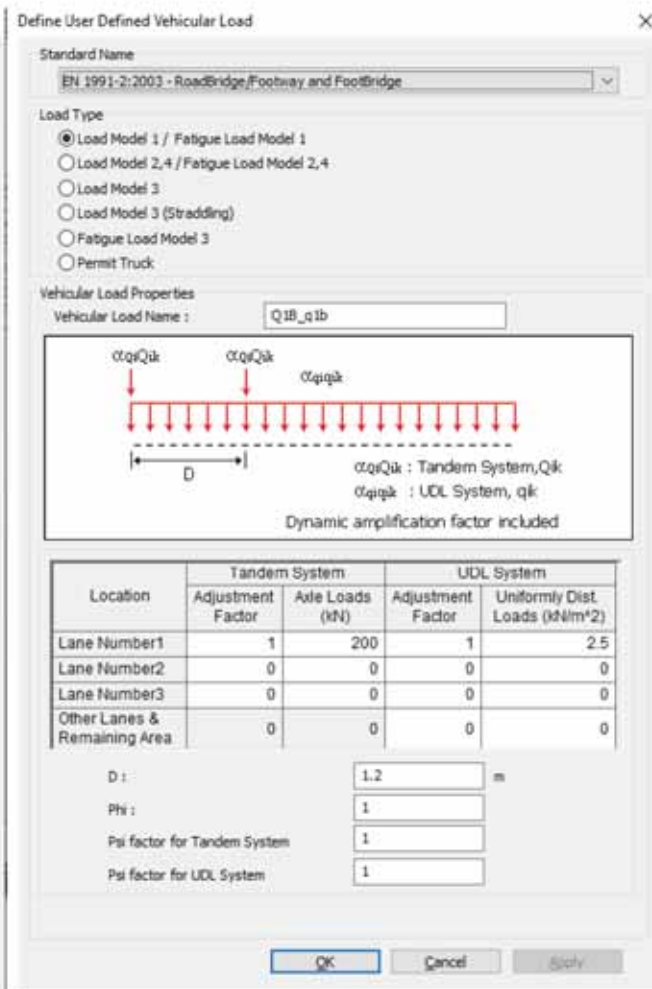


Figura 10 - Colonna di carico 2

LOTTO 1 – CAVALCAVIA AL KM. 12+325 - RELAZIONE DI CALCOLO IMPALCATO

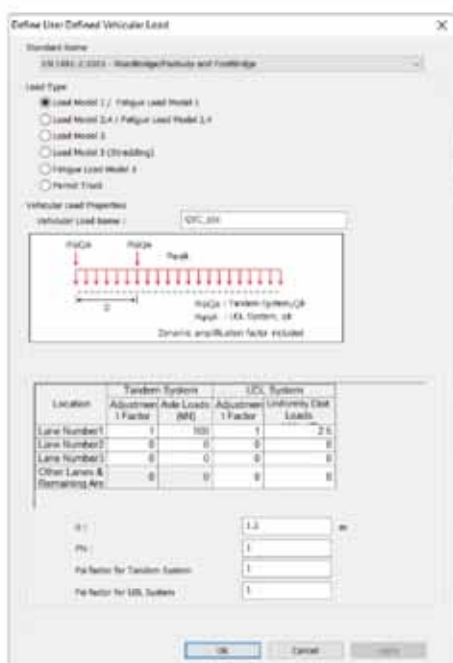


Figura 11 - Colonna di carico 3

5.3.2 Frenamento

FRENATURA

Si considera un'azione longitudinale funzione del carico verticale agente sulla corsia convenzionale n°1

$$Q_{lk} = 0.6 \times (2 \times Q_{1k}) + 0.10 \times q_{1k} \times W_1 \times L$$

Q_{lk} =	474,750	kN
q_{lk} =	3,724	kN

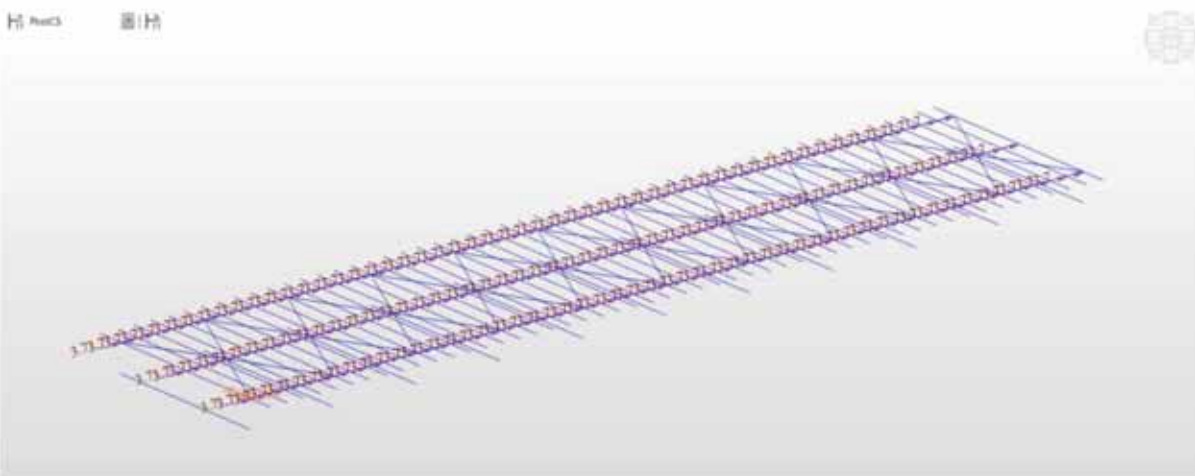
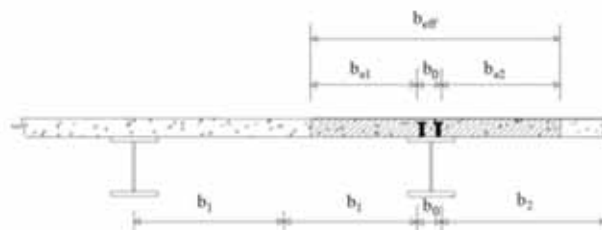


Figura 12 - Frenamento

LOTTO 1 – CAVALCAVIA AL KM. 12+325 - RELAZIONE DI CALCOLO IMPALCATO

5.4 CALCOLO SEZIONE COLLABORANTE

La distribuzione delle tensioni normali negli elementi composti è stata determinata mediante un modello che tiene conto della diffusione degli sforzi nelle ali della trave metallica e nella soletta in calcestruzzo. La larghezza efficace, b_{eff} , della soletta in calcestruzzo è stata determinata, in conformità a quanto prescritto dalla normativa, mediante l'espressione: $b_{eff} = b_0 + b_{e1} + b_{e2}$, in cui b_0 è la distanza tra gli assi dei connettori esterni e $b_{ei} = \min(L_e/8, b_i)$ è il valore della larghezza collaborante da ciascun lato della sezione composta.



L_e , nelle travate in semplice appoggio, indica la luce della trave.

Per il caso in esame si ha:

Le =	41,00 m	
Le/8 =	5,125 m	
b0 =	0,382 m	
bi2 =	1,059 m	SBALZO
bi1 =	1,902 m	DISTANZA
be2 =	1,059	
be1 =	1,902	
beff =		TRAVE PRINCIPALE
3,343 m		TRAVE DI SPINA

LOTTO 1 – CAVALCAVIA AL KM. 12+325 - RELAZIONE DI CALCOLO IMPALCATO

5.5 AZIONI METEORICHE

5.5.1 Azioni dovute alla neve

Il carico dovuto alla neve, non risulta dimensionante per il tipo di struttura

5.5.2 Azioni dovute al vento

Viene di seguito riportata una tabella di calcolo per la determinazione della pressione del vento da applicare alla struttura

AZIONE DEL VENTO				
(Inserire i dati necessari nelle celle campite)	simbolo	valore	unità	formula
Altitudine sul livello del mare	a _s =	630	[m]	
Regione	Sicilia e Provincia di Reggio Calabria			
	Zona =	4		
Parametri tabella 3.3.I	v _{b0} =	28	[m/s]	
Parametri tabella 3.3.I	a ₀ =	500	[m]	
Parametri tabella 3.3.I	k _s =	0.360	[‐]	
Coefficiente di altitudine	c _a =	1.094	[‐]	
Velocità di riferimento	v _b =	30.6	[m/s]	
Periodo di ritorno	T _R =	50	[anni]	
Velocità di riferimento associata a T _R = 50	v _b =	30.6	[m/s]	
Velocità di riferimento	v _r =	30.6	[m/s]	v _r = v _b × c _a
CALCOLO PRESSIONE DEL VENTO				
Densità dell'aria	p =	1.25	[kg/m ³]	
Pressione cinetica di riferimento	q _r =	586.9	[N/m ²]	1/2 × p v _r ²
Categoria di esposizione del terreno	II			
Parametri per la definizione del coefficiente di esposizione	k _e =	0.19	[‐]	
	z ₀ =	0.05	[m]	
	z _{max} =	4.00	[m]	
Quota struttura	z =	9	[m]	
Coefficiente di topografia	c _t =	1		
Classe di rugosità		D		
Coefficiente di esposizione	c _e =	2.29		
Coefficiente di forma	c _p =	1.40		
Coefficiente dinamico	c _d =	1		
Pressione del vento	p =	1.88	[kN/m ²]	p = q _b × c _e × c _p × c _d

LOTTO 1 – CAVALCAVIA AL KM. 12+325 - RELAZIONE DI CALCOLO IMPALCATO

Sulla base delle caratteristiche geometriche dell'impalcato, sono state determinate le azioni da applicare alle strutture in caso di ponte scarico e ponte carico.

VENTO A PONTE SCARICO

Fh =	4,507	kN/ml
Pv =	0,592	kN/ml

VENTO A PONTE CARICO

Fh =	10,142	kN/ml
Pv =	0,304	kN/ml

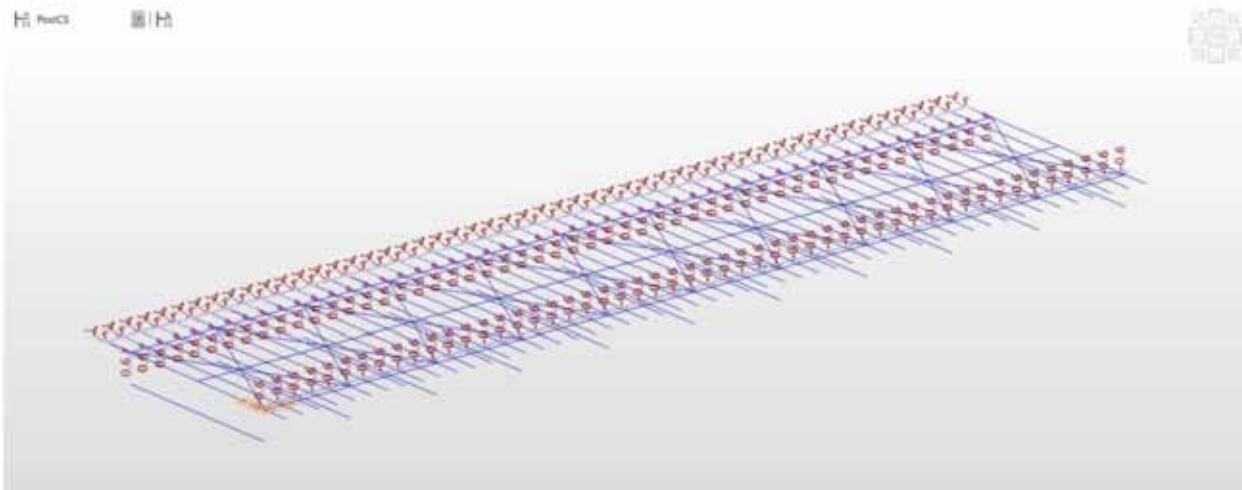


Figura 13 - Vento a ponte scarico

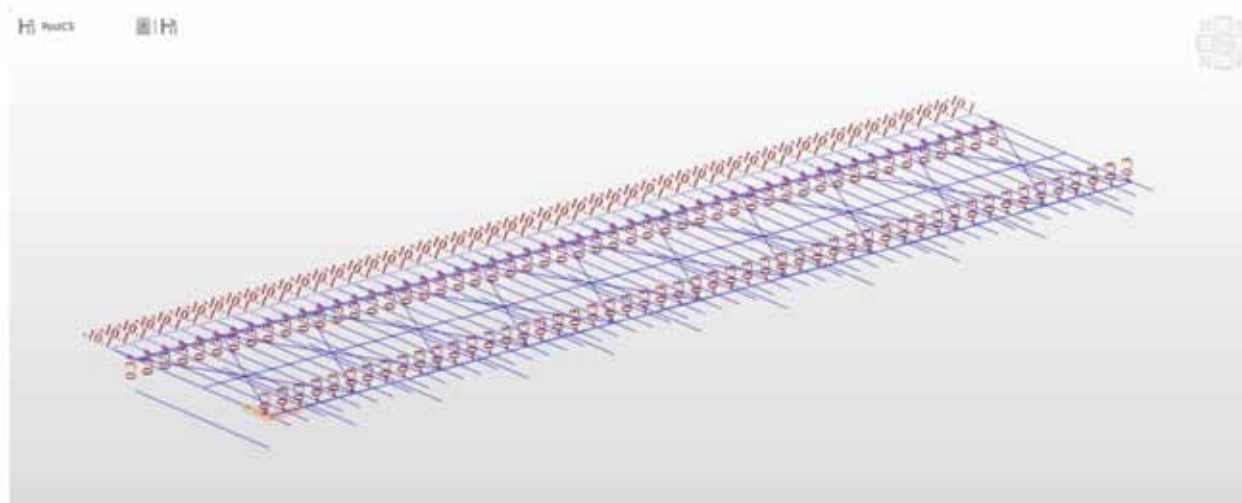
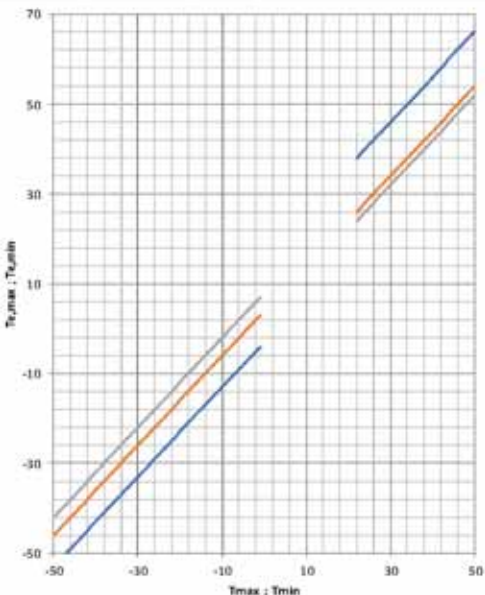


Figura 14 - Vento a ponte carico

LOTTO 1 – CAVALCAVIA AL KM. 12+325 - RELAZIONE DI CALCOLO IMPALCATO

5.5.3 Azioni dovute alla temperatura

L'azione termica, sia uniforme che a forma di gradiente, è stata applicata in base a quanto previsto dalla normativa vigente.

AZIONE DELLA TEMPERATURA				
(Inserire i dati necessari nelle celle campate)				
	<i>simbolo</i>	<i>valore</i>	<i>unità</i>	<i>formula</i>
Altitudine di riferimento	$a_s =$	630	[m]	
Individuazione della zona :		Zona IV		
<i>Calabria, Sicilia</i>				
Temperatura massima estiva dell'aria	$T_{max} =$	45	[°C]	Valore raccomandato in assenza di studi specifici
Temperatura minima invernale dell'aria	$T_{min} =$	-15	[°C]	Valore raccomandato in assenza di studi specifici
<i>I valori di Tmax e Tmin sono riferiti ad un periodo di ritorno di 50 anni</i>				
<i>Per la valutazione della temperatura uniforme minima/massima del ponte, si considera il grafico riportato sull'eurocodice nella sezione Ponti</i>				
Tipologia di impalcato	Tipo 2			
	Impalcati a struttura mista			
	$T_0 = 15$ [°C] <i>Annesso Nazionale A.1(3)</i>			
Legenda				
	1 - Tipo 1 $T_{e,max} = T_{max} + 16$ 2 - Tipo 2 $T_{e,max} = T_{max} + 4$ 3 - Tipo 3 $T_{e,max} = T_{max} + 2$ 4 - Tipo 1 $T_{e,min} = T_{min} - 3$ 5 - Tipo 2 $T_{e,min} = T_{min} + 4$ 6 - Tipo 3 $T_{e,min} = T_{min} + 8$			
Calcolo variazione termica uniforme				
Temperatura uniforme del ponte massima	$T_{e,max} =$	49	[°C]	
Temperatura uniforme del ponte minima	$T_{e,min} =$	-11	[°C]	
Variazione termica di espansione	$\Delta T_{N,exp} =$	34	[°C]	
Variazione termica di contrazione	$\Delta T_{N,cont} =$	-26	[°C]	
Calcolo variazione termica lineare				
Spessore della superficie	100	[mm]		
Coefficiente riduttivo heat	$K_{w,heat} =$	1,00	[$^-$]	
Coefficiente riduttivo cool	$K_{w,cool} =$	1,00	[$^-$]	
Variazione termica lineare (heat)	$\Delta T_{M,heat} =$	15	[°C]	
Variazione termica lineare (cool)	$\Delta T_{M,cool} =$	-18	[°C]	

LOTTO 1 – CAVALCAVIA AL KM. 12+325 - RELAZIONE DI CALCOLO IMPALCATO

5.6 AZIONE SISMICA

Con riferimento al DM 14.01.2008, sono stati presi in considerazione i seguenti parametri, per il sito in esame:

Vita nominale della costruzione – VN = 50 anni

Coefficiente d'uso della costruzione – cu = 2.0

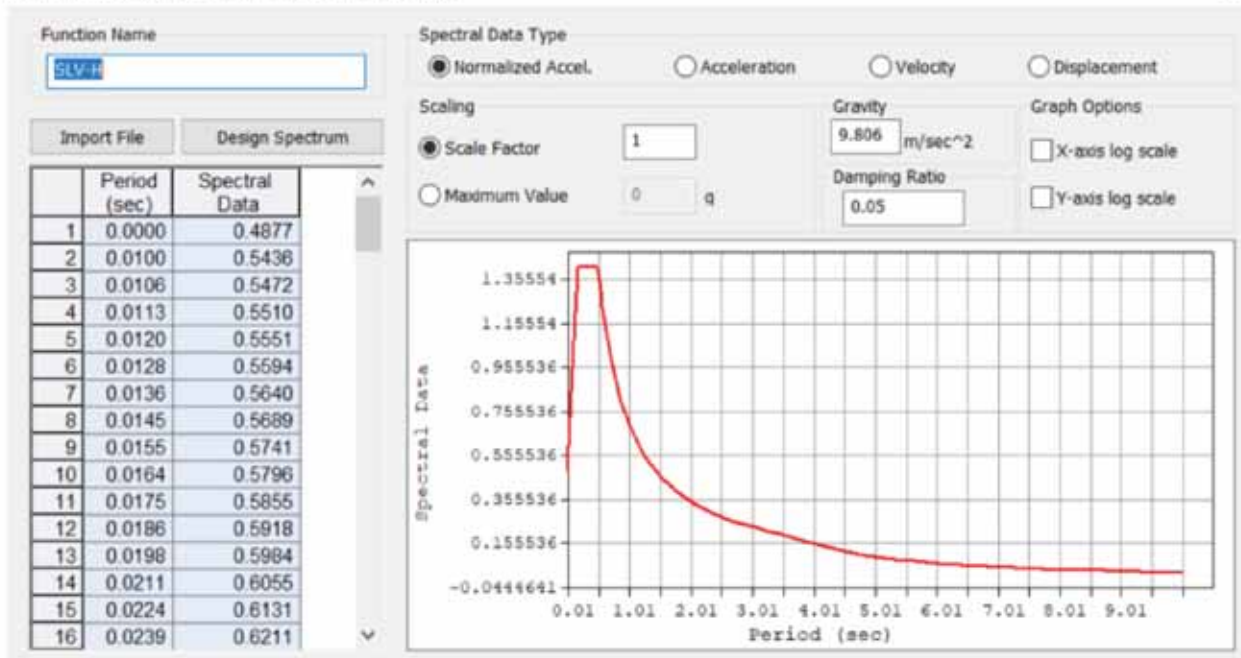
Ne deriva un periodo di riferimento per la costruzione VR=100 anni.

Chilometrica	Categoria di sottosuolo NTC	Categoria topografica	S _T	S _b	ag	F0	Tc*	Latitudine	Longitudine
1+459	RSL	T1							
3+005	B	T1	1,00	1,116	0,301	2,361	0,454	36,959319	14,669724
5+204	B	T1	1,00	1,105	0,312	2,36	0,455	36,975768	14,67698
12+235	RSL	T1							
15+818	RSL	T1							
0+553	RSL	T1							
1+259	B	T1	1,00	1,087	0,332	2,355	0,456	37,091473	14,63782
2+065	B	T1	1,00	1,086	0,333	2,356	0,457	37,098526	14,640441
2+781	B	T1	1,00	1,085	0,334	2,357	0,457	37,104181	14,643716
4+182	B	T1	1,00	1,081	0,337	2,36	0,458	37,114961	14,650551
8+318	B	T1	1,00	1,075	0,344	2,364	0,461	37,147444	14,671512
8+746	B	T1	1,00	1,075	0,344	2,363	0,462	37,151077	14,673177

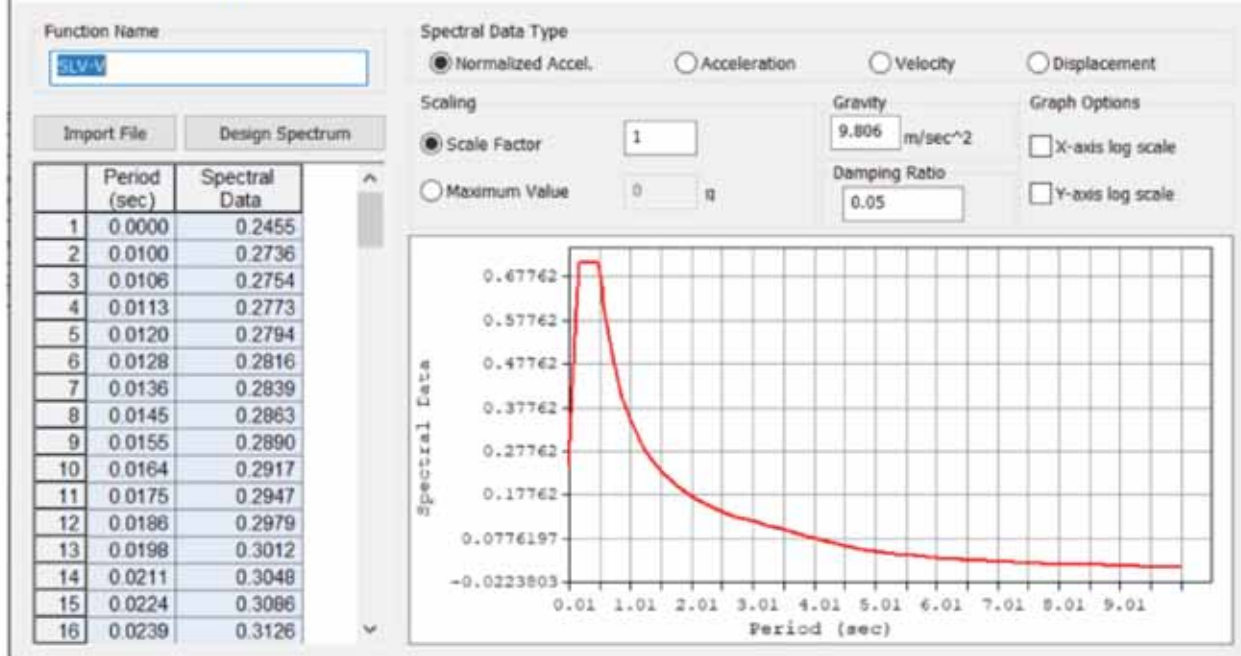
Gli spettri di risposta utilizzati nel programma di calcolo sono rappresentati nelle figure seguenti e sono stati determinato a mezzo di un'analisi sismica locale del sito:

LOTTO 1 – CAVALCAVIA AL KM. 12+325 - RELAZIONE DI CALCOLO IMPALCATO

Add/Modify>Show Response Spectrum Functions

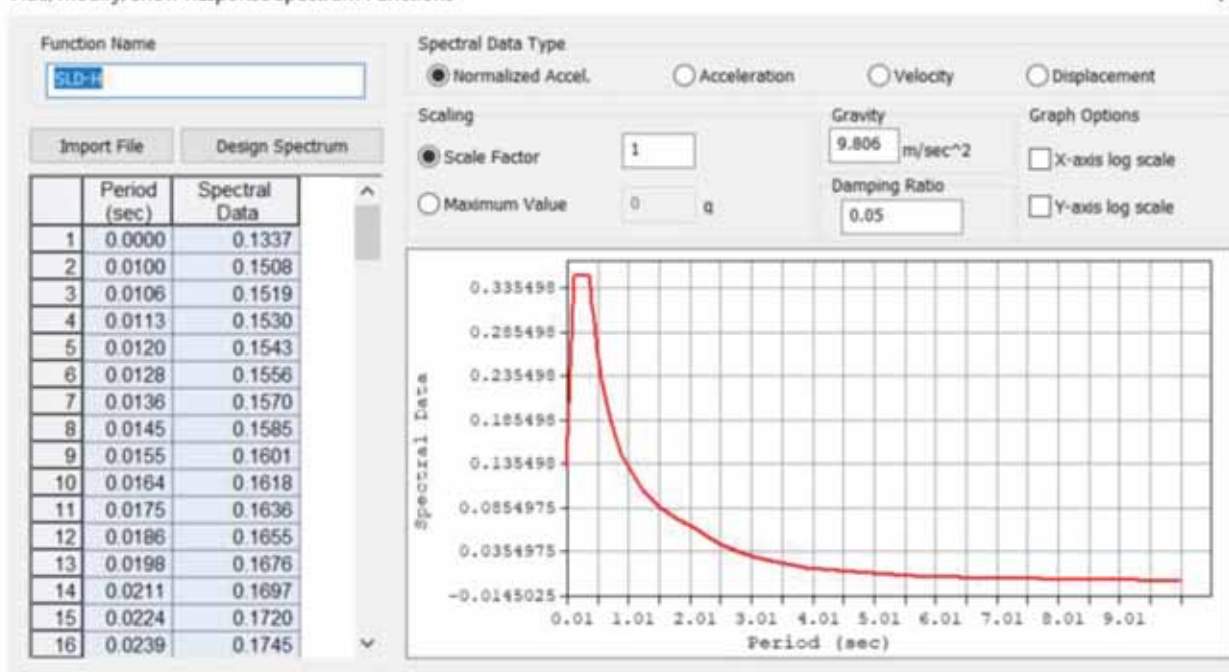


Add/Modify>Show Response Spectrum Functions

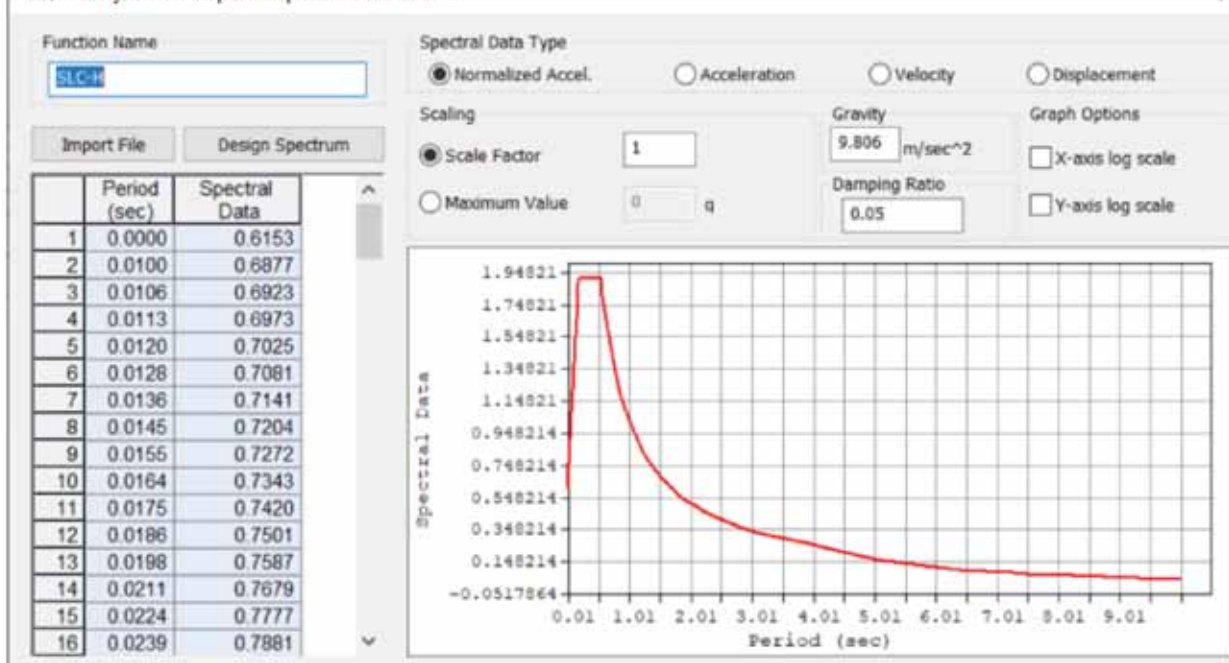


LOTTO 1 – CAVALCAVIA AL KM. 12+325 - RELAZIONE DI CALCOLO IMPALCATO

Add/Modify/Show Response Spectrum Functions



Add/Modify/Show Response Spectrum Functions



LOTTO 1 – CAVALCAVIA AL KM. 12+325 - RELAZIONE DI CALCOLO IMPALCATO

Node	Mode	UX		UY		UZ		RX		RY		RZ							
EIGENVALUE ANALYSIS																			
	Mode No	Frequency				Period				Tolerance									
		(rad/sec)		(cycle/sec)		(sec)													
1		5.580838		0.888218		1.125850		0.0000e+000											
2		5.663574		0.901386		1.109403		0.0000e+000											
3		9.605327		1.528735		0.654135		0.0000e+000											
4		14.860747		2.365161		0.422804		0.0000e+000											
5		16.758016		2.965431		0.334960		0.0000e+000											
6		49.064216		7.808812		0.128060		1.3257e-085											
7		62.142137		9.890228		0.101110		5.4102e-073											
8		73.808575		11.747000		0.085128		6.4438e-064											
9		84.789687		13.494698		0.074103		2.3737e-056											
10		105.629519		16.811460		0.059483		1.9272e-043											
MODAL PARTICIPATION MASSES PRINTOUT																			
	Mode No	TRAN-X		TRAN-Y		TRAN-Z		ROTN-X		ROTN-Y		ROTN-Z							
		MASS(%)	SUM(%)	MASS(%)	SUM(%)	MASS(%)	SUM(%)	MASS(%)	SUM(%)	MASS(%)	SUM(%)	MASS(%)	SUM(%)						
1		0.00	0.00	99.98	99.98	0.00	0.00	0.01	0.01	0.00	0.00	0.00	0.00						
2		100.00	100.00	0.00	99.98	0.00	0.00	0.00	0.01	0.00	0.00	0.00	0.00						
3		0.00	100.00	0.00	99.98	0.00	0.00	0.00	0.01	0.00	0.00	100.00	100.00						
4		0.00	100.00	0.00	99.98	81.33	81.33	0.00	0.01	0.00	0.00	0.00	100.00						
5		0.00	100.00	0.01	99.99	0.00	81.33	80.46	80.46	0.00	0.00	0.00	100.00						
6		0.00	100.00	0.00	99.99	0.00	81.33	80.46	80.46	60.70	60.70	0.00	100.00						
7		0.00	100.00	0.00	99.99	0.00	81.33	80.46	80.46	0.00	60.70	0.00	100.00						
8		0.00	100.00	0.01	100.00	0.00	81.33	0.43	80.90	0.00	60.70	0.00	100.00						
9		0.00	100.00	0.00	100.00	7.91	89.24	0.00	80.90	0.00	60.70	0.00	100.00						
10		0.00	100.00	0.00	100.00	0.00	89.24	0.00	80.90	11.50	72.29	0.00	100.00						
	Mode No	TRAN-X		TRAN-Y		TRAN-Z		ROTN-X		ROTN-Y		ROTN-Z							
		MASS	SUM	MASS	SUM	MASS	SUM	MASS	SUM	MASS	SUM	MASS	SUM						
1		0.00	0.00	524.38	524.38	0.00	0.00	0.38	0.38	0.00	0.00	0.00	0.00						
2		524.49	524.49	0.00	524.38	0.00	0.00	0.00	0.38	0.57	0.57	0.00	0.00						
3		0.00	524.49	0.00	524.38	0.00	0.00	0.00	0.38	0.00	0.57	78562.64	78562.64						
4		0.00	524.49	0.00	524.38	426.60	426.60	0.00	0.38	0.00	0.57	0.00	78562.64						
5		0.00	524.49	0.05	524.43	0.00	426.60	4701.09	4701.48	0.00	0.57	0.00	78562.64						
6		0.01	524.50	0.00	524.43	0.00	426.60	0.00	4701.48	44588.59	44588.15	0.00	78562.64						
7		0.00	524.50	0.00	524.43	0.00	426.60	0.00	4701.48	0.00	44588.15	0.04	78562.68						
8		0.00	524.50	0.06	524.49	0.00	426.60	25.36	4726.83	0.00	44588.15	0.00	78562.68						
9		0.00	524.50	0.00	524.49	41.47	468.07	0.00	4726.83	0.00	44588.15	0.00	78562.68						
10		0.00	524.50	0.00	524.49	0.00	468.07	0.00	4726.83	8517.91	53104.06	0.00	78562.68						

' stata eseguita un'analisi modale a spettro di risposta. Come si nota dall'immagine sopra riportata, avendo introdotto come appoggi degli isolatori, le azioni sismiche orizzontali si dimostrano praticamente disaccoppiate. In altre parole, andando ad analizzare i modi di vibrare che "muovono" maggior quantitativo di masse, si nota che il modo di vibrare numero 1 e 2 muovono massa in direzione rispettivamente Y ed X in modo disaccoppiato.

6 MODELLAZIONE STRUTTURALE

La modellazione strutturale è stata effettuata tramite il programma di calcolo Midas-Civil, schematizzando l'opera come un graticcio equivalente.

Trattandosi di un impalcato a sezione mista acciaio-cls, nell'ambito della modellazione, sono state introdotte le fasi di maturazione del cls necessarie per le verifiche degli elementi portanti e nel dettaglio:

- ✓ Fase1 : Presenza della sola struttura in acciaio soggetta al solo peso proprio strutturale (durata per la sola fase di varo)

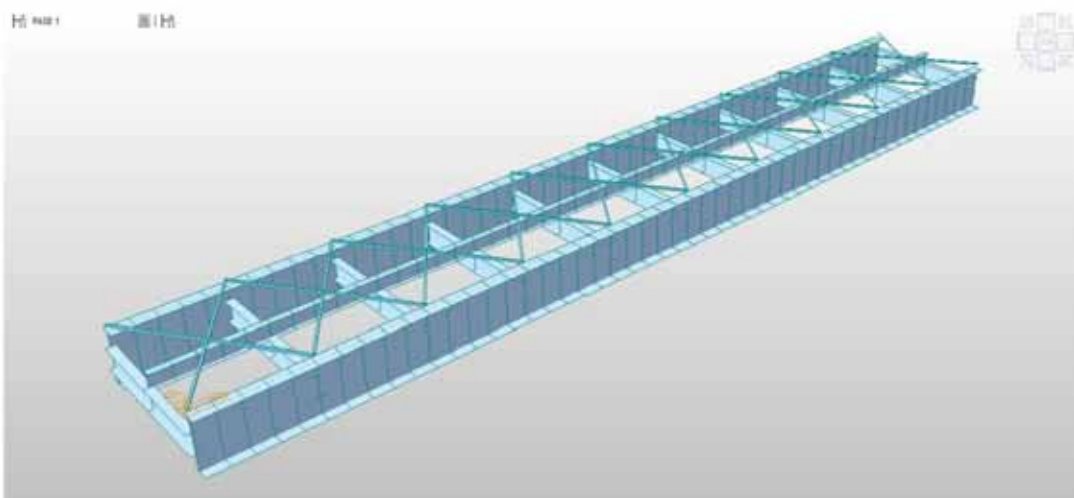


Figura 15 - Schema struttura in Fase 1

- ✓ Fase2: Presenza della struttura in acciaio e della soletta (non ancora collaborante) ma che interviene solo come peso portato (durata della fase 28giorni).
- ✓ Fase 3: Fase in cui hanno corso gli effetti reologici del calcestruzzo e in cui viene posato anche il carico permanente portato (durata giorni – fino alla fine degli effetti reologici).

LOTTO 1 – CAVALCAVIA AL KM. 12+325 - RELAZIONE DI CALCOLO IMPALCATO

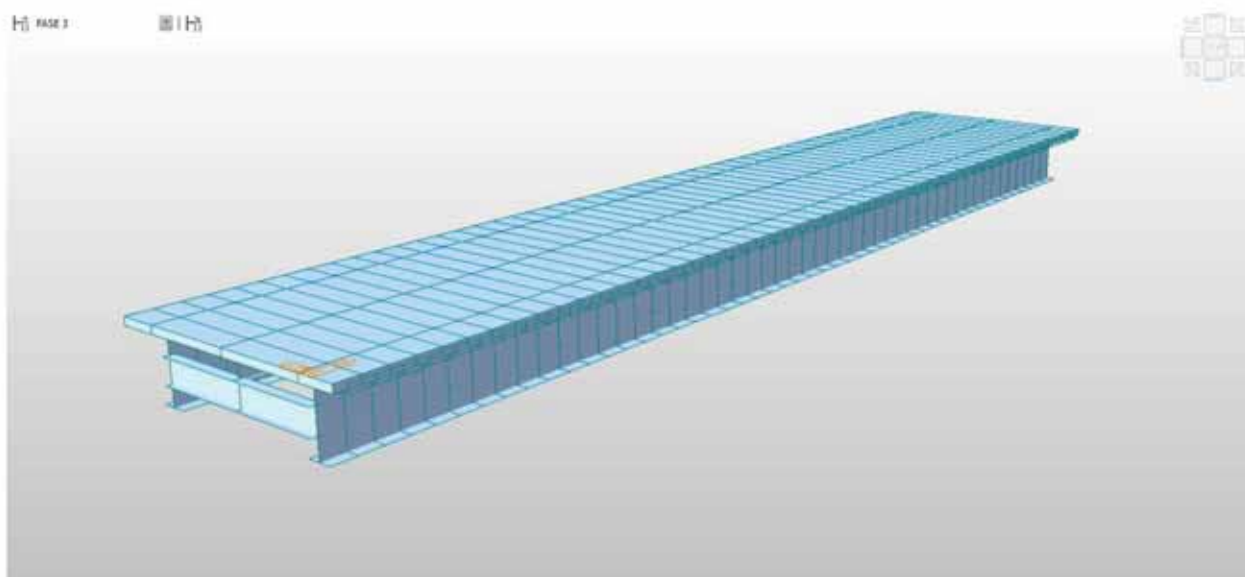


Figura 16 - Schema struttura in Fase 2-3

Inserendo in modo opportuno le varie curve di maturazione e ritiro del calcestruzzo, il programma di calcolo tiene in conto in automatico degli effetti reologici nel tempo. Pertanto, nelle varie fasi di carico, e di maturazione del getto, si instaurano effetti dovuti a ritiro e viscosità che vengono tenuti in conto in automatico dal programma di calcolo nell'ambito delle singole fasi introdotte. La fase 3, che ha una durata effettiva di circa 10000 giorni, ha lo scopo di esaurire tutti gli effetti reologici del calcestruzzo e precede la successiva fase di applicazione dei carichi variabili da traffico e meteorologici.

Construction Stage

Name	Duration	Date	Step	Result
FASE 1	2	2	0	Stage
FASE 2	28	30	0	Stage
FASE 3	10000	10030	0	Stage

X

Add

Insert Prev

Insert Next

Generate

Show

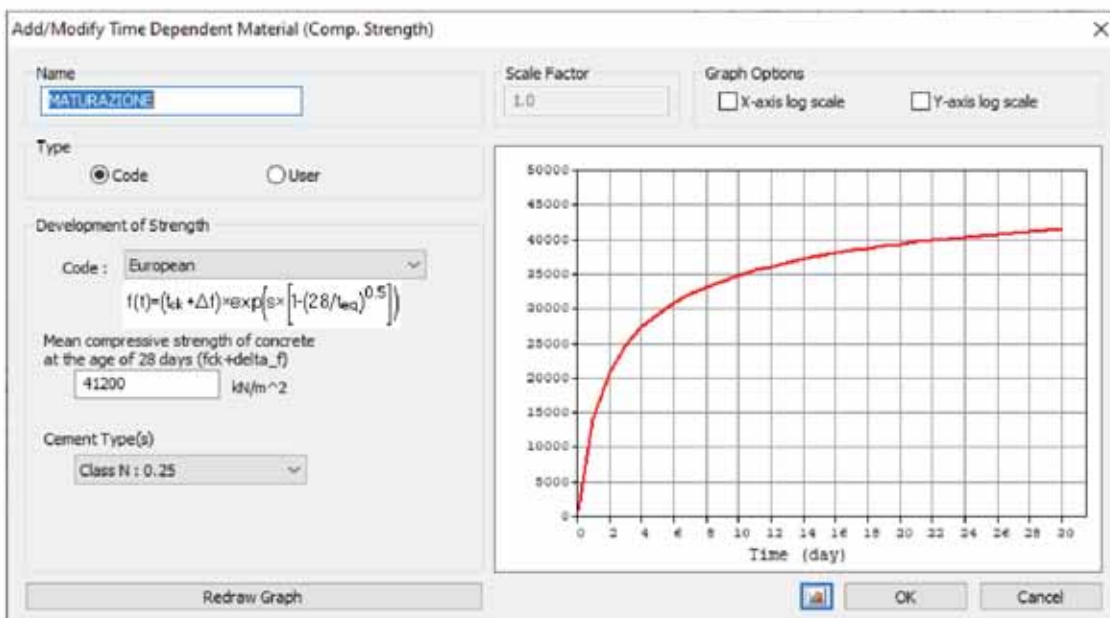
Delete

Close

LOTTO 1 – CAVALCAVIA AL KM. 12+325 - RELAZIONE DI CALCOLO IMPALCATO

Add/Modify Time Dependent Material (Creep / Shrinkage)

Name :	C+S	Code :	European
European			
Characteristic compressive cylinder strength of concrete at the age of 28 days (fck) :		32000	kN/m ²
Relative Humidity of ambient environment (40 - 99) :		70	%
Nominal size of member :		0.25	m
$h = 2 * A_c / u$ (Ac : Section Area, u : Perimeter in contact with atmosphere)			
Type of cement	<input type="radio"/> Class S	<input checked="" type="radio"/> Class N	<input type="radio"/> Class R
Type of code	<input type="radio"/> EN 1992-1 (General Structure)	<input checked="" type="radio"/> EN 1992-2 (Concrete Bridge)	<input type="checkbox"/> Use of silica-fume
Age of concrete at the beginning of shrinkage :	3	day	
<input type="button" value="Show Result..."/> <input type="button" value="OK"/> <input type="button" value="Cancel"/> <input type="button" value="Apply"/>			



Per quanto riguarda la soletta, la stessa viene modellata con elementi tipo frame di dimensioni pari all'interasse previsto, e viene utilizzata per l'applicazione in senso trasversale dei carichi mobili. In altre parole, i carichi mobili vengono ripartiti lungo gli elementi principali tramite la soletta.

LOTTO 1 – CAVALCAVIA AL KM. 12+325 - RELAZIONE DI CALCOLO IMPALCATO

6.1 COMBINAZIONI DI CARICO

Le combinazioni di carico considerate sono quelle desunte secondo lo schema seguente.

Gruppo di azioni	Carichi sulla carreggiata					Carichi su marciapiedi e piste ciclabili
	Carichi verticali		Carichi orizzontali		Carichi verticali	
Modello principale (Schema di carico 1, 2, 3, 4, 6)	Veicoli speciali	Folla (Schema di carico 5)	Frenatura q_3	Forza centrifuga q_4	Carico uniformemente distribuito	
1	Valore caratteristico					Schema di carico 5 con valore di combinazione 2,5 kN/m ²
2 a	Valore frequente			Valore caratteristico		
2 b	Valore frequente				Valore caratteristico	
3 (*)						Schema di carico 5 con valore caratteristico 5,0 kN/m ²
4 (**)			Schema di carico 5 con valore caratteristico 5,0 kN/m ²			Schema di carico 5 con valore caratteristico 5,0 kN/m ²
5 (***)	Da definirsi per il singolo progetto	Valore caratteristico o nominale				

(*) Punti di 3^a categoria
(**) Da considerare solo se richiesto dal particolare progetto (ad es. ponti in zona urbana)
(***) Da considerare solo se si considerano veicoli speciali

I coefficienti parziali di sicurezza per le combinazioni di carico SLU sono i seguenti.

		Coefficiente	EQU ⁽¹⁾	A1 STR	A2 GEO
Carichi permanenti	favorevoli sfavorevoli	γ_{G1}	0,90 1,10	1,00 1,35	1,00 1,00
Carichi permanenti non strutturali ⁽²⁾	favorevoli sfavorevoli	γ_{G2}	0,00 1,50	0,00 1,50	0,00 1,30
Carichi variabili da traffico	favorevoli sfavorevoli	γ_Q	0,00 1,35	0,00 1,35	0,00 1,15
Carichi variabili	favorevoli sfavorevoli	γ_{Q1}	0,00 1,50	0,00 1,50	0,00 1,30
Distorsioni e presollecitazioni di progetto	favorevoli sfavorevoli	$\gamma_{\epsilon 1}$	0,90 1,00 ⁽³⁾	1,00 1,00 ⁽⁴⁾	1,00 1,00
Ritiro e viscosità, Variazioni termiche, Cedimenti vincolari	favorevoli sfavorevoli	$\gamma_{\epsilon 2}, \gamma_{\epsilon 3}, \gamma_{\epsilon 4}$	0,00 1,20	0,00 1,20	0,00 1,00

(1) Equilibrio che non coinvolga i parametri di deformabilità e resistenza del terreno; altrimenti si applicano i valori di GEO.
(2) Nel caso in cui i carichi permanenti non strutturali (ad es. carichi permanenti portati) siano compiutamente definiti si potranno adottare gli stessi coefficienti validi per le azioni permanenti.
(3) 1,30 per instabilità in strutture con precompressione esterna.
(4) 1,20 per effetti locali

LOTTO 1 – CAVALCAVIA AL KM. 12+325 - RELAZIONE DI CALCOLO IMPALCATO

I coefficienti ψ per le azioni variabili per i ponti stradali sono i seguenti.

Azioni	Gruppo di azioni (Tabella 5.IV)	Coefficiente Ψ_0 di combinazione	Coefficiente Ψ_1 (valori frequenti)	Coefficiente Ψ_2 (valori quasi permanenti)
Azioni da traffico (Tabella 5.IV)	Schema 1 (Carichi tandem)	0,75	0,75	0,0
	Schemi 1, 5 e 6 (Carichi distribuiti)	0,40	0,40	0,0
	Schemi 3 e 4 (carichi concentrati)	0,40	0,40	0,0
	Schema 2	0,0	0,75	0,0
	2	0,0	0,0	0,0
	3	0,0	0,0	0,0
	4 (folla)	----	0,75	0,0
	5	0,0	0,0	0,0
	Vento a ponte scarico			
	SLU e SLE	0,6	0,2	0,0
Vento q_3	Esecuzione	0,8	----	0,0
	Vento a ponte carico	0,6		
Neve q_3	SLU e SLE	0,0	0,0	0,0
	esecuzione	0,8	0,6	0,5
Temperatura	T _k	0,6	0,6	0,5

Si riporta di seguito una tabella raffigurante tutte le combinazioni di carico utilizzate.

LOTTO 1 – CAVALCAVIA AL KM. 12+325 - RELAZIONE DI CALCOLO IMPALCATO

		PESO PROPRIO ACCIAIO	PESO PROPRIO SOLLETTA	PERMANENTE PORTATO	VENTO PONTE SCARICO	VENTO PONTE CARICO	TERMINICA UNIFORME +	TERMINICA UNIFORME -	TERMINICA GRADIENTE +	TERMINICA GRADIENTE -	FRENATURA	LM01	LM02	LM03	SISMA X	SISMA Y	SISMA Z
SLU	SLU1	1.35	1.35	1.35	1.5	0	0.9	0	0	0	1.0125	1.0125	1.0125	1.0125	0	0	0
	SLU2	1.35	1.35	1.35	1.5	0	0	0.9	0	0	1.0125	1.0125	1.0125	1.0125	0	0	0
	SLU3	1.35	1.35	1.35	1.5	0	0	0	0.9	0	1.0125	1.0125	1.0125	1.0125	0	0	0
	SLU4	1.35	1.35	1.35	1.5	0	0	0	0	0.9	1.0125	1.0125	1.0125	1.0125	0	0	0
	SLU5	1.35	1.35	1.35	0	1.5	0.9	0	0	0	1.0125	1.0125	1.0125	1.0125	0	0	0
	SLU6	1.35	1.35	1.35	0	1.5	0	0.9	0	0	1.0125	1.0125	1.0125	1.0125	0	0	0
	SLU7	1.35	1.35	1.35	0	1.5	0	0	0.9	0	1.0125	1.0125	1.0125	1.0125	0	0	0
	SLU8	1.35	1.35	1.35	0	1.5	0	0	0	0.9	1.0125	1.0125	1.0125	1.0125	0	0	0
	SLU9	1.35	1.35	1.35	0.9	0	0.9	0	0	0	1.35	1.35	0	0	0	0	0
	SLU10	1.35	1.35	1.35	0.9	0	0	0.9	0	0	1.35	1.35	0	0	0	0	0
	SLU11	1.35	1.35	1.35	0.9	0	0	0	0.9	0	1.35	1.35	0	0	0	0	0
	SLU12	1.35	1.35	1.35	0.9	0	0	0	0	0.9	1.35	1.35	0	0	0	0	0
	SLU13	1.35	1.35	1.35	0	0.9	0.9	0	0	0	1.35	1.35	0	0	0	0	0
	SLU14	1.35	1.35	1.35	0	0.9	0	0.9	0	0	1.35	1.35	0	0	0	0	0
	SLU15	1.35	1.35	1.35	0	0.9	0	0	0.9	0	1.35	1.35	0	0	0	0	0
	SLU16	1.35	1.35	1.35	0	0.9	0	0	0	0.9	1.35	1.35	0	0	0	0	0
	SLU17	1.35	1.35	1.35	0.9	0	0.9	0	0	0	1.35	1.35	1.35	1.35	0	0	0
	SLU18	1.35	1.35	1.35	0.9	0	0	0.9	0	0	1.35	1.35	1.35	1.35	0	0	0
	SLU19	1.35	1.35	1.35	0.9	0	0	0	0.9	0	1.35	1.35	1.35	1.35	0	0	0
	SLU20	1.35	1.35	1.35	0.9	0	0	0	0	0.9	1.35	1.35	1.35	1.35	0	0	0
	SLU21	1.35	1.35	1.35	0	0.9	0.9	0	0	0	1.35	1.35	1.35	1.35	0	0	0
	SLU22	1.35	1.35	1.35	0	0.9	0	0.9	0	0	1.35	1.35	1.35	1.35	0	0	0
	SLU23	1.35	1.35	1.35	0	0.9	0	0	0.9	0	1.35	1.35	1.35	1.35	0	0	0
	SLU24	1.35	1.35	1.35	0	0.9	0	0	0	0.9	1.35	1.35	1.35	1.35	0	0	0
RARA	RARA_1	1	1	1	1	0	0.6	0	0	0	0.75	0.75	0	0	0	0	0
	RARA_2	1	1	1	1	0	0	0.6	0	0	0.75	0.75	0	0	0	0	0
	RARA_3	1	1	1	1	0	0	0	0.6	0	0.75	0.75	0	0	0	0	0
	RARA_4	1	1	1	1	0	0	0	0	0.6	0.75	0.75	0	0	0	0	0
	RARA_5	1	1	1	0	1	0.6	0	0	0	0.75	0.75	0	0	0	0	0
	RARA_6	1	1	1	0	1	0	0.6	0	0	0.75	0.75	0	0	0	0	0
	RARA_7	1	1	1	0	1	0	0	0.6	0	0.75	0.75	0	0	0	0	0
	RARA_8	1	1	1	0	1	0	0	0	0.6	0.75	0.75	0	0	0	0	0
	RARA_9	1	1	1	0.6	0	0.6	0	0	0	1	1	0	0	0	0	0
	RARA_10	1	1	1	0.6	0	0	0.6	0	0	1	1	0	0	0	0	0
	RARA_11	1	1	1	0.6	0	0	0	0.6	0	1	1	0	0	0	0	0
	RARA_12	1	1	1	0.6	0	0	0	0	0.6	1	1	0	0	0	0	0
	RARA_13	1	1	1	0	0.6	0.6	0	0	0	1	1	0	0	0	0	0
	RARA_14	1	1	1	0	0.6	0	0.6	0	0	1	1	0	0	0	0	0
	RARA_15	1	1	1	0	0.6	0	0	0.6	0	1	1	0	0	0	0	0
	RARA_16	1	1	1	0	0.6	0	0	0	0.6	1	1	0	0	0	0	0
FREQ	FREQ_1	1	1	1	0.2	0	0.5	0	0	0	0.75	0.75	0	0	0	0	0
	FREQ_2	1	1	1	0.2	0	0	0.5	0	0	0.75	0.75	0	0	0	0	0
	FREQ_3	1	1	1	0.2	0	0	0	0.5	0	0.75	0.75	0	0	0	0	0
	FREQ_4	1	1	1	0.2	0	0	0	0	0.5	0.75	0.75	0	0	0	0	0
	FREQ_5	1	1	1	0	0	0.5	0	0	0	0.75	0.75	0	0	0	0	0
	FREQ_6	1	1	1	0	0	0	0.5	0	0	0.75	0.75	0	0	0	0	0
	FREQ_7	1	1	1	0	0	0	0	0.5	0	0.75	0.75	0	0	0	0	0
	FREQ_8	1	1	1	0	0	0	0	0	0.5	0.75	0.75	0	0	0	0	0
	FREQ_9	1	1	1	0.2	0	0.5	0	0	0	0.75	0.75	0.75	0.75	0	0	0
	FREQ_10	1	1	1	0.2	0	0	0.5	0	0	0.75	0.75	0.75	0.75	0	0	0
	FREQ_11	1	1	1	0.2	0	0	0	0.5	0	0.75	0.75	0.75	0.75	0	0	0
	FREQ_12	1	1	1	0.2	0	0	0	0	0.5	0.75	0.75	0.75	0.75	0	0	0
	FREQ_13	1	1	1	0	0	0.5	0	0	0	0.75	0.75	0.75	0.75	0	0	0
	FREQ_14	1	1	1	0	0	0	0.5	0	0	0.75	0.75	0.75	0.75	0	0	0
	FREQ_15	1	1	1	0	0	0	0	0.5	0	0.75	0.75	0.75	0.75	0	0	0
	FREQ_16	1	1	1	0	0	0	0	0	0.5	0.75	0.75	0.75	0.75	0	0	0

MANDATORIA: MANDANTI:



GPI INGEGNERIA
BENTONIETTA INGENIERIA



ICARIA
società di ingegneria



LOTTO 1 – CAVALCAVIA AL KM. 12+325 - RELAZIONE DI CALCOLO IMPALCATO

Q	QP_1	1	1	1	0	0	0.5	0	0	0	0	0	0	0	0	0	0
	QP_2	1	1	1	0	0	0	0.5	0	0	0	0	0	0	0	0	0
	QP_3	1	1	1	0	0	0	0.5	0	0	0	0	0	0	0	0	0
	QP_4	1	1	1	0	0	0	0	0	0.5	0	0	0	0	0	0	0
SISMA SV	SLV1	1	1	1	0	0	0.5	0	0	0	0	0	0	1	0.3	0	0
	SLV2	1	1	1	0	0	0.5	0	0	0	0	0	0	-1	0.3	0	0
	SLV3	1	1	1	0	0	0.5	0	0	0	0	0	0	1	-0.3	0	0
	SLV4	1	1	1	0	0	0.5	0	0	0	0	0	0	-1	-0.3	0	0
	SLV5	1	1	1	0	0	0.5	0	0	0	0	0	0	0.3	1	0	0
	SLV6	1	1	1	0	0	0.5	0	0	0	0	0	0	0.3	-1	0	0
	SLV7	1	1	1	0	0	0.5	0	0	0	0	0	0	-0.3	1	0	0
	SLV8	1	1	1	0	0	0.5	0	0	0	0	0	0	-0.3	-1	0	0
	SLV9	1	1	1	0	0	0	0.5	0	0	0	0	0	1	0.3	0	0
	SLV10	1	1	1	0	0	0	0.5	0	0	0	0	0	-1	0.3	0	0
	SLV11	1	1	1	0	0	0	0.5	0	0	0	0	0	1	-0.3	0	0
	SLV12	1	1	1	0	0	0	0.5	0	0	0	0	0	-1	-0.3	0	0
	SLV13	1	1	1	0	0	0	0.5	0	0	0	0	0	0.3	1	0	0
	SLV14	1	1	1	0	0	0	0.5	0	0	0	0	0	0.3	-1	0	0
	SLV15	1	1	1	0	0	0	0.5	0	0	0	0	0	-0.3	1	0	0
	SLV16	1	1	1	0	0	0	0.5	0	0	0	0	0	-0.3	-1	0	0
	SLV17	1	1	1	0	0	0	0	0.5	0	0	0	0	1	0.3	0	0
	SLV18	1	1	1	0	0	0	0	0.5	0	0	0	0	-1	0.3	0	0
	SLV19	1	1	1	0	0	0	0	0.5	0	0	0	0	1	-0.3	0	0
	SLV20	1	1	1	0	0	0	0	0.5	0	0	0	0	-1	-0.3	0	0
	SLV21	1	1	1	0	0	0	0	0.5	0	0	0	0	0.3	1	0	0
	SLV22	1	1	1	0	0	0	0	0.5	0	0	0	0	0.3	-1	0	0
	SLV23	1	1	1	0	0	0	0	0.5	0	0	0	0	-0.3	1	0	0
	SLV24	1	1	1	0	0	0	0	0.5	0	0	0	0	-0.3	-1	0	0
	SLV25	1	1	1	0	0	0	0	0	0.5	0	0	0	1	0.3	0	0
	SLV26	1	1	1	0	0	0	0	0	0.5	0	0	0	-1	0.3	0	0
	SLV27	1	1	1	0	0	0	0	0	0.5	0	0	0	1	-0.3	0	0
	SLV28	1	1	1	0	0	0	0	0	0.5	0	0	0	-1	-0.3	0	0
	SLV29	1	1	1	0	0	0	0	0	0.5	0	0	0	0.3	1	0	0
	SLV30	1	1	1	0	0	0	0	0	0.5	0	0	0	0.3	-1	0	0
	SLV31	1	1	1	0	0	0	0	0	0.5	0	0	0	-0.3	1	0	0
	SLV32	1	1	1	0	0	0	0	0	0.5	0	0	0	-0.3	-1	0	0
	SLV33	1	1	1	0	0	0.5	0	0	0	0	0	0	0.3	0.3	1	0
	SLV34	1	1	1	0	0	0.5	0	0	0	0	0	0	-0.3	0.3	1	0
	SLV35	1	1	1	0	0	0.5	0	0	0	0	0	0	0.3	-0.3	1	0
	SLV36	1	1	1	0	0	0.5	0	0	0	0	0	0	-0.3	-0.3	1	0
	SLV37	1	1	1	0	0	0	0.5	0	0	0	0	0	0.3	0.3	1	0
	SLV38	1	1	1	0	0	0	0.5	0	0	0	0	0	-0.3	0.3	1	0
	SLV39	1	1	1	0	0	0	0.5	0	0	0	0	0	0.3	-0.3	1	0
	SLV40	1	1	1	0	0	0	0.5	0	0	0	0	0	-0.3	-0.3	1	0
	SLV41	1	1	1	0	0	0	0.5	0	0	0	0	0	0.3	0.3	1	0
	SLV42	1	1	1	0	0	0	0.5	0	0	0	0	0	-0.3	0.3	1	0
	SLV43	1	1	1	0	0	0	0.5	0	0	0	0	0	0.3	-0.3	1	0
	SLV44	1	1	1	0	0	0	0.5	0	0	0	0	0	-0.3	-0.3	1	0
	SLV45	1	1	1	0	0	0.5	0	0	0	0	0	0	0.3	0.3	-1	0
	SLV46	1	1	1	0	0	0.5	0	0	0	0	0	0	-0.3	0.3	-1	0
	SLV47	1	1	1	0	0	0.5	0	0	0	0	0	0	0.3	-0.3	-1	0
	SLV48	1	1	1	0	0	0.5	0	0	0	0	0	0	-0.3	-0.3	-1	0
	SLV49	1	1	1	0	0	0.5	0	0	0	0	0	0	0.3	0.3	-1	0
	SLV50	1	1	1	0	0	0.5	0	0	0	0	0	0	-0.3	0.3	-1	0
	SLV51	1	1	1	0	0	0.5	0	0	0	0	0	0	0.3	-0.3	-1	0
	SLV52	1	1	1	0	0	0.5	0	0	0	0	0	0	-0.3	-0.3	-1	0
	SLV53	1	1	1	0	0	0	0.5	0	0	0	0	0	0.3	0.3	-1	0
	SLV54	1	1	1	0	0	0	0.5	0	0	0	0	0	-0.3	0.3	-1	0
	SLV55	1	1	1	0	0	0	0.5	0	0	0	0	0	0.3	-0.3	-1	0
	SLV56	1	1	1	0	0	0.5	0	0	0	0	0	0	-0.3	-0.3	-1	0
SLD	SLD1	1	1	1	0	0	0.5	0	0	0	0	0	0	1	0	0	0
SLD	SLD2	1	1	1	0	0	0.5	0	0	0	0	0	0	-1	0	0	0
SLD	SLD3	1	1	1	0	0	0.5	0	0	0	0	0	0	1	0	0	0
SLD	SLD4	1	1	1	0	0	0.5	0	0	0	0	0	0	-1	0	0	0

MANDATARIA: MANDANTI:

6.2 VERIFICHE STRUTTURALI

6.2.1 VERIFICA ELEMENTI DI IMPALCATO

Si riportano di seguito alcune immagini del modello 3D effettuato con la suddivisione in conci delle travi principali.

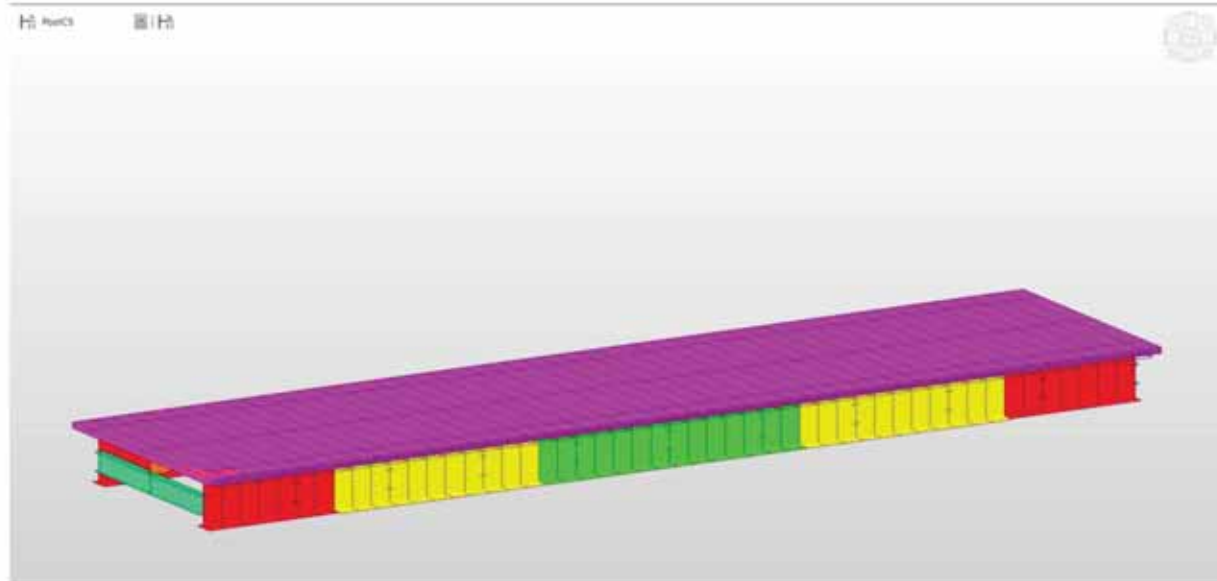


Figura 17 - Immagine modello 3D

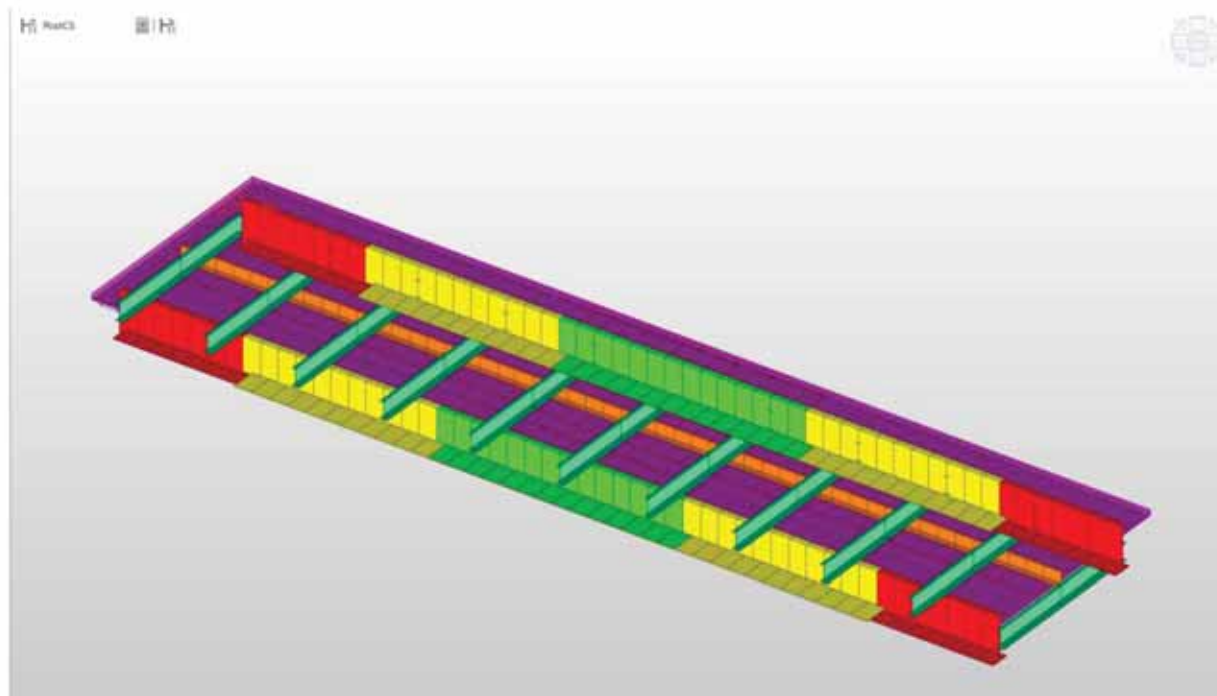


Figura 18 - Immagine modello 3D

LOTTO 1 – CAVALCAVIA AL KM. 12+325 - RELAZIONE DI CALCOLO IMPALCATO

Si riportano inoltre i diagrammi delle sollecitazioni M, N e T nelle varie fasi operative.

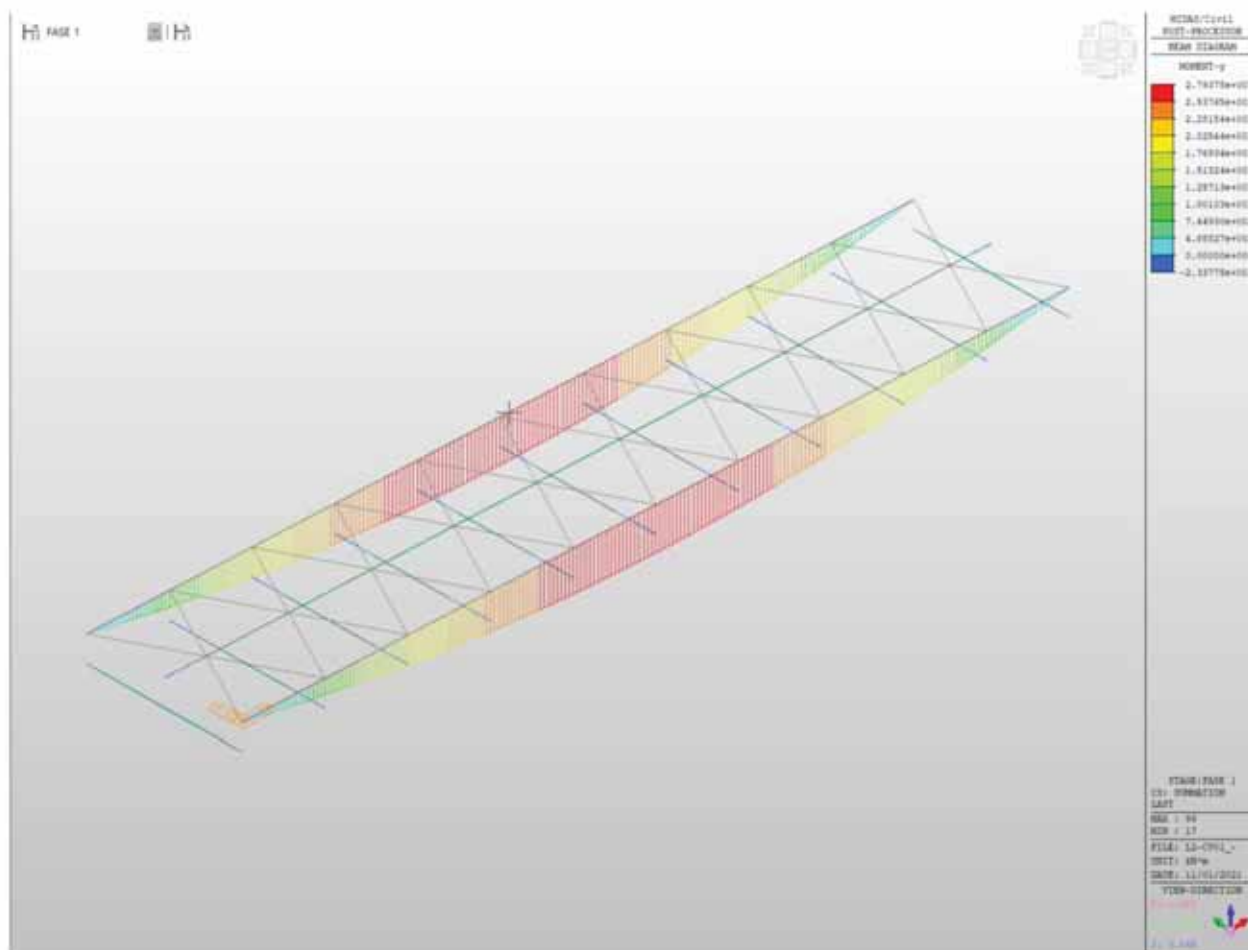


Figura 19 - Diagramma My - Fase 1

LOTTO 1 – CAVALCAVIA AL KM. 12+325 - RELAZIONE DI CALCOLO IMPALCATO

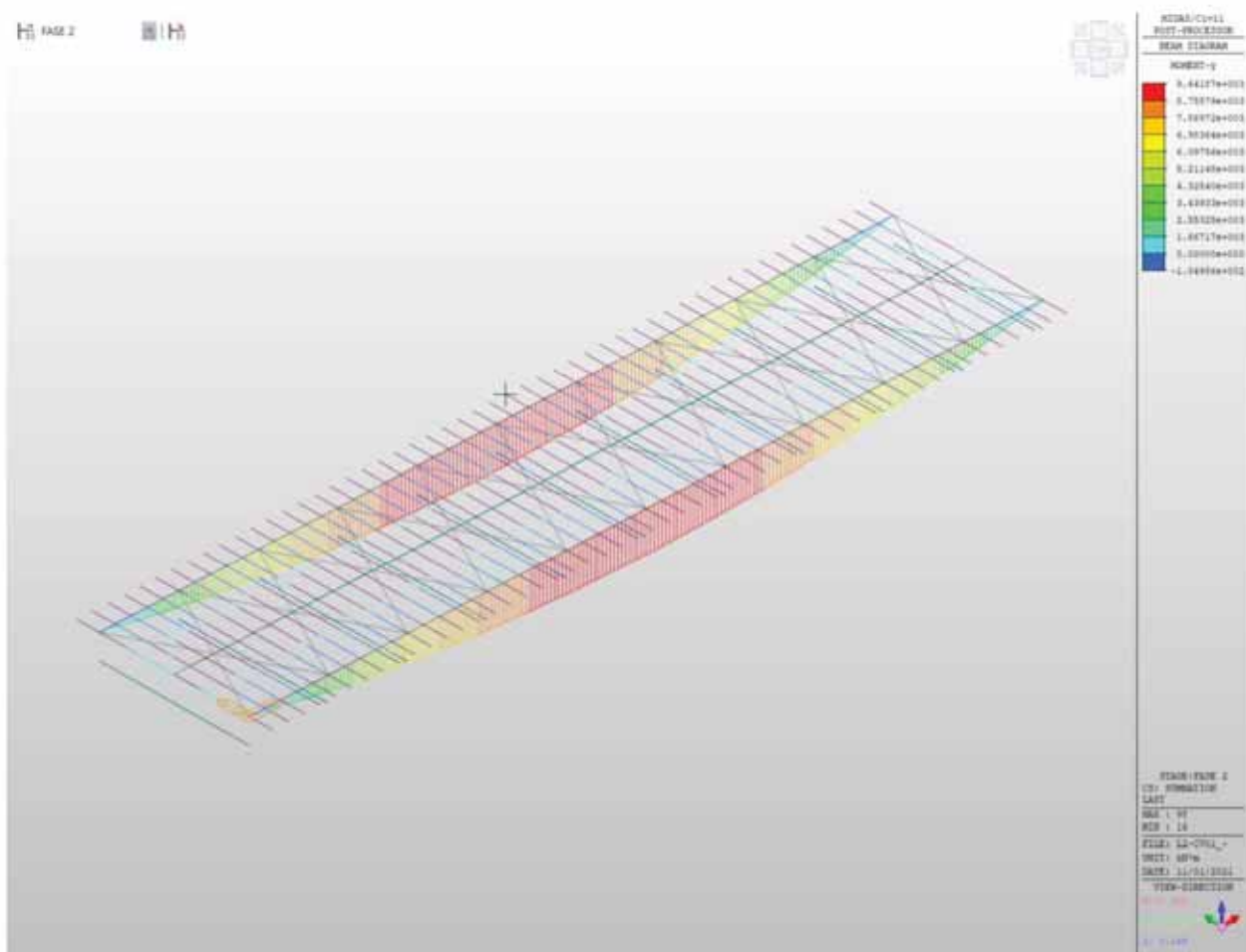


Figura 20 - Diagramma My - Fase 2

LOTTO 1 – CAVALCAVIA AL KM. 12+325 - RELAZIONE DI CALCOLO IMPALCATO

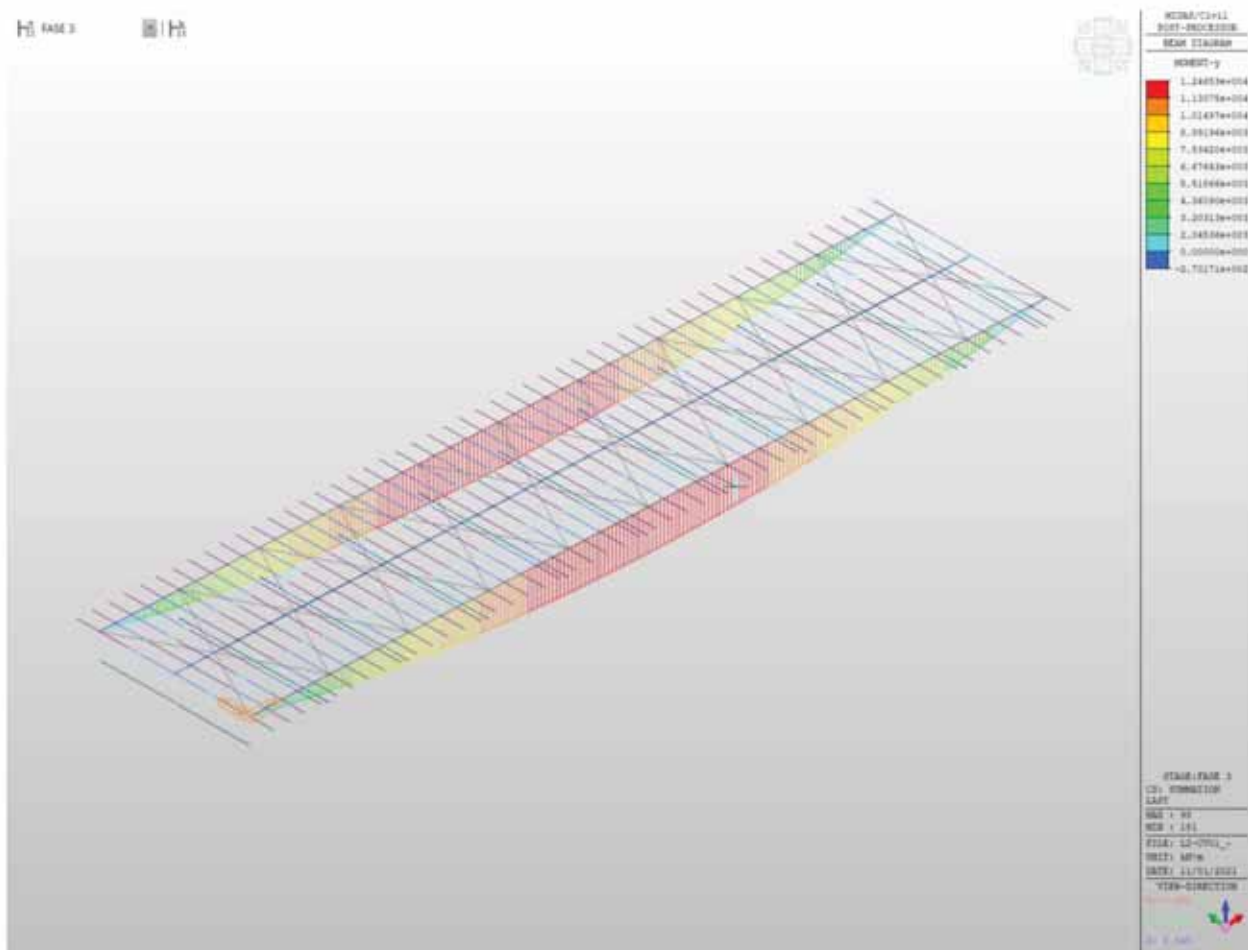


Figura 21 - Diagramma My - Fase 3

LOTTO 1 – CAVALCAVIA AL KM. 12+325 - RELAZIONE DI CALCOLO IMPALCATO

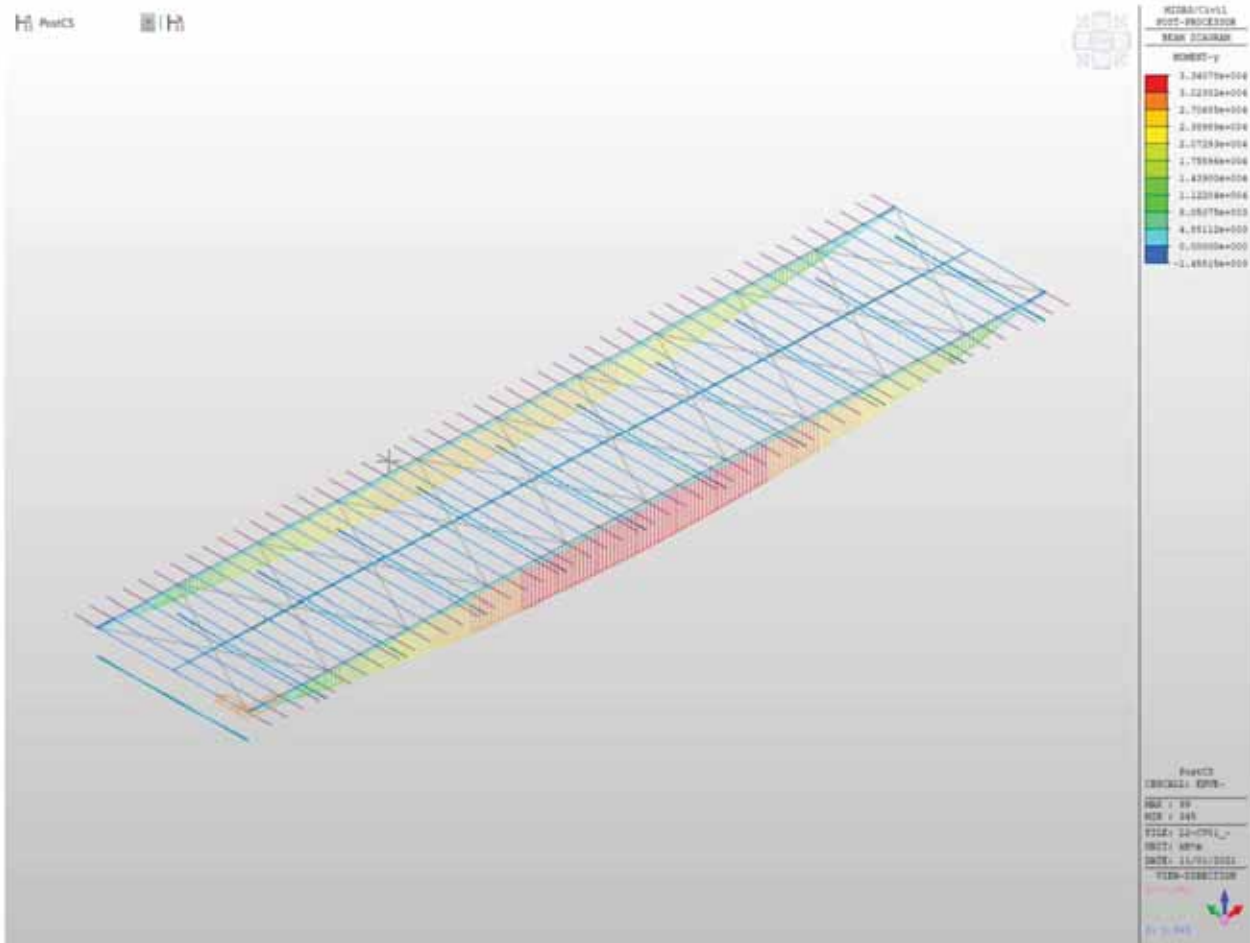
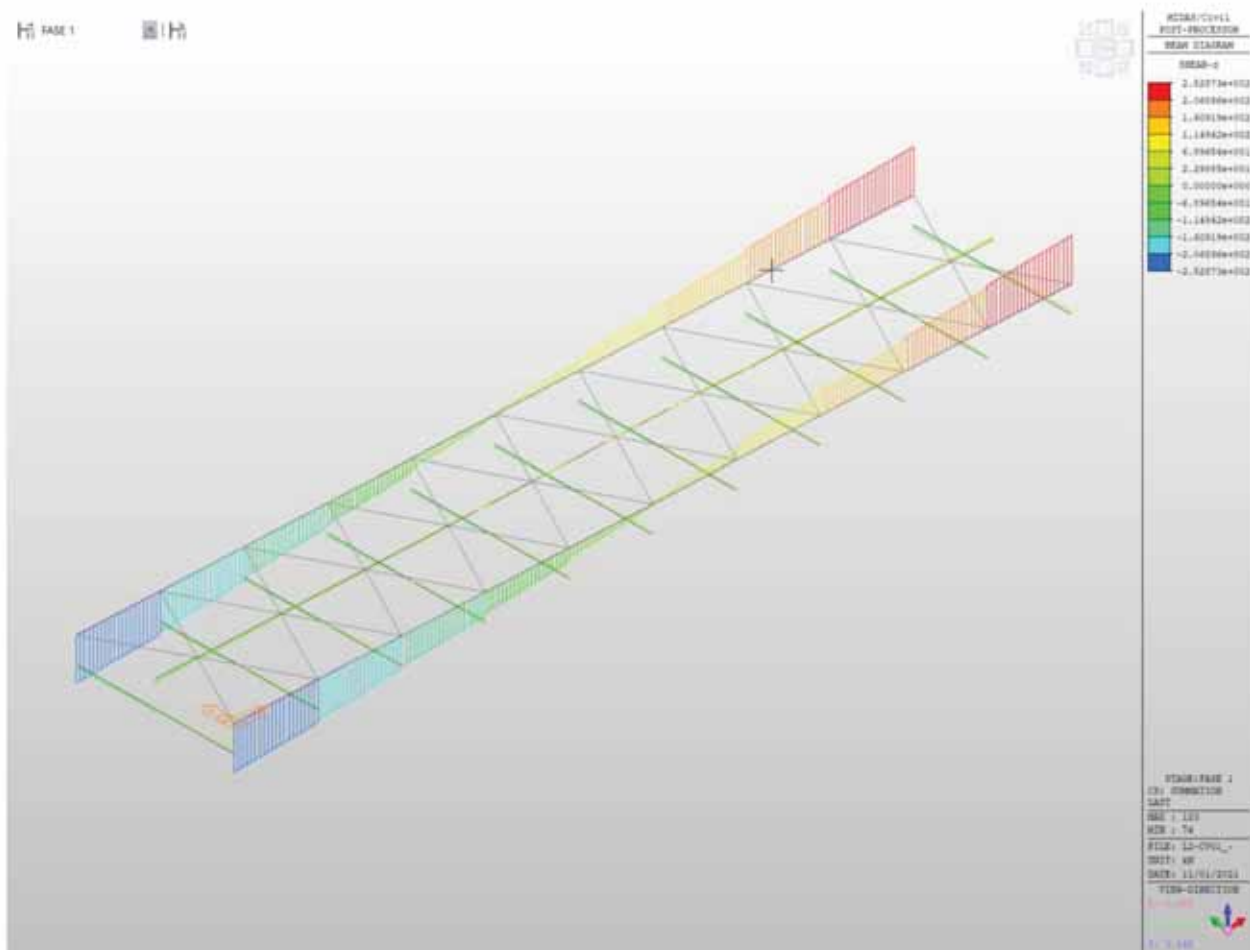


Figura 22 - Diagramma My – Inviluppo SLU-SLV

LOTTO 1 – CAVALCAVIA AL KM. 12+325 - RELAZIONE DI CALCOLO IMPALCATO



LOTTO 1 – CAVALCAVIA AL KM. 12+325 - RELAZIONE DI CALCOLO IMPALCATO

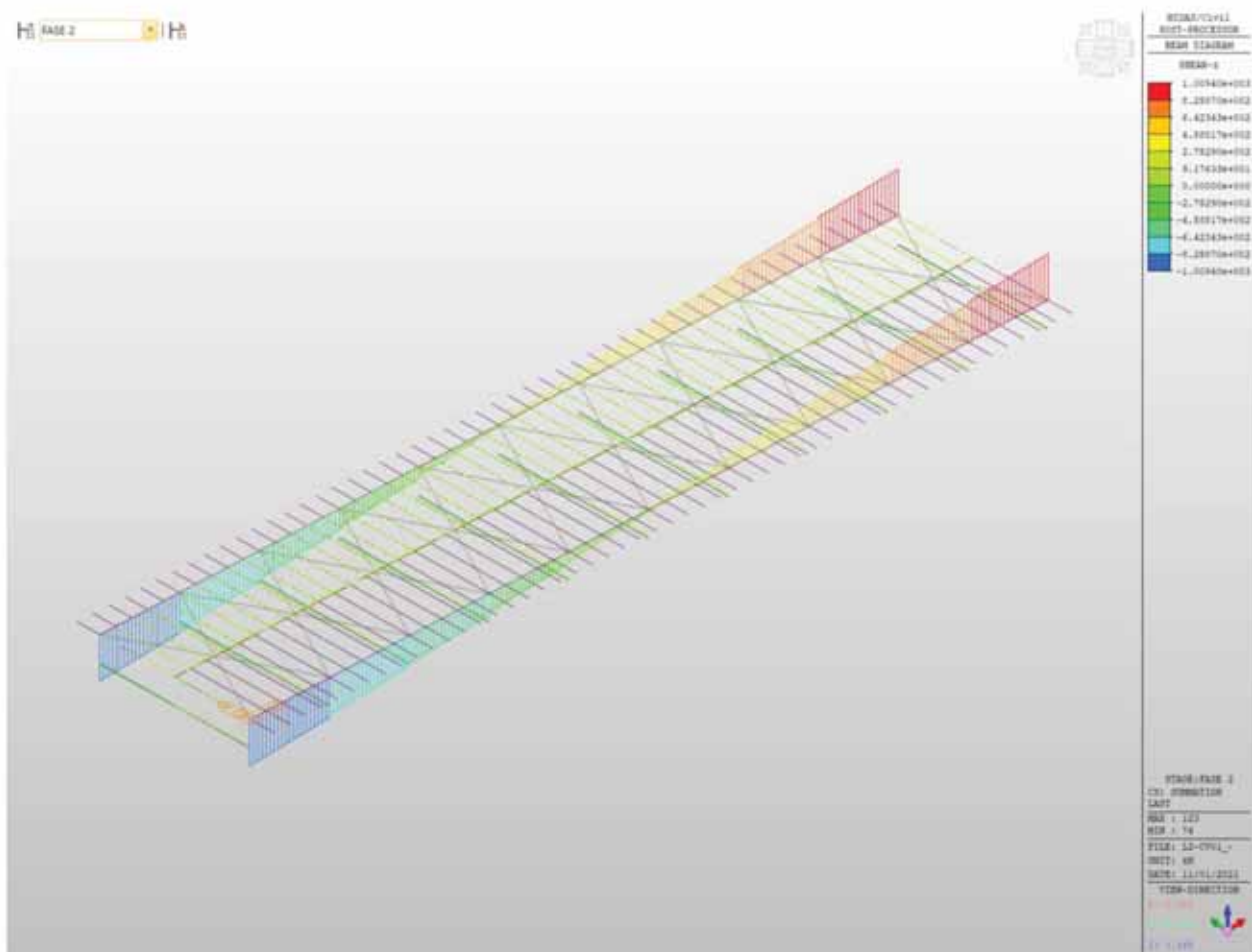


Figura 24 - Diagramma Tz - Fase 2

LOTTO 1 – CAVALCAVIA AL KM. 12+325 - RELAZIONE DI CALCOLO IMPALCATO

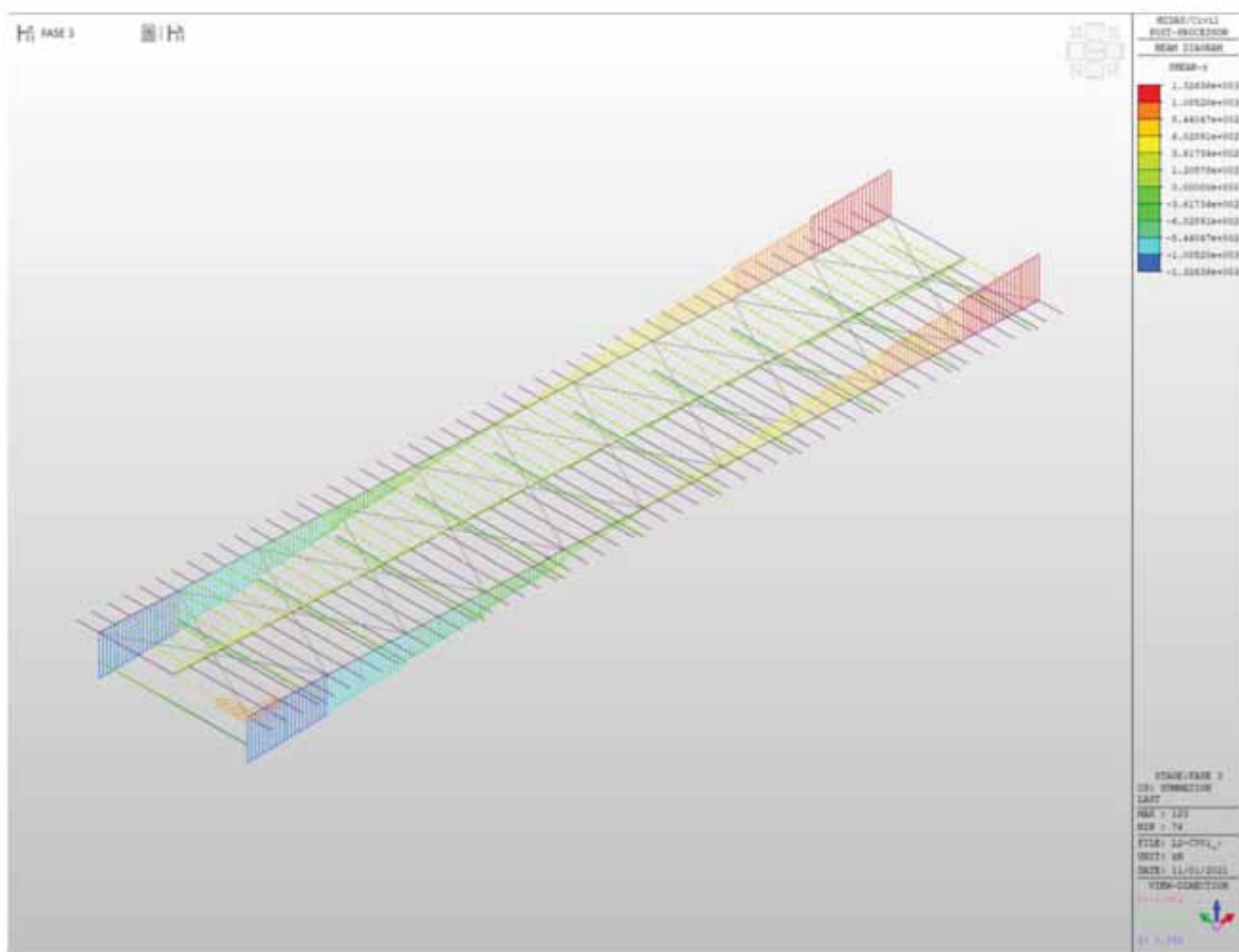


Figura 25 - Diagramma Tz - Fase 3

LOTTO 1 – CAVALCAVIA AL KM. 12+325 - RELAZIONE DI CALCOLO IMPALCATO

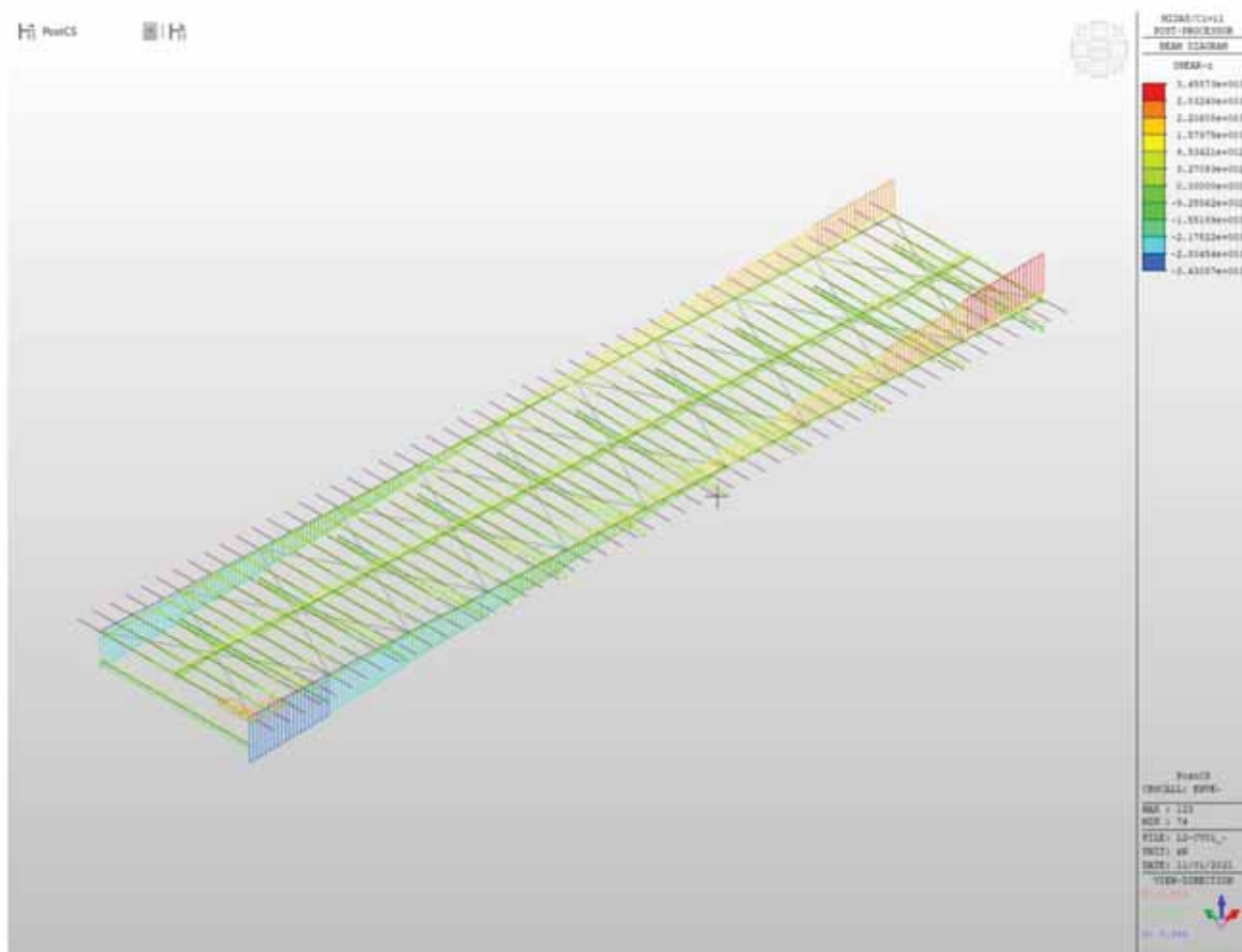


Figura 26 - Diagramma Tz - Inviluppo SLU-SLV

LOTTO 1 – CAVALCAVIA AL KM. 12+325 - RELAZIONE DI CALCOLO IMPALCATO

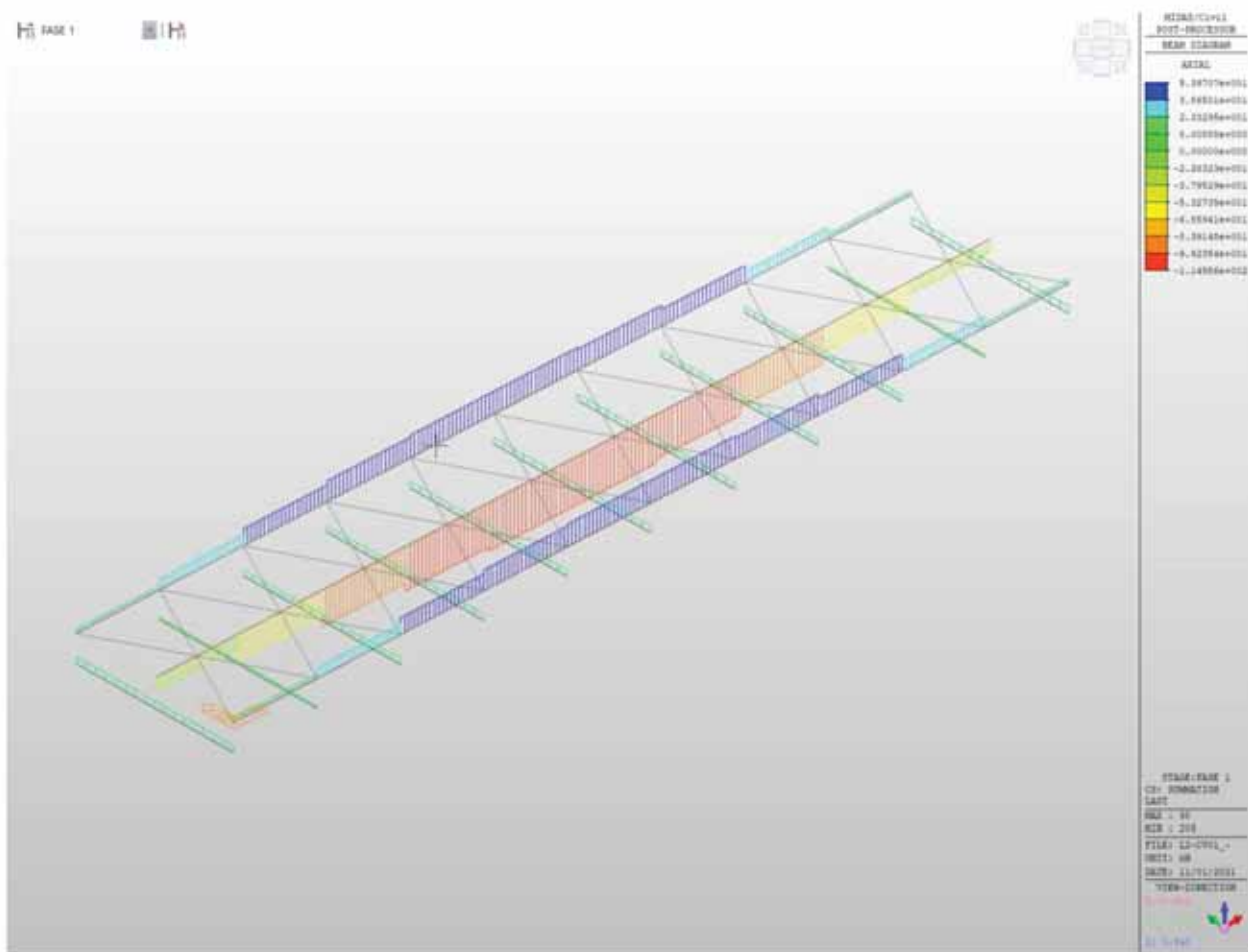
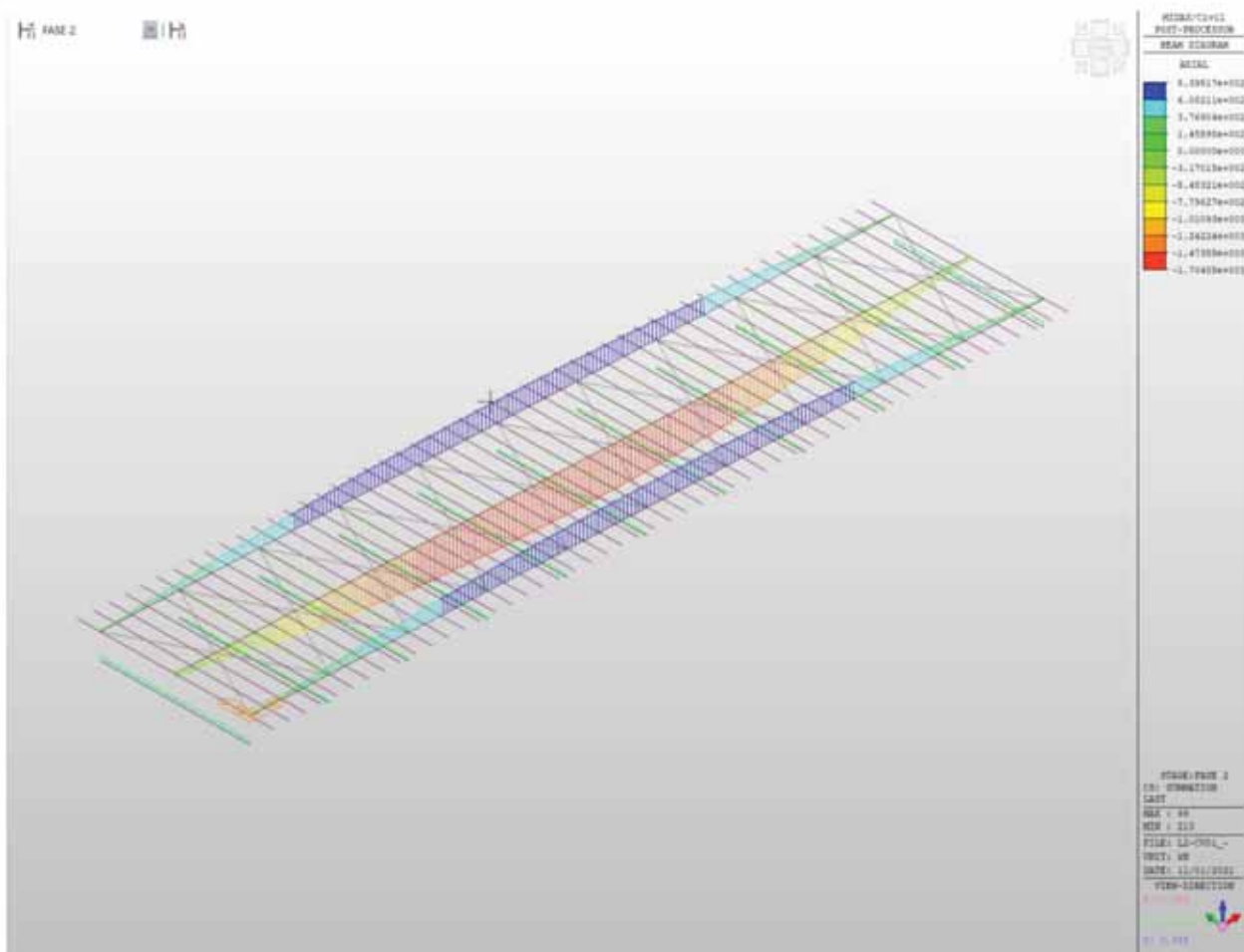


Figura 27 - Diagramma N - Fase 1

LOTTO 1 – CAVALCAVIA AL KM. 12+325 - RELAZIONE DI CALCOLO IMPALCATO



LOTTO 1 – CAVALCAVIA AL KM. 12+325 - RELAZIONE DI CALCOLO IMPALCATO

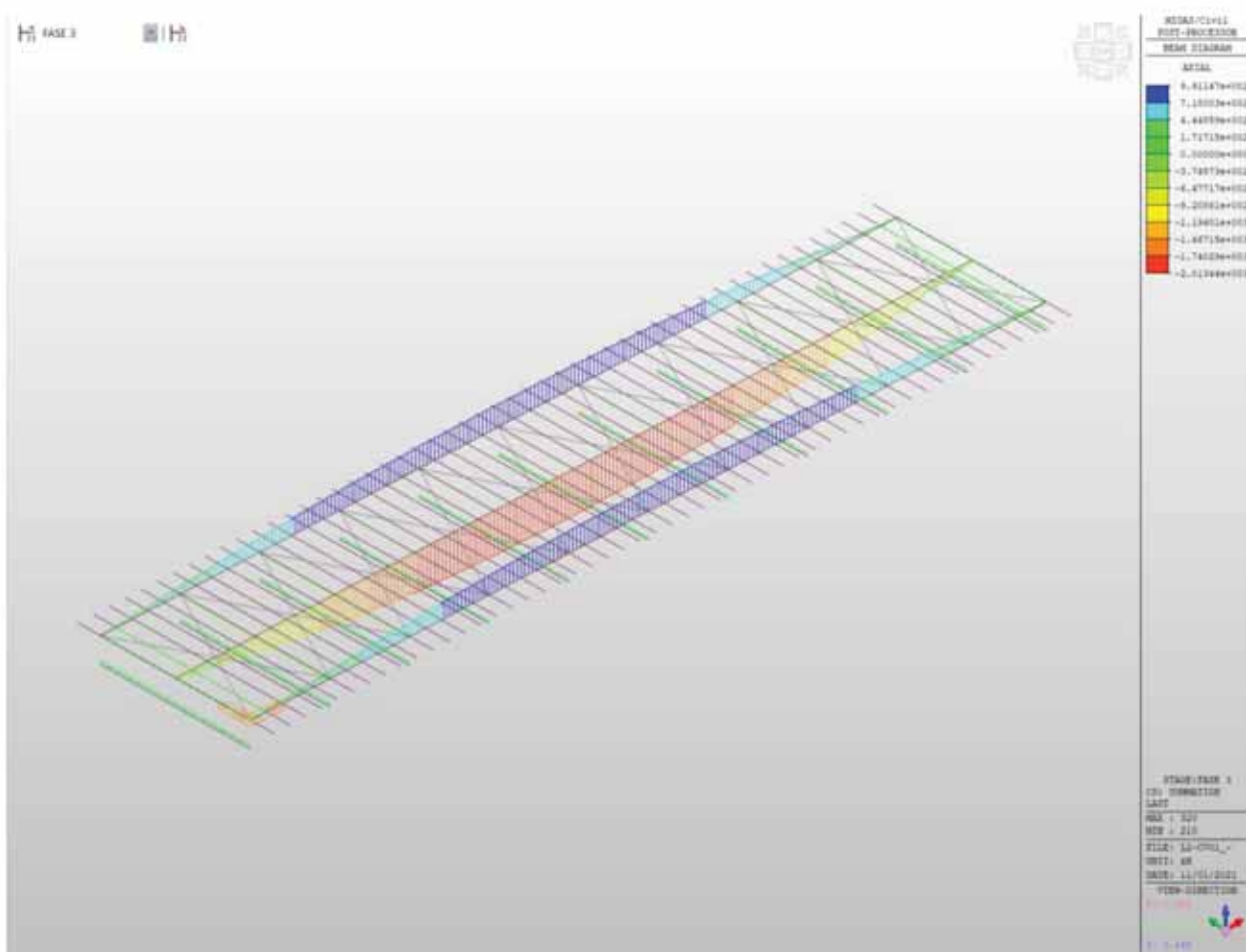


Figura 29 - Diagramma N - Fase 3

LOTTO 1 – CAVALCAVIA AL KM. 12+325 - RELAZIONE DI CALCOLO IMPALCATO

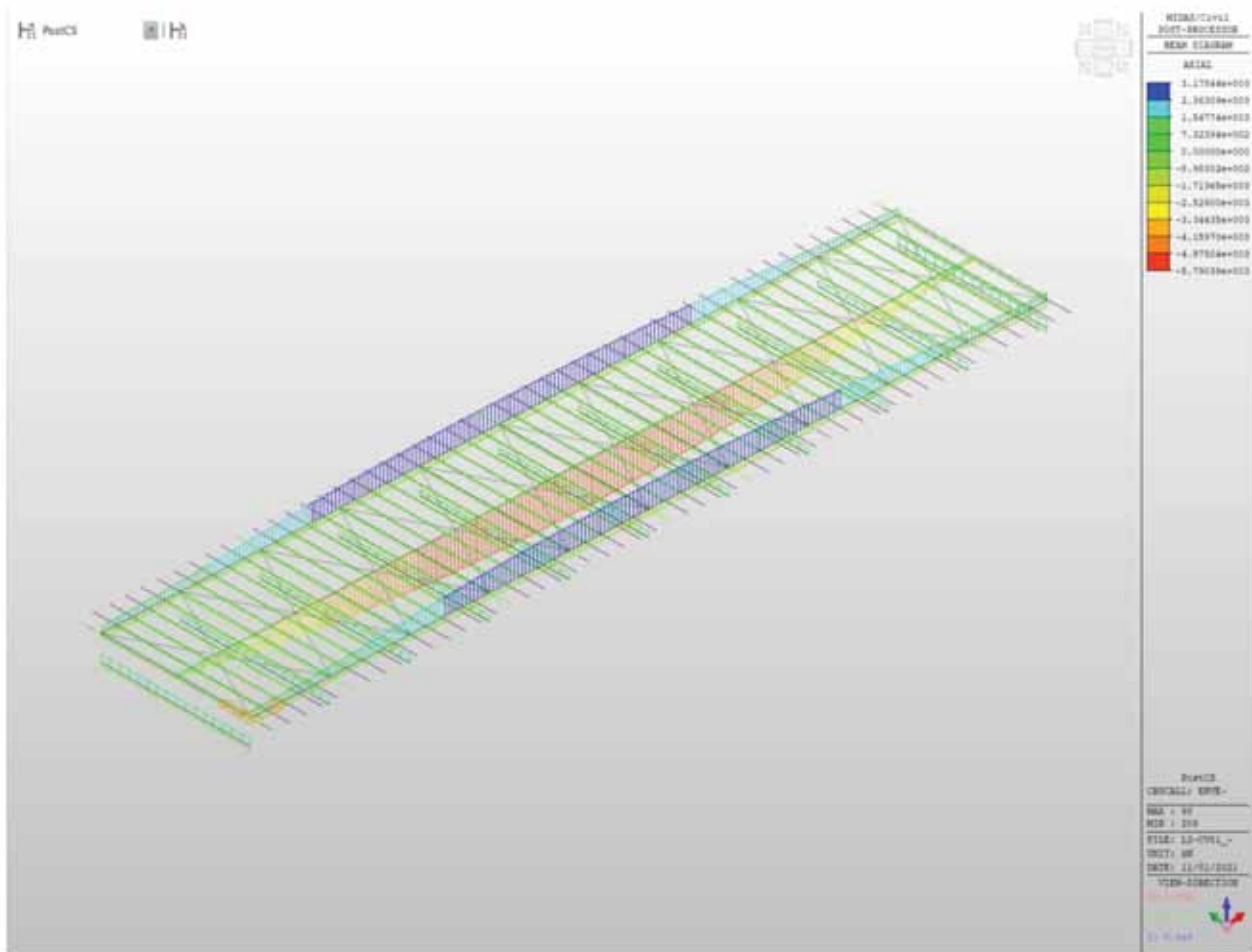


Figura 30 - Diagramma N - Inviluppo SLU-SLV

6.2.2 TRAVE PRINCIPALE CONCIO 1

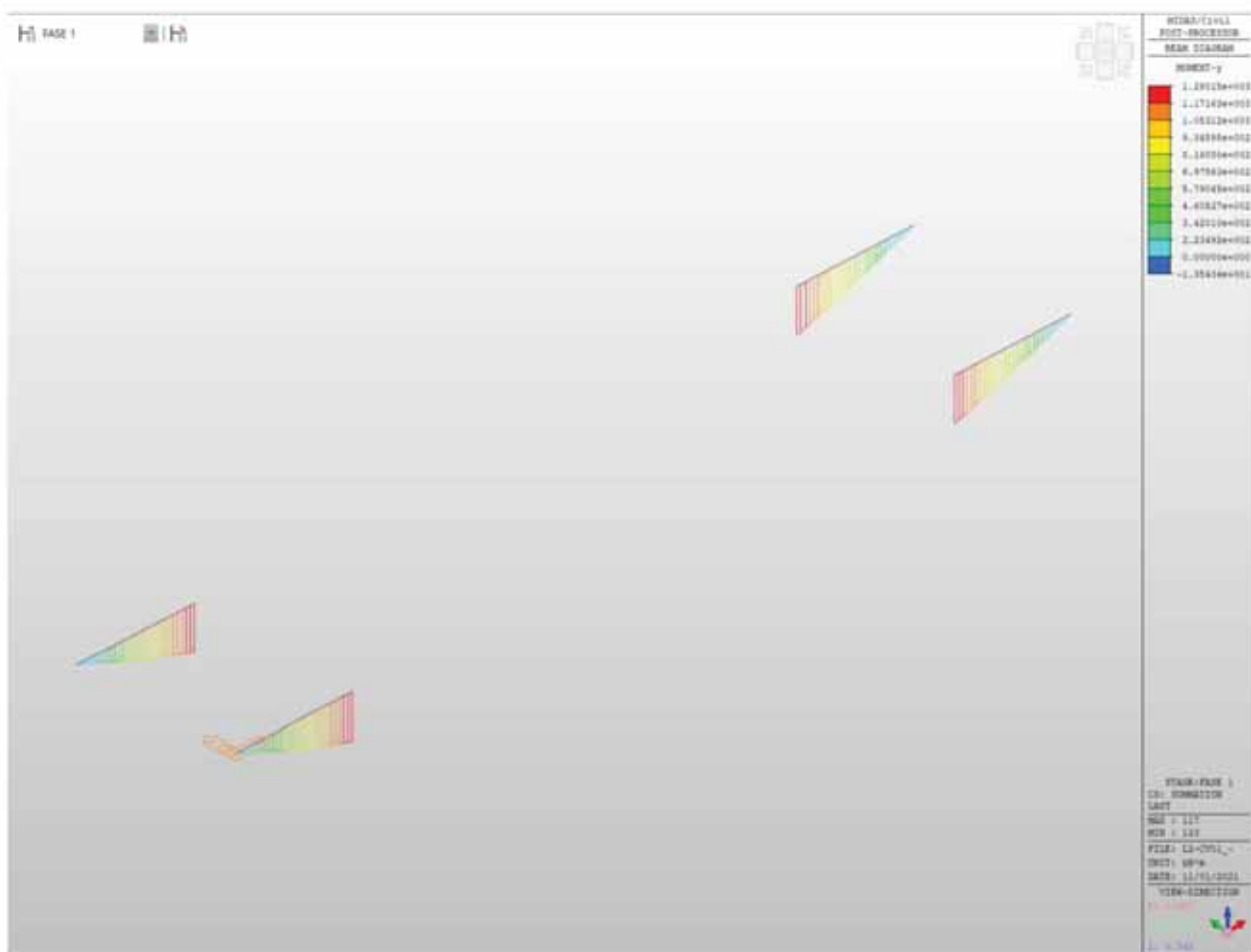


Figura 31 - Concio 1 - Diagramma My - Fase 1

LOTTO 1 – CAVALCAVIA AL KM. 12+325 - RELAZIONE DI CALCOLO IMPALCATO

Figura 32 - Concio 1 - Diagramma My - Fase 2

LOTTO 1 – CAVALCAVIA AL KM. 12+325 - RELAZIONE DI CALCOLO IMPALCATO

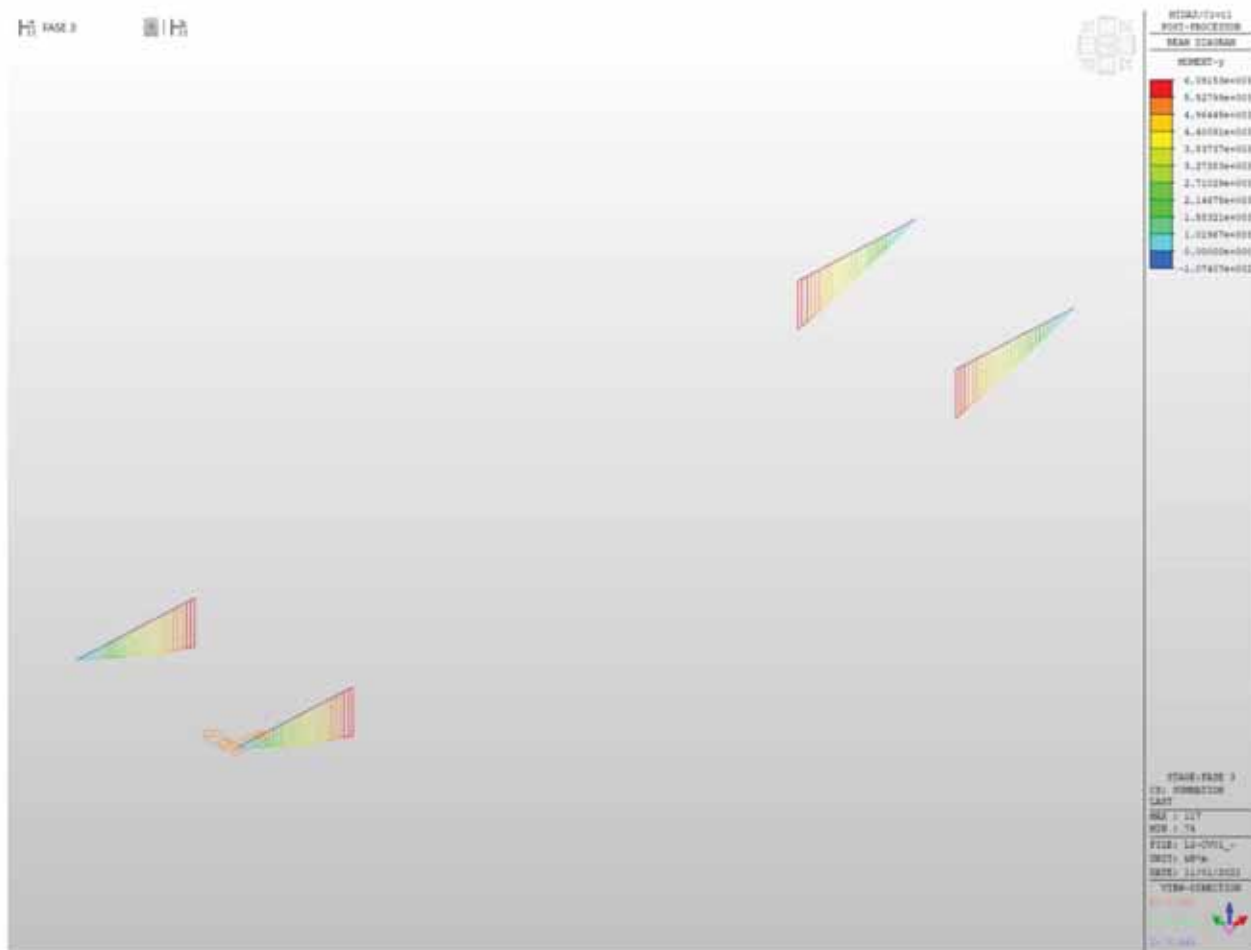


Figura 33 - Concio 1 - Diagramma My - Fase 3

LOTTO 1 – CAVALCAVIA AL KM. 12+325 - RELAZIONE DI CALCOLO IMPALCATO

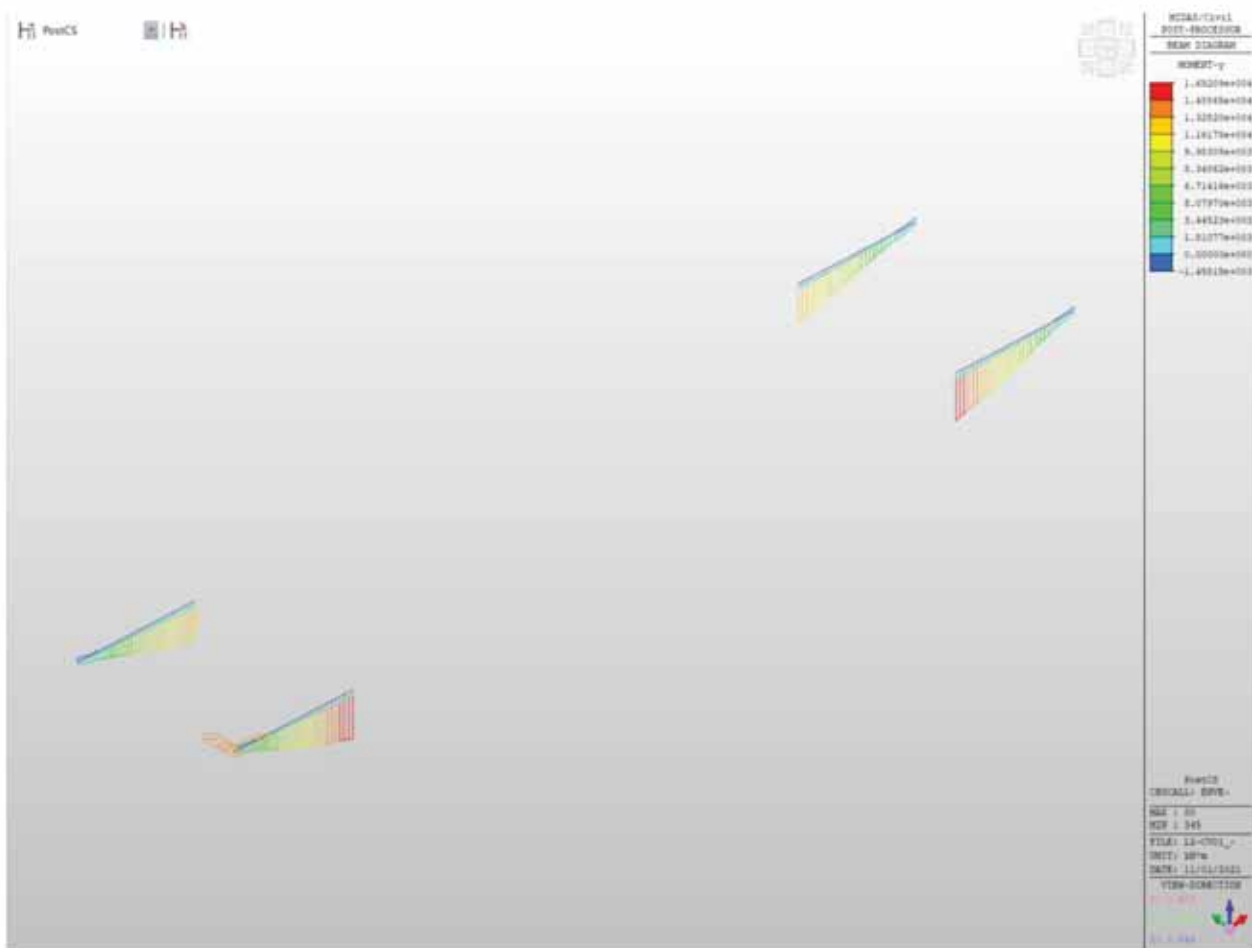


Figura 34 - Concio 1 - Diagramma My - Inviluppo SLU-SLV

LOTTO 1 – CAVALCAVIA AL KM. 12+325 - RELAZIONE DI CALCOLO IMPALCATO

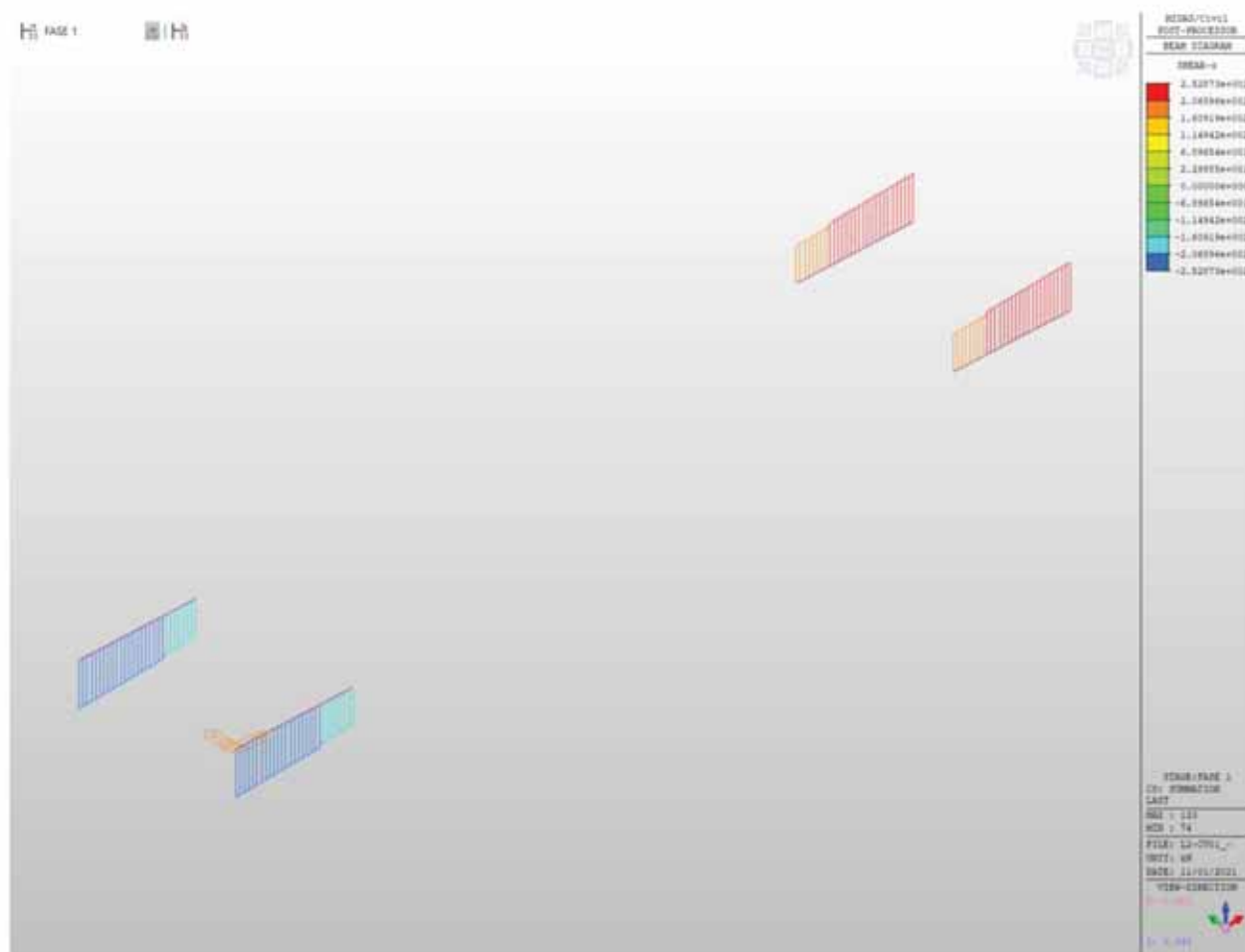


Figura 35 - Concio 1 - Diagramma Tz - Fase 1

LOTTO 1 – CAVALCAVIA AL KM. 12+325 - RELAZIONE DI CALCOLO IMPALCATO

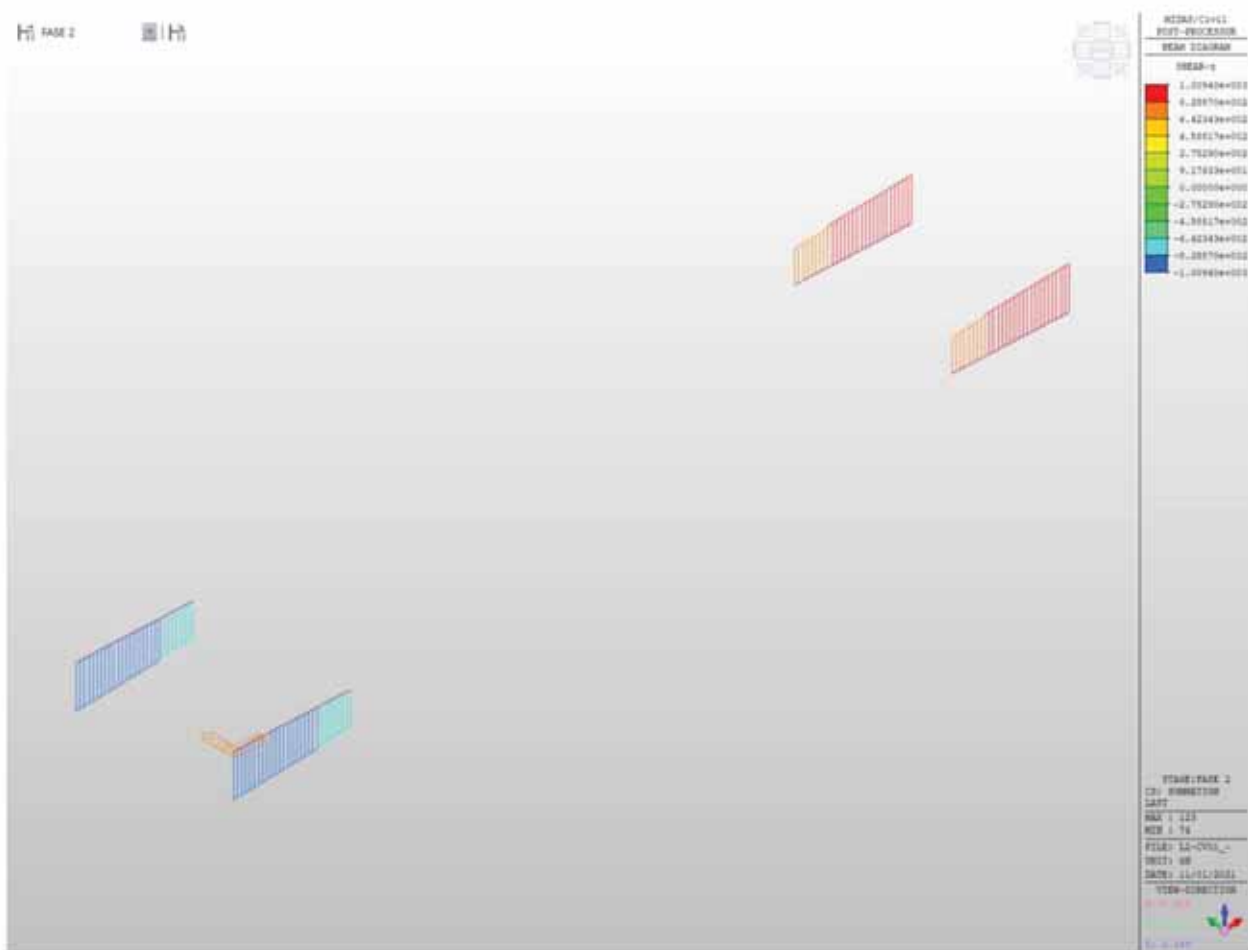
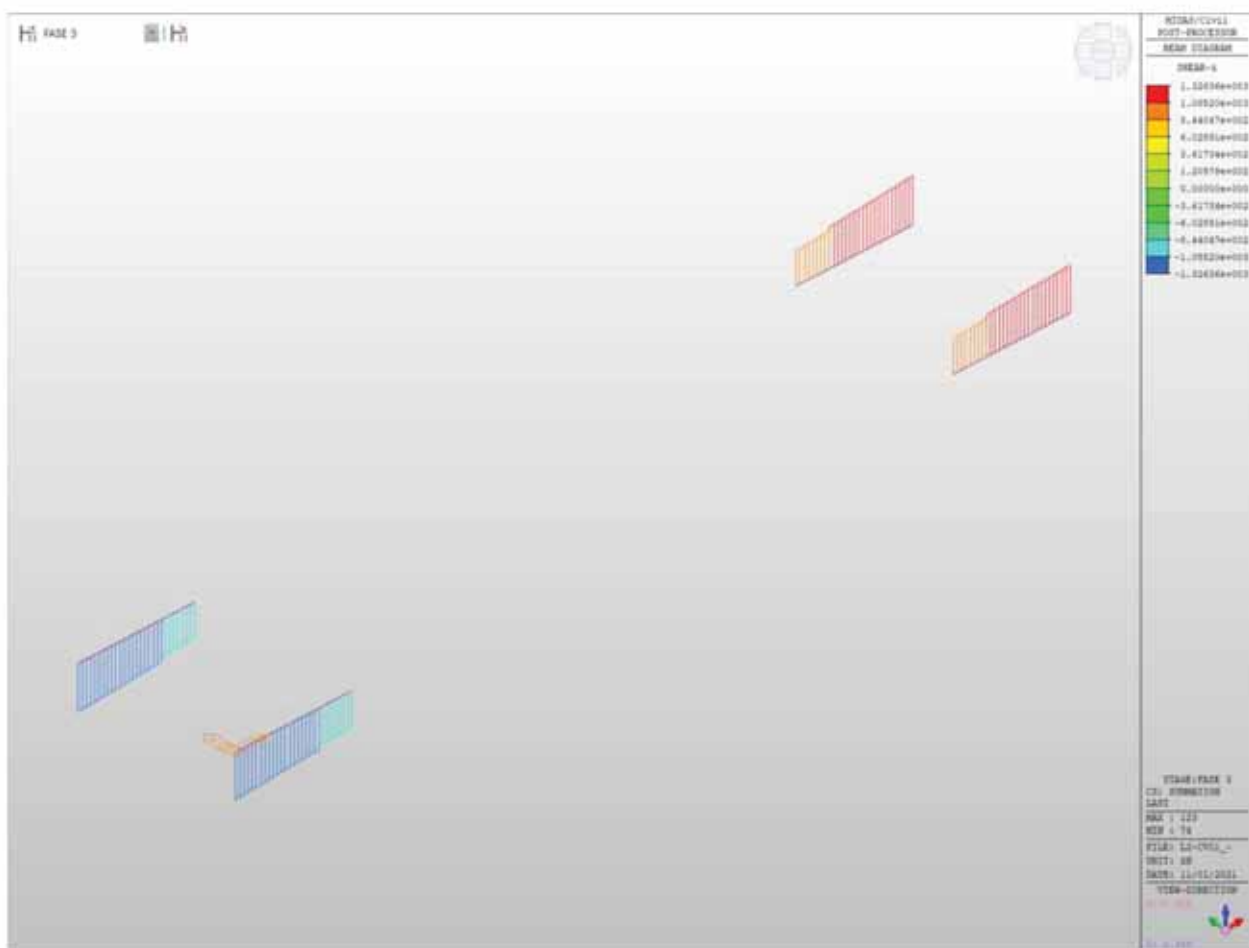


Figura 36 - Concio 1 - Diagramma Tz - Fase 2

LOTTO 1 – CAVALCAVIA AL KM. 12+325 - RELAZIONE DI CALCOLO IMPALCATO



LOTTO 1 – CAVALCAVIA AL KM. 12+325 - RELAZIONE DI CALCOLO IMPALCATO

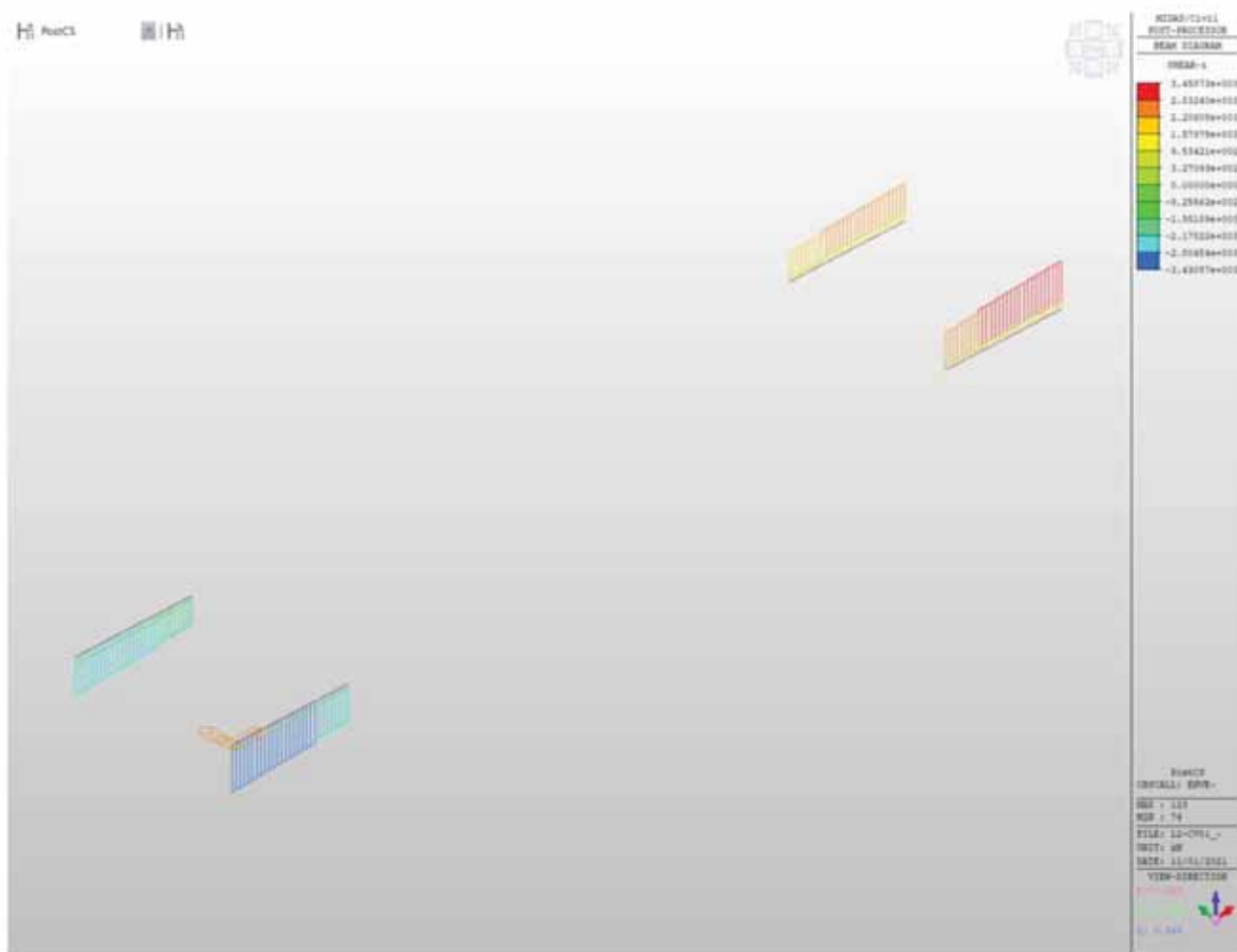


Figura 38 - Concio 1 - Diagramma Tz - Inviluppo SLU-SLV

LOTTO 1 – CAVALCAVIA AL KM. 12+325 - RELAZIONE DI CALCOLO IMPALCATO

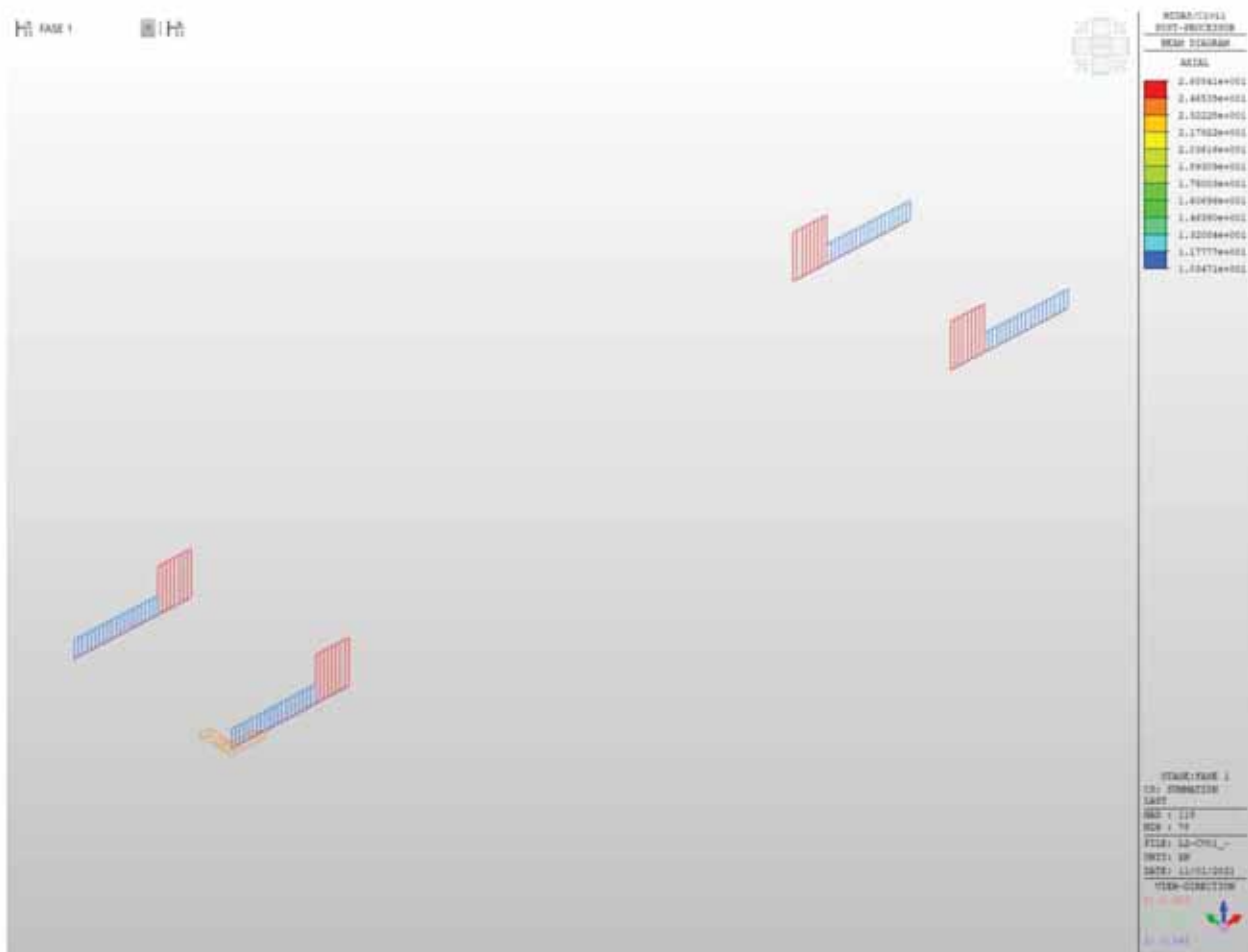


Figura 39 - Concio 1 - Diagramma N - Fase 1

LOTTO 1 – CAVALCAVIA AL KM. 12+325 - RELAZIONE DI CALCOLO IMPALCATO

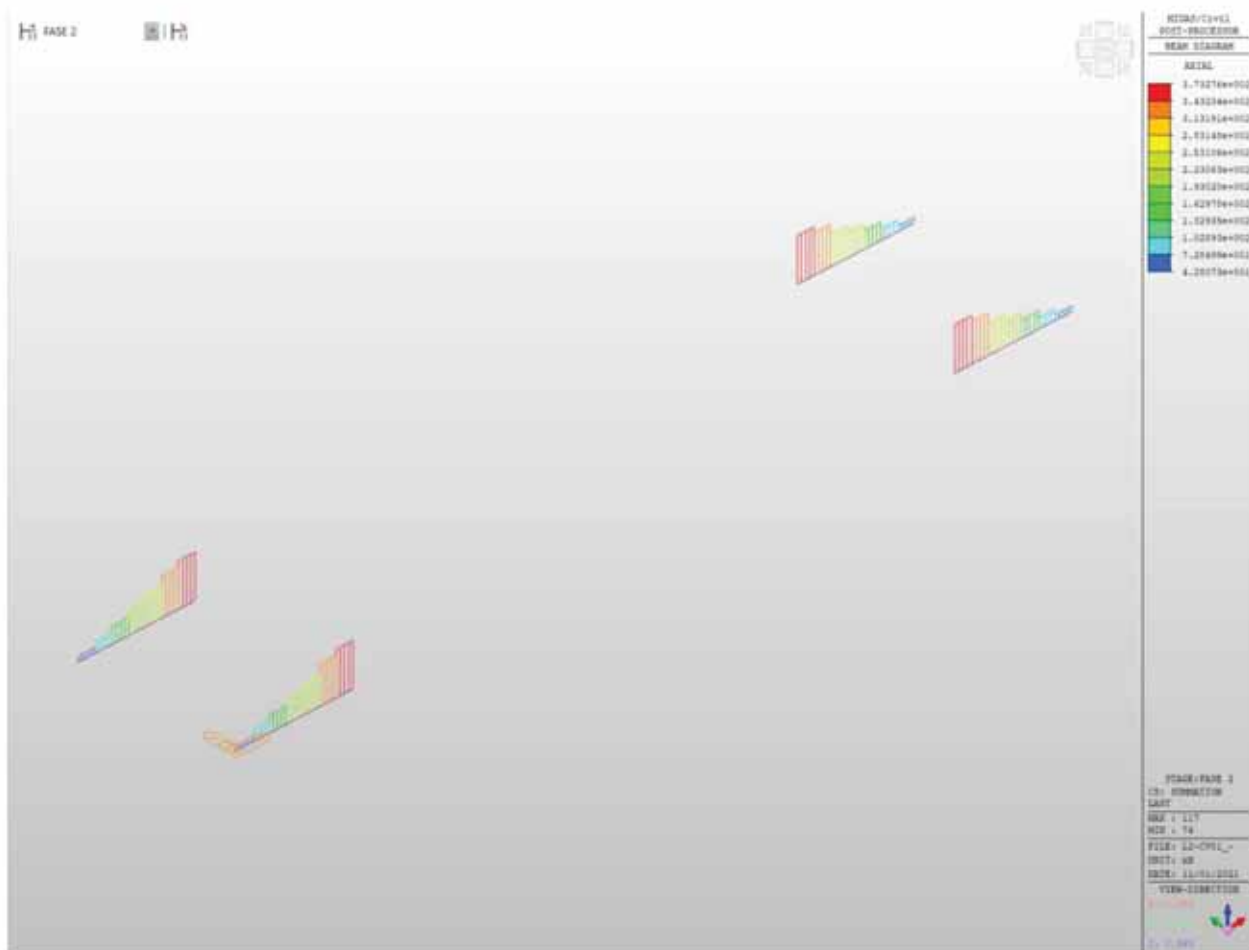


Figura 40 - Concio 1 - Diagramma N - Fase 2

LOTTO 1 – CAVALCAVIA AL KM. 12+325 - RELAZIONE DI CALCOLO IMPALCATO

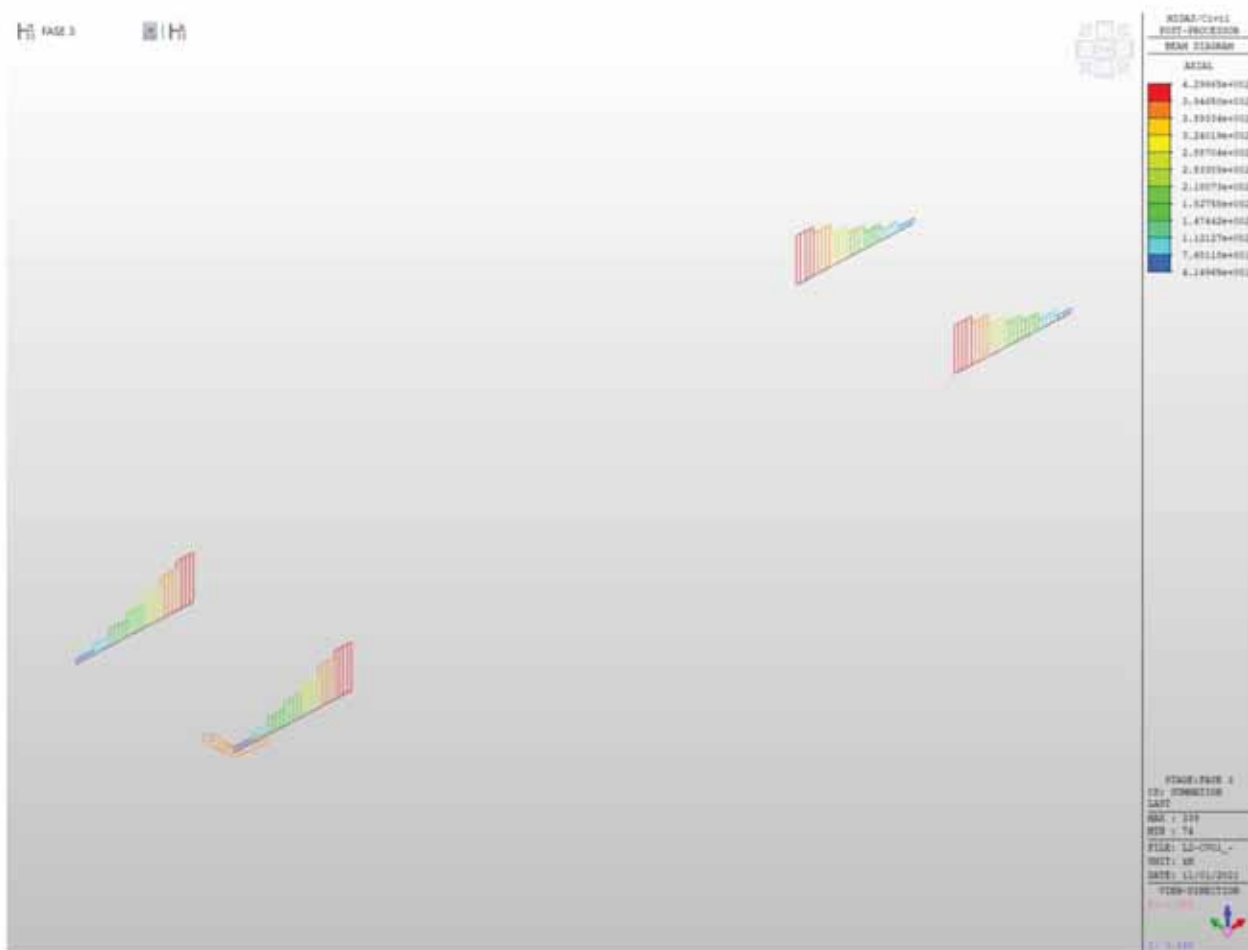


Figura 41 - Concio 1 - Diagramma N - Fase 3

LOTTO 1 – CAVALCAVIA AL KM. 12+325 - RELAZIONE DI CALCOLO IMPALCATO

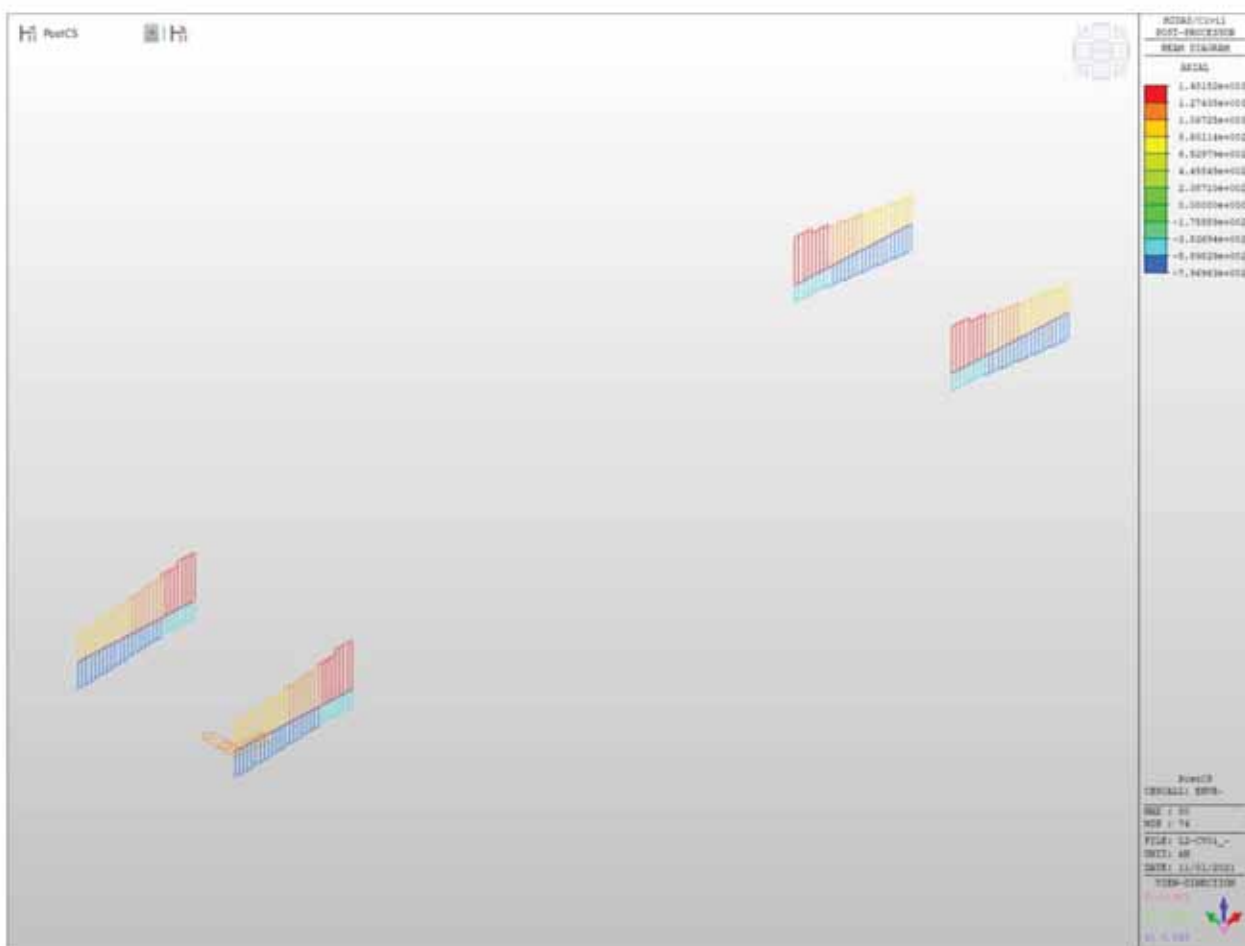


Figura 42 - Concio 1 - Diagramma N - Inviluppo SLU-SLV

LOTTO 1 – CAVALCAVIA AL KM. 12+325 - RELAZIONE DI CALCOLO IMPALCATO

VERIFICA SEZIONE IN ACCIAIO COMPOSTA

CARATTERISTICHE PROFILO:

Tipo: **S355**

B_{SUP} = **700** mm

$t_{t,SUP}$ = **20.0** mm

$A_{t,sup}$ = **14000.00** mm²

B_{INF} = **900** mm

$t_{t,INF}$ = **35.0** mm

$A_{t,inf}$ = **31500.00** mm²

H = **2000** mm

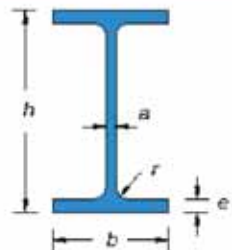
$t_w = a$ = **20.0** mm

A_w = **38900.00** mm²

L = **4100** mm

n. traversi: **1**

A_{TOT} = **84400.00** mm²



$y_{G,int}$ = **800.98** mm

$y_{G,sup}$ = **1199.02** mm

J_{yy} = **5.31E+10** mm⁴

J_t = **19915833** mm⁴

J_{zz} = **2699250000** mm⁴

J_{ts} = **1.069E+09** mm⁶

$W_{el,yy,int}$ = **66237129** mm³

$W_{el,yy,sup}$ = **44248630** mm³

$W_{pl,yy} =$ **61094067** mm³

$$W_{pl,xx} = 2 \left[\frac{t_w H^2}{8} + t_f (b - t_w) \frac{H - t_f}{2} + 2r^2 \left(\frac{H}{2} - t_f - \frac{r}{2} \right) - 2 \frac{\pi r^2}{4} \left(\frac{H}{2} - t_f + r + \frac{4r}{3\pi} \right) \right]$$

$\rho_y =$ **792.85** mm

$$\rho_{xx} = \sqrt{\frac{J_{xx}}{A}}$$

$\rho_z =$ **178.83** mm

Peso = **662.54** kg/m

E = **210000** N/mm²

modulo elastico

v = **0.3**

coeff. poisson

G = **80769** N/mm²

$$G = \frac{E}{2(1+\nu)}$$

modulo elasticità trasversale

α = **0.000012** °C⁻¹

coeff. espansione termica lineare

f_{yk} = **355** N/mm²

tensione snervamento caratteristica

f_u = **510** N/mm²

tensione rottura caratteristica

γ_{M0} = **1.05**

per sezioni classe 1,2,3 e 4

γ_{M1} = **1.05**

per instabilità membrature

γ_{M1} = **1.10**

per instabilità membrature ponti stradali e ferroviari

γ_{M2} = **1.25**

per sezioni tese indebolite dai fori nei riguardi della frattura

SOLLECITAZIONI:

$N_{t,sd}$ = **0** N caso per trave tesa

$N_{c,sd}$ = **374000** N caso per trave compressa

M_{sd} = **4638000000** Nmm caso per trave inflessa in una direzione

V_{sd} = **1001000** N taglio

Caso per trave a flessione deviata (Momenti flettenti agenti alle estremità $|M_B| < |M_A|$):

M_B = **3344000000** Nmm

M_A = **4638000000** Nmm

Valori del momento massimo e minimo dell'asta:

$M_{max,y,sd}$ = **0** Nmm

$M_{max,y,td}$ = **0** Nmm

$M_{max,z,td}$ = **0** Nmm

$M_{max,z,td}$ = **0** Nmm

LOTTO 1 – CAVALCAVIA AL KM. 12+325 - RELAZIONE DI CALCOLO IMPALCATO

CLASSE APPARTENENZA PROFILO (NTC2008, 4.2.3.1):					
ALA SUPERIORE		ALA INFERIORE		ANIMA	
$C/t_{l,sup} =$	17.00	$C/t_{l,inf} =$	12.57	$C/t_w =$	97.25
$\varepsilon =$	0.81	$\varepsilon =$	0.81	$\varepsilon =$	0.81
Curva di instabilità "b" (Asse yy):					
Fattore di imperfezione α :					
Curva di instabilità "c" (Asse zz):					
Fattore di imperfezione a :					

SOLLECITAZIONE DELL'ASTA A TAGLIO (NTC2008, 4.2.4.1.2):					
$\frac{V_{sd}}{V_{c,Rd}} \leq 1$					
Area taglio resistente:		$A_v =$	39450	mm^2	
$V_{c,Rd} = \frac{A_v f_{yk}}{\sqrt{3}\gamma_{M0}}$					
$V_{c,Rd} =$	7700615	N	=>	0.13	OK!(<1)
Verifica in presenza di torsione uniforme:					
$\tau_{t,ad} =$	0	N/mm^2			
$V_{c,Rd,red} = \left[1 - \frac{\tau_{t,ad}}{f_{yk}} \right] V_{c,Rd}$					
$V_{c,Rd,red} =$	7700615	N	=>	0.13	OK!(<1)
Verifica in termini tensionali nel punto più sollecitato:					
$\frac{\tau_{t,ad}}{f_{yk}} \leq 1$		=>	0.00	OK!(<1)	
$\sqrt{3}\gamma_{M0}$					

SOLLECITAZIONE DELL'ASTA A COMPRESSIONE SEMPLICE (NTC2008, 4.2.4.1.2):					
$\frac{N_{sd}}{N_{c,Rd}} \leq 1$	$N_{cr} = \frac{\pi^2 E J}{(\eta l)^2}$	332808521	N	$N_{c,ad} < 0,04 N_{cr}$	Instabilità trascurabile!
0.04 N _{cr} = 13312341 N Instabilità trascurabile se $\lambda < 0.2$					
Calcolo snellezza membrana (< di 200 per le travature principali e < di 250 per le secondarie):					
$\mu =$	1.00	$l_0 = \mu l =$	4100	mm	
$\lambda = l_0 / \rho =$	5				
Calcolo resistenza per sezioni in classe 1,2 e 3:					
$N_{c,Rd} = \frac{A f_{yk}}{\gamma_{M0}}$	$N_{c,Rd} =$	28535238	N	=>	0.01 OK!(<1)

LOTTO 1 – CAVALCAVIA AL KM. 12+325 - RELAZIONE DI CALCOLO IMPALCATO

STABILITÀ DELLE MEMBRATURE (NTC2008, 4.2.4.1.3):

Curva di instabilità "b" (Asse yy):

Fattore di imperfezione α : 0.49

Verifica per sezioni classe 1,2 e 3:

$$\bar{\lambda} = \sqrt{\frac{Af_{yk}}{N_{cr}}} \quad 0.30$$

$\bar{\lambda} > 0.2$
Serve verifica instabilità!

$$\Phi = 0.5 [1 + \alpha(\bar{\lambda} - 0.2) + \bar{\lambda}^2] \quad 0.57$$

$$\chi = \frac{1}{\Phi + \sqrt{\Phi^2 - \bar{\lambda}^2}} \quad 0.95$$

$$N_{b,Rd} = \frac{\chi Af_{yk}}{\gamma_{M1}} \quad 25852418 \quad N$$

$$\frac{N_{c,sd}}{N_{b,Rd}} \leq 1 \quad \Rightarrow \quad 0.01 \quad **OK!(<1)**$$

SOLLECITAZIONE DELL'ASTA A FLESSIONE MONOASSIALE RETTA (NTC2008, 4.2.4.1.2):

$$\frac{M_{sd}}{M_{c,Rd}} \leq 1$$

$$V_{sd} < 0,5 V_{c,Rd}$$

Il taglio non influisce sulla verifica a flessione!

$$\rho = \left[\frac{2V_{sd}}{V_{c,Rd}} - 1 \right]^2 \quad 0.54763 \quad f_{y,red} = (1 - \rho)f_{yk} \quad 161 \quad N/mm^2$$

$$f_{yk} = \quad 355 \quad N/mm^2$$

Calcolo resistenza elastica sezione linda, classe 3:

$$M_{el,Rd} = \frac{W_{el,min}f_{yk}}{\gamma_{M0}} \quad M_{c,Rd} = \quad 22394457943 \quad Nmm \quad \Rightarrow \quad 0.21 \quad **OK!(<1)**$$

$$\text{n. fori} = \quad \text{diametro} = \quad \text{mm}$$

$$\frac{0,9A_f net f_{ck}}{\gamma_{M2}} \geq \frac{A_f f_{yk}}{\gamma_{M0}} \quad **Non serve la verifica per la presenza dei fori!**$$

LOTTO 1 – CAVALCAVIA AL KM. 12+325 - RELAZIONE DI CALCOLO IMPALCATO

TRAVI INFLESSE (NTC2008, 4.2.4.1.3.2):					
Calcolo snellezza membrana (< di 200 per le travature principali e < di 250 per le secondarie):					
$\mu = 0.70$		$L_{cr} = L / \mu = 2870$	mm		
$W_{yy} = 66237129$	mm ³		$W_{yy} = 44248630$	mm ³	
$\psi = 1.75 - 1.05 \frac{M_B}{M_A} + 0.3 \left(\frac{M_B}{M_A} \right)^2$		9.77			
$M_{cr} = \psi \frac{\pi}{L_{cr}} \sqrt{EJ_y G J_T} \sqrt{1 + \left(\frac{\pi}{L_{cr}} \right)^2 \frac{EJ_{cr}}{G J_T}}$		1.433E+12	Nmm		0.003
$M_{cr}/M_{cr} = 0.003$				<i>Risulta < 0.16 Non serve la verifica instabilità</i>	
$\bar{\lambda}_{LT} = \sqrt{\frac{W_y f_y k}{M_{cr}}}$	0.10			<i>Risulta < 0.4 Non serve la verifica instabilità</i>	

Stabilità dei pannelli soggetti a taglio (NTC2008, 4.2.4.1.3.4.1):					
Se irrigiditori trasversali rigido o no,					
$I_{st} = 45000000$	mm ⁴	$0.75 h w t^3 = 5710886$	mm ⁴	<i>Irrigiditore Trasversali rigidi</i>	
Coefficiente minimo di instabilità per taglio del panello (In assenza di irrigiditori longitudinali),					
$a/hw = 2.05$		$k_t = 7.29$			
Coefficiente minimo di instabilità per taglio del panello (irrigiditori longitudinali più di due o $a/hw > 3$),					
$I_{st} = 0$	mm ⁴	$k_t = 0.00$			
$a/hw = 2.05$		$k_t = 7.29$			
Coefficiente minimo di instabilità per taglio del panello (irrigiditori longitudinali più di due o $a/hw < 3$),					
$I_{st} = 0$	mm ⁴	$a/hw = 2.05$		$k_t = 5.60$	
$k_t = 7.29$					
$\eta = 1.2$		$hw/t = 97.25$		<i>Serve la verifica di instabilità</i>	
$\sigma_E = 19$	MPa	$\tau_{cr} = 138.53$		$\lambda_w = 1.22$	
Montanti di appoggio rigidi,					
Gli altri casi,		$X_w = 0.71$			
		$X_w = 0.68$			
$V_{hw,Rd} = 5326791$	N				
Momento resistente sole piattabande,					
$y_{G,int} = 624.42$	mm		$y_{G,sup} = 1375.58$	mm	
$J_{yy} = 37714089022$	mm ⁴				
$W_{el,yy,int} = 60398295$	mm ³		$W_{el,yy,sup} = 27416925$	mm ³	
$M_{t,red} = 9044170614$	Nmm				
$bf = 243$	mm		$V_{tf,Rd} = 15499$	N	
$V_{h,Rd} = 5342290$	N	0.187	<i>OK!(<1)</i>		

LOTTO 1 – CAVALCAVIA AL KM. 12+325 - RELAZIONE DI CALCOLO IMPALCATO

Stabilità dei pannelli soggetti a Compressione (NTC2008, 4.2.4.1.3.4.1):						
Stress,						
$\sigma_{\text{sup}} =$	104.82	MPa				
$\sigma_{\text{inf}} =$	-70.02	MPa				
$\sigma_{\text{irr.}} =$	60.23	MPa				
Irrigidati su entrambi lati (Anima),						
b =	1945.0	mm	(Web bw)	a =	4100	mm
$\sigma_1 =$	104.8	(Max)		$\sigma_2 =$	-70.02	(Min)
$\psi =$	-0.7			$k\sigma =$	16.38	
$\lambda_p =$	1.0			$p =$	0.96	
$\sigma_{cr,p} =$	329.0	MPa		$\sigma_{cr,c} =$	4.516	MPa
$\zeta =$	1.0			$\lambda_c =$	8.866	
$\alpha =$	0.34			$\Phi =$	116.298	
$\chi_c =$	0.004					
$\rho_c =$	0.96					
beff =	1116.19	mm	be1 =	446.48	mm	be2 =
						669.71 mm
bt =	778.96	mm				
Irrigidati a un lato (Piattebande),						
Piattabanda Superiore,						
b =	340	mm	(Flange Sup)			
σ (Irr.) =	104.8			σ (Lib.) =	104.82	
$k\sigma =$	0.43					
$\lambda_p =$	1.1			$p =$	0.74	
beff =	251.37	mm		bt =	0	mm
Effective Section Properties,						
Ac,eff (Piattabanda Sup) =	10054.6	mm ²				
Ac,eff (Piattabanda Inf) =	31500.0	mm ²				
Ac,eff (Anima) =	22323.8	mm ²				
Ac (Anima tensione) =	15579.1	mm ²				
Ac,eff (Total) =	79457.6	mm ²				
$y_{g,inf} =$	733.1	mm	$y_{g,sup} =$	1266.9	mm	
Ieff =	4.85E+10	mm ⁴				
W _{eff} (inf) =	66191938	mm ³	W_{eff} (sup) =	38299518	mm ³	
e =	67.92	mm				
$\eta =$	0.36					

LOTTO 1 – CAVALCAVIA AL KM. 12+325 - RELAZIONE DI CALCOLO IMPALCATO

Fase 2

Soletta c.a.collaborante

$b_{eff} =$	3.34	m
Altezza soletta:	0.26	m
Area soletta:	0.87	m^2
$J_yy =$	0.00489	m^4
Peso =	21.71	kN/m

Trave acciaio

Area trave acciaio:	0.0844	m^2
H trave acciaio:	2.00	m
$y_c =$	0.801	m
$J_yy =$	0.053055	m^4
Peso =	6.63	kN/m

Barre armatura soletta

1° strato barre (superiore)	2° strato barre (inferiore)
n. Barre: 17	n. Barre: 17
Interasse: 0.20 m	Interasse: 0.20 m
Diametro: 0.02 m	Diametro: 0.02 m
Area: 0.005341 m^2	Area: 0.005341 m
$y_1 =$ 0.05 m	$y_2 =$ 0.21 m

n = 18.0

Coeff. omogeneizzazione con viscosità in atto

Materiali

cls	Barre armature		Acciaio	
$R_{ch} =$ 40 MPa	$f_{yk} =$ 450 MPa	$f_{yk} =$ 355 MPa		
$f_{ck} =$ 33.20 MPa	$\gamma_M =$ 1.15	$\gamma_M =$ 1.05		
$f_{cm} =$ 18.81 MPa	$f_{yd,s} =$ 391.30 MPa	$f_{yd,s} =$ 338.10 MPa		
$f_{cm} =$ 41.2 MPa				
$f_{cm} =$ 3.10 MPa				
$E_{cm} =$ 33643 MPa				

Caratteristiche geometriche

$A_{id} =$ 0.1433 m^2	Area sezione omogeneizzata in area di acciaio
$A_v =$ 39450 mm^2	Area taglio sezione di acciaio
$y_{G,H,id} =$ 1.35 m	Asse neutro rispetto lembo inferiore:
$y_{G,H,0,id} =$ 0.91 m	Asse neutro rispetto lembo superiore
$J_{id,id} =$ 0.114684 m^4	Momento d'inerzia sezione omogeneizzata ad acciaio
$W_{nt,id} =$ 0.085116 m^3	Modulo elastico sezione omogeneizzata ad acciaio
$W_{nt,0,id} =$ 0.125666 m^3	Modulo elastico sezione omogeneizzata ad acciaio

Sollecitazioni

$M_{eq} =$ 6092.00 kNm	(SLU)		
$M_{eq} =$ 28777.38 kNm	=>	0.21	ok!
$T_{ui} =$ 1326.00 kN	(SLU)		
$T_{ui} =$ 7333.92 kN	=>	0.18	ok!

Tensioni

$\sigma_c =$ 2.69 MPa	=>	0.14	ok!(<1)	Tensione al lembo superiore soletta
$\sigma_{s,so} =$ 45.82 MPa	=>	0.12	ok!(<1)	Tensione barre superiori soletta
$\sigma_{s,inf} =$ 37.32 MPa	=>	0.10	ok!(<1)	Tensione barre inferiori soletta
$\sigma_{s,up} =$ 34.67 MPa	=>	0.10	ok!(<1)	Tensione acciaio lembo superiore
$\sigma_{s,inf} =$ 71.57 MPa	=>	0.21	ok!(<1)	Tensione acciaio lembo inferiore

LOTTO 1 – CAVALCAVIA AL KM. 12+325 - RELAZIONE DI CALCOLO IMPALCATO

Fase 3

Soletta c.o.collaborante

b _{eff} =	3.34	m
Altezza soletta:	0.26	m
Area soletta:	0.87	m ²
J _{xx} =	0.00489	m ⁴
Peso =	21.71	kN/m

Trave acciaio

Area trave acciaio:	0.0844	m ²
H trave acciaio:	2.00	m
y ₀ =	0.801	m
J _{xx} =	0.053055	m ⁴
Peso =	6.63	kN/m

Barre armatura soletta

1° strato barre (superiore)	2° strato barre (inferiore)
n. Barre:	17
Interasse:	0.20 m
Diametro:	0.02 m
Area:	0.005341 m ²
y ₁ =	0.05 m
	y ₂ = 0.21 m

n = 6.2 Coeff. omogeneizzazione a tempo infinito

Materiali

cls	Barre armature		Acciaio	
R _{ex} = 40 MPa	f _{yk} = 450 MPa	γ _M = 1.15	f _{yk} = 355 MPa	γ _{Mo} = 1.05
f _{ex} = 33.20 MPa	γ _M = 1.15	f _{yk,s} = 391.30 MPa	γ _{Mo} = 1.05	f _{yk,s} = 338.10 MPa
f _{eo} = 18.81 MPa				
f _{cn} = 41.2 MPa				
f _{csm} = 3.10 MPa				
E _{cm} = 33643 MPa				

Caratteristiche geometriche

A _d = 0.2351 m ²	Area sezione omogeneizzata in area di acciaio
A _v = 39450 mm ²	Area taglio sezione di acciaio
y _{G,inf,d} = 1.65 m	Asse neutro rispetto lembo inferiore
y _{G,sup,d} = 0.61 m	Asse neutro rispetto lembo superiore
J _{xx,d} = 0.14948 m ⁴	Momento d'inerzia sezione omogeneizzata ad acciaio
W _{ref,d} = 0.090431 m ³	Modulo elastico sezione omogeneizzata ad acciaio
W _{ref0,d} = 0.246253 m ³	Modulo elastico sezione omogeneizzata ad acciaio

Sollecitazioni

M _{sd} = 16520.00 kNm	(SLU)		
M _{sd} = 30574.13 kNm	=>	0.54	ok!
T _{sd} = 3459.00 kN	(SLU)		
T _{sd} = 7333.92 kN	=>	0.47	ok!

Tensioni

σ _c = 10.82 MPa	=>	0.58	ok!(<1)	Tensione al lembo superiore soletta
σ _{s,superiori} = 61.56 MPa	=>	0.16	ok!(<1)	Tensione barre superiori soletta
σ _{s,inferiori} = 43.88 MPa	=>	0.11	ok!(<1)	Tensione barre inferiori soletta
σ _{a,sup} = 38.35 MPa	=>	0.11	ok!(<1)	Tensione acciaio lembo superiore
σ _{a,inferiori} = 182.68 MPa	=>	0.54	ok!(<1)	Tensione acciaio lembo inferiore

6.2.3 TRAVE PRINCIPALE CONCIO 2

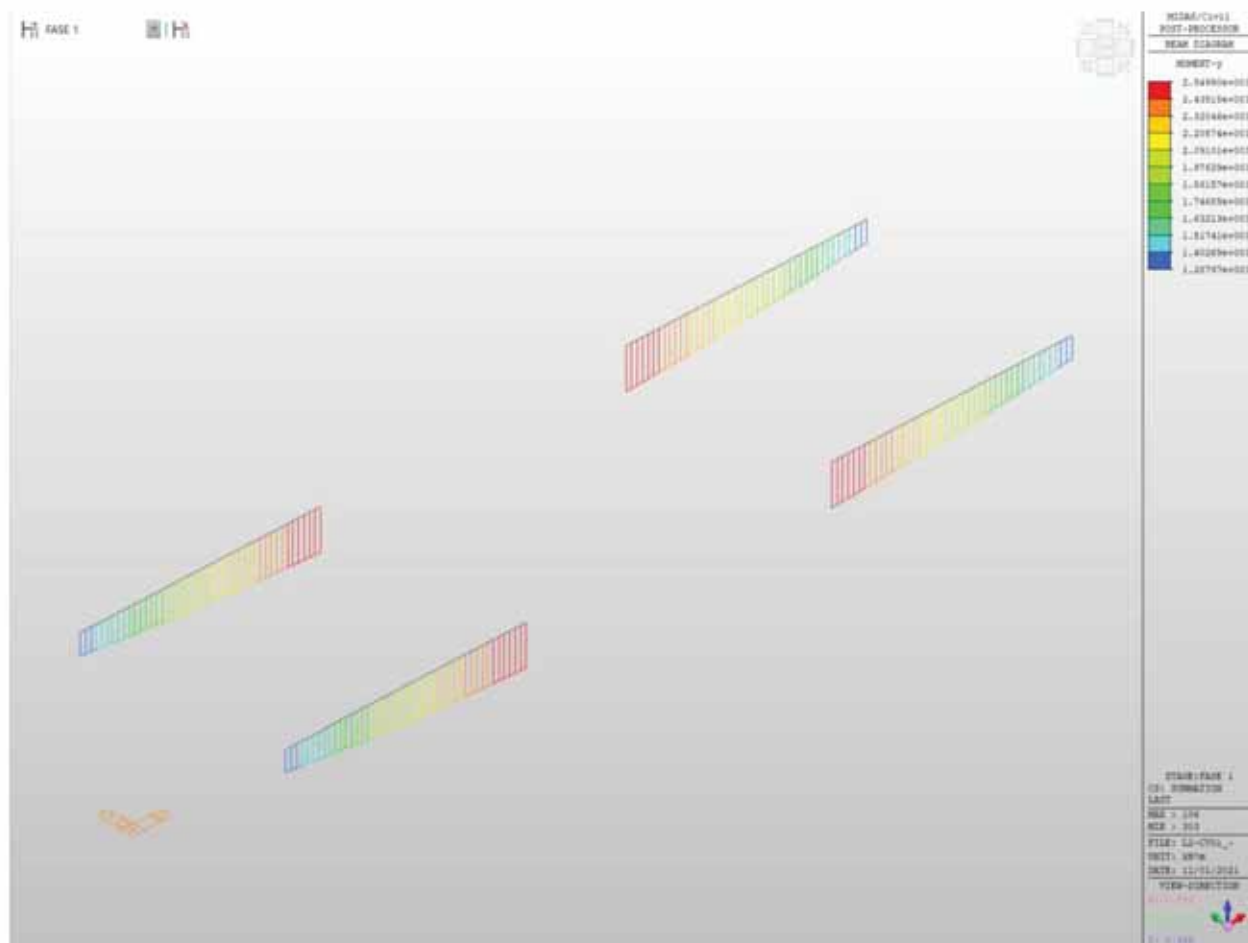


Figura 43 - Concio 2 - Diagramma My - Fase 1

LOTTO 1 – CAVALCAVIA AL KM. 12+325 - RELAZIONE DI CALCOLO IMPALCATO

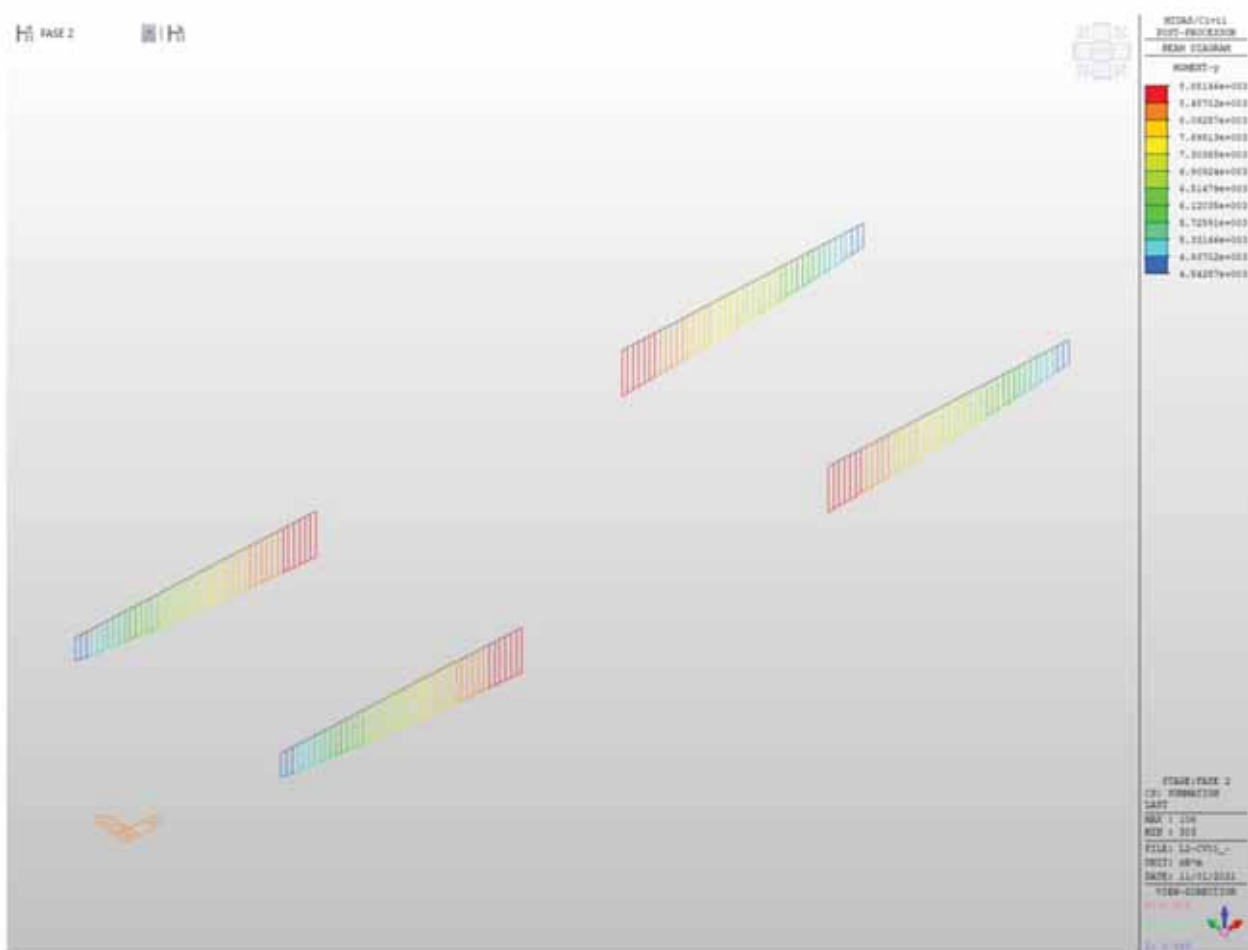


Figura 44 - Concio 2 - Diagramma My - Fase 2

LOTTO 1 – CAVALCAVIA AL KM. 12+325 - RELAZIONE DI CALCOLO IMPALCATO



Figura 45 - Concio 2 - Diagramma My - Fase 3

LOTTO 1 – CAVALCAVIA AL KM. 12+325 - RELAZIONE DI CALCOLO IMPALCATO

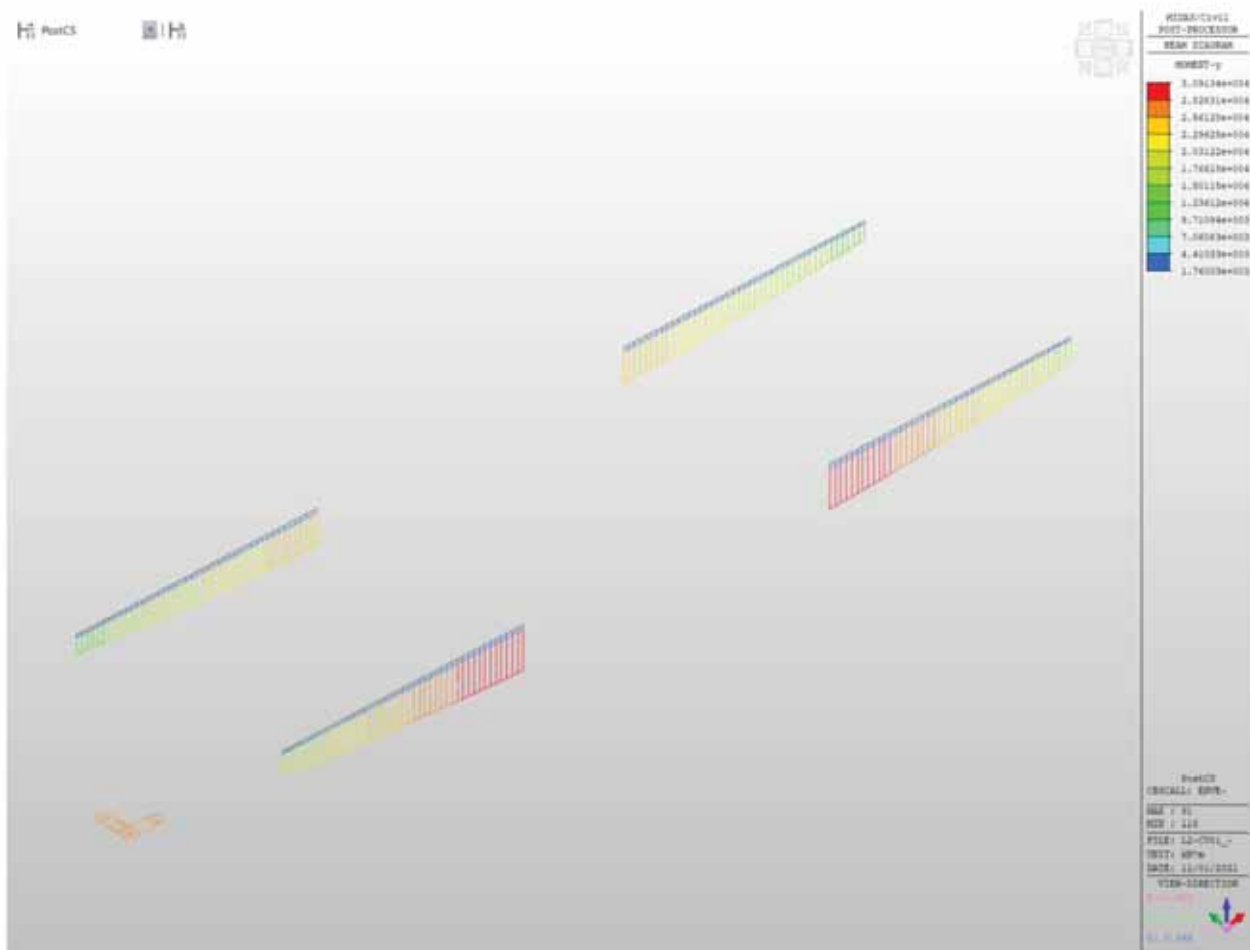


Figura 46 - Concreto 2 - Diagramma My - Inviluppo SLU-SLV

LOTTO 1 – CAVALCAVIA AL KM. 12+325 - RELAZIONE DI CALCOLO IMPALCATO

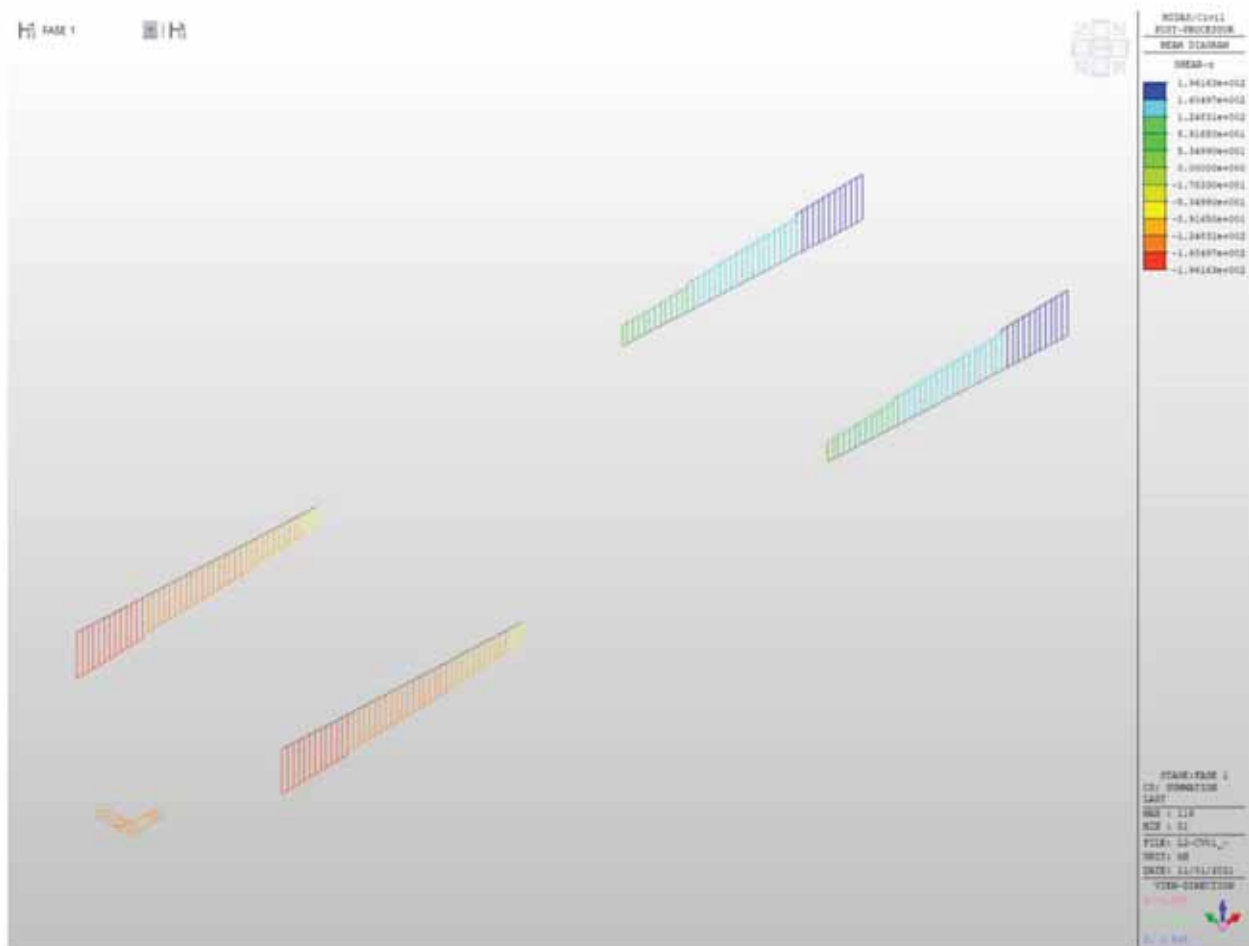


Figura 47 - Concreto 2 - Diagramma Tz - Fase 1

LOTTO 1 – CAVALCAVIA AL KM. 12+325 - RELAZIONE DI CALCOLO IMPALCATO

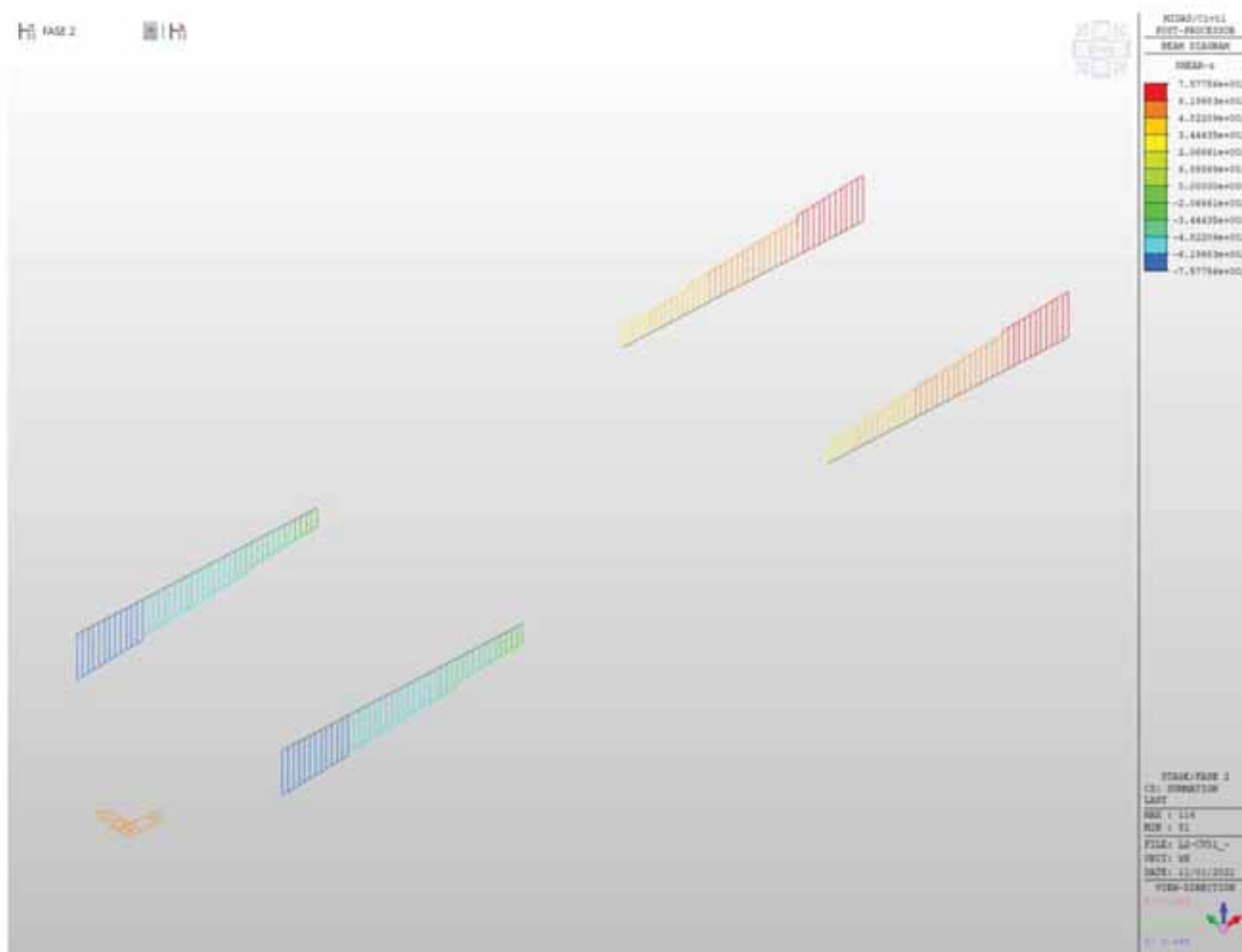


Figura 48 - Concio 2 - Diagramma Tz - Fase 2

LOTTO 1 – CAVALCAVIA AL KM. 12+325 - RELAZIONE DI CALCOLO IMPALCATO

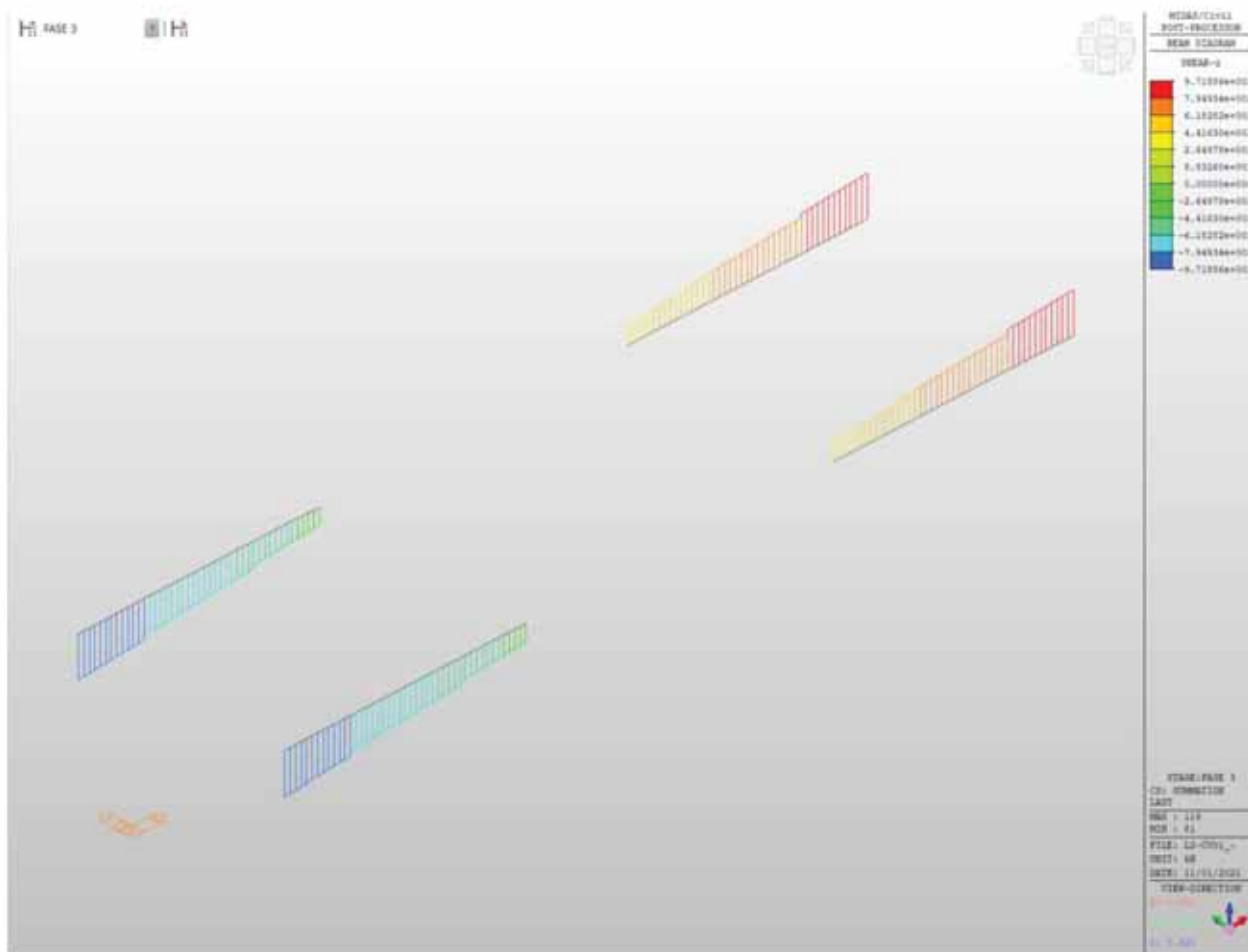


Figura 49 - Concio 2 - Diagramma Tz - Fase 3

LOTTO 1 – CAVALCAVIA AL KM. 12+325 - RELAZIONE DI CALCOLO IMPALCATO

Figura 50 - Concio 2 - Diagramma Tz - Inviluppo SLU-SLV

LOTTO 1 – CAVALCAVIA AL KM. 12+325 - RELAZIONE DI CALCOLO IMPALCATO

Figura 51 - Concio 2 - Diagramma N - Fase 1

LOTTO 1 – CAVALCAVIA AL KM. 12+325 - RELAZIONE DI CALCOLO IMPALCATO

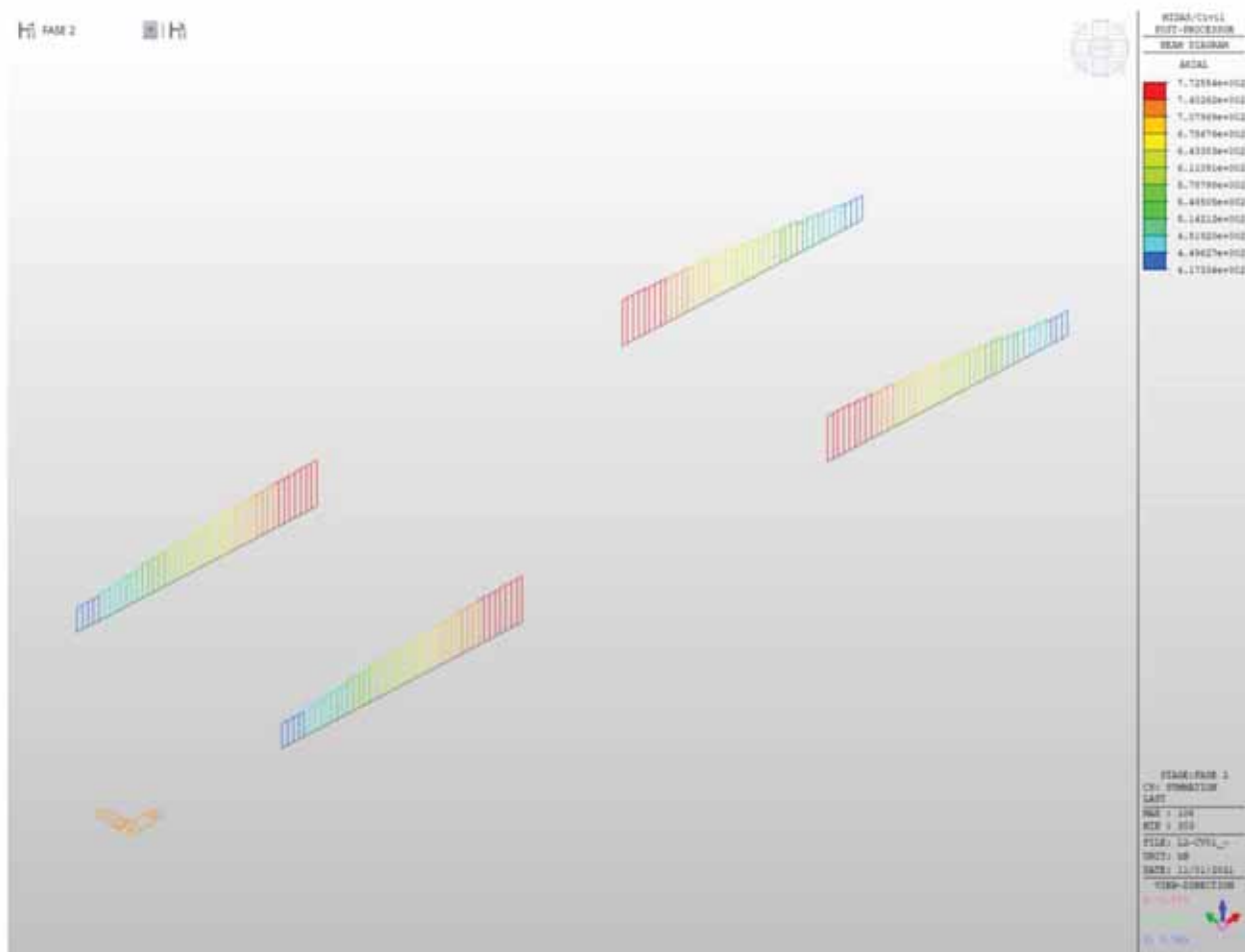


Figura 52 - Concio 2 - Diagramma N - Fase 2

LOTTO 1 – CAVALCAVIA AL KM. 12+325 - RELAZIONE DI CALCOLO IMPALCATO

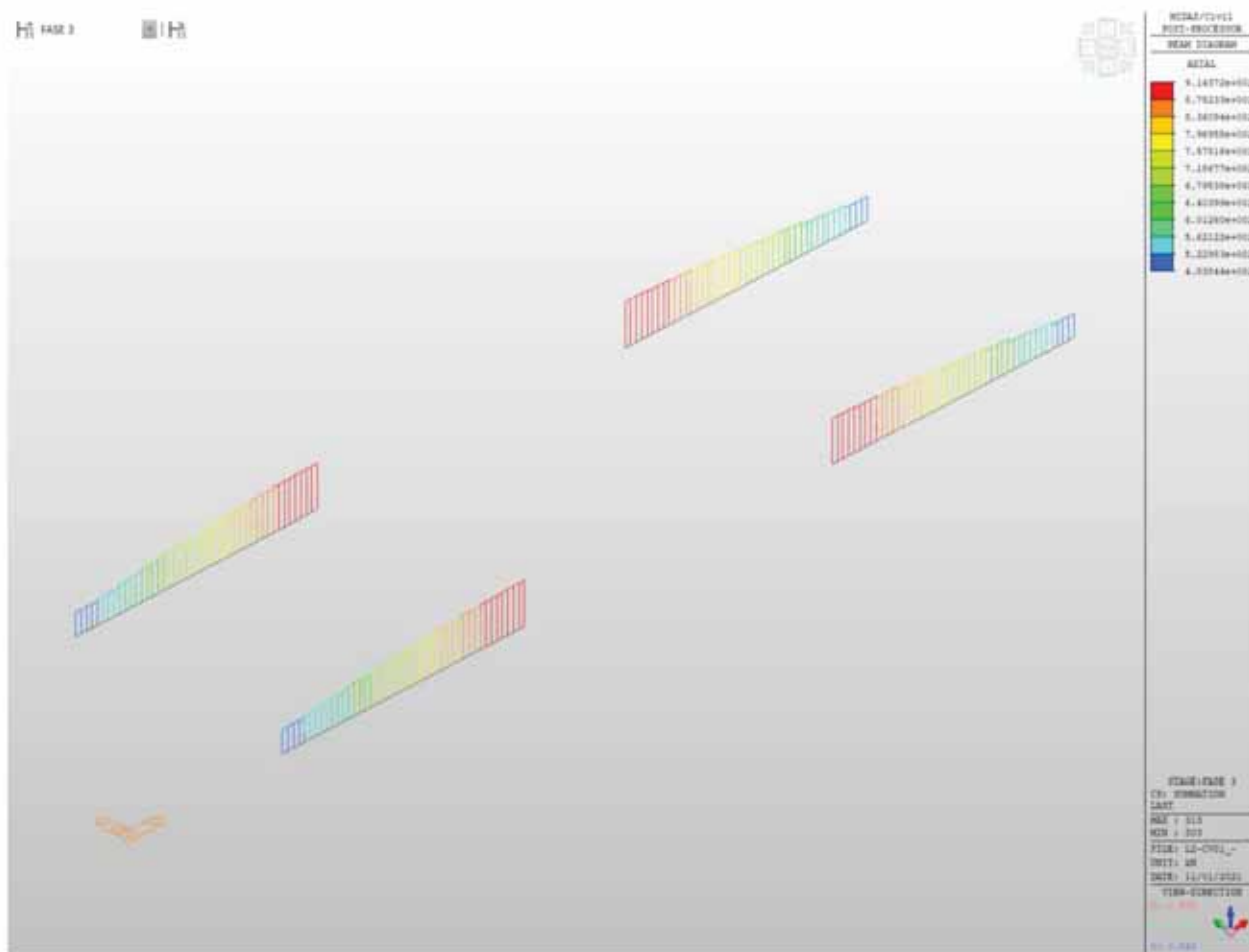


Figura 53 - Concio 2 - Diagramma N - Fase 3

LOTTO 1 – CAVALCAVIA AL KM. 12+325 - RELAZIONE DI CALCOLO IMPALCATO

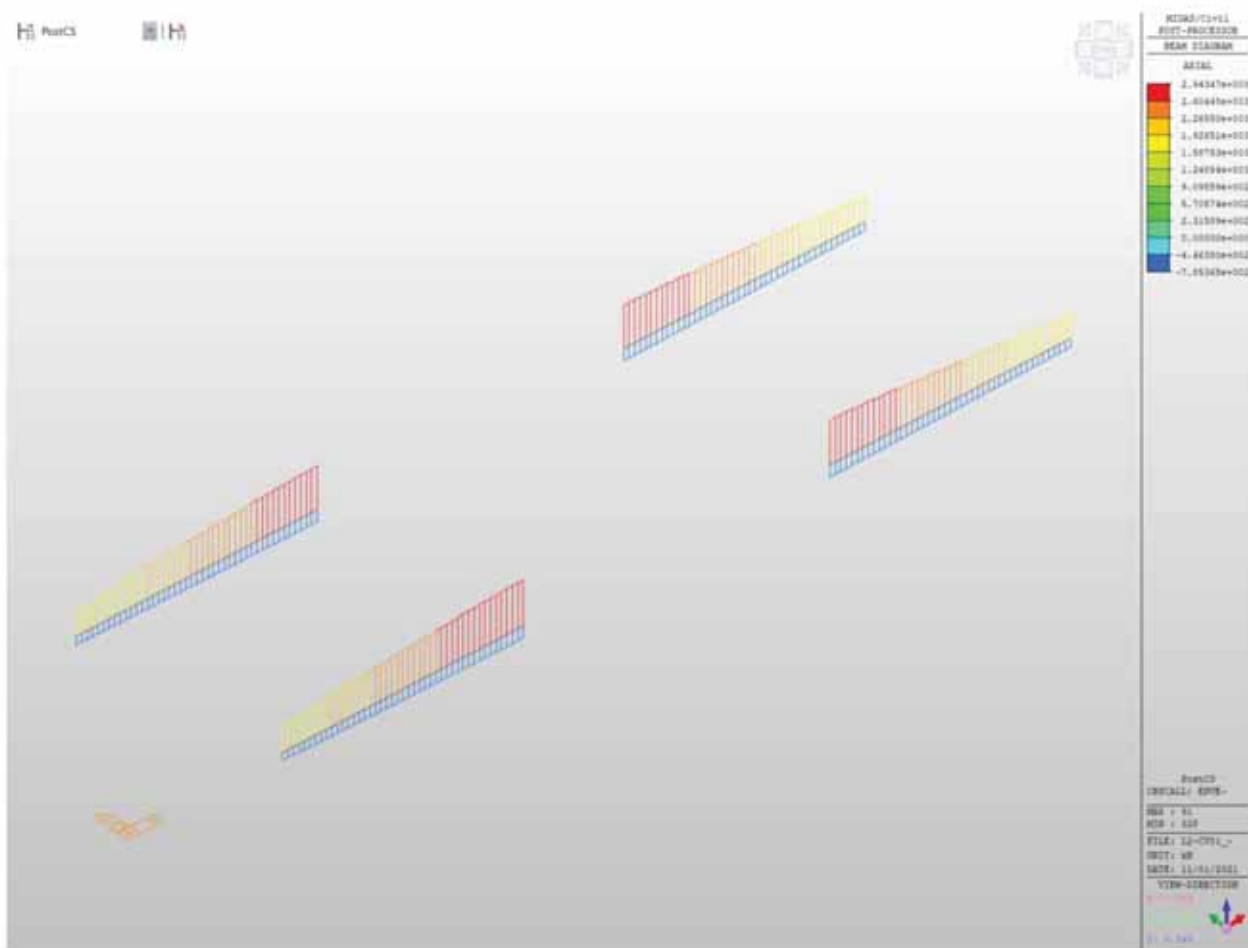


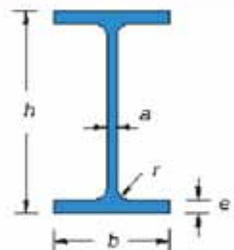
Figura 54 - Concio 2 - Diagramma N - Inviluppo SLU-SLV

LOTTO 1 – CAVALCAVIA AL KM. 12+325 - RELAZIONE DI CALCOLO IMPALCATO

VERIFICA SEZIONE IN ACCIAIO COMPOSTA

CARATTERISTICHE PROFILO:

Tipo:	S355	mm		
B _{SUP} =	700	mm		
t _{f,SUP} =	25.0	mm	A _{f,sup} =	17500.00 mm ²
B _{INF} =	1200	mm		
t _{f,INF} =	40.0	mm	A _{f,inf} =	48000.00 mm ²
H =	2000	mm		
t _w = a =	20.0	mm	A _w =	38700.00 mm ²
L =	4100	mm	n. traversi:	1
A _{TOT} =	104200.00	mm ²		
Y _{G,inf} =	717.19	mm	Y _{G,sup} =	1282.81 mm
J _{yy} =	6.69E+10	mm ⁴	J _t =	34405833 mm ⁴
J _{zz} =	6475916667	mm ⁴	J _o =	1.069E+09 mm ⁶
W _{eLyy,id} =	93301464	mm ³	W _{eLy,sup} =	52163063 mm ³
W _{pLxx} =	76102323	mm ³		
$W_{pLxx} = 2 \left[\frac{t_w H^2}{8} + t_f (b - t_w) \frac{H - t_f}{2} + 2r^2 \left(\frac{H}{2} - t_f - \frac{r}{2} \right) - 2 \frac{\pi r^2}{4} \left(\frac{H}{2} - t_f + r + \frac{4r}{3\pi} \right) \right]$				
P _{yy} =	801.36	mm	P _{xx} =	$\sqrt{\frac{J_{xx}}{A}}$
P _{zz} =	249.30	mm		
Peso =	817.97	kg/m		
E =	210000	N/mm ²	modulo elastico	
v =	0.3		coeff. poisson	
G =	80769	N/mm ²	$G = \frac{E}{2(1+v)}$	modulo elasticità trasversale
α =	0.000012	°C ⁻¹	coeff. espansione termica lineare	
f _{yk} =	355	N/mm ²	tensione snervamento caratteristica	
f _{tk} =	510	N/mm ²	tensione rottura caratteristica	
γ_{M0} =	1.05	per sezioni classe 1,2,3 e 4		
γ_{M1} =	1.05	per instabilità membrature		
γ_{M1} =	1.10	per instabilità membrature ponti stradali e ferroviari		
γ_{M2} =	1.25	per sezioni tese indebolite dai fori nei riguardi della frattura		



SOLLECITAZIONI:

N _{t,sd} =	0	N	caso per trave tesa
N _{c,sd} =	773000	N	caso per trave compressa
M _{sd} =	8882000000	Nmm	caso per trave inflessa in una direzione
V _{sd} =	758000	N	taglio

Caso per trave a flessione deviata (Momenti flettenti agenti alle estremità |M_b| < |M_a|):

$$M_b = 7247000000 \quad \text{Nmm} \quad M_a = 8882000000 \quad \text{Nmm}$$

Valori del momento massimo e minimo dell'asta:

$$\begin{aligned} M_{\max,y,sd} &= 0 \quad \text{Nmm} & M_{\max,y,sd} &= 0 \quad \text{Nmm} \\ M_{\max,z,sd} &= 0 \quad \text{Nmm} & M_{\max,z,sd} &= 0 \quad \text{Nmm} \end{aligned}$$

LOTTO 1 – CAVALCAVIA AL KM. 12+325 - RELAZIONE DI CALCOLO IMPALCATO

CLASSE APPARTENENZA PROFILO (NTC2008, 4.2.3.1):

ALA SUPERIORE	ALA INFERIORE	ANIMA	
$C/t_{f,sup} = 13.60$	$C/t_{f,inf} = 14.75$	$C/t_w = 96.75$	3
$\epsilon = 0.81$	$\epsilon = 0.81$	$\epsilon = 0.81$	

Curva di instabilità "b" (Asse yy):

Fattore di imperfezione α : 0.34

Curva di instabilità "c" (Asse zz):

Fattore di imperfezione a : 0.49

SOLLECITAZIONE DELL'ASTA A TAGLIO (NTC2008, 4.2.4.1.2):

$$\frac{V_{sd}}{V_{c,Rd}} \leq 1$$

Area taglio resistente: $A_v = 39350 \text{ mm}^2$

$$V_{c,Rd} = \frac{A_v f_{yk}}{\sqrt{3} \gamma_{M0}} \quad V_{c,Rd} = 7681095 \quad N \quad \Rightarrow \quad 0.10 \quad \text{OK!(<1)}$$

Verifica in presenza di torsione uniforme:

$$\tau_{t,sd} = 0 \text{ N/mm}^2$$

$$V_{c,Rd,red} = \left[1 - \frac{\tau_{t,sd}}{f_{yk}} \right] V_{c,Rd}$$

$$V_{c,Rd,red} = 7681095 \quad N \quad \Rightarrow \quad 0.10 \quad \text{OK!(<1)}$$

Verifica in termini tensionali nel punto più sollecitato:

$$\frac{\tau_{sd}}{f_{yk}} \leq 1 \quad \Rightarrow \quad 0.00 \quad \text{OK!(<1)}$$

SOLLECITAZIONE DELL'ASTA A COMPRESSIONE SEMPLICE (NTC2008, 4.2.4.1.2):

$$\frac{N_{sd}}{N_{c,Rd}} \leq 1 \quad N_{cr} = \frac{\pi^2 E J}{(n l)^2} = 798458922 \quad N \quad N_{c,sd} < 0.04 N_{cr}$$

Instabilità trascurabile!

$$0.04 N_{cr} = 31938357 \text{ N} \quad \text{Instabilità trascurabile se } \lambda < 0.2$$

Calcolo snellezza membrana (< di 200 per le travature principali e < di 250 per le secondarie):

$$\mu = 1.00 \quad I_0 = \mu l = 4100 \text{ mm}$$

$$\lambda = I_0 / \rho = 5$$

Calcolo resistenza per sezioni in classe 1,2 e 3:

$$N_{c,Rd} = \frac{A f_{yk}}{\gamma_{M0}} \quad N_{c,Rd} = 35229524 \quad N \quad \Rightarrow \quad 0.02 \quad \text{OK!(<1)}$$

LOTTO 1 – CAVALCAVIA AL KM. 12+325 - RELAZIONE DI CALCOLO IMPALCATO

STABILITÀ DELLE MEMBRATURE (NTC2008, 4.2.4.1.3):

Curva di instabilità "b" (Asse yy):

Fattore di imperfezione α : 0.49

Verifica per sezioni classe 1,2 e 3:

$$\bar{\lambda} = \sqrt{\frac{Af_{yk}}{N_{cr}}} \quad 0.22$$

$\bar{\lambda} > 0.2$
Serve verifica instabilità!

$$\Phi = 0.5 [1 + \alpha(\bar{\lambda} - 0.2) + \bar{\lambda}^2] \quad 0.53$$

$$\chi = \frac{1}{\Phi + \sqrt{\Phi^2 - \bar{\lambda}^2}} \quad 0.99$$

$$N_{b,Rd} = \frac{\chi Af_{yk}}{\gamma_{M1}} \quad 33367015 \quad N$$

$$\frac{N_{c,Rd}}{N_{b,Rd}} \leq 1 \quad \Rightarrow \quad 0.02 \quad **OK!(<1)**$$

SOLLECITAZIONE DELL'ASTA A FLESSIONE MONOASSIALE RETTA (NTC2008, 4.2.4.1.2):

$$\frac{M_{sd}}{M_{c,Rd}} \leq 1$$

$V_{sd} < 0.5 V_{c,Rd}$

Il taglio non influisce sulla verifica a flessione!

$$\rho = \left[\frac{2V_{sd}}{V_{c,Rd}} - 1 \right]^2 \quad 0.64422 \quad f_{yred} = (1 - \rho)f_{yk} \quad 126 \quad N/mm^2$$

$$f_{yk} = 355 \quad N/mm^2$$

Calcolo resistenza elastica sezione linda, classe 3:

$$M_{el,Rd} = \frac{W_{el,min} f_{yk}}{\gamma_{M0}} \quad M_{c,Rd} = 31544780628 \quad Nmm \quad \Rightarrow \quad 0.28 \quad **OK!(<1)**$$

n. fori = diametro = mm

$$\frac{0.9 A_f f_{net} f_{yk}}{\gamma_{M2}} \geq \frac{A_f f_{yk}}{\gamma_{M0}} \quad **Non serve la verifica per la presenza dei fori!**$$

TRAVI INFLESSE (NTC2008, 4.2.4.1.3.2):

Calcolo snellezza membrana (< di 200 per le travature principali e < di 250 per le secondarie):

$$\mu = 0.70 \quad L_{cr} = L/\mu = 2870 \quad mm$$

$$W_{yy} = 93301464 \quad mm^3 \quad W_{yy} = 52163063 \quad mm^3$$

$$\psi = 1.75 - 1.05 \frac{M_B}{M_A} + 0.3 \left(\frac{M_B}{M_A} \right)^2 \quad 13.15$$

$$M_{cr} = \frac{\pi}{L_{cr}} \sqrt{EJ_y G J_T} \sqrt{1 + \left(\frac{\pi}{L_{cr}} \right)^2 \frac{EJ_0}{GJ_T}} \quad 2.846E+12 \quad Nmm \quad 0.003$$

$$M_u/M_v = 0.003 \quad **Risulta < 0.16 Non serve la verifica instabilità**$$

$$\bar{\lambda}_{LT} = \sqrt{\frac{W_{yy} f_{yk}}{M_{cr}}} \quad 0.08 \quad **Risulta < 0.4 Non serve la verifica instabilità**$$

LOTTO 1 – CAVALCAVIA AL KM. 12+325 - RELAZIONE DI CALCOLO IMPALCATO

Stabilità dei pannelli soggetti a taglio (NTC2008, 4.2.4.1.3.4.1):

Se irrigiditori trasversali rigido o no,

$$I_{st} = 45000000 \text{ mm}^4 \quad 0.75hw^3 = 5710886 \text{ mm}^4 \quad \text{Irreggidoire Trasversali rigidi}$$

Coefficiente minimo di instabilità per taglio del panello (In assenza di irrigiditori longitudinali),

$$a/hw = 2.05 \quad k_t = 7.29$$

Coefficiente minimo di instabilità per taglio del panello (irrigiditori longitudinali più di due o $a/hw > 3$),

$$I_{sl} = 0 \text{ mm}^4 \quad k_{tl} = 0.00$$

$$a/hw = 2.05 \quad k_t = 7.29$$

Coefficiente minimo di instabilità per taglio del panello (irrigiditori longitudinali più di due o $a/hw < 3$),

$$I_{sl} = 0 \text{ mm}^4 \quad a/hw = 2.05 \quad k_t = 5.60$$

$$k_t = 7.29$$

$$\eta = 1.2 \quad hw/t = 96.75 \quad \text{Serve la verifica di instabilità}$$

$$\sigma_c = 19 \text{ MPa} \quad \tau_{cr} = 138.53 \quad \lambda_w = 1.22$$

$$\text{Montanti di appoggio rigidi, } X_w = 0.71$$

$$\text{Gli altri casi, } X_w = 0.68$$

$$V_{bw,Rd} = 5326791 \text{ N}$$

Momento resistente sole piattabande,

$$Y_{G,inf} = 545.67 \text{ mm} \quad Y_{G,sup} = 1454.33 \text{ mm}$$

$$J_{yy} = 49651391611 \text{ mm}^4$$

$$W_{el,yy,inf} = 90991953 \text{ mm}^3 \quad W_{el,yy,sup} = 34140340 \text{ mm}^3$$

$$M_{t,red} = 11139778375 \text{ Nmm}$$

$$bf = 303.75 \text{ mm} \quad V_{bf,Rd} = 12502 \text{ N}$$

$$V_{b,Rd} = 5339292 \text{ N} \quad 0.142 \quad \text{OK!(<1)}$$

LOTTO 1 – CAVALCAVIA AL KM. 12+325 - RELAZIONE DI CALCOLO IMPALCATO

Stabilità dei pannelli soggetti a Compressione (NTC2008, 4.2.4.1.3.4.1):						
Stress,						
$\sigma_{\text{sup}} =$	170.27	MPa				
$\sigma_{\text{inf}} =$	-95.20	MPa				
$\sigma_{\text{eff.}} =$	102.58	MPa				
Irrigidati su entrambi lati (Anima),						
b =	1935.0	mm	(Web bw)	a =	4100	mm
$\sigma_1 =$	170.3	(Max)		$\sigma_2 =$	-95.20	(Min)
$\psi =$	-0.6			$k\sigma =$	14.38	
$\lambda_p =$	1.1			$p =$	0.90	
$\sigma_{\text{cr},p} =$	292.0	MPa		$\sigma_{\text{cr},c} =$	4.516	MPa
$\zeta =$	1.0			$\lambda_c =$	8.866	
$\alpha =$	0.34			$\Phi =$	116.298	
$\chi_c =$	0.004					
$p_c =$	0.90					
beff =	1119.18	mm	be1 =	447.67	mm	be2 =
						671.51 mm
bt =	693.88	mm				
Irrigidati a un lato (Piatte bande),						
Piattabanda Superiore,						
b =	340	mm	(Flange Sup)			
σ (Irri.) =	170.3			σ (Lib.) =	170.27	
$k\sigma =$	0.43					
$\lambda_p =$	1.1			$p =$	0.74	
beff =	251.37	mm		bt =	0	mm
Effective Section Properties,						
Ac,eff (Piattabanda Sup) =	12568.3	mm ²				
Ac,eff (Piattabanda Inf) =	48000.0	mm ²				
Ac,eff (Anima) =	22383.5	mm ²				
Ac (Anima tensione) =	13877.7	mm ²				
Ac,eff (Total) =	96829.5	mm ²				
$y_{g,\text{inf}} =$	633.6	mm	$y_{g,\text{sup}} =$	1366.4	mm	
leff =	5.98E+10	mm ⁴				
W_{eff} (inf) =	94329960	mm ³	W_{eff} (sup) =	43743341	mm ³	
e =	83.57	mm				
$\eta =$	0.60					

LOTTO 1 – CAVALCAVIA AL KM. 12+325 - RELAZIONE DI CALCOLO IMPALCATO

Fase 2

Soletta c.a.collaborante

b_{eff} =	3.34	m
Altezza soletta:	0.26	m
Area soletta:	0.87	m^2
J_{yy} =	0.00489	m^4
Peso =	21.71	kN/m

Trave acciaio

Area trave acciaio:	0.1042	m^2
H trave acciaio:	2.00	m
y_G =	0.717	m
J_{yy} =	0.066915	m^4
Peso =	8.18	kN/m

Barre armatura soletta

1° strato barre (superiore)	2° strato barre (inferiore)
n. Barre: 17	n. Barre: 17
Interasse: 0.20 m	Interasse: 0.20 m
Diametro: 0.02 m	Diametro: 0.02 m
Area: 0.005341 m^2	Area: 0.005341 m
y_1 = 0.05 m	y_2 = 0.21 m

LOTTO 1 – CAVALCAVIA AL KM. 12+325 - RELAZIONE DI CALCOLO IMPALCATO

Fase 3

Soletta c.o. collaborante

b _{eff} =	3.34	m
Altezza soletta:	0.26	m
Area soletta:	0.87	m ²
J _{ex} =	0.00489	m ⁴
Peso =	21.71	kN/m

Trave acciaio

Area trave acciaio:	0.1042	m ²
H trave acciaio:	2.00	m
y ₀ =	0.717	m
J _{ex} =	0.066915	m ⁴
Peso =	8.18	kN/m

Barre armatura soletta

1° strato barre (superiore)	2° strato barre (inferiore)
n. Barre: 17	n. Barre: 17
Interasse: 0.20 m	Interasse: 0.20 m
Diametro: 0.02 m	Diametro: 0.02 m
Area: 0.005341 m ²	Area: 0.005341 m ²
y ₁ = 0.05 m	y ₂ = 0.21 m

1° strato barre (superiore)	2° strato barre (inferiore)
n. Barre: 17	n. Barre: 17
Interasse: 0.20 m	Interasse: 0.20 m
Diametro: 0.02 m	Diametro: 0.02 m
Area: 0.005341 m ²	Area: 0.005341 m ²
y ₁ = 0.05 m	y ₂ = 0.21 m

n = 6.2 Coeff. omogeneizzazione a tempo infinito

Materiali

cls	Barre armature		Acciaio	
R _{sk} = 40 MPa	f _{yk} = 450 MPa	f _{yk} = 355 MPa	f _{yk} = 355 MPa	
f _{ck} = 33.20 MPa	γ _M = 1.15	γ _{M0} = 1.05		
f _{ct} = 18.81 MPa	f _{yd,1} = 391.30 MPa	f _{yd,1} = 338.10 MPa		
f _{cn} = 41.2 MPa				
f _{cm} = 3.10 MPa				
E _{cm} = 33643 MPa				

Caratteristiche geometriche

A _e = 0.2549 m ²	Area sezione omogeneizzata in area di acciaio
A _v = 39350 mm ²	Area taglio sezione di acciaio
y _{0,int,u} = 1.55 m	Asse neutro rispetto lembo inferiore:
y _{0,int,d,u} = 0.71 m	Asse neutro rispetto lembo superiore
J _{el,cl} = 0.190752 m ⁴	Momento d'inerzia sezione omogeneizzata ad acciaio
W _{int,cl} = 0.122862 m ³	Modulo elastico sezione omogeneizzata ad acciaio
W _{sup,cl} = 0.269639 m ³	Modulo elastico sezione omogeneizzata ad acciaio

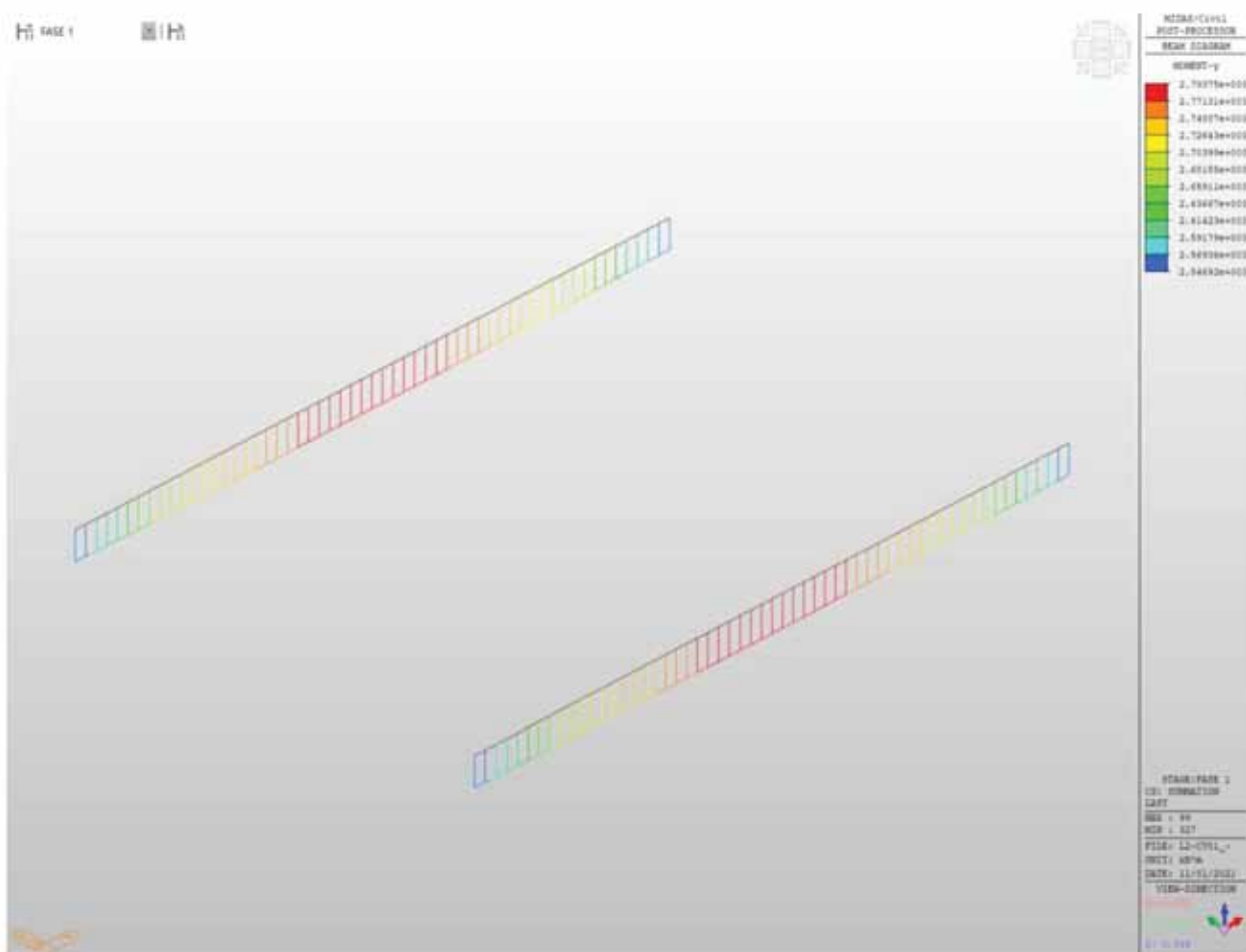
Sollecitazioni

M _{sd} = 30913.00 kNm	(SLU)		
M _{rd} = 41539.10 kNm	=>	0.74	ok!
T _{sd} = 2645.00 kN	(SLU)		
T _{rd} = 7315.33 kN	=>	0.36	ok!

Tensioni

σ _c = 18.49 MPa	⇒ 0.98	ok!(<1)	Tensione al lembo superiore soletta
σ _{s,u,0} = 106.54 MPa	⇒ 0.27	ok!(<1)	Tensione barre superiori soletta
σ _{s,inf} = 80.61 MPa	⇒ 0.21	ok!(<1)	Tensione barre inferiori soletta
σ _{a,s,0} = 72.51 MPa	⇒ 0.21	ok!(<1)	Tensione acciaio lembo superiore
σ _{a,inf} = 251.61 MPa	⇒ 0.74	ok!(<1)	Tensione acciaio lembo inferiore

6.2.4 TRAVE PRINCIPALE CONCIO 3



LOTTO 1 – CAVALCAVIA AL KM. 12+325 - RELAZIONE DI CALCOLO IMPALCATO

Figura 56 - Concio 3 - Diagramma My - Fase 2

LOTTO 1 – CAVALCAVIA AL KM. 12+325 - RELAZIONE DI CALCOLO IMPALCATO

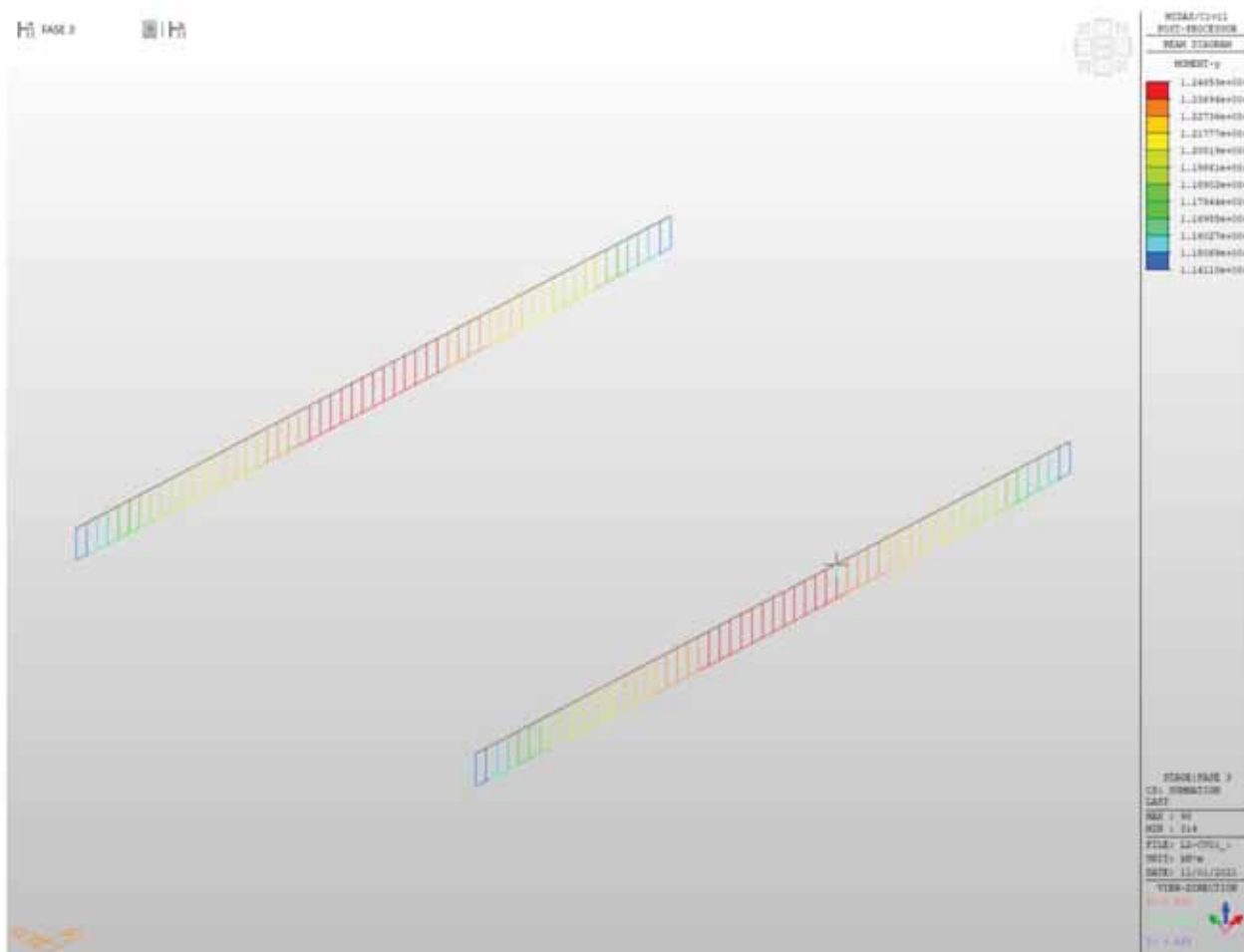


Figura 57 - Concio 3 - Diagramma My - Fase 3

LOTTO 1 – CAVALCAVIA AL KM. 12+325 - RELAZIONE DI CALCOLO IMPALCATO



Figura 58 - Concio 3 - Diagramma My - Inviluppo SLU-SLV

LOTTO 1 – CAVALCAVIA AL KM. 12+325 - RELAZIONE DI CALCOLO IMPALCATO

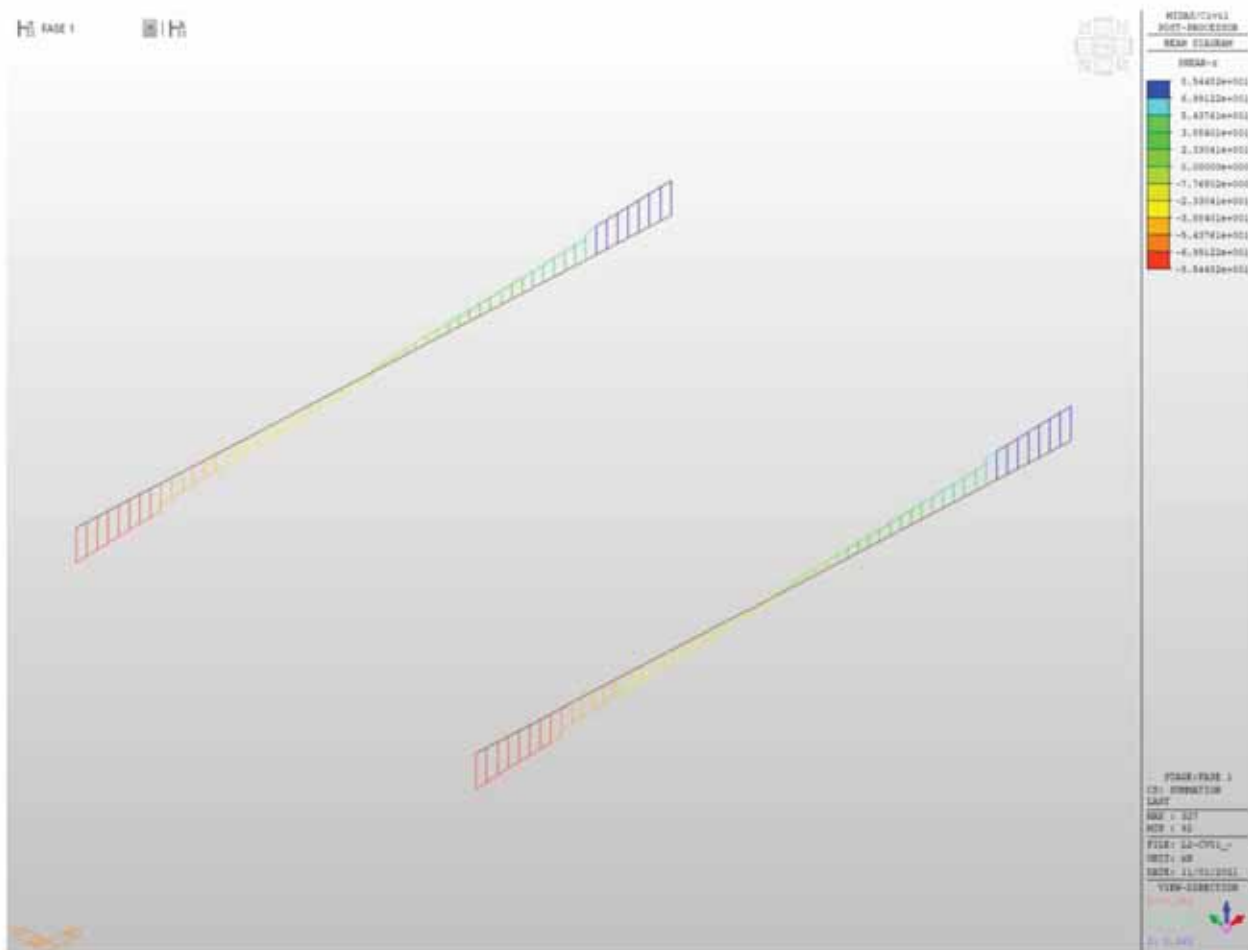


Figura 59 - Concio 3 - Diagramma Tz - Fase 1

LOTTO 1 – CAVALCAVIA AL KM. 12+325 - RELAZIONE DI CALCOLO IMPALCATO

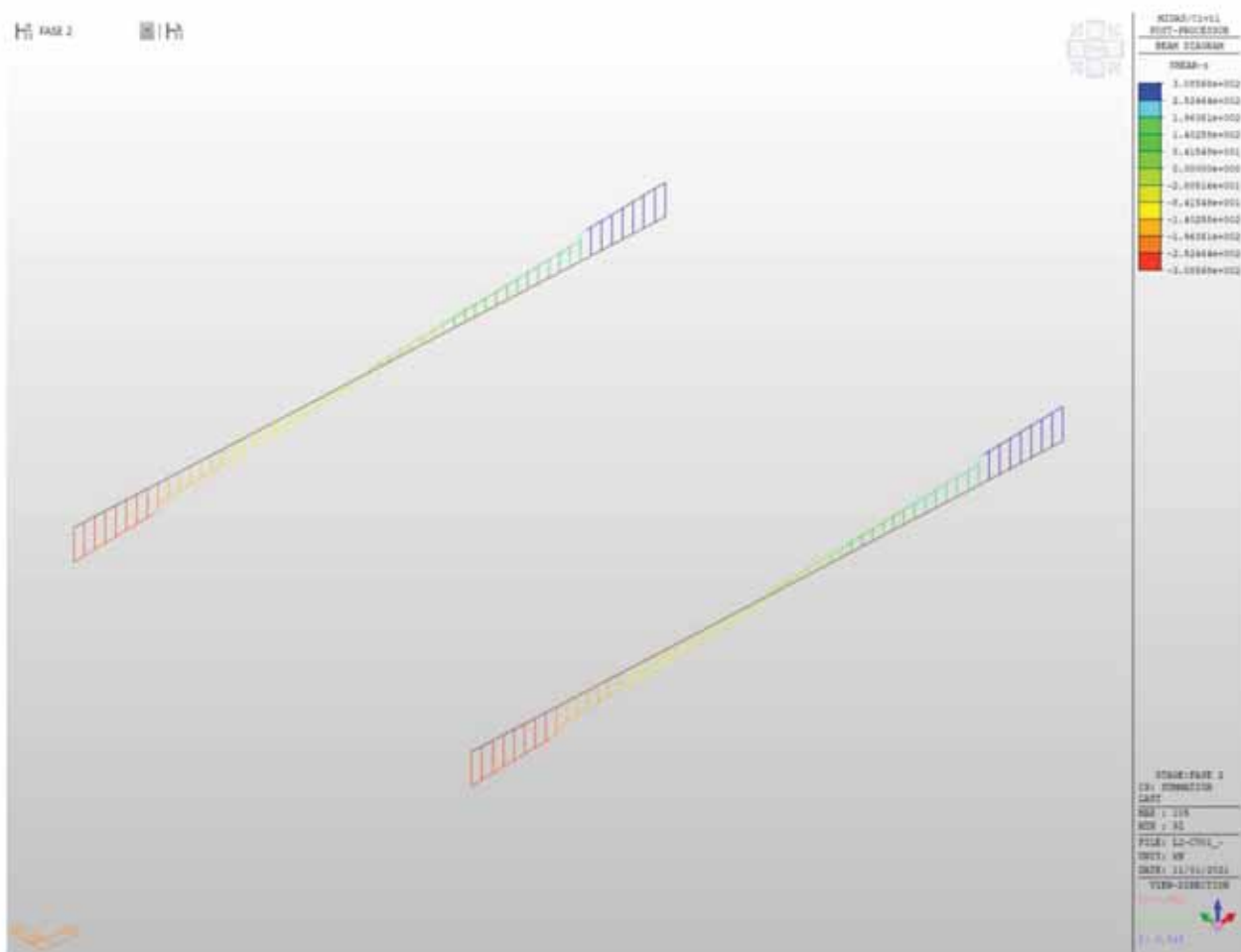


Figura 60 - Concio 3 - Diagramma Tz - Fase 2

LOTTO 1 – CAVALCAVIA AL KM. 12+325 - RELAZIONE DI CALCOLO IMPALCATO

Figura 61 - Concio 3 - Diagramma Tz - Fase 3

LOTTO 1 – CAVALCAVIA AL KM. 12+325 - RELAZIONE DI CALCOLO IMPALCATO

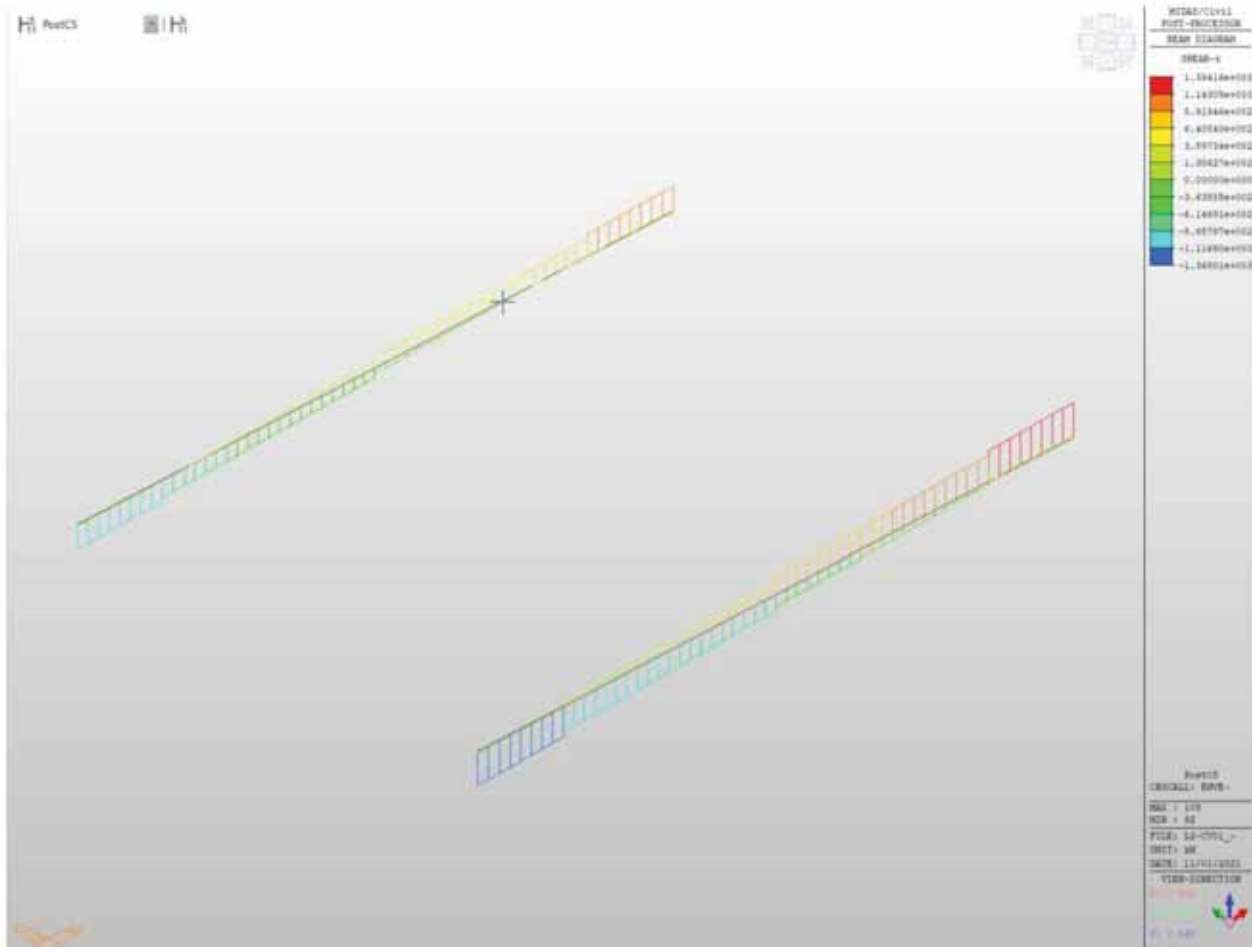


Figura 62 - Concio 3 - Diagramma Tz - Inviluppo SLU-SLV

LOTTO 1 – CAVALCAVIA AL KM. 12+325 - RELAZIONE DI CALCOLO IMPALCATO

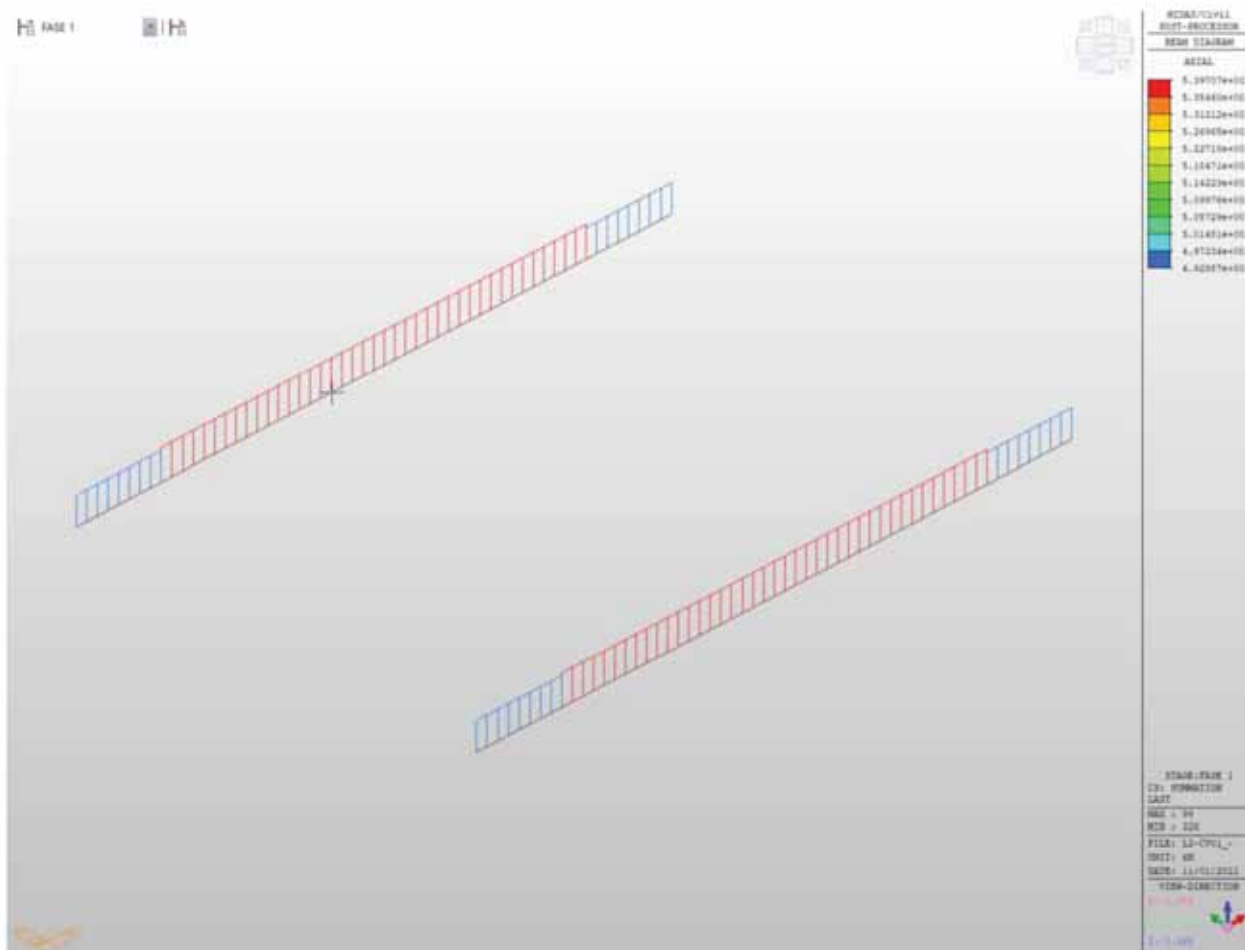


Figura 63 - Concio 3 - Diagramma N - Fase 1

LOTTO 1 – CAVALCAVIA AL KM. 12+325 - RELAZIONE DI CALCOLO IMPALCATO

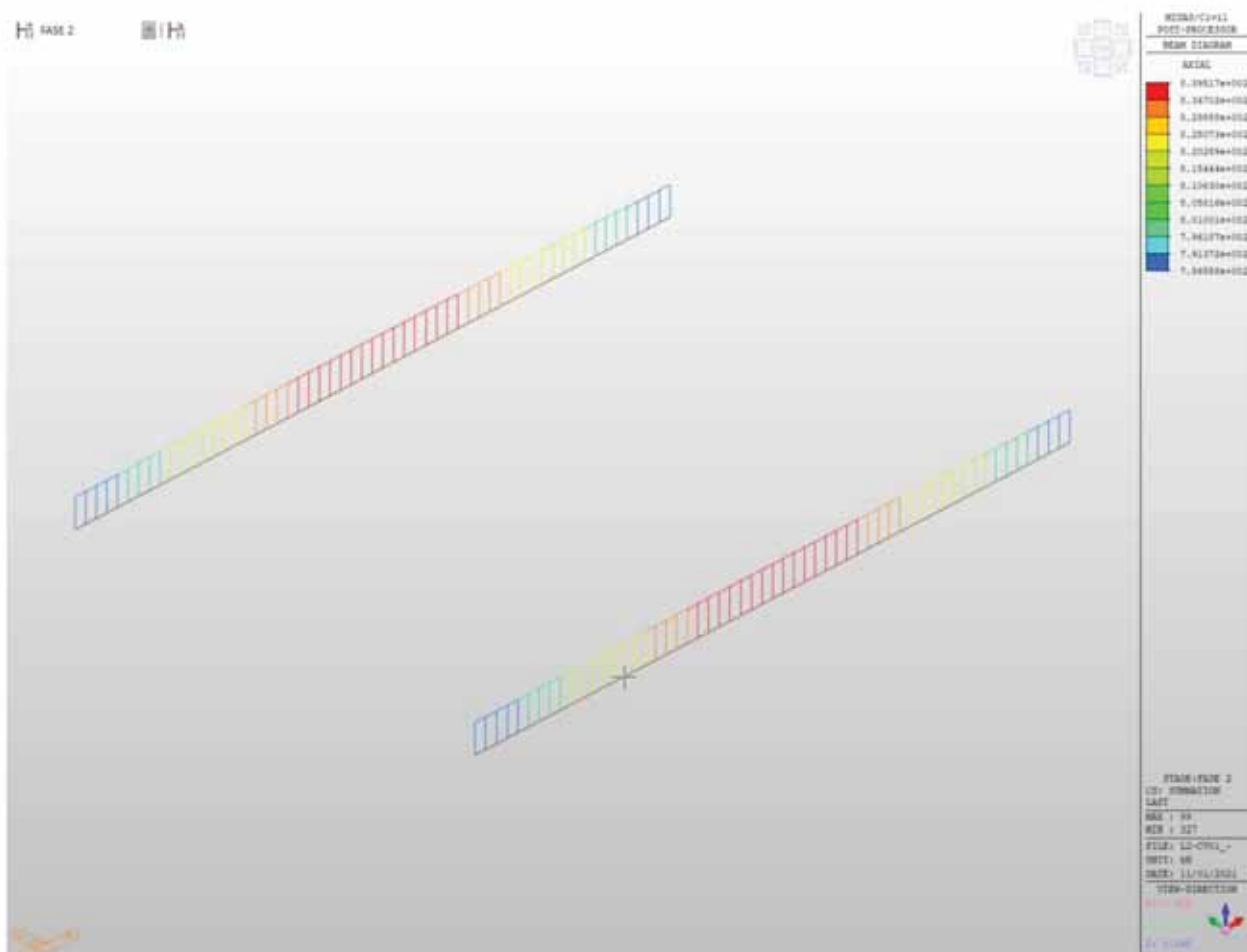


Figura 64 - Concio 3 - Diagramma N - Fase 2

LOTTO 1 – CAVALCAVIA AL KM. 12+325 - RELAZIONE DI CALCOLO IMPALCATO

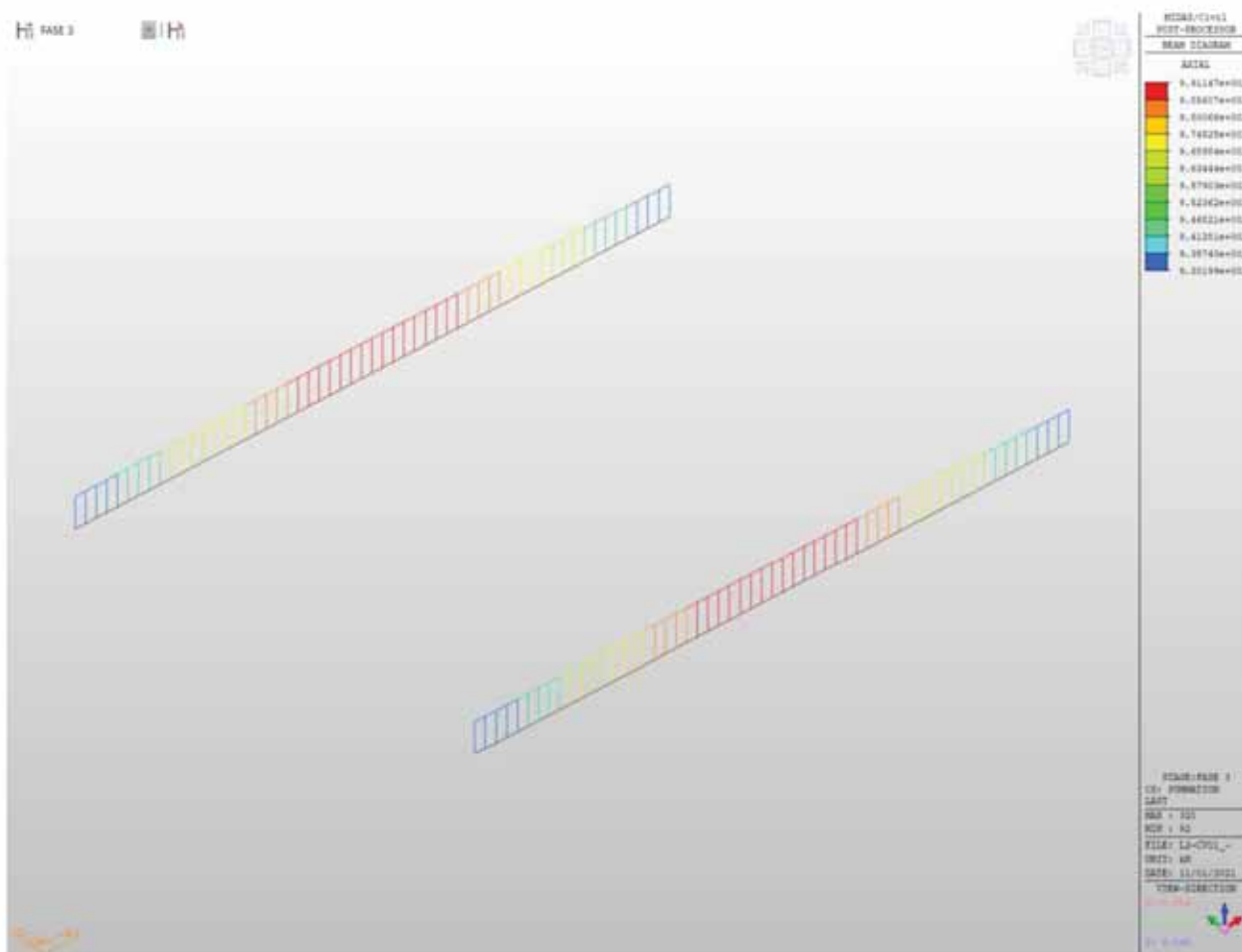


Figura 65 - Concio 3 - Diagramma N - Fase 3

LOTTO 1 – CAVALCAVIA AL KM. 12+325 - RELAZIONE DI CALCOLO IMPALCATO

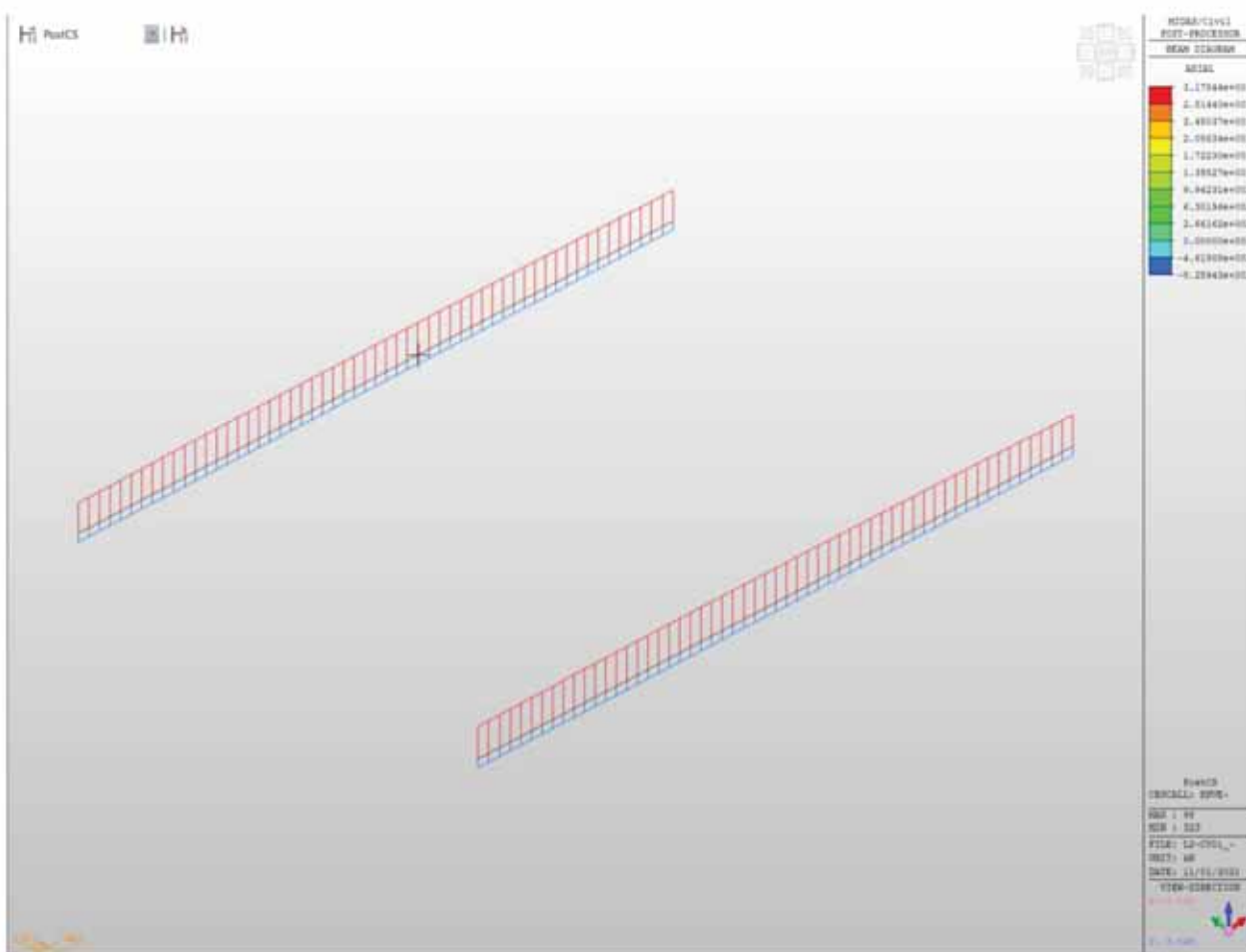


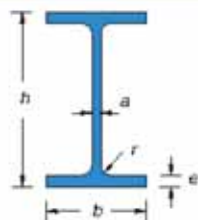
Figura 66 - Concio 3 - Diagramma N - Inviluppo SLU-SLV

LOTTO 1 – CAVALCAVIA AL KM. 12+325 - RELAZIONE DI CALCOLO IMPALCATO

VERIFICA SEZIONE IN ACCIAIO COMPOSTA

CARATTERISTICHE PROFILO:

Tipo:	S355	mm
$B_{S,SP}$ =	700	mm
$t_{e,SP}$ =	30.0	mm
$B_{I,IP}$ =	1200	mm
$t_{e,IP}$ =	55.0	mm
H =	2000	mm
$t_w = a$ =	20.0	mm
L =	4100	mm
A_{101} =	125300.00	mm ²



$$Y_{0,SP} = 656.65 \text{ mm} \quad Y_{0,IP} = 1343.35 \text{ mm}$$

$$J_{yy} = 7.98E+10 \text{ mm}^4 \quad J_i = 77956667 \text{ mm}^4$$

$$J_{zz} = 8778833333 \text{ mm}^4 \quad J_a = 1.069E+09 \text{ mm}^6$$

$$W_{el,yy,sp} = 121452420 \text{ mm}^3 \quad W_{el,yy,ip} = 59368341 \text{ mm}^3$$

$$W_{pl,yy} = 90288083 \text{ mm}^3$$

$$W_{pl,zz} = 2 \left[\frac{t_w H^2}{8} + t_f (b - t_w) \frac{H - t_f}{2} + 2r^2 \left(\frac{H}{2} - t_f - \frac{r}{2} \right) - 2 \frac{\pi^2}{4} \left(\frac{H}{2} - t_f + r + \frac{4r}{3\pi} \right) \right]$$

$$\rho_{yy} = 797.80 \text{ mm} \quad \rho_{zz} = \sqrt{\frac{J_{zz}}{A}}$$

$$\rho_{zz} = 264.69 \text{ mm}$$

$$\text{Peso} = 983.61 \text{ kg/m}$$

$$E = 210000 \text{ N/mm}^2 \quad \text{modulo elastico}$$

$$v = 0.3 \quad \text{coeff. poisson}$$

$$G = 80769 \text{ N/mm}^2 \quad G = \frac{E}{2(1+\nu)} \quad \text{modulo elasticità trasversale}$$

$$\alpha = 0.000012 \text{ } ^\circ\text{C}^{-1} \quad \text{coeff. espansione termica lineare}$$

$$f_y = 355 \text{ N/mm}^2 \quad \text{tensione snervamento caratteristica}$$

$$f_u = 510 \text{ N/mm}^2 \quad \text{tensione rottura caratteristica}$$

$$\gamma_{M0} = 1.05 \quad \text{per sezioni classe 1,2,3 e 4}$$

$$\gamma_{M1} = 1.05 \quad \text{per instabilità membrature}$$

$$\gamma_{M2} = 1.10 \quad \text{per instabilità membrature ponti stradali e ferroviari}$$

$$\gamma_{M3} = 1.25 \quad \text{per sezioni tese indebolite dai fori nei riguardi della frattura}$$

SOLLECITAZIONI:

$$N_{S,SP} = 0 \text{ N} \quad \text{caso per trave tesa}$$

$$N_{C,SP} = 840000 \text{ N} \quad \text{caso per trave compressa}$$

$$M_{S,SP} = 9542000000 \text{ Nmm} \quad \text{caso per trave inflessa in una direzione}$$

$$V_{S,SP} = 305000 \text{ N} \quad \text{taglio}$$

Caso per trave a flessione deviata (Momenti flettenti agenti alle estremità $|M_S| < |M_A|$):

$$M_S = 8756000000 \text{ Nmm} \quad M_A = 9542000000 \text{ Nmm}$$

Valori del momento massimo e minimo dell'asta:

$$M_{max,y,ad} = 0 \text{ Nmm} \quad M_{max,y,id} = 0 \text{ Nmm}$$

$$M_{max,z,ad} = 0 \text{ Nmm} \quad M_{max,z,id} = 0 \text{ Nmm}$$

CLASSE APPARTENENZA PROFILO (NTC2008, 4.2.3.1):

ALA SUPERIORE

$$C/t_{e,SP} = 11.33$$

$$c = 0.81$$

ALA INFERIORE

$$C/t_{e,IP} = 10.73$$

$$c = 0.81$$

ANIMA

$$C/t_w = 95.75$$

$$c = 0.81$$

3

Curva di instabilità "b" (Asse yy):

Fattore di imperfezione α : 0.34

Curva di instabilità "c" (Asse zz):

Fattore di imperfezione a : 0.49

LOTTO 1 – CAVALCAVIA AL KM. 12+325 - RELAZIONE DI CALCOLO IMPALCATO

SOLLECITAZIONE DELL'ASTA A TAGLIO (NTC2008, 4.2.4.1.2):

$$\frac{V_{sd}}{V_{c,Rd}} \leq 1$$

Area taglio resistente: $A_v = 39150 \text{ mm}^2$

$$V_{c,Rd} = \frac{A_v f_{yk}}{\sqrt{3} \gamma_{M0}} \quad V_{c,Rd} = 7642056 \quad N \Rightarrow 0.04 \quad **OK!(<1)**$$

Verifica in presenza di torsione uniforme:

$$\tau_{t,sd} = 0 \text{ N/mm}^2$$

$$V_{c,Rd,red} = \left[1 - \frac{\tau_{t,sd}}{f_{yk}} \right] V_{c,Rd}$$

$$V_{c,Rd,red} = 7642056 \quad N \Rightarrow 0.04 \quad **OK!(<1)**$$

Verifica in termini tensionali nel punto più sollecitato:

$$\frac{\tau_{sd}}{f_{yk}} \leq 1 \Rightarrow 0.00 \quad **OK!(<1)**$$

SOLLECITAZIONE DELL'ASTA A COMPRESSIONE SEMPLICE (NTC2008, 4.2.4.1.2):

$$\frac{N_{sd}}{N_{c,Rd}} \leq 1 \quad N_{cr} = \frac{\pi^2 E J}{(\eta l)^2} \quad 1082400865 \quad N \quad N_{c,sd} < 0.04 N_c$$

Instabilità trascurabile!

$$0.04 N_c = 43296035 \text{ N} \quad **Instabilità trascurabile se } \lambda < 0.2**$$

Calcolo snellezza membrana (< di 200 per le travature principali e < di 250 per le secondarie):

$$\mu = 1.00 \quad I_0 = \mu l = 4100 \text{ mm}$$

$$\lambda_s = I_0 / \rho = 5$$

Calcolo resistenza per sezioni in classe 1,2 e 3:

$$N_{c,Rd} = \frac{A f_{yk}}{\gamma_{M0}} \quad N_{c,Rd} = 42363333 \quad N \Rightarrow 0.02 \quad **OK!(<1)**$$

STABILITÀ DELLE MEMBRATURE (NTC2008, 4.2.4.1.3):

Curva di instabilità "b" (Asse yy):

Fattore di imperfezione α : 0.49

Verifica per sezioni classe 1,2 e 3:

$$\bar{\lambda}_s = \sqrt{\frac{A f_{yk}}{N_{cr}}} \quad 0.20 \quad \bar{\lambda}_s > 0.2 \quad **Serve verifica instabilità!**$$

$$\Phi = 0.5 [1 + \alpha(\bar{\lambda}_s - 0.2) + \bar{\lambda}_s^2] \quad 0.52$$

$$\chi = \frac{1}{\Phi + \sqrt{\Phi^2 - \bar{\lambda}_s^2}} \quad 1.00$$

$$N_{b,Rd} = \frac{\chi A f_{yk}}{\gamma_{M1}} \quad 40381613 \quad N$$

$$\frac{N_{c,sd}}{N_{b,Rd}} \leq 1 \Rightarrow 0.02 \quad **OK!(<1)**$$

LOTTO 1 – CAVALCAVIA AL KM. 12+325 - RELAZIONE DI CALCOLO IMPALCATO

SOLLECITAZIONE DELL'ASTA A FLESSIONE MONOASSIALE RETTA (NTC2008, 4.2.4.1.2):

$$\frac{M_{sd}}{M_{c,Rd}} \leq 1$$

$$V_{sd} < 0,5 V_{c,Rd}$$

Il taglio non influisce sulla verifica a flessione!

$$\rho = \left[\frac{2V_{sd}}{V_{c,Rd}} - 1 \right]^2$$

0.84480

$$f_{y,xed} = (1 - \rho)f_{yk}$$

55 N/mm²

$$f_{yk} =$$

355 N/mm²

Calcolo resistenza elastica sezione linda, classe 3:

$$M_{el,Rd} = \frac{W_{el,min} f_{yk}}{\gamma_{M0}} \quad M_{c,Rd} = 41062485003 \quad \text{Nmm} \quad \Rightarrow \quad 0.23 \quad \text{OK!}(<1)$$

n. fori =

diametro = mm

$$\frac{0,9 A_f f_{net} f_{tk}}{\gamma_{M2}} \geq \frac{A_f f_{yk}}{\gamma_{M0}}$$

Non serve la verifica per la presenza dei fori!

TRAVI INFLESSE (NTC2008, 4.2.4.1.3.2):

Calcolo snellezza membrana (< di 200 per le travature principali e < di 250 per le secondarie):

$$\mu = 0.70 \quad L_\alpha = L / \mu = 2870 \quad \text{mm}$$

$$W_{yy} = 121452420 \quad \text{mm}^3 \quad W_{yy} = 59368341 \quad \text{mm}^3$$

$$\psi = 1.75 - 1.05 \frac{M_B}{M_A} + 0.3 \left(\frac{M_B}{M_A} \right)^2 \quad 1.04$$

$$M_{cr} = \psi \frac{\pi}{L_{cr}} \sqrt{EJ_y G J_T} \sqrt{1 + \left(\frac{\pi}{L_{cr}} \right)^2 \frac{EJ_0}{G J_T}} \quad 3.711E+11 \quad \text{Nmm} \quad 0.026$$

$$M_{sd}/M_{cr} = 0.026 \quad \text{Risulta} < 0.16 \text{ Non serve la verifica instabilità}$$

$$\bar{\lambda}_{LT} = \sqrt{\frac{W_y f_{yk}}{M_{cr}}} \quad 0.24 \quad \text{Risulta} < 0.4 \text{ Non serve la verifica instabilità}$$

LOTTO 1 – CAVALCAVIA AL KM. 12+325 - RELAZIONE DI CALCOLO IMPALCATO

Stabilità dei pannelli soggetti a taglio (NTC2008, 4.2.4.1.3.4.1);

Se irrigiditori trasversali rigido o no,

$$I_{st} = 45000000 \text{ mm}^4 \quad 0.75hwt_3 = 5710886 \text{ mm}^4 \quad \text{Irregiditore Trasversali rigidi}$$

Coefficiente minimo di instabilità per taglio del panello (In assenza di irrigiditori longitudinali),

$$a/hw = 2.05 \quad k_t = 7.29$$

Coefficiente minimo di instabilità per taglio del panello (irrigiditori longitudinali più di due o $a/hw > 3$),

$$I_{sl} = 0 \text{ mm}^4 \quad k_{tl} = 0.00$$

$$a/hw = 2.05 \quad k_t = 7.29$$

Coefficiente minimo di instabilità per taglio del panello (irrigiditori longitudinali più di due o $a/hw < 3$),

$$I_{sl} = 0 \text{ mm}^4 \quad a/hw = 2.05 \quad k_t = 5.60$$

$$k_t = 7.29$$

$$\eta = 1.2 \quad hw/t = 95.75 \quad \text{Serve la verifica di instabilità}$$

$$\sigma_E = 19 \text{ MPa} \quad \tau_{cr} = 138.53 \quad \lambda_w = 1.22$$

$$\text{Montanti di appoggio rigidi, } X_w = 0.71$$

$$\text{Gli altri casi, } X_w = 0.68$$

$$V_{bw,Rd} = 5326791 \text{ N}$$

Momento resistente sole piattabande,

$$y_{G,inf} = 500.00 \text{ mm} \quad y_{G,sup} = 1500.00 \text{ mm}$$

$$J_{yy} = 61062850000 \text{ mm}^4$$

$$W_{el,yy,inf} = 122125700 \text{ mm}^3 \quad W_{el,yy,sup} = 40708567 \text{ mm}^3$$

$$M_{t,red} = 13370324310 \text{ Nmm}$$

$$bf = 364.5 \text{ mm} \quad V_{bf,Rd} = 29402 \text{ N}$$

$$V_{b,Rd} = 5356193 \text{ N} \quad 0.058 \quad \text{OK!(<1)}$$

LOTTO 1 – CAVALCAVIA AL KM. 12+325 - RELAZIONE DI CALCOLO IMPALCATO

Stabilità dei pannelli soggetti a Compressione (NTC2008, 4.2.4.1.3.4.1):								
Stress,								
$\sigma_{\text{sup}} =$	162.41	MPa						
$\sigma_{\text{inf}} =$	-79.39	MPa						
$\sigma_{\text{irr.}} =$	100.75	MPa						
Irrigidati su entrambi lati (Anima),								
b =	1915.0	mm	(Web bw)	a =	4100	mm		
$\sigma_1 =$	162.4	(Max)		$\sigma_2 =$	-79.39	(Min)		
$\psi =$	-0.5			$k\sigma =$	13.22			
$\lambda_p =$	1.1			$p =$	0.87			
$\sigma_{\text{cr},p} =$	274.0	MPa		$\sigma_{\text{cr},c} =$	4.516	MPa		
$\zeta_c =$	1.0			$\lambda_c =$	8.866			
$\alpha_c =$	0.34			$\Phi =$	116.298			
$x_c =$	0.004							
$p_c =$	0.87							
beff =	1123.65	mm	be1 =	449.46	mm	be2 =	674.19	mm
bt =	628.75	mm						
Irrigidati a un lato (Piattebande),								
Piattabanda Superiore,								
b =	340	mm	(Flange Sup)					
$\sigma (\text{Irr.}) =$	162.4			$\sigma (\text{Lib.}) =$	162.41			
$k\sigma =$	0.43							
$\lambda_p =$	1.1			$p =$	0.74			
beff =	251.37	mm		bt =	0	mm		
Effective Section Properties,								
Ac,eff (Piattabanda Sup) =	15082.0	mm ²						
Ac,eff (Piattabanda Inf) =	66000.0	mm ²						
Ac,eff (Anima) =	22473.1	mm ²						
Ac (Anima tensione) =	12574.9	mm ²						
Ac,eff (Total) =	116130.0	mm ²						
$y_{g,\text{inf}} =$	567.0	mm	$y_{g,\text{sup}} =$	1433.0	mm			
leff =	6.99E+10	mm ⁴						
$W_{\text{eff}}(\text{inf}) =$	123356429	mm ³	$W_{\text{eff}}(\text{sup}) =$	48814404	mm ³			
e =	89.61	mm						
$\eta =$	0.59							

LOTTO 1 – CAVALCAVIA AL KM. 12+325 - RELAZIONE DI CALCOLO IMPALCATO

Fase 2

Soletta c.a.collaborante

b_{eff} =	3.34	m
Altezza soletta:	0.26	m
Area soletta:	0.87	m^2
J_{yy} =	0.00489	m^4
Peso =	21.71	kN/m

Trave acciaio

Area trave acciaio:	0.1253	m^2
H trave acciaio:	2.00	m
y_c =	0.657	m
J_{yy} =	0.079752	m^4
Peso =	9.84	kN/m

Barre armatura soletta

1° strato barre (superiore)	2° strato barre (inferiore)
n. Barre: 17	n. Barre: 17
Interasse: 0.20	Interasse: 0.20
Diametro: 0.02	Diametro: 0.02
Area: 0.005341	Area: 0.005341
y_1 = 0.05	y_2 = 0.21

Materiali

ds	Barre armature	Acciaio
R_{ck} = 40 MPa	f_{yk} = 450 MPa	f_{yk} = 355 MPa
f_{ck} = 33.20 MPa	γ_M = 1.15	γ_{M0} = 1.05
f_{ct} = 18.81 MPa	$f_{yc,1}$ = 391.30 MPa	$f_{yc,1}$ = 338.10 MPa
f_{cn} = 41.2 MPa		
f_{cm} = 3.10 MPa		
E_{cm} = 33643 MPa		

Caratteristiche geometriche

A_{se} = 0.1842	m^2	Area sezione omogeneizzata in area di acciaio
A_y = 39150	mm^2	Area taglio sezione di acciaio
$y_{C,int,id}$ = 1.13	m	Asse neutro rispetto lembo inferiore:
$y_{C,tau,id}$ = 1.13	m	Asse neutro rispetto lembo superiore
$J_{xx,id}$ = 0.167092	m^4	Momento d'inerzia sezione omogeneizzata ad acciaio
$W_{int,id}$ = 0.148142	m^3	Modulo elastico sezione omogeneizzata ad acciaio
$W_{sup,id}$ = 0.147596	m^3	Modulo elastico sezione omogeneizzata ad acciaio

Sollecitazioni

M_{sd} = 12465.00	kNm	(SLU)		
M_{sd} = 49901.58	kNm	=>	0.25	ok!
T_{sd} = 391.00	kN	(SLU)		
T_{sd} = 7278.15	kN	=>	0.05	ok!

Tensioni

σ_c = 4.69	MPa	=>	0.25	ok!(<1)	Tensione al lembo superiore soletta
$\sigma_{t,sup}$ = 80.72	MPa	=>	0.21	ok!(<1)	Tensione barre superiori soletta
$\sigma_{t,inf}$ = 68.79	MPa	=>	0.18	ok!(<1)	Tensione barre inferiori soletta
$\sigma_{a,sup}$ = 65.06	MPa	=>	0.19	ok!(<1)	Tensione acciaio lembo superiore
$\sigma_{a,inf}$ = 84.14	MPa	=>	0.25	ok!(<1)	Tensione acciaio lembo inferiore

LOTTO 1 – CAVALCAVIA AL KM. 12+325 - RELAZIONE DI CALCOLO IMPALCATO

Fase 3

Soletta c.o.collaborante

b_{eff} =	3.34	m
Altezza soletta:	0.26	m
Area soletta:	0.87	m^2
J_{ss} =	0.00489	m^4
Peso =	21.71	kN/m

Trave acciaio

Area trave acciaio:	0.1253	m^2
H trave acciaio:	2.00	m
y_c =	0.657	m
J_{ss} =	0.079752	m^4
Peso =	9.84	kN/m

Barre armatura soletta

1° strato barre (superiore)	2° strato barre (inferiore)	
n. Barre: 17	n. Barre: 17	
Interasse: 0.20	Interasse: 0.20	m
Diametro: 0.02	Diametro: 0.02	m
Area: 0.005341	Area: 0.005341	m^2
y_1 = 0.05	y_2 = 0.21	m

y_1 = 0.05

y_2 = 0.21

$n = 6.2$ Coeff. omogeneizzazione a tempo infinito

Materiali

cls	Barre armature		Acciaio	
R_{ck} = 40 MPa	f_{yk} = 450 MPa		f_{yk} = 355 MPa	
f_{ck} = 33.20 MPa	γ_M = 1.15		γ_{M0} = 1.05	
f_{cm} = 18.81 MPa	$f_{yc,0}$ = 391.30 MPa		$f_{yc,0}$ = 338.10 MPa	
f_{ctm} = 41.2 MPa				
E_{cm} = 3.10 MPa				
E_{ctm} = 33643 MPa				

Caratteristiche geometriche

A_{st} = 0.2760	m^2	Area sezione omogeneizzata in area di acciaio
A_s = 39150	mm^3	Area taglio sezione di acciaio
$y_{G,inf,id}$ = 1.46	m	Asse neutro rispetto lembo inferiore:
$y_{G,sup,id}$ = 0.80	m	Asse neutro rispetto lembo superiore
$J_{eq,id}$ = 0.229143	m^4	Momento d'inerzia sezione omogeneizzata ad acciaio
$W_{int,id}$ = 0.156815	m^3	Modulo elastico sezione omogeneizzata ad acciaio
$W_{sup,id}$ = 0.286871	m^3	Modulo elastico sezione omogeneizzata ad acciaio

Sollecitazioni

M_{ed} = 33408.00	kNm	(SLU)	
M_{el} = 53018.38	kNm	=>	0.63 ok!
T_{ed} = 1394.00	kN	(SLU)	
T_{el} = 7278.15	kN	=>	0.19 ok!

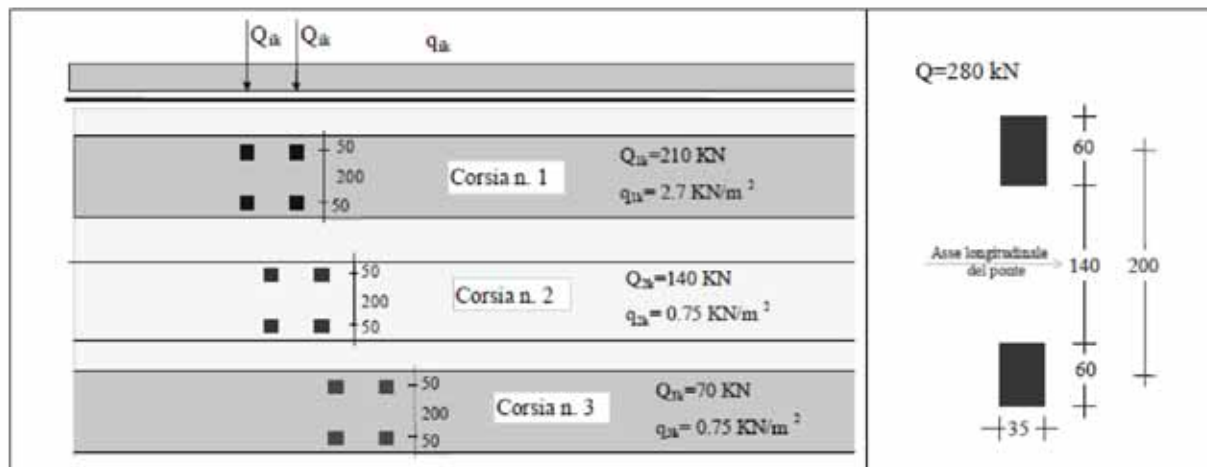
Tensioni

σ_c = 18.78	MPa	=>	0.998	ok!(<1)	Tensione al lembo superiore soletta
$\sigma_{s,sup}$ = 109.17	MPa	=>	0.28	ok!(<1)	Tensione barre superiori soletta
$\sigma_{s,inf}$ = 85.84	MPa	=>	0.22	ok!(<1)	Tensione barre inferiori soletta
$\sigma_{a,sup}$ = 78.55	MPa	=>	0.23	ok!(<1)	Tensione acciaio lembo superiore
$\sigma_{a,inf}$ = 213.04	MPa	=>	0.63	ok!(<1)	Tensione acciaio lembo inferiore

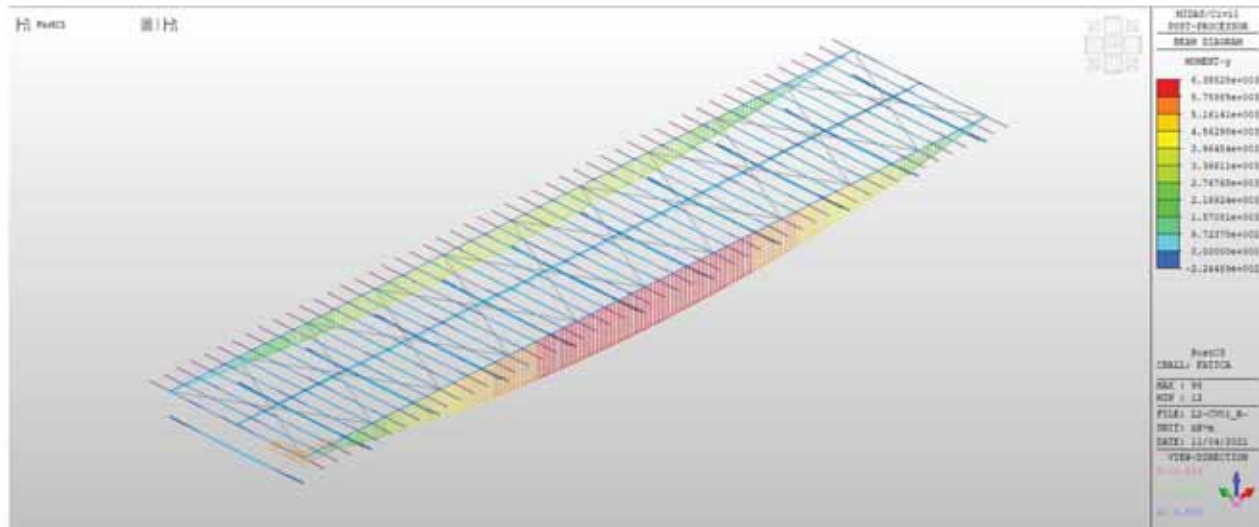
LOTTO 1 – CAVALCAVIA AL KM. 12+325 - RELAZIONE DI CALCOLO IMPALCATO

6.2.5 VERIFICA A FATICA

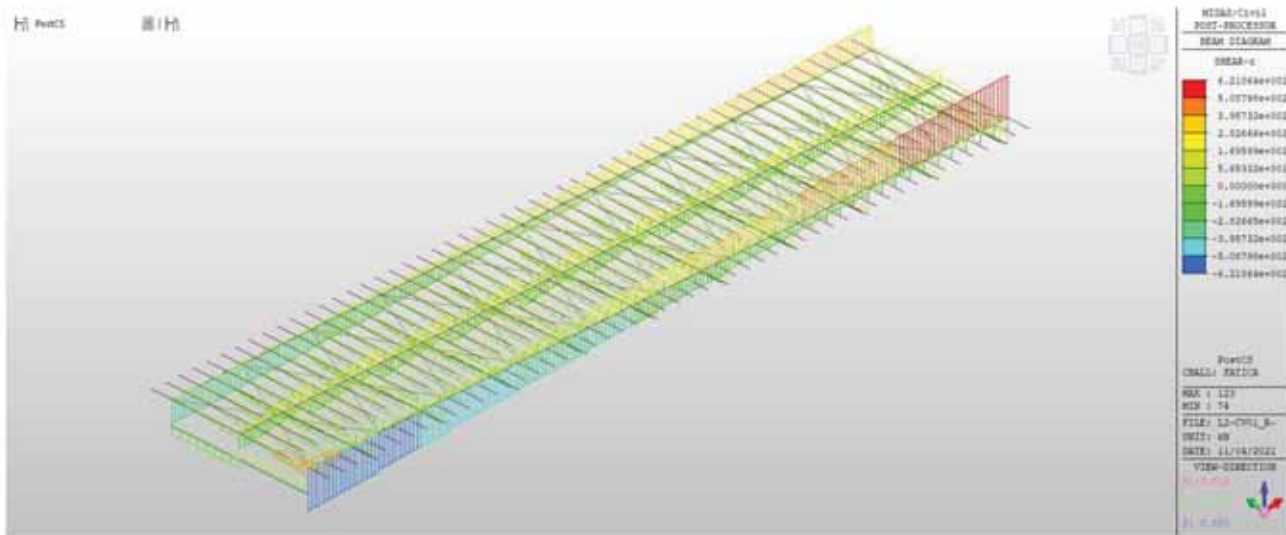
Le verifiche a fatica sono state effettuate considerando il modello di carico che è costituito dallo schema di carico 1 con valori dei carichi concentrati ridotti del 30% e valori dei carichi distribuiti ridotti del 70%.



Si riportano di seguito le sollecitazioni calcolate sulla trave oggetto di verifica soggetta ai carichi suddetti.



LOTTO 1 – CAVALCAVIA AL KM. 12+325 - RELAZIONE DI CALCOLO IMPALCATO



Si procede con il calcolo delle variazioni di tensioni sulla trave in acciaio dovute al transito dei carichi suddetti.

Sollecitazioni

M _{sd} =	6358,28	kNm	(SLU)		
M _{rd} =	53018,38	kNm	=>	0,12	ok!
T _{sd} =	621,86	kN	(SLU)		
T _{rd} =	7278,15	kN	=>	0,09	ok!

Tensioni

σ _{s,sup} =	20,78	MPa	=>	0,05	ok!(<1)
σ _{s,inf} =	16,34	MPa	=>	0,04	ok!(<1)
σ _{a,sup} =	14,95	MPa	=>	0,04	ok!(<1)
σ _{a,inf} =	40,55	MPa	=>	0,12	ok!(<1)

VERIFICHE PER VITA ILLIMITATA

Le verifiche a fatica per vita illimitata possono essere condotte controllando che il massimo delta di tensione Δs_{max} indotto nel dettaglio stesso dallo spettro di carico risulti minore del limite di fatica del dettaglio stesso:

$$\Delta s_{max,d} = \gamma_{MF} \Delta s_{max} \leq \Delta s_A$$

oppure

$$\Delta t_{max,d} = \gamma_{MF} \Delta t_{max} < \Delta t_D = \Delta t_L$$

$$\Delta s_D = 0,737 \Delta s_C$$

$\gamma_{MF} = 1,35$ (strutture sensibili alla rottura per fatica - conseguenze significative)

LOTTO 1 – CAVALCAVIA AL KM. 12+325 - RELAZIONE DI CALCOLO IMPALCATO

Travi in composizione saldata

100		<p>5) Saldatura manuale a cordoni d'angolo o a piena penetrazione 6) Saldatura a piena penetrazione manuale o automatica eseguita da un sol lato, in particolare per travi a cassone</p> <p>5) e 6) Deve essere assicurato un corretto contatto tra anima e piattabanda. Il bordo dell'anima deve essere preparato in modo da garantire una penetrazione regolare alla radice, senza interruzioni</p>
-----	---	---

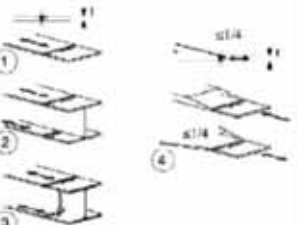
Delta massimo di tensione attacco anima-ala inf:

$$\Delta s_{max} = 40,55 \text{ MPa}$$

Limiti di fatica ad ampiezza costante: $\Delta s_D = 0,737 \times 100 = 73,70 \text{ MPa}$

Verifica a fatica: $\gamma_{Mf} \Delta s_{max} < \Delta s_D$ $1,35 \times 40,55 = 54,74 \text{ MPa} < 73,70 \text{ MPa} = \Delta s_D$

Saldature di testa trasversali

112		<p>Saldature senza piatto di sostegno</p> <p>1) Giunti trasversali in piatti e lamiere 2) Giunti di anime e piattabande in travi composte eseguiti prima dell'assemblaggio 3) Giunti trasversali complessi di profili laminati, in assenza di lunette di scarico 4) Giunti trasversali di lamiere e piatti con rastremazioni in larghezza e spessore con pendenza non maggiore di 1:4. Nelle zone di transizione gli intagli nelle saldature devono essere eliminati</p> <p>Per spessori $t > 25 \text{ mm}$, si deve adottare una classe ridotta del coefficiente $k_s = (25/t)^{0,2}$</p> <p>Saldature effettuate da entrambi i lati, molte in direzione degli sforzi e sottoposte a controlli non distruttivi</p> <p>Le saldature devono essere iniziate e terminate sui tacchi d'estremità, da rimuovere una volta completata la saldatura</p> <p>I bordi esterni delle saldature devono essere molati in direzione degli sforzi</p> <p>3) Vale solo per profili tagliati e risaldati</p>
-----	---	---

Delta massimo di tensione attacco anima-ala inf:

$$Ds_{max} = 40,55 \text{ MPa}$$

Limiti di fatica ad ampiezza costante: $\Delta s_D = 0,737 \times 112 = 82,54 \text{ MPa}$

Verifica a fatica: $\gamma_{Mf} \Delta s_{max} < \Delta s_D$ $1,35 \times 40,55 = 54,74 \text{ MPa} < 82,54 \text{ MPa} = Ds_D$

LOTTO 1 – CAVALCAVIA AL KM. 12+325 - RELAZIONE DI CALCOLO IMPALCATO

6.2.6 TRAVE DI SPINA

Si riporta di seguito la verifica della trave di spina. La trave presenta un valore di momento flettente di inviluppo positivo e negativo lungo tutto il suo sviluppo per effetto dell'inviluppo delle azioni statiche e sismiche. In particolare, le azioni sismiche verticali, producono proprio un effetto di inversione di momento. Per tale motivo a favore di sicurezza si verifica la trave di spina solo come elemento in acciaio trascurando l'effetto della soletta collaborante.

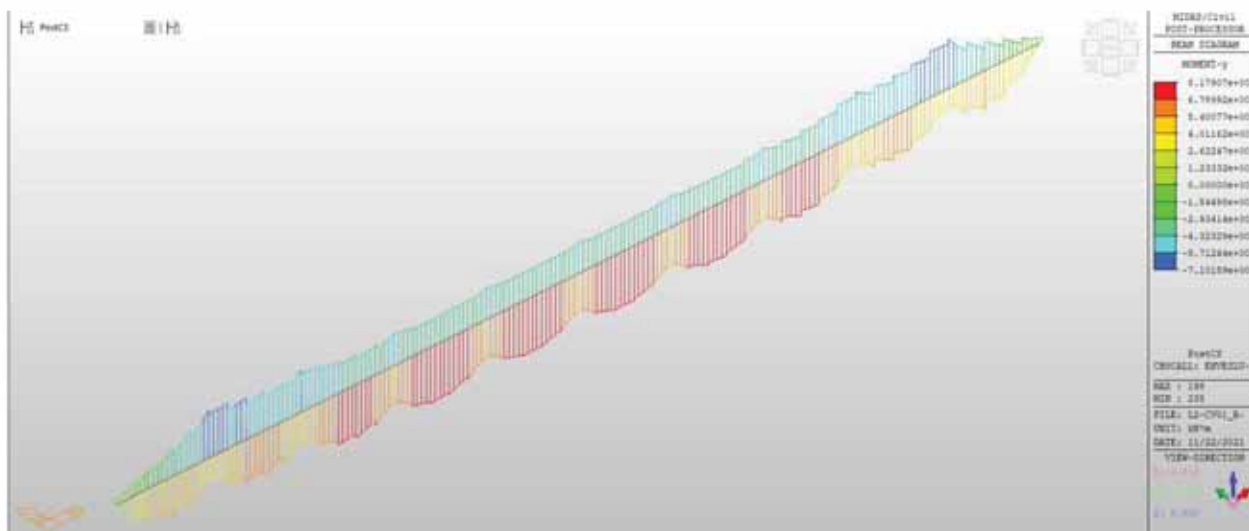


Figura 67- Trave di spina - Diagramma My - Inviluppo SLU-SLV

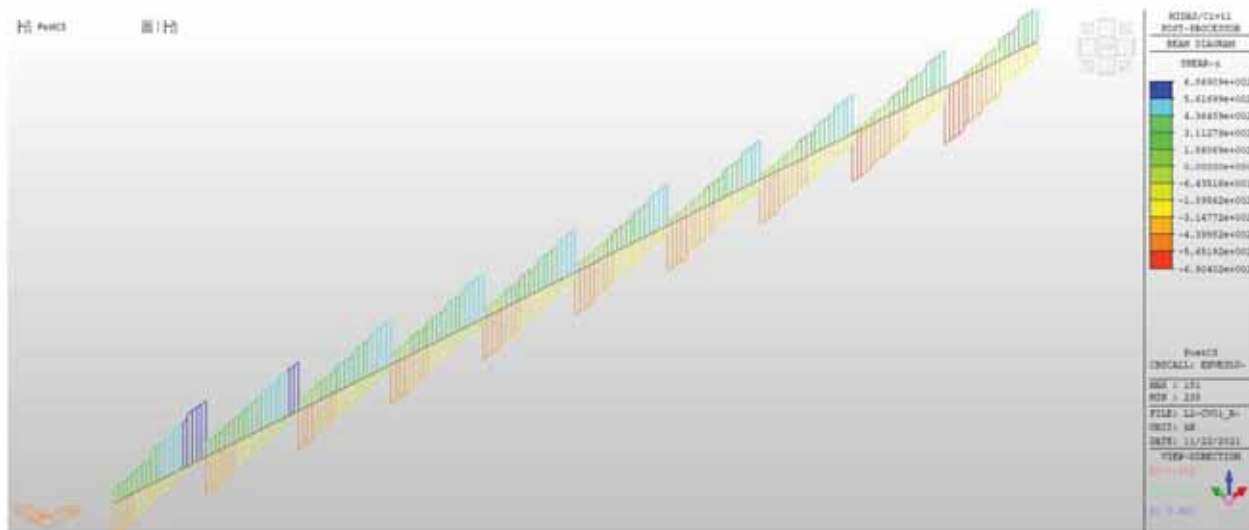


Figura 68 - Trave di spina - Diagramma Tz - Inviluppo SLU-SLV

LOTTO 1 – CAVALCAVIA AL KM. 12+325 - RELAZIONE DI CALCOLO IMPALCATO

CARATTERISTICHE PROFILO:		
Tipo: S355		
B _{sup} = 300	mm	
t _{sup} = 25.0	mm	A _{sup} = 7500.00 mm ²
B _{inf} = 300	mm	
t _{inf} = 25.0	mm	A _{inf} = 7500.00 mm ²
H= 590	mm	
t _w = a= 13.0	mm	A _w = 7020.00 mm ²
L= 4100	mm	n. traversi: 1
A _{tot} = 22020.00	mm ²	
Y _{0,sup} = 295.00	mm	Y _{0,inf} = 295.00 mm
J _{xx} = 1368461000	mm ⁴	J _z = 3520460 mm ⁴
J _w = 112608019	mm ⁴	J _o = 5.070E+11 mm ⁶
W _{s,x,y} = 4638851	mm ³	W _{s,inf} = 4638851 mm ³
W _{pl} = 5185200	mm ³	
$W_{pl,x,y} = 2 \left[\frac{t_w H^2}{8} + t_f (b - t_w) \frac{H - t_f}{2} + 2r^2 \left(\frac{H}{2} - t_f - \frac{r}{2} \right) - 2 \frac{\pi r^2}{4} \left(\frac{H}{2} - t_f + r + \frac{4r}{3\pi} \right) \right]$		
P _{xx} = 249.29	mm	P _{xx} = $\sqrt{\frac{J_{xx}}{A}}$
P _{yy} = 71.51	mm	
Peso= 172.85	kg/m	
E= 210000	N/mm ²	modulo elastico
v= 0.3		coeff. poisson
G= 80769	N/mm ²	$G = \frac{E}{2(1+\nu)}$ modulo elasticità trasversale
α = 0.000012	°C ⁻¹	coeff. espansione termica lineare
f _{yk} = 355	N/mm ²	tensione snervamento caratteristica
f _{uk} = 510	N/mm ²	tensione rottura caratteristica
γ_{M0} = 1.05		per sezioni classe 1,2,3 e 4
γ_{M1} = 1.05		per instabilità membrature
γ_{M1} = 1.10		per instabilità membrature ponti stradali e ferroviari
γ_{M2} = 1.25		per sezioni tese indebolite dai fori nei riguardi della frattura
SOLLECITAZIONI:		
N _{sd} = 0	N	caso per trave tesa
N _{sd} = 0	N	caso per trave compressa
M _{sd} = 817910000	Nmm	caso per trave inflessa in una direzione
V _{sd} = 690410	N	taglio
Caso per treve a flessione deviata:		
M _{y,w} = 0	Nmm	M _{y,M} = 0 Nmm
Valori del momento massimo e minimo dell'asta:		
M _{max,y,sd} = 0	Nmm	M _{max,y,sd} = 0 Nmm
M _{max,z,sd} = 0	Nmm	M _{max,z,sd} = 0 Nmm
CLASSE APPARTENENZA PROFILO (NTC2008, 4.2.3.1):		
ALA SUPERIORE		ANIMA
C/t _{sup} = 5.74		C/t _w = 41.54
c= 0.81		c= 0.81
Curva di instabilità "b":		
Fattore di imperfezione α :		0.34
<input checked="" type="radio"/> Parte soggetta a flessione. <input type="radio"/> Parte soggetta a compressione <input type="radio"/> Parte soggetta a flessione ed a compressione		ANIMA Classe 1

LOTTO 1 – CAVALCAVIA AL KM. 12+325 - RELAZIONE DI CALCOLO IMPALCATO

SOLLECITAZIONE DELL'ASTA A TAGLIO (NTC2008, 4.2.4.1.2):

$$\frac{V_{sd}}{V_{c,Rd}} \leq 1$$

Area taglio resistente: $A_v = 7345 \text{ mm}^2$

$$V_{c,Rd} = \frac{A_v f_{yk}}{\sqrt{3} \gamma_{M0}} \quad V_{c,Rd} = 1433739 \quad N \quad \Rightarrow \quad 0.48 \quad \text{OK!(<1)}$$

SOLLECITAZIONE DELL'ASTA A FLESSIONE MONOASSIALE RETTA (NTC2008, 4.2.4.1.2):

$$\frac{M_{sd}}{M_{c,Rd}} \leq 1$$

$V_{sd} < 0.5 V_{c,Rd}$ Il taglio non influisce sulla verifica a flessione!

$$\rho = \left[\frac{2V_{sd}}{V_{c,Rd}} - 1 \right]^2 \quad 0.00136 \quad f_{y,red} = (1 - \rho)f_{yk} \quad 355 \quad N/mm^2 \\ f_{yk} = 355 \quad N/mm^2$$

Calcolo resistenza plastica sezione linda, classe 1 e 2:

$$M_{pl,Rd} = \frac{W_{pl} f_{yk}}{\gamma_{M0}} \quad M_{pl,Rd} = 1753091429 \quad Nmm \quad \Rightarrow \quad 0.47 \quad \text{OK!(<1)}$$

Calcolo resistenza elastica sezione linda, classe 3:

$$M_{el,Rd} = \frac{W_{el,min} f_{yk}}{\gamma_{M0}} \quad M_{el,Rd} = 1568373382 \quad Nmm \quad \Rightarrow \quad 0.52 \quad \text{OK!(<1)}$$

LOTTO 1 – CAVALCAVIA AL KM. 12+325 - RELAZIONE DI CALCOLO IMPALCATO

6.2.7 TRAVERSO

Si riportano di seguito i diagrammi di sollecitazione e di verifica dei traversi. A favore di sicurezza si considerano le sollecitazioni estremali mentre per la sezione resistente si considera quella relativa ai traversi interni.

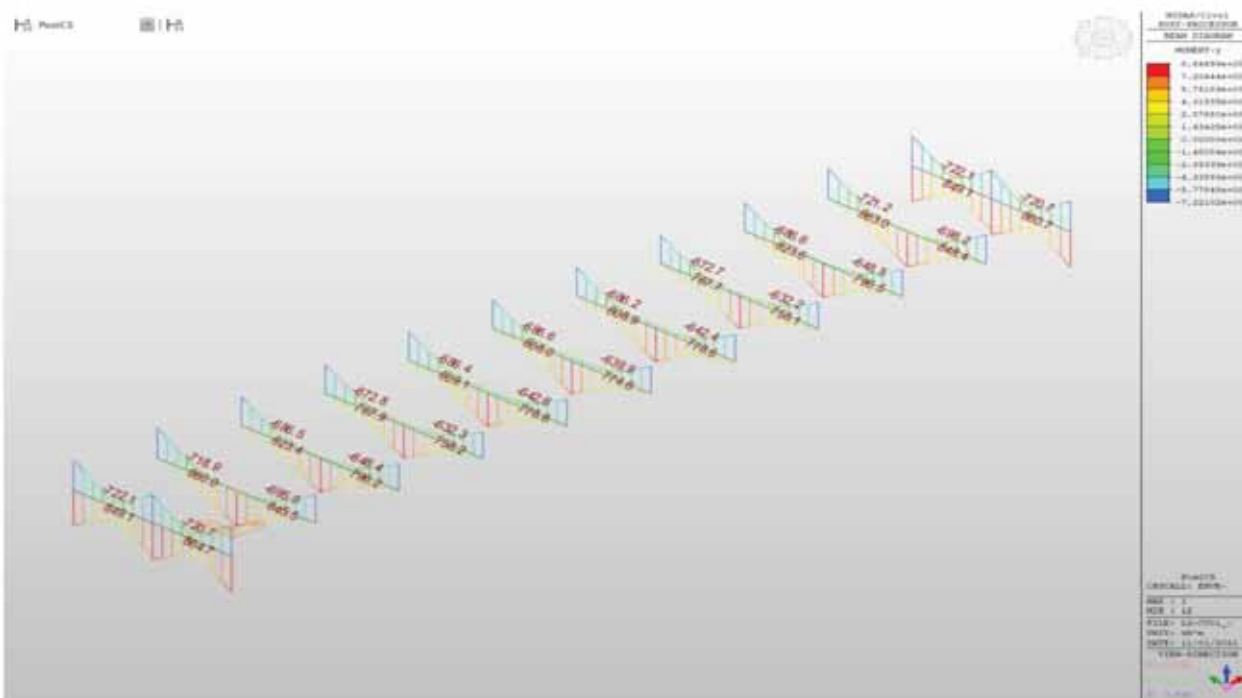


Figura 69 – Traverso - Momento SLU-SLV

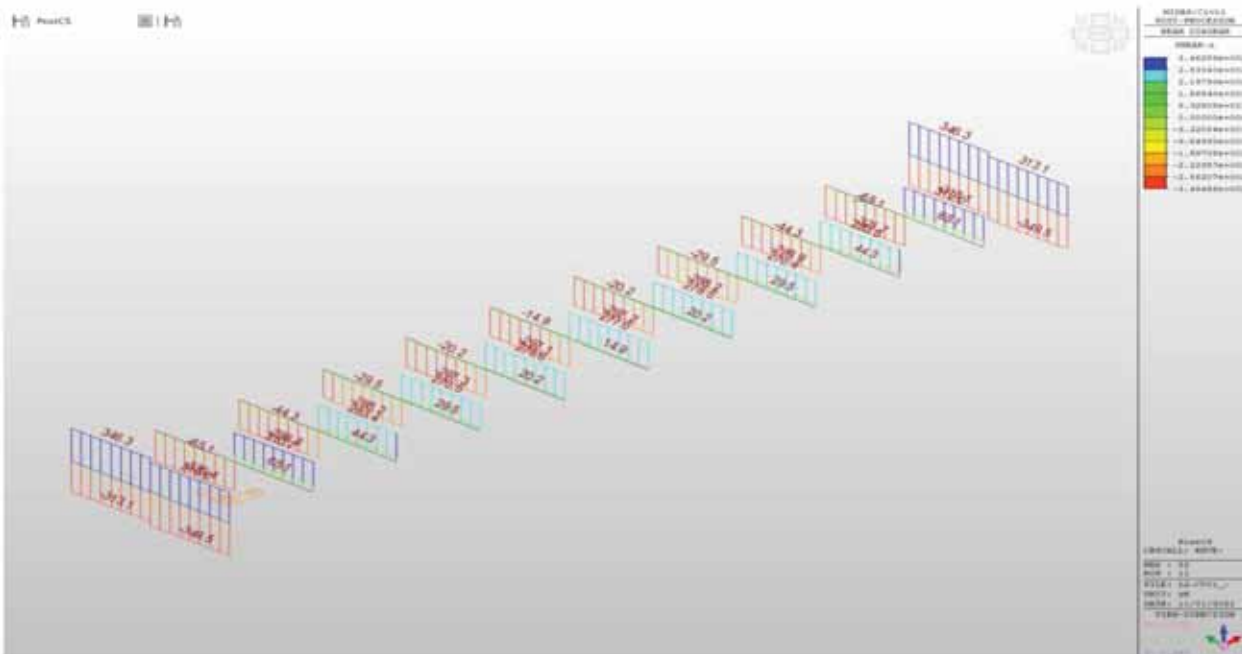
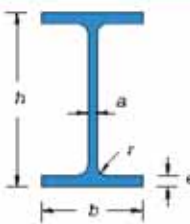


Figura 70 – Traverso - Taglio SLU-SLV

LOTTO 1 – CAVALCAVIA AL KM. 12+325 - RELAZIONE DI CALCOLO IMPALCATO

6.2.7.1 VERIFICA TRAVERSO DI CAMPATA

CARATTERISTICHE PROFILO:								
<div style="display: flex; align-items: center; justify-content: space-between;"> <div style="flex: 1;"> <p>Tipo: S355</p> <p>B_{sup} = 350 mm t_{sup} = 25,0 mm A_{sup} = 8750,00 mm²</p> <p>B_{inf} = 350 mm t_{inf} = 25,0 mm A_{inf} = 8750,00 mm²</p> <p>H = 900 mm $t_w = a$ = 20,0 mm A_w = 17000,00 mm²</p> <p>L = 5000 mm n. traversi: 1</p> <p>A_{tot} = 34500,00 mm²</p> </div> <div style="flex: 1; text-align: right;">  </div> </div>								
<p>$y_{0,int}$ = 450,00 mm $y_{0,sup}$ = 450,00 mm</p> <p>J_x = 4374062500 mm⁴ J_t = 5912500 mm⁴</p> <p>J_y = 179245833 mm⁴ J_o = 2,731E+14 mm⁴</p> <p>$W_{el,int}$ = 9720139 mm³ $W_{el,sup}$ = 9720139 mm³</p> <p>W_{el} = 11268750 mm³</p> <p>$W_{pl,xx} = 2 \left[\frac{t_w H^2}{8} + t_f (b - t_w) \frac{H - t_f}{2} + 2r^2 \left(\frac{H}{2} - t_f - \frac{r}{2} \right) - 2 \frac{\pi r^2}{4} \left(\frac{H}{2} - t_f + r + \frac{4r}{3\pi} \right) \right]$</p> <p>$\rho_a$ = 356,07 mm ρ_{ox} = $\sqrt{\frac{J_{xx}}{A}}$</p> <p>ρ_w = 72,08 mm</p> <p>Peso = 270,83 kg/m</p> <p>E = 210000 N/mm² modulo elastico</p> <p>v = 0,3 coeff. poisson</p> <p>G = 80769 N/mm² $G = \frac{E}{2(1+v)}$ modulo elasticità trasversale</p> <p>α = 0,000012 °C⁻¹ coeff. espansione termica lineare</p> <p>f_u = 355 N/mm² tensione snervamento caratteristica</p> <p>f_r = 510 N/mm² tensione rottura caratteristica</p> <p>γ_m = 1,05 per sezioni classe 1,2,3 e 4</p> <p>γ_m = 1,05 per instabilità membrature</p> <p>γ_m = 1,10 per instabilità membrature ponti stradali e ferroviari</p> <p>γ_m = 1,25 per sezioni tese indebolite dai fori nei riguardi della frattura</p>								
SOLLECITAZIONI:								
<p>$N_{z,d}$ = 0 N caso per trave tesa</p> <p>$N_{z,d}$ = 0 N caso per trave compressa</p> <p>$M_{z,d}$ = 860000000 Nmm caso per trave inflessa in una direzione</p> <p>$V_{z,d}$ = 312000 N taglio</p> <p>Caso per treve a flessione deviata:</p> <p>$M_{z,d}$ = 0 Nmm $M_{z,d}$ = 0 Nmm</p> <p>Valori del momento massimo e minimo dell'asta:</p> <p>$M_{max,z,d}$ = 0 Nmm $M_{max,z,d}$ = 0 Nmm</p> <p>$M_{min,z,d}$ = 0 Nmm $M_{min,z,d}$ = 0 Nmm</p>								
CLASSE APPARTENENZA PROFILO (NTC2008, 4.2.3.1):								
<table style="width: 100%; border-collapse: collapse;"> <thead> <tr> <th style="width: 50%;">ALA SUPERIORE</th> <th style="width: 50%;">ALA INFERIORE</th> </tr> </thead> <tbody> <tr> <td>C/t_{sup} = 6,60</td> <td>C/t_{inf} = 6,60</td> </tr> <tr> <td>c = 0,81</td> <td>c = 0,81</td> </tr> </tbody> </table>		ALA SUPERIORE	ALA INFERIORE	C/t_{sup} = 6,60	C/t_{inf} = 6,60	c = 0,81	c = 0,81	<div style="display: flex; align-items: center;"> ANIMA <div style="margin-left: 10px;"> C/t_w = 42,50 c = 0,81 </div> </div>
ALA SUPERIORE	ALA INFERIORE							
C/t_{sup} = 6,60	C/t_{inf} = 6,60							
c = 0,81	c = 0,81							
<p>Curva di instabilità "b":</p> <p>Fattore di imperfezione α_c: 0,34</p> <p><input checked="" type="radio"/> Parte soggetta a flessione</p> <p><input type="radio"/> Parte soggetta a compressione</p> <p><input type="radio"/> Parte soggetta a flessione ed a compressione</p>			<div style="display: flex; align-items: center;"> ANIMA <div style="margin-left: 10px;"> <i>Classe 1</i> </div> </div>					

LOTTO 1 – CAVALCAVIA AL KM. 12+325 - RELAZIONE DI CALCOLO IMPALCATO

SOLLECITAZIONE DELL'ASTA A TAGLIO (NTC2008, 4.2.4.1.2):

$$\frac{V_{sd}}{V_{c,Rd}} \leq 1$$

Area taglio resistente: $A_v = 17500 \text{ mm}^2$

$$V_{c,Rd} = \frac{A_v f_{yk}}{\sqrt{3} \gamma_{M0}} \quad V_{c,Rd} = 3415989 \quad N \quad \Rightarrow \quad 0,09 \quad \text{OK!(<1)}$$

Verifica in presenza di torsione uniforme:

$$\tau_{t,sd} = 0 \text{ N/mm}^2$$

$$V_{c,Rd,red} = \left[1 - \frac{\tau_{t,sd}}{\frac{f_{yk}}{\sqrt{3} \gamma_{M0}}} \right] V_{c,Rd}$$

$$V_{c,Rd,red} = 3415989 \quad N \quad \Rightarrow \quad 0,09 \quad \text{OK!(<1)}$$

SOLLECITAZIONE DELL'ASTA A FLESSIONE MONOASSIALE RETTA (NTC2008, 4.2.4.1.2):

$$\frac{M_{sd}}{M_{c,Rd}} \leq 1$$

$V_{sd} < 0,5 V_{c,Rd}$ Il taglio non influisce sulla verifica a flessione!

$$\rho = \left[\frac{2V_{sd}}{V_{c,Rd}} - 1 \right]^2 \quad 0,66803 \quad f_{y,red} = (1 - \rho)f_{yk} \quad 118 \quad \text{N/mm}^2 \\ f_{yk} = 355 \quad \text{N/mm}^2$$

Calcolo resistenza plastica sezione linda, classe 1 e 2:

$$M_{pl,Rd} = \frac{W_{pl} f_{yk}}{\gamma_{M0}} \quad M_{pl,Rd} = 3809910714 \quad \text{Nmm} \quad \Rightarrow \quad 0,23 \quad \text{OK!(<1)}$$

Calcolo resistenza elastica sezione linda, classe 3:

$$M_{el,Rd} = \frac{W_{el,min} f_{yk}}{\gamma_{M0}} \quad M_{el,Rd} = 3286332672 \quad \text{Nmm} \quad \Rightarrow \quad 0,26 \quad \text{OK!(<1)}$$

LOTTO 1 – CAVALCAVIA AL KM. 12+325 - RELAZIONE DI CALCOLO IMPALCATO

6.2.7.2 VERIFICA TRAVERSO DI TESTATA

CARATTERISTICHE PROFILO:		
Tipo: 5055 $B_{sup} = 350$ mm $t_{sup} = 25,0$ mm $A_{sup} = 8750,00$ mm ² $B_{inf} = 350$ mm $t_{inf} = 25,0$ mm $A_{inf} = 8750,00$ mm ² $H = 1300$ mm $t_w = a = 20,0$ mm $A_w = 25000,00$ mm ² $L = 8000$ mm n. traversi: 1 $A_{tot} = 42500,00$ mm ²		
$y_{c,inf} = 650,00$ mm $y_{c,sup} = 650,00$ mm $J_{xx} = 10368229167$ mm ⁴ $J_t = 6979167$ mm ⁴ $J_W = 179512500$ mm ⁴ $J_u = 2,731E+14$ mm ⁶ $W_{el,inf} = 15951122$ mm ³ $W_{el,sup} = 15951122$ mm ³ $W_{pl} = 18968750$ mm ³ $W_{pl,xx} = 2 \left[\frac{t_w H^2}{8} + t_f (b - t_w) \frac{H - t_f}{2} + 2r^2 \left(\frac{H}{2} - t_f - \frac{r}{2} \right) - 2 \frac{\pi r^2}{4} \left(\frac{H}{2} - t_f + r + \frac{4r}{3\pi} \right) \right]$ $\rho_{xx} = 493,92$ mm $\rho_{yy} = \sqrt{\frac{J_{yy}}{A}}$ $\rho_{yy} = 64,99$ mm		
$Peso = 333,63$ kg/m $E = 210000$ N/mm ² $\nu = 0,3$ $G = 80769$ N/mm ² $\alpha = 0,000012$ °C ⁻¹ modulo elastico coeff. poisson coeff. espansione termica lineare $f_yk = 355$ N/mm ² $f_{yk} = 510$ N/mm ² $f_{uk} = 1,05$ per sezioni classe 1,2,3 e 4 $f_{mk} = 1,05$ per instabilità membrature $f_{mk} = 1,10$ per instabilità membrature ponti stradali e ferroviari $f_{uc} = 1,25$ per sezioni tese indebolite dai fori nei riguardi della frattura		
SOLLECITAZIONI:		
$N_{t,s} = 0$ N caso per trave tesa $N_{t,c} = 0$ N caso per trave compressa $M_{t,s} = 864700000$ Nmm caso per trave inflessa in una direzione $V_{t,s} = 350000$ N taglio Caso per trave a flessione deviata: $M_{f,dev} = 0$ Nmm $M_{2,3,d} = 0$ Nmm Valori del momento massimo e minimo dell'asta: $M_{max,1,d} = 0$ Nmm $M_{max,1,d} = 0$ Nmm $M_{max,2,d} = 0$ Nmm $M_{max,2,d} = 0$ Nmm		
CLASSE APPARTENENZA PROFILO (INTC2008, 4.2.3.1):		
ALA SUPERIORE $C/t_{sup} = 6,60$ $c = 0,81$	ALA INFERIORE $C/t_{inf} = 6,60$ $c = 0,81$	ANIMA $C/t_w = 62,50$ $c = 0,81$
Curva di instabilità "b": Fattore di imperfezione $\alpha = 0,34$ <div style="display: flex; justify-content: space-around; align-items: center;"> ● Parte soggetta a flessione ● Parte soggetta a compressione ● Parte soggetta a flessione ed a compressione </div> <div style="margin-top: 10px; background-color: #e0e0e0; padding: 5px; display: inline-block;"> ANIMA Classe 2 </div>		

LOTTO 1 – CAVALCAVIA AL KM. 12+325 - RELAZIONE DI CALCOLO IMPALCATO

SOLLECITAZIONE DELL'ASTA A TAGLIO (NTC2008, 4.2.4.1.2):

$$\frac{V_{sd}}{V_{c,Rd}} \leq 1$$

Area taglio resistente: $A_v = 25500 \text{ mm}^2$

$$V_{c,Rd} = \frac{A_v f_{yk}}{\sqrt{3} \gamma_{M0}} \quad V_{c,Rd} = 4977584 \quad N \quad \Rightarrow \quad 0,07 \quad \text{OK!(<1)}$$

Verifica in presenza di torsione uniforme:

$$\tau_{t,sd} = 0 \text{ N/mm}^2$$

$$V_{c,Rd,red} = \left[1 - \frac{\tau_{t,sd}}{f_{yk}} \right] V_{c,Rd}$$

$$V_{c,Rd,red} = 4977584 \quad N \quad \Rightarrow \quad 0,07 \quad \text{OK!(<1)}$$

SOLLECITAZIONE DELL'ASTA A FLESSIONE MONOASSIALE RETTA (NTC2008, 4.2.4.1.2):

$$\frac{M_{sd}}{M_{c,Rd}} \leq 1$$

$V_{sd} < 0,5 V_{c,Rd}$ Il taglio non influisce sulla verifica a flessione!

$$\rho = \left[\frac{2V_{sd}}{V_{c,Rd}} - 1 \right]^2 \quad 0,73852 \quad f_{y,red} = (1 - \rho)f_{yk} \quad 93 \quad \text{N/mm}^2$$

$$f_{yk} = 355 \quad \text{N/mm}^2$$

Calcolo resistenza plastica sezione linda, classe 1 e 2:

$$M_{pl,Rd} = \frac{W_{pl} f_{yk}}{\gamma_{M0}} \quad M_{pl,Rd} = 6413244048 \quad \text{Nmm} \quad \Rightarrow \quad 0,13 \quad \text{OK!(<1)}$$

Calcolo resistenza elastica sezione linda, classe 3:

$$M_{el,Rd} = \frac{W_{el,min} f_{yk}}{\gamma_{M0}} \quad M_{c,Rd} = 5392998321 \quad \text{Nmm} \quad \Rightarrow \quad 0,16 \quad \text{OK!(<1)}$$

LOTTO 1 – CAVALCAVIA AL KM. 12+325 - RELAZIONE DI CALCOLO IMPALCATO

6.2.8 VERIFICA PIOLI

Si riporta nel seguito la verifica del sistema di collegamento fra trave metallica e soletta gettata in opera. Il sistema di connessione è realizzato mediante pioli di tipo Nelson resistenti a taglio, saldati alla piattabanda superiore della trave principale ed annegati nella soletta in calcestruzzo. Si ritiene che l'intera forza di scorrimento sia assorbita solo dalla piolatura predisposta sulle travi principali di impalcato, trascurando, a favore di sicurezza il contributo della piolatura posta sulla trave di spina. Il dimensionamento dei connettori è stato eseguito in riferimento alle prescrizioni indicate dalla normativa. Scegliendo di inserire i pioli a passo costante lungo tutto lo sviluppo della trave, si è scelto di determinare la forza di scorrimento applicata tramite l'integrazione delle tensioni indotte sulla soletta collaborante considerando le tensioni indotte ai lembi della soletta stessa.

La collaborazione tra la trave metallica e la soletta è assicurata mediante pioli eletrosaldati all'ala della trave di acciaio. Per le verifiche si fa riferimento al punto 4.3.4.3.1.2 delle NTC.

$$P_{rd,s} = 0,8 f_u (\pi d^2 / 4) / \gamma_v \quad [4.3.9]$$

$$P_{rd,c} = 0,29 \alpha d^2 (f_{ck} E_{cm})^{0,5} / \gamma_v \quad [4.3.10]$$

In cui:

γ_v è il fattore parziale definito al § 4.3.3;

f_{tk} è la resistenza caratteristica a rottura dell'acciaio del piolo (comunque $f_{tk} \leq 500$ MPa);

f_{ck} è la resistenza cilindrica caratteristica del calcestruzzo della soletta;

E_{cm} è il valore medio del modulo elastico secante del calcestruzzo della soletta definito al § 11.2.10.3;

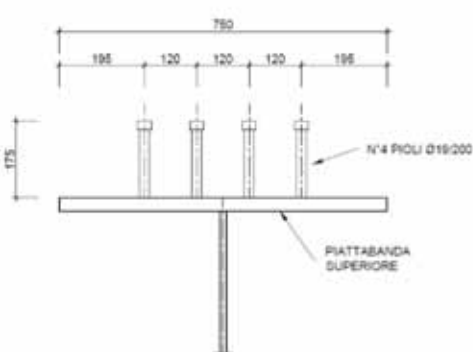
d è il diametro del piolo, compreso tra 16 e 25 mm;

h_{sc} è l'altezza del piolo dopo la saldatura;

$\alpha = 0,2 (h_{sc} / d + 1)$ per $3 \leq h_{sc} / d \leq 4$, [4.3.11 a]

$\alpha = 1,0$ per $h_{sc} / d > 4$. [4.3.11 b]

Per il caso in esame si ottiene:



f_{tk} =	450	Mpa
f_{ck} =	32	Mpa
E_{cm} =	33346	Mpa
α =	1	
d =	19	mm
γ_v =	1,25	
P_{rd,a} =	81,656	kN
P_{rd,c} =	86,515	kN

LOTTO 1 – CAVALCAVIA AL KM. 12+325 - RELAZIONE DI CALCOLO IMPALCATO

Si procedere ora con il calcolo della forza di scorrimento e quindi con il valore di carico massimo determinato per ciascun piolo.

L =	41	m
Bsol =	3340	mm
H tot =	2300	mm
H sol =	300	mm
γ_{G,sup,id} =	778,76	mm
σ_{c1} =	17,28	Mpa
σ_{c2} =	10,62	Mpa
Fv_(L/2) =	681,9048	kN
Δx =	200	mm
N_{Pioli} =	4	
Fv_(PIOLO) =	34,10	kN

Fv_Piolo < min (Prd,a ; Prd,c) - Ok Verificato

LOTTO 1 – CAVALCAVIA AL KM. 12+325 - RELAZIONE DI CALCOLO IMPALCATO

6.2.9 GIUNTI BULLONATI

Si riporta di seguito la verifica dei giunti bullonati previsti nei traversi di spalla che risultano essere maggiormente sollecitati.

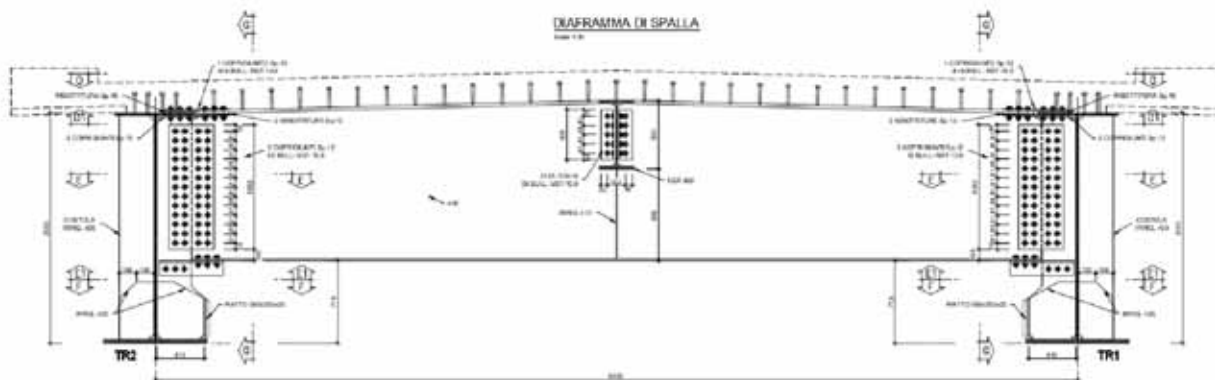


Figura 71 - Traverso di Testata

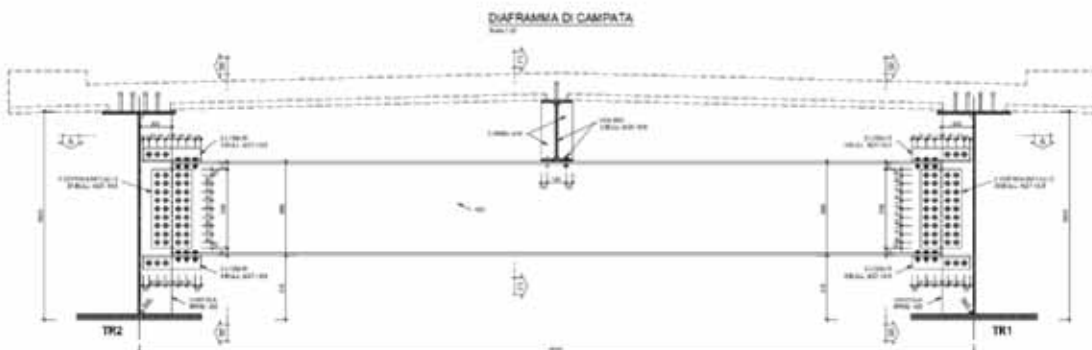


Figura 72 - Traverso di campata

LOTTO 1 – CAVALCAVIA AL KM. 12+325 - RELAZIONE DI CALCOLO IMPALCATO

6.2.9.1 VERIFICA GIUNTO TRAVERSO DI CAMPATA

$\gamma_{M0} =$	1,05	per sezioni classe 1,2,3 e 4
$\gamma_{M1} =$	1,05	per instabilità membrature
$\gamma_{M1} =$	1,10	per instabilità membrature ponti stradali e ferroviari
$\gamma_{M2} =$	1,25	per sezioni tese indebolite dai fori nei riguardi della frattura

Resistenza a taglio bulloni 4,6, 5,6 e 8,8

27	▼	10,9	▼
$F_{V,Rd} = \frac{0,6 \cdot f_{ik} \cdot A_{res}}{\gamma_{M2}}$		220,32	kN

Resistenza a taglio bulloni 6,8 e 10,9

$F_{V,Rd} = \frac{0,5 \cdot f_{ik} \cdot A_{res}}{\gamma_{M2}}$	183,6	kN
---	-------	----

Resistenza a rifollamento

$F_{b,Rd} = \frac{k \cdot \alpha \cdot f_{ik} \cdot d \cdot t}{\gamma_{M2}}$	182,87	kN	di bordo
	182,87	kN	interni

dove:

d è il diametro nominale del gambo del bullone.

t è lo spessore della piastra collegata.

f_{ik} è la resistenza a rottura del materiale della piastra collegata,

$\alpha = \min \{e_1/(3 \cdot d_0) ; f_{ik}/f_i ; 1\}$ per bulloni di bordo nella direzione del carico applicato,

$\alpha = \min \{p_1/(3 \cdot d_0) - 0,25 ; f_{ik}/f_i ; 1\}$ per bulloni interni nella direzione del carico applicato,

$k = \min \{2,8 \cdot e_1/d_0 - 1,7 ; 2,5\}$ per bulloni di bordo nella direzione perpendicolare al carico applicato,

$k = \min \{1,4 \cdot p_1/d_0 - 1,7 ; 2,5\}$ per bulloni interni nella direzione perpendicolare al carico applicato,

essendo e_1 , e_2 , p_1 e p_2 indicati in Fig. 4.2.3 e d_0 il diametro nominale del foro di alloggiamento del bullone.

S355 ▼

d = 27 mm

$f_{ik} =$ 510 mm

$\alpha =$ 0,50 mm

$\alpha =$ 0,50 mm

k = 1,66 mm

k = 1,66 mm

$e_1 =$ 36 mm

$e_2 =$ 36 mm

$p_1 =$ 66 mm

$p_2 =$ 72 mm

$V_{S,d} =$	312,00	kN	taglio assorbito da anima
$M_{S,d} =$	721,20	kNm	
$Braccio =$	0,900	m	
$F_{S,d} =$	801,33	kN	forza alle flange

LOTTO 1 – CAVALCAVIA AL KM. 12+325 - RELAZIONE DI CALCOLO IMPALCATO

Resistenza a taglio bulloni (flangia)			
$t_{piastra} =$	20	mm	
$h_{piastra} =$	272	mm	
$n_{piastre} =$	1	piastre	
$n_f =$	1	file	
$n_{pt} =$	2	piani di taglio	
$n_b =$	3	bulloni	
$F_{V,Rd_anima} = n \cdot n_b \cdot F_{V,Rd}$	1101,6	kN	ok!
Resistenza a taglio delle piastre anima:			
$n_f =$	2	file	
$n_{pt} =$	2	piani di taglio	
$n_b =$	9	bulloni	
$t_{piastra} =$	12	mm	
$h_{piastra} =$	759	mm	
$n_{piastre} =$	2	piastre	
$V_{V,Rd_piastre} = n_{piastre} \cdot \frac{f_y \cdot A}{\gamma_{M_0} \cdot \sqrt{3}}$	7112	kN	ok!
Resistenza a rifollamento flangia			
$F_{V,Ed} =$	133,56	kN	Sollecitazione taglio bullone
$F_{b,Rd} =$	182,87	kN	ok!
Resistenza a rifollamento anima			
$F_{V,Ed} =$	8,67	kN	Sollecitazione taglio bullone
$F_{b,Rd} =$	182,87	kN	ok!

LOTTO 1 – CAVALCAVIA AL KM. 12+325 - RELAZIONE DI CALCOLO IMPALCATO

6.2.9.2 VERIFICA GIUNTO TRAVERSO DI TESTATA

$\gamma_{M1} =$	1,05	per sezioni classe 1,2,3 e 4
$\gamma_{M1} =$	1,05	per instabilità membrature
$\gamma_{M1} =$	1,10	per instabilità membrature ponti stradali e ferroviari
$\gamma_{M2} =$	1,25	per sezioni tese indebolite dai fori nei riguardi della frattura

Resistenza a taglio bulloni 4,6, 5,6 e 8,8

27	▼	10,9	▼	
----	---	------	---	--

$$F_{V,Rd} = \frac{0,6 \cdot f_{tb} \cdot A_{res}}{\gamma_{M_2}} \quad 220,32 \quad \text{kN}$$

Resistenza a taglio bulloni 6,8 e 10,9

$$F_{V,Rd} = \frac{0,5 \cdot f_{tb} \cdot A_{res}}{\gamma_{M_2}} \quad 183,6 \quad \text{kN}$$

Resistenza a rifollamento

$$F_{b,Rd} = \frac{k \cdot \alpha \cdot f_{tk} \cdot d \cdot t}{\gamma_{M_2}} \quad 182,87 \quad \text{kN} \quad \begin{matrix} \text{di bordo} \\ \text{interni} \end{matrix}$$

dove:

d è il diametro nominale del gambo del bullone,

t è lo spessore della piastra collegata,

f_{tk} è la resistenza a rottura del materiale della piastra collegata,

$\alpha = \min \{e_1/(3 d_0); f_{tk}/f_t; 1\}$ per bulloni di bordo nella direzione del carico applicato,

$\alpha = \min \{p_1/(3 d_0) - 0,25; f_{tb}/f_t; 1\}$ per bulloni interni nella direzione del carico applicato,

$k = \min \{2,8 e_2/d_0 - 1,7; 2,5\}$ per bulloni di bordo nella direzione perpendicolare al carico applicato,

$k = \min \{1,4 p_2 / d_0 - 1,7, 2,5\}$ per bulloni interni nella direzione perpendicolare al carico applicato,
 essendo e_1, e_2, p_1 e p_2 indicati in Fig. 4.2.3 e d_0 il diametro nominale del foro di alloggiamento del bullone.

S355 ▼

d = 27 mm

$f_{tk} =$ 510 mm

$\alpha =$ 0,50 mm

$\alpha =$ 0,50 mm

$k =$ 1,66 mm

$k =$ 1,66 mm

$e_1 =$ 36 mm

$e_2 =$ 36 mm

$p_1 =$ 66 mm

$p_2 =$ 72 mm

$V_{s,d} =$	349,50	kN	taglio assorbito da anima
$M_{s,d} =$	722,10	kNm	
$Braccio =$	1,260	m	
$F_{s,d} =$	573,10	kN	forza alle flange

LOTTO 1 – CAVALCAVIA AL KM. 12+325 - RELAZIONE DI CALCOLO IMPALCATO

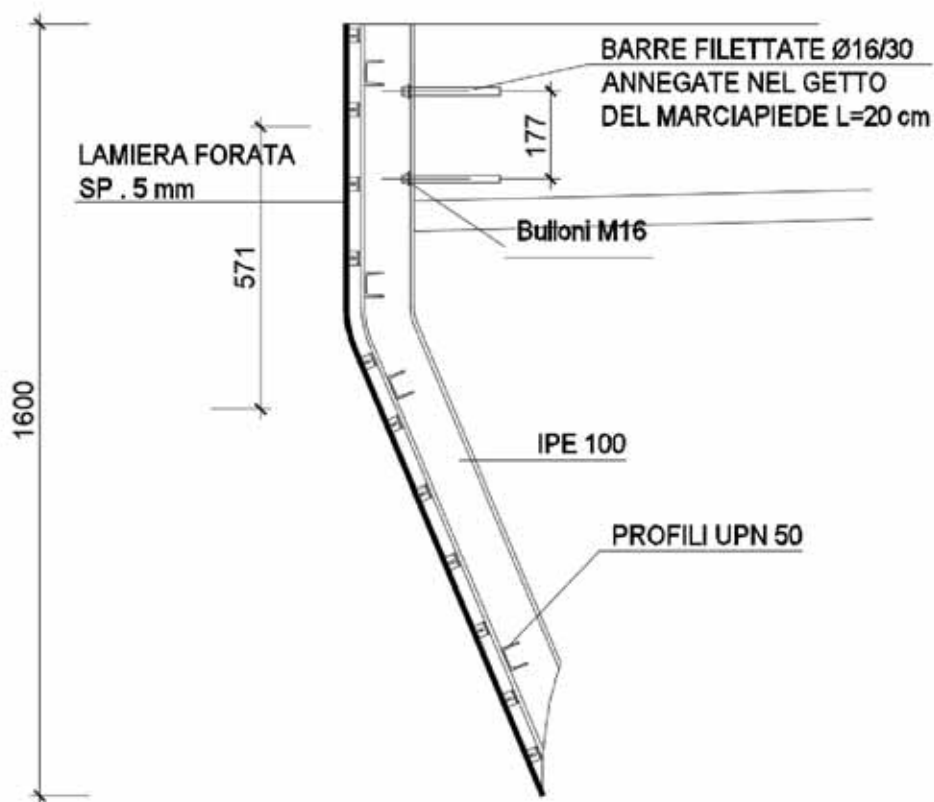
Resistenza a taglio bulloni (flangia)			
$t_{piastra} =$	20	mm	
$h_{piastra} =$	272	mm	
$n_{piastre} =$	1	piastre	
$n_f =$	1	file	
$n_{pt} =$	2	piani di taglio	
$n_b =$	6	bulloni	
$F_{V,Rd_anima} = n \cdot n_b \cdot F_{V,Rd}$	2203,2	kN	ok!
Resistenza a taglio delle piastre anima:			
$n_f =$	2	file	
$n_{pt} =$	2	piani di taglio	
$n_b =$	13	bulloni	
$t_{piastra} =$	12	mm	
$h_{piastra} =$	1082	mm	
$n_{piastre} =$	2	piastre	
$V_{V,Rd_piastre} = n_{piastre} \cdot \frac{f_y \cdot A}{\gamma_{M_0} \cdot \sqrt{3}}$	10138	kN	ok!
Resistenza a rifollamento flangia			
$F_{V,Ed} =$	47,76	kN	Sollecitazione taglio bullone
$F_{b,Rd} =$	182,87	kN	ok!
Resistenza a rifollamento anima			
$F_{V,Ed} =$	6,72	kN	Sollecitazione taglio bullone
$F_{b,Rd} =$	182,87	kN	ok!

LOTTO 1 – CAVALCAVIA AL KM. 12+325 - RELAZIONE DI CALCOLO IMPALCATO

6.2.10 VERIFICA VELETTA METALLICA

Si riporta di seguito la verifica degli elementi di supporto previsti a sostegno della veletta metallica laterale al cordolo dell'impalcato.

La veletta è composta da elementi di sostegno in acciaio sia trasversali IPE100 che trasversali UPN 50 ed una lamiera forata in alluminio di spessore pari a 5mm.



LOTTO 1 – CAVALCAVIA AL KM. 12+325 - RELAZIONE DI CALCOLO IMPALCATO

Peso Proprio Veletta	
Peso UPN 50 =	5,59 kg/ml
Peso Totale UPN 50 =	22,36 kg/ml
Peso IPE 100 =	8,10 kg/ml
Lunghezza IPE 100 =	1,40 m
Peso Totale IPE 100 =	11,34 kg/ml
Lunghezza Lamiera alluminio =	1,65 ml
Spessore Lamiera alluminio =	0,005 m
% Foratura Lamiera alluminio =	60%
Peso Lamiera alluminio =	8,91 kg/mq
Peso Totale =	42,61 kg/mq
	0,4261 kN/ml

Forza Orizzontale Vento	
ph =	1,88 kN/mq
H =	1,6 m
Fv =	3,008 kN
Braccio Fv =	0,571 m
Frazione =	6,469 kN
Taglio =	0,071 kN
Ft_d =	9,704 kN
T_d =	0,107 kN

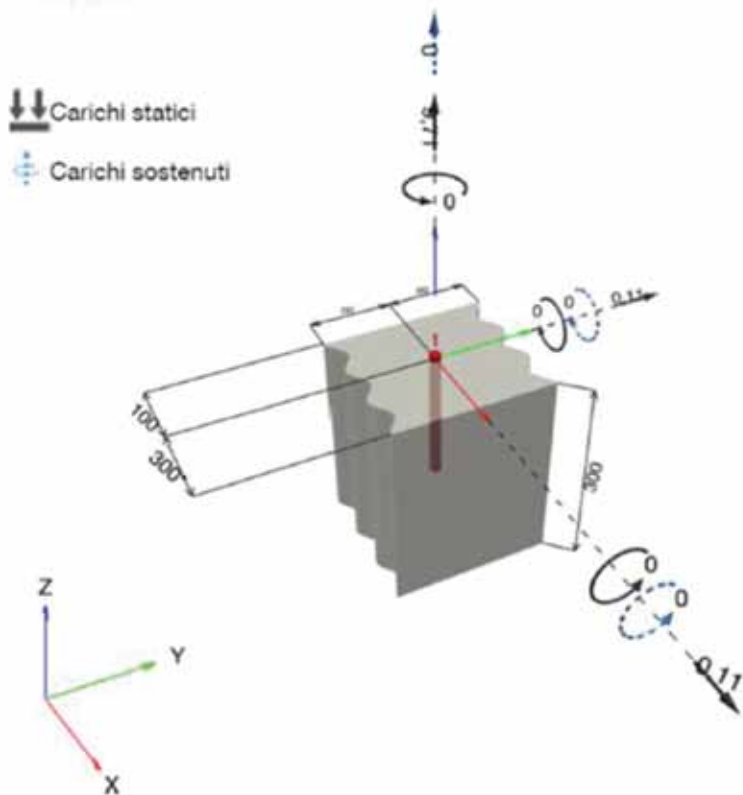
Si riporta di seguito la verifica di aderenza a trazione della barra filettata $\phi 16$ prevista ammorsata per 20cm all'interno del cordolo laterale.

LOTTO 1 – CAVALCAVIA AL KM. 12+325 - RELAZIONE DI CALCOLO IMPALCATO

1 Dati da inserire

Tipo e dimensione dell'ancorante:	HIT-RE 500 V4 + HAS-U 5.8 HDG M16
Periodo di ritorno (durata in anni):	50
Codice articolo:	2223897 HAS-U 5.8 HDG M16x200 (inserire) / 2287552 HIT-RE 500 V4 (composto indurente)
Profondità di posa effettiva:	$h_{ef,act} = 200.0 \text{ mm}$ ($h_{ef,int} = - \text{ mm}$)
Materiale:	5.8
Certificazione No.:	ETA 20/0541
Emesso I Valido:	04/09/2021 -
Prova:	metodo di calcolo EN 1992-4, chimica
Fissaggio distanziato:	
Profilo:	
Materiale base:	non fessurato calcestruzzo, C25/30, $f_{ck,cr} = 25.00 \text{ N/mm}^2$, $h = 300.0 \text{ mm}$, Temp. Breve/Lungo: 0/0 °C, Coefficiente parziale di sicurezza materiale definito dall'utente $\gamma_c = 1,500$
Installazione:	Foro eseguito con perforatore, Condizioni di installazione: asciutto
Armatura:	nessuna armatura o interasse tra le armature $\geq 150 \text{ mm}$ (qualsunque \varnothing) o $\geq 100 \text{ mm}$ ($\varnothing \leq 10 \text{ mm}$) senza armatura di bordo longitudinale

Geometria [mm] & Carichi [kN, kNm]



LOTTO 1 – CAVALCAVIA AL KM. 12+325 - RELAZIONE DI CALCOLO IMPALCATO

1.1 Combinazione carichi

Caso	Descrizione	Forze [kN] / Momenti [kNm]	Sismico	Fuoco	Util. max.	Tassello [%]
1	Combinazione 1	N = 9,710; V _x = 0,110; V _y = 0,110; M _x = 0,000; M _y = 0,000; M _z = 0,000; N _{sus} = 0,000; M _{x,sus} = 0,000; M _{y,sus} = 0,000;	no	no	20	

2 Condizione di carico/Carichi risultanti sull'ancorante

Carichi sull'ancorante [kN]

Trazione: (+ Trazione, - Compressione)

Ancorante	Trazione	Taglio	Taglio in dir. x	Taglio in dir. y
1	9,710	0,158	0,110	0,110

Compressione max. nel calcestruzzo: - [%]

Max. sforzo di compressione nel calcestruzzo: - [N/mm²]

risultante delle forze di trazione nel (x/y)=(0,0/0,0): 0,000 [kN]

risultante delle forze di compressione (x/y)=(0,0/0,0): 0,000 [kN]

3 Carico di trazione (EN 1992-4, sezione 7.2.1)

	Carico [kN]	Resistenza [kN]	Utilizzo β_N [%]	Stato
Rottura dell'acciaio*	9,710	52,333	19	OK
Rottura combinata conica del calcestruzzo e per sfilamento**	9,710	67,984	15	OK
Rottura conica del calcestruzzo**	9,710	55,311	18	OK
Fessurazione**	9,710	49,893	20	OK

*ancorante più sollecitato **gruppo di ancoranti (ancoranti sollecitati)

3.1 Rottura dell'acciaio

$$N_{Ed} \leq N_{Rd,z} = \frac{N_{Rk,z}}{\gamma_{M,z}} \quad \text{EN 1992-4, Tabella 7.1}$$

N _{Rk,z} [kN]	$\gamma_{M,z}$	N _{Rd,z} [kN]	N _{Ed} [kN]
78,500	1,500	52,333	9,710

LOTTO 1 – CAVALCAVIA AL KM. 12+325 - RELAZIONE DI CALCOLO IMPALCATO

3.2 Rottura combinata conica del calcestruzzo e per sfilamento

$$N_{Ed} \leq N_{Rd,p} = \frac{N_{Rd,c}}{\gamma_{M,p}}$$

EN 1992-4, Tabella 7.1

$$N_{Rd,p} = N_{Rd,c}^0 \cdot \frac{A_{0,N}}{A_{0,N}^0} \cdot V_{s,N} \cdot V_{r,N} \cdot V_{ec1,N} \cdot V_{ec2,N}$$

EN 1992-4, Eq. (7.13)

$$\begin{aligned} N_{Rd,c}^0 &= V_{s,N} \cdot t_{Rd,c} \cdot \pi \cdot d \cdot h_e \\ V_{s,N} &= 1 \end{aligned}$$

EN 1992-4, Eq. (7.14)
EN 1992-4, Eq. (7.14a)

$$s_{c,N} = 7,3 \cdot d \cdot \sqrt{V_{s,N} \cdot t_{Rd,c}} \leq 3 \cdot h_e$$

EN 1992-4, Eq. (7.15)

$$\psi_{s,N} = \psi_{s,N}^0 \cdot \left(\frac{s}{s_{c,N}} \right)^{0,5} \cdot \left(\psi_{s,N}^0 - 1 \right) \geq 1,00$$

EN 1992-4, Eq. (7.17)

$$\psi_{s,N}^0 = \sqrt{n} \cdot (\sqrt{n} - 1) \cdot \left(\frac{t_{Rd,c}}{t_{Rd,c}} \right)^{1,5} \geq 1,00$$

EN 1992-4, Eq. (7.18)

$$t_{Rd,c} = \frac{k_1}{\pi \cdot d} \cdot \sqrt{h_e \cdot f_{ck}}$$

EN 1992-4, Eq. (7.19)

$$\psi_{r,N} = 0,7 + 0,3 \cdot \frac{c}{c_{0,N}} \leq 1,00$$

EN 1992-4, Eq. (7.20)

$$\psi_{ec1,N} = \frac{1}{1 + \left(\frac{2 \cdot e_{c1,N}}{s_{c,N}} \right)} \leq 1,00$$

EN 1992-4, Eq. (7.21)

$$\psi_{ec2,N} = \frac{1}{1 + \left(\frac{2 \cdot e_{c2,N}}{s_{c,N}} \right)} \leq 1,00$$

EN 1992-4, Eq. (7.21)

$A_{0,N} [\text{mm}^2]$	$A_{0,N}^0 [\text{mm}^2]$	$t_{Rd,c,20} [\text{N/mm}^2]$	$s_{c,N} [\text{mm}]$	$c_{0,N} [\text{mm}]$	$c_{s,N} [\text{mm}]$	$f_{ck} [\text{N/mm}^2]$
164.117	231.918	17,00	481,6	240,8	100,0	25,00
ψ_s	$t_{Rd,c,20} [\text{N/mm}^2]$	k_3	$t_{Rd,c} [\text{N/mm}^2]$	$\psi_{s,N}^0$	$V_{s,N}$	
1,023	17,38	11,000	15,47	1,000	1,000	
$e_{c1,N} [\text{mm}]$	$V_{ec1,N}$	$e_{c2,N} [\text{mm}]$	$\psi_{ec1,N}$	$V_{s,N}$	$V_{r,N}$	
0,0	1,000	0,0	1,000	0,825	1,000	
$\psi_{s,N}$	$a_{s,N}$	$V_{s,N}$				
0,880	0,000	1,000				
$N_{Rd,c}^0 [\text{kN}]$	$N_{Rd,c} [\text{kN}]$	$\gamma_{M,p}$	$N_{Rd,c} [\text{kN}]$	$N_{Ed} [\text{kN}]$		
174,750	101,976	1,500	67,684	9,710		

ID gruppo ancoranti

1

3.3 Rottura conica del calcestruzzo

$$N_{Ed} \leq N_{Rd,c} = \frac{N_{Rd,c}}{\gamma_{M,c}}$$

EN 1992-4, Tabella 7.1

$$N_{Rd,c} = N_{Rd,c}^0 \cdot \frac{A_{0,N}}{A_{0,N}^0} \cdot V_{s,N} \cdot V_{r,N} \cdot V_{ec1,N} \cdot V_{ec2,N} \cdot V_{MN}$$

EN 1992-4, Eq. (7.1)

$$\begin{aligned} N_{Rd,c}^0 &= k_1 \cdot \sqrt{f_{ck} \cdot h_e^{1,5}} \\ A_{0,N}^0 &= s_{c,N} \cdot s_{c,N} \\ V_{s,N} &= 0,7 + 0,3 \cdot \frac{c}{c_{0,N}} \leq 1,00 \end{aligned}$$

EN 1992-4, Eq. (7.2)
EN 1992-4, Eq. (7.3)
EN 1992-4, Eq. (7.4)

$$\psi_{ec1,N} = \frac{1}{1 + \left(\frac{2 \cdot e_{c1,N}}{s_{c,N}} \right)} \leq 1,00$$

EN 1992-4, Eq. (7.6)

$$\psi_{ec2,N} = \frac{1}{1 + \left(\frac{2 \cdot e_{c2,N}}{s_{c,N}} \right)} \leq 1,00$$

EN 1992-4, Eq. (7.6)

$$\psi_{MN} = 1$$

EN 1992-4, Eq. (7.7)

$A_{c,N} [\text{mm}^2]$	$A_{c,N}^0 [\text{mm}^2]$	$c_{0,N} [\text{mm}]$	$s_{c,N} [\text{mm}]$	$f_{ck} [\text{N/mm}^2]$		
240.000	360.000	300,0	600,0	25,00		
$e_{c1,N} [\text{mm}]$	$V_{ec1,N}$	$e_{c2,N} [\text{mm}]$	$\psi_{ec2,N}$	$V_{s,N}$	$V_{r,N}$	
0,0	1,000	0,0	1,000	0,800	1,000	
$z [\text{mm}]$	V_{MN}	k_1	$N_{Rd,c}^0 [\text{MN}]$	$\gamma_{M,c}$	$N_{Rd,c} [\text{kN}]$	$N_{Ed} [\text{kN}]$
0,0	1,000	11,000	155,563	1,500	55,311	9,710

ID gruppo ancoranti

1

LOTTO 1 – CAVALCAVIA AL KM. 12+325 - RELAZIONE DI CALCOLO IMPALCATO

3.4 Fessurazione

$$N_{Ed} \leq N_{Rk,sp} = \frac{N_{Rk,sp}}{\gamma_{M0}}$$

EN 1992-4, Tabella 7.1

$$N_{Rk,sp} = N_{Rk,sp}^0 \cdot \frac{A_{c,N}}{A_{c,N}} \cdot \psi_{z,N} \cdot \psi_{re,N} \cdot \psi_{ect,N} \cdot \psi_{et2,N} \cdot \psi_{h,sp}$$

EN 1992-4, Eq. (7.23)

$$N_{Rk,sp}^0 = \min(N_{Rk,sp}^0, N_{Rk,c}^0)$$

$$A_{c,N}^0 = s_{c,sp} \cdot s_{c,sp}$$

EN 1992-4, Eq. (7.3)

$$\psi_{z,N} = 0,7 + 0,3 \cdot \frac{c}{c_{c,sp}} \leq 1,00$$

EN 1992-4, Eq. (7.4)

$$\psi_{ect,N} = \frac{1}{1 + \left(\frac{2 \cdot e_{N,1}}{s_{c,sp}} \right)} \leq 1,00$$

EN 1992-4, Eq. (7.6)

$$\psi_{et2,N} = \frac{1}{1 + \left(\frac{2 \cdot e_{N,2}}{s_{c,sp}} \right)} \leq 1,00$$

EN 1992-4, Eq. (7.6)

$$\psi_{h,sp} = \left(\frac{h}{h_{mn}} \right)^{2,1} \leq \max \left\{ 1; \left(\frac{h_{ef} + 1,5 \cdot c_1}{h_{mn}} \right)^{2,1} \right\} \leq 2,00$$

EN 1992-4, Eq. (7.24)

$A_{c,N} [\text{mm}^2]$	$A_{c,N}^0 [\text{mm}^2]$	$c_{c,sp} [\text{mm}]$	$s_{c,sp} [\text{mm}]$	$\psi_{h,sp}$	$f_{c,Cf} [\text{N/mm}^2]$	
304.000	577.600	380,0	760,0	1,173	25,00	
$e_{c1,N} [\text{mm}]$	$\psi_{ect,N}$	$e_{c2,N} [\text{mm}]$	$\psi_{et2,N}$	$\psi_{z,N}$	$\psi_{re,N}$	k_t
0,0	1,000	0,0	1,000	0,779	1,000	11,000

$N_{Rk,sp}^0 [\text{kN}]$	$T_{M,sp}$	$N_{Rk,sp} [\text{kN}]$	$N_{Ed} [\text{kN}]$
155,563	1,500	49,893	9,710

ID gruppo ancoranti

1

LOTTO 1 – CAVALCAVIA AL KM. 12+325 - RELAZIONE DI CALCOLO IMPALCATO

4 Carico di taglio (EN 1992-4, sezione 7.2.2)

	Carico [kN]	Resistenza [kN]	Utilizzo β_v [%]	Stato
Rottura dell'acciaio (senza braccio di leva)*	0,156	37,728	1	OK
Rottura dell'acciaio (con braccio di leva)*	N/A	N/A	N/A	N/A
Rottura per pryout**	0,156	110,623	1	OK
Rottura del bordo del calcestruzzo in direzione x-**	0,110	33,825	1	OK

*ancorante più sollecitato **gruppo di ancoranti (ancoranti specifici)

4.1 Rottura dell'acciaio (senza braccio di leva)

$$V_{Ed} \leq V_{Rd,3} = \frac{V_{Rd,3}}{\gamma_{M,3}}$$

EN 1992-4, Tabella 7.2

$$V_{Rd,3} = k_7 \cdot V_{Rd,3}^0$$

EN 1992-4, Eq. (7.35)

$V_{Rd,3}^0$ [kN]	k_7	$V_{Rd,3}$ [kN]	$\gamma_{M,3}$	$V_{Rd,3}$ [kN]	V_{Ed} [kN]
47,160	1,000	47,160	1,250	37,728	0,156

4.2 Rottura per pryout (cono del calcestruzzo)

$$V_{Ed} \leq V_{Rd,CP} = \frac{V_{Rd,CP}}{\gamma_{M,C,P}}$$

EN 1992-4, Tabella 7.2

$$V_{Rd,CP} = k_8 \cdot \min\{N_{Rd,C}, N_{Rd,P}\}$$

EN 1992-4, Eq. (7.39c)

$$N_{Rd,C} = N_{Rd,C}^0 \cdot \frac{A_{C,N}}{A_{C,N}^0} \cdot \psi_{1,N} \cdot \psi_{n,N} \cdot \psi_{e1,N} \cdot \psi_{e2,N} \cdot \psi_{MN}$$

EN 1992-4, Eq. (7.1)

$$N_{Rd,C}^0 = k_1 \cdot \sqrt{f_{ck}} \cdot h_{ef}^{1,5}$$

EN 1992-4, Eq. (7.2)

$$A_{C,N}^0 = s_{ct,N} \cdot s_{ct,N}$$

EN 1992-4, Eq. (7.3)

$$\psi_{1,N} = 0,7 + 0,3 \cdot \frac{c}{c_{ct,N}} \leq 1,00$$

EN 1992-4, Eq. (7.4)

$$\psi_{e1,N} = \frac{1}{1 + \left(\frac{2 \cdot e_{v,1}}{s_{ct,N}} \right)} \leq 1,00$$

EN 1992-4, Eq. (7.6)

$$\psi_{e2,N} = \frac{1}{1 + \left(\frac{2 \cdot e_{v,2}}{s_{ct,N}} \right)} \leq 1,00$$

EN 1992-4, Eq. (7.6)

$$\psi_{MN} = 1$$

EN 1992-4, Eq. (7.7)

$A_{C,N}$ [mm ²]	$A_{C,N}^0$ [mm ²]	$c_{ct,N}$ [mm]	$s_{ct,N}$ [mm]	k_8	f_{ck} [N/mm ²]
240.000	300.000	300,0	600,0	2,000	25,00
$e_{v,1}$ [mm]	$\psi_{e1,N}$	$e_{v,2}$ [mm]	$\psi_{e2,N}$	ψ_{MN}	ψ_{MN}
0,0	1,000	0,0	1,000	0,800	1,000
k_1	$N_{Rd,C}^0$ [kN]	$\gamma_{M,C,P}$	$V_{Rd,CP}$ [kN]	V_{Ed} [kN]	
11,000	155,563	1,500	110,623	0,156	

ID gruppo ancoranti

1

LOTTO 1 – CAVALCAVIA AL KM. 12+325 - RELAZIONE DI CALCOLO IMPALCATO

4.3 Rottura del bordo del calcestruzzo in direzione x-

$$V_{Ed} \leq V_{Rd,c} = \frac{V_{Rd,c}}{\gamma_{Mz}}$$

EN 1992-4, Tabella 7.2

$$V_{Rd,c} = k_T \cdot V_{Rd,c}^0 \cdot \frac{A_{cv}}{A_{cv}^0} \cdot \psi_{z,V} \cdot \psi_{h,V} \cdot \psi_{c,V} \cdot \psi_{ec,V} \cdot \psi_{m,V}$$

EN 1992-4, Eq. (7.40)

$$V_{Rd,c}^0 = k_3 \cdot d_{nom}^x \cdot \frac{\rho}{c_1} \cdot \sqrt{f_{ck}} \cdot c_1^{1.5}$$

EN 1992-4, Eq. (7.41)

$$\alpha = 0.1 \cdot \left(\frac{h}{c_1} \right)^{0.5}$$

EN 1992-4, Eq. (7.42)

$$\beta = 0.1 \cdot \left(\frac{d_{nom}}{c_1} \right)^{0.5}$$

EN 1992-4, Eq. (7.43)

$$A_{cv}^0 = 4.5 \cdot c_1^2$$

EN 1992-4, Eq. (7.44)

$$\psi_{z,V} = 0.7 + 0.3 \cdot \frac{c_2}{1.5 \cdot c_1} \leq 1.00$$

EN 1992-4, Eq. (7.45)

$$\psi_{h,V} = \left(\frac{1.5 \cdot c_1}{h} \right)^{0.5} \geq 1.00$$

EN 1992-4, Eq. (7.46)

$$\psi_{ec,V} = \frac{1}{1 + \left(\frac{2 \cdot e_V}{3 \cdot c_1} \right)} \leq 1.00$$

EN 1992-4, Eq. (7.47)

$$\psi_{m,V} = \sqrt{\frac{1}{(\cos \alpha_V)^2 + (0.5 \cdot \sin \alpha_V)^2}} \geq 1.00$$

EN 1992-4, Eq. (7.48)

l [mm]	d_{nom} [mm]	k_T	α	β	$f_{ck,p}$ [N/mm 2]	
192.0	16.00	2.400	0.139	0.060	25.00	
c_1 [mm]	A_{cv} [mm 2]	A_{cv}^0 [mm 2]				
100.0	45.000	45.000				
$\psi_{z,V}$	$\psi_{h,V}$	$\psi_{ec,V}$	e_V [mm]	$\psi_{m,V}$	$\psi_{m,V}$	
1.000	1.000	2.000	0.0	1.000	1.000	
$V_{Rd,c}^0$ [kN]	k_T	γ_{Mz}	$V_{Rd,c}$ [kN]	V_{Ed} [kN]		
25,360	1,0	1.500	33.825	0.110		

5 Carichi combinati di trazione e di taglio (EN 1992-4, sezione 7.2.3)

Rottura dell'acciaio

β_N	β_V	α	Utilizzo β_{NV} [%]	Stato
0,186	0,004	2,000	4	OK

$$\beta_N^0 + \beta_V^0 \leq 1,0$$

Rottura del calcestruzzo

β_N	β_V	α	Utilizzo β_{NV} [%]	Stato
0,195	0,003	1,500	9	OK

$$\beta_N^0 + \beta_V^0 \leq 1,0$$

6 Spostamenti (ancorante più sollecitato)

Carichi a breve termine:

$$N_{sk} = 7.193 \text{ [kN]} \quad \delta_N = 0.0429 \text{ [mm]}$$

$$V_{sk} = 0.115 \text{ [kN]} \quad \delta_V = 0.0046 \text{ [mm]}$$

$$V_{nv} = 0.0432 \text{ [mm]}$$

Carichi a lungo termine:

$$N_{sk} = 7.193 \text{ [kN]} \quad \delta_N = 0.0930 \text{ [mm]}$$

$$V_{sk} = 0.115 \text{ [kN]} \quad \delta_V = 0.0069 \text{ [mm]}$$

$$V_{nv} = 0.0033 \text{ [mm]}$$

7 VERIFICA SOLETTA

Si riportano di seguito le verifiche effettuate per il dimensionamento delle solette di impalcato.

7.1 VERIFICA SOLETTA FASE TRANSITORIA

In questa fase di calcolo viene verificata la lastra di predalles con relativi tralicci al fine di sostenere i carichi della soletta, del peso degli operatori e di eventuali barriere di protezione laterali provvisorie per la sicurezza degli operatori.

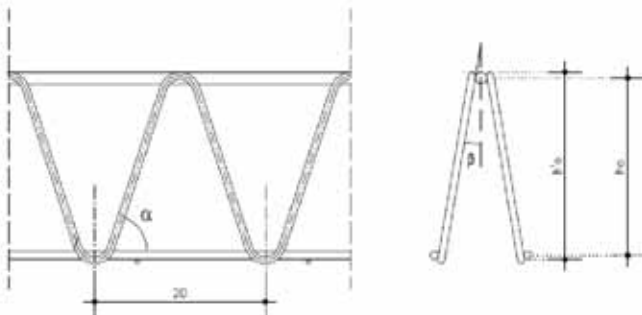
Si riportano di seguito i valori dei carichi utilizzati ed il calcolo delle sollecitazioni in campata ed in appoggio al fine di dimensionare il traliccio da prevedere nel predalles.

7.1.1 ANALISI DEI CARICHI

Si considera il peso proprio della lastra di predalles, il peso del getto della soletta, il peso di un parapetto di protezione e di un mezzo operativo per le varie lavorazioni.

		Sp [m]	γ [kN/m³]		
Gk1	Peso Proprio	0.05	25	1.25	kN/m²
Gk2	Peso Soletta	0.21	25	5.25	kN/m²
Gk2	Peso Parapetto Sic.			0.4	kN/m
Qk	Peso Mezzo Operativo			1	kN/m²

Le verifiche vengono eseguite facendo riferimento allo Stato Limite Ultimo della sezione. Si verifica che le tensioni sugli elementi metallici che costituiscono il traliccio siano inferiori alla tensione di calcolo e che la stabilità degli elementi compressi risulti soddisfatta. Di seguito si riporta una rappresentazione schematica del traliccio utilizzato.



Altezza totale del traliccio: $h'_0 = 165 \text{ mm}$
 Diametro correnti superiori: $f_{CS} = 16 \text{ mm}$
 Diametro correnti inferiori: $f_{CI} = 14 \text{ mm}$
 Diametro staffa: $f_{CD} = 10 \text{ mm}$

7.1.2 VERIFICA A MOMENTO POSITIVO - CAMPATA

Analizzando gli elaborati grafici allegati al presente progetto esecutivo, si evince che la distanza tra le anime delle travi di appoggio è pari a 3.50m e considerando 5 cm di appoggio su entrambe le strutture,

LOTTO 1 – CAVALCAVIA AL KM. 12+325 - RELAZIONE DI CALCOLO IMPALCATO

si considera una luce di calcolo pari a 3.65m. Si riporta di seguito il calcolo delle sollecitazioni di progetto.

SEZIONE IN CAMPATA				
	LC	3.65		
	MOMENTO FLETTENTE	TAGLIO	Med	Ted
Gk1	$1.25 \times 1.20 \times 3.65^2 / 8$	$1.25 \times 1.20 \times 3.65/2$	2.50	2.74
Gk2	$5.25 \times 1.20 \times 3.65^2 / 8$	$5.25 \times 1.20 \times 3.65/2$	10.49	11.50
Qk	$1 \times 1.20 \times 3.65^2 / 8$	$1 \times 1.20 \times 3.65/2$	2.00	2.19
	Med		24.41	21.35
	Ted			
	Ned = (Med / h₀) / 3		54.25	

Altezza totale traliccio	ht=	16.50	cm
Larghezza totale traliccio	B=	9.00	cm
Interasse tralicci	i=	40.00	cm
Numero di tralicci /m	n=	3	
Passo traliccio	p=	20.00	cm
Quota corrente inferiore	s=	2.00	cm
Corrente superiore	1 Øs=	1.60	cm
Ferro integr sup (I)	0 Øs'=	0.00	cm
Ferro integr sup (II)	0 Øs"=	0.00	cm
Corrente inferiore	2 Øi=	1.40	cm
Diagonale	Ød=	1.00	cm
Altezza utile traliccio	d=	13.0	cm
Interasse ferri inferiori	pi=	7.6	cm
Interasse trasm. diagonale	bd=	5.2	cm
Inclinazione longitudinale	α=	1.065	rad
Inclinazione trasversale	β=	0.192	rad
Area corrente superiore	As=	2.01	cm ²
Area ferro integr sup (I)	As'=	0.00	cm ²
Area ferro integr sup (II)	As"=	0.00	cm ²
Area corrente inferiore	Ai=	3.08	cm ²
Area diagonale	Ad=	0.79	cm ²
Inerzia corrente superiore	Js=	0.3217	cm ⁴
Inerzia ferro integr sup (I)	Js'=	0.0000	cm ⁴
Inerzia ferro integr sup (II)	Js"=	0.0000	cm ⁴
Inerzia corrente inferiore	Ji=	0.3771	cm ⁴
Inerzia diagonale	Jd=	0.0491	cm ⁴

LOTTO 1 – CAVALCAVIA AL KM. 12+325 - RELAZIONE DI CALCOLO IMPALCATO

CARATTERISTICHE DI RESISTENZA TRALICCIO

	Area cm ²	Quota cm	J cm ⁴	Jtrasp cm ⁴	J+Jtrasp cm ⁴
Corr sup + ferro (I)	2.01	15.7	0.322	124.3	124.7
Ferro (II)	0.00	14.9	0.000	0.0	0.0
Corrente inf	3.08	2.7	0.377	81.2	81.6

Quota baricentro	YG=	7.84	cm
Area totale	Atot=	5.1	cm ²
Inerzia totale	Jtot=	206.3	cm ⁴
Modulo di resistenza c. sup.	Ws=	26.23	cm ³
Modulo di resistenza ferro (II)	Ws'=	29.2	cm ³
Modulo di resistenza c. inf.	Wi=	40.2	cm ³

CARATTERISTICHE DI RESISTENZA ALL'INSTABILITÀ TRALICCIO

Corrente superiore

Lunghezza asta	L=	20.0	cm
Coefficiente riduttivo	β =	0.7	
Lunghezza libera inflessione	L0=	14.0	cm
Carico critico Euleriano	Ncr=	340183	N
Snellezza adimensionale	λ =	0.52	
Fattore di imperfezione	α =	0.49	
Coefficiente	Φ =	0.71	
Fattore di riduzione (≤ 1)	χ =	0.83	
Resistenza asta compressione	NbRd=	-65.6	kN

LOTTO 1 – CAVALCAVIA AL KM. 12+325 - RELAZIONE DI CALCOLO IMPALCATO

Corrente inferiore

Lunghezza asta	L=	20.0	cm
Coefficiente riduttivo	β =	0.7	
Lunghezza libera inflessione	L ₀ =	14.0	cm
Carico critico Euleriano	N _{cr} =	199409	N
Snellezza adimensionale	λ =	0.59	
Fattore di imperfezione	α =	0.49	
Coefficiente	Φ =	0.77	
Fattore di riduzione (≤ 1)	χ =	0.79	
Resistenza asta compressione	N _{bRd} =	-47.7	kN

Diagonale

Lunghezza asta	L=	16.6	
Coefficiente riduttivo	β =	0.7	
Lunghezza libera inflessione	L ₀ =	11.6	cm
Carico critico Euleriano	N _{cr} =	75294	N
Snellezza adimensionale	λ =	0.69	
Fattore di imperfezione	α =	0.49	
Coefficiente	Φ =	0.85	
Fattore di riduzione (≤ 1)	χ =	0.73	
Resistenza asta compressione	N _{bRd} =	-22.6	kN

VERIFICA TRALICCIO

Momento sollecitante	M _{sd} =	24.41	kNm	campata
Taglio sollecitante	V _{sd} =	21.35	kN	appoggio
Momento soll. /traliccio	m _{sd} =	8.14	kNm	campata
Taglio sollec. /traliccio	v _{sd} =	7.12	kN	appoggio

Corrente superiore compresso

Verifica di resistenza

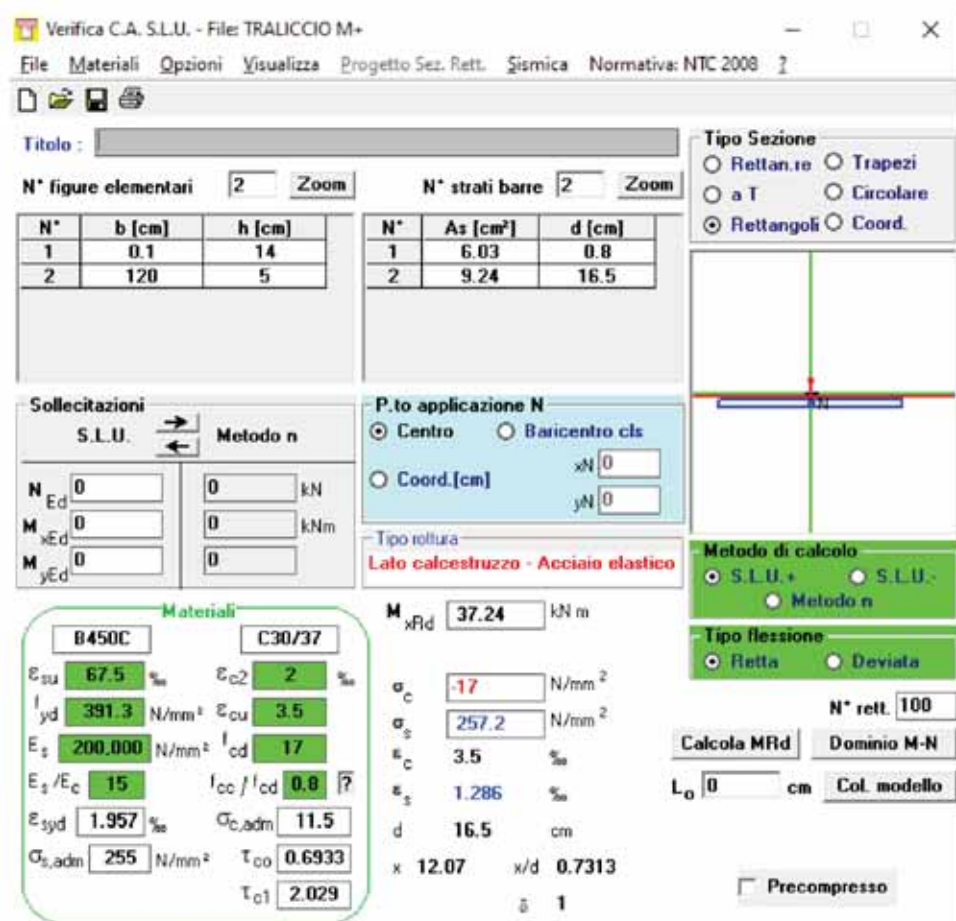
Tensione limite di calcolo	f _{yD} =	-391	N/mm ²
Tensione corrente superiore	σ_s =	-310	N/mm ²
Coefficiente di sicurezza	c.s.=	1.26	VERIFICATO

Verifica di instabilità

Resistenza asta compressa	N _{bRd} =	-65.6	kN
Compressione	N _{sd} =	-62.4	kN
Coefficiente di sicurezza	c.s.=	1.05	VERIFICATO

Si esegue ora la verifica della struttura allo SLU.

LOTTO 1 – CAVALCAVIA AL KM. 12+325 - RELAZIONE DI CALCOLO IMPALCATO



Med < Mrd Verifica soddisfatta

7.1.3 VERIFICA A MOMENTO NEGATIVO APPOGGIO

Analizzando gli elaborati grafici allegati al presente progetto esecutivo, si evince che la distanza dello sbalzo rispetto all'asse dell'anima della trave di appoggio è pari a 1.25m. Si riporta di seguito il calcolo delle sollecitazioni e la verifica strutturale allo SLU.

SEZIONE IN APPOGGIO		
	LC	1.25
MOMENTO FLETTENTE		
Gk1	$1.25 \times 1.20 \times 1.25^2 / 2$	1.17
Gk2	$5.25 \times 1.20 \times 1.25^2 / 2$	4.92
Gk2	$0.4 \times 1.20 \times 1.25$	0.60
Qk	$1 \times 1.20 \times 1.25^2 / 2$	0.94
	Med	11.27

Si esegue ora la verifica della struttura allo SLU.

LOTTO 1 – CAVALCAVIA AL KM. 12+325 - RELAZIONE DI CALCOLO IMPALCATO

Verifica C.A. S.L.U. - File: TRALICCIO M-

File Materiali Opzioni Visualizza Progetto Sez. Rett. Sismica Normativa: NTC 2008 ?

Titolo : []

N° figure elementari [2] Zoom | N° strati barre [2] Zoom

N°	b [cm]	h [cm]
1	0.1	14
2	120	5

N°	As [cm ²]	d [cm]
1	6.03	0.8
2	9.239999	16.5

Tipo Sezione

- Rettang.re
- Trapezi
- a T
- Circolare
- Rettangoli
- Coord.

Sollecitazioni

S.L.U. Metodo n

N Ed	0	kN
M xEd	0	kNm
M yEd	0	

P.tto applicazione N

- Centro
- Baricentro c/s
- Coord. [cm] xN 0 yN 0

Lato calcestruzzo - Acciaio snervato

Metodo di calcolo

- S.L.U.+
- S.L.U.-
- Metodo n

Tipo Iessione

- Retta
- Deviata

M xEd = 42.71 kN m

$\sigma_c = -17 \text{ N/mm}^2$

$\sigma_s = 391.3 \text{ N/mm}^2$

$\varepsilon_c = 3.5 \text{ \%}$

$\varepsilon_s = 26.51 \text{ \%}$

$d = 18.2 \text{ cm}$

$x = 2.122 \quad x/d = 0.1166$

$\delta = 0.7$

Precompresso

Materiali

B450C	C30/37
$\varepsilon_{su} = 67.5 \text{ \%}$	$\varepsilon_{c2} = 2 \text{ \%}$
$f_yd = 391.3 \text{ N/mm}^2$	$E_{cu} = 3.5$
$E_s = 200.000 \text{ N/mm}^2$	$f_{cd} = 17$
$E_s/E_c = 15$	$f_{cc}/f_{cd} = 0.8$
$\varepsilon_{syd} = 1.957 \text{ \%}$	$\sigma_{c,adm} = 11.5$
$\sigma_{s,adm} = 255 \text{ N/mm}^2$	$\tau_{co} = 0.6933$
	$\tau_{c1} = 2.029$

Med < Mrd Verifica soddisfatta

LOTTO 1 – CAVALCAVIA AL KM. 12+325 - RELAZIONE DI CALCOLO IMPALCATO

7.2 VERIFICA SOLETTA FASE DEFINITIVA

In questa fase di calcolo viene effettuato il calcolo della soletta considerando i seguenti carichi permanenti compatibilmente a quanto utilizzato per il dimensionamento dell'impalcato metallico.

PESO SOLETTA

Hsolella =	0.26	m
γ =	25	kN/mc
peso =	6.5	kN/mq

CORDOLI

Hcordoli =	0.15	m
γ =	25	kN/mc
peso =	3.75	kN/mq

PERMANENTE PORTATO

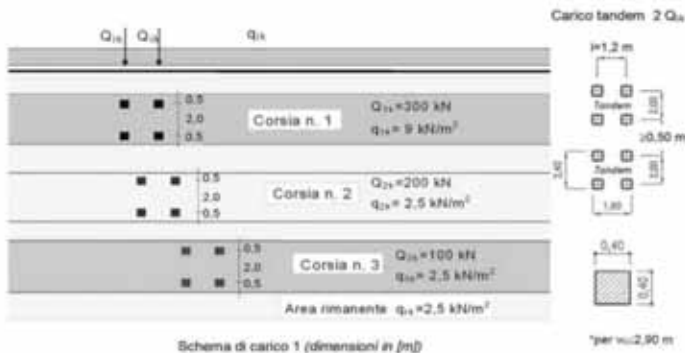
Hsolella =	0.11	cm
γ =	24	kN/mc
peso =	2.64	kN/mq

BARRIERE+VELETTE E TUBAZIONI

Barriere =	1.5	kN/ml
Tubazioni =	0.1	kN/ml
Veletta =	0.4	kN/ml
Total	2.00	kN/ml

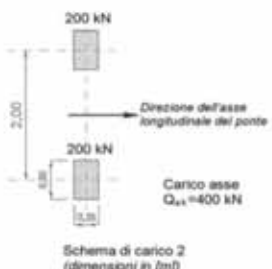
I carichi accidentali considerati sono quelli prescritti dalla normativa ed in particolare lo schema di carico 1, costituito da carichi concentrati su due assi in tandem, applicati su impronte di pneumatico di forma quadrata e lato pari a 0,40 m (Qik), oltre che da un carico distribuito a metro quadrato (qik) applicato alla corsia di carico.

I valori adottati per i carichi variano in base alla corsia di carico, secondo lo schema di normativa riportato nel seguente.



Oltre a questo, è stato adottato anche lo schema di carico 2, costituito da un singolo asse applicato su specifiche impronte di pneumatico di forma rettangolare, con larghezza 0,60 m ed altezza 0,35 m. Nel seguente l'immagine estratta dalla normativa.

LOTTO 1 – CAVALCAVIA AL KM. 12+325 - RELAZIONE DI CALCOLO IMPALCATO



In aggiunta a quanto sopra, occorre tenere in conto anche l'urto di veicoli in svio (q_8). La normativa, a tal proposito, indica che le forze causate da collisioni accidentali sugli elementi di sicurezza, possono essere considerate attraverso una forza orizzontale equivalente di collisione pari a 100 kN. Tale forza è da intendersi applicata trasversalmente ed orizzontalmente 100 mm sotto la sommità dell'elemento su cui insiste, oppure, 1,0 m sopra il piano di marcia, a seconda di quale sia il minore per una striscia di 0.5m. Ai fini dell'applicazione di tale forza alla soletta di impalcato, è stata considerata una diffusione a terra ottenendo una larghezza di carico pari a $1.00 + 0.50 + 1.00$ ottenendo un effetto torcente sul bordo della soletta pari a $M_t = 100 \text{ kN}/2.5\text{m} = 40 \text{ kNm/m}$. I carichi concentrati previsti nei casi di carico, sono stati applicati tenendo in considerazione dell'effettiva geometria della mesh di calcolo utilizzata e considerando (come previsto dalla norma) una diffusione di carico a 45° fino al baricentro della soletta in cls.

Si riportano di seguito alcune immagini relative al modello e ai carichi applicati.

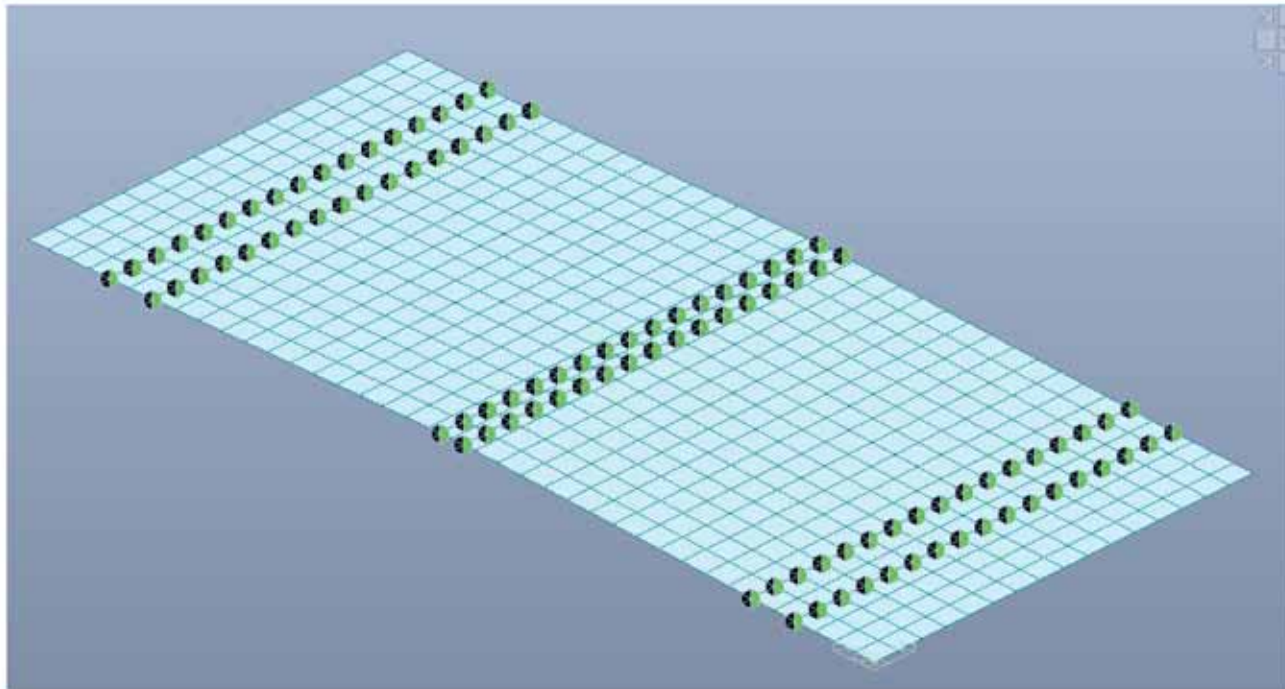


Figura 73 - Modello di calcolo

LOTTO 1 – CAVALCAVIA AL KM. 12+325 - RELAZIONE DI CALCOLO IMPALCATO

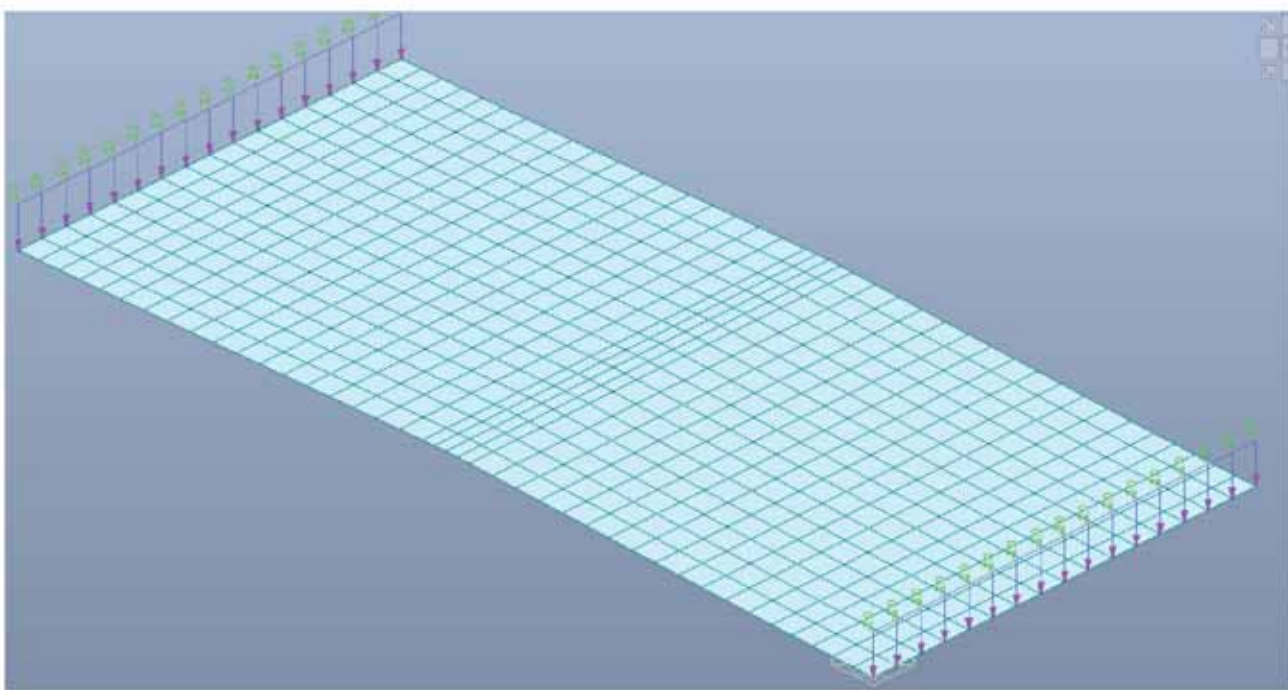


Figura 74 – Peso Barriera + Veletta + Tubazioni

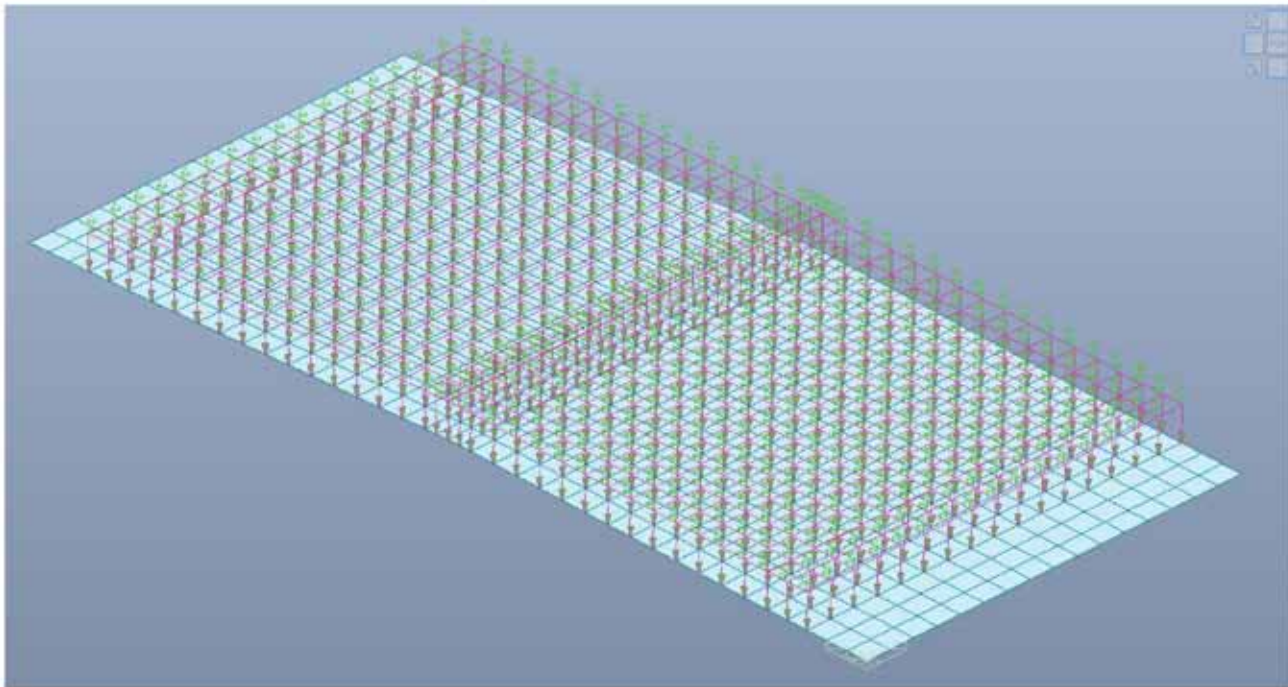


Figura 75 - Peso permanente portato.

LOTTO 1 – CAVALCAVIA AL KM. 12+325 - RELAZIONE DI CALCOLO IMPALCATO

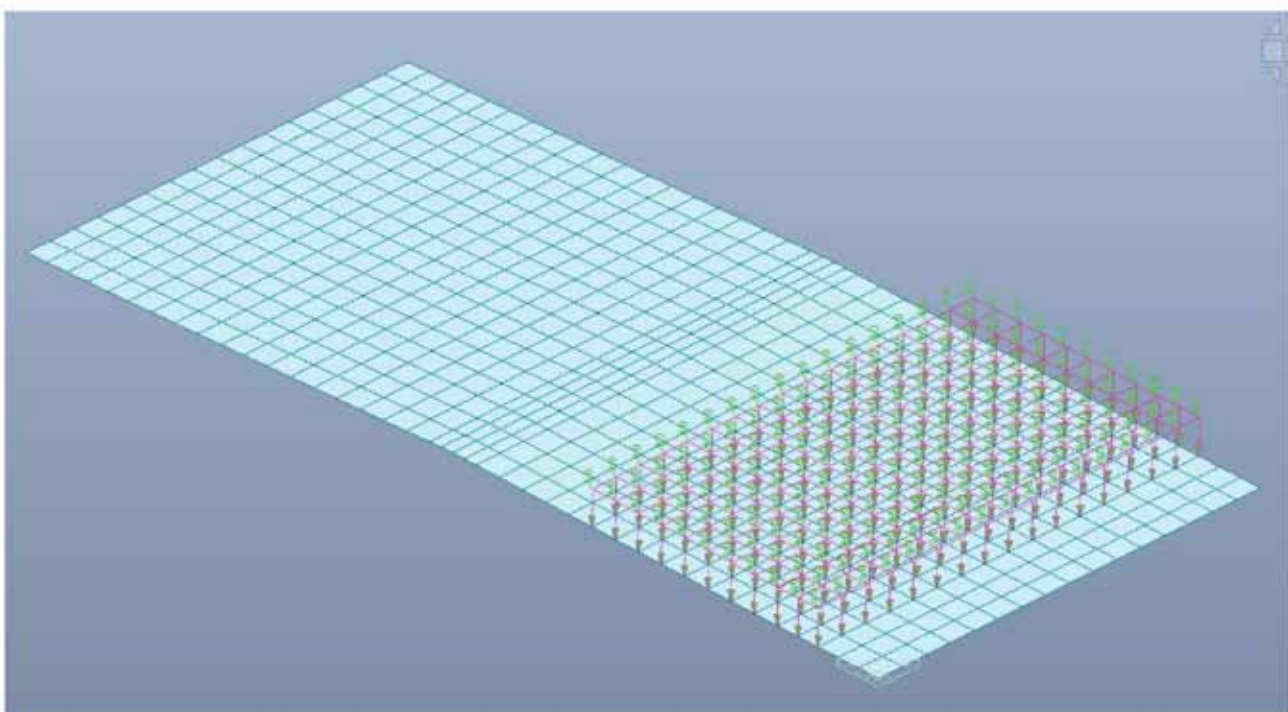


Figura 76 - Carico Distribuito prima colonna di carico

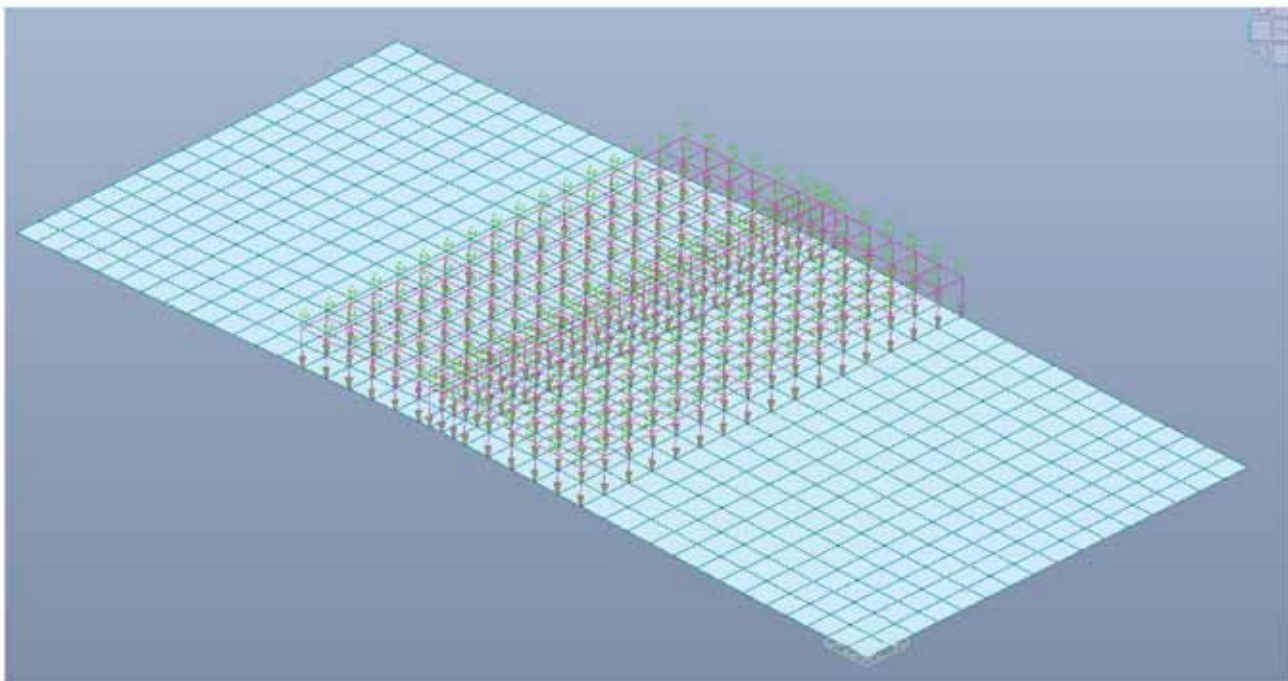


Figura 77 - Carico Distribuito seconda colonna di carico

LOTTO 1 – CAVALCAVIA AL KM. 12+325 - RELAZIONE DI CALCOLO IMPALCATO

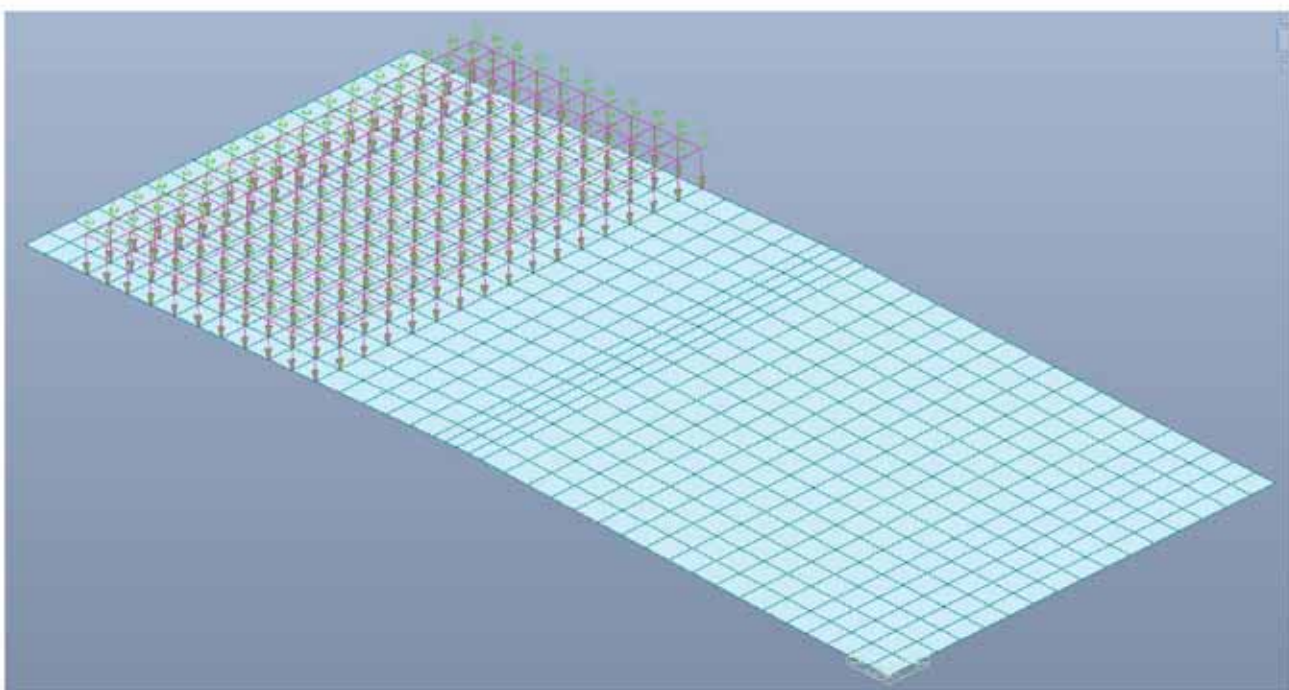


Figura 78 - Carico Distribuito terza colonna di carico

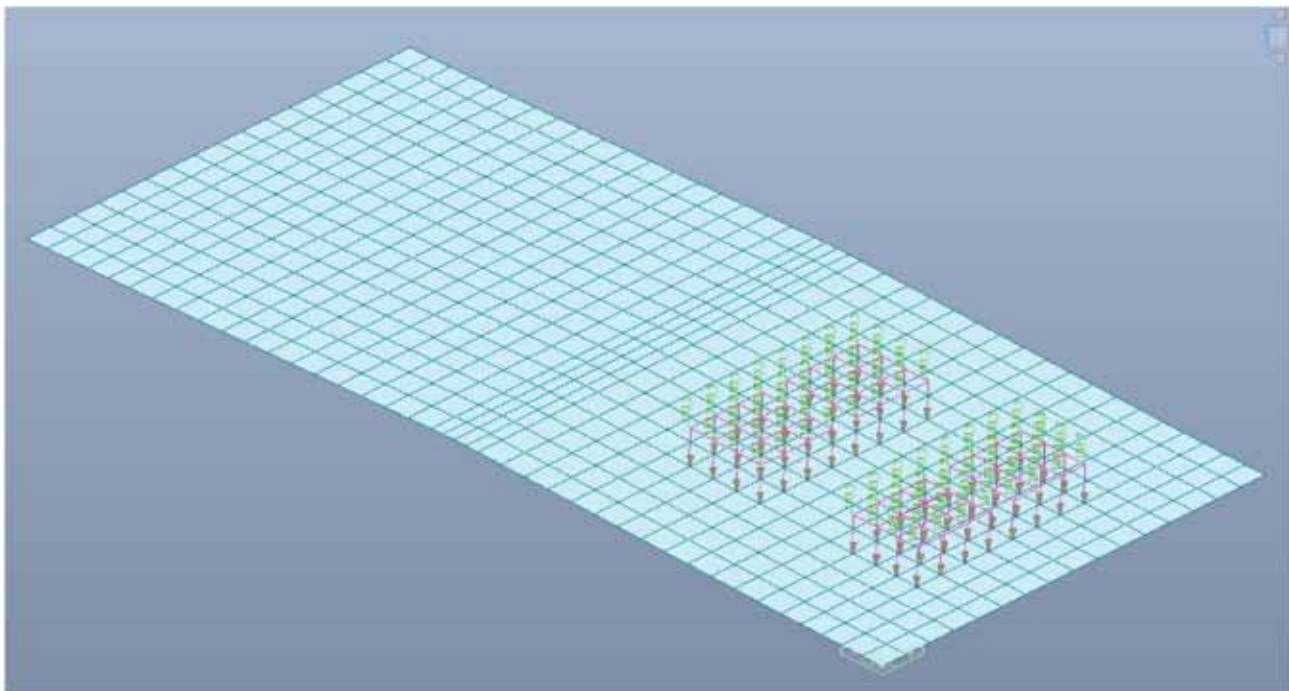


Figura 79 - Caso di carico Q1a

LOTTO 1 – CAVALCAVIA AL KM. 12+325 - RELAZIONE DI CALCOLO IMPALCATO

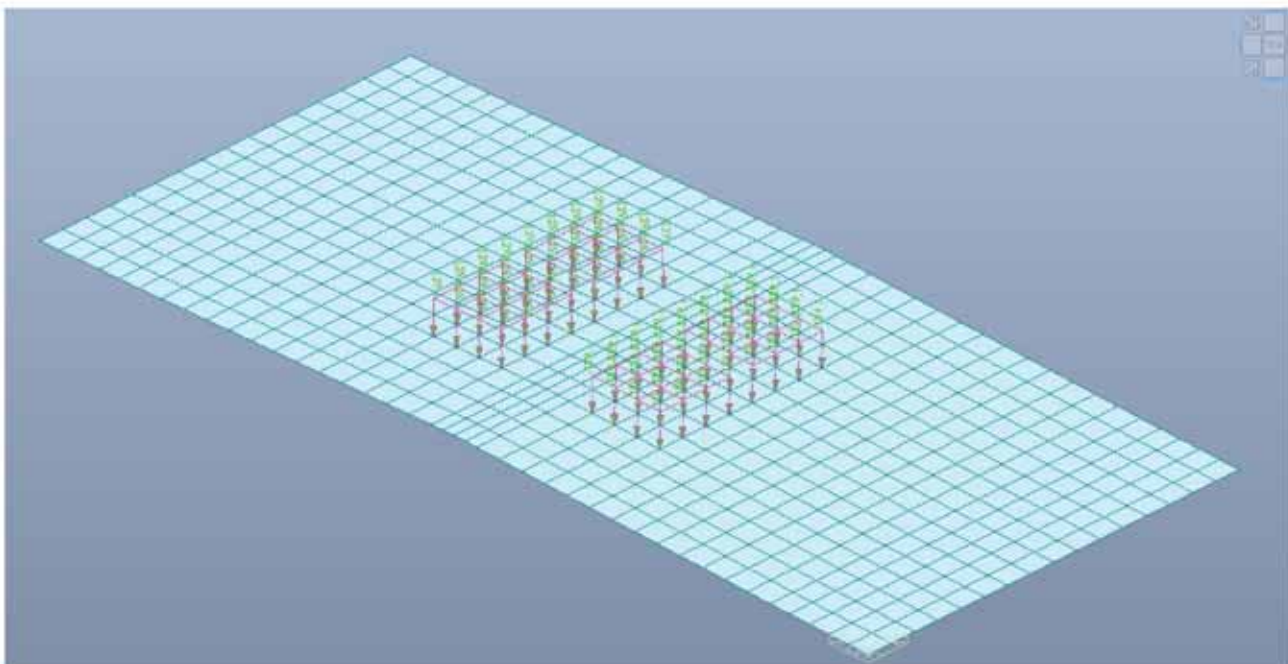


Figura 80 - Caso di carico Q1b

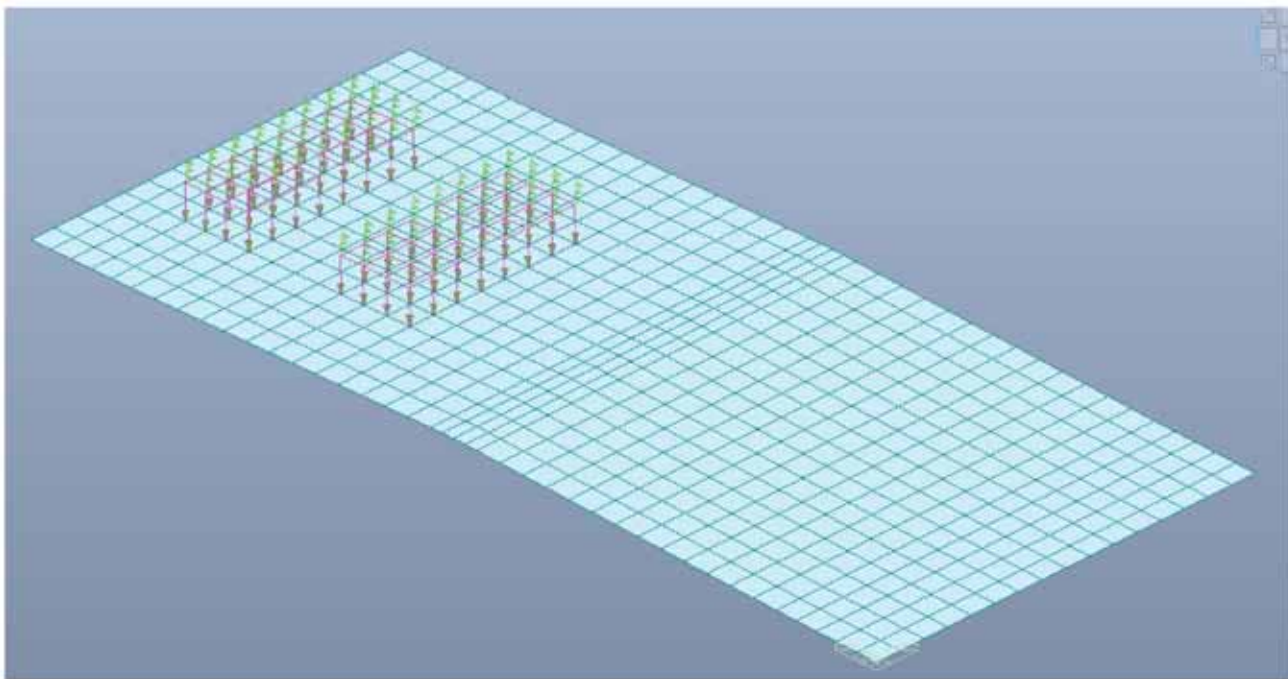


Figura 81 - Caso di carico Q1c

LOTTO 1 – CAVALCAVIA AL KM. 12+325 - RELAZIONE DI CALCOLO IMPALCATO

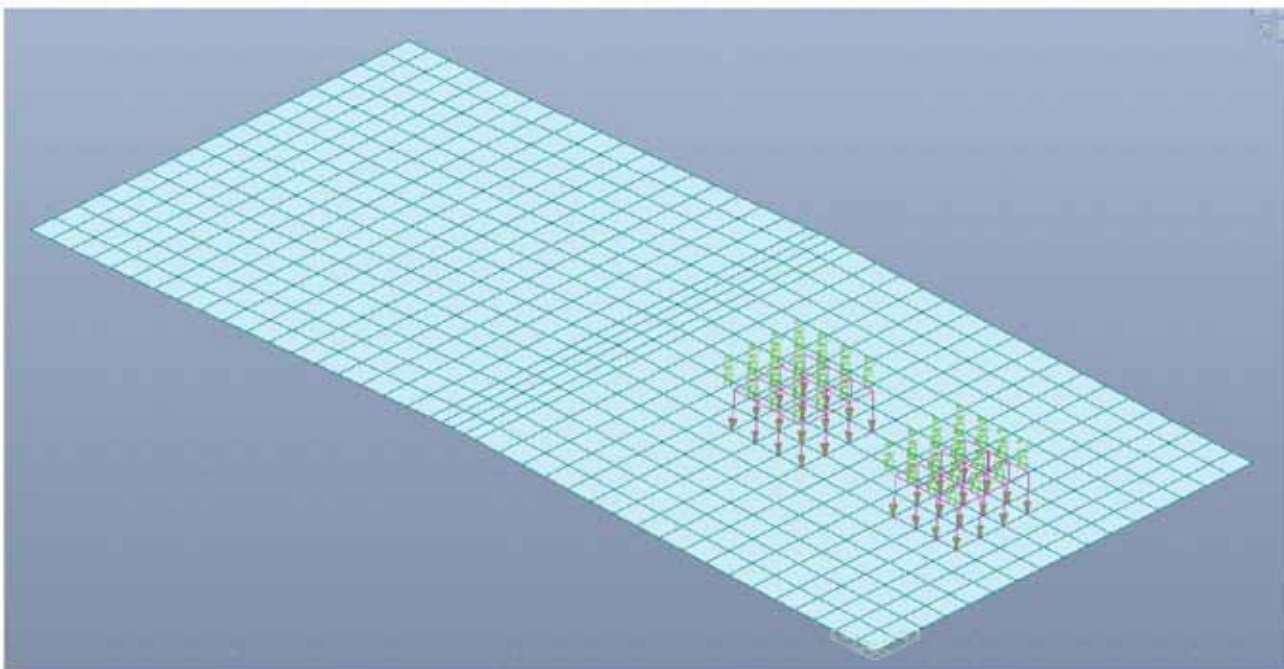


Figura 82 – Schema Carico 2

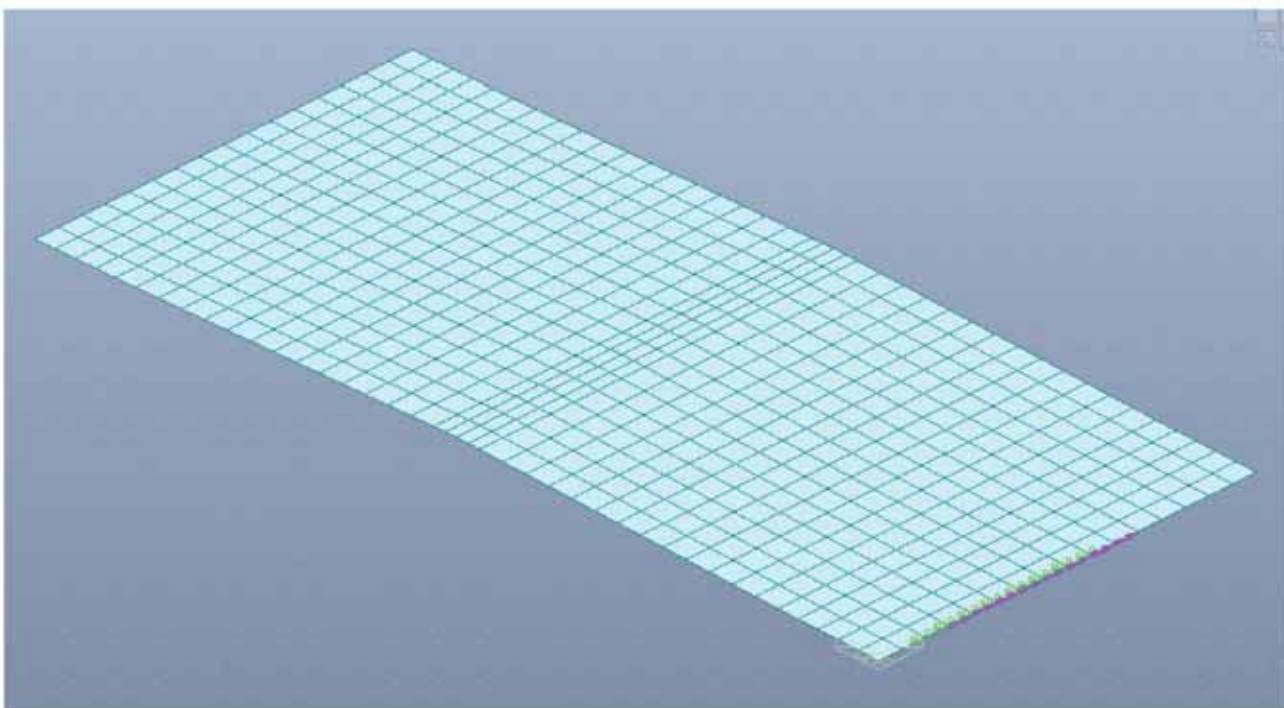


Figura 83 - Momento torcente che simula l'effetto dell'urto

LOTTO 1 – CAVALCAVIA AL KM. 12+325 - RELAZIONE DI CALCOLO IMPALCATO

7.2.1 VERIFICA STRUTTURALE SOLETTA

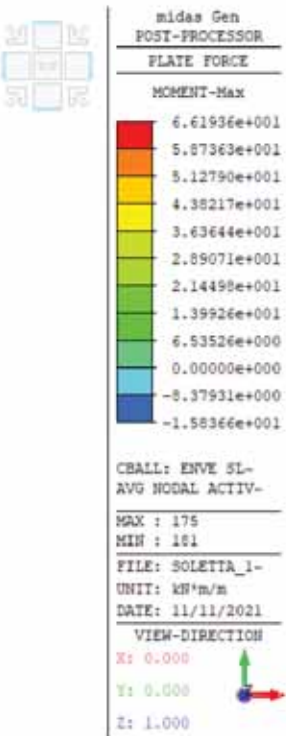
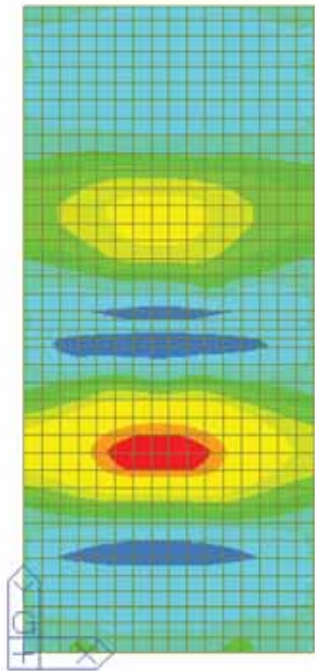


Figura 84 - Max Momento SLU

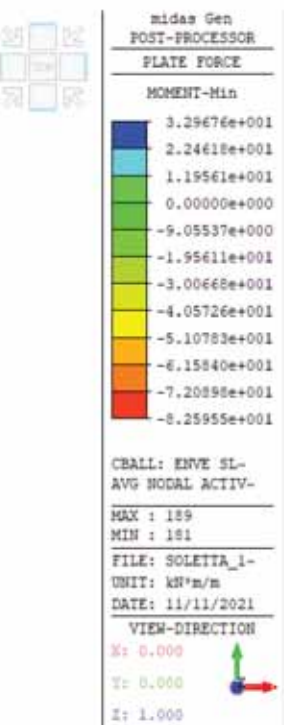
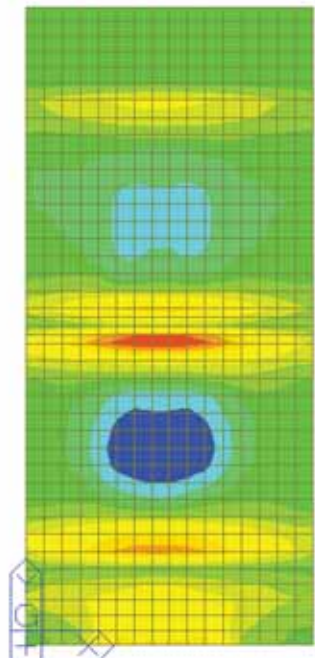


Figura 85 - Min Momento SLU

LOTTO 1 – CAVALCAVIA AL KM. 12+325 - RELAZIONE DI CALCOLO IMPALCATO

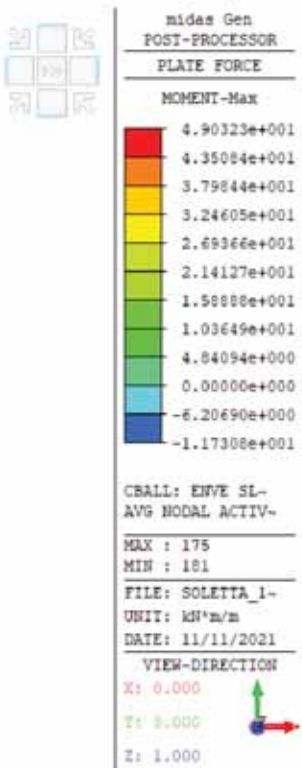
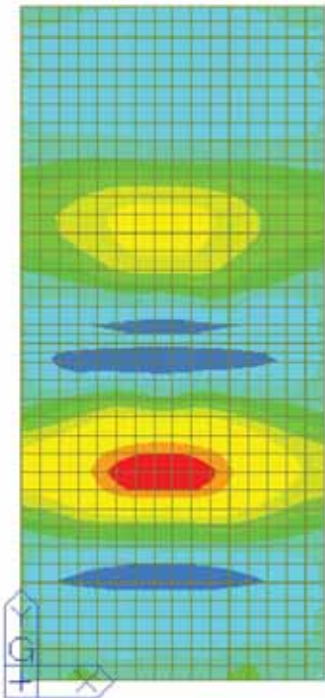


Figura 86 - Max Momento SLE

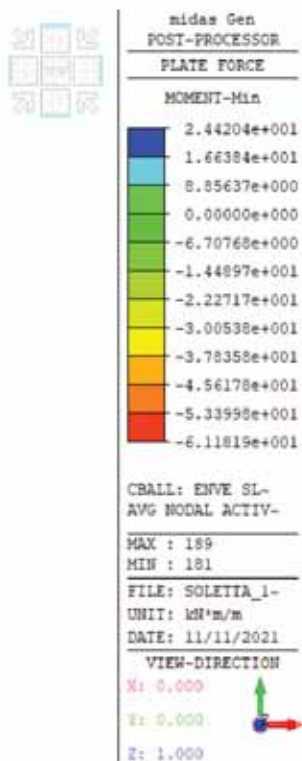
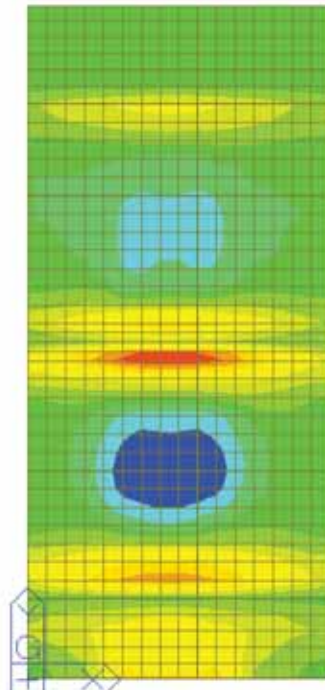


Figura 87 - Min Momento SLE

LOTTO 1 – CAVALCAVIA AL KM. 12+325 - RELAZIONE DI CALCOLO IMPALCATO

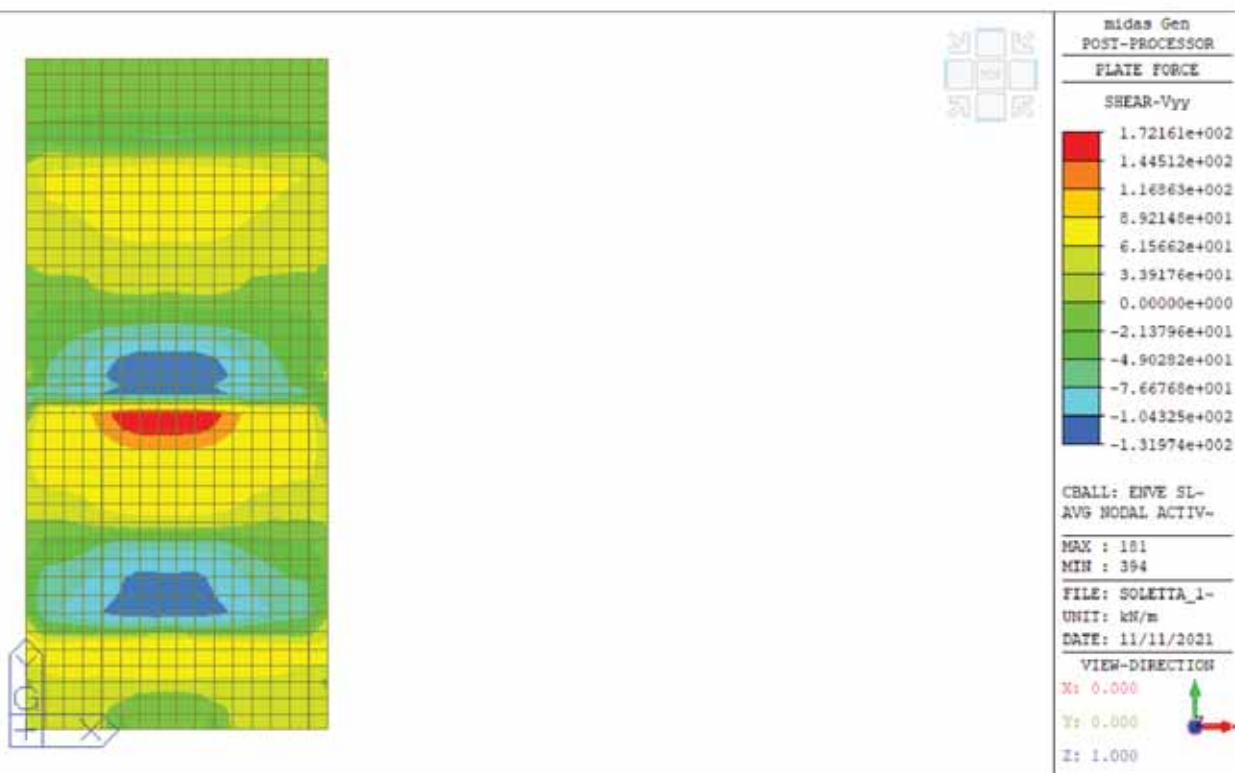


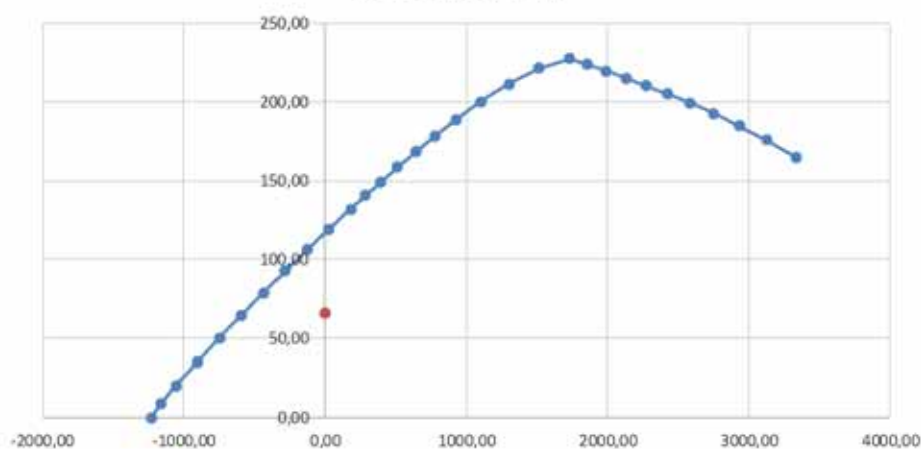
Figura 88 - Taglio SLU

LOTTO 1 – CAVALCAVIA AL KM. 12+325 - RELAZIONE DI CALCOLO IMPALCATO

VERIFICA A FLESSIONE MOMENTO POSITIVO

RIEPILOGO SOLLECITAZIONI			RIEPILOGO ARMATURE			RIEPILOGO GEOMETRIA			RIEPILOGO MATERIALI		
	M	N	n°	ϕ (mm)	y	B =	100	cm	fck	33,2	N/mm ²
	kNm	kN		(mm)	(cm)	H =	26	cm	Rck	40	N/mm ²
SLU/SLV	66,20	0,0							fcd =	18,81	
RARA	49,02	0,0	5	20	5				c	5	cm
FREQUENTE	49,02	0,0	1	0	0				fmax	16	mm
QUASI PERMANENTE	49,02	0,0	1	0	21				i	10	cm
			5	20	21				i'	0	cm
									tyk	450	N/mm ²

DIAGRAMMA M-N



VERIFICHE TENSIONALI	RARA	σ_c σ_s σ_{cmax} σ_{smax}			
		N/mm ²	N/mm ²	N/mm ²	N/mm ²
	QUASI PERMANENTE	6,14	172,16	19,92	360,00
		6,14		14,94	

VERIFICHE A FESSURAZIONE	QUASI PERMANENTE	W_k M_f M W_{klm}			
		mm	kNm	kNm	
	FREQUENTE	0,1030	42,42	35,63	0,2 Controllo Wk
		0,1030	42,42	35,63	0,3 Controllo Wk

VERIFICA TENSIONALE COMBINAZIONE QUASI PERMANENTE :

M = 49,02 kNm

N = 0 kN

H/6 = 4,33 cm

B = 100 cm

H = 26 cm

Verifica:

n = 15

LOTTO 1 – CAVALCAVIA AL KM. 12+325 - RELAZIONE DI CALCOLO IMPALCATO

$x = 7,32 \text{ cm}$

$s-c = 6,14 \text{ N/mm}^2$

$s-a = -29,17 \text{ N/mm}^2 (y = 5 \text{ cm}: 5 \text{ f 20}, A_a = 15,71 \text{ cm}^2, \text{ passo } 20,0 \text{ cm})$

$s-a' = 172,16 \text{ N/mm}^2 (y = 21 \text{ cm}: 5 \text{ f 20}, A_a' = 15,71 \text{ cm}^2, \text{ passo } 20,0 \text{ cm})$

VERIFICA TENSIONALE COMBINAZIONE RARA :

$M = 49,02 \text{ kNm}$

$N = 0 \text{ kN}$

$H/6 = 4,33 \text{ cm}$

$B = 100 \text{ cm}$

$H = 26 \text{ cm}$

Verifica:

$n = 15$

$x = 7,32 \text{ cm}$

$s-c = 6,14 \text{ N/mm}^2$

$s-a = -29,17 \text{ N/mm}^2 (y = 5 \text{ cm}: 5 \text{ f 20}, A_a = 15,71 \text{ cm}^2, \text{ passo } 20,0 \text{ cm})$

$s-a' = 172,16 \text{ N/mm}^2 (y = 21 \text{ cm}: 5 \text{ f 20}, A_a' = 15,71 \text{ cm}^2, \text{ passo } 20,0 \text{ cm})$

VERIFICA A FESSURAZIONE COMBINAZIONE QUASI PERMANENTE :

$M = 49,02 \text{ kNm}$

$N = 0 \text{ kNm}$

$Rck = 40 \text{ N/mm}^2$

$fctm = 3,16 \text{ N/mm}^2 (0,27 \times Rck^{2/3})$

$B = 100 \text{ cm}$ (larghezza sezione)

$H = 26 \text{ cm}$ (altezza sezione)

$y = 5 \text{ cm}$ (posizione di armatura)

$Aa = 15,71 \text{ cm}^2$ (n_i 5 f 20 passo 20 cm)

$y' = 21 \text{ cm}$ (posizione di armatura)

$Aa' = 15,71 \text{ cm}^2$ (n_i 5 f 20 passo 20 cm)

STADIO NON FESSURATO

$n = 15$ (coeff. omogeneizzazione)

$Jid(I) = 174'615 \text{ cm}^4$

$Aid = 3'040 \text{ cm}^2$

$x(I) = 13,000 \text{ cm}$ (asse neutro stato I, dal lembo compresso)

$M = 35,63 \text{ kNm}$ (Momento di formazione fessura $fck = 0,7 \times 1,2 \times fctm$)

$Mf = 42,42 \text{ kNm}$ (Momento di fessurazione $fctm$)

STADIO FESSURATO (II)

$n = 15$ (coeff. omogeneizzazione)

$x(II) = 7,3 \text{ cm}$ (asse neutro stato II)

$Jid(II) = 58'437 \text{ cm}^4$

$s s = 172,16 \text{ N/mm}^2 (M, N)$

LOTTO 1 – CAVALCAVIA AL KM. 12+325 - RELAZIONE DI CALCOLO IMPALCATO

e s = 0,000820

Geometria tirante ideale

b = 100 cm

h' = 17,8 cm (c + f/2 + i' + 7,5xf)

As = 15,71 cm²

Ac = 1780,00 cm²

As/Ac = 0,0088

Distanza media fessure:

c = 5 cm (copriferro, da estradosso cls ad estradosso barra)

i = 10,0 cm (interasse ferri in orizzontali)

i' = 0 cm (interasse ferri verticale, nel caso di due strati di barre)

f max = 16 mm diametro massimo barre

r = 0,0088 (As/Ac tirante ideale)

k1 = 0,4 (barre a.m.)

k2 = 0,079 (0,25x[1-h'/(2x(H-x1))])

sm = 17,72 cm (2x(c+i/10)+k1xk2xf/r)

Deformazione media:

b1 = 1 (barre a.m.)

b2 = 0,5 (carichi di lunga durata o numerosi cicli di carico)

s sr = 148,97 N/mm² (stato II, Mf)

s ss = 172,16 N/mm² (stato II, Magente)

e sm = 0,000513 (ss/Esx(1-b1xb2x(ssr/ss)²))

Aampiezza teorica di fessura:

wk = 0,154 mm (1,7xesmxsm)

VERIFICA A FESSURAZIONE COMBINAZIONE FREQUENTE :

M = 49,02 kNm

N = 0 kNm

Rck = 40 N/mm²

fctm = 3,16 N/mm² (0,27xRck^{2/3})

B = 100 cm (larghezza sezione)

H = 26 cm (altezza sezione)

y = 5 cm (posizione di armatura)

Aa = 15,71 cm² (n 5 f 20 passo 20 cm)

y' = 21 cm (posizione di armatura)

Aa' = 15,71 cm² (n 5 f 20 passo 20 cm)

STADIO NON FESSURATO

n = 15 (coeff. omogeneizzazione)

Jid(l) = 174'615 cm⁴

LOTTO 1 – CAVALCAVIA AL KM. 12+325 - RELAZIONE DI CALCOLO IMPALCATO

Aid = 3'040 cm²

x(I) = 13,000 cm (asse neutro stato I, dal lembo compresso)

M = 35,63 kNm (Momento di formazione fessura fcfk = 0,7x1,2xfctm)

Mf = 42,42 kNm (Momento di fessurazione fctm)

STADIO FESSURATO (II)

n = 15 (coeff. omogeneizzazione)

x(II) = 7,3 cm (asse neutro stato II)

Jid(II) = 58'437 cm²

s s = 172,16 N/mm² (M,N)

e s = 0,000820

Geometria tirante ideale

b = 100 cm

h' = 17,8 cm (c + f/2 + i' + 7,5xf)

As = 15,71 cm²

Ac = 1780,00 cm²

As/Ac = 0,0088

Distanza media fessure:

c = 5 cm (coprifero, da estradosso cls ad estradosso barra)

i = 10,0 cm (interasse ferri in orizzontali)

i' = 0 cm (interasse ferri verticale, nel caso di due strati di barre)

f max = 16 mm diametro massimo barre

r = 0,0088 (As/Ac tirante ideale)

k1 = 0,4 (barre a.m.)

k2 = 0,079 (0,25x[1-h'/(2x(H-x1))])

sm = 17,72 cm (2x(c+i/10)+k1xk2xf/r)

Deformazione media:

b1 = 1 (barre a.m.)

b2 = 0,5 (carichi di lunga durata o numerosi cicli di carico)

s sr = 148,97 N/mm² (stato II, Mf)

s ss = 172,16 N/mm² (stato II, Magente)

e sm = 0,000513 (ss/Esx(1-b1xb2x(ssr/ss)²))

Aampiezza teorica di fessura:

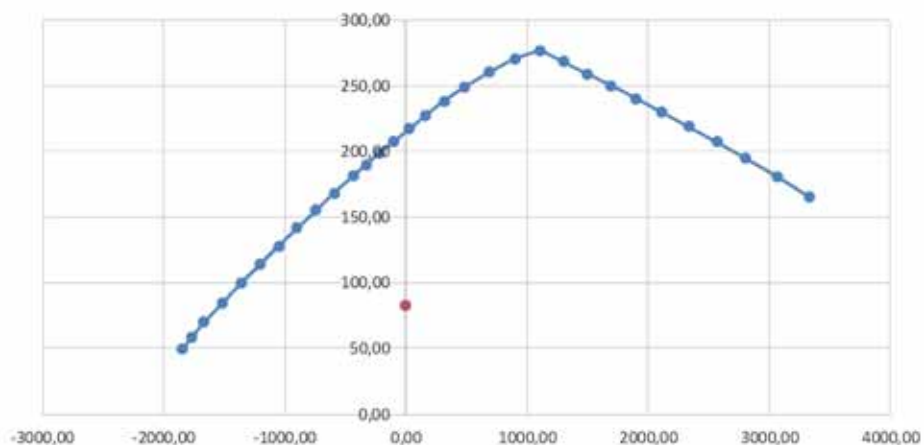
wk = 0,154 mm (1,7xesmxsm)

LOTTO 1 – CAVALCAVIA AL KM. 12+325 - RELAZIONE DI CALCOLO IMPALCATO

VERIFICA A FLESSIONE MOMENTO NEGATIVO

RIEPILOGO SOLLECITAZIONI			RIEPILOGO ARMATURE			RIEPILOGO GEOMETRIA			RIEPILOGO MATERIALI		
	M	N	n°	ϕ (mm)	y	B =	100	cm	fck	33,2	N/mm ²
	kNm	kN		(mm)	(cm)	H =	26	cm	Rck	40	N/mm ²
SLU/SLV	82,59	0,0							fcd =	18,81	
RARA	61,18	0,0	5	20	5				c	4	cm
FREQUENTE	61,18	0,0	1	0	0				fmax	16	mm
QUASI PERMANENTE	61,18	0,0	1	0	21				i	10	cm
			10	20	21				i'	0	cm
									fyk	450	N/mm ²

DIAGRAMMA M-N



VERIFICHE TENSIONALI	RARA	σ_c N/mm ²	σ_s N/mm ²	σ_{cmax} N/mm ²	σ_{smax} N/mm ²
	QUASI PERMANENTE	6,02	111,22	19,92	360,00
		6,02		14,94	

VERIFICHE A FESSURAZIONE	QUASI PERMANENTE	Wk	Mf	M	Wklm
	FREQUENTE	0,0535	47,58	39,97	0,2 Controllo Wk
		0,0535	47,58	39,97	0,3 Controllo Wk

VERIFICA TENSIONALE COMBINAZIONE QUASI PERMANENTE :

M = 61,18 kNm

N = 0 kN

H/6 = 4,33 cm

B = 100 cm

H = 26 cm

Verifica:

n = 15

x = 9,41 cm

s-c = 6,02 N/mm²

LOTTO 1 – CAVALCAVIA AL KM. 12+325 - RELAZIONE DI CALCOLO IMPALCATO

$s-a = -42,28 \text{ N/mm}^2$ ($y = 5 \text{ cm}$: 5 f 20, $A_a = 15,71 \text{ cm}^2$, passo 20,0 cm)

$s-a' = 111,22 \text{ N/mm}^2$ ($y = 21 \text{ cm}$: 10 f 20, $A_a' = 31,42 \text{ cm}^2$, passo 10,0 cm)

VERIFICA TENSIONALE COMBINAZIONE RARA :

$M = 61,18 \text{ kNm}$

$N = 0 \text{ kN}$

$H/6 = 4,33 \text{ cm}$

$B = 100 \text{ cm}$

$H = 26 \text{ cm}$

Verifica:

$n = 15$

$x = 9,41 \text{ cm}$

$s-c = 6,02 \text{ N/mm}^2$

$s-a = -42,28 \text{ N/mm}^2$ ($y = 5 \text{ cm}$: 5 f 20, $A_a = 15,71 \text{ cm}^2$, passo 20,0 cm)

$s-a' = 111,22 \text{ N/mm}^2$ ($y = 21 \text{ cm}$: 10 f 20, $A_a' = 31,42 \text{ cm}^2$, passo 10,0 cm)

VERIFICA A FESSURAZIONE COMBINAZIONE QUASI PERMANENTE :

$M = 61,18 \text{ kNm}$

$N = 0 \text{ kNm}$

$Rck = 40 \text{ N/mm}^2$

$fctm = 3,16 \text{ N/mm}^2$ ($0,27 \times Rck^{2/3}$)

$B = 100 \text{ cm}$ (larghezza sezione)

$H = 26 \text{ cm}$ (altezza sezione)

$y = 5 \text{ cm}$ (posizione di armatura)

$Aa = 15,71 \text{ cm}^2$ (n 5 f 20 passo 20 cm)

$y' = 21 \text{ cm}$ (posizione di armatura)

$Aa' = 31,42 \text{ cm}^2$ (n 10 f 20 passo 10 cm)

STADIO NON FESSURATO

$n = 15$ (coeff. omogeneizzazione)

$Jid(I) = 187'740 \text{ cm}^4$

$Aid = 3'260 \text{ cm}^2$

$x(I) = 13,540 \text{ cm}$ (asse neutro stato I, dal lembo compresso)

$M = 39,97 \text{ kNm}$ (Momento di formazione fessura $fcfk = 0,7 \times 1,2 \times fctm$)

$Mf = 47,58 \text{ kNm}$ (Momento di fessurazione $fctm$)

STADIO FESSURATO (II)

$n = 15$ (coeff. omogeneizzazione)

$x(II) = 9,4 \text{ cm}$ (asse neutro stato II)

$Jid(II) = 95'658 \text{ cm}^4$

$s_s = 111,22 \text{ N/mm}^2$ (M,N)

$e_s = 0,000530$

Geometria tirante ideale

LOTTO 1 – CAVALCAVIA AL KM. 12+325 - RELAZIONE DI CALCOLO IMPALCATO

b = 100 cm

h' = 16,8 cm ($c + f/2 + i' + 7,5x_f$)

As = 31,42 cm²

Ac = 1680,00 cm²

As/Ac = 0,0187

Distanza media fessure:

c = 4 cm (copriferro, da estradosso cls ad estradosso barra)

i = 10,0 cm (interasse ferri in orizzontali)

i' = 0 cm (interasse ferri verticale, nel caso di due strati di barre)

f max = 16 mm diametro massimo barre

r = 0,0187 (As/Ac tirante ideale)

k1 = 0,4 (barre a.m.)

k2 = 0,081 (0,25x[1-h'/(2x(H-x1))])

sm = 12,79 cm (2x(c+i/10)+k1xk2xf/r)

Deformazione media:

b1 = 1 (barre a.m.)

b2 = 0,5 (carichi di lunga durata o numerosi cicli di carico)

s sr = 86,50 N/mm² (stato II, Mf)

s ss = 111,22 N/mm² (stato II, Magente)

e sm = 0,000369 (ss/Esx(1-b1xb2x(ssr/ss)²))

Aampiezza teorica di fessura:

wk = 0,080 mm (1,7xesmxsm)

VERIFICA A FESSURAZIONE COMBINAZIONE FREQUENTE :

M = 61,18 kNm

N = 0 kNm

Rck = 40 N/mm²

fctm = 3,16 N/mm² (0,27xRck^{2/3})

B = 100 cm (larghezza sezione)

H = 26 cm (altezza sezione)

y = 5 cm (posizione di armatura)

Aa = 15,71 cm² (ni 5 f 20 passo 20 cm)

y' = 21 cm (posizione di armatura)

Aa' = 31,42 cm² (nj 10 f 20 passo 10 cm)

STADIO NON FESSURATO

n = 15 (coeff. omogeneizzazione)

Jid(I) = 187'740 cm⁴

Aid = 3'260 cm²

x(I) = 13,540 cm (asse neutro stato I, dal lembo compresso)

LOTTO 1 – CAVALCAVIA AL KM. 12+325 - RELAZIONE DI CALCOLO IMPALCATO

M = 39,97 kNm (Momento di formazione fessura $f_{ck} = 0,7 \times 1,2 \times f_{ctm}$)

Mf = 47,58 kNm (Momento di fessurazione f_{ctm})

STADIO FESSURATO (II)

n = 15 (coeff. omogeneizzazione)

x(II) = 9,4 cm (asse neutro stato II)

Jid(II) = 95'658 cm²

s s = 111,22 N/mm² (M,N)

e s = 0,000530

Geometria tirante ideale

b = 100 cm

h' = 16,8 cm ($c + f/2 + i' + 7,5x_f$)

As = 31,42 cm²

Ac = 1680,00 cm²

As/Ac = 0,0187

Distanza media fessure:

c = 4 cm (coprifero, da estradosso cls ad estradosso barra)

i = 10,0 cm (interasse ferri in orizzontali)

i' = 0 cm (interasse ferri verticale, nel caso di due strati di barre)

f max = 16 mm diametro massimo barre

r = 0,0187 (As/Ac tirante ideale)

k1 = 0,4 (barre a.m.)

k2 = 0,081 ($0,25x[1-h'/(2x(H-x_1))]$)

sm = 12,79 cm ($2x(c+i/10)+k_1xk_2x_f/r$)

Deformazione media:

b1 = 1 (barre a.m.)

b2 = 0,5 (carichi di lunga durata o numerosi cicli di carico)

s sr = 86,50 N/mm² (stato II, Mf)

s ss = 111,22 N/mm² (stato II, Magente)

e sm = 0,000369 ($ss/Esx(1-b_1xb_2x(sr/ss)^2)$)

Aampiezza teorica di fessura:

wk = 0,080 mm (1,7xesmxsm)

LOTTO 1 – CAVALCAVIA AL KM. 12+325 - RELAZIONE DI CALCOLO IMPALCATO

VERIFICA A TAGLIO

VERIFICA A TAGLIO DELLA SEZIONE IN C.A. SECONDO NTC 14/01/2008

• Caratteristiche della sezione

$b_w = 1000$	mm larghezza	$f_{yk} = 450$	MPa	resist. caratteristica
$h = 260$	mm altezza	$g_s = 1,15$		coeff. sicurezza
$c = 50$	mm copriferro	$f_{yd} = 391,3$	MPa	resist. di calcolo
$f_{ck} = 33,2$	MPa resist. caratteristica	Armatura longitudinale tesa:		
$g_c = 1,50$	coeff. sicurezza	$A_{sl,1} = 5$	$\emptyset 20$	= 15,71 cm^2
$a_{cc} = 0,85$	coeff. riduttivo	$A_{sl,2} = 5$	$\emptyset 20$	= 15,71 cm^2
$d = 210$	mm altezza utile	$A_{sl,3} = 0$	$\emptyset 0$	= 0,00 cm^2
$f_{cd} = 18,81$	MPa resist. di calcolo			31,42 cm^2

• Sollecitazioni (compressione<0, trazione>0, taglio in valore assoluto)

$$N_{ed} = 0,0 \text{ kN} \quad V_{ed} = 172,16 \text{ kN}$$

• Elementi senza armature trasversali resistenti a taglio

$$k = 1+(200/d)^{1/2} < 2 \quad k = 1,976 \quad < 2$$

$$n_{min} = 0,035 K^{3/2} f_{ck}^{1/2} \quad n_{min} = 0,560$$

$$r_1 = A_{sl}/(b_w \times d) < 0,02 \quad r_1 = 0,015 \quad < 0,02$$

$$\sigma_{cp} = N_{Ed}/A_c < 0,2f_{cd} \quad \sigma_{cp} = 0,00 \text{ MPa} < 0,2 f_{cd}$$

$$(0,18 \times k \times (100 \times r_1 \times f_{ck})^{1/3} / g_c + 0,15 \times s_{cp} \times b_w \times d = 183,0 \text{ kN}$$

$$(n_{min} + 0,15 \times s_{cp}) \times b_w \times d = 117,6 \text{ kN} \quad V_{Rd} = 183,0 \text{ kN}$$

la sezione è verificata in assenza di armature per il taglio

LOTTO 1 – CAVALCAVIA AL KM. 12+325 - RELAZIONE DI CALCOLO IMPALCATO

8 VERIFICA ELEMENTI DI APPOGGIO

Si riporta di seguito l'andamento degli spostamenti orizzontali necessari per il dimensionamento dei varchi, nonché gli scarichi necessari per il dimensionamento dei bagni e dei ritegni sismici.

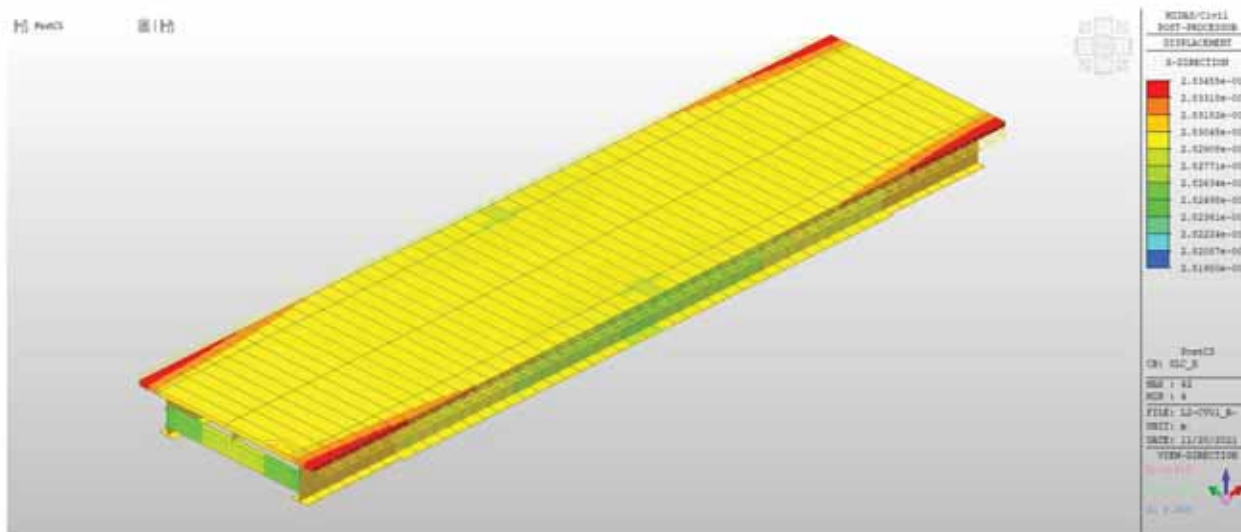


Figura 89 - Spostamenti Stato Limite Collasso X (SISMAY+0.30SISMAY)

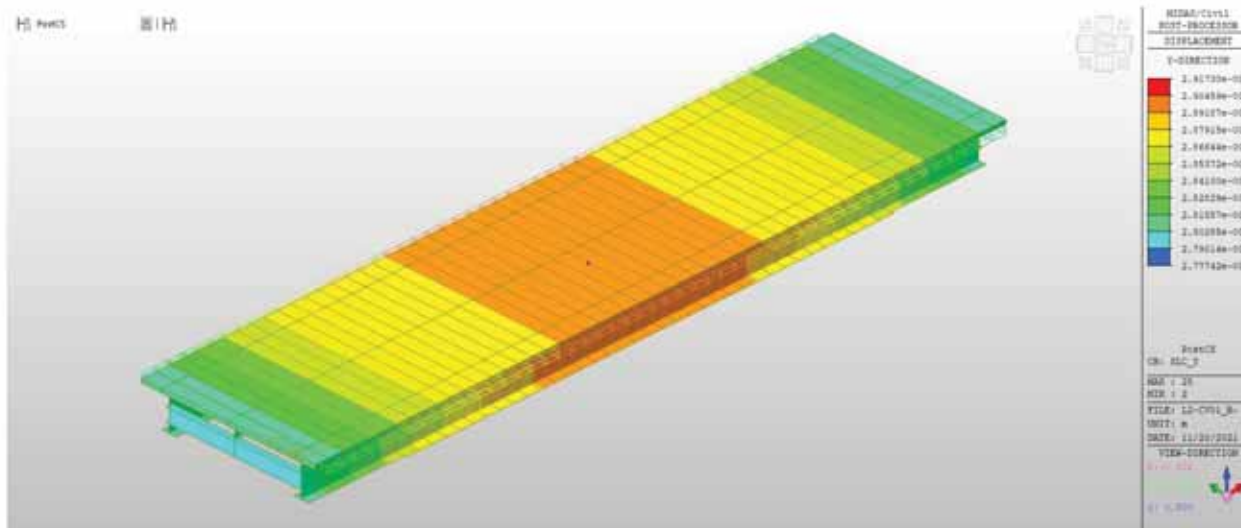


Figura 90 - Spostamenti Stato Limite Collasso Y (SISMAY+0.30SISMAY)

LOTTO 1 – CAVALCAVIA AL KM. 12+325 - RELAZIONE DI CALCOLO IMPALCATO

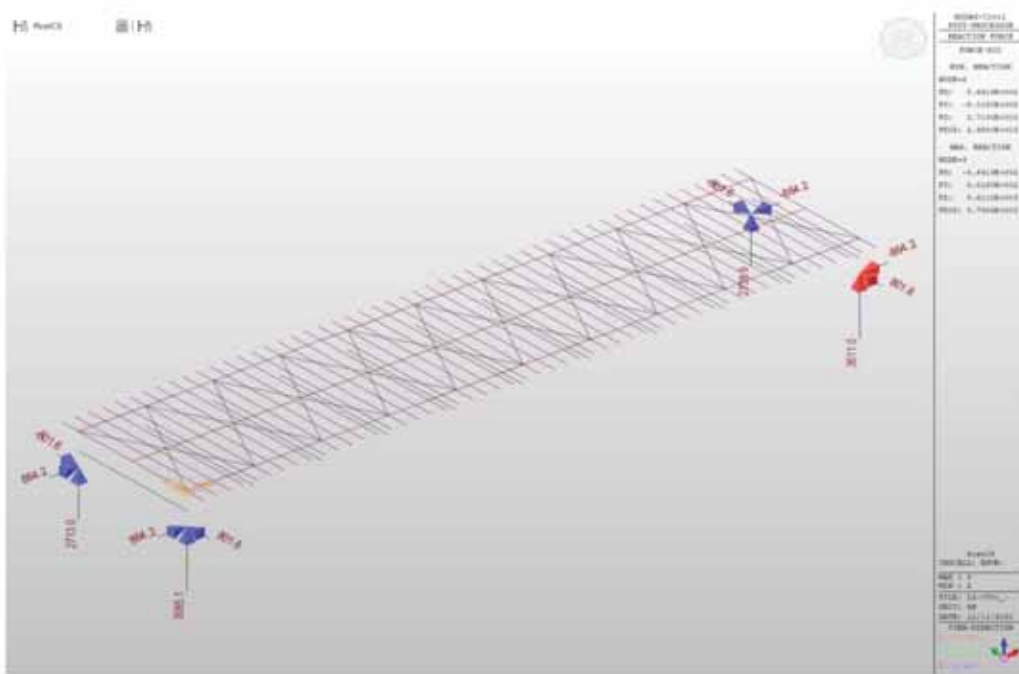


Figura 91 – Reazioni agli appoggi

Node	Load	FX (kN)	FY (kN)	FZ (kN)
1	FASE 3	40.820	1.180	1315.085
2	FASE 3	40.820	-1.180	1315.085
1	VENTO PONTE SCARICO	0.143	46.191	29.861
2	VENTO PONTE SCARICO	-0.143	46.203	-29.861
1	VENTO PONTE CARICO	-0.075	103.942	46.118
2	VENTO PONTE CARICO	0.076	103.969	-46.118
1	TERMICA UNIFORME +	31.960	10.191	0.000
2	TERMICA UNIFORME +	31.960	-10.191	0.000
1	TERMICA UNIFORME -	-29.898	-9.533	0.000
2	TERMICA UNIFORME -	-29.898	9.533	0.000
1	TERMICA GRADIENTE +	-10.699	-0.589	0.000
2	TERMICA GRADIENTE +	-10.699	0.589	0.000
1	TERMICA GRADIENTE -	12.839	0.706	0.000
2	TERMICA GRADIENTE -	12.839	-0.706	0.000
1	FRENATURA	-114.513	0.001	-9.603
2	FRENATURA	-114.513	-0.001	-9.603
1	EX(RS)	807.283	0.023	75.568
2	EX(RS)	807.283	0.023	75.568
1	EY(RS)	0.346	795.323	382.831
2	EY(RS)	0.346	795.323	382.831
1	EZ(RS)	19.230	0.229	743.037
2	EZ(RS)	19.230	0.229	743.037
1	DX(RS)	152.987	0.004	14.330
2	DX(RS)	152.987	0.004	14.330
1	CX(RS)	1189.687	0.034	111.350
2	CX(RS)	1189.687	0.034	111.350
1	LM01(all)	17.648	0.842	1001.604
2	LM01(all)	3.812	-0.793	143.115
1	LM02(all)	4.766	1.164	273.948
2	LM02(all)	4.766	-1.164	273.948
1	LM03(all)	1.159	0.256	43.861
2	LM03(all)	5.336	-0.271	306.962

LOTTO 1 – CAVALCAVIA AL KM. 12+325 - RELAZIONE DI CALCOLO IMPALCATO

8.1 VERIFICA BAGGIOLI

DATI DI INPUT	
Forza orizzontale	V _{Sd} [kN] = 864.200
Forza verticale (+ se di trazione)	N _{Sd} / 4 [kN] = -902.750
Altezza di applicazione forza orizzontale	a [m] = 0.27
Base baggiolo	h [m] = 1.05
Copriferro	c [m] = 0.05
Altezza utile	d [m] = 0.875
Profondità di incastro assunta	h' [m] = 0.00
Luce di calcolo mensola	L [m] = 0.27
Profondità baggiolo	b [m] = 1.00
Angolo inclinazione traliccio [°]	α [°] = 18.92
Angolo inclinazione traliccio [rad]	α [rad] = 0.33
Angolo inclinazione traliccio [°]	ψ [°] = 71.08
Angolo inclinazione traliccio [rad]	ψ [rad] = 1.24

VERIFICA CORRENTE TESO

Trazione sulle barre d'armatura corrente tesio	Z _{Sd} [kN] = -606.45
Classe acciaio	B450C
Resistenza a snervamento armatura	f _{yd} [MPa] = 391.3
Area armatura necessaria	A _{nec} [cm ²] = 15.5
Diametro armatura 1	Ø1 [mm] = 16
Diametro armatura 2	Ø2 [mm] = 0
Numero ferri Ø1	n _{Ø1} [-] = 9
Numero ferri Ø2	n _{Ø2} [-] = 0
Area armatura 1 (singola barra)	A _{s1} [cm ²] = 2.01
Area armatura 2 (singola barra)	A _{s2} [cm ²] = 0.00
Area armatura totale	A _{STOT} [cm ²] = 18.1
Resistenza corrente tesio	Z _{Rd} [kN] = 708.09
Coefficiente di sicurezza	Z_{Rd} / Z_{Sd} = c.s. = 1.17

VERIFICA PUNTONE CLS COMPRESSO

Resistenza cubica caratteristica	R _{ck} [MPa] = 40
Resistenza cilindrica caratteristica	f _{ck} [MPa] = 32
Coefficiente parziale di sicurezza	γ _c [-] = 1.50
Resistenza di calcolo a compressione	f _{cd} [MPa] = 18.13
Presenza di staffe	Si
Coefficiente presenza staffe (1 senza staffe; 1.5 con staffe)	c [-] = 1.50
Pendenza del puntone di calcestruzzo	cotgψ = tgα = λ = 0.34
Altezza puntone	0.4*c*d*senψ = hp [m] = 0.497
Compressione nel puntone	C _{Sd} [kN] = 1869.90
Resistenza del puntone di calcestruzzo	0.4*b*d*f _{cd} *c / (1+λ ²) = C _{Rd} [kN] = 8519
Coefficiente di sicurezza	C_{Rd} / C_{Sd} = c.s. = 4.56

8.2 ISOLATORI – EFFETTO VARIABILITA' RIGIDEZZA

Si riportano di seguito le caratteristiche degli isolatori individuati.

V	Fzd	Ke	ξe	Kv	Dg	te	h	H	Z
kN	kN	kN/mm	%	kN/mm	mm	mm	mm	mm	mm
15080	33560	3,83	21	3737	1000	180	316	396	1050

V	Carico verticale massimo agente in presenza del sisma allo SLC
Fzd	Carico verticale massimo in assenza di SISMA e spostamento 10mm
Ke	Rigidezza orizzontale equivalente
ξe	Coefficiente di smorzamento viscoso equivalente
Kv	Rigidezza verticale
Dg	Diametro elastomero
te	Spessore totale gomma
h	Altezza escluse piastre di ancoraggio
H	Altezza totale incluse piastre di ancoraggio
Z	Lato piastre di ancoraggio

Il valore di Fz max = 3611 kN inferiore ai limiti previsti per l'isolatore introdotto (Fzd = 33560 kN). Nel caso specifico, sono stati scelti isolatori elastomerici a nucleo di piombo e nell'ambito della rigidezza è stata effettuata una simulazione (che ha fornito sostanzialmente i medesimi risultati in termini di spostamento e reazioni agli appoggi) modificando la rigidezza dell'isolatore di +/-20% così come previsto dalle NTC2008 al punto 11.9.7.

8.3 VERIFICA GIUNTI

Per la determinazione dei varchi e quindi l'individuazione dei corretti giunti da utilizzare, sono stati considerati gli spostamenti sia dovuti alle azioni statiche che sismiche. Nel dettaglio si nota che lo spostamento massimo, dovuto all'azione sismica in condizione SLC è pari a dmax = 28.34 cm. Si introduce quindi un giunto che permetta tale quantità di spostamento.

8.4 VERIFICA RITEGNI SISMICI.

Il presente cavalcavia presenta come appoggi 4 isolatori di appoggio che permettono uno spostamento massimo orizzontale pari a 300mm. Si è scelto di introdurre comunque dei ritegni sismici per bloccare lo spostamento trasversale dell'impalcato in conseguenza dei valori di spostamento generato dal sisma in condizione di salvaguardia della vita. In altre parole, si è scelto di limitare al massimo lo spostamento trasversale a valore riferito al sisma SLV e pertanto anche il ritegno stesso viene dimensionato considerando la forza orizzontale residua che non viene assorbita dall'isolatore stesso.

LOTTO 1 – CAVALCAVIA AL KM. 12+325 - RELAZIONE DI CALCOLO IMPALCATO

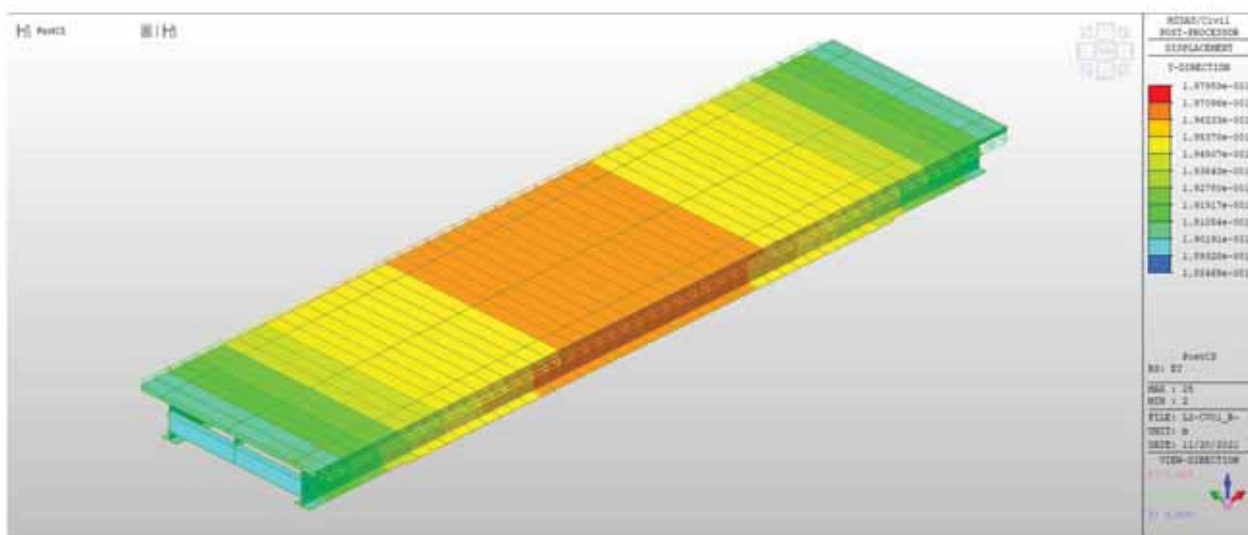
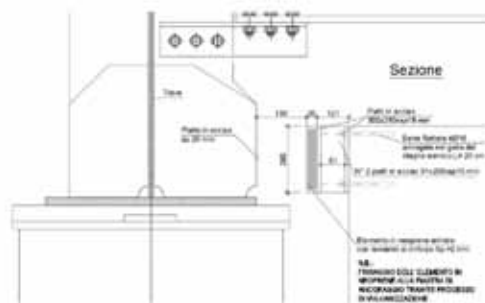


Figura 92 - Spostamento Y SLY (SISMA Y + 0.3 SISMA X)



$$\text{Spostamento residuo} = 29.17 - 19.00 = 10.17 \text{cm}$$

$$K_{\text{isolatore}} = 3.83 \text{ kN/mm}$$

$$F_{\text{residua}} = 389.51 \text{ kN}$$

Con tale forza vengono dimensionate le armature dei ritegni sismici

LOTTO 1 – CAVALCAVIA AL KM. 12+325 - RELAZIONE DI CALCOLO IMPALCATO

DATI DI INPUT		
Forza orizzontale	V_{Sd} [kN] =	779.020
Forza verticale (+ se di trazione)	$N_{Sd} / 4$ [kN] =	0
Altezza di applicazione forza orizzontale	a [m] =	0.75
Base baggio	h [m] =	1.00
Coprifero	c [m] =	0.05
Altezza utile	d [m] =	0.825
Profondità di incastro assunta	h' [m] =	0.00
Luce di calcolo mensola	L [m] =	0.75
Profondità baggio	b [m] =	1.00
Angolo inclinazione traliccio [°]	α [°] =	45.29
Angolo inclinazione traliccio [rad]	α [rad] =	0.79
Angolo inclinazione traliccio [°]	ψ [°] =	44.71
Angolo inclinazione traliccio [rad]	ψ [rad] =	0.78
VERIFICA CORRENTE TESO		
Trazione sulle barre d'armatura corrente tesio	Z_{Sd} [kN] =	786.89
Classe acciaio		B450C
Resistenza a snervamento armatura	f_{yd} [MPa] =	391.3
Area armatura necessaria	A_{rec} [cm ²] =	20.1
Diametro armatura 1	$\varnothing 1$ [mm] =	16
Diametro armatura 2	$\varnothing 2$ [mm] =	0
Numero ferri $\varnothing 1$	$n_{\varnothing 1}$ [-] =	10
Numero ferri $\varnothing 2$	$n_{\varnothing 2}$ [-] =	0
Area armatura 1 (singola barra)	A_{s1} [cm ²] =	2.01
Area armatura 2 (singola barra)	A_{s2} [cm ²] =	0.00
Area armatura totale	A_{sTOT} [cm ²] =	20.1
Resistenza corrente tesio	Z_{Rd} [kN] =	786.76
Coefficiente di sicurezza	$Z_{Rd} / Z_{Sd} = c.s. =$	1.001
VERIFICA PUNTONE CLS COMPRESSO		
Resistenza cubica caratteristica	R_{ck} [MPa] =	40
Resistenza cilindrica caratteristica	f_{ck} [MPa] =	32
Coefficiente parziale di sicurezza	γ_c [-] =	1.50
Resistenza di calcolo a compressione	f_{cd} [MPa] =	18.13
Presenza di staffe		Si
Coefficiente presenza staffe (1 senza staffe; 1.5 con staffe)	c [-] =	1.50
Pendenza del puntone di calcestruzzo	$\cotg\psi = \operatorname{tg}\alpha = \lambda_c =$	1.01
Altezza puntone	$0.4*c*d*\operatorname{sen}\psi = h_p$ [m] =	0.348
Compressione nel puntone	C_{Sd} [kN] =	1107.28
Resistenza del puntone di calcestruzzo	$0.4*b*d*f_{cd}*c / (1+\lambda^2) = C_{Rd}$ [kN] =	4443
Coefficiente di sicurezza	$C_{Rd} / C_{Sd} = c.s. =$	4.01

LOTTO 1 – CAVALCAVIA AL KM. 12+325 - RELAZIONE DI CALCOLO IMPALCATO

8.5 VERIFICA DEFORMAZIONI

Si riportano di seguito le deformazioni dell'impalcato dovuto al peso proprio, soletta e permanente, nonché la freccia in condizioni di esercizio.

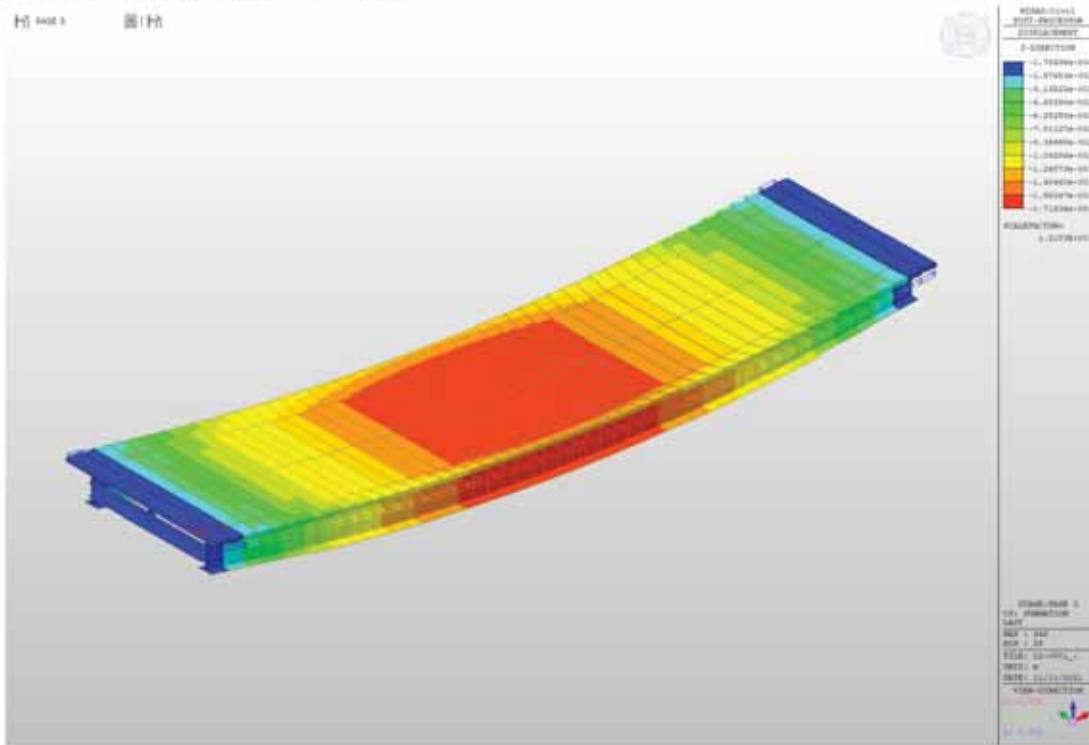


Figura 93 – Deformata - Fase 3

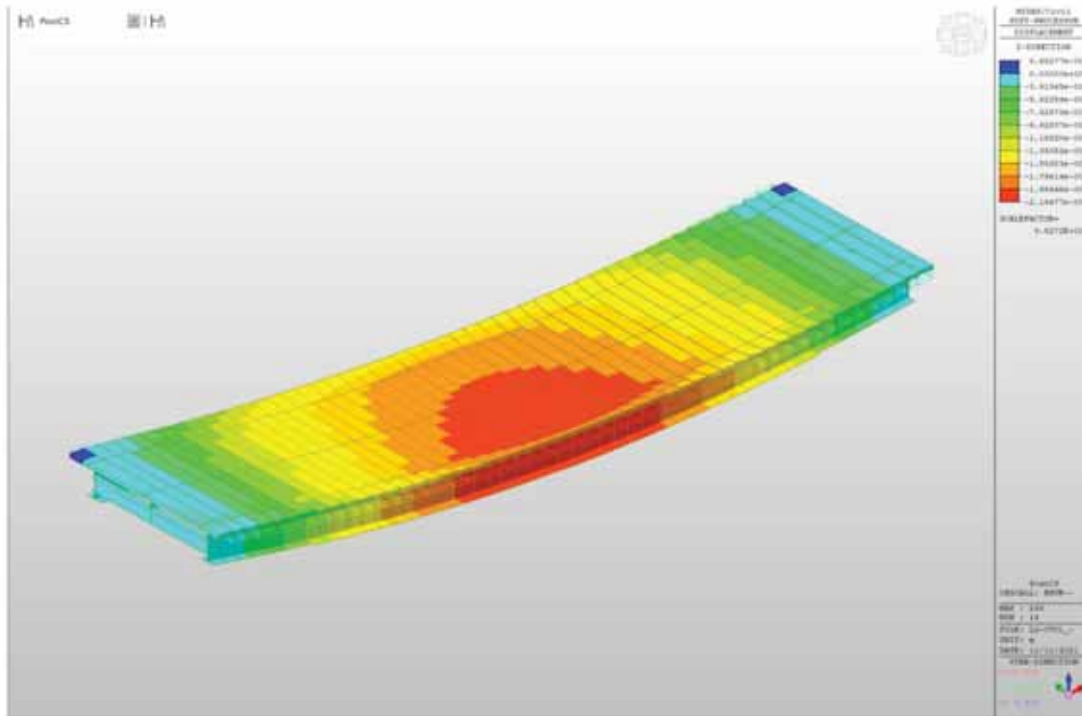


Figura 94 – Deformata - Inviluppo SLE

LOTTO 1 – CAVALCAVIA AL KM. 12+325 - RELAZIONE DI CALCOLO IMPALCATO

Per effetto del peso proprio dell'impalcato, della soletta e dei permanenti portati, si ottiene uno spostamento in mezzeria pari a circa 17.16 cm (monta da applicare in fase di costruzione).

Considerando quindi tale valore come monta iniziale dai imporre all'impalcato, in condizione di esercizio si ottiene il seguente valore di freccia.

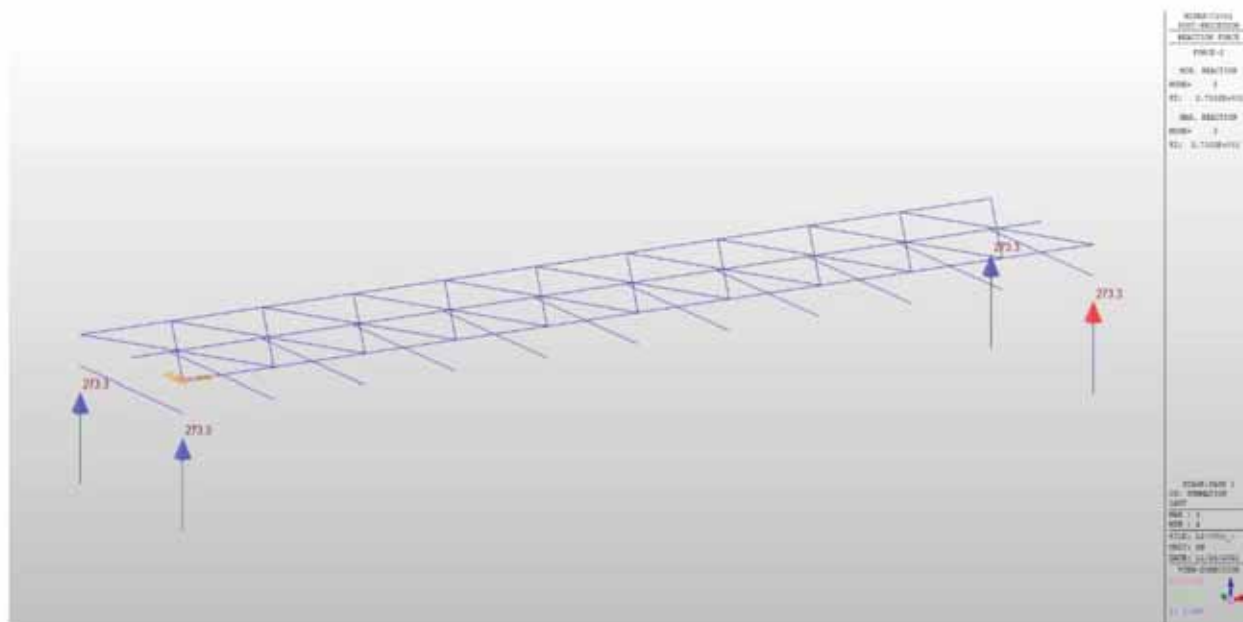
$$f = 21.95\text{cm} - 17.16\text{cm} = 4.79 \text{ cm}$$

LOTTO 1 – CAVALCAVIA AL KM. 12+325 - RELAZIONE DI CALCOLO IMPALCATO

9 VALIDAZIONE CODICE DI CALCOLO

Per effettuare la validazione del codice di calcolo, è stato determinato il peso della struttura ed è stato confrontato con gli scarichi derivanti dal modello dovuto ai soli pesi propri.

In base al punto 10.2 delle norme per le costruzioni NTC2008, qualora per la determinazione delle sollecitazioni di progetto si ricorra all'utilizzo di codici di calcolo, dovrà essere verificata l'attendibilità dei risultati tramite una validazione del modello di carico. Si riporta pertanto di seguito la validazione del modello andando a confrontare le reazioni vincolari per effetto del peso proprio della struttura ottenuti dal modello di calcolo e manualmente calcolando i singoli Pesi strutturali.



Calcolando i pesi in modo manuale e considerando l'incremento del peso proprio dovuto alla presenza delle piastre varie si ottiene:

LUNGHEZZA CONCIO	NUMERO	PIATTABANDA SUP	PIATTABANDA INF	ANIMA	AREA	VOLME	PESO		
mm		B mm	Sp mm	Htrave mm	B mm	Sp mm	mq	mc	kg
C1	6250	1	700	20	900	35	2000	1945	20
C2	9000	1	700	25	1200	40	2000	1935	20
C3	12000	1	700	30	1200	55	2000	1915	20
C4	9000	1	700	25	1200	40	2000	1935	20
C5	6250	1	700	20	900	35	2000	1945	20
TRAVE DI SPINA	42500	1	300	25	300	25	590	1935	13
TRaversi	7400	11	350	25	350	25	900	850	20
									34808.47
									69616.94
									7361.73
									22045.16
									Peso tot 99023.83
									Reazione 24755.96
									247.5596 MN
									12% 277.2667 MN

La reazione vincolare ottenuta risulta essere compatibile con quella calcolata manualmente.

10 ALLEGATO 1 - TABULATO MIDAS

MIDAS

PROJECT TITLE :

MIDAS	Company		Client
	Author		
			L2-CV01_REVISIONE_2

```
;-----  
; MIDAS/Civil Text(MCT) File.  
; Date : 2021/11/22  
;  
*VERSION  
8.7.5  
  
*UNIT ; Unit System  
; FORCE, LENGTH, HEAT, TEMPER  
KN , M, BTU, C  
  
*PROJINFO ; Project Information  
USER=.  
ADDRESS=.  
  
*STRUCTYPE ; Structure Type  
; iSTYP, iMASS, iSMAS, bMASSOFFSET, bSELFWEIGHT, GRAV, TEMPER, bALIGNBEAM, bALIGNSLAB,  
bROTRIGID  
0, 1, 1, NO, YES, 9.806, 18, NO, NO, NO  
  
*REBAR-MATL-CODE ; Rebar Material Code  
; CONC_CODE, CONC_MDB, SRC_CODE, SRC_MDB  
NTC08(RC), B450C, ASTM(RC), Grade 60  
  
*NODE ; Nodes  
; iNO, X, Y, Z  
1, 0, 0, -2.27  
2, 0, 8, -2.27  
3, 41, 0, -2.27  
4, 41, 8, -2.27  
9, 0, 0, -1.27  
10, 4.1, 0, -1.27  
11, 8.2, 0, -1.27  
12, 12.3, 0, -1.27  
13, 16.4, 0, -1.27  
14, 20.5, 0, -1.27  
15, 24.6, 0, -1.27  
16, 28.7, 0, -1.27  
17, 32.8, 0, -1.27  
18, 36.9, 0, -1.27  
19, 41, 0, -1.27  
20, 0, 4, -1.27  
21, 4.1, 4, -1.27  
22, 8.2, 4, -1.27  
23, 12.3, 4, -1.27  
24, 16.4, 4, -1.27  
25, 20.5, 4, -1.27  
26, 24.6, 4, -1.27  
27, 28.7, 4, -1.27  
28, 32.8, 4, -1.27  
29, 36.9, 4, -1.27  
30, 41, 4, -1.27  
31, 0, 8, -1.27  
32, 4.1, 8, -1.27  
33, 8.2, 8, -1.27  
34, 12.3, 8, -1.27  
35, 16.4, 8, -1.27  
36, 20.5, 8, -1.27  
37, 24.6, 8, -1.27  
38, 28.7, 8, -1.27  
39, 32.8, 8, -1.27
```

MIDAS

PROJECT TITLE :

MIDAS	Company		Client
	Author		
			L2-CV01_REVISIONE_2

40, 36.9, 8, -1.27
41, 41, 8, -1.27
42, 0, -1.25, 0
43, 0.82, -1.25, 0
44, 1.64, -1.25, 0
45, 2.46, -1.25, 0
46, 3.28, -1.25, 0
47, 4.1, -1.25, 0
48, 4.92, -1.25, 0
49, 5.74, -1.25, 0
50, 6.56, -1.25, 0
51, 7.38, -1.25, 0
52, 8.2, -1.25, 0
53, 9.02, -1.25, 0
54, 9.84, -1.25, 0
55, 10.66, -1.25, 0
56, 11.48, -1.25, 0
57, 12.3, -1.25, 0
58, 13.12, -1.25, 0
59, 13.94, -1.25, 0
60, 14.76, -1.25, 0
61, 15.58, -1.25, 0
62, 16.4, -1.25, 0
63, 17.22, -1.25, 0
64, 18.04, -1.25, 0
65, 18.86, -1.25, 0
66, 19.68, -1.25, 0
67, 20.5, -1.25, 0
68, 21.32, -1.25, 0
69, 22.14, -1.25, 0
70, 22.96, -1.25, 0
71, 23.78, -1.25, 0
72, 24.6, -1.25, 0
73, 25.42, -1.25, 0
74, 26.24, -1.25, 0
75, 27.06, -1.25, 0
76, 27.88, -1.25, 0
77, 28.7, -1.25, 0
78, 29.52, -1.25, 0
79, 30.34, -1.25, 0
80, 31.16, -1.25, 0
81, 31.98, -1.25, 0
82, 32.8, -1.25, 0
83, 33.62, -1.25, 0
84, 34.44, -1.25, 0
85, 35.26, -1.25, 0
86, 36.08, -1.25, 0
87, 36.9, -1.25, 0
88, 37.72, -1.25, 0
89, 38.54, -1.25, 0
90, 39.36, -1.25, 0
91, 40.18, -1.25, 0
92, 41, -1.25, 0
93, 0, 0, 0
94, 0.82, 0, 0
95, 1.64, 0, 0
96, 2.46, 0, 0
97, 3.28, 0, 0
98, 4.1, 0, 0
99, 4.92, 0, 0
100, 5.74, 0, 0
101, 6.56, 0, 0

MIDAS

PROJECT TITLE :

	Company		Client	File Name
	Author			

102, 7.38, 0, 0
103, 8.2, 0, 0
104, 9.02, 0, 0
105, 9.84, 0, 0
106, 10.66, 0, 0
107, 11.48, 0, 0
108, 12.3, 0, 0
109, 13.12, 0, 0
110, 13.94, 0, 0
111, 14.76, 0, 0
112, 15.58, 0, 0
113, 16.4, 0, 0
114, 17.22, 0, 0
115, 18.04, 0, 0
116, 18.86, 0, 0
117, 19.68, 0, 0
118, 20.5, 0, 0
119, 21.32, 0, 0
120, 22.14, 0, 0
121, 22.96, 0, 0
122, 23.78, 0, 0
123, 24.6, 0, 0
124, 25.42, 0, 0
125, 26.24, 0, 0
126, 27.06, 0, 0
127, 27.88, 0, 0
128, 28.7, 0, 0
129, 29.52, 0, 0
130, 30.34, 0, 0
131, 31.16, 0, 0
132, 31.98, 0, 0
133, 32.8, 0, 0
134, 33.62, 0, 0
135, 34.44, 0, 0
136, 35.26, 0, 0
137, 36.08, 0, 0
138, 36.9, 0, 0
139, 37.72, 0, 0
140, 38.54, 0, 0
141, 39.36, 0, 0
142, 40.18, 0, 0
143, 41, 0, 0
144, 0, 4, 0
145, 0.82, 4, 0
146, 1.64, 4, 0
147, 2.46, 4, 0
148, 3.28, 4, 0
149, 4.1, 4, 0
150, 4.92, 4, 0
151, 5.74, 4, 0
152, 6.56, 4, 0
153, 7.38, 4, 0
154, 8.2, 4, 0
155, 9.02, 4, 0
156, 9.84, 4, 0
157, 10.66, 4, 0
158, 11.48, 4, 0
159, 12.3, 4, 0
160, 13.12, 4, 0
161, 13.94, 4, 0
162, 14.76, 4, 0
163, 15.58, 4, 0

MIDAS

PROJECT TITLE :

	Company		Client	File Name
	Author			

164, 16.4, 4, 0
165, 17.22, 4, 0
166, 18.04, 4, 0
167, 18.86, 4, 0
168, 19.68, 4, 0
169, 20.5, 4, 0
170, 21.32, 4, 0
171, 22.14, 4, 0
172, 22.96, 4, 0
173, 23.78, 4, 0
174, 24.6, 4, 0
175, 25.42, 4, 0
176, 26.24, 4, 0
177, 27.06, 4, 0
178, 27.88, 4, 0
179, 28.7, 4, 0
180, 29.52, 4, 0
181, 30.34, 4, 0
182, 31.16, 4, 0
183, 31.98, 4, 0
184, 32.8, 4, 0
185, 33.62, 4, 0
186, 34.44, 4, 0
187, 35.26, 4, 0
188, 36.08, 4, 0
189, 36.9, 4, 0
190, 37.72, 4, 0
191, 38.54, 4, 0
192, 39.36, 4, 0
193, 40.18, 4, 0
194, 41, 4, 0
195, 0, 8, 0
196, 0.82, 8, 0
197, 1.64, 8, 0
198, 2.46, 8, 0
199, 3.28, 8, 0
200, 4.1, 8, 0
201, 4.92, 8, 0
202, 5.74, 8, 0
203, 6.56, 8, 0
204, 7.38, 8, 0
205, 8.2, 8, 0
206, 9.02, 8, 0
207, 9.84, 8, 0
208, 10.66, 8, 0
209, 11.48, 8, 0
210, 12.3, 8, 0
211, 13.12, 8, 0
212, 13.94, 8, 0
213, 14.76, 8, 0
214, 15.58, 8, 0
215, 16.4, 8, 0
216, 17.22, 8, 0
217, 18.04, 8, 0
218, 18.86, 8, 0
219, 19.68, 8, 0
220, 20.5, 8, 0
221, 21.32, 8, 0
222, 22.14, 8, 0
223, 22.96, 8, 0
224, 23.78, 8, 0
225, 24.6, 8, 0

MIDAS

PROJECT TITLE :

	Company		Client	File Name
	Author			

226, 25.42, 8, 0
227, 26.24, 8, 0
228, 27.06, 8, 0
229, 27.88, 8, 0
230, 28.7, 8, 0
231, 29.52, 8, 0
232, 30.34, 8, 0
233, 31.16, 8, 0
234, 31.98, 8, 0
235, 32.8, 8, 0
236, 33.62, 8, 0
237, 34.44, 8, 0
238, 35.26, 8, 0
239, 36.08, 8, 0
240, 36.9, 8, 0
241, 37.72, 8, 0
242, 38.54, 8, 0
243, 39.36, 8, 0
244, 40.18, 8, 0
245, 41, 8, 0
246, 0, 9.25, 0
247, 0.82, 9.25, 0
248, 1.64, 9.25, 0
249, 2.46, 9.25, 0
250, 3.28, 9.25, 0
251, 4.1, 9.25, 0
252, 4.92, 9.25, 0
253, 5.74, 9.25, 0
254, 6.56, 9.25, 0
255, 7.38, 9.25, 0
256, 8.2, 9.25, 0
257, 9.02, 9.25, 0
258, 9.84, 9.25, 0
259, 10.66, 9.25, 0
260, 11.48, 9.25, 0
261, 12.3, 9.25, 0
262, 13.12, 9.25, 0
263, 13.94, 9.25, 0
264, 14.76, 9.25, 0
265, 15.58, 9.25, 0
266, 16.4, 9.25, 0
267, 17.22, 9.25, 0
268, 18.04, 9.25, 0
269, 18.86, 9.25, 0
270, 19.68, 9.25, 0
271, 20.5, 9.25, 0
272, 21.32, 9.25, 0
273, 22.14, 9.25, 0
274, 22.96, 9.25, 0
275, 23.78, 9.25, 0
276, 24.6, 9.25, 0
277, 25.42, 9.25, 0
278, 26.24, 9.25, 0
279, 27.06, 9.25, 0
280, 27.88, 9.25, 0
281, 28.7, 9.25, 0
282, 29.52, 9.25, 0
283, 30.34, 9.25, 0
284, 31.16, 9.25, 0
285, 31.98, 9.25, 0
286, 32.8, 9.25, 0
287, 33.62, 9.25, 0

MIDAS

PROJECT TITLE :

MIDAS	Company		Client
	Author		
			L2-CV01_REVISIONE_2

288, 34.44, 9.25, 0
289, 35.26, 9.25, 0
290, 36.08, 9.25, 0
291, 36.9, 9.25, 0
292, 37.72, 9.25, 0
293, 38.54, 9.25, 0
294, 39.36, 9.25, 0
295, 40.18, 9.25, 0
296, 41, 9.25, 0

```
*ELEMENT ; Elements
; iEL, TYPE, iMAT, iPRO, iN1, iN2, ANGLE, iSUB, EXVAL, iOPT(EXVAL2) ; Frame Element
; iEL, TYPE, iMAT, iPRO, iN1, iN2, ANGLE, iSUB, EXVAL, EXVAL2, bLMT ; Comp/Tens Truss
; iEL, TYPE, iMAT, iPRO, iN1, iN2, iN3, iN4, iSUB, iWID, LCAXIS ; Planar Element
; iEL, TYPE, iMAT, iPRO, iN1, iN2, iN3, iN4, iN5, iN6, iN7, iN8 ; Solid Element
1, BEAM , 1, 4, 20, 9, 0, 0
2, BEAM , 1, 4, 21, 10, 0, 0
3, BEAM , 1, 4, 22, 11, 0, 0
4, BEAM , 1, 4, 23, 12, 0, 0
5, BEAM , 1, 4, 24, 13, 0, 0
6, BEAM , 1, 4, 25, 14, 0, 0
7, BEAM , 1, 4, 26, 15, 0, 0
8, BEAM , 1, 4, 27, 16, 0, 0
9, BEAM , 1, 4, 28, 17, 0, 0
10, BEAM , 1, 4, 29, 18, 0, 0
11, BEAM , 1, 4, 30, 19, 0, 0
12, BEAM , 1, 4, 31, 20, 0, 0
13, BEAM , 1, 4, 32, 21, 0, 0
14, BEAM , 1, 4, 33, 22, 0, 0
15, BEAM , 1, 4, 34, 23, 0, 0
16, BEAM , 1, 4, 35, 24, 0, 0
17, BEAM , 1, 4, 36, 25, 0, 0
18, BEAM , 1, 4, 37, 26, 0, 0
19, BEAM , 1, 4, 38, 27, 0, 0
20, BEAM , 1, 4, 39, 28, 0, 0
21, BEAM , 1, 4, 40, 29, 0, 0
22, BEAM , 1, 4, 41, 30, 0, 0
23, BEAM , 3, 6, 42, 93, 0, 0
24, BEAM , 3, 6, 43, 94, 0, 0
25, BEAM , 3, 6, 44, 95, 0, 0
26, BEAM , 3, 6, 45, 96, 0, 0
27, BEAM , 3, 6, 46, 97, 0, 0
28, BEAM , 3, 6, 47, 98, 0, 0
29, BEAM , 3, 6, 48, 99, 0, 0
30, BEAM , 3, 6, 49, 100, 0, 0
31, BEAM , 3, 6, 50, 101, 0, 0
32, BEAM , 3, 6, 51, 102, 0, 0
33, BEAM , 3, 6, 52, 103, 0, 0
34, BEAM , 3, 6, 53, 104, 0, 0
35, BEAM , 3, 6, 54, 105, 0, 0
36, BEAM , 3, 6, 55, 106, 0, 0
37, BEAM , 3, 6, 56, 107, 0, 0
38, BEAM , 3, 6, 57, 108, 0, 0
39, BEAM , 3, 6, 58, 109, 0, 0
40, BEAM , 3, 6, 59, 110, 0, 0
41, BEAM , 3, 6, 60, 111, 0, 0
42, BEAM , 3, 6, 61, 112, 0, 0
43, BEAM , 3, 6, 62, 113, 0, 0
44, BEAM , 3, 6, 63, 114, 0, 0
45, BEAM , 3, 6, 64, 115, 0, 0
46, BEAM , 3, 6, 65, 116, 0, 0
47, BEAM , 3, 6, 66, 117, 0, 0
```

MIDAS

PROJECT TITLE :

MIDAS	Company						Client	File Name	L2-CV01_REVISIONE_2
	Author								
48, BEAM ,	3,	6,	67,	118,	0,	0			
49, BEAM ,	3,	6,	68,	119,	0,	0			
50, BEAM ,	3,	6,	69,	120,	0,	0			
51, BEAM ,	3,	6,	70,	121,	0,	0			
52, BEAM ,	3,	6,	71,	122,	0,	0			
53, BEAM ,	3,	6,	72,	123,	0,	0			
54, BEAM ,	3,	6,	73,	124,	0,	0			
55, BEAM ,	3,	6,	74,	125,	0,	0			
56, BEAM ,	3,	6,	75,	126,	0,	0			
57, BEAM ,	3,	6,	76,	127,	0,	0			
58, BEAM ,	3,	6,	77,	128,	0,	0			
59, BEAM ,	3,	6,	78,	129,	0,	0			
60, BEAM ,	3,	6,	79,	130,	0,	0			
61, BEAM ,	3,	6,	80,	131,	0,	0			
62, BEAM ,	3,	6,	81,	132,	0,	0			
63, BEAM ,	3,	6,	82,	133,	0,	0			
64, BEAM ,	3,	6,	83,	134,	0,	0			
65, BEAM ,	3,	6,	84,	135,	0,	0			
66, BEAM ,	3,	6,	85,	136,	0,	0			
67, BEAM ,	3,	6,	86,	137,	0,	0			
68, BEAM ,	3,	6,	87,	138,	0,	0			
69, BEAM ,	3,	6,	88,	139,	0,	0			
70, BEAM ,	3,	6,	89,	140,	0,	0			
71, BEAM ,	3,	6,	90,	141,	0,	0			
72, BEAM ,	3,	6,	91,	142,	0,	0			
73, BEAM ,	3,	6,	92,	143,	0,	0			
74, BEAM ,	1,	7,	93,	94,	0,	0			
75, BEAM ,	1,	7,	94,	95,	0,	0			
76, BEAM ,	1,	7,	95,	96,	0,	0			
77, BEAM ,	1,	7,	96,	97,	0,	0			
78, BEAM ,	1,	7,	97,	98,	0,	0			
79, BEAM ,	1,	7,	98,	99,	0,	0			
80, BEAM ,	1,	7,	99,	100,	0,	0			
81, BEAM ,	1,	8,	100,	101,	0,	0			
82, BEAM ,	1,	8,	101,	102,	0,	0			
83, BEAM ,	1,	8,	102,	103,	0,	0			
84, BEAM ,	1,	8,	103,	104,	0,	0			
85, BEAM ,	1,	8,	104,	105,	0,	0			
86, BEAM ,	1,	8,	105,	106,	0,	0			
87, BEAM ,	1,	8,	106,	107,	0,	0			
88, BEAM ,	1,	8,	107,	108,	0,	0			
89, BEAM ,	1,	8,	108,	109,	0,	0			
90, BEAM ,	1,	8,	109,	110,	0,	0			
91, BEAM ,	1,	8,	110,	111,	0,	0			
92, BEAM ,	1,	9,	111,	112,	0,	0			
93, BEAM ,	1,	9,	112,	113,	0,	0			
94, BEAM ,	1,	9,	113,	114,	0,	0			
95, BEAM ,	1,	9,	114,	115,	0,	0			
96, BEAM ,	1,	9,	115,	116,	0,	0			
97, BEAM ,	1,	9,	116,	117,	0,	0			
98, BEAM ,	1,	9,	117,	118,	0,	0			
99, BEAM ,	1,	9,	118,	119,	0,	0			
100, BEAM ,	1,	9,	119,	120,	0,	0			
101, BEAM ,	1,	9,	120,	121,	0,	0			
102, BEAM ,	1,	9,	121,	122,	0,	0			
103, BEAM ,	1,	9,	122,	123,	0,	0			
104, BEAM ,	1,	9,	123,	124,	0,	0			
105, BEAM ,	1,	9,	124,	125,	0,	0			
106, BEAM ,	1,	8,	125,	126,	0,	0			
107, BEAM ,	1,	8,	126,	127,	0,	0			
108, BEAM ,	1,	8,	127,	128,	0,	0			
109, BEAM ,	1,	8,	128,	129,	0,	0			

MIDAS

PROJECT TITLE :

	Company						Client	File Name	L2-CV01_REVISIONE_2
	Author								
110, BEAM ,	1,	8,	129,	130,	0,	0			
111, BEAM ,	1,	8,	130,	131,	0,	0			
112, BEAM ,	1,	8,	131,	132,	0,	0			
113, BEAM ,	1,	8,	132,	133,	0,	0			
114, BEAM ,	1,	8,	133,	134,	0,	0			
115, BEAM ,	1,	8,	134,	135,	0,	0			
116, BEAM ,	1,	8,	135,	136,	0,	0			
117, BEAM ,	1,	7,	136,	137,	0,	0			
118, BEAM ,	1,	7,	137,	138,	0,	0			
119, BEAM ,	1,	7,	138,	139,	0,	0			
120, BEAM ,	1,	7,	139,	140,	0,	0			
121, BEAM ,	1,	7,	140,	141,	0,	0			
122, BEAM ,	1,	7,	141,	142,	0,	0			
123, BEAM ,	1,	7,	142,	143,	0,	0			
124, BEAM ,	3,	6,	93,	144,	0,	0			
125, BEAM ,	3,	6,	94,	145,	0,	0			
126, BEAM ,	3,	6,	95,	146,	0,	0			
127, BEAM ,	3,	6,	96,	147,	0,	0			
128, BEAM ,	3,	6,	97,	148,	0,	0			
129, BEAM ,	3,	6,	98,	149,	0,	0			
130, BEAM ,	3,	6,	99,	150,	0,	0			
131, BEAM ,	3,	6,	100,	151,	0,	0			
132, BEAM ,	3,	6,	101,	152,	0,	0			
133, BEAM ,	3,	6,	102,	153,	0,	0			
134, BEAM ,	3,	6,	103,	154,	0,	0			
135, BEAM ,	3,	6,	104,	155,	0,	0			
136, BEAM ,	3,	6,	105,	156,	0,	0			
137, BEAM ,	3,	6,	106,	157,	0,	0			
138, BEAM ,	3,	6,	107,	158,	0,	0			
139, BEAM ,	3,	6,	108,	159,	0,	0			
140, BEAM ,	3,	6,	109,	160,	0,	0			
141, BEAM ,	3,	6,	110,	161,	0,	0			
142, BEAM ,	3,	6,	111,	162,	0,	0			
143, BEAM ,	3,	6,	112,	163,	0,	0			
144, BEAM ,	3,	6,	113,	164,	0,	0			
145, BEAM ,	3,	6,	114,	165,	0,	0			
146, BEAM ,	3,	6,	115,	166,	0,	0			
147, BEAM ,	3,	6,	116,	167,	0,	0			
148, BEAM ,	3,	6,	117,	168,	0,	0			
149, BEAM ,	3,	6,	118,	169,	0,	0			
150, BEAM ,	3,	6,	119,	170,	0,	0			
151, BEAM ,	3,	6,	120,	171,	0,	0			
152, BEAM ,	3,	6,	121,	172,	0,	0			
153, BEAM ,	3,	6,	122,	173,	0,	0			
154, BEAM ,	3,	6,	123,	174,	0,	0			
155, BEAM ,	3,	6,	124,	175,	0,	0			
156, BEAM ,	3,	6,	125,	176,	0,	0			
157, BEAM ,	3,	6,	126,	177,	0,	0			
158, BEAM ,	3,	6,	127,	178,	0,	0			
159, BEAM ,	3,	6,	128,	179,	0,	0			
160, BEAM ,	3,	6,	129,	180,	0,	0			
161, BEAM ,	3,	6,	130,	181,	0,	0			
162, BEAM ,	3,	6,	131,	182,	0,	0			
163, BEAM ,	3,	6,	132,	183,	0,	0			
164, BEAM ,	3,	6,	133,	184,	0,	0			
165, BEAM ,	3,	6,	134,	185,	0,	0			
166, BEAM ,	3,	6,	135,	186,	0,	0			
167, BEAM ,	3,	6,	136,	187,	0,	0			
168, BEAM ,	3,	6,	137,	188,	0,	0			
169, BEAM ,	3,	6,	138,	189,	0,	0			
170, BEAM ,	3,	6,	139,	190,	0,	0			
171, BEAM ,	3,	6,	140,	191,	0,	0			

MIDAS

PROJECT TITLE :

MIDAS	Company						Client	File Name	L2-CV01_REVISIONE_2
	Author								
172, BEAM ,	3,	6,	141,	192,	0,	0			
173, BEAM ,	3,	6,	142,	193,	0,	0			
174, BEAM ,	3,	6,	143,	194,	0,	0			
175, BEAM ,	1,	3,	144,	145,	0,	0			
176, BEAM ,	1,	3,	145,	146,	0,	0			
177, BEAM ,	1,	3,	146,	147,	0,	0			
178, TRUSS ,	1,	5,	195,	98,	0,	0			
179, TRUSS ,	1,	5,	200,	93,	0,	0			
180, BEAM ,	1,	3,	147,	148,	0,	0			
181, BEAM ,	1,	3,	148,	149,	0,	0			
182, BEAM ,	1,	3,	149,	150,	0,	0			
183, BEAM ,	1,	3,	150,	151,	0,	0			
184, BEAM ,	1,	3,	151,	152,	0,	0			
185, TRUSS ,	1,	5,	205,	98,	0,	0			
186, TRUSS ,	1,	5,	200,	103,	0,	0			
187, BEAM ,	1,	3,	152,	153,	0,	0			
188, BEAM ,	1,	3,	153,	154,	0,	0			
189, BEAM ,	1,	3,	154,	155,	0,	0			
190, BEAM ,	1,	3,	155,	156,	0,	0			
191, BEAM ,	1,	3,	156,	157,	0,	0			
192, TRUSS ,	1,	5,	210,	103,	0,	0			
193, TRUSS ,	1,	5,	205,	108,	0,	0			
194, BEAM ,	1,	3,	157,	158,	0,	0			
195, BEAM ,	1,	3,	158,	159,	0,	0			
196, BEAM ,	1,	3,	159,	160,	0,	0			
197, BEAM ,	1,	3,	160,	161,	0,	0			
198, BEAM ,	1,	3,	161,	162,	0,	0			
199, TRUSS ,	1,	5,	215,	108,	0,	0			
200, TRUSS ,	1,	5,	210,	113,	0,	0			
201, BEAM ,	1,	3,	162,	163,	0,	0			
202, BEAM ,	1,	3,	163,	164,	0,	0			
203, BEAM ,	1,	3,	164,	165,	0,	0			
204, BEAM ,	1,	3,	165,	166,	0,	0			
205, BEAM ,	1,	3,	166,	167,	0,	0			
206, TRUSS ,	1,	5,	215,	118,	0,	0			
207, TRUSS ,	1,	5,	220,	113,	0,	0			
208, BEAM ,	1,	3,	167,	168,	0,	0			
209, BEAM ,	1,	3,	168,	169,	0,	0			
210, BEAM ,	1,	3,	169,	170,	0,	0			
211, BEAM ,	1,	3,	170,	171,	0,	0			
212, BEAM ,	1,	3,	171,	172,	0,	0			
213, TRUSS ,	1,	5,	220,	123,	0,	0			
214, TRUSS ,	1,	5,	225,	118,	0,	0			
215, BEAM ,	1,	3,	172,	173,	0,	0			
216, BEAM ,	1,	3,	173,	174,	0,	0			
217, BEAM ,	1,	3,	174,	175,	0,	0			
218, BEAM ,	1,	3,	175,	176,	0,	0			
219, BEAM ,	1,	3,	176,	177,	0,	0			
220, TRUSS ,	1,	5,	230,	123,	0,	0			
221, TRUSS ,	1,	5,	225,	128,	0,	0			
222, BEAM ,	1,	3,	177,	178,	0,	0			
223, BEAM ,	1,	3,	178,	179,	0,	0			
224, BEAM ,	1,	3,	179,	180,	0,	0			
225, BEAM ,	1,	3,	180,	181,	0,	0			
226, TRUSS ,	1,	5,	230,	133,	0,	0			
227, TRUSS ,	1,	5,	235,	128,	0,	0			
228, BEAM ,	1,	3,	181,	182,	0,	0			
229, BEAM ,	1,	3,	182,	183,	0,	0			
230, BEAM ,	1,	3,	183,	184,	0,	0			
231, BEAM ,	1,	3,	184,	185,	0,	0			
232, BEAM ,	1,	3,	185,	186,	0,	0			
233, BEAM ,	1,	3,	186,	187,	0,	0			

MIDAS

PROJECT TITLE :

MIDAS	Company						Client	File Name	L2-CV01_REVISIONE_2
	Author								
234, TRUSS ,	1,	5,	235,	138,	0,	0			
235, TRUSS ,	1,	5,	240,	133,	0,	0			
236, BEAM ,	1,	3,	187,	188,	0,	0			
237, BEAM ,	1,	3,	188,	189,	0,	0			
238, BEAM ,	1,	3,	189,	190,	0,	0			
239, BEAM ,	1,	3,	190,	191,	0,	0			
240, TRUSS ,	1,	5,	240,	143,	0,	0			
241, BEAM ,	1,	3,	191,	192,	0,	0			
242, TRUSS ,	1,	5,	245,	138,	0,	0			
243, BEAM ,	1,	3,	192,	193,	0,	0			
244, BEAM ,	1,	3,	193,	194,	0,	0			
245, BEAM ,	3,	6,	144,	195,	0,	0			
246, BEAM ,	3,	6,	145,	196,	0,	0			
247, BEAM ,	3,	6,	146,	197,	0,	0			
248, BEAM ,	3,	6,	147,	198,	0,	0			
249, BEAM ,	3,	6,	148,	199,	0,	0			
250, BEAM ,	3,	6,	149,	200,	0,	0			
251, BEAM ,	3,	6,	150,	201,	0,	0			
252, BEAM ,	3,	6,	151,	202,	0,	0			
253, BEAM ,	3,	6,	152,	203,	0,	0			
254, BEAM ,	3,	6,	153,	204,	0,	0			
255, BEAM ,	3,	6,	154,	205,	0,	0			
256, BEAM ,	3,	6,	155,	206,	0,	0			
257, BEAM ,	3,	6,	156,	207,	0,	0			
258, BEAM ,	3,	6,	157,	208,	0,	0			
259, BEAM ,	3,	6,	158,	209,	0,	0			
260, BEAM ,	3,	6,	159,	210,	0,	0			
261, BEAM ,	3,	6,	160,	211,	0,	0			
262, BEAM ,	3,	6,	161,	212,	0,	0			
263, BEAM ,	3,	6,	162,	213,	0,	0			
264, BEAM ,	3,	6,	163,	214,	0,	0			
265, BEAM ,	3,	6,	164,	215,	0,	0			
266, BEAM ,	3,	6,	165,	216,	0,	0			
267, BEAM ,	3,	6,	166,	217,	0,	0			
268, BEAM ,	3,	6,	167,	218,	0,	0			
269, BEAM ,	3,	6,	168,	219,	0,	0			
270, BEAM ,	3,	6,	169,	220,	0,	0			
271, BEAM ,	3,	6,	170,	221,	0,	0			
272, BEAM ,	3,	6,	171,	222,	0,	0			
273, BEAM ,	3,	6,	172,	223,	0,	0			
274, BEAM ,	3,	6,	173,	224,	0,	0			
275, BEAM ,	3,	6,	174,	225,	0,	0			
276, BEAM ,	3,	6,	175,	226,	0,	0			
277, BEAM ,	3,	6,	176,	227,	0,	0			
278, BEAM ,	3,	6,	177,	228,	0,	0			
279, BEAM ,	3,	6,	178,	229,	0,	0			
280, BEAM ,	3,	6,	179,	230,	0,	0			
281, BEAM ,	3,	6,	180,	231,	0,	0			
282, BEAM ,	3,	6,	181,	232,	0,	0			
283, BEAM ,	3,	6,	182,	233,	0,	0			
284, BEAM ,	3,	6,	183,	234,	0,	0			
285, BEAM ,	3,	6,	184,	235,	0,	0			
286, BEAM ,	3,	6,	185,	236,	0,	0			
287, BEAM ,	3,	6,	186,	237,	0,	0			
288, BEAM ,	3,	6,	187,	238,	0,	0			
289, BEAM ,	3,	6,	188,	239,	0,	0			
290, BEAM ,	3,	6,	189,	240,	0,	0			
291, BEAM ,	3,	6,	190,	241,	0,	0			
292, BEAM ,	3,	6,	191,	242,	0,	0			
293, BEAM ,	3,	6,	192,	243,	0,	0			
294, BEAM ,	3,	6,	193,	244,	0,	0			
295, BEAM ,	3,	6,	194,	245,	0,	0			

MIDAS

PROJECT TITLE :

MIDAS	Company						Client	File Name	L2-CV01_REVISIONE_2
	Author								
296, BEAM ,	1,	7,	195,	196,	0,	0			
297, BEAM ,	1,	7,	196,	197,	0,	0			
298, BEAM ,	1,	7,	197,	198,	0,	0			
299, BEAM ,	1,	7,	198,	199,	0,	0			
300, BEAM ,	1,	7,	199,	200,	0,	0			
301, BEAM ,	1,	7,	200,	201,	0,	0			
302, BEAM ,	1,	7,	201,	202,	0,	0			
303, BEAM ,	1,	8,	202,	203,	0,	0			
304, BEAM ,	1,	8,	203,	204,	0,	0			
305, BEAM ,	1,	8,	204,	205,	0,	0			
306, BEAM ,	1,	8,	205,	206,	0,	0			
307, BEAM ,	1,	8,	206,	207,	0,	0			
308, BEAM ,	1,	8,	207,	208,	0,	0			
309, BEAM ,	1,	8,	208,	209,	0,	0			
310, BEAM ,	1,	8,	209,	210,	0,	0			
311, BEAM ,	1,	8,	210,	211,	0,	0			
312, BEAM ,	1,	8,	211,	212,	0,	0			
313, BEAM ,	1,	8,	212,	213,	0,	0			
314, BEAM ,	1,	9,	213,	214,	0,	0			
315, BEAM ,	1,	9,	214,	215,	0,	0			
316, BEAM ,	1,	9,	215,	216,	0,	0			
317, BEAM ,	1,	9,	216,	217,	0,	0			
318, BEAM ,	1,	9,	217,	218,	0,	0			
319, BEAM ,	1,	9,	218,	219,	0,	0			
320, BEAM ,	1,	9,	219,	220,	0,	0			
321, BEAM ,	1,	9,	220,	221,	0,	0			
322, BEAM ,	1,	9,	221,	222,	0,	0			
323, BEAM ,	1,	9,	222,	223,	0,	0			
324, BEAM ,	1,	9,	223,	224,	0,	0			
325, BEAM ,	1,	9,	224,	225,	0,	0			
326, BEAM ,	1,	9,	225,	226,	0,	0			
327, BEAM ,	1,	9,	226,	227,	0,	0			
328, BEAM ,	1,	8,	227,	228,	0,	0			
329, BEAM ,	1,	8,	228,	229,	0,	0			
330, BEAM ,	1,	8,	229,	230,	0,	0			
331, BEAM ,	1,	8,	230,	231,	0,	0			
332, BEAM ,	1,	8,	231,	232,	0,	0			
333, BEAM ,	1,	8,	232,	233,	0,	0			
334, BEAM ,	1,	8,	233,	234,	0,	0			
335, BEAM ,	1,	8,	234,	235,	0,	0			
336, BEAM ,	1,	8,	235,	236,	0,	0			
337, BEAM ,	1,	8,	236,	237,	0,	0			
338, BEAM ,	1,	8,	237,	238,	0,	0			
339, BEAM ,	1,	7,	238,	239,	0,	0			
340, BEAM ,	1,	7,	239,	240,	0,	0			
341, BEAM ,	1,	7,	240,	241,	0,	0			
342, BEAM ,	1,	7,	241,	242,	0,	0			
343, BEAM ,	1,	7,	242,	243,	0,	0			
344, BEAM ,	1,	7,	243,	244,	0,	0			
345, BEAM ,	1,	7,	244,	245,	0,	0			
346, BEAM ,	3,	6,	195,	196,	0,	0			
347, BEAM ,	3,	6,	196,	197,	0,	0			
348, BEAM ,	3,	6,	197,	198,	0,	0			
349, BEAM ,	3,	6,	198,	199,	0,	0			
350, BEAM ,	3,	6,	199,	200,	0,	0			
351, BEAM ,	3,	6,	200,	201,	0,	0			
352, BEAM ,	3,	6,	201,	202,	0,	0			
353, BEAM ,	3,	6,	202,	203,	0,	0			
354, BEAM ,	3,	6,	203,	204,	0,	0			
355, BEAM ,	3,	6,	204,	205,	0,	0			
356, BEAM ,	3,	6,	205,	206,	0,	0			
357, BEAM ,	3,	6,	206,	207,	0,	0			

MIDAS

PROJECT TITLE :

	Company					Client	
	Author					File Name	L2-CV01_REVISIONE_2

358, BEAM , 3, 6, 207, 258, 0, 0
359, BEAM , 3, 6, 208, 259, 0, 0
360, BEAM , 3, 6, 209, 260, 0, 0
361, BEAM , 3, 6, 210, 261, 0, 0
362, BEAM , 3, 6, 211, 262, 0, 0
363, BEAM , 3, 6, 212, 263, 0, 0
364, BEAM , 3, 6, 213, 264, 0, 0
365, BEAM , 3, 6, 214, 265, 0, 0
366, BEAM , 3, 6, 215, 266, 0, 0
367, BEAM , 3, 6, 216, 267, 0, 0
368, BEAM , 3, 6, 217, 268, 0, 0
369, BEAM , 3, 6, 218, 269, 0, 0
370, BEAM , 3, 6, 219, 270, 0, 0
371, BEAM , 3, 6, 220, 271, 0, 0
372, BEAM , 3, 6, 221, 272, 0, 0
373, BEAM , 3, 6, 222, 273, 0, 0
374, BEAM , 3, 6, 223, 274, 0, 0
375, BEAM , 3, 6, 224, 275, 0, 0
376, BEAM , 3, 6, 225, 276, 0, 0
377, BEAM , 3, 6, 226, 277, 0, 0
378, BEAM , 3, 6, 227, 278, 0, 0
379, BEAM , 3, 6, 228, 279, 0, 0
380, BEAM , 3, 6, 229, 280, 0, 0
381, BEAM , 3, 6, 230, 281, 0, 0
382, BEAM , 3, 6, 231, 282, 0, 0
383, BEAM , 3, 6, 232, 283, 0, 0
384, BEAM , 3, 6, 233, 284, 0, 0
385, BEAM , 3, 6, 234, 285, 0, 0
386, BEAM , 3, 6, 235, 286, 0, 0
387, BEAM , 3, 6, 236, 287, 0, 0
388, BEAM , 3, 6, 237, 288, 0, 0
389, BEAM , 3, 6, 238, 289, 0, 0
390, BEAM , 3, 6, 239, 290, 0, 0
391, BEAM , 3, 6, 240, 291, 0, 0
392, BEAM , 3, 6, 241, 292, 0, 0
393, BEAM , 3, 6, 242, 293, 0, 0
394, BEAM , 3, 6, 243, 294, 0, 0
395, BEAM , 3, 6, 244, 295, 0, 0
396, BEAM , 3, 6, 245, 296, 0, 0

```
*GROUP ; Group
; NAME, NODE LIST, ELEM LIST, PLANE TYPE
FASE 1 , 1to4 9to41 93to245, 1to22 74to123 175to244 296to345, 0
FASE 2 , 42to296, 23to73 124to174 245to295 346to396, 0
```

```
*BNDR-GROUP ; Boundary Group
; NAME, AUTOTYPE
FASE 1, 0
```

```
*LOAD-GROUP ; Load Group
; NAME
FASE 1
FASE 2
FASE 3
```

```
*MATERIAL ; Material
; iMAT, TYPE, MNAME, SPHEAT, HEATCO, PLAST, TUNIT, bMASS, DAMPRATIO, [DATA1]
; STEEL, CONC, USER
; iMAT, TYPE, MNAME, SPHEAT, HEATCO, PLAST, TUNIT, bMASS, DAMPRATIO, [DATA2], [DATA2]
; SRC
; [DATA1] : 1, DB, NAME, CODE, USEELAST, ELAST
; [DATA1] : 2, ELAST, POISN, THERMAL, DEN, MASS
```

MIDAS

PROJECT TITLE :

	Company		Client	
	Author		File Name	L2-CV01_REVISIONE_2

```

; [DATA1] : 3, Ex, Ey, Ez, Tx, Ty, Tz, Sxy, Sxz, Syz, Pxy, Pxz, Pyz, DEN, MASS
; Orthotropic
; [DATA2] : 1, DB, NAME, CODE, USEELAST, ELAST or 2, ELAST, POISN, THERMAL, DEN, MASS
      1, STEEL, S355           , 0, 0, , C, NO, 0.02, 1, EN05-PS(S) ,           , S3
55      , NO, 2.1e+008
      2, CONC , C32/40          , 0, 0, , C, YES, 0.05, 2, 3.3345e+007, 0.2, 1.0000e
-005,   0,   0
      3, CONC , C32/40_NOP     , 0, 0, , C, YES, 0.05, 2, 3.3345e+007, 0.2, 1.0000e
-005,   0,   0

*MATL-COLOR
; iMAT, W_R, W_G, W_B, HF_R, HF_G, HF_B, HE_R, HE_G, HE_B, bBLEND, FACT
  1, 115,   0,   0, 255,   87,   87, 115,   0,   0, NO, 0.5
  2,   0, 66,   45,   0, 192, 128,   0, 66,   45, NO, 0.5
  3, 38, 57,   0, 128, 192,   0, 38, 57,   0, NO, 0.5

*TDM-TYPE ; Time Dependent Material
; NAME=NAME, CODE, STR, HU, VOL, AGE, CFACTA, CFACTB, TYPE, [ACI1 or ACI2] ; CODE=
ACI
; NAME=NAME, CODE, STR, HU, MSIZE, CTYPE, AGE ; CODE=
CEB1990,KS,CEB1978,KSC 2010,KCI-USD12
; NAME=NAME, CODE, N1, PHI1, N2, PHI2 ; CODE=
MEM
; NAME=NAME, CODE, STR, HU, USS, UCS, VOL, RR, MOD ; CODE=
PCA
; NAME=NAME, CODE, STR, HU, VOL, UCS, VSR1, LAF, US, VSR, PST, bRCE, RR, MOD ; CODE=
COMBINED
; NAME=NAME, CODE, STR, HTYPE, HU, MSIZE, CTYPE, AGE, CM ; CODE=
JAPAN
; NAME=NAME, CODE, ELAST, HU, VOL, CC, WC, AGE ; CODE=
JSCE
; NAME=NAME, CODE, STR, HTYPE, HU, MSIZE, AGE ; CODE=
CHINA
; NAME=NAME, CODE, STR, HU, MSIZE, BSC, AGE ; CODE=
JTG
; NAME=NAME, CODE, STR, HU, VSR, AGE, bEXPOSE ; CODE=
AASHTO
; NAME=NAME, CODE, STR, HU, MSIZE, AGE ; CODE=
INDIA(IRC:18-2000)
; NAME=NAME, CODE, STR, HU, MSIZE, CTYPE, AGE ; CODE=
INDIA(IRC:112-2011)
; NAME=NAME, CODE, STR, HU, MSIZE, CTYPE, AGE, TCode, bSILICA ; CODE=
European
; NAME=NAME, CODE, STR, EE(Not Use), FS, HT, DSE, DSC, AGE ; CODE=
NZ Bridge(SP/M/022)
; NAME=NAME, CODE, STR, HU, AGE, M, CMETH, CTYPE, CREEP, CONCT, W, MAXS, A, PZ ; CODE=
Russian
; NAME=NAME, CODE, STR, HU, MSIZE, BSC, AGE, FLYASH ; CODE=
China(JTG D62-2016)
; NAME=NAME, CODE, STR, EE, HT, DSC, AGE ; CODE=
Australia
; NAME=NAME, CODE, bSSF, SSFNAME ; CODE=
USER(line1)
; CREEPFUNC1, AGE1, CREEPFUNC2, AGE2, ... ; USER(
from line 2)
; [ACI1] : CURE, SLUMP, FAP, AIR, CC
; [ACI2] : UCC, USS
      NAME=C+S, European, 35000, 70, 0.25, Class N, 3, 1, NO

*TDM-ELAST ; Time Dependent Material(Comp. Strength)
; NAME=NAME, TYPE, CODE, STRENGTH, A, B ; TYPE=CODE (Korean Standard, ACI)
```

MIDAS

PROJECT TITLE :

	Company		Client	
	Author		File Name	L2-CV01_REVISIONE_2

```

; NAME=NAME, TYPE, CODE, STRENGTH, iCTYPE ; TYPE=CODE (CEB-FIP,
Ohzagi)
; NAME=NAME, TYPE, CODE, STRENGTH ; TYPE=CODE (Chinese S
standard)
; NAME=NAME, TYPE, CODE, STRENGTH, bUSE, [DATA] ; TYPE=CODE (Japan (Hyd
ration))
; NAME=NAME, TYPE, CODE, STRENGTH, iTYPE ; TYPE=CODE (Japan (Ela
stic))
; NAME=NAME, TYPE, CODE, STRENGTH ; TYPE=CODE (INDIA (IRC
:18-2000))
; NAME=NAME, TYPE, CODE, STRENGTH, iCTYPE ; TYPE=CODE (INDIA (IRC
:112-2011))
; NAME=NAME, TYPE, CODE, STRENGTH, iCTYPE ; TYPE=CODE (European)

; NAME=NAME, TYPE, CODE, STRENGTH, ; TYPE=CODE (CEB-FIP (1
978))
; NAME=NAME, TYPE, CODE, STRENGTH, TYPE, CMETH, CTYPE, MAXS, PZ ; TYPE=CODE (Russian))

; NAME=NAME, TYPE, CODE, STRENGTH, ; CODE=Australia
; NAME=NAME, TYPE, SCALE ; TYPE=USER(line 1)
; DAY1, COMP1, TENS1, ELAST1, DAY2, COMP2, ... ; USER(from line
2)
; [DATA] : A, B, D, TSF or iCTYPE, TSF
NAME=MATURAZIONE, CODE, EUROPEAN, 43000, 2

*TDM-LINK ; Time Dependent Material Link
; iMAT, TDM-TYPE1(CREEP/SHRINKAGE), TDM-TYPE2(ELASTICITY)
2, C+S, MATURAZIONE

*SECTION ; Section
; iSEC, TYPE, SNAME, [OFFSET], bSD, bWE, SHAPE, [DATA1], [DATA2] ;
1st line - DB/USER
; iSEC, TYPE, SNAME, [OFFSET], bSD, bWE, SHAPE, BLT, D1, ..., D8, iCEL ;
1st line - VALUE
; AREA, ASy, ASz, Ixx, Iyy, Izz ;
2nd line
; CyP, CyM, CzP, CzM, QyB, QzB, PERI_OUT, PERI_IN, Cy, Cz ;
3rd line
; Y1, Y2, Y3, Y4, Z1, Z2, Z3, Z4, Zyy, Zzz ;
4th line
; iSEC, TYPE, SNAME, [OFFSET], bSD, bWE, SHAPE, ELAST, DEN, POIS, POIC, SF, THERMAL ;
1st line - SRC
; D1, D2, [SRC] ;
2nd line
; iSEC, TYPE, SNAME, [OFFSET], bSD, bWE, SHAPE, 1, DB, NAME1, NAME2, D1, D2 ;
1st line - COMBINED
; iSEC, TYPE, SNAME, [OFFSET], bSD, bWE, SHAPE, 2, D11, D12, D13, D14, D15, D21, D22,
D23, D24
; iSEC, TYPE, SNAME, [OFFSET2], bSD, bWE, SHAPE, iyVAR, izVAR, STYPE ;
1st line - TAPERED
; DB, NAME1, NAME2 ;
2nd line(STYPE=DB)
; [DIM1], [DIM2] ;
2nd line(STYPE=USER)
; D11, D12, D13, D14, D15, D16, D17, D18 ;
2nd line(STYPE=VALUE)
; AREA1, ASy1, ASz1, Ixx1, Iyy1, Izz1 ;
3rd line(STYPE=VALUE)
; CyP1, CyM1, CzP1, CzM1, QyB1, QzB1, PERI_OUT1, PERI_IN1, Cy1, Cz1 ;
4th line(STYPE=VALUE)
; Y11, Y12, Y13, Y14, Z11, Z12, Z13, Z14, Zyy1, Zyy2 ;

```

MIDAS

PROJECT TITLE :

	Company		Client	L2-CV01_REVISIONE_2
	Author		File Name	

```

5th line(STYPE=VALUE)
;          D21, D22, D23, D24, D25, D26, D27, D28 ; 
6th line(STYPE=VALUE)
;          AREA2, ASy2, ASz2, Ixx2, Iyy2, Izz2 ; 
7th line(STYPE=VALUE)
;          CyP2, CyM2, CzP2, CzM2, QyB2, QzB2, PERI_OUT2, PERI_IN2, Cy2, Cz2 ; 
8th line(STYPE=VALUE)
;          Y21, Y22, Y23, Y24, Z21, Z22, Z23, Z24, Zyy2, Zzz2 ; 
9th line(STYPE=VALUE)
;          OPT1, OPT2, [JOINT] ; 2nd l
ine(STYPE=PSC)
;          ELAST, DEN, POIS, POIC, THERMAL ; 2nd l
ine(STYPE=PSC-CMPW)
;          bSEARCHK, [SCHK-I], [SCHK-J], [WT-I], [WT-J], WI, WJ, bSYM, bSIDEHOLE ; 3rd l
ine(STYPE=PSC)
;          bSEARCHK, bSYM, bHUNCH, [CMPWEB-I], [CMPWEB-J] ; 3rd l
ine(STYPE=PSC-CMPW)
;          bUSERDEFMESHSIZE, MESHSIZE, bUSERINPSTIFF, [STIFF-I], [STIFF-J] ; 4th l
ine(STYPE=PSC)
;          [SIZE-A]-i ; 5th l
ine(STYPE=PSC)
;          [SIZE-B]-i ; 6th l
ine(STYPE=PSC)
;          [SIZE-C]-i ; 7th l
ine(STYPE=PSC)
;          [SIZE-D]-i ; 8th l
ine(STYPE=PSC)
;          [SIZE-A]-j ; 9th l
ine(STYPE=PSC)
;          [SIZE-B]-j ; 10th
line(STYPE=PSC)
;          [SIZE-C]-j ; 11th
line(STYPE=PSC)
;          [SIZE-D]-j ; 12th
line(STYPE=PSC)
;          GN, CTC, Bc, Tc, Hh, EsEc, DsDc, Ps, Pc, bMULTI, EsEc-L, EsEc-S ; 2nd l
ine(STYPE=CMP-B/I)
;          SW_i, Hw_i, tw_i, B_i, Bf1_i, tf1_i, B2_i, Bf2_i, tf2_i ; 3rd l
ine(STYPE=CMP-B/I)
;          SW_j, Hw_j, tw_j, B_j, Bf1_j, tf1_j, B2_j, Bf2_j, tf2_j ; 4th l
ine(STYPE=CMP-B/I)
;          N1, N2, Hr, Hr2, tr1, tr2 ; 5th l
ine(STYPE=CMP-B)
;          GN, CTC, Bc, Tc, Hh, EgdEsb, DgdDsb, Pgd, Psb, bSYM, SW_i, SW_j ; 2nd l
ine(STYPE=CMP-CI/CT)
;          OPT1, OPT2, [JOINT] ; 3rd l
ine(STYPE=CMP-CI/CT)
;          [SIZE-A]-i ; 4th l
ine(STYPE=CMP-CI/CT)
;          [SIZE-B]-i ; 5th l
ine(STYPE=CMP-CI/CT)
;          [SIZE-C]-i ; 6th l
ine(STYPE=CMP-CI/CT)
;          [SIZE-D]-i ; 7th l
ine(STYPE=CMP-CI/CT)
;          [SIZE-A]-j ; 8th l
ine(STYPE=CMP-CI/CT)
;          [SIZE-B]-j ; 9th l
ine(STYPE=CMP-CI/CT)
;          [SIZE-C]-j ; 10th
line(STYPE=CMP-CI/CT)
;          [SIZE-D]-j ; 11th

```

MIDAS

PROJECT TITLE :

	Company		Client	
	Author		File Name	L2-CV01_REVISIONE_2

```

line(STYPE=CMP-CI/CT)
; iSEC, TYPE, SNAME, [OFFSET], bSD, bWE, STYPE1, STYPE2 ; 1st 1
ine - CONSTRUCT
;      SHAPE, ... (same with other type data from shape) ; Before
e (STYPE1)
;      SHAPE, ... (same with other type data from shape) ; After
(STYPE2)
; iSEC, TYPE, SNAME, [OFFSET], bSD, bWE, SHAPE ; 1st 1
ine - COMPOSITE-SB
;      Hw, tw, B, Bf1, tf1, B2, Bf2, tf2 ; 2nd 1
ine
;      N1, N2, Hr, Hr2, tr1, tr2 ; 3rd 1
ine
;      SW, GN, CTC, Bc, Tc, Hh, EsEc, DsDc, Ps, Pc, bMulti, Elong, Esh ; 4th 1
ine
; iSEC, TYPE, SNAME, [OFFSET], bSD, bWE, SHAPE ; 1st 1
ine - COMPOSITE-SI
;      Hw, tw, B, tf1, B2, tf2 ; 2nd 1
ine
;      SW, GN, CTC, Bc, Tc, Hh, EsEc, DsDc, Ps, Pc, bMulti, Elong, Esh ; 3rd 1
ine
; iSEC, TYPE, SNAME, [OFFSET], bSD, bWE, SHAPE ; 1st 1
ine - COMPOSITE-CI/CT
;      OPT1, OPT2, [JOINT] ; 2nd 1
ine
;      [SIZE-A] ; 3rd 1
ine
;      [SIZE-B] ; 4th 1
ine
;      [SIZE-C] ; 5th 1
ine
;      [SIZE-D] ; 6th 1
ine
;      SW, GN, CTC, Bc, Tc, Hh, EgdEsb, DgdDsb, Pgd, Psb ; 7th 1
ine
; iSEC, TYPE, SNAME, [OFFSET], bSD, bWE, SHAPE ; 1st 1
ine - PSC
;      OPT1, OPT2, [JOINT] ; 2nd 1
ine
;      bSHEARCHK, [SCHK], [WT], WIDTH, bSYM, bSIDEHOLE ; 3rd 1
ine
;      bUSERDEFMESHSIZE, MESHSIZE, bUSERINPSTIFF, [STIFF] ; 4th 1
ine
;      bWE, [WARPING POINT]-i, [WARPING POINT]-j ; 5th 1
ine
;      [SIZE-A] ; 6th 1
ine
;      [SIZE-B] ; 7th 1
ine
;      [SIZE-C] ; 8th 1
ine
;      [SIZE-D] ; 9th 1
ine
; [DATA1] : 1, DB, NAME or 2, D1, D2, D3, D4, D5, D6, D7, D8, D9, D10
; [DATA2] : CCSHAPE or iCEL or iN1, iN2
; [SRC]   : 1, DB, NAME1, NAME2 or 2, D1, D2, D3, D4, D5, D6, D7, D8, D9, D10, iN1, iN2

; [DIM1], [DIM2] : D1, D2, D3, D4, D5, D6, D7, D8
; [OFFSET] : OFFSET, iCENT, iREF, iHORZ, HUSER, iVERT, VUSER
; [OFFSET2] : OFFSET, iCENT, iREF, iHORZ, HUSERI, HUSERJ, iVERT, VUSERI, VUSERJ
; [JOINT]   : 8(1CELL, 2CELL), 13(3CELL), 9(PSCM), 8(PSCH), 9(PSCT), 2(PSCB), 0(nCELL), 2(nCEL2)

```

MIDAS

PROJECT TITLE :

	Company		Client	
	Author		File Name	L2-CV01_REVISIONE_2

```

; [SIZE-A] : 6(1CELL, 2CELL), 10(3CELL), 10(PSCM), 6(PSCH), 8(PSCT), 10(PSCB), 5(nCE
LL), 11(nCEL2)
; [SIZE-B] : 6(1CELL, 2CELL), 12(3CELL), 6(PSCM), 6(PSCH), 8(PSCT), 6(PSCB), 8(nCE
LL), 18(nCEL2)
; [SIZE-C] : 10(1CELL, 2CELL), 13(3CELL), 9(PSCM), 10(PSCH), 7(PSCT), 8(PSCB), 0(nCE
LL), 11(nCEL2)
; [SIZE-D] : 8(1CELL, 2CELL), 13(3CELL), 6(PSCM), 7(PSCH), 8(PSCT), 5(PSCB), 0(nCE
LL), 18(nCEL2)
; [STIFF] : AREA, ASy, ASz, Ixx, Iyy, Iz
; [SCHK] : bAUTO_Z1, Z1, bAUTO_Z3, Z3
; [WT] : bAUTO_TOR, TOR, bAUTO_SHR1, SHR1, bAUTO_SHR2, SHR2, bAUTO_SHR3, SHR3
; [CMPWEB] : EFD, LRF, A, B, H, T
; [WARPING POINT] : nWarpingCheck, X1,X2,X3,X4,X5,X6, Y1,Y2,Y3,Y4,Y5,Y6
    1, COMPOSITE , TRAVE PRINCIPALE CAMPATA, CT, 0, 0, 0, 0, 0, YES, NO, I
        1.93, 0.022, 0.6, 0.03, 1, 0.04
        0, 0, 0, 0, 0
        0
        0
        0
        3.35, 1, 3.35, 3.35, 0.25, 0, 6.16251, 3.0792, 0.3, 0.2, 1.2, NO,
    2, COMPOSITE , TRAVE PRINCIPALE APPOGGIO, CT, 0, 0, 0, 0, 0, YES, NO, I
        1.93, 0.022, 0.6, 0.03, 0.8, 0.04
        0, 0, 0, 0, 0
        0
        0
        0
        3.35, 1, 3.35, 3.35, 0.25, 0, 6.16251, 3.0792, 0.3, 0.2, 1.2, NO,
    3, COMPOSITE , TRAVE SPINA , CT, 0, 0, 0, 0, 0, YES, NO, I
        0.54, 0.013, 0.3, 0.025, 0.3, 0.025
        0, 0, 0, 0, 0
        0
        0
        0
        3.8, 1, 3.8, 3.8, 0.26, 0, 6.16251, 3.0792, 0.3, 0.2, 1.2, NO,
    4, DBUSER , TRAVERSO , CC, 0, 0, 0, 0, 0, YES, NO, H , 2, 0.8, 0.3
    5, 0.02, 0.028, 0.35, 0.028, 0, 0, 0, 0
        5, DBUSER , CONTROVENTI , CC, 0, 0, 0, 0, 0, YES, NO, L , 1, UNI, L70
    x7
        6, DBUSER , SOLETTA , CC, 0, 0, 0, 0, 0, YES, NO, SB , 2, 0.25, 0.
    82, 0, 0, 0, 0, 0, 0, 0
        7, COMPOSITE , CONCIO C1 , CT, 0, 0, 0, 0, 0, YES, NO, I
            1.945, 0.02, 0.7, 0.02, 0.9, 0.035
            0, 0, 0, 0, 0
            0
            0
            0
            3.34, 1, 3.34, 3.34, 0.26, 0, 6.16251, 3.0792, 0.3, 0.2, 1.2, NO,
    8, COMPOSITE , CONCIO C2 , CT, 0, 0, 0, 0, 0, YES, NO, I
        1.935, 0.02, 0.7, 0.025, 1.2, 0.04
        0, 0, 0, 0, 0
        0
        0
        0
        3.34, 1, 3.34, 3.34, 0.26, 0, 6.16251, 3.0792, 0.3, 0.2, 1.2, NO,
    9, COMPOSITE , CONCIO C3 , CT, 0, 0, 0, 0, 0, YES, NO, I
        1.915, 0.02, 0.7, 0.03, 1.2, 0.055
        0, 0, 0, 0, 0
        0
        0
        0
        3.34, 1, 3.34, 3.34, 0.26, 0, 6.16251, 3.0792, 0.3, 0.2, 1.2, NO,

```

MIDAS

PROJECT TITLE :

	Company		Client	L2-CV01_REVISIONE_2
	Author		File Name	

```

*SECT-COLOR
; iSEC, W_R, W_G, W_B, HF_R, HF_G, HF_B, HE_R, HE_G, HE_B, bBLEND, FACT
 1, 0, 33, 66, 0, 128, 255, 0, 33, 66, NO, 0.5
 2, 31, 0, 81, 148, 87, 255, 31, 0, 81, NO, 0.5
 3, 108, 54, 0, 255, 128, 0, 108, 54, 0, NO, 0.5
 4, 0, 66, 45, 0, 192, 128, 0, 66, 45, NO, 0.5
 5, 65, 65, 65, 255, 255, 255, 65, 65, 65, NO, 0.5
 6, 100, 0, 100, 192, 0, 192, 100, 0, 100, NO, 0.5
 7, 100, 0, 100, 255, 0, 0, 100, 0, 100, NO, 0.5
 8, 70, 70, 70, 0, 255, 255, 70, 70, 70, NO, 0.5
 9, 85, 32, 0, 0, 255, 0, 85, 32, 0, NO, 0.5

*COMP-GEN-SECT-PSC-DESIGN ; Composite Section for PSC Design
; SECT, bCompPSC, (Z1, Z2, Z3, t1, t2, t3, TotT)-I, (Z1, Z2, Z3, t1, t2, t3, TotT)-J
 1, NO, 0, 0, 0, 0, 0, 0, 0, 0, 0, 0, 0, 0, 0, 0, 0
 2, NO, 0, 0, 0, 0, 0, 0, 0, 0, 0, 0, 0, 0, 0, 0, 0
 3, NO, 0, 0, 0, 0, 0, 0, 0, 0, 0, 0, 0, 0, 0, 0, 0
 7, NO, 0, 0, 0, 0, 0, 0, 0, 0, 0, 0, 0, 0, 0, 0, 0
 8, NO, 0, 0, 0, 0, 0, 0, 0, 0, 0, 0, 0, 0, 0, 0, 0
 9, NO, 0, 0, 0, 0, 0, 0, 0, 0, 0, 0, 0, 0, 0, 0, 0

*DGN-SECT
; iSEC, TYPE, SNAME, [OFFSET], bSD, bWE, SHAPE, [DATA1], [DATA2] ;
1st line - DB/USER
; iSEC, TYPE, SNAME, [OFFSET], bSD, bWE, SHAPE, BLT, D1, ..., D8, iCEL ;
1st line - VALUE
; AREA, ASy, ASz, Ixx, Iyy, Izz ;
2nd line
; CyP, CyM, CzP, CzM, QyB, QzB, PERI_OUT, PERI_IN, Cy, Cz ;
3rd line
; Y1, Y2, Y3, Y4, Z1, Z2, Z3, Z4, Zyy, Zzz ;
4th line
; iSEC, TYPE, SNAME, [OFFSET], bSD, bWE, SHAPE, ELAST, DEN, POIS, POIC, SF, THERMAL ;
1st line - SRC
; D1, D2, [SRC] ;
2nd line
; iSEC, TYPE, SNAME, [OFFSET], bSD, bWE, SHAPE, 1, DB, NAME1, NAME2, D1, D2 ;
1st line - COMBINED
; iSEC, TYPE, SNAME, [OFFSET], bSD, bWE, SHAPE, 2, D11, D12, D13, D14, D15, D21, D22, D23, D24
; iSEC, TYPE, SNAME, [OFFSET2], bSD, bWE, SHAPE, iyVAR, izVAR, STYPE ;
1st line - TAPERED
; DB, NAME1, NAME2 ;
2nd line(STYPE=DB)
; [DIM1], [DIM2] ;
2nd line(STYPE=USER)
; D11, D12, D13, D14, D15, D16, D17, D18 ;
2nd line(STYPE=VALUE)
; AREA1, ASy1, ASz1, Ixx1, Iyy1, Izz1 ;
3rd line(STYPE=VALUE)
; CyP1, CyM1, CzP1, CzM1, QyB1, QzB1, PERI_OUT1, PERI_IN1, Cy1, Cz1 ;
4th line(STYPE=VALUE)
; Y11, Y12, Y13, Y14, Z11, Z12, Z13, Z14, Zyy1, Zyy2 ;
5th line(STYPE=VALUE)
; D21, D22, D23, D24, D25, D26, D27, D28 ;
6th line(STYPE=VALUE)
; AREA2, ASy2, ASz2, Ixx2, Iyy2, Izz2 ;
7th line(STYPE=VALUE)
; CyP2, CyM2, CzP2, CzM2, QyB2, QzB2, PERI_OUT2, PERI_IN2, Cy2, Cz2 ;
8th line(STYPE=VALUE)
; Y21, Y22, Y23, Y24, Z21, Z22, Z23, Z24, Zyy2, Zzz2 ;
9th line(STYPE=VALUE)

```

MIDAS

PROJECT TITLE :

	Company		Client	
	Author		File Name	L2-CV01_REVISIONE_2

```

;           OPT1, OPT2, [JOINT]                                     ; 2nd l
ine(STYPE=PSC)
;           ELAST, DEN, POIS, POIC, THERMAL                      ; 2nd l
ine(STYPE=PSC-CMPW)
;           bSEARCHK, [SCHK-I], [SCHK-J], [WT-I], [WT-J], WI, WJ, bSYM, bSIDEHOLE ; 3rd l
ine(STYPE=PSC)
;           bSEARCHK, bSYM, bHUNCH, [CMPWEB-I], [CMPWEB-J]          ; 3rd l
ine(STYPE=PSC-CMPW)
;           bUSERDEFMESHSIZE, MESHSIZE, bUSERINPSTIFF, [STIFF-I], [STIFF-J] ; 4th l
ine(STYPE=PSC)
;           [SIZE-A]-i                                         ; 5th l
ine(STYPE=PSC)
;           [SIZE-B]-i                                         ; 6th l
ine(STYPE=PSC)
;           [SIZE-C]-i                                         ; 7th l
ine(STYPE=PSC)
;           [SIZE-D]-i                                         ; 8th l
ine(STYPE=PSC)
;           [SIZE-A]-j                                         ; 9th l
ine(STYPE=PSC)
;           [SIZE-B]-j                                         ; 10th
line(STYPE=PSC)
;           [SIZE-C]-j                                         ; 11th
line(STYPE=PSC)
;           [SIZE-D]-j                                         ; 12th
line(STYPE=PSC)
;           GN, CTC, Bc, Tc, Hh, EsEc, DsDc, Ps, Pc, bMULTI, EsEc-L, EsEc-S ; 2nd l
ine(STYPE=CMP-B/I)
;           SW_i, Hw_i, tw_i, B_i, Bf1_i, tf1_i, B2_i, Bf2_i, tf2_i       ; 3rd l
ine(STYPE=CMP-B/I)
;           SW_j, Hw_j, tw_j, B_j, Bf1_j, tf1_j, B2_j, Bf2_j, tf2_j       ; 4th l
ine(STYPE=CMP-B/I)
;           N1, N2, Hr, Hr2, tr1, tr2                                    ; 5th l
ine(STYPE=CMP-B)
;           GN, CTC, Bc, Tc, Hh, EgdEsb, DgdDsb, Pgd, Psb, bSYM, SW_i, SW_j ; 2nd l
ine(STYPE=CMP-CI/CT)
;           OPT1, OPT2, [JOINT]                                         ; 3rd l
ine(STYPE=CMP-CI/CT)
;           [SIZE-A]-i                                         ; 4th l
ine(STYPE=CMP-CI/CT)
;           [SIZE-B]-i                                         ; 5th l
ine(STYPE=CMP-CI/CT)
;           [SIZE-C]-i                                         ; 6th l
ine(STYPE=CMP-CI/CT)
;           [SIZE-D]-i                                         ; 7th l
ine(STYPE=CMP-CI/CT)
;           [SIZE-A]-j                                         ; 8th l
ine(STYPE=CMP-CI/CT)
;           [SIZE-B]-j                                         ; 9th l
ine(STYPE=CMP-CI/CT)
;           [SIZE-C]-j                                         ; 10th
line(STYPE=CMP-CI/CT)
;           [SIZE-D]-j                                         ; 11th
line(STYPE=CMP-CI/CT)
; iSEC, TYPE, SNAME, [OFFSET], bSD, bWE, STYPE1, STYPE2             ; 1st l
ine - CONSTRUCT
;           SHAPE, ... (same with other type data from shape)        ; Befor
e (STYPE1)
;           SHAPE, ... (same with other type data from shape)        ; After
(STYPE2)
; iSEC, TYPE, SNAME, [OFFSET], bSD, bWE, SHAPE                     ; 1st l
ine - COMPOSITE-SB

```

MIDAS

PROJECT TITLE :

MIDAS	Company		Client	File Name
	Author			

```

; Hw, tw, B, Bf1, tf1, B2, Bf2, tf2 ; 2nd l
ine
; N1, N2, Hr, Hr2, tr1, tr2 ; 3rd l
ine
; SW, GN, CTC, Bc, Tc, Hh, EsEc, DsDc, Ps, Pc, bMulti, Elong, Esh ; 4th l
ine
; iSEC, TYPE, SNAME, [OFFSET], bSD, bWE, SHAPE ; 1st l
ine - COMPOSITE-SI
; Hw, tw, B, tf1, B2, tf2 ; 2nd l
ine
; SW, GN, CTC, Bc, Tc, Hh, EsEc, DsDc, Ps, Pc, bMulti, Elong, Esh ; 3rd l
ine
; iSEC, TYPE, SNAME, [OFFSET], bSD, bWE, SHAPE ; 1st l
ine - COMPOSITE-CI/CT
; OPT1, OPT2, [JOINT] ; 2nd l
ine
; [SIZE-A] ; 3rd l
ine
; [SIZE-B] ; 4th l
ine
; [SIZE-C] ; 5th l
ine
; [SIZE-D] ; 6th l
ine
; SW, GN, CTC, Bc, Tc, Hh, EgdEsb, DgdDsb, Pgd, Psb ; 7th l
ine
; iSEC, TYPE, SNAME, [OFFSET], bSD, bWE, SHAPE ; 1st l
ine - PSC
; OPT1, OPT2, [JOINT] ; 2nd l
ine
; bSHEARCHK, [SCHK], [WT], WIDTH, bSYM, bSIDEHOLE ; 3rd l
ine
; bUSERDEFMESHSIZE, MESHSIZE, bUSERINPSTIFF, [STIFF] ; 4th l
ine
; bWE, [WARPING POINT]-i, [WARPING POINT]-j ; 5th l
ine
; [SIZE-A] ; 6th l
ine
; [SIZE-B] ; 7th l
ine
; [SIZE-C] ; 8th l
ine
; [SIZE-D] ; 9th l
ine
; [DATA1] : 1, DB, NAME or 2, D1, D2, D3, D4, D5, D6, D7, D8, D9, D10
; [DATA2] : CCSHAPE or iCEL or iN1, iN2
; [SRC] : 1, DB, NAME1, NAME2 or 2, D1, D2, D3, D4, D5, D6, D7, D8, D9, D10, iN1, iN2

; [DIM1], [DIM2] : D1, D2, D3, D4, D5, D6, D7, D8
; [OFFSET] : OFFSET, iCENT, iREF, iHORZ, HUSER, iVERT, VUSER
; [OFFSET2] : OFFSET, iCENT, iREF, iHORZ, HUSERI, HUSERJ, iVERT, VUSERI, VUSERJ
; [JOINT] : 8(1CELL, 2CELL), 13(3CELL), 9(PSCM), 8(PSCH), 9(PSCT), 2(PSCB), 0(nCE LL), 2(nCEL2)
; [SIZE-A] : 6(1CELL, 2CELL), 10(3CELL), 10(PSCM), 6(PSCH), 8(PSCT), 10(PSCB), 5(nCE LL), 11(nCEL2)
; [SIZE-B] : 6(1CELL, 2CELL), 12(3CELL), 6(PSCM), 6(PSCH), 8(PSCT), 6(PSCB), 8(nCE LL), 18(nCEL2)
; [SIZE-C] : 10(1CELL, 2CELL), 13(3CELL), 9(PSCM), 10(PSCH), 7(PSCT), 8(PSCB), 0(nCE LL), 11(nCEL2)
; [SIZE-D] : 8(1CELL, 2CELL), 13(3CELL), 6(PSCM), 7(PSCH), 8(PSCT), 5(PSCB), 0(nCE LL), 18(nCEL2)
; [STIFF] : AREA, ASy, ASz, Ixx, Iyy, Izz

```

MIDAS

PROJECT TITLE :

MIDAS	Company		Client	
	Author		File Name	L2-CV01_REVISIONE_2

```

; [SCHK] : bAUTO_z1, z1, bAUTO_z3, z3
; [WT] : bAUTO_TOR, TOR, bAUTO_SHR1, SHR1, bAUTO_SHR2, SHR2, bAUTO_SHR3, SHR3
; [CMPWEB] : EFD, LRF, A, B, H, T
; [WARPING POINT] : nWarpingCheck, X1,X2,X3,X4,X5,X6, Y1,Y2,Y3,Y4,Y5,Y6
1, COMPOSITE , TRAVE PRINCIPALE CAMPATA, CT, 0, 0, 0, 0, 0, YES, NO, I
1.93, 0.022, 0.6, 0.03, 1, 0.04
0, 0, 0, 0, 0
0
0
0
3.35, 1, 3.35, 3.35, 0.25, 0, 6.16251, 3.0792, 0.3, 0.2, 1.2, NO,
2, COMPOSITE , TRAVE PRINCIPALE APPOGGIO, CT, 0, 0, 0, 0, 0, YES, NO, I
1.93, 0.022, 0.6, 0.03, 0.8, 0.04
0, 0, 0, 0, 0
0
0
0
3.35, 1, 3.35, 3.35, 0.25, 0, 6.16251, 3.0792, 0.3, 0.2, 1.2, NO,
3, COMPOSITE , TRAVE SPINA , CT, 0, 0, 0, 0, 0, YES, NO, I
0.54, 0.013, 0.3, 0.025, 0.3, 0.025
0, 0, 0, 0, 0
0
0
0
3.8, 1, 3.8, 3.8, 0.26, 0, 6.16251, 3.0792, 0.3, 0.2, 1.2, NO,
4, DBUSER , TRAVERSO , CC, 0, 0, 0, 0, 0, YES, NO, H , 2, 0.8, 0.3
5, 0.02, 0.028, 0.35, 0.028, 0, 0, 0, 0
5, DBUSER , CONTROVENTI , CC, 0, 0, 0, 0, 0, YES, NO, L , 1, UNI, L70
x7
6, DBUSER , SOLETTA , CC, 0, 0, 0, 0, 0, YES, NO, SB , 2, 0.25, 0.
82, 0, 0, 0, 0, 0, 0, 0
7, COMPOSITE , CONCIO C1 , CT, 0, 0, 0, 0, 0, YES, NO, I
1.945, 0.02, 0.7, 0.02, 0.9, 0.035
0, 0, 0, 0, 0
0
0
0
3.34, 1, 3.34, 3.34, 0.26, 0, 6.16251, 3.0792, 0.3, 0.2, 1.2, NO,
8, COMPOSITE , CONCIO C2 , CT, 0, 0, 0, 0, 0, YES, NO, I
1.935, 0.02, 0.7, 0.025, 1.2, 0.04
0, 0, 0, 0, 0
0
0
0
3.34, 1, 3.34, 3.34, 0.26, 0, 6.16251, 3.0792, 0.3, 0.2, 1.2, NO,
9, COMPOSITE , CONCIO C3 , CT, 0, 0, 0, 0, 0, YES, NO, I
1.915, 0.02, 0.7, 0.03, 1.2, 0.055
0, 0, 0, 0, 0
0
0
0
3.34, 1, 3.34, 3.34, 0.26, 0, 6.16251, 3.0792, 0.3, 0.2, 1.2, NO,

```

```

*STLDCASE ; Static Load Cases
; LCNAME, LCTYPE, DESC
PESO PROPRIO ACCIAIO, CS, PESO PROPRIO ACCIAIO
PESO PROPRIO SOLETTA, CS, PESO PROPRIO SOLETTA
PERMANENTE PORTATO, CS, PERMANENTE PORTATO
VENTO PONTE SCARICO, W , VENTO PONTE SCARICO
VENTO PONTE CARICO, WL, VENTO PONTE CARICO
TERMICA UNIFORME +, T , TERMICA UNIFORME +

```

MIDAS

PROJECT TITLE :

	Company		Client	
	Author		File Name	L2-CV01_REVISIONE_2

TERMICA UNIFORME -, T , TERMICA UNIFORME -
TERMICA GRADIENTE +, TPG, TERMICA GRADIENTE +
TERMICA GRADIENTE -, TPG, TERMICA GRADIENTE -
FRENATURA, BRK, FRENATURA

```
*SPRING      ; Point Spring Supports
; NODE_LIST, Type, SDx, SDy, SDz, SRx, SRy, SRz, GROUP, FROMTYPE, EFFAREA, Kx, Ky, Kz
;                           ; LINEAR
; NODE_LIST, Type, Direction, Vx, Vy, Vz, Stiffness, GROUP, FROMTYPE, EFFAREA
;                           ; COMP, TENS
; NODE_LIST, Type, Multi-Linear Type, Direction, Vx, Vy, Vz, ax, ay, bx, by, cx, cy, d
x, dy, ex, ey, fx, fy, GROUP, FROMTYPE, EFFAREA ; MULTI
   1to4, LINEAR, 4220, 4220, 4.33e+006, 0, 0, 0, NO, 0, 0, 0, 0, 0, 0, 0, FASE 1, 0, 0, 0
, 0, 0

*RIGIDLINK      ; Rigid Link
; KEY, M-NODE, DOF, S-NODE LIST, GROUP
 32,      1, 111111, 9 93, FASE 1
 31,      2, 111111, 31 195, FASE 1
 1,       3, 111111, 19 143, FASE 1
 2,       4, 111111, 41 245, FASE 1
 6,       10, 111111, 98, FASE 1
 9,       11, 111111, 103, FASE 1
 12,      12, 111111, 108, FASE 1
 15,      13, 111111, 113, FASE 1
 17,      14, 111111, 118, FASE 1
 20,      15, 111111, 123, FASE 1
 24,      16, 111111, 128, FASE 1
 27,      17, 111111, 133, FASE 1
 30,      18, 111111, 138, FASE 1
 3,       20, 111111, 144, FASE 1
 5,       21, 111111, 149, FASE 1
 8,       22, 111111, 154, FASE 1
 11,      23, 111111, 159, FASE 1
 14,      24, 111111, 164, FASE 1
 18,      25, 111111, 169, FASE 1
 21,      26, 111111, 174, FASE 1
 23,      27, 111111, 179, FASE 1
 26,      28, 111111, 184, FASE 1
 29,      29, 111111, 189, FASE 1
 33,      30, 111111, 194, FASE 1
 4,       32, 111111, 200, FASE 1
 7,       33, 111111, 205, FASE 1
 10,      34, 111111, 210, FASE 1
 13,      35, 111111, 215, FASE 1
 16,      36, 111111, 220, FASE 1
 19,      37, 111111, 225, FASE 1
 22,      38, 111111, 230, FASE 1
 25,      39, 111111, 235, FASE 1
 28,      40, 111111, 240, FASE 1

; *LOADTOMASS, DIR, bNODAL, bBEAM, bFLOOR, bPRES, GRAV
;   LCNAME1, FACTOR1, LCNAME2, FACTOR2, ... ; from line 1
*LOADTOMASS, XYZ, YES, YES, YES, YES, 9.806
   PESO PROPRIO SOLETTA, 1, PERMANENTE PORTATO, 1

*USE-STLD, PESO PROPRIO ACCIAIO

; *SELFWEIGHT, X, Y, Z, GROUP
*SELFWEIGHT, 0, 0, -1.12, FASE 1
```

MIDAS

PROJECT TITLE :

	Company		Client	
	Author		File Name	L2-CV01_REVISIONE_2

; End of data for load case [PESO PROPRIO ACCIAIO] -----

*USE-STLD, PESO PROPRIO SOLETTA

```
*BEAMLOAD      ; Element Beam Loads
; ELEM_LIST, CMD, TYPE, DIR, bPROJ, [ECCEN], [VALUE], GROUP
; ELEM_LIST, CMD, TYPE, TYPE, DIR, VX, VY, VZ, bPROJ, [ECCEN], [VALUE], GROUP
; [VALUE]       : D1, P1, D2, P2, D3, P3, D4, P4
; [ECCEN]        : bECCEN, ECCDIR, I-END, J-END, bJ-END
; [ADDITIONAL]  : bADDITIONAL, ADDITIONAL_I-END, ADDITIONAL_J-END, bADDITIONAL_J-END
    74, BEAM , UNILOAD, GZ, NO , NO, aDir[1], , , 0, -23.516, 1, -23.516, 0, 0, 0,
0, FASE 2, NO, 0, 0, NO,
    75, BEAM , UNILOAD, GZ, NO , NO, aDir[1], , , 0, -23.516, 1, -23.516, 0, 0, 0,
0, FASE 2, NO, 0, 0, NO,
    76, BEAM , UNILOAD, GZ, NO , NO, aDir[1], , , 0, -23.516, 1, -23.516, 0, 0, 0,
0, FASE 2, NO, 0, 0, NO,
    77, BEAM , UNILOAD, GZ, NO , NO, aDir[1], , , 0, -23.516, 1, -23.516, 0, 0, 0,
0, FASE 2, NO, 0, 0, NO,
    78, BEAM , UNILOAD, GZ, NO , NO, aDir[1], , , 0, -23.516, 1, -23.516, 0, 0, 0,
0, FASE 2, NO, 0, 0, NO,
    79, BEAM , UNILOAD, GZ, NO , NO, aDir[1], , , 0, -23.516, 1, -23.516, 0, 0, 0,
0, FASE 2, NO, 0, 0, NO,
    80, BEAM , UNILOAD, GZ, NO , NO, aDir[1], , , 0, -23.516, 1, -23.516, 0, 0, 0,
0, FASE 2, NO, 0, 0, NO,
    81, BEAM , UNILOAD, GZ, NO , NO, aDir[1], , , 0, -23.516, 1, -23.516, 0, 0, 0,
0, FASE 2, NO, 0, 0, NO,
    82, BEAM , UNILOAD, GZ, NO , NO, aDir[1], , , 0, -23.516, 1, -23.516, 0, 0, 0,
0, FASE 2, NO, 0, 0, NO,
    83, BEAM , UNILOAD, GZ, NO , NO, aDir[1], , , 0, -23.516, 1, -23.516, 0, 0, 0,
0, FASE 2, NO, 0, 0, NO,
    84, BEAM , UNILOAD, GZ, NO , NO, aDir[1], , , 0, -23.516, 1, -23.516, 0, 0, 0,
0, FASE 2, NO, 0, 0, NO,
    85, BEAM , UNILOAD, GZ, NO , NO, aDir[1], , , 0, -23.516, 1, -23.516, 0, 0, 0,
0, FASE 2, NO, 0, 0, NO,
    86, BEAM , UNILOAD, GZ, NO , NO, aDir[1], , , 0, -23.516, 1, -23.516, 0, 0, 0,
0, FASE 2, NO, 0, 0, NO,
    87, BEAM , UNILOAD, GZ, NO , NO, aDir[1], , , 0, -23.516, 1, -23.516, 0, 0, 0,
0, FASE 2, NO, 0, 0, NO,
    88, BEAM , UNILOAD, GZ, NO , NO, aDir[1], , , 0, -23.516, 1, -23.516, 0, 0, 0,
0, FASE 2, NO, 0, 0, NO,
    89, BEAM , UNILOAD, GZ, NO , NO, aDir[1], , , 0, -23.516, 1, -23.516, 0, 0, 0,
0, FASE 2, NO, 0, 0, NO,
    90, BEAM , UNILOAD, GZ, NO , NO, aDir[1], , , 0, -23.516, 1, -23.516, 0, 0, 0,
0, FASE 2, NO, 0, 0, NO,
    91, BEAM , UNILOAD, GZ, NO , NO, aDir[1], , , 0, -23.516, 1, -23.516, 0, 0, 0,
0, FASE 2, NO, 0, 0, NO,
    92, BEAM , UNILOAD, GZ, NO , NO, aDir[1], , , 0, -23.516, 1, -23.516, 0, 0, 0,
0, FASE 2, NO, 0, 0, NO,
    93, BEAM , UNILOAD, GZ, NO , NO, aDir[1], , , 0, -23.516, 1, -23.516, 0, 0, 0,
0, FASE 2, NO, 0, 0, NO,
    94, BEAM , UNILOAD, GZ, NO , NO, aDir[1], , , 0, -23.516, 1, -23.516, 0, 0, 0,
0, FASE 2, NO, 0, 0, NO,
    95, BEAM , UNILOAD, GZ, NO , NO, aDir[1], , , 0, -23.516, 1, -23.516, 0, 0, 0,
0, FASE 2, NO, 0, 0, NO,
    96, BEAM , UNILOAD, GZ, NO , NO, aDir[1], , , 0, -23.516, 1, -23.516, 0, 0, 0,
0, FASE 2, NO, 0, 0, NO,
    97, BEAM , UNILOAD, GZ, NO , NO, aDir[1], , , 0, -23.516, 1, -23.516, 0, 0, 0,
0, FASE 2, NO, 0, 0, NO,
    98, BEAM , UNILOAD, GZ, NO , NO, aDir[1], , , 0, -23.516, 1, -23.516, 0, 0, 0,
0, FASE 2, NO, 0, 0, NO,
    99, BEAM , UNILOAD, GZ, NO , NO, aDir[1], , , 0, -23.516, 1, -23.516, 0, 0, 0,
0, FASE 2, NO, 0, 0, NO,
```

MIDAS

PROJECT TITLE :

	Company		Client	
	Author		File Name	L2-CV01_REVISIONE_2

```

100, BEAM , UNILOAD, GZ, NO , NO, aDir[1], , , , 0, -23.516, 1, -23.516, 0, 0, 0,
0, FASE 2, NO, 0, 0, NO,
101, BEAM , UNILOAD, GZ, NO , NO, aDir[1], , , , 0, -23.516, 1, -23.516, 0, 0, 0,
0, FASE 2, NO, 0, 0, NO,
102, BEAM , UNILOAD, GZ, NO , NO, aDir[1], , , , 0, -23.516, 1, -23.516, 0, 0, 0,
0, FASE 2, NO, 0, 0, NO,
103, BEAM , UNILOAD, GZ, NO , NO, aDir[1], , , , 0, -23.516, 1, -23.516, 0, 0, 0,
0, FASE 2, NO, 0, 0, NO,
104, BEAM , UNILOAD, GZ, NO , NO, aDir[1], , , , 0, -23.516, 1, -23.516, 0, 0, 0,
0, FASE 2, NO, 0, 0, NO,
105, BEAM , UNILOAD, GZ, NO , NO, aDir[1], , , , 0, -23.516, 1, -23.516, 0, 0, 0,
0, FASE 2, NO, 0, 0, NO,
106, BEAM , UNILOAD, GZ, NO , NO, aDir[1], , , , 0, -23.516, 1, -23.516, 0, 0, 0,
0, FASE 2, NO, 0, 0, NO,
107, BEAM , UNILOAD, GZ, NO , NO, aDir[1], , , , 0, -23.516, 1, -23.516, 0, 0, 0,
0, FASE 2, NO, 0, 0, NO,
108, BEAM , UNILOAD, GZ, NO , NO, aDir[1], , , , 0, -23.516, 1, -23.516, 0, 0, 0,
0, FASE 2, NO, 0, 0, NO,
109, BEAM , UNILOAD, GZ, NO , NO, aDir[1], , , , 0, -23.516, 1, -23.516, 0, 0, 0,
0, FASE 2, NO, 0, 0, NO,
110, BEAM , UNILOAD, GZ, NO , NO, aDir[1], , , , 0, -23.516, 1, -23.516, 0, 0, 0,
0, FASE 2, NO, 0, 0, NO,
111, BEAM , UNILOAD, GZ, NO , NO, aDir[1], , , , 0, -23.516, 1, -23.516, 0, 0, 0,
0, FASE 2, NO, 0, 0, NO,
112, BEAM , UNILOAD, GZ, NO , NO, aDir[1], , , , 0, -23.516, 1, -23.516, 0, 0, 0,
0, FASE 2, NO, 0, 0, NO,
113, BEAM , UNILOAD, GZ, NO , NO, aDir[1], , , , 0, -23.516, 1, -23.516, 0, 0, 0,
0, FASE 2, NO, 0, 0, NO,
114, BEAM , UNILOAD, GZ, NO , NO, aDir[1], , , , 0, -23.516, 1, -23.516, 0, 0, 0,
0, FASE 2, NO, 0, 0, NO,
115, BEAM , UNILOAD, GZ, NO , NO, aDir[1], , , , 0, -23.516, 1, -23.516, 0, 0, 0,
0, FASE 2, NO, 0, 0, NO,
116, BEAM , UNILOAD, GZ, NO , NO, aDir[1], , , , 0, -23.516, 1, -23.516, 0, 0, 0,
0, FASE 2, NO, 0, 0, NO,
117, BEAM , UNILOAD, GZ, NO , NO, aDir[1], , , , 0, -23.516, 1, -23.516, 0, 0, 0,
0, FASE 2, NO, 0, 0, NO,
118, BEAM , UNILOAD, GZ, NO , NO, aDir[1], , , , 0, -23.516, 1, -23.516, 0, 0, 0,
0, FASE 2, NO, 0, 0, NO,
119, BEAM , UNILOAD, GZ, NO , NO, aDir[1], , , , 0, -23.516, 1, -23.516, 0, 0, 0,
0, FASE 2, NO, 0, 0, NO,
120, BEAM , UNILOAD, GZ, NO , NO, aDir[1], , , , 0, -23.516, 1, -23.516, 0, 0, 0,
0, FASE 2, NO, 0, 0, NO,
121, BEAM , UNILOAD, GZ, NO , NO, aDir[1], , , , 0, -23.516, 1, -23.516, 0, 0, 0,
0, FASE 2, NO, 0, 0, NO,
122, BEAM , UNILOAD, GZ, NO , NO, aDir[1], , , , 0, -23.516, 1, -23.516, 0, 0, 0,
0, FASE 2, NO, 0, 0, NO,
123, BEAM , UNILOAD, GZ, NO , NO, aDir[1], , , , 0, -23.516, 1, -23.516, 0, 0, 0,
0, FASE 2, NO, 0, 0, NO,
175, BEAM , UNILOAD, GZ, NO , NO, aDir[1], , , , 0, -26.844, 1, -26.844, 0, 0, 0,
0, FASE 2, NO, 0, 0, NO,
176, BEAM , UNILOAD, GZ, NO , NO, aDir[1], , , , 0, -26.844, 1, -26.844, 0, 0, 0,
0, FASE 2, NO, 0, 0, NO,
177, BEAM , UNILOAD, GZ, NO , NO, aDir[1], , , , 0, -26.844, 1, -26.844, 0, 0, 0,
0, FASE 2, NO, 0, 0, NO,
180, BEAM , UNILOAD, GZ, NO , NO, aDir[1], , , , 0, -26.844, 1, -26.844, 0, 0, 0,
0, FASE 2, NO, 0, 0, NO,
181, BEAM , UNILOAD, GZ, NO , NO, aDir[1], , , , 0, -26.844, 1, -26.844, 0, 0, 0,
0, FASE 2, NO, 0, 0, NO,
182, BEAM , UNILOAD, GZ, NO , NO, aDir[1], , , , 0, -26.844, 1, -26.844, 0, 0, 0,
0, FASE 2, NO, 0, 0, NO,
183, BEAM , UNILOAD, GZ, NO , NO, aDir[1], , , , 0, -26.844, 1, -26.844, 0, 0, 0,
0, FASE 2, NO, 0, 0, NO,

```

MIDAS

PROJECT TITLE :

	Company		Client	
	Author		File Name	L2-CV01_REVISIONE_2

184, BEAM , UNILOAD, GZ, NO , NO, aDir[1], , , , 0, -26.844, 1, -26.844, 0, 0, 0,
 0, FASE 2, NO, 0, 0, NO,
 187, BEAM , UNILOAD, GZ, NO , NO, aDir[1], , , , 0, -26.844, 1, -26.844, 0, 0, 0,
 0, FASE 2, NO, 0, 0, NO,
 188, BEAM , UNILOAD, GZ, NO , NO, aDir[1], , , , 0, -26.844, 1, -26.844, 0, 0, 0,
 0, FASE 2, NO, 0, 0, NO,
 189, BEAM , UNILOAD, GZ, NO , NO, aDir[1], , , , 0, -26.844, 1, -26.844, 0, 0, 0,
 0, FASE 2, NO, 0, 0, NO,
 190, BEAM , UNILOAD, GZ, NO , NO, aDir[1], , , , 0, -26.844, 1, -26.844, 0, 0, 0,
 0, FASE 2, NO, 0, 0, NO,
 191, BEAM , UNILOAD, GZ, NO , NO, aDir[1], , , , 0, -26.844, 1, -26.844, 0, 0, 0,
 0, FASE 2, NO, 0, 0, NO,
 194, BEAM , UNILOAD, GZ, NO , NO, aDir[1], , , , 0, -26.844, 1, -26.844, 0, 0, 0,
 0, FASE 2, NO, 0, 0, NO,
 195, BEAM , UNILOAD, GZ, NO , NO, aDir[1], , , , 0, -26.844, 1, -26.844, 0, 0, 0,
 0, FASE 2, NO, 0, 0, NO,
 196, BEAM , UNILOAD, GZ, NO , NO, aDir[1], , , , 0, -26.844, 1, -26.844, 0, 0, 0,
 0, FASE 2, NO, 0, 0, NO,
 197, BEAM , UNILOAD, GZ, NO , NO, aDir[1], , , , 0, -26.844, 1, -26.844, 0, 0, 0,
 0, FASE 2, NO, 0, 0, NO,
 198, BEAM , UNILOAD, GZ, NO , NO, aDir[1], , , , 0, -26.844, 1, -26.844, 0, 0, 0,
 0, FASE 2, NO, 0, 0, NO,
 201, BEAM , UNILOAD, GZ, NO , NO, aDir[1], , , , 0, -26.844, 1, -26.844, 0, 0, 0,
 0, FASE 2, NO, 0, 0, NO,
 202, BEAM , UNILOAD, GZ, NO , NO, aDir[1], , , , 0, -26.844, 1, -26.844, 0, 0, 0,
 0, FASE 2, NO, 0, 0, NO,
 203, BEAM , UNILOAD, GZ, NO , NO, aDir[1], , , , 0, -26.844, 1, -26.844, 0, 0, 0,
 0, FASE 2, NO, 0, 0, NO,
 204, BEAM , UNILOAD, GZ, NO , NO, aDir[1], , , , 0, -26.844, 1, -26.844, 0, 0, 0,
 0, FASE 2, NO, 0, 0, NO,
 205, BEAM , UNILOAD, GZ, NO , NO, aDir[1], , , , 0, -26.844, 1, -26.844, 0, 0, 0,
 0, FASE 2, NO, 0, 0, NO,
 208, BEAM , UNILOAD, GZ, NO , NO, aDir[1], , , , 0, -26.844, 1, -26.844, 0, 0, 0,
 0, FASE 2, NO, 0, 0, NO,
 209, BEAM , UNILOAD, GZ, NO , NO, aDir[1], , , , 0, -26.844, 1, -26.844, 0, 0, 0,
 0, FASE 2, NO, 0, 0, NO,
 210, BEAM , UNILOAD, GZ, NO , NO, aDir[1], , , , 0, -26.844, 1, -26.844, 0, 0, 0,
 0, FASE 2, NO, 0, 0, NO,
 211, BEAM , UNILOAD, GZ, NO , NO, aDir[1], , , , 0, -26.844, 1, -26.844, 0, 0, 0,
 0, FASE 2, NO, 0, 0, NO,
 212, BEAM , UNILOAD, GZ, NO , NO, aDir[1], , , , 0, -26.844, 1, -26.844, 0, 0, 0,
 0, FASE 2, NO, 0, 0, NO,
 215, BEAM , UNILOAD, GZ, NO , NO, aDir[1], , , , 0, -26.844, 1, -26.844, 0, 0, 0,
 0, FASE 2, NO, 0, 0, NO,
 216, BEAM , UNILOAD, GZ, NO , NO, aDir[1], , , , 0, -26.844, 1, -26.844, 0, 0, 0,
 0, FASE 2, NO, 0, 0, NO,
 217, BEAM , UNILOAD, GZ, NO , NO, aDir[1], , , , 0, -26.844, 1, -26.844, 0, 0, 0,
 0, FASE 2, NO, 0, 0, NO,
 218, BEAM , UNILOAD, GZ, NO , NO, aDir[1], , , , 0, -26.844, 1, -26.844, 0, 0, 0,
 0, FASE 2, NO, 0, 0, NO,
 219, BEAM , UNILOAD, GZ, NO , NO, aDir[1], , , , 0, -26.844, 1, -26.844, 0, 0, 0,
 0, FASE 2, NO, 0, 0, NO,
 222, BEAM , UNILOAD, GZ, NO , NO, aDir[1], , , , 0, -26.844, 1, -26.844, 0, 0, 0,
 0, FASE 2, NO, 0, 0, NO,
 223, BEAM , UNILOAD, GZ, NO , NO, aDir[1], , , , 0, -26.844, 1, -26.844, 0, 0, 0,
 0, FASE 2, NO, 0, 0, NO,
 224, BEAM , UNILOAD, GZ, NO , NO, aDir[1], , , , 0, -26.844, 1, -26.844, 0, 0, 0,
 0, FASE 2, NO, 0, 0, NO,
 225, BEAM , UNILOAD, GZ, NO , NO, aDir[1], , , , 0, -26.844, 1, -26.844, 0, 0, 0,
 0, FASE 2, NO, 0, 0, NO,
 228, BEAM , UNILOAD, GZ, NO , NO, aDir[1], , , , 0, -26.844, 1, -26.844, 0, 0, 0,
 0, FASE 2, NO, 0, 0, NO,

MIDAS

PROJECT TITLE :

	Company		Client	
	Author		File Name	L2-CV01_REVISIONE_2

```

229, BEAM , UNILOAD, GZ, NO , NO, aDir[1], , , , 0, -26.844, 1, -26.844, 0, 0, 0,
0, FASE 2, NO, 0, 0, NO,
230, BEAM , UNILOAD, GZ, NO , NO, aDir[1], , , , 0, -26.844, 1, -26.844, 0, 0, 0,
0, FASE 2, NO, 0, 0, NO,
231, BEAM , UNILOAD, GZ, NO , NO, aDir[1], , , , 0, -26.844, 1, -26.844, 0, 0, 0,
0, FASE 2, NO, 0, 0, NO,
232, BEAM , UNILOAD, GZ, NO , NO, aDir[1], , , , 0, -26.844, 1, -26.844, 0, 0, 0,
0, FASE 2, NO, 0, 0, NO,
233, BEAM , UNILOAD, GZ, NO , NO, aDir[1], , , , 0, -26.844, 1, -26.844, 0, 0, 0,
0, FASE 2, NO, 0, 0, NO,
236, BEAM , UNILOAD, GZ, NO , NO, aDir[1], , , , 0, -26.844, 1, -26.844, 0, 0, 0,
0, FASE 2, NO, 0, 0, NO,
237, BEAM , UNILOAD, GZ, NO , NO, aDir[1], , , , 0, -26.844, 1, -26.844, 0, 0, 0,
0, FASE 2, NO, 0, 0, NO,
238, BEAM , UNILOAD, GZ, NO , NO, aDir[1], , , , 0, -26.844, 1, -26.844, 0, 0, 0,
0, FASE 2, NO, 0, 0, NO,
239, BEAM , UNILOAD, GZ, NO , NO, aDir[1], , , , 0, -26.844, 1, -26.844, 0, 0, 0,
0, FASE 2, NO, 0, 0, NO,
241, BEAM , UNILOAD, GZ, NO , NO, aDir[1], , , , 0, -26.844, 1, -26.844, 0, 0, 0,
0, FASE 2, NO, 0, 0, NO,
243, BEAM , UNILOAD, GZ, NO , NO, aDir[1], , , , 0, -26.844, 1, -26.844, 0, 0, 0,
0, FASE 2, NO, 0, 0, NO,
244, BEAM , UNILOAD, GZ, NO , NO, aDir[1], , , , 0, -26.844, 1, -26.844, 0, 0, 0,
0, FASE 2, NO, 0, 0, NO,
296, BEAM , UNILOAD, GZ, NO , NO, aDir[1], , , , 0, -23.516, 1, -23.516, 0, 0, 0,
0, FASE 2, NO, 0, 0, NO,
297, BEAM , UNILOAD, GZ, NO , NO, aDir[1], , , , 0, -23.516, 1, -23.516, 0, 0, 0,
0, FASE 2, NO, 0, 0, NO,
298, BEAM , UNILOAD, GZ, NO , NO, aDir[1], , , , 0, -23.516, 1, -23.516, 0, 0, 0,
0, FASE 2, NO, 0, 0, NO,
299, BEAM , UNILOAD, GZ, NO , NO, aDir[1], , , , 0, -23.516, 1, -23.516, 0, 0, 0,
0, FASE 2, NO, 0, 0, NO,
300, BEAM , UNILOAD, GZ, NO , NO, aDir[1], , , , 0, -23.516, 1, -23.516, 0, 0, 0,
0, FASE 2, NO, 0, 0, NO,
301, BEAM , UNILOAD, GZ, NO , NO, aDir[1], , , , 0, -23.516, 1, -23.516, 0, 0, 0,
0, FASE 2, NO, 0, 0, NO,
302, BEAM , UNILOAD, GZ, NO , NO, aDir[1], , , , 0, -23.516, 1, -23.516, 0, 0, 0,
0, FASE 2, NO, 0, 0, NO,
303, BEAM , UNILOAD, GZ, NO , NO, aDir[1], , , , 0, -23.516, 1, -23.516, 0, 0, 0,
0, FASE 2, NO, 0, 0, NO,
304, BEAM , UNILOAD, GZ, NO , NO, aDir[1], , , , 0, -23.516, 1, -23.516, 0, 0, 0,
0, FASE 2, NO, 0, 0, NO,
305, BEAM , UNILOAD, GZ, NO , NO, aDir[1], , , , 0, -23.516, 1, -23.516, 0, 0, 0,
0, FASE 2, NO, 0, 0, NO,
306, BEAM , UNILOAD, GZ, NO , NO, aDir[1], , , , 0, -23.516, 1, -23.516, 0, 0, 0,
0, FASE 2, NO, 0, 0, NO,
307, BEAM , UNILOAD, GZ, NO , NO, aDir[1], , , , 0, -23.516, 1, -23.516, 0, 0, 0,
0, FASE 2, NO, 0, 0, NO,
308, BEAM , UNILOAD, GZ, NO , NO, aDir[1], , , , 0, -23.516, 1, -23.516, 0, 0, 0,
0, FASE 2, NO, 0, 0, NO,
309, BEAM , UNILOAD, GZ, NO , NO, aDir[1], , , , 0, -23.516, 1, -23.516, 0, 0, 0,
0, FASE 2, NO, 0, 0, NO,
310, BEAM , UNILOAD, GZ, NO , NO, aDir[1], , , , 0, -23.516, 1, -23.516, 0, 0, 0,
0, FASE 2, NO, 0, 0, NO,
311, BEAM , UNILOAD, GZ, NO , NO, aDir[1], , , , 0, -23.516, 1, -23.516, 0, 0, 0,
0, FASE 2, NO, 0, 0, NO,
312, BEAM , UNILOAD, GZ, NO , NO, aDir[1], , , , 0, -23.516, 1, -23.516, 0, 0, 0,
0, FASE 2, NO, 0, 0, NO,
313, BEAM , UNILOAD, GZ, NO , NO, aDir[1], , , , 0, -23.516, 1, -23.516, 0, 0, 0,
0, FASE 2, NO, 0, 0, NO,
314, BEAM , UNILOAD, GZ, NO , NO, aDir[1], , , , 0, -23.516, 1, -23.516, 0, 0, 0,
0, FASE 2, NO, 0, 0, NO,

```

MIDAS

PROJECT TITLE :

	Company		Client	
	Author		File Name	L2-CV01_REVISIONE_2

315, BEAM , UNILOAD, GZ, NO , NO, aDir[1], , , , 0, -23.516, 1, -23.516, 0, 0, 0,
 0, FASE 2, NO, 0, 0, NO,
 316, BEAM , UNILOAD, GZ, NO , NO, aDir[1], , , , 0, -23.516, 1, -23.516, 0, 0, 0,
 0, FASE 2, NO, 0, 0, NO,
 317, BEAM , UNILOAD, GZ, NO , NO, aDir[1], , , , 0, -23.516, 1, -23.516, 0, 0, 0,
 0, FASE 2, NO, 0, 0, NO,
 318, BEAM , UNILOAD, GZ, NO , NO, aDir[1], , , , 0, -23.516, 1, -23.516, 0, 0, 0,
 0, FASE 2, NO, 0, 0, NO,
 319, BEAM , UNILOAD, GZ, NO , NO, aDir[1], , , , 0, -23.516, 1, -23.516, 0, 0, 0,
 0, FASE 2, NO, 0, 0, NO,
 320, BEAM , UNILOAD, GZ, NO , NO, aDir[1], , , , 0, -23.516, 1, -23.516, 0, 0, 0,
 0, FASE 2, NO, 0, 0, NO,
 321, BEAM , UNILOAD, GZ, NO , NO, aDir[1], , , , 0, -23.516, 1, -23.516, 0, 0, 0,
 0, FASE 2, NO, 0, 0, NO,
 322, BEAM , UNILOAD, GZ, NO , NO, aDir[1], , , , 0, -23.516, 1, -23.516, 0, 0, 0,
 0, FASE 2, NO, 0, 0, NO,
 323, BEAM , UNILOAD, GZ, NO , NO, aDir[1], , , , 0, -23.516, 1, -23.516, 0, 0, 0,
 0, FASE 2, NO, 0, 0, NO,
 324, BEAM , UNILOAD, GZ, NO , NO, aDir[1], , , , 0, -23.516, 1, -23.516, 0, 0, 0,
 0, FASE 2, NO, 0, 0, NO,
 325, BEAM , UNILOAD, GZ, NO , NO, aDir[1], , , , 0, -23.516, 1, -23.516, 0, 0, 0,
 0, FASE 2, NO, 0, 0, NO,
 326, BEAM , UNILOAD, GZ, NO , NO, aDir[1], , , , 0, -23.516, 1, -23.516, 0, 0, 0,
 0, FASE 2, NO, 0, 0, NO,
 327, BEAM , UNILOAD, GZ, NO , NO, aDir[1], , , , 0, -23.516, 1, -23.516, 0, 0, 0,
 0, FASE 2, NO, 0, 0, NO,
 328, BEAM , UNILOAD, GZ, NO , NO, aDir[1], , , , 0, -23.516, 1, -23.516, 0, 0, 0,
 0, FASE 2, NO, 0, 0, NO,
 329, BEAM , UNILOAD, GZ, NO , NO, aDir[1], , , , 0, -23.516, 1, -23.516, 0, 0, 0,
 0, FASE 2, NO, 0, 0, NO,
 330, BEAM , UNILOAD, GZ, NO , NO, aDir[1], , , , 0, -23.516, 1, -23.516, 0, 0, 0,
 0, FASE 2, NO, 0, 0, NO,
 331, BEAM , UNILOAD, GZ, NO , NO, aDir[1], , , , 0, -23.516, 1, -23.516, 0, 0, 0,
 0, FASE 2, NO, 0, 0, NO,
 332, BEAM , UNILOAD, GZ, NO , NO, aDir[1], , , , 0, -23.516, 1, -23.516, 0, 0, 0,
 0, FASE 2, NO, 0, 0, NO,
 333, BEAM , UNILOAD, GZ, NO , NO, aDir[1], , , , 0, -23.516, 1, -23.516, 0, 0, 0,
 0, FASE 2, NO, 0, 0, NO,
 334, BEAM , UNILOAD, GZ, NO , NO, aDir[1], , , , 0, -23.516, 1, -23.516, 0, 0, 0,
 0, FASE 2, NO, 0, 0, NO,
 335, BEAM , UNILOAD, GZ, NO , NO, aDir[1], , , , 0, -23.516, 1, -23.516, 0, 0, 0,
 0, FASE 2, NO, 0, 0, NO,
 336, BEAM , UNILOAD, GZ, NO , NO, aDir[1], , , , 0, -23.516, 1, -23.516, 0, 0, 0,
 0, FASE 2, NO, 0, 0, NO,
 337, BEAM , UNILOAD, GZ, NO , NO, aDir[1], , , , 0, -23.516, 1, -23.516, 0, 0, 0,
 0, FASE 2, NO, 0, 0, NO,
 338, BEAM , UNILOAD, GZ, NO , NO, aDir[1], , , , 0, -23.516, 1, -23.516, 0, 0, 0,
 0, FASE 2, NO, 0, 0, NO,
 339, BEAM , UNILOAD, GZ, NO , NO, aDir[1], , , , 0, -23.516, 1, -23.516, 0, 0, 0,
 0, FASE 2, NO, 0, 0, NO,
 340, BEAM , UNILOAD, GZ, NO , NO, aDir[1], , , , 0, -23.516, 1, -23.516, 0, 0, 0,
 0, FASE 2, NO, 0, 0, NO,
 341, BEAM , UNILOAD, GZ, NO , NO, aDir[1], , , , 0, -23.516, 1, -23.516, 0, 0, 0,
 0, FASE 2, NO, 0, 0, NO,
 342, BEAM , UNILOAD, GZ, NO , NO, aDir[1], , , , 0, -23.516, 1, -23.516, 0, 0, 0,
 0, FASE 2, NO, 0, 0, NO,
 343, BEAM , UNILOAD, GZ, NO , NO, aDir[1], , , , 0, -23.516, 1, -23.516, 0, 0, 0,
 0, FASE 2, NO, 0, 0, NO,
 344, BEAM , UNILOAD, GZ, NO , NO, aDir[1], , , , 0, -23.516, 1, -23.516, 0, 0, 0,
 0, FASE 2, NO, 0, 0, NO,
 345, BEAM , UNILOAD, GZ, NO , NO, aDir[1], , , , 0, -23.516, 1, -23.516, 0, 0, 0,
 0, FASE 2, NO, 0, 0, NO,

MIDAS

PROJECT TITLE :

	Company		Client	
	Author		File Name	L2-CV01_REVISIONE_2

; End of data for load case [PESO PROPRIO SOLETTA] -----

*USE-STLD, PERMANENTE PORTATO

```
*BEAMLOAD ; Element Beam Loads
; ELEM_LIST, CMD, TYPE, DIR, bPROJ, [ECCEN], [VALUE], GROUP
; ELEM_LIST, CMD, TYPE, DIR, VX, VY, VZ, bPROJ, [ECCEN], [VALUE], GROUP
; [VALUE] : D1, P1, D2, P2, D3, P3, D4, P4
; [ECCEN] : bECCEN, ECCDIR, I-END, J-END, bJ-END
; [ADDITIONAL] : bADDITIONAL, ADDITIONAL_I-END, ADDITIONAL_J-END, bADDITIONAL_J-END
    74, BEAM , UNILOAD, GZ, NO , NO, aDir[1], , , 0, -7.781, 1, -7.781, 0, 0, 0
, FASE 3, NO, 0, 0, NO,
    75, BEAM , UNILOAD, GZ, NO , NO, aDir[1], , , 0, -7.781, 1, -7.781, 0, 0, 0
, FASE 3, NO, 0, 0, NO,
    76, BEAM , UNILOAD, GZ, NO , NO, aDir[1], , , 0, -7.781, 1, -7.781, 0, 0, 0
, FASE 3, NO, 0, 0, NO,
    77, BEAM , UNILOAD, GZ, NO , NO, aDir[1], , , 0, -7.781, 1, -7.781, 0, 0, 0
, FASE 3, NO, 0, 0, NO,
    78, BEAM , UNILOAD, GZ, NO , NO, aDir[1], , , 0, -7.781, 1, -7.781, 0, 0, 0
, FASE 3, NO, 0, 0, NO,
    79, BEAM , UNILOAD, GZ, NO , NO, aDir[1], , , 0, -7.781, 1, -7.781, 0, 0, 0
, FASE 3, NO, 0, 0, NO,
    80, BEAM , UNILOAD, GZ, NO , NO, aDir[1], , , 0, -7.781, 1, -7.781, 0, 0, 0
, FASE 3, NO, 0, 0, NO,
    81, BEAM , UNILOAD, GZ, NO , NO, aDir[1], , , 0, -7.781, 1, -7.781, 0, 0, 0
, FASE 3, NO, 0, 0, NO,
    82, BEAM , UNILOAD, GZ, NO , NO, aDir[1], , , 0, -7.781, 1, -7.781, 0, 0, 0
, FASE 3, NO, 0, 0, NO,
    83, BEAM , UNILOAD, GZ, NO , NO, aDir[1], , , 0, -7.781, 1, -7.781, 0, 0, 0
, FASE 3, NO, 0, 0, NO,
    84, BEAM , UNILOAD, GZ, NO , NO, aDir[1], , , 0, -7.781, 1, -7.781, 0, 0, 0
, FASE 3, NO, 0, 0, NO,
    85, BEAM , UNILOAD, GZ, NO , NO, aDir[1], , , 0, -7.781, 1, -7.781, 0, 0, 0
, FASE 3, NO, 0, 0, NO,
    86, BEAM , UNILOAD, GZ, NO , NO, aDir[1], , , 0, -7.781, 1, -7.781, 0, 0, 0
, FASE 3, NO, 0, 0, NO,
    87, BEAM , UNILOAD, GZ, NO , NO, aDir[1], , , 0, -7.781, 1, -7.781, 0, 0, 0
, FASE 3, NO, 0, 0, NO,
    88, BEAM , UNILOAD, GZ, NO , NO, aDir[1], , , 0, -7.781, 1, -7.781, 0, 0, 0
, FASE 3, NO, 0, 0, NO,
    89, BEAM , UNILOAD, GZ, NO , NO, aDir[1], , , 0, -7.781, 1, -7.781, 0, 0, 0
, FASE 3, NO, 0, 0, NO,
    90, BEAM , UNILOAD, GZ, NO , NO, aDir[1], , , 0, -7.781, 1, -7.781, 0, 0, 0
, FASE 3, NO, 0, 0, NO,
    91, BEAM , UNILOAD, GZ, NO , NO, aDir[1], , , 0, -7.781, 1, -7.781, 0, 0, 0
, FASE 3, NO, 0, 0, NO,
    92, BEAM , UNILOAD, GZ, NO , NO, aDir[1], , , 0, -7.781, 1, -7.781, 0, 0, 0
, FASE 3, NO, 0, 0, NO,
    93, BEAM , UNILOAD, GZ, NO , NO, aDir[1], , , 0, -7.781, 1, -7.781, 0, 0, 0
, FASE 3, NO, 0, 0, NO,
    94, BEAM , UNILOAD, GZ, NO , NO, aDir[1], , , 0, -7.781, 1, -7.781, 0, 0, 0
, FASE 3, NO, 0, 0, NO,
    95, BEAM , UNILOAD, GZ, NO , NO, aDir[1], , , 0, -7.781, 1, -7.781, 0, 0, 0
, FASE 3, NO, 0, 0, NO,
    96, BEAM , UNILOAD, GZ, NO , NO, aDir[1], , , 0, -7.781, 1, -7.781, 0, 0, 0
, FASE 3, NO, 0, 0, NO,
    97, BEAM , UNILOAD, GZ, NO , NO, aDir[1], , , 0, -7.781, 1, -7.781, 0, 0, 0
, FASE 3, NO, 0, 0, NO,
    98, BEAM , UNILOAD, GZ, NO , NO, aDir[1], , , 0, -7.781, 1, -7.781, 0, 0, 0
, FASE 3, NO, 0, 0, NO,
    99, BEAM , UNILOAD, GZ, NO , NO, aDir[1], , , 0, -7.781, 1, -7.781, 0, 0, 0
```

MIDAS

PROJECT TITLE :

	Company		Client	
	Author		File Name	L2-CV01_REVISIONE_2

```
, FASE 3, NO, 0, 0, NO,
100, BEAM , UNILOAD, GZ, NO , NO, aDir[1], , , , 0, -7.781, 1, -7.781, 0, 0, 0, 0
, FASE 3, NO, 0, 0, NO,
101, BEAM , UNILOAD, GZ, NO , NO, aDir[1], , , , 0, -7.781, 1, -7.781, 0, 0, 0, 0
, FASE 3, NO, 0, 0, NO,
102, BEAM , UNILOAD, GZ, NO , NO, aDir[1], , , , 0, -7.781, 1, -7.781, 0, 0, 0, 0
, FASE 3, NO, 0, 0, NO,
103, BEAM , UNILOAD, GZ, NO , NO, aDir[1], , , , 0, -7.781, 1, -7.781, 0, 0, 0, 0
, FASE 3, NO, 0, 0, NO,
104, BEAM , UNILOAD, GZ, NO , NO, aDir[1], , , , 0, -7.781, 1, -7.781, 0, 0, 0, 0
, FASE 3, NO, 0, 0, NO,
105, BEAM , UNILOAD, GZ, NO , NO, aDir[1], , , , 0, -7.781, 1, -7.781, 0, 0, 0, 0
, FASE 3, NO, 0, 0, NO,
106, BEAM , UNILOAD, GZ, NO , NO, aDir[1], , , , 0, -7.781, 1, -7.781, 0, 0, 0, 0
, FASE 3, NO, 0, 0, NO,
107, BEAM , UNILOAD, GZ, NO , NO, aDir[1], , , , 0, -7.781, 1, -7.781, 0, 0, 0, 0
, FASE 3, NO, 0, 0, NO,
108, BEAM , UNILOAD, GZ, NO , NO, aDir[1], , , , 0, -7.781, 1, -7.781, 0, 0, 0, 0
, FASE 3, NO, 0, 0, NO,
109, BEAM , UNILOAD, GZ, NO , NO, aDir[1], , , , 0, -7.781, 1, -7.781, 0, 0, 0, 0
, FASE 3, NO, 0, 0, NO,
110, BEAM , UNILOAD, GZ, NO , NO, aDir[1], , , , 0, -7.781, 1, -7.781, 0, 0, 0, 0
, FASE 3, NO, 0, 0, NO,
111, BEAM , UNILOAD, GZ, NO , NO, aDir[1], , , , 0, -7.781, 1, -7.781, 0, 0, 0, 0
, FASE 3, NO, 0, 0, NO,
112, BEAM , UNILOAD, GZ, NO , NO, aDir[1], , , , 0, -7.781, 1, -7.781, 0, 0, 0, 0
, FASE 3, NO, 0, 0, NO,
113, BEAM , UNILOAD, GZ, NO , NO, aDir[1], , , , 0, -7.781, 1, -7.781, 0, 0, 0, 0
, FASE 3, NO, 0, 0, NO,
114, BEAM , UNILOAD, GZ, NO , NO, aDir[1], , , , 0, -7.781, 1, -7.781, 0, 0, 0, 0
, FASE 3, NO, 0, 0, NO,
115, BEAM , UNILOAD, GZ, NO , NO, aDir[1], , , , 0, -7.781, 1, -7.781, 0, 0, 0, 0
, FASE 3, NO, 0, 0, NO,
116, BEAM , UNILOAD, GZ, NO , NO, aDir[1], , , , 0, -7.781, 1, -7.781, 0, 0, 0, 0
, FASE 3, NO, 0, 0, NO,
117, BEAM , UNILOAD, GZ, NO , NO, aDir[1], , , , 0, -7.781, 1, -7.781, 0, 0, 0, 0
, FASE 3, NO, 0, 0, NO,
118, BEAM , UNILOAD, GZ, NO , NO, aDir[1], , , , 0, -7.781, 1, -7.781, 0, 0, 0, 0
, FASE 3, NO, 0, 0, NO,
119, BEAM , UNILOAD, GZ, NO , NO, aDir[1], , , , 0, -7.781, 1, -7.781, 0, 0, 0, 0
, FASE 3, NO, 0, 0, NO,
120, BEAM , UNILOAD, GZ, NO , NO, aDir[1], , , , 0, -7.781, 1, -7.781, 0, 0, 0, 0
, FASE 3, NO, 0, 0, NO,
121, BEAM , UNILOAD, GZ, NO , NO, aDir[1], , , , 0, -7.781, 1, -7.781, 0, 0, 0, 0
, FASE 3, NO, 0, 0, NO,
122, BEAM , UNILOAD, GZ, NO , NO, aDir[1], , , , 0, -7.781, 1, -7.781, 0, 0, 0, 0
, FASE 3, NO, 0, 0, NO,
123, BEAM , UNILOAD, GZ, NO , NO, aDir[1], , , , 0, -7.781, 1, -7.781, 0, 0, 0, 0
, FASE 3, NO, 0, 0, NO,
175, BEAM , UNILOAD, GZ, NO , NO, aDir[1], , , , 0, -12.198, 1, -12.198, 0, 0, 0,
0, FASE 3, NO, 0, 0, NO,
176, BEAM , UNILOAD, GZ, NO , NO, aDir[1], , , , 0, -12.198, 1, -12.198, 0, 0, 0,
0, FASE 3, NO, 0, 0, NO,
177, BEAM , UNILOAD, GZ, NO , NO, aDir[1], , , , 0, -12.198, 1, -12.198, 0, 0, 0,
0, FASE 3, NO, 0, 0, NO,
180, BEAM , UNILOAD, GZ, NO , NO, aDir[1], , , , 0, -12.198, 1, -12.198, 0, 0, 0,
0, FASE 3, NO, 0, 0, NO,
181, BEAM , UNILOAD, GZ, NO , NO, aDir[1], , , , 0, -12.198, 1, -12.198, 0, 0, 0,
0, FASE 3, NO, 0, 0, NO,
182, BEAM , UNILOAD, GZ, NO , NO, aDir[1], , , , 0, -12.198, 1, -12.198, 0, 0, 0,
0, FASE 3, NO, 0, 0, NO,
183, BEAM , UNILOAD, GZ, NO , NO, aDir[1], , , , 0, -12.198, 1, -12.198, 0, 0, 0,
```

MIDAS

PROJECT TITLE :

	Company		Client	
	Author		File Name	L2-CV01_REVISIONE_2

```

0, FASE 3, NO, 0, 0, NO,
184, BEAM , UNILOAD, GZ, NO , NO, aDir[1], , , , 0, -12.198, 1, -12.198, 0, 0, 0,
0, FASE 3, NO, 0, 0, NO,
187, BEAM , UNILOAD, GZ, NO , NO, aDir[1], , , , 0, -12.198, 1, -12.198, 0, 0, 0,
0, FASE 3, NO, 0, 0, NO,
188, BEAM , UNILOAD, GZ, NO , NO, aDir[1], , , , 0, -12.198, 1, -12.198, 0, 0, 0,
0, FASE 3, NO, 0, 0, NO,
189, BEAM , UNILOAD, GZ, NO , NO, aDir[1], , , , 0, -12.198, 1, -12.198, 0, 0, 0,
0, FASE 3, NO, 0, 0, NO,
190, BEAM , UNILOAD, GZ, NO , NO, aDir[1], , , , 0, -12.198, 1, -12.198, 0, 0, 0,
0, FASE 3, NO, 0, 0, NO,
191, BEAM , UNILOAD, GZ, NO , NO, aDir[1], , , , 0, -12.198, 1, -12.198, 0, 0, 0,
0, FASE 3, NO, 0, 0, NO,
194, BEAM , UNILOAD, GZ, NO , NO, aDir[1], , , , 0, -12.198, 1, -12.198, 0, 0, 0,
0, FASE 3, NO, 0, 0, NO,
195, BEAM , UNILOAD, GZ, NO , NO, aDir[1], , , , 0, -12.198, 1, -12.198, 0, 0, 0,
0, FASE 3, NO, 0, 0, NO,
196, BEAM , UNILOAD, GZ, NO , NO, aDir[1], , , , 0, -12.198, 1, -12.198, 0, 0, 0,
0, FASE 3, NO, 0, 0, NO,
197, BEAM , UNILOAD, GZ, NO , NO, aDir[1], , , , 0, -12.198, 1, -12.198, 0, 0, 0,
0, FASE 3, NO, 0, 0, NO,
198, BEAM , UNILOAD, GZ, NO , NO, aDir[1], , , , 0, -12.198, 1, -12.198, 0, 0, 0,
0, FASE 3, NO, 0, 0, NO,
201, BEAM , UNILOAD, GZ, NO , NO, aDir[1], , , , 0, -12.198, 1, -12.198, 0, 0, 0,
0, FASE 3, NO, 0, 0, NO,
202, BEAM , UNILOAD, GZ, NO , NO, aDir[1], , , , 0, -12.198, 1, -12.198, 0, 0, 0,
0, FASE 3, NO, 0, 0, NO,
203, BEAM , UNILOAD, GZ, NO , NO, aDir[1], , , , 0, -12.198, 1, -12.198, 0, 0, 0,
0, FASE 3, NO, 0, 0, NO,
204, BEAM , UNILOAD, GZ, NO , NO, aDir[1], , , , 0, -12.198, 1, -12.198, 0, 0, 0,
0, FASE 3, NO, 0, 0, NO,
205, BEAM , UNILOAD, GZ, NO , NO, aDir[1], , , , 0, -12.198, 1, -12.198, 0, 0, 0,
0, FASE 3, NO, 0, 0, NO,
208, BEAM , UNILOAD, GZ, NO , NO, aDir[1], , , , 0, -12.198, 1, -12.198, 0, 0, 0,
0, FASE 3, NO, 0, 0, NO,
209, BEAM , UNILOAD, GZ, NO , NO, aDir[1], , , , 0, -12.198, 1, -12.198, 0, 0, 0,
0, FASE 3, NO, 0, 0, NO,
210, BEAM , UNILOAD, GZ, NO , NO, aDir[1], , , , 0, -12.198, 1, -12.198, 0, 0, 0,
0, FASE 3, NO, 0, 0, NO,
211, BEAM , UNILOAD, GZ, NO , NO, aDir[1], , , , 0, -12.198, 1, -12.198, 0, 0, 0,
0, FASE 3, NO, 0, 0, NO,
212, BEAM , UNILOAD, GZ, NO , NO, aDir[1], , , , 0, -12.198, 1, -12.198, 0, 0, 0,
0, FASE 3, NO, 0, 0, NO,
215, BEAM , UNILOAD, GZ, NO , NO, aDir[1], , , , 0, -12.198, 1, -12.198, 0, 0, 0,
0, FASE 3, NO, 0, 0, NO,
216, BEAM , UNILOAD, GZ, NO , NO, aDir[1], , , , 0, -12.198, 1, -12.198, 0, 0, 0,
0, FASE 3, NO, 0, 0, NO,
217, BEAM , UNILOAD, GZ, NO , NO, aDir[1], , , , 0, -12.198, 1, -12.198, 0, 0, 0,
0, FASE 3, NO, 0, 0, NO,
218, BEAM , UNILOAD, GZ, NO , NO, aDir[1], , , , 0, -12.198, 1, -12.198, 0, 0, 0,
0, FASE 3, NO, 0, 0, NO,
219, BEAM , UNILOAD, GZ, NO , NO, aDir[1], , , , 0, -12.198, 1, -12.198, 0, 0, 0,
0, FASE 3, NO, 0, 0, NO,
222, BEAM , UNILOAD, GZ, NO , NO, aDir[1], , , , 0, -12.198, 1, -12.198, 0, 0, 0,
0, FASE 3, NO, 0, 0, NO,
223, BEAM , UNILOAD, GZ, NO , NO, aDir[1], , , , 0, -12.198, 1, -12.198, 0, 0, 0,
0, FASE 3, NO, 0, 0, NO,
224, BEAM , UNILOAD, GZ, NO , NO, aDir[1], , , , 0, -12.198, 1, -12.198, 0, 0, 0,
0, FASE 3, NO, 0, 0, NO,
225, BEAM , UNILOAD, GZ, NO , NO, aDir[1], , , , 0, -12.198, 1, -12.198, 0, 0, 0,
0, FASE 3, NO, 0, 0, NO,
228, BEAM , UNILOAD, GZ, NO , NO, aDir[1], , , , 0, -12.198, 1, -12.198, 0, 0, 0,

```

MIDAS

PROJECT TITLE :

	Company		Client	
	Author		File Name	L2-CV01_REVISIONE_2

```

0, FASE 3, NO, 0, 0, NO,
229, BEAM , UNILOAD, GZ, NO , NO, aDir[1], , , , 0, -12.198, 1, -12.198, 0, 0, 0,
0, FASE 3, NO, 0, 0, NO,
230, BEAM , UNILOAD, GZ, NO , NO, aDir[1], , , , 0, -12.198, 1, -12.198, 0, 0, 0,
0, FASE 3, NO, 0, 0, NO,
231, BEAM , UNILOAD, GZ, NO , NO, aDir[1], , , , 0, -12.198, 1, -12.198, 0, 0, 0,
0, FASE 3, NO, 0, 0, NO,
232, BEAM , UNILOAD, GZ, NO , NO, aDir[1], , , , 0, -12.198, 1, -12.198, 0, 0, 0,
0, FASE 3, NO, 0, 0, NO,
233, BEAM , UNILOAD, GZ, NO , NO, aDir[1], , , , 0, -12.198, 1, -12.198, 0, 0, 0,
0, FASE 3, NO, 0, 0, NO,
236, BEAM , UNILOAD, GZ, NO , NO, aDir[1], , , , 0, -12.198, 1, -12.198, 0, 0, 0,
0, FASE 3, NO, 0, 0, NO,
237, BEAM , UNILOAD, GZ, NO , NO, aDir[1], , , , 0, -12.198, 1, -12.198, 0, 0, 0,
0, FASE 3, NO, 0, 0, NO,
238, BEAM , UNILOAD, GZ, NO , NO, aDir[1], , , , 0, -12.198, 1, -12.198, 0, 0, 0,
0, FASE 3, NO, 0, 0, NO,
239, BEAM , UNILOAD, GZ, NO , NO, aDir[1], , , , 0, -12.198, 1, -12.198, 0, 0, 0,
0, FASE 3, NO, 0, 0, NO,
241, BEAM , UNILOAD, GZ, NO , NO, aDir[1], , , , 0, -12.198, 1, -12.198, 0, 0, 0,
0, FASE 3, NO, 0, 0, NO,
243, BEAM , UNILOAD, GZ, NO , NO, aDir[1], , , , 0, -12.198, 1, -12.198, 0, 0, 0,
0, FASE 3, NO, 0, 0, NO,
244, BEAM , UNILOAD, GZ, NO , NO, aDir[1], , , , 0, -12.198, 1, -12.198, 0, 0, 0,
0, FASE 3, NO, 0, 0, NO,
296, BEAM , UNILOAD, GZ, NO , NO, aDir[1], , , , 0, -7.781, 1, -7.781, 0, 0, 0,
, FASE 3, NO, 0, 0, NO,
297, BEAM , UNILOAD, GZ, NO , NO, aDir[1], , , , 0, -7.781, 1, -7.781, 0, 0, 0,
, FASE 3, NO, 0, 0, NO,
298, BEAM , UNILOAD, GZ, NO , NO, aDir[1], , , , 0, -7.781, 1, -7.781, 0, 0, 0,
, FASE 3, NO, 0, 0, NO,
299, BEAM , UNILOAD, GZ, NO , NO, aDir[1], , , , 0, -7.781, 1, -7.781, 0, 0, 0,
, FASE 3, NO, 0, 0, NO,
300, BEAM , UNILOAD, GZ, NO , NO, aDir[1], , , , 0, -7.781, 1, -7.781, 0, 0, 0,
, FASE 3, NO, 0, 0, NO,
301, BEAM , UNILOAD, GZ, NO , NO, aDir[1], , , , 0, -7.781, 1, -7.781, 0, 0, 0,
, FASE 3, NO, 0, 0, NO,
302, BEAM , UNILOAD, GZ, NO , NO, aDir[1], , , , 0, -7.781, 1, -7.781, 0, 0, 0,
, FASE 3, NO, 0, 0, NO,
303, BEAM , UNILOAD, GZ, NO , NO, aDir[1], , , , 0, -7.781, 1, -7.781, 0, 0, 0,
, FASE 3, NO, 0, 0, NO,
304, BEAM , UNILOAD, GZ, NO , NO, aDir[1], , , , 0, -7.781, 1, -7.781, 0, 0, 0,
, FASE 3, NO, 0, 0, NO,
305, BEAM , UNILOAD, GZ, NO , NO, aDir[1], , , , 0, -7.781, 1, -7.781, 0, 0, 0,
, FASE 3, NO, 0, 0, NO,
306, BEAM , UNILOAD, GZ, NO , NO, aDir[1], , , , 0, -7.781, 1, -7.781, 0, 0, 0,
, FASE 3, NO, 0, 0, NO,
307, BEAM , UNILOAD, GZ, NO , NO, aDir[1], , , , 0, -7.781, 1, -7.781, 0, 0, 0,
, FASE 3, NO, 0, 0, NO,
308, BEAM , UNILOAD, GZ, NO , NO, aDir[1], , , , 0, -7.781, 1, -7.781, 0, 0, 0,
, FASE 3, NO, 0, 0, NO,
309, BEAM , UNILOAD, GZ, NO , NO, aDir[1], , , , 0, -7.781, 1, -7.781, 0, 0, 0,
, FASE 3, NO, 0, 0, NO,
310, BEAM , UNILOAD, GZ, NO , NO, aDir[1], , , , 0, -7.781, 1, -7.781, 0, 0, 0,
, FASE 3, NO, 0, 0, NO,
311, BEAM , UNILOAD, GZ, NO , NO, aDir[1], , , , 0, -7.781, 1, -7.781, 0, 0, 0,
, FASE 3, NO, 0, 0, NO,
312, BEAM , UNILOAD, GZ, NO , NO, aDir[1], , , , 0, -7.781, 1, -7.781, 0, 0, 0,
, FASE 3, NO, 0, 0, NO,
313, BEAM , UNILOAD, GZ, NO , NO, aDir[1], , , , 0, -7.781, 1, -7.781, 0, 0, 0,
, FASE 3, NO, 0, 0, NO,
314, BEAM , UNILOAD, GZ, NO , NO, aDir[1], , , , 0, -7.781, 1, -7.781, 0, 0, 0

```

MIDAS

PROJECT TITLE :

	Company		Client	
	Author		File Name	L2-CV01_REVISIONE_2

```
, FASE 3, NO, 0, 0, NO,
315, BEAM , UNILOAD, GZ, NO , NO, aDir[1], , , , 0, -7.781, 1, -7.781, 0, 0, 0, 0
, FASE 3, NO, 0, 0, NO,
316, BEAM , UNILOAD, GZ, NO , NO, aDir[1], , , , 0, -7.781, 1, -7.781, 0, 0, 0, 0
, FASE 3, NO, 0, 0, NO,
317, BEAM , UNILOAD, GZ, NO , NO, aDir[1], , , , 0, -7.781, 1, -7.781, 0, 0, 0, 0
, FASE 3, NO, 0, 0, NO,
318, BEAM , UNILOAD, GZ, NO , NO, aDir[1], , , , 0, -7.781, 1, -7.781, 0, 0, 0, 0
, FASE 3, NO, 0, 0, NO,
319, BEAM , UNILOAD, GZ, NO , NO, aDir[1], , , , 0, -7.781, 1, -7.781, 0, 0, 0, 0
, FASE 3, NO, 0, 0, NO,
320, BEAM , UNILOAD, GZ, NO , NO, aDir[1], , , , 0, -7.781, 1, -7.781, 0, 0, 0, 0
, FASE 3, NO, 0, 0, NO,
321, BEAM , UNILOAD, GZ, NO , NO, aDir[1], , , , 0, -7.781, 1, -7.781, 0, 0, 0, 0
, FASE 3, NO, 0, 0, NO,
322, BEAM , UNILOAD, GZ, NO , NO, aDir[1], , , , 0, -7.781, 1, -7.781, 0, 0, 0, 0
, FASE 3, NO, 0, 0, NO,
323, BEAM , UNILOAD, GZ, NO , NO, aDir[1], , , , 0, -7.781, 1, -7.781, 0, 0, 0, 0
, FASE 3, NO, 0, 0, NO,
324, BEAM , UNILOAD, GZ, NO , NO, aDir[1], , , , 0, -7.781, 1, -7.781, 0, 0, 0, 0
, FASE 3, NO, 0, 0, NO,
325, BEAM , UNILOAD, GZ, NO , NO, aDir[1], , , , 0, -7.781, 1, -7.781, 0, 0, 0, 0
, FASE 3, NO, 0, 0, NO,
326, BEAM , UNILOAD, GZ, NO , NO, aDir[1], , , , 0, -7.781, 1, -7.781, 0, 0, 0, 0
, FASE 3, NO, 0, 0, NO,
327, BEAM , UNILOAD, GZ, NO , NO, aDir[1], , , , 0, -7.781, 1, -7.781, 0, 0, 0, 0
, FASE 3, NO, 0, 0, NO,
328, BEAM , UNILOAD, GZ, NO , NO, aDir[1], , , , 0, -7.781, 1, -7.781, 0, 0, 0, 0
, FASE 3, NO, 0, 0, NO,
329, BEAM , UNILOAD, GZ, NO , NO, aDir[1], , , , 0, -7.781, 1, -7.781, 0, 0, 0, 0
, FASE 3, NO, 0, 0, NO,
330, BEAM , UNILOAD, GZ, NO , NO, aDir[1], , , , 0, -7.781, 1, -7.781, 0, 0, 0, 0
, FASE 3, NO, 0, 0, NO,
331, BEAM , UNILOAD, GZ, NO , NO, aDir[1], , , , 0, -7.781, 1, -7.781, 0, 0, 0, 0
, FASE 3, NO, 0, 0, NO,
332, BEAM , UNILOAD, GZ, NO , NO, aDir[1], , , , 0, -7.781, 1, -7.781, 0, 0, 0, 0
, FASE 3, NO, 0, 0, NO,
333, BEAM , UNILOAD, GZ, NO , NO, aDir[1], , , , 0, -7.781, 1, -7.781, 0, 0, 0, 0
, FASE 3, NO, 0, 0, NO,
334, BEAM , UNILOAD, GZ, NO , NO, aDir[1], , , , 0, -7.781, 1, -7.781, 0, 0, 0, 0
, FASE 3, NO, 0, 0, NO,
335, BEAM , UNILOAD, GZ, NO , NO, aDir[1], , , , 0, -7.781, 1, -7.781, 0, 0, 0, 0
, FASE 3, NO, 0, 0, NO,
336, BEAM , UNILOAD, GZ, NO , NO, aDir[1], , , , 0, -7.781, 1, -7.781, 0, 0, 0, 0
, FASE 3, NO, 0, 0, NO,
337, BEAM , UNILOAD, GZ, NO , NO, aDir[1], , , , 0, -7.781, 1, -7.781, 0, 0, 0, 0
, FASE 3, NO, 0, 0, NO,
338, BEAM , UNILOAD, GZ, NO , NO, aDir[1], , , , 0, -7.781, 1, -7.781, 0, 0, 0, 0
, FASE 3, NO, 0, 0, NO,
339, BEAM , UNILOAD, GZ, NO , NO, aDir[1], , , , 0, -7.781, 1, -7.781, 0, 0, 0, 0
, FASE 3, NO, 0, 0, NO,
340, BEAM , UNILOAD, GZ, NO , NO, aDir[1], , , , 0, -7.781, 1, -7.781, 0, 0, 0, 0
, FASE 3, NO, 0, 0, NO,
341, BEAM , UNILOAD, GZ, NO , NO, aDir[1], , , , 0, -7.781, 1, -7.781, 0, 0, 0, 0
, FASE 3, NO, 0, 0, NO,
342, BEAM , UNILOAD, GZ, NO , NO, aDir[1], , , , 0, -7.781, 1, -7.781, 0, 0, 0, 0
, FASE 3, NO, 0, 0, NO,
343, BEAM , UNILOAD, GZ, NO , NO, aDir[1], , , , 0, -7.781, 1, -7.781, 0, 0, 0, 0
, FASE 3, NO, 0, 0, NO,
344, BEAM , UNILOAD, GZ, NO , NO, aDir[1], , , , 0, -7.781, 1, -7.781, 0, 0, 0, 0
, FASE 3, NO, 0, 0, NO,
345, BEAM , UNILOAD, GZ, NO , NO, aDir[1], , , , 0, -7.781, 1, -7.781, 0, 0, 0, 0
```

MIDAS

PROJECT TITLE :

	Company		Client	
	Author		File Name	L2-CV01_REVISIONE_2

, FASE 3, NO, 0, 0, NO,

; End of data for load case [PERMANENTE PORTATO] -----

*USE-STLD, VENTO PONTE SCARICO

```
*BEAMLOAD      ; Element Beam Loads
; ELEM_LIST, CMD, TYPE, DIR, bPROJ, [ECCEN], [VALUE], GROUP
; ELEM_LIST, CMD, TYPE, TYPE, DIR, VX, VY, VZ, bPROJ, [ECCEN], [VALUE], GROUP
; [VALUE]      : D1, P1, D2, P2, D3, P3, D4, P4
; [ECCEN]       : bECCEN, ECCDIR, I-END, J-END, bJ-END
; [ADDITIONAL] : bADDITIONAL, ADDITIONAL_I-END, ADDITIONAL_J-END, bADDITIONAL_J-END
    74, BEAM      , UNILOAD, LZ, NO, NO, aDir[1], , , 0, -0.592, 1, -0.592, 0, 0, 0
, , NO, 0, 0, NO,
    75, BEAM      , UNILOAD, LZ, NO, NO, aDir[1], , , 0, -0.592, 1, -0.592, 0, 0, 0
, , NO, 0, 0, NO,
    76, BEAM      , UNILOAD, LZ, NO, NO, aDir[1], , , 0, -0.592, 1, -0.592, 0, 0, 0
, , NO, 0, 0, NO,
    77, BEAM      , UNILOAD, LZ, NO, NO, aDir[1], , , 0, -0.592, 1, -0.592, 0, 0, 0
, , NO, 0, 0, NO,
    78, BEAM      , UNILOAD, LZ, NO, NO, aDir[1], , , 0, -0.592, 1, -0.592, 0, 0, 0
, , NO, 0, 0, NO,
    79, BEAM      , UNILOAD, LZ, NO, NO, aDir[1], , , 0, -0.592, 1, -0.592, 0, 0, 0
, , NO, 0, 0, NO,
    80, BEAM      , UNILOAD, LZ, NO, NO, aDir[1], , , 0, -0.592, 1, -0.592, 0, 0, 0
, , NO, 0, 0, NO,
    81, BEAM      , UNILOAD, LZ, NO, NO, aDir[1], , , 0, -0.592, 1, -0.592, 0, 0, 0
, , NO, 0, 0, NO,
    82, BEAM      , UNILOAD, LZ, NO, NO, aDir[1], , , 0, -0.592, 1, -0.592, 0, 0, 0
, , NO, 0, 0, NO,
    83, BEAM      , UNILOAD, LZ, NO, NO, aDir[1], , , 0, -0.592, 1, -0.592, 0, 0, 0
, , NO, 0, 0, NO,
    84, BEAM      , UNILOAD, LZ, NO, NO, aDir[1], , , 0, -0.592, 1, -0.592, 0, 0, 0
, , NO, 0, 0, NO,
    85, BEAM      , UNILOAD, LZ, NO, NO, aDir[1], , , 0, -0.592, 1, -0.592, 0, 0, 0
, , NO, 0, 0, NO,
    86, BEAM      , UNILOAD, LZ, NO, NO, aDir[1], , , 0, -0.592, 1, -0.592, 0, 0, 0
, , NO, 0, 0, NO,
    87, BEAM      , UNILOAD, LZ, NO, NO, aDir[1], , , 0, -0.592, 1, -0.592, 0, 0, 0
, , NO, 0, 0, NO,
    88, BEAM      , UNILOAD, LZ, NO, NO, aDir[1], , , 0, -0.592, 1, -0.592, 0, 0, 0
, , NO, 0, 0, NO,
    89, BEAM      , UNILOAD, LZ, NO, NO, aDir[1], , , 0, -0.592, 1, -0.592, 0, 0, 0
, , NO, 0, 0, NO,
    90, BEAM      , UNILOAD, LZ, NO, NO, aDir[1], , , 0, -0.592, 1, -0.592, 0, 0, 0
, , NO, 0, 0, NO,
    91, BEAM      , UNILOAD, LZ, NO, NO, aDir[1], , , 0, -0.592, 1, -0.592, 0, 0, 0
, , NO, 0, 0, NO,
    92, BEAM      , UNILOAD, LZ, NO, NO, aDir[1], , , 0, -0.592, 1, -0.592, 0, 0, 0
, , NO, 0, 0, NO,
    93, BEAM      , UNILOAD, LZ, NO, NO, aDir[1], , , 0, -0.592, 1, -0.592, 0, 0, 0
, , NO, 0, 0, NO,
    94, BEAM      , UNILOAD, LZ, NO, NO, aDir[1], , , 0, -0.592, 1, -0.592, 0, 0, 0
, , NO, 0, 0, NO,
    95, BEAM      , UNILOAD, LZ, NO, NO, aDir[1], , , 0, -0.592, 1, -0.592, 0, 0, 0
, , NO, 0, 0, NO,
    96, BEAM      , UNILOAD, LZ, NO, NO, aDir[1], , , 0, -0.592, 1, -0.592, 0, 0, 0
, , NO, 0, 0, NO,
    97, BEAM      , UNILOAD, LZ, NO, NO, aDir[1], , , 0, -0.592, 1, -0.592, 0, 0, 0
, , NO, 0, 0, NO,
    98, BEAM      , UNILOAD, LZ, NO, NO, aDir[1], , , 0, -0.592, 1, -0.592, 0, 0, 0
, , NO, 0, 0, NO,
```

MIDAS

PROJECT TITLE :

MIDAS	Company		Client	
	Author		File Name	L2-CV01_REVISIONE_2
,	99, BEAM , UNILOAD, LZ, NO , NO, aDir[1], , , , 0, -0.592, 1, -0.592, 0, 0, 0, 0	,	,	,
,	, NO, 0, 0, NO,	,	,	,
,	100, BEAM , UNILOAD, LZ, NO , NO, aDir[1], , , , 0, -0.592, 1, -0.592, 0, 0, 0, 0	,	,	,
,	, NO, 0, 0, NO,	,	,	,
,	101, BEAM , UNILOAD, LZ, NO , NO, aDir[1], , , , 0, -0.592, 1, -0.592, 0, 0, 0, 0	,	,	,
,	, NO, 0, 0, NO,	,	,	,
,	102, BEAM , UNILOAD, LZ, NO , NO, aDir[1], , , , 0, -0.592, 1, -0.592, 0, 0, 0, 0	,	,	,
,	, NO, 0, 0, NO,	,	,	,
,	103, BEAM , UNILOAD, LZ, NO , NO, aDir[1], , , , 0, -0.592, 1, -0.592, 0, 0, 0, 0	,	,	,
,	, NO, 0, 0, NO,	,	,	,
,	104, BEAM , UNILOAD, LZ, NO , NO, aDir[1], , , , 0, -0.592, 1, -0.592, 0, 0, 0, 0	,	,	,
,	, NO, 0, 0, NO,	,	,	,
,	105, BEAM , UNILOAD, LZ, NO , NO, aDir[1], , , , 0, -0.592, 1, -0.592, 0, 0, 0, 0	,	,	,
,	, NO, 0, 0, NO,	,	,	,
,	106, BEAM , UNILOAD, LZ, NO , NO, aDir[1], , , , 0, -0.592, 1, -0.592, 0, 0, 0, 0	,	,	,
,	, NO, 0, 0, NO,	,	,	,
,	107, BEAM , UNILOAD, LZ, NO , NO, aDir[1], , , , 0, -0.592, 1, -0.592, 0, 0, 0, 0	,	,	,
,	, NO, 0, 0, NO,	,	,	,
,	108, BEAM , UNILOAD, LZ, NO , NO, aDir[1], , , , 0, -0.592, 1, -0.592, 0, 0, 0, 0	,	,	,
,	, NO, 0, 0, NO,	,	,	,
,	109, BEAM , UNILOAD, LZ, NO , NO, aDir[1], , , , 0, -0.592, 1, -0.592, 0, 0, 0, 0	,	,	,
,	, NO, 0, 0, NO,	,	,	,
,	110, BEAM , UNILOAD, LZ, NO , NO, aDir[1], , , , 0, -0.592, 1, -0.592, 0, 0, 0, 0	,	,	,
,	, NO, 0, 0, NO,	,	,	,
,	111, BEAM , UNILOAD, LZ, NO , NO, aDir[1], , , , 0, -0.592, 1, -0.592, 0, 0, 0, 0	,	,	,
,	, NO, 0, 0, NO,	,	,	,
,	112, BEAM , UNILOAD, LZ, NO , NO, aDir[1], , , , 0, -0.592, 1, -0.592, 0, 0, 0, 0	,	,	,
,	, NO, 0, 0, NO,	,	,	,
,	113, BEAM , UNILOAD, LZ, NO , NO, aDir[1], , , , 0, -0.592, 1, -0.592, 0, 0, 0, 0	,	,	,
,	, NO, 0, 0, NO,	,	,	,
,	114, BEAM , UNILOAD, LZ, NO , NO, aDir[1], , , , 0, -0.592, 1, -0.592, 0, 0, 0, 0	,	,	,
,	, NO, 0, 0, NO,	,	,	,
,	115, BEAM , UNILOAD, LZ, NO , NO, aDir[1], , , , 0, -0.592, 1, -0.592, 0, 0, 0, 0	,	,	,
,	, NO, 0, 0, NO,	,	,	,
,	116, BEAM , UNILOAD, LZ, NO , NO, aDir[1], , , , 0, -0.592, 1, -0.592, 0, 0, 0, 0	,	,	,
,	, NO, 0, 0, NO,	,	,	,
,	117, BEAM , UNILOAD, LZ, NO , NO, aDir[1], , , , 0, -0.592, 1, -0.592, 0, 0, 0, 0	,	,	,
,	, NO, 0, 0, NO,	,	,	,
,	118, BEAM , UNILOAD, LZ, NO , NO, aDir[1], , , , 0, -0.592, 1, -0.592, 0, 0, 0, 0	,	,	,
,	, NO, 0, 0, NO,	,	,	,
,	119, BEAM , UNILOAD, LZ, NO , NO, aDir[1], , , , 0, -0.592, 1, -0.592, 0, 0, 0, 0	,	,	,
,	, NO, 0, 0, NO,	,	,	,
,	120, BEAM , UNILOAD, LZ, NO , NO, aDir[1], , , , 0, -0.592, 1, -0.592, 0, 0, 0, 0	,	,	,
,	, NO, 0, 0, NO,	,	,	,
,	121, BEAM , UNILOAD, LZ, NO , NO, aDir[1], , , , 0, -0.592, 1, -0.592, 0, 0, 0, 0	,	,	,
,	, NO, 0, 0, NO,	,	,	,
,	122, BEAM , UNILOAD, LZ, NO , NO, aDir[1], , , , 0, -0.592, 1, -0.592, 0, 0, 0, 0	,	,	,
,	, NO, 0, 0, NO,	,	,	,
,	123, BEAM , UNILOAD, LZ, NO , NO, aDir[1], , , , 0, -0.592, 1, -0.592, 0, 0, 0, 0	,	,	,
,	, NO, 0, 0, NO,	,	,	,
,	296, BEAM , UNILOAD, LY, NO , NO, aDir[1], , , , 0, -4.507, 1, -4.507, 0, 0, 0, 0	,	,	,
,	, NO, 0, 0, NO,	,	,	,
,	296, BEAM , UNILOAD, LZ, NO , NO, aDir[1], , , , 0, 0.592, 1, 0.592, 0, 0, 0, 0	,	,	,
,	, NO, 0, 0, NO,	,	,	,
,	297, BEAM , UNILOAD, LY, NO , NO, aDir[1], , , , 0, -4.507, 1, -4.507, 0, 0, 0, 0	,	,	,
,	, NO, 0, 0, NO,	,	,	,
,	297, BEAM , UNILOAD, LZ, NO , NO, aDir[1], , , , 0, 0.592, 1, 0.592, 0, 0, 0, 0	,	,	,
,	, NO, 0, 0, NO,	,	,	,
,	298, BEAM , UNILOAD, LZ, NO , NO, aDir[1], , , , 0, 0.592, 1, 0.592, 0, 0, 0, 0	,	,	,
,	, NO, 0, 0, NO,	,	,	,
,	298, BEAM , UNILOAD, LY, NO , NO, aDir[1], , , , 0, -4.507, 1, -4.507, 0, 0, 0, 0	,	,	,
,	, NO, 0, 0, NO,	,	,	,

MIDAS

PROJECT TITLE :

	Company		Client	
	Author		File Name	L2-CV01_REVISIONE_2

299, BEAM , UNILOAD, LZ, NO , NO, aDir[1], , , , 0, 0.592, 1, 0.592, 0, 0, 0, 0,
 , NO, 0, 0, NO,
 299, BEAM , UNILOAD, LY, NO , NO, aDir[1], , , , 0, -4.507, 1, -4.507, 0, 0, 0, 0
 , , NO, 0, 0, NO,
 300, BEAM , UNILOAD, LY, NO , NO, aDir[1], , , , 0, -4.507, 1, -4.507, 0, 0, 0, 0
 , , NO, 0, 0, NO,
 300, BEAM , UNILOAD, LZ, NO , NO, aDir[1], , , , 0, 0.592, 1, 0.592, 0, 0, 0, 0
 , NO, 0, 0, NO,
 301, BEAM , UNILOAD, LY, NO , NO, aDir[1], , , , 0, -4.507, 1, -4.507, 0, 0, 0, 0
 , , NO, 0, 0, NO,
 301, BEAM , UNILOAD, LZ, NO , NO, aDir[1], , , , 0, 0.592, 1, 0.592, 0, 0, 0, 0
 , NO, 0, 0, NO,
 302, BEAM , UNILOAD, LZ, NO , NO, aDir[1], , , , 0, 0.592, 1, 0.592, 0, 0, 0, 0
 , NO, 0, 0, NO,
 302, BEAM , UNILOAD, LY, NO , NO, aDir[1], , , , 0, -4.507, 1, -4.507, 0, 0, 0, 0
 , , NO, 0, 0, NO,
 303, BEAM , UNILOAD, LZ, NO , NO, aDir[1], , , , 0, 0.592, 1, 0.592, 0, 0, 0, 0
 , NO, 0, 0, NO,
 303, BEAM , UNILOAD, LY, NO , NO, aDir[1], , , , 0, -4.507, 1, -4.507, 0, 0, 0, 0
 , , NO, 0, 0, NO,
 304, BEAM , UNILOAD, LZ, NO , NO, aDir[1], , , , 0, 0.592, 1, 0.592, 0, 0, 0, 0
 , NO, 0, 0, NO,
 304, BEAM , UNILOAD, LY, NO , NO, aDir[1], , , , 0, -4.507, 1, -4.507, 0, 0, 0, 0
 , , NO, 0, 0, NO,
 305, BEAM , UNILOAD, LY, NO , NO, aDir[1], , , , 0, -4.507, 1, -4.507, 0, 0, 0, 0
 , , NO, 0, 0, NO,
 305, BEAM , UNILOAD, LZ, NO , NO, aDir[1], , , , 0, 0.592, 1, 0.592, 0, 0, 0, 0
 , NO, 0, 0, NO,
 306, BEAM , UNILOAD, LY, NO , NO, aDir[1], , , , 0, -4.507, 1, -4.507, 0, 0, 0, 0
 , , NO, 0, 0, NO,
 306, BEAM , UNILOAD, LZ, NO , NO, aDir[1], , , , 0, 0.592, 1, 0.592, 0, 0, 0, 0
 , NO, 0, 0, NO,
 307, BEAM , UNILOAD, LY, NO , NO, aDir[1], , , , 0, -4.507, 1, -4.507, 0, 0, 0, 0
 , , NO, 0, 0, NO,
 307, BEAM , UNILOAD, LZ, NO , NO, aDir[1], , , , 0, 0.592, 1, 0.592, 0, 0, 0, 0
 , NO, 0, 0, NO,
 308, BEAM , UNILOAD, LZ, NO , NO, aDir[1], , , , 0, 0.592, 1, 0.592, 0, 0, 0, 0
 , NO, 0, 0, NO,
 308, BEAM , UNILOAD, LY, NO , NO, aDir[1], , , , 0, -4.507, 1, -4.507, 0, 0, 0, 0
 , , NO, 0, 0, NO,
 309, BEAM , UNILOAD, LY, NO , NO, aDir[1], , , , 0, -4.507, 1, -4.507, 0, 0, 0, 0
 , , NO, 0, 0, NO,
 309, BEAM , UNILOAD, LZ, NO , NO, aDir[1], , , , 0, 0.592, 1, 0.592, 0, 0, 0, 0
 , NO, 0, 0, NO,
 310, BEAM , UNILOAD, LY, NO , NO, aDir[1], , , , 0, -4.507, 1, -4.507, 0, 0, 0, 0
 , , NO, 0, 0, NO,
 310, BEAM , UNILOAD, LZ, NO , NO, aDir[1], , , , 0, 0.592, 1, 0.592, 0, 0, 0, 0
 , NO, 0, 0, NO,
 311, BEAM , UNILOAD, LZ, NO , NO, aDir[1], , , , 0, 0.592, 1, 0.592, 0, 0, 0, 0
 , NO, 0, 0, NO,
 311, BEAM , UNILOAD, LY, NO , NO, aDir[1], , , , 0, -4.507, 1, -4.507, 0, 0, 0, 0
 , , NO, 0, 0, NO,
 312, BEAM , UNILOAD, LY, NO , NO, aDir[1], , , , 0, -4.507, 1, -4.507, 0, 0, 0, 0
 , , NO, 0, 0, NO,
 312, BEAM , UNILOAD, LZ, NO , NO, aDir[1], , , , 0, 0.592, 1, 0.592, 0, 0, 0, 0
 , NO, 0, 0, NO,
 313, BEAM , UNILOAD, LY, NO , NO, aDir[1], , , , 0, -4.507, 1, -4.507, 0, 0, 0, 0
 , , NO, 0, 0, NO,
 313, BEAM , UNILOAD, LZ, NO , NO, aDir[1], , , , 0, 0.592, 1, 0.592, 0, 0, 0, 0
 , NO, 0, 0, NO,
 314, BEAM , UNILOAD, LZ, NO , NO, aDir[1], , , , 0, 0.592, 1, 0.592, 0, 0, 0, 0
 , NO, 0, 0, NO,

MIDAS

PROJECT TITLE :

MIDAS	Company		Client	
	Author		File Name	L2-CV01_REVISIONE_2
,	314, BEAM , UNILOAD, LY, NO , NO, aDir[1], , , , 0, -4.507, 1, -4.507, 0, 0, 0, 0	,	,	,
,	, NO, 0, 0, NO,	,	,	,
,	315, BEAM , UNILOAD, LY, NO , NO, aDir[1], , , , 0, -4.507, 1, -4.507, 0, 0, 0, 0	,	,	,
,	, NO, 0, 0, NO,	,	,	,
,	315, BEAM , UNILOAD, LZ, NO , NO, aDir[1], , , , 0, 0.592, 1, 0.592, 0, 0, 0, 0	,	,	,
,	, NO, 0, 0, NO,	,	,	,
,	316, BEAM , UNILOAD, LZ, NO , NO, aDir[1], , , , 0, 0.592, 1, 0.592, 0, 0, 0, 0	,	,	,
,	, NO, 0, 0, NO,	,	,	,
,	316, BEAM , UNILOAD, LY, NO , NO, aDir[1], , , , 0, -4.507, 1, -4.507, 0, 0, 0, 0	,	,	,
,	, NO, 0, 0, NO,	,	,	,
,	317, BEAM , UNILOAD, LY, NO , NO, aDir[1], , , , 0, -4.507, 1, -4.507, 0, 0, 0, 0	,	,	,
,	, NO, 0, 0, NO,	,	,	,
,	317, BEAM , UNILOAD, LZ, NO , NO, aDir[1], , , , 0, 0.592, 1, 0.592, 0, 0, 0, 0	,	,	,
,	, NO, 0, 0, NO,	,	,	,
,	318, BEAM , UNILOAD, LZ, NO , NO, aDir[1], , , , 0, 0.592, 1, 0.592, 0, 0, 0, 0	,	,	,
,	, NO, 0, 0, NO,	,	,	,
,	318, BEAM , UNILOAD, LY, NO , NO, aDir[1], , , , 0, -4.507, 1, -4.507, 0, 0, 0, 0	,	,	,
,	, NO, 0, 0, NO,	,	,	,
,	319, BEAM , UNILOAD, LY, NO , NO, aDir[1], , , , 0, -4.507, 1, -4.507, 0, 0, 0, 0	,	,	,
,	, NO, 0, 0, NO,	,	,	,
,	319, BEAM , UNILOAD, LZ, NO , NO, aDir[1], , , , 0, 0.592, 1, 0.592, 0, 0, 0, 0	,	,	,
,	, NO, 0, 0, NO,	,	,	,
,	320, BEAM , UNILOAD, LY, NO , NO, aDir[1], , , , 0, -4.507, 1, -4.507, 0, 0, 0, 0	,	,	,
,	, NO, 0, 0, NO,	,	,	,
,	320, BEAM , UNILOAD, LZ, NO , NO, aDir[1], , , , 0, 0.592, 1, 0.592, 0, 0, 0, 0	,	,	,
,	, NO, 0, 0, NO,	,	,	,
,	321, BEAM , UNILOAD, LY, NO , NO, aDir[1], , , , 0, -4.507, 1, -4.507, 0, 0, 0, 0	,	,	,
,	, NO, 0, 0, NO,	,	,	,
,	321, BEAM , UNILOAD, LZ, NO , NO, aDir[1], , , , 0, 0.592, 1, 0.592, 0, 0, 0, 0	,	,	,
,	, NO, 0, 0, NO,	,	,	,
,	322, BEAM , UNILOAD, LZ, NO , NO, aDir[1], , , , 0, 0.592, 1, 0.592, 0, 0, 0, 0	,	,	,
,	, NO, 0, 0, NO,	,	,	,
,	322, BEAM , UNILOAD, LY, NO , NO, aDir[1], , , , 0, -4.507, 1, -4.507, 0, 0, 0, 0	,	,	,
,	, NO, 0, 0, NO,	,	,	,
,	323, BEAM , UNILOAD, LY, NO , NO, aDir[1], , , , 0, -4.507, 1, -4.507, 0, 0, 0, 0	,	,	,
,	, NO, 0, 0, NO,	,	,	,
,	323, BEAM , UNILOAD, LZ, NO , NO, aDir[1], , , , 0, 0.592, 1, 0.592, 0, 0, 0, 0	,	,	,
,	, NO, 0, 0, NO,	,	,	,
,	324, BEAM , UNILOAD, LY, NO , NO, aDir[1], , , , 0, -4.507, 1, -4.507, 0, 0, 0, 0	,	,	,
,	, NO, 0, 0, NO,	,	,	,
,	324, BEAM , UNILOAD, LZ, NO , NO, aDir[1], , , , 0, 0.592, 1, 0.592, 0, 0, 0, 0	,	,	,
,	, NO, 0, 0, NO,	,	,	,
,	325, BEAM , UNILOAD, LZ, NO , NO, aDir[1], , , , 0, 0.592, 1, 0.592, 0, 0, 0, 0	,	,	,
,	, NO, 0, 0, NO,	,	,	,
,	325, BEAM , UNILOAD, LY, NO , NO, aDir[1], , , , 0, -4.507, 1, -4.507, 0, 0, 0, 0	,	,	,
,	, NO, 0, 0, NO,	,	,	,
,	326, BEAM , UNILOAD, LZ, NO , NO, aDir[1], , , , 0, 0.592, 1, 0.592, 0, 0, 0, 0	,	,	,
,	, NO, 0, 0, NO,	,	,	,
,	326, BEAM , UNILOAD, LY, NO , NO, aDir[1], , , , 0, -4.507, 1, -4.507, 0, 0, 0, 0	,	,	,
,	, NO, 0, 0, NO,	,	,	,
,	327, BEAM , UNILOAD, LY, NO , NO, aDir[1], , , , 0, -4.507, 1, -4.507, 0, 0, 0, 0	,	,	,
,	, NO, 0, 0, NO,	,	,	,
,	327, BEAM , UNILOAD, LZ, NO , NO, aDir[1], , , , 0, 0.592, 1, 0.592, 0, 0, 0, 0	,	,	,
,	, NO, 0, 0, NO,	,	,	,
,	328, BEAM , UNILOAD, LZ, NO , NO, aDir[1], , , , 0, 0.592, 1, 0.592, 0, 0, 0, 0	,	,	,
,	, NO, 0, 0, NO,	,	,	,
,	328, BEAM , UNILOAD, LY, NO , NO, aDir[1], , , , 0, -4.507, 1, -4.507, 0, 0, 0, 0	,	,	,
,	, NO, 0, 0, NO,	,	,	,
,	329, BEAM , UNILOAD, LZ, NO , NO, aDir[1], , , , 0, 0.592, 1, 0.592, 0, 0, 0, 0	,	,	,
,	, NO, 0, 0, NO,	,	,	,
,	329, BEAM , UNILOAD, LY, NO , NO, aDir[1], , , , 0, -4.507, 1, -4.507, 0, 0, 0, 0	,	,	,
,	, NO, 0, 0, NO,	,	,	,

MIDAS

PROJECT TITLE :

	Company		Client	
	Author		File Name	L2-CV01_REVISIONE_2

330, BEAM , UNILOAD, LY, NO , NO, aDir[1], , , , 0, -4.507, 1, -4.507, 0, 0, 0, 0
 , , NO, 0, 0, NO,
 330, BEAM , UNILOAD, LZ, NO , NO, aDir[1], , , , 0, 0.592, 1, 0.592, 0, 0, 0, 0,
 , NO, 0, 0, NO,
 331, BEAM , UNILOAD, LZ, NO , NO, aDir[1], , , , 0, 0.592, 1, 0.592, 0, 0, 0, 0,
 , NO, 0, 0, NO,
 331, BEAM , UNILOAD, LY, NO , NO, aDir[1], , , , 0, -4.507, 1, -4.507, 0, 0, 0, 0
 , , NO, 0, 0, NO,
 332, BEAM , UNILOAD, LY, NO , NO, aDir[1], , , , 0, -4.507, 1, -4.507, 0, 0, 0, 0
 , , NO, 0, 0, NO,
 332, BEAM , UNILOAD, LZ, NO , NO, aDir[1], , , , 0, 0.592, 1, 0.592, 0, 0, 0, 0
 , NO, 0, 0, NO,
 333, BEAM , UNILOAD, LZ, NO , NO, aDir[1], , , , 0, 0.592, 1, 0.592, 0, 0, 0, 0
 , NO, 0, 0, NO,
 333, BEAM , UNILOAD, LY, NO , NO, aDir[1], , , , 0, -4.507, 1, -4.507, 0, 0, 0, 0
 , , NO, 0, 0, NO,
 334, BEAM , UNILOAD, LZ, NO , NO, aDir[1], , , , 0, 0.592, 1, 0.592, 0, 0, 0, 0
 , NO, 0, 0, NO,
 334, BEAM , UNILOAD, LY, NO , NO, aDir[1], , , , 0, -4.507, 1, -4.507, 0, 0, 0, 0
 , , NO, 0, 0, NO,
 335, BEAM , UNILOAD, LY, NO , NO, aDir[1], , , , 0, -4.507, 1, -4.507, 0, 0, 0, 0
 , NO, 0, 0, NO,
 335, BEAM , UNILOAD, LZ, NO , NO, aDir[1], , , , 0, 0.592, 1, 0.592, 0, 0, 0, 0
 , NO, 0, 0, NO,
 336, BEAM , UNILOAD, LZ, NO , NO, aDir[1], , , , 0, 0.592, 1, 0.592, 0, 0, 0, 0
 , NO, 0, 0, NO,
 336, BEAM , UNILOAD, LY, NO , NO, aDir[1], , , , 0, -4.507, 1, -4.507, 0, 0, 0, 0
 , , NO, 0, 0, NO,
 337, BEAM , UNILOAD, LZ, NO , NO, aDir[1], , , , 0, 0.592, 1, 0.592, 0, 0, 0, 0
 , NO, 0, 0, NO,
 337, BEAM , UNILOAD, LY, NO , NO, aDir[1], , , , 0, -4.507, 1, -4.507, 0, 0, 0, 0
 , , NO, 0, 0, NO,
 338, BEAM , UNILOAD, LZ, NO , NO, aDir[1], , , , 0, 0.592, 1, 0.592, 0, 0, 0, 0
 , NO, 0, 0, NO,
 338, BEAM , UNILOAD, LY, NO , NO, aDir[1], , , , 0, -4.507, 1, -4.507, 0, 0, 0, 0
 , , NO, 0, 0, NO,
 339, BEAM , UNILOAD, LZ, NO , NO, aDir[1], , , , 0, 0.592, 1, 0.592, 0, 0, 0, 0
 , NO, 0, 0, NO,
 339, BEAM , UNILOAD, LY, NO , NO, aDir[1], , , , 0, -4.507, 1, -4.507, 0, 0, 0, 0
 , , NO, 0, 0, NO,
 340, BEAM , UNILOAD, LY, NO , NO, aDir[1], , , , 0, -4.507, 1, -4.507, 0, 0, 0, 0
 , NO, 0, 0, NO,
 340, BEAM , UNILOAD, LZ, NO , NO, aDir[1], , , , 0, 0.592, 1, 0.592, 0, 0, 0, 0
 , NO, 0, 0, NO,
 341, BEAM , UNILOAD, LY, NO , NO, aDir[1], , , , 0, -4.507, 1, -4.507, 0, 0, 0, 0
 , , NO, 0, 0, NO,
 341, BEAM , UNILOAD, LZ, NO , NO, aDir[1], , , , 0, 0.592, 1, 0.592, 0, 0, 0, 0
 , NO, 0, 0, NO,
 342, BEAM , UNILOAD, LZ, NO , NO, aDir[1], , , , 0, 0.592, 1, 0.592, 0, 0, 0, 0
 , NO, 0, 0, NO,
 342, BEAM , UNILOAD, LY, NO , NO, aDir[1], , , , 0, -4.507, 1, -4.507, 0, 0, 0, 0
 , , NO, 0, 0, NO,
 343, BEAM , UNILOAD, LZ, NO , NO, aDir[1], , , , 0, 0.592, 1, 0.592, 0, 0, 0, 0
 , NO, 0, 0, NO,
 343, BEAM , UNILOAD, LY, NO , NO, aDir[1], , , , 0, -4.507, 1, -4.507, 0, 0, 0, 0
 , , NO, 0, 0, NO,
 344, BEAM , UNILOAD, LY, NO , NO, aDir[1], , , , 0, -4.507, 1, -4.507, 0, 0, 0, 0
 , NO, 0, 0, NO,
 344, BEAM , UNILOAD, LZ, NO , NO, aDir[1], , , , 0, 0.592, 1, 0.592, 0, 0, 0, 0
 , NO, 0, 0, NO,
 345, BEAM , UNILOAD, LZ, NO , NO, aDir[1], , , , 0, 0.592, 1, 0.592, 0, 0, 0, 0
 , NO, 0, 0, NO,

MIDAS

PROJECT TITLE :

	Company		Client	
	Author		File Name	L2-CV01_REVISIONE_2

345, BEAM , UNILOAD, LY, NO , NO, aDir[1], , , , 0, -4.507, 1, -4.507, 0, 0, 0, 0
, , NO, 0, 0, NO,

; End of data for load case [VENTO PONTE SCARICO] -----

*USE-STLD, VENTO PONTE CARICO

```
*BEAMLOAD ; Element Beam Loads
; ELEM_LIST, CMD, TYPE, DIR, bPROJ, [ECCEN], [VALUE], GROUP
; ELEM_LIST, CMD, TYPE, DIR, VX, VY, VZ, bPROJ, [ECCEN], [VALUE], GROUP
; [VALUE] : D1, P1, D2, P2, D3, P3, D4, P4
; [ECCEN] : bECCEN, ECCDIR, I-END, J-END, bJ-END
; [ADDITIONAL] : bADDITIONAL, ADDITIONAL_I-END, ADDITIONAL_J-END, bADDITIONAL_J-END
    74, BEAM , UNILOAD, LZ, NO , NO, aDir[1], , , , 0, -0.304, 1, -0.304, 0, 0, 0
, , NO, 0, 0, NO,
    75, BEAM , UNILOAD, LZ, NO , NO, aDir[1], , , , 0, -0.304, 1, -0.304, 0, 0, 0
, , NO, 0, 0, NO,
    76, BEAM , UNILOAD, LZ, NO , NO, aDir[1], , , , 0, -0.304, 1, -0.304, 0, 0, 0
, , NO, 0, 0, NO,
    77, BEAM , UNILOAD, LZ, NO , NO, aDir[1], , , , 0, -0.304, 1, -0.304, 0, 0, 0
, , NO, 0, 0, NO,
    78, BEAM , UNILOAD, LZ, NO , NO, aDir[1], , , , 0, -0.304, 1, -0.304, 0, 0, 0
, , NO, 0, 0, NO,
    79, BEAM , UNILOAD, LZ, NO , NO, aDir[1], , , , 0, -0.304, 1, -0.304, 0, 0, 0
, , NO, 0, 0, NO,
    80, BEAM , UNILOAD, LZ, NO , NO, aDir[1], , , , 0, -0.304, 1, -0.304, 0, 0, 0
, , NO, 0, 0, NO,
    81, BEAM , UNILOAD, LZ, NO , NO, aDir[1], , , , 0, -0.304, 1, -0.304, 0, 0, 0
, , NO, 0, 0, NO,
    82, BEAM , UNILOAD, LZ, NO , NO, aDir[1], , , , 0, -0.304, 1, -0.304, 0, 0, 0
, , NO, 0, 0, NO,
    83, BEAM , UNILOAD, LZ, NO , NO, aDir[1], , , , 0, -0.304, 1, -0.304, 0, 0, 0
, , NO, 0, 0, NO,
    84, BEAM , UNILOAD, LZ, NO , NO, aDir[1], , , , 0, -0.304, 1, -0.304, 0, 0, 0
, , NO, 0, 0, NO,
    85, BEAM , UNILOAD, LZ, NO , NO, aDir[1], , , , 0, -0.304, 1, -0.304, 0, 0, 0
, , NO, 0, 0, NO,
    86, BEAM , UNILOAD, LZ, NO , NO, aDir[1], , , , 0, -0.304, 1, -0.304, 0, 0, 0
, , NO, 0, 0, NO,
    87, BEAM , UNILOAD, LZ, NO , NO, aDir[1], , , , 0, -0.304, 1, -0.304, 0, 0, 0
, , NO, 0, 0, NO,
    88, BEAM , UNILOAD, LZ, NO , NO, aDir[1], , , , 0, -0.304, 1, -0.304, 0, 0, 0
, , NO, 0, 0, NO,
    89, BEAM , UNILOAD, LZ, NO , NO, aDir[1], , , , 0, -0.304, 1, -0.304, 0, 0, 0
, , NO, 0, 0, NO,
    90, BEAM , UNILOAD, LZ, NO , NO, aDir[1], , , , 0, -0.304, 1, -0.304, 0, 0, 0
, , NO, 0, 0, NO,
    91, BEAM , UNILOAD, LZ, NO , NO, aDir[1], , , , 0, -0.304, 1, -0.304, 0, 0, 0
, , NO, 0, 0, NO,
    92, BEAM , UNILOAD, LZ, NO , NO, aDir[1], , , , 0, -0.304, 1, -0.304, 0, 0, 0
, , NO, 0, 0, NO,
    93, BEAM , UNILOAD, LZ, NO , NO, aDir[1], , , , 0, -0.304, 1, -0.304, 0, 0, 0
, , NO, 0, 0, NO,
    94, BEAM , UNILOAD, LZ, NO , NO, aDir[1], , , , 0, -0.304, 1, -0.304, 0, 0, 0
, , NO, 0, 0, NO,
    95, BEAM , UNILOAD, LZ, NO , NO, aDir[1], , , , 0, -0.304, 1, -0.304, 0, 0, 0
, , NO, 0, 0, NO,
    96, BEAM , UNILOAD, LZ, NO , NO, aDir[1], , , , 0, -0.304, 1, -0.304, 0, 0, 0
, , NO, 0, 0, NO,
    97, BEAM , UNILOAD, LZ, NO , NO, aDir[1], , , , 0, -0.304, 1, -0.304, 0, 0, 0
, , NO, 0, 0, NO,
    98, BEAM , UNILOAD, LZ, NO , NO, aDir[1], , , , 0, -0.304, 1, -0.304, 0, 0, 0
```

MIDAS

PROJECT TITLE :

MIDAS	Company		Client	File Name	L2-CV01_REVISIONE_2
	Author				

```
, , NO, 0, 0, NO,
99, BEAM , UNILOAD, LZ, NO , NO, aDir[1], , , , 0, -0.304, 1, -0.304, 0, 0, 0, 0
, , NO, 0, 0, NO,
100, BEAM , UNILOAD, LZ, NO , NO, aDir[1], , , , 0, -0.304, 1, -0.304, 0, 0, 0, 0
, , NO, 0, 0, NO,
101, BEAM , UNILOAD, LZ, NO , NO, aDir[1], , , , 0, -0.304, 1, -0.304, 0, 0, 0, 0
, , NO, 0, 0, NO,
102, BEAM , UNILOAD, LZ, NO , NO, aDir[1], , , , 0, -0.304, 1, -0.304, 0, 0, 0, 0
, , NO, 0, 0, NO,
103, BEAM , UNILOAD, LZ, NO , NO, aDir[1], , , , 0, -0.304, 1, -0.304, 0, 0, 0, 0
, , NO, 0, 0, NO,
104, BEAM , UNILOAD, LZ, NO , NO, aDir[1], , , , 0, -0.304, 1, -0.304, 0, 0, 0, 0
, , NO, 0, 0, NO,
105, BEAM , UNILOAD, LZ, NO , NO, aDir[1], , , , 0, -0.304, 1, -0.304, 0, 0, 0, 0
, , NO, 0, 0, NO,
106, BEAM , UNILOAD, LZ, NO , NO, aDir[1], , , , 0, -0.304, 1, -0.304, 0, 0, 0, 0
, , NO, 0, 0, NO,
107, BEAM , UNILOAD, LZ, NO , NO, aDir[1], , , , 0, -0.304, 1, -0.304, 0, 0, 0, 0
, , NO, 0, 0, NO,
108, BEAM , UNILOAD, LZ, NO , NO, aDir[1], , , , 0, -0.304, 1, -0.304, 0, 0, 0, 0
, , NO, 0, 0, NO,
109, BEAM , UNILOAD, LZ, NO , NO, aDir[1], , , , 0, -0.304, 1, -0.304, 0, 0, 0, 0
, , NO, 0, 0, NO,
110, BEAM , UNILOAD, LZ, NO , NO, aDir[1], , , , 0, -0.304, 1, -0.304, 0, 0, 0, 0
, , NO, 0, 0, NO,
111, BEAM , UNILOAD, LZ, NO , NO, aDir[1], , , , 0, -0.304, 1, -0.304, 0, 0, 0, 0
, , NO, 0, 0, NO,
112, BEAM , UNILOAD, LZ, NO , NO, aDir[1], , , , 0, -0.304, 1, -0.304, 0, 0, 0, 0
, , NO, 0, 0, NO,
113, BEAM , UNILOAD, LZ, NO , NO, aDir[1], , , , 0, -0.304, 1, -0.304, 0, 0, 0, 0
, , NO, 0, 0, NO,
114, BEAM , UNILOAD, LZ, NO , NO, aDir[1], , , , 0, -0.304, 1, -0.304, 0, 0, 0, 0
, , NO, 0, 0, NO,
115, BEAM , UNILOAD, LZ, NO , NO, aDir[1], , , , 0, -0.304, 1, -0.304, 0, 0, 0, 0
, , NO, 0, 0, NO,
116, BEAM , UNILOAD, LZ, NO , NO, aDir[1], , , , 0, -0.304, 1, -0.304, 0, 0, 0, 0
, , NO, 0, 0, NO,
117, BEAM , UNILOAD, LZ, NO , NO, aDir[1], , , , 0, -0.304, 1, -0.304, 0, 0, 0, 0
, , NO, 0, 0, NO,
118, BEAM , UNILOAD, LZ, NO , NO, aDir[1], , , , 0, -0.304, 1, -0.304, 0, 0, 0, 0
, , NO, 0, 0, NO,
119, BEAM , UNILOAD, LZ, NO , NO, aDir[1], , , , 0, -0.304, 1, -0.304, 0, 0, 0, 0
, , NO, 0, 0, NO,
120, BEAM , UNILOAD, LZ, NO , NO, aDir[1], , , , 0, -0.304, 1, -0.304, 0, 0, 0, 0
, , NO, 0, 0, NO,
121, BEAM , UNILOAD, LZ, NO , NO, aDir[1], , , , 0, -0.304, 1, -0.304, 0, 0, 0, 0
, , NO, 0, 0, NO,
122, BEAM , UNILOAD, LZ, NO , NO, aDir[1], , , , 0, -0.304, 1, -0.304, 0, 0, 0, 0
, , NO, 0, 0, NO,
123, BEAM , UNILOAD, LZ, NO , NO, aDir[1], , , , 0, -0.304, 1, -0.304, 0, 0, 0, 0
, , NO, 0, 0, NO,
296, BEAM , UNILOAD, LY, NO , NO, aDir[1], , , , 0, -10.142, 1, -10.142, 0, 0, 0,
0, , NO, 0, 0, NO,
296, BEAM , UNILOAD, LZ, NO , NO, aDir[1], , , , 0, 0.304, 1, 0.304, 0, 0, 0, 0,
, NO, 0, 0, NO,
297, BEAM , UNILOAD, LY, NO , NO, aDir[1], , , , 0, -10.142, 1, -10.142, 0, 0, 0,
0, , NO, 0, 0, NO,
297, BEAM , UNILOAD, LZ, NO , NO, aDir[1], , , , 0, 0.304, 1, 0.304, 0, 0, 0, 0,
, NO, 0, 0, NO,
298, BEAM , UNILOAD, LY, NO , NO, aDir[1], , , , 0, -10.142, 1, -10.142, 0, 0, 0,
0, , NO, 0, 0, NO,
298, BEAM , UNILOAD, LZ, NO , NO, aDir[1], , , , 0, 0.304, 1, 0.304, 0, 0, 0, 0,
```

MIDAS

PROJECT TITLE :

	Company		Client	
	Author		File Name	L2-CV01_REVISIONE_2

```
, NO, 0, 0, NO,
299, BEAM , UNILOAD, LZ, NO , NO, aDir[1], , , , 0, 0.304, 1, 0.304, 0, 0, 0, 0,
, NO, 0, 0, NO,
299, BEAM , UNILOAD, LY, NO , NO, aDir[1], , , , 0, -10.142, 1, -10.142, 0, 0, 0,
0, , NO, 0, 0, NO,
300, BEAM , UNILOAD, LY, NO , NO, aDir[1], , , , 0, -10.142, 1, -10.142, 0, 0, 0,
0, , NO, 0, 0, NO,
300, BEAM , UNILOAD, LZ, NO , NO, aDir[1], , , , 0, 0.304, 1, 0.304, 0, 0, 0, 0,
, NO, 0, 0, NO,
301, BEAM , UNILOAD, LZ, NO , NO, aDir[1], , , , 0, 0.304, 1, 0.304, 0, 0, 0, 0,
, NO, 0, 0, NO,
301, BEAM , UNILOAD, LY, NO , NO, aDir[1], , , , 0, -10.142, 1, -10.142, 0, 0, 0,
0, , NO, 0, 0, NO,
302, BEAM , UNILOAD, LY, NO , NO, aDir[1], , , , 0, -10.142, 1, -10.142, 0, 0, 0,
0, , NO, 0, 0, NO,
302, BEAM , UNILOAD, LZ, NO , NO, aDir[1], , , , 0, 0.304, 1, 0.304, 0, 0, 0, 0,
, NO, 0, 0, NO,
303, BEAM , UNILOAD, LZ, NO , NO, aDir[1], , , , 0, 0.304, 1, 0.304, 0, 0, 0, 0,
, NO, 0, 0, NO,
303, BEAM , UNILOAD, LY, NO , NO, aDir[1], , , , 0, -10.142, 1, -10.142, 0, 0, 0,
0, , NO, 0, 0, NO,
304, BEAM , UNILOAD, LY, NO , NO, aDir[1], , , , 0, -10.142, 1, -10.142, 0, 0, 0,
0, , NO, 0, 0, NO,
304, BEAM , UNILOAD, LZ, NO , NO, aDir[1], , , , 0, 0.304, 1, 0.304, 0, 0, 0, 0,
, NO, 0, 0, NO,
305, BEAM , UNILOAD, LY, NO , NO, aDir[1], , , , 0, -10.142, 1, -10.142, 0, 0, 0,
0, , NO, 0, 0, NO,
305, BEAM , UNILOAD, LZ, NO , NO, aDir[1], , , , 0, 0.304, 1, 0.304, 0, 0, 0, 0,
, NO, 0, 0, NO,
306, BEAM , UNILOAD, LY, NO , NO, aDir[1], , , , 0, -10.142, 1, -10.142, 0, 0, 0,
0, , NO, 0, 0, NO,
306, BEAM , UNILOAD, LZ, NO , NO, aDir[1], , , , 0, 0.304, 1, 0.304, 0, 0, 0, 0,
, NO, 0, 0, NO,
307, BEAM , UNILOAD, LY, NO , NO, aDir[1], , , , 0, -10.142, 1, -10.142, 0, 0, 0,
0, , NO, 0, 0, NO,
307, BEAM , UNILOAD, LZ, NO , NO, aDir[1], , , , 0, 0.304, 1, 0.304, 0, 0, 0, 0,
, NO, 0, 0, NO,
308, BEAM , UNILOAD, LY, NO , NO, aDir[1], , , , 0, -10.142, 1, -10.142, 0, 0, 0,
0, , NO, 0, 0, NO,
308, BEAM , UNILOAD, LZ, NO , NO, aDir[1], , , , 0, 0.304, 1, 0.304, 0, 0, 0, 0,
, NO, 0, 0, NO,
309, BEAM , UNILOAD, LY, NO , NO, aDir[1], , , , 0, -10.142, 1, -10.142, 0, 0, 0,
0, , NO, 0, 0, NO,
309, BEAM , UNILOAD, LZ, NO , NO, aDir[1], , , , 0, 0.304, 1, 0.304, 0, 0, 0, 0,
, NO, 0, 0, NO,
310, BEAM , UNILOAD, LZ, NO , NO, aDir[1], , , , 0, 0.304, 1, 0.304, 0, 0, 0, 0,
, NO, 0, 0, NO,
310, BEAM , UNILOAD, LY, NO , NO, aDir[1], , , , 0, -10.142, 1, -10.142, 0, 0, 0,
0, , NO, 0, 0, NO,
311, BEAM , UNILOAD, LY, NO , NO, aDir[1], , , , 0, -10.142, 1, -10.142, 0, 0, 0,
0, , NO, 0, 0, NO,
311, BEAM , UNILOAD, LZ, NO , NO, aDir[1], , , , 0, 0.304, 1, 0.304, 0, 0, 0, 0,
, NO, 0, 0, NO,
312, BEAM , UNILOAD, LY, NO , NO, aDir[1], , , , 0, -10.142, 1, -10.142, 0, 0, 0,
0, , NO, 0, 0, NO,
312, BEAM , UNILOAD, LZ, NO , NO, aDir[1], , , , 0, 0.304, 1, 0.304, 0, 0, 0, 0,
, NO, 0, 0, NO,
313, BEAM , UNILOAD, LY, NO , NO, aDir[1], , , , 0, -10.142, 1, -10.142, 0, 0, 0,
0, , NO, 0, 0, NO,
313, BEAM , UNILOAD, LZ, NO , NO, aDir[1], , , , 0, 0.304, 1, 0.304, 0, 0, 0, 0,
, NO, 0, 0, NO,
314, BEAM , UNILOAD, LY, NO , NO, aDir[1], , , , 0, -10.142, 1, -10.142, 0, 0, 0,
```

MIDAS

PROJECT TITLE :

	Company		Client	
	Author		File Name	L2-CV01_REVISIONE_2

0, , NO, 0, 0, NO,
 314, BEAM , UNILOAD, LZ, NO , NO, aDir[1], , , , 0, 0.304, 1, 0.304, 0, 0, 0, 0,
 , NO, 0, 0, NO,
 315, BEAM , UNILOAD, LZ, NO , NO, aDir[1], , , , 0, 0.304, 1, 0.304, 0, 0, 0, 0,
 , NO, 0, 0, NO,
 315, BEAM , UNILOAD, LY, NO , NO, aDir[1], , , , 0, -10.142, 1, -10.142, 0, 0, 0,
 0, , NO, 0, 0, NO,
 316, BEAM , UNILOAD, LY, NO , NO, aDir[1], , , , 0, -10.142, 1, -10.142, 0, 0, 0,
 0, , NO, 0, 0, NO,
 316, BEAM , UNILOAD, LZ, NO , NO, aDir[1], , , , 0, 0.304, 1, 0.304, 0, 0, 0, 0,
 , NO, 0, 0, NO,
 317, BEAM , UNILOAD, LY, NO , NO, aDir[1], , , , 0, -10.142, 1, -10.142, 0, 0, 0,
 0, , NO, 0, 0, NO,
 317, BEAM , UNILOAD, LZ, NO , NO, aDir[1], , , , 0, 0.304, 1, 0.304, 0, 0, 0, 0,
 , NO, 0, 0, NO,
 318, BEAM , UNILOAD, LY, NO , NO, aDir[1], , , , 0, -10.142, 1, -10.142, 0, 0, 0,
 0, , NO, 0, 0, NO,
 318, BEAM , UNILOAD, LZ, NO , NO, aDir[1], , , , 0, 0.304, 1, 0.304, 0, 0, 0, 0,
 , NO, 0, 0, NO,
 319, BEAM , UNILOAD, LZ, NO , NO, aDir[1], , , , 0, 0.304, 1, 0.304, 0, 0, 0, 0,
 , NO, 0, 0, NO,
 319, BEAM , UNILOAD, LY, NO , NO, aDir[1], , , , 0, -10.142, 1, -10.142, 0, 0, 0,
 0, , NO, 0, 0, NO,
 320, BEAM , UNILOAD, LY, NO , NO, aDir[1], , , , 0, -10.142, 1, -10.142, 0, 0, 0,
 0, , NO, 0, 0, NO,
 320, BEAM , UNILOAD, LZ, NO , NO, aDir[1], , , , 0, 0.304, 1, 0.304, 0, 0, 0, 0,
 , NO, 0, 0, NO,
 321, BEAM , UNILOAD, LY, NO , NO, aDir[1], , , , 0, -10.142, 1, -10.142, 0, 0, 0,
 0, , NO, 0, 0, NO,
 321, BEAM , UNILOAD, LZ, NO , NO, aDir[1], , , , 0, 0.304, 1, 0.304, 0, 0, 0, 0,
 , NO, 0, 0, NO,
 322, BEAM , UNILOAD, LY, NO , NO, aDir[1], , , , 0, -10.142, 1, -10.142, 0, 0, 0,
 0, , NO, 0, 0, NO,
 322, BEAM , UNILOAD, LZ, NO , NO, aDir[1], , , , 0, 0.304, 1, 0.304, 0, 0, 0, 0,
 , NO, 0, 0, NO,
 323, BEAM , UNILOAD, LZ, NO , NO, aDir[1], , , , 0, 0.304, 1, 0.304, 0, 0, 0, 0,
 , NO, 0, 0, NO,
 323, BEAM , UNILOAD, LY, NO , NO, aDir[1], , , , 0, -10.142, 1, -10.142, 0, 0, 0,
 0, , NO, 0, 0, NO,
 324, BEAM , UNILOAD, LZ, NO , NO, aDir[1], , , , 0, 0.304, 1, 0.304, 0, 0, 0, 0,
 , NO, 0, 0, NO,
 324, BEAM , UNILOAD, LY, NO , NO, aDir[1], , , , 0, -10.142, 1, -10.142, 0, 0, 0,
 0, , NO, 0, 0, NO,
 325, BEAM , UNILOAD, LY, NO , NO, aDir[1], , , , 0, -10.142, 1, -10.142, 0, 0, 0,
 0, , NO, 0, 0, NO,
 325, BEAM , UNILOAD, LZ, NO , NO, aDir[1], , , , 0, 0.304, 1, 0.304, 0, 0, 0, 0,
 , NO, 0, 0, NO,
 326, BEAM , UNILOAD, LY, NO , NO, aDir[1], , , , 0, -10.142, 1, -10.142, 0, 0, 0,
 0, , NO, 0, 0, NO,
 326, BEAM , UNILOAD, LZ, NO , NO, aDir[1], , , , 0, 0.304, 1, 0.304, 0, 0, 0, 0,
 , NO, 0, 0, NO,
 327, BEAM , UNILOAD, LY, NO , NO, aDir[1], , , , 0, -10.142, 1, -10.142, 0, 0, 0,
 0, , NO, 0, 0, NO,
 327, BEAM , UNILOAD, LZ, NO , NO, aDir[1], , , , 0, 0.304, 1, 0.304, 0, 0, 0, 0,
 , NO, 0, 0, NO,
 328, BEAM , UNILOAD, LY, NO , NO, aDir[1], , , , 0, -10.142, 1, -10.142, 0, 0, 0,
 0, , NO, 0, 0, NO,
 328, BEAM , UNILOAD, LZ, NO , NO, aDir[1], , , , 0, 0.304, 1, 0.304, 0, 0, 0, 0,
 , NO, 0, 0, NO,
 329, BEAM , UNILOAD, LZ, NO , NO, aDir[1], , , , 0, 0.304, 1, 0.304, 0, 0, 0, 0,
 , NO, 0, 0, NO,
 329, BEAM , UNILOAD, LY, NO , NO, aDir[1], , , , 0, -10.142, 1, -10.142, 0, 0, 0,

MIDAS

PROJECT TITLE :

	Company		Client	L2-CV01_REVISIONE_2
	Author		File Name	

```

0, , NO, 0, 0, NO,
330, BEAM , UNILOAD, LZ, NO , NO, aDir[1], , , , 0, 0.304, 1, 0.304, 0, 0, 0, 0,
, NO, 0, 0, NO,
330, BEAM , UNILOAD, LY, NO , NO, aDir[1], , , , 0, -10.142, 1, -10.142, 0, 0, 0,
0, , NO, 0, 0, NO,
331, BEAM , UNILOAD, LY, NO , NO, aDir[1], , , , 0, -10.142, 1, -10.142, 0, 0, 0,
0, , NO, 0, 0, NO,
331, BEAM , UNILOAD, LZ, NO , NO, aDir[1], , , , 0, 0.304, 1, 0.304, 0, 0, 0, 0,
, NO, 0, 0, NO,
332, BEAM , UNILOAD, LY, NO , NO, aDir[1], , , , 0, -10.142, 1, -10.142, 0, 0, 0,
0, , NO, 0, 0, NO,
332, BEAM , UNILOAD, LZ, NO , NO, aDir[1], , , , 0, 0.304, 1, 0.304, 0, 0, 0, 0,
, NO, 0, 0, NO,
333, BEAM , UNILOAD, LZ, NO , NO, aDir[1], , , , 0, 0.304, 1, 0.304, 0, 0, 0, 0,
, NO, 0, 0, NO,
333, BEAM , UNILOAD, LY, NO , NO, aDir[1], , , , 0, -10.142, 1, -10.142, 0, 0, 0,
0, , NO, 0, 0, NO,
334, BEAM , UNILOAD, LZ, NO , NO, aDir[1], , , , 0, 0.304, 1, 0.304, 0, 0, 0, 0,
, NO, 0, 0, NO,
334, BEAM , UNILOAD, LY, NO , NO, aDir[1], , , , 0, -10.142, 1, -10.142, 0, 0, 0,
0, , NO, 0, 0, NO,
335, BEAM , UNILOAD, LZ, NO , NO, aDir[1], , , , 0, 0.304, 1, 0.304, 0, 0, 0, 0,
, NO, 0, 0, NO,
335, BEAM , UNILOAD, LY, NO , NO, aDir[1], , , , 0, -10.142, 1, -10.142, 0, 0, 0,
0, , NO, 0, 0, NO,
336, BEAM , UNILOAD, LZ, NO , NO, aDir[1], , , , 0, 0.304, 1, 0.304, 0, 0, 0, 0,
, NO, 0, 0, NO,
336, BEAM , UNILOAD, LY, NO , NO, aDir[1], , , , 0, -10.142, 1, -10.142, 0, 0, 0,
0, , NO, 0, 0, NO,
337, BEAM , UNILOAD, LY, NO , NO, aDir[1], , , , 0, -10.142, 1, -10.142, 0, 0, 0,
0, , NO, 0, 0, NO,
337, BEAM , UNILOAD, LZ, NO , NO, aDir[1], , , , 0, 0.304, 1, 0.304, 0, 0, 0, 0,
, NO, 0, 0, NO,
338, BEAM , UNILOAD, LY, NO , NO, aDir[1], , , , 0, -10.142, 1, -10.142, 0, 0, 0,
0, , NO, 0, 0, NO,
338, BEAM , UNILOAD, LZ, NO , NO, aDir[1], , , , 0, 0.304, 1, 0.304, 0, 0, 0, 0,
, NO, 0, 0, NO,
339, BEAM , UNILOAD, LZ, NO , NO, aDir[1], , , , 0, 0.304, 1, 0.304, 0, 0, 0, 0,
, NO, 0, 0, NO,
339, BEAM , UNILOAD, LY, NO , NO, aDir[1], , , , 0, -10.142, 1, -10.142, 0, 0, 0,
0, , NO, 0, 0, NO,
340, BEAM , UNILOAD, LY, NO , NO, aDir[1], , , , 0, -10.142, 1, -10.142, 0, 0, 0,
0, , NO, 0, 0, NO,
340, BEAM , UNILOAD, LZ, NO , NO, aDir[1], , , , 0, 0.304, 1, 0.304, 0, 0, 0, 0,
, NO, 0, 0, NO,
341, BEAM , UNILOAD, LY, NO , NO, aDir[1], , , , 0, -10.142, 1, -10.142, 0, 0, 0,
0, , NO, 0, 0, NO,
341, BEAM , UNILOAD, LZ, NO , NO, aDir[1], , , , 0, 0.304, 1, 0.304, 0, 0, 0, 0,
, NO, 0, 0, NO,
342, BEAM , UNILOAD, LY, NO , NO, aDir[1], , , , 0, -10.142, 1, -10.142, 0, 0, 0,
0, , NO, 0, 0, NO,
342, BEAM , UNILOAD, LZ, NO , NO, aDir[1], , , , 0, 0.304, 1, 0.304, 0, 0, 0, 0,
, NO, 0, 0, NO,
343, BEAM , UNILOAD, LZ, NO , NO, aDir[1], , , , 0, 0.304, 1, 0.304, 0, 0, 0, 0,
, NO, 0, 0, NO,
343, BEAM , UNILOAD, LY, NO , NO, aDir[1], , , , 0, -10.142, 1, -10.142, 0, 0, 0,
0, , NO, 0, 0, NO,
344, BEAM , UNILOAD, LZ, NO , NO, aDir[1], , , , 0, 0.304, 1, 0.304, 0, 0, 0, 0,
, NO, 0, 0, NO,
344, BEAM , UNILOAD, LY, NO , NO, aDir[1], , , , 0, -10.142, 1, -10.142, 0, 0, 0,
0, , NO, 0, 0, NO,
345, BEAM , UNILOAD, LY, NO , NO, aDir[1], , , , 0, -10.142, 1, -10.142, 0, 0, 0,

```

MIDAS

PROJECT TITLE :

	Company		Client	File Name
	Author			

```
0, , NO, 0, 0, NO,
 345, BEAM , UNILOAD, LZ, NO , NO, aDir[1], , , , 0, 0.304, 1, 0.304, 0, 0, 0, 0,
, NO, 0, 0, NO,
; End of data for load case [VENTO PONTE CARICO] -----
*USE-STLD, TERMICA UNIFORME +
*ELTEMPER ; Element Temperatures
; ELEM_LIST, TEMPER, GROUP
 1, 49,
 2, 49,
 3, 49,
 4, 49,
 5, 49,
 6, 49,
 7, 49,
 8, 49,
 9, 49,
10, 49,
11, 49,
12, 49,
13, 49,
14, 49,
15, 49,
16, 49,
17, 49,
18, 49,
19, 49,
20, 49,
21, 49,
22, 49,
74, 49,
75, 49,
76, 49,
77, 49,
78, 49,
79, 49,
80, 49,
81, 49,
82, 49,
83, 49,
84, 49,
85, 49,
86, 49,
87, 49,
88, 49,
89, 49,
90, 49,
91, 49,
92, 49,
93, 49,
94, 49,
95, 49,
96, 49,
97, 49,
98, 49,
99, 49,
100, 49,
101, 49,
102, 49,
103, 49,
```

MIDAS

PROJECT TITLE :

	Company		Client	File Name
	Author			

104, 49,
105, 49,
106, 49,
107, 49,
108, 49,
109, 49,
110, 49,
111, 49,
112, 49,
113, 49,
114, 49,
115, 49,
116, 49,
117, 49,
118, 49,
119, 49,
120, 49,
121, 49,
122, 49,
123, 49,
175, 49,
176, 49,
177, 49,
180, 49,
181, 49,
182, 49,
183, 49,
184, 49,
187, 49,
188, 49,
189, 49,
190, 49,
191, 49,
194, 49,
195, 49,
196, 49,
197, 49,
198, 49,
201, 49,
202, 49,
203, 49,
204, 49,
205, 49,
208, 49,
209, 49,
210, 49,
211, 49,
212, 49,
215, 49,
216, 49,
217, 49,
218, 49,
219, 49,
222, 49,
223, 49,
224, 49,
225, 49,
228, 49,
229, 49,
230, 49,
231, 49,
232, 49,

MIDAS

PROJECT TITLE :

	Company		Client	File Name
	Author			

233, 49,
236, 49,
237, 49,
238, 49,
239, 49,
241, 49,
243, 49,
244, 49,
296, 49,
297, 49,
298, 49,
299, 49,
300, 49,
301, 49,
302, 49,
303, 49,
304, 49,
305, 49,
306, 49,
307, 49,
308, 49,
309, 49,
310, 49,
311, 49,
312, 49,
313, 49,
314, 49,
315, 49,
316, 49,
317, 49,
318, 49,
319, 49,
320, 49,
321, 49,
322, 49,
323, 49,
324, 49,
325, 49,
326, 49,
327, 49,
328, 49,
329, 49,
330, 49,
331, 49,
332, 49,
333, 49,
334, 49,
335, 49,
336, 49,
337, 49,
338, 49,
339, 49,
340, 49,
341, 49,
342, 49,
343, 49,
344, 49,
345, 49,

; End of data for load case [TERMICA UNIFORME +] -----

*USE-STLD, TERMICA UNIFORME -

MIDAS

PROJECT TITLE :

MIDAS	Company		Client	File Name
	Author			
				L2-CV01_REVISIONE_2

```
*ELTEMPER      ; Element Temperatures
; ELEM LIST, TEMPER, GROUP
1, -11,
2, -11,
3, -11,
4, -11,
5, -11,
6, -11,
7, -11,
8, -11,
9, -11,
10, -11,
11, -11,
12, -11,
13, -11,
14, -11,
15, -11,
16, -11,
17, -11,
18, -11,
19, -11,
20, -11,
21, -11,
22, -11,
74, -11,
75, -11,
76, -11,
77, -11,
78, -11,
79, -11,
80, -11,
81, -11,
82, -11,
83, -11,
84, -11,
85, -11,
86, -11,
87, -11,
88, -11,
89, -11,
90, -11,
91, -11,
92, -11,
93, -11,
94, -11,
95, -11,
96, -11,
97, -11,
98, -11,
99, -11,
100, -11,
101, -11,
102, -11,
103, -11,
104, -11,
105, -11,
106, -11,
107, -11,
108, -11,
109, -11,
110, -11,
```

MIDAS

PROJECT TITLE :

	Company		Client	File Name
	Author			

```
111, -11,
112, -11,
113, -11,
114, -11,
115, -11,
116, -11,
117, -11,
118, -11,
119, -11,
120, -11,
121, -11,
122, -11,
123, -11,
175, -11,
176, -11,
177, -11,
180, -11,
181, -11,
182, -11,
183, -11,
184, -11,
187, -11,
188, -11,
189, -11,
190, -11,
191, -11,
194, -11,
195, -11,
196, -11,
197, -11,
198, -11,
201, -11,
202, -11,
203, -11,
204, -11,
205, -11,
208, -11,
209, -11,
210, -11,
211, -11,
212, -11,
215, -11,
216, -11,
217, -11,
218, -11,
219, -11,
222, -11,
223, -11,
224, -11,
225, -11,
228, -11,
229, -11,
230, -11,
231, -11,
232, -11,
233, -11,
236, -11,
237, -11,
238, -11,
239, -11,
241, -11,
243, -11,
```

MIDAS

PROJECT TITLE :

	Company		Client	File Name
	Author			

```
244, -11,  
296, -11,  
297, -11,  
298, -11,  
299, -11,  
300, -11,  
301, -11,  
302, -11,  
303, -11,  
304, -11,  
305, -11,  
306, -11,  
307, -11,  
308, -11,  
309, -11,  
310, -11,  
311, -11,  
312, -11,  
313, -11,  
314, -11,  
315, -11,  
316, -11,  
317, -11,  
318, -11,  
319, -11,  
320, -11,  
321, -11,  
322, -11,  
323, -11,  
324, -11,  
325, -11,  
326, -11,  
327, -11,  
328, -11,  
329, -11,  
330, -11,  
331, -11,  
332, -11,  
333, -11,  
334, -11,  
335, -11,  
336, -11,  
337, -11,  
338, -11,  
339, -11,  
340, -11,  
341, -11,  
342, -11,  
343, -11,  
344, -11,  
345, -11,
```

; End of data for load case [TERMICA UNIFORME -] -----

*USE-STLD, TERMICA GRADIENTE +

```
*THERGRAD ; Temperature Gradient  
; ELEM_LIST, iETYP, TZ, bUSEHZ, HZ, TY, bUSEHY, HY, GROUP  
; ELEM_LIST, iETYP, TZ, bUSEHZ, HZ, GROUP  
    1, 1, 15, YES, 0, 0, YES, 0,  
    2, 1, 15, YES, 0, 0, YES, 0,  
    3, 1, 15, YES, 0, 0, YES, 0,
```

MIDAS

PROJECT TITLE :

	Company		Client	File Name
	Author			

4, 1, 15, YES, 0, 0, YES, 0,
5, 1, 15, YES, 0, 0, YES, 0,
6, 1, 15, YES, 0, 0, YES, 0,
7, 1, 15, YES, 0, 0, YES, 0,
8, 1, 15, YES, 0, 0, YES, 0,
9, 1, 15, YES, 0, 0, YES, 0,
10, 1, 15, YES, 0, 0, YES, 0,
11, 1, 15, YES, 0, 0, YES, 0,
12, 1, 15, YES, 0, 0, YES, 0,
13, 1, 15, YES, 0, 0, YES, 0,
14, 1, 15, YES, 0, 0, YES, 0,
15, 1, 15, YES, 0, 0, YES, 0,
16, 1, 15, YES, 0, 0, YES, 0,
17, 1, 15, YES, 0, 0, YES, 0,
18, 1, 15, YES, 0, 0, YES, 0,
19, 1, 15, YES, 0, 0, YES, 0,
20, 1, 15, YES, 0, 0, YES, 0,
21, 1, 15, YES, 0, 0, YES, 0,
22, 1, 15, YES, 0, 0, YES, 0,
74, 1, 15, YES, 0, 0, YES, 0,
75, 1, 15, YES, 0, 0, YES, 0,
76, 1, 15, YES, 0, 0, YES, 0,
77, 1, 15, YES, 0, 0, YES, 0,
78, 1, 15, YES, 0, 0, YES, 0,
79, 1, 15, YES, 0, 0, YES, 0,
80, 1, 15, YES, 0, 0, YES, 0,
81, 1, 15, YES, 0, 0, YES, 0,
82, 1, 15, YES, 0, 0, YES, 0,
83, 1, 15, YES, 0, 0, YES, 0,
84, 1, 15, YES, 0, 0, YES, 0,
85, 1, 15, YES, 0, 0, YES, 0,
86, 1, 15, YES, 0, 0, YES, 0,
87, 1, 15, YES, 0, 0, YES, 0,
88, 1, 15, YES, 0, 0, YES, 0,
89, 1, 15, YES, 0, 0, YES, 0,
90, 1, 15, YES, 0, 0, YES, 0,
91, 1, 15, YES, 0, 0, YES, 0,
92, 1, 15, YES, 0, 0, YES, 0,
93, 1, 15, YES, 0, 0, YES, 0,
94, 1, 15, YES, 0, 0, YES, 0,
95, 1, 15, YES, 0, 0, YES, 0,
96, 1, 15, YES, 0, 0, YES, 0,
97, 1, 15, YES, 0, 0, YES, 0,
98, 1, 15, YES, 0, 0, YES, 0,
99, 1, 15, YES, 0, 0, YES, 0,
100, 1, 15, YES, 0, 0, YES, 0,
101, 1, 15, YES, 0, 0, YES, 0,
102, 1, 15, YES, 0, 0, YES, 0,
103, 1, 15, YES, 0, 0, YES, 0,
104, 1, 15, YES, 0, 0, YES, 0,
105, 1, 15, YES, 0, 0, YES, 0,
106, 1, 15, YES, 0, 0, YES, 0,
107, 1, 15, YES, 0, 0, YES, 0,
108, 1, 15, YES, 0, 0, YES, 0,
109, 1, 15, YES, 0, 0, YES, 0,
110, 1, 15, YES, 0, 0, YES, 0,
111, 1, 15, YES, 0, 0, YES, 0,
112, 1, 15, YES, 0, 0, YES, 0,
113, 1, 15, YES, 0, 0, YES, 0,
114, 1, 15, YES, 0, 0, YES, 0,
115, 1, 15, YES, 0, 0, YES, 0,
116, 1, 15, YES, 0, 0, YES, 0,

MIDAS

PROJECT TITLE :

MIDAS	Company		Client	
	Author			

117, 1, 15, YES, 0, 0, YES, 0,
118, 1, 15, YES, 0, 0, YES, 0,
119, 1, 15, YES, 0, 0, YES, 0,
120, 1, 15, YES, 0, 0, YES, 0,
121, 1, 15, YES, 0, 0, YES, 0,
122, 1, 15, YES, 0, 0, YES, 0,
123, 1, 15, YES, 0, 0, YES, 0,
175, 1, 15, YES, 0, 0, YES, 0,
176, 1, 15, YES, 0, 0, YES, 0,
177, 1, 15, YES, 0, 0, YES, 0,
180, 1, 15, YES, 0, 0, YES, 0,
181, 1, 15, YES, 0, 0, YES, 0,
182, 1, 15, YES, 0, 0, YES, 0,
183, 1, 15, YES, 0, 0, YES, 0,
184, 1, 15, YES, 0, 0, YES, 0,
187, 1, 15, YES, 0, 0, YES, 0,
188, 1, 15, YES, 0, 0, YES, 0,
189, 1, 15, YES, 0, 0, YES, 0,
190, 1, 15, YES, 0, 0, YES, 0,
191, 1, 15, YES, 0, 0, YES, 0,
194, 1, 15, YES, 0, 0, YES, 0,
195, 1, 15, YES, 0, 0, YES, 0,
196, 1, 15, YES, 0, 0, YES, 0,
197, 1, 15, YES, 0, 0, YES, 0,
198, 1, 15, YES, 0, 0, YES, 0,
201, 1, 15, YES, 0, 0, YES, 0,
202, 1, 15, YES, 0, 0, YES, 0,
203, 1, 15, YES, 0, 0, YES, 0,
204, 1, 15, YES, 0, 0, YES, 0,
205, 1, 15, YES, 0, 0, YES, 0,
208, 1, 15, YES, 0, 0, YES, 0,
209, 1, 15, YES, 0, 0, YES, 0,
210, 1, 15, YES, 0, 0, YES, 0,
211, 1, 15, YES, 0, 0, YES, 0,
212, 1, 15, YES, 0, 0, YES, 0,
215, 1, 15, YES, 0, 0, YES, 0,
216, 1, 15, YES, 0, 0, YES, 0,
217, 1, 15, YES, 0, 0, YES, 0,
218, 1, 15, YES, 0, 0, YES, 0,
219, 1, 15, YES, 0, 0, YES, 0,
222, 1, 15, YES, 0, 0, YES, 0,
223, 1, 15, YES, 0, 0, YES, 0,
224, 1, 15, YES, 0, 0, YES, 0,
225, 1, 15, YES, 0, 0, YES, 0,
228, 1, 15, YES, 0, 0, YES, 0,
229, 1, 15, YES, 0, 0, YES, 0,
230, 1, 15, YES, 0, 0, YES, 0,
231, 1, 15, YES, 0, 0, YES, 0,
232, 1, 15, YES, 0, 0, YES, 0,
233, 1, 15, YES, 0, 0, YES, 0,
236, 1, 15, YES, 0, 0, YES, 0,
237, 1, 15, YES, 0, 0, YES, 0,
238, 1, 15, YES, 0, 0, YES, 0,
239, 1, 15, YES, 0, 0, YES, 0,
241, 1, 15, YES, 0, 0, YES, 0,
243, 1, 15, YES, 0, 0, YES, 0,
244, 1, 15, YES, 0, 0, YES, 0,
296, 1, 15, YES, 0, 0, YES, 0,
297, 1, 15, YES, 0, 0, YES, 0,
298, 1, 15, YES, 0, 0, YES, 0,
299, 1, 15, YES, 0, 0, YES, 0,
300, 1, 15, YES, 0, 0, YES, 0,

MIDAS

PROJECT TITLE :

	Company		Client	
	Author		File Name	L2-CV01_REVISIONE_2

```

301, 1, 15, YES, 0, 0, YES, 0,
302, 1, 15, YES, 0, 0, YES, 0,
303, 1, 15, YES, 0, 0, YES, 0,
304, 1, 15, YES, 0, 0, YES, 0,
305, 1, 15, YES, 0, 0, YES, 0,
306, 1, 15, YES, 0, 0, YES, 0,
307, 1, 15, YES, 0, 0, YES, 0,
308, 1, 15, YES, 0, 0, YES, 0,
309, 1, 15, YES, 0, 0, YES, 0,
310, 1, 15, YES, 0, 0, YES, 0,
311, 1, 15, YES, 0, 0, YES, 0,
312, 1, 15, YES, 0, 0, YES, 0,
313, 1, 15, YES, 0, 0, YES, 0,
314, 1, 15, YES, 0, 0, YES, 0,
315, 1, 15, YES, 0, 0, YES, 0,
316, 1, 15, YES, 0, 0, YES, 0,
317, 1, 15, YES, 0, 0, YES, 0,
318, 1, 15, YES, 0, 0, YES, 0,
319, 1, 15, YES, 0, 0, YES, 0,
320, 1, 15, YES, 0, 0, YES, 0,
321, 1, 15, YES, 0, 0, YES, 0,
322, 1, 15, YES, 0, 0, YES, 0,
323, 1, 15, YES, 0, 0, YES, 0,
324, 1, 15, YES, 0, 0, YES, 0,
325, 1, 15, YES, 0, 0, YES, 0,
326, 1, 15, YES, 0, 0, YES, 0,
327, 1, 15, YES, 0, 0, YES, 0,
328, 1, 15, YES, 0, 0, YES, 0,
329, 1, 15, YES, 0, 0, YES, 0,
330, 1, 15, YES, 0, 0, YES, 0,
331, 1, 15, YES, 0, 0, YES, 0,
332, 1, 15, YES, 0, 0, YES, 0,
333, 1, 15, YES, 0, 0, YES, 0,
334, 1, 15, YES, 0, 0, YES, 0,
335, 1, 15, YES, 0, 0, YES, 0,
336, 1, 15, YES, 0, 0, YES, 0,
337, 1, 15, YES, 0, 0, YES, 0,
338, 1, 15, YES, 0, 0, YES, 0,
339, 1, 15, YES, 0, 0, YES, 0,
340, 1, 15, YES, 0, 0, YES, 0,
341, 1, 15, YES, 0, 0, YES, 0,
342, 1, 15, YES, 0, 0, YES, 0,
343, 1, 15, YES, 0, 0, YES, 0,
344, 1, 15, YES, 0, 0, YES, 0,
345, 1, 15, YES, 0, 0, YES, 0,

```

; End of data for load case [TERMICA GRADIENTE +] -----

*USE-STLD, TERMICA GRADIENTE -

```

*THERGRAD ; Temperature Gradient
; ELEM_LIST, iETYP, TZ, bUSEHZ, HZ, TY, bUSEHY, HY, GROUP
; ELEM_LIST, iETYP, TZ, bUSEHZ, HZ, GROUP
    1, 1, -18, YES, 0, 0, YES, 0,
    2, 1, -18, YES, 0, 0, YES, 0,
    3, 1, -18, YES, 0, 0, YES, 0,
    4, 1, -18, YES, 0, 0, YES, 0,
    5, 1, -18, YES, 0, 0, YES, 0,
    6, 1, -18, YES, 0, 0, YES, 0,
    7, 1, -18, YES, 0, 0, YES, 0,
    8, 1, -18, YES, 0, 0, YES, 0,
    9, 1, -18, YES, 0, 0, YES, 0,

```

MIDAS

PROJECT TITLE :

	Company		Client	File Name
	Author			

10, 1, -18, YES, 0, 0, YES, 0,
11, 1, -18, YES, 0, 0, YES, 0,
12, 1, -18, YES, 0, 0, YES, 0,
13, 1, -18, YES, 0, 0, YES, 0,
14, 1, -18, YES, 0, 0, YES, 0,
15, 1, -18, YES, 0, 0, YES, 0,
16, 1, -18, YES, 0, 0, YES, 0,
17, 1, -18, YES, 0, 0, YES, 0,
18, 1, -18, YES, 0, 0, YES, 0,
19, 1, -18, YES, 0, 0, YES, 0,
20, 1, -18, YES, 0, 0, YES, 0,
21, 1, -18, YES, 0, 0, YES, 0,
22, 1, -18, YES, 0, 0, YES, 0,
74, 1, -18, YES, 0, 0, YES, 0,
75, 1, -18, YES, 0, 0, YES, 0,
76, 1, -18, YES, 0, 0, YES, 0,
77, 1, -18, YES, 0, 0, YES, 0,
78, 1, -18, YES, 0, 0, YES, 0,
79, 1, -18, YES, 0, 0, YES, 0,
80, 1, -18, YES, 0, 0, YES, 0,
81, 1, -18, YES, 0, 0, YES, 0,
82, 1, -18, YES, 0, 0, YES, 0,
83, 1, -18, YES, 0, 0, YES, 0,
84, 1, -18, YES, 0, 0, YES, 0,
85, 1, -18, YES, 0, 0, YES, 0,
86, 1, -18, YES, 0, 0, YES, 0,
87, 1, -18, YES, 0, 0, YES, 0,
88, 1, -18, YES, 0, 0, YES, 0,
89, 1, -18, YES, 0, 0, YES, 0,
90, 1, -18, YES, 0, 0, YES, 0,
91, 1, -18, YES, 0, 0, YES, 0,
92, 1, -18, YES, 0, 0, YES, 0,
93, 1, -18, YES, 0, 0, YES, 0,
94, 1, -18, YES, 0, 0, YES, 0,
95, 1, -18, YES, 0, 0, YES, 0,
96, 1, -18, YES, 0, 0, YES, 0,
97, 1, -18, YES, 0, 0, YES, 0,
98, 1, -18, YES, 0, 0, YES, 0,
99, 1, -18, YES, 0, 0, YES, 0,
100, 1, -18, YES, 0, 0, YES, 0,
101, 1, -18, YES, 0, 0, YES, 0,
102, 1, -18, YES, 0, 0, YES, 0,
103, 1, -18, YES, 0, 0, YES, 0,
104, 1, -18, YES, 0, 0, YES, 0,
105, 1, -18, YES, 0, 0, YES, 0,
106, 1, -18, YES, 0, 0, YES, 0,
107, 1, -18, YES, 0, 0, YES, 0,
108, 1, -18, YES, 0, 0, YES, 0,
109, 1, -18, YES, 0, 0, YES, 0,
110, 1, -18, YES, 0, 0, YES, 0,
111, 1, -18, YES, 0, 0, YES, 0,
112, 1, -18, YES, 0, 0, YES, 0,
113, 1, -18, YES, 0, 0, YES, 0,
114, 1, -18, YES, 0, 0, YES, 0,
115, 1, -18, YES, 0, 0, YES, 0,
116, 1, -18, YES, 0, 0, YES, 0,
117, 1, -18, YES, 0, 0, YES, 0,
118, 1, -18, YES, 0, 0, YES, 0,
119, 1, -18, YES, 0, 0, YES, 0,
120, 1, -18, YES, 0, 0, YES, 0,
121, 1, -18, YES, 0, 0, YES, 0,
122, 1, -18, YES, 0, 0, YES, 0,

MIDAS

PROJECT TITLE :

	Company		Client	File Name
	Author			

123, 1, -18, YES, 0, 0, YES, 0,
175, 1, -18, YES, 0, 0, YES, 0,
176, 1, -18, YES, 0, 0, YES, 0,
177, 1, -18, YES, 0, 0, YES, 0,
180, 1, -18, YES, 0, 0, YES, 0,
181, 1, -18, YES, 0, 0, YES, 0,
182, 1, -18, YES, 0, 0, YES, 0,
183, 1, -18, YES, 0, 0, YES, 0,
184, 1, -18, YES, 0, 0, YES, 0,
187, 1, -18, YES, 0, 0, YES, 0,
188, 1, -18, YES, 0, 0, YES, 0,
189, 1, -18, YES, 0, 0, YES, 0,
190, 1, -18, YES, 0, 0, YES, 0,
191, 1, -18, YES, 0, 0, YES, 0,
194, 1, -18, YES, 0, 0, YES, 0,
195, 1, -18, YES, 0, 0, YES, 0,
196, 1, -18, YES, 0, 0, YES, 0,
197, 1, -18, YES, 0, 0, YES, 0,
198, 1, -18, YES, 0, 0, YES, 0,
201, 1, -18, YES, 0, 0, YES, 0,
202, 1, -18, YES, 0, 0, YES, 0,
203, 1, -18, YES, 0, 0, YES, 0,
204, 1, -18, YES, 0, 0, YES, 0,
205, 1, -18, YES, 0, 0, YES, 0,
208, 1, -18, YES, 0, 0, YES, 0,
209, 1, -18, YES, 0, 0, YES, 0,
210, 1, -18, YES, 0, 0, YES, 0,
211, 1, -18, YES, 0, 0, YES, 0,
212, 1, -18, YES, 0, 0, YES, 0,
215, 1, -18, YES, 0, 0, YES, 0,
216, 1, -18, YES, 0, 0, YES, 0,
217, 1, -18, YES, 0, 0, YES, 0,
218, 1, -18, YES, 0, 0, YES, 0,
219, 1, -18, YES, 0, 0, YES, 0,
222, 1, -18, YES, 0, 0, YES, 0,
223, 1, -18, YES, 0, 0, YES, 0,
224, 1, -18, YES, 0, 0, YES, 0,
225, 1, -18, YES, 0, 0, YES, 0,
228, 1, -18, YES, 0, 0, YES, 0,
229, 1, -18, YES, 0, 0, YES, 0,
230, 1, -18, YES, 0, 0, YES, 0,
231, 1, -18, YES, 0, 0, YES, 0,
232, 1, -18, YES, 0, 0, YES, 0,
233, 1, -18, YES, 0, 0, YES, 0,
236, 1, -18, YES, 0, 0, YES, 0,
237, 1, -18, YES, 0, 0, YES, 0,
238, 1, -18, YES, 0, 0, YES, 0,
239, 1, -18, YES, 0, 0, YES, 0,
241, 1, -18, YES, 0, 0, YES, 0,
243, 1, -18, YES, 0, 0, YES, 0,
244, 1, -18, YES, 0, 0, YES, 0,
296, 1, -18, YES, 0, 0, YES, 0,
297, 1, -18, YES, 0, 0, YES, 0,
298, 1, -18, YES, 0, 0, YES, 0,
299, 1, -18, YES, 0, 0, YES, 0,
300, 1, -18, YES, 0, 0, YES, 0,
301, 1, -18, YES, 0, 0, YES, 0,
302, 1, -18, YES, 0, 0, YES, 0,
303, 1, -18, YES, 0, 0, YES, 0,
304, 1, -18, YES, 0, 0, YES, 0,
305, 1, -18, YES, 0, 0, YES, 0,
306, 1, -18, YES, 0, 0, YES, 0,

MIDAS

PROJECT TITLE :

	Company		Client	L2-CV01_REVISIONE_2
	Author		File Name	

```

307, 1, -18, YES, 0, 0, YES, 0,
308, 1, -18, YES, 0, 0, YES, 0,
309, 1, -18, YES, 0, 0, YES, 0,
310, 1, -18, YES, 0, 0, YES, 0,
311, 1, -18, YES, 0, 0, YES, 0,
312, 1, -18, YES, 0, 0, YES, 0,
313, 1, -18, YES, 0, 0, YES, 0,
314, 1, -18, YES, 0, 0, YES, 0,
315, 1, -18, YES, 0, 0, YES, 0,
316, 1, -18, YES, 0, 0, YES, 0,
317, 1, -18, YES, 0, 0, YES, 0,
318, 1, -18, YES, 0, 0, YES, 0,
319, 1, -18, YES, 0, 0, YES, 0,
320, 1, -18, YES, 0, 0, YES, 0,
321, 1, -18, YES, 0, 0, YES, 0,
322, 1, -18, YES, 0, 0, YES, 0,
323, 1, -18, YES, 0, 0, YES, 0,
324, 1, -18, YES, 0, 0, YES, 0,
325, 1, -18, YES, 0, 0, YES, 0,
326, 1, -18, YES, 0, 0, YES, 0,
327, 1, -18, YES, 0, 0, YES, 0,
328, 1, -18, YES, 0, 0, YES, 0,
329, 1, -18, YES, 0, 0, YES, 0,
330, 1, -18, YES, 0, 0, YES, 0,
331, 1, -18, YES, 0, 0, YES, 0,
332, 1, -18, YES, 0, 0, YES, 0,
333, 1, -18, YES, 0, 0, YES, 0,
334, 1, -18, YES, 0, 0, YES, 0,
335, 1, -18, YES, 0, 0, YES, 0,
336, 1, -18, YES, 0, 0, YES, 0,
337, 1, -18, YES, 0, 0, YES, 0,
338, 1, -18, YES, 0, 0, YES, 0,
339, 1, -18, YES, 0, 0, YES, 0,
340, 1, -18, YES, 0, 0, YES, 0,
341, 1, -18, YES, 0, 0, YES, 0,
342, 1, -18, YES, 0, 0, YES, 0,
343, 1, -18, YES, 0, 0, YES, 0,
344, 1, -18, YES, 0, 0, YES, 0,
345, 1, -18, YES, 0, 0, YES, 0,

```

; End of data for load case [TERMICA GRADIENTE -] -----

*USE-STLD, FRENATURA

```

*BEAMLOAD      ; Element Beam Loads
; ELEM_LIST, CMD, TYPE, DIR, bPROJ, [ECCEN], [VALUE], GROUP
; ELEM_LIST, CMD, TYPE, DIR, VX, VY, VZ, bPROJ, [ECCEN], [VALUE], GROUP
; [VALUE]       : D1, P1, D2, P2, D3, P3, D4, P4
; [ECCEN]        : bECCEN, ECCDIR, I-END, J-END, bJ-END
; [ADDITIONAL]  : bADDITIONAL, ADDITIONAL_I-END, ADDITIONAL_J-END, bADDITIONAL_J-END
    74, BEAM   , UNILOAD, LX, NO , NO, aDir[1], , , , 0, 3.724, 1, 3.724, 0, 0, 0, 0,
, NO, 0, 0, NO,
    75, BEAM   , UNILOAD, LX, NO , NO, aDir[1], , , , 0, 3.724, 1, 3.724, 0, 0, 0, 0,
, NO, 0, 0, NO,
    76, BEAM   , UNILOAD, LX, NO , NO, aDir[1], , , , 0, 3.724, 1, 3.724, 0, 0, 0, 0,
, NO, 0, 0, NO,
    77, BEAM   , UNILOAD, LX, NO , NO, aDir[1], , , , 0, 3.724, 1, 3.724, 0, 0, 0, 0,
, NO, 0, 0, NO,
    78, BEAM   , UNILOAD, LX, NO , NO, aDir[1], , , , 0, 3.724, 1, 3.724, 0, 0, 0, 0,
, NO, 0, 0, NO,
    79, BEAM   , UNILOAD, LX, NO , NO, aDir[1], , , , 0, 3.724, 1, 3.724, 0, 0, 0, 0,
, NO, 0, 0, NO,

```

MIDAS

PROJECT TITLE :

MIDAS	Company		Client	File Name	L2-CV01_REVISIONE_2
	Author				
,	80, BEAM , UNILOAD, LX, NO , NO, aDir[1], , , , 0, 3.724, 1, 3.724, 0, 0, 0, 0,	,	,	,	,
,	NO, 0, 0, NO,	,	,	,	,
,	81, BEAM , UNILOAD, LX, NO , NO, aDir[1], , , , 0, 3.724, 1, 3.724, 0, 0, 0, 0,	,	,	,	,
,	NO, 0, 0, NO,	,	,	,	,
,	82, BEAM , UNILOAD, LX, NO , NO, aDir[1], , , , 0, 3.724, 1, 3.724, 0, 0, 0, 0,	,	,	,	,
,	NO, 0, 0, NO,	,	,	,	,
,	83, BEAM , UNILOAD, LX, NO , NO, aDir[1], , , , 0, 3.724, 1, 3.724, 0, 0, 0, 0,	,	,	,	,
,	NO, 0, 0, NO,	,	,	,	,
,	84, BEAM , UNILOAD, LX, NO , NO, aDir[1], , , , 0, 3.724, 1, 3.724, 0, 0, 0, 0,	,	,	,	,
,	NO, 0, 0, NO,	,	,	,	,
,	85, BEAM , UNILOAD, LX, NO , NO, aDir[1], , , , 0, 3.724, 1, 3.724, 0, 0, 0, 0,	,	,	,	,
,	NO, 0, 0, NO,	,	,	,	,
,	86, BEAM , UNILOAD, LX, NO , NO, aDir[1], , , , 0, 3.724, 1, 3.724, 0, 0, 0, 0,	,	,	,	,
,	NO, 0, 0, NO,	,	,	,	,
,	87, BEAM , UNILOAD, LX, NO , NO, aDir[1], , , , 0, 3.724, 1, 3.724, 0, 0, 0, 0,	,	,	,	,
,	NO, 0, 0, NO,	,	,	,	,
,	88, BEAM , UNILOAD, LX, NO , NO, aDir[1], , , , 0, 3.724, 1, 3.724, 0, 0, 0, 0,	,	,	,	,
,	NO, 0, 0, NO,	,	,	,	,
,	89, BEAM , UNILOAD, LX, NO , NO, aDir[1], , , , 0, 3.724, 1, 3.724, 0, 0, 0, 0,	,	,	,	,
,	NO, 0, 0, NO,	,	,	,	,
,	90, BEAM , UNILOAD, LX, NO , NO, aDir[1], , , , 0, 3.724, 1, 3.724, 0, 0, 0, 0,	,	,	,	,
,	NO, 0, 0, NO,	,	,	,	,
,	91, BEAM , UNILOAD, LX, NO , NO, aDir[1], , , , 0, 3.724, 1, 3.724, 0, 0, 0, 0,	,	,	,	,
,	NO, 0, 0, NO,	,	,	,	,
,	92, BEAM , UNILOAD, LX, NO , NO, aDir[1], , , , 0, 3.724, 1, 3.724, 0, 0, 0, 0,	,	,	,	,
,	NO, 0, 0, NO,	,	,	,	,
,	93, BEAM , UNILOAD, LX, NO , NO, aDir[1], , , , 0, 3.724, 1, 3.724, 0, 0, 0, 0,	,	,	,	,
,	NO, 0, 0, NO,	,	,	,	,
,	94, BEAM , UNILOAD, LX, NO , NO, aDir[1], , , , 0, 3.724, 1, 3.724, 0, 0, 0, 0,	,	,	,	,
,	NO, 0, 0, NO,	,	,	,	,
,	95, BEAM , UNILOAD, LX, NO , NO, aDir[1], , , , 0, 3.724, 1, 3.724, 0, 0, 0, 0,	,	,	,	,
,	NO, 0, 0, NO,	,	,	,	,
,	96, BEAM , UNILOAD, LX, NO , NO, aDir[1], , , , 0, 3.724, 1, 3.724, 0, 0, 0, 0,	,	,	,	,
,	NO, 0, 0, NO,	,	,	,	,
,	97, BEAM , UNILOAD, LX, NO , NO, aDir[1], , , , 0, 3.724, 1, 3.724, 0, 0, 0, 0,	,	,	,	,
,	NO, 0, 0, NO,	,	,	,	,
,	98, BEAM , UNILOAD, LX, NO , NO, aDir[1], , , , 0, 3.724, 1, 3.724, 0, 0, 0, 0,	,	,	,	,
,	NO, 0, 0, NO,	,	,	,	,
,	99, BEAM , UNILOAD, LX, NO , NO, aDir[1], , , , 0, 3.724, 1, 3.724, 0, 0, 0, 0,	,	,	,	,
,	NO, 0, 0, NO,	,	,	,	,
,	100, BEAM , UNILOAD, LX, NO , NO, aDir[1], , , , 0, 3.724, 1, 3.724, 0, 0, 0, 0,	,	,	,	,
,	NO, 0, 0, NO,	,	,	,	,
,	101, BEAM , UNILOAD, LX, NO , NO, aDir[1], , , , 0, 3.724, 1, 3.724, 0, 0, 0, 0,	,	,	,	,
,	NO, 0, 0, NO,	,	,	,	,
,	102, BEAM , UNILOAD, LX, NO , NO, aDir[1], , , , 0, 3.724, 1, 3.724, 0, 0, 0, 0,	,	,	,	,
,	NO, 0, 0, NO,	,	,	,	,
,	103, BEAM , UNILOAD, LX, NO , NO, aDir[1], , , , 0, 3.724, 1, 3.724, 0, 0, 0, 0,	,	,	,	,
,	NO, 0, 0, NO,	,	,	,	,
,	104, BEAM , UNILOAD, LX, NO , NO, aDir[1], , , , 0, 3.724, 1, 3.724, 0, 0, 0, 0,	,	,	,	,
,	NO, 0, 0, NO,	,	,	,	,
,	105, BEAM , UNILOAD, LX, NO , NO, aDir[1], , , , 0, 3.724, 1, 3.724, 0, 0, 0, 0,	,	,	,	,
,	NO, 0, 0, NO,	,	,	,	,
,	106, BEAM , UNILOAD, LX, NO , NO, aDir[1], , , , 0, 3.724, 1, 3.724, 0, 0, 0, 0,	,	,	,	,
,	NO, 0, 0, NO,	,	,	,	,
,	107, BEAM , UNILOAD, LX, NO , NO, aDir[1], , , , 0, 3.724, 1, 3.724, 0, 0, 0, 0,	,	,	,	,
,	NO, 0, 0, NO,	,	,	,	,
,	108, BEAM , UNILOAD, LX, NO , NO, aDir[1], , , , 0, 3.724, 1, 3.724, 0, 0, 0, 0,	,	,	,	,
,	NO, 0, 0, NO,	,	,	,	,
,	109, BEAM , UNILOAD, LX, NO , NO, aDir[1], , , , 0, 3.724, 1, 3.724, 0, 0, 0, 0,	,	,	,	,
,	NO, 0, 0, NO,	,	,	,	,
,	110, BEAM , UNILOAD, LX, NO , NO, aDir[1], , , , 0, 3.724, 1, 3.724, 0, 0, 0, 0,	,	,	,	,
,	NO, 0, 0, NO,	,	,	,	,

MIDAS

PROJECT TITLE :

MIDAS	Company		Client	File Name	L2-CV01_REVISIONE_2
	Author				
		111, BEAM , UNILOAD, LX, NO , NO, aDir[1], , , , 0, 3.724, 1, 3.724, 0, 0, 0, 0, , NO, 0, 0, NO, 112, BEAM , UNILOAD, LX, NO , NO, aDir[1], , , , 0, 3.724, 1, 3.724, 0, 0, 0, 0, , NO, 0, 0, NO, 113, BEAM , UNILOAD, LX, NO , NO, aDir[1], , , , 0, 3.724, 1, 3.724, 0, 0, 0, 0, , NO, 0, 0, NO, 114, BEAM , UNILOAD, LX, NO , NO, aDir[1], , , , 0, 3.724, 1, 3.724, 0, 0, 0, 0, , NO, 0, 0, NO, 115, BEAM , UNILOAD, LX, NO , NO, aDir[1], , , , 0, 3.724, 1, 3.724, 0, 0, 0, 0, , NO, 0, 0, NO, 116, BEAM , UNILOAD, LX, NO , NO, aDir[1], , , , 0, 3.724, 1, 3.724, 0, 0, 0, 0, , NO, 0, 0, NO, 117, BEAM , UNILOAD, LX, NO , NO, aDir[1], , , , 0, 3.724, 1, 3.724, 0, 0, 0, 0, , NO, 0, 0, NO, 118, BEAM , UNILOAD, LX, NO , NO, aDir[1], , , , 0, 3.724, 1, 3.724, 0, 0, 0, 0, , NO, 0, 0, NO, 119, BEAM , UNILOAD, LX, NO , NO, aDir[1], , , , 0, 3.724, 1, 3.724, 0, 0, 0, 0, , NO, 0, 0, NO, 120, BEAM , UNILOAD, LX, NO , NO, aDir[1], , , , 0, 3.724, 1, 3.724, 0, 0, 0, 0, , NO, 0, 0, NO, 121, BEAM , UNILOAD, LX, NO , NO, aDir[1], , , , 0, 3.724, 1, 3.724, 0, 0, 0, 0, , NO, 0, 0, NO, 122, BEAM , UNILOAD, LX, NO , NO, aDir[1], , , , 0, 3.724, 1, 3.724, 0, 0, 0, 0, , NO, 0, 0, NO, 123, BEAM , UNILOAD, LX, NO , NO, aDir[1], , , , 0, 3.724, 1, 3.724, 0, 0, 0, 0, , NO, 0, 0, NO, 175, BEAM , UNILOAD, LX, NO , NO, aDir[1], , , , 0, 3.724, 1, 3.724, 0, 0, 0, 0, , NO, 0, 0, NO, 176, BEAM , UNILOAD, LX, NO , NO, aDir[1], , , , 0, 3.724, 1, 3.724, 0, 0, 0, 0, , NO, 0, 0, NO, 177, BEAM , UNILOAD, LX, NO , NO, aDir[1], , , , 0, 3.724, 1, 3.724, 0, 0, 0, 0, , NO, 0, 0, NO, 180, BEAM , UNILOAD, LX, NO , NO, aDir[1], , , , 0, 3.724, 1, 3.724, 0, 0, 0, 0, , NO, 0, 0, NO, 181, BEAM , UNILOAD, LX, NO , NO, aDir[1], , , , 0, 3.724, 1, 3.724, 0, 0, 0, 0, , NO, 0, 0, NO, 182, BEAM , UNILOAD, LX, NO , NO, aDir[1], , , , 0, 3.724, 1, 3.724, 0, 0, 0, 0, , NO, 0, 0, NO, 183, BEAM , UNILOAD, LX, NO , NO, aDir[1], , , , 0, 3.724, 1, 3.724, 0, 0, 0, 0, , NO, 0, 0, NO, 184, BEAM , UNILOAD, LX, NO , NO, aDir[1], , , , 0, 3.724, 1, 3.724, 0, 0, 0, 0, , NO, 0, 0, NO, 187, BEAM , UNILOAD, LX, NO , NO, aDir[1], , , , 0, 3.724, 1, 3.724, 0, 0, 0, 0, , NO, 0, 0, NO, 188, BEAM , UNILOAD, LX, NO , NO, aDir[1], , , , 0, 3.724, 1, 3.724, 0, 0, 0, 0, , NO, 0, 0, NO, 189, BEAM , UNILOAD, LX, NO , NO, aDir[1], , , , 0, 3.724, 1, 3.724, 0, 0, 0, 0, , NO, 0, 0, NO, 190, BEAM , UNILOAD, LX, NO , NO, aDir[1], , , , 0, 3.724, 1, 3.724, 0, 0, 0, 0, , NO, 0, 0, NO, 191, BEAM , UNILOAD, LX, NO , NO, aDir[1], , , , 0, 3.724, 1, 3.724, 0, 0, 0, 0, , NO, 0, 0, NO, 194, BEAM , UNILOAD, LX, NO , NO, aDir[1], , , , 0, 3.724, 1, 3.724, 0, 0, 0, 0, , NO, 0, 0, NO, 195, BEAM , UNILOAD, LX, NO , NO, aDir[1], , , , 0, 3.724, 1, 3.724, 0, 0, 0, 0, , NO, 0, 0, NO, 196, BEAM , UNILOAD, LX, NO , NO, aDir[1], , , , 0, 3.724, 1, 3.724, 0, 0, 0, 0, , NO, 0, 0, NO, 197, BEAM , UNILOAD, LX, NO , NO, aDir[1], , , , 0, 3.724, 1, 3.724, 0, 0, 0, 0, , NO, 0, 0, NO, 198, BEAM , UNILOAD, LX, NO , NO, aDir[1], , , , 0, 3.724, 1, 3.724, 0, 0, 0, 0, , NO, 0, 0, NO,			

MIDAS

PROJECT TITLE :

MIDAS	Company		Client	File Name	L2-CV01_REVISIONE_2
	Author				
,	201, BEAM , UNILOAD, LX, NO , NO, aDir[1], , , , 0, 3.724, 1, 3.724, 0, 0, 0, 0,	,	,	,	,
,	NO, 0, 0, NO,	,	,	,	,
,	202, BEAM , UNILOAD, LX, NO , NO, aDir[1], , , , 0, 3.724, 1, 3.724, 0, 0, 0, 0,	,	,	,	,
,	NO, 0, 0, NO,	,	,	,	,
,	203, BEAM , UNILOAD, LX, NO , NO, aDir[1], , , , 0, 3.724, 1, 3.724, 0, 0, 0, 0,	,	,	,	,
,	NO, 0, 0, NO,	,	,	,	,
,	204, BEAM , UNILOAD, LX, NO , NO, aDir[1], , , , 0, 3.724, 1, 3.724, 0, 0, 0, 0,	,	,	,	,
,	NO, 0, 0, NO,	,	,	,	,
,	205, BEAM , UNILOAD, LX, NO , NO, aDir[1], , , , 0, 3.724, 1, 3.724, 0, 0, 0, 0,	,	,	,	,
,	NO, 0, 0, NO,	,	,	,	,
,	208, BEAM , UNILOAD, LX, NO , NO, aDir[1], , , , 0, 3.724, 1, 3.724, 0, 0, 0, 0,	,	,	,	,
,	NO, 0, 0, NO,	,	,	,	,
,	209, BEAM , UNILOAD, LX, NO , NO, aDir[1], , , , 0, 3.724, 1, 3.724, 0, 0, 0, 0,	,	,	,	,
,	NO, 0, 0, NO,	,	,	,	,
,	210, BEAM , UNILOAD, LX, NO , NO, aDir[1], , , , 0, 3.724, 1, 3.724, 0, 0, 0, 0,	,	,	,	,
,	NO, 0, 0, NO,	,	,	,	,
,	211, BEAM , UNILOAD, LX, NO , NO, aDir[1], , , , 0, 3.724, 1, 3.724, 0, 0, 0, 0,	,	,	,	,
,	NO, 0, 0, NO,	,	,	,	,
,	212, BEAM , UNILOAD, LX, NO , NO, aDir[1], , , , 0, 3.724, 1, 3.724, 0, 0, 0, 0,	,	,	,	,
,	NO, 0, 0, NO,	,	,	,	,
,	215, BEAM , UNILOAD, LX, NO , NO, aDir[1], , , , 0, 3.724, 1, 3.724, 0, 0, 0, 0,	,	,	,	,
,	NO, 0, 0, NO,	,	,	,	,
,	216, BEAM , UNILOAD, LX, NO , NO, aDir[1], , , , 0, 3.724, 1, 3.724, 0, 0, 0, 0,	,	,	,	,
,	NO, 0, 0, NO,	,	,	,	,
,	217, BEAM , UNILOAD, LX, NO , NO, aDir[1], , , , 0, 3.724, 1, 3.724, 0, 0, 0, 0,	,	,	,	,
,	NO, 0, 0, NO,	,	,	,	,
,	218, BEAM , UNILOAD, LX, NO , NO, aDir[1], , , , 0, 3.724, 1, 3.724, 0, 0, 0, 0,	,	,	,	,
,	NO, 0, 0, NO,	,	,	,	,
,	219, BEAM , UNILOAD, LX, NO , NO, aDir[1], , , , 0, 3.724, 1, 3.724, 0, 0, 0, 0,	,	,	,	,
,	NO, 0, 0, NO,	,	,	,	,
,	222, BEAM , UNILOAD, LX, NO , NO, aDir[1], , , , 0, 3.724, 1, 3.724, 0, 0, 0, 0,	,	,	,	,
,	NO, 0, 0, NO,	,	,	,	,
,	223, BEAM , UNILOAD, LX, NO , NO, aDir[1], , , , 0, 3.724, 1, 3.724, 0, 0, 0, 0,	,	,	,	,
,	NO, 0, 0, NO,	,	,	,	,
,	224, BEAM , UNILOAD, LX, NO , NO, aDir[1], , , , 0, 3.724, 1, 3.724, 0, 0, 0, 0,	,	,	,	,
,	NO, 0, 0, NO,	,	,	,	,
,	225, BEAM , UNILOAD, LX, NO , NO, aDir[1], , , , 0, 3.724, 1, 3.724, 0, 0, 0, 0,	,	,	,	,
,	NO, 0, 0, NO,	,	,	,	,
,	228, BEAM , UNILOAD, LX, NO , NO, aDir[1], , , , 0, 3.724, 1, 3.724, 0, 0, 0, 0,	,	,	,	,
,	NO, 0, 0, NO,	,	,	,	,
,	229, BEAM , UNILOAD, LX, NO , NO, aDir[1], , , , 0, 3.724, 1, 3.724, 0, 0, 0, 0,	,	,	,	,
,	NO, 0, 0, NO,	,	,	,	,
,	230, BEAM , UNILOAD, LX, NO , NO, aDir[1], , , , 0, 3.724, 1, 3.724, 0, 0, 0, 0,	,	,	,	,
,	NO, 0, 0, NO,	,	,	,	,
,	231, BEAM , UNILOAD, LX, NO , NO, aDir[1], , , , 0, 3.724, 1, 3.724, 0, 0, 0, 0,	,	,	,	,
,	NO, 0, 0, NO,	,	,	,	,
,	232, BEAM , UNILOAD, LX, NO , NO, aDir[1], , , , 0, 3.724, 1, 3.724, 0, 0, 0, 0,	,	,	,	,
,	NO, 0, 0, NO,	,	,	,	,
,	233, BEAM , UNILOAD, LX, NO , NO, aDir[1], , , , 0, 3.724, 1, 3.724, 0, 0, 0, 0,	,	,	,	,
,	NO, 0, 0, NO,	,	,	,	,
,	236, BEAM , UNILOAD, LX, NO , NO, aDir[1], , , , 0, 3.724, 1, 3.724, 0, 0, 0, 0,	,	,	,	,
,	NO, 0, 0, NO,	,	,	,	,
,	237, BEAM , UNILOAD, LX, NO , NO, aDir[1], , , , 0, 3.724, 1, 3.724, 0, 0, 0, 0,	,	,	,	,
,	NO, 0, 0, NO,	,	,	,	,
,	238, BEAM , UNILOAD, LX, NO , NO, aDir[1], , , , 0, 3.724, 1, 3.724, 0, 0, 0, 0,	,	,	,	,
,	NO, 0, 0, NO,	,	,	,	,
,	239, BEAM , UNILOAD, LX, NO , NO, aDir[1], , , , 0, 3.724, 1, 3.724, 0, 0, 0, 0,	,	,	,	,
,	NO, 0, 0, NO,	,	,	,	,
,	241, BEAM , UNILOAD, LX, NO , NO, aDir[1], , , , 0, 3.724, 1, 3.724, 0, 0, 0, 0,	,	,	,	,
,	NO, 0, 0, NO,	,	,	,	,
,	243, BEAM , UNILOAD, LX, NO , NO, aDir[1], , , , 0, 3.724, 1, 3.724, 0, 0, 0, 0,	,	,	,	,
,	NO, 0, 0, NO,	,	,	,	,

MIDAS

PROJECT TITLE :

	Company		Client	
	Author		File Name	L2-CV01_REVISIONE_2

MIDAS

PROJECT TITLE :

	Company		Client	
	Author		File Name	L2-CV01_REVISIONE_2

```

326, BEAM , UNILOAD, LX, NO , NO, aDir[1], , , , 0, 3.724, 1, 3.724, 0, 0, 0, 0,
, NO, 0, 0, NO,
327, BEAM , UNILOAD, LX, NO , NO, aDir[1], , , , 0, 3.724, 1, 3.724, 0, 0, 0, 0,
, NO, 0, 0, NO,
328, BEAM , UNILOAD, LX, NO , NO, aDir[1], , , , 0, 3.724, 1, 3.724, 0, 0, 0, 0,
, NO, 0, 0, NO,
329, BEAM , UNILOAD, LX, NO , NO, aDir[1], , , , 0, 3.724, 1, 3.724, 0, 0, 0, 0,
, NO, 0, 0, NO,
330, BEAM , UNILOAD, LX, NO , NO, aDir[1], , , , 0, 3.724, 1, 3.724, 0, 0, 0, 0,
, NO, 0, 0, NO,
331, BEAM , UNILOAD, LX, NO , NO, aDir[1], , , , 0, 3.724, 1, 3.724, 0, 0, 0, 0,
, NO, 0, 0, NO,
332, BEAM , UNILOAD, LX, NO , NO, aDir[1], , , , 0, 3.724, 1, 3.724, 0, 0, 0, 0,
, NO, 0, 0, NO,
333, BEAM , UNILOAD, LX, NO , NO, aDir[1], , , , 0, 3.724, 1, 3.724, 0, 0, 0, 0,
, NO, 0, 0, NO,
334, BEAM , UNILOAD, LX, NO , NO, aDir[1], , , , 0, 3.724, 1, 3.724, 0, 0, 0, 0,
, NO, 0, 0, NO,
335, BEAM , UNILOAD, LX, NO , NO, aDir[1], , , , 0, 3.724, 1, 3.724, 0, 0, 0, 0,
, NO, 0, 0, NO,
336, BEAM , UNILOAD, LX, NO , NO, aDir[1], , , , 0, 3.724, 1, 3.724, 0, 0, 0, 0,
, NO, 0, 0, NO,
337, BEAM , UNILOAD, LX, NO , NO, aDir[1], , , , 0, 3.724, 1, 3.724, 0, 0, 0, 0,
, NO, 0, 0, NO,
338, BEAM , UNILOAD, LX, NO , NO, aDir[1], , , , 0, 3.724, 1, 3.724, 0, 0, 0, 0,
, NO, 0, 0, NO,
339, BEAM , UNILOAD, LX, NO , NO, aDir[1], , , , 0, 3.724, 1, 3.724, 0, 0, 0, 0,
, NO, 0, 0, NO,
340, BEAM , UNILOAD, LX, NO , NO, aDir[1], , , , 0, 3.724, 1, 3.724, 0, 0, 0, 0,
, NO, 0, 0, NO,
341, BEAM , UNILOAD, LX, NO , NO, aDir[1], , , , 0, 3.724, 1, 3.724, 0, 0, 0, 0,
, NO, 0, 0, NO,
342, BEAM , UNILOAD, LX, NO , NO, aDir[1], , , , 0, 3.724, 1, 3.724, 0, 0, 0, 0,
, NO, 0, 0, NO,
343, BEAM , UNILOAD, LX, NO , NO, aDir[1], , , , 0, 3.724, 1, 3.724, 0, 0, 0, 0,
, NO, 0, 0, NO,
344, BEAM , UNILOAD, LX, NO , NO, aDir[1], , , , 0, 3.724, 1, 3.724, 0, 0, 0, 0,
, NO, 0, 0, NO,
345, BEAM , UNILOAD, LX, NO , NO, aDir[1], , , , 0, 3.724, 1, 3.724, 0, 0, 0, 0,
, NO, 0, 0, NO,
;
```

; End of data for load case [FRENATURA] -----

```

*STAGE ; Define Construction Stage
; NAME=NAME, DURATION, bSAVESTAGE, bSAVESTEP, bINCRESTEP, INCRESTEP ; line 1
; STEP=DAY1, DAY2, ... ; line 2
; AELEM=GROUP1, AGE1, GROUP2, AGE2, ... ; line 3
; DELEM=GROUP1, REDIST1, GROUP2, REDIST2, ... ; line 4
; ABNDR=BGROUP1, POS1, BGROUP2, POS2, ... ; line 5
; DBNDR=BGROUP1, BGROUP2, ... ; line 6
; ALOAD=LGROUP1, DAY1, LGROUP2, DAY2, ... ; line 7
; DLOAD=LGROUP1, DAY1, LGROUP2, DAY2, ... ; line 8
NAME=FASE 1, 2, YES, NO, NO, 5
AELEM=FASE 1, 0
ABNDR=FASE 1, DEFORMED
ALOAD=FASE 1, FIRST
NAME=FASE 2, 28, YES, NO, NO, 5
AELEM=FASE 2, 0
ALOAD=FASE 2, FIRST
NAME=FASE 3, 10000, YES, NO, NO, 5
ALOAD=FASE 3, FIRST

```

MIDAS

PROJECT TITLE :

	Company		Client	L2-CV01_REVISIONE_2
	Author		File Name	

```

*SFUNCTION      ; Spectrum Function
; FUNC=NAME, iTYPE, iMETHOD, SCALE/MAX, GRAV, DRATIO, DESC, RMF      ; line 1
;   SPEC CODE, [CODE DATA]                                         ; line 2
;     PERIOD1, VALUE1, PERIOD2, VALUE2, ...                         ; from line 3
; [CODE _DATA] : NSC, SFI, SC, EQ, TG, DP, MaxEQ
;   ; CH2001
; [CODE _DATA] : NSC, SFI, SC, EQ, TG, DP, MaxEQ, nLForce           ; CH2010
; [CODE _DATA] : SFI, SC, EQ, TG, DP, MaxEQ                          ; CHSH2003
; [CODE _DATA] : DIV, SC, SFI, EQ, TG, G                            ; GB50111_2006
; [CODE _DATA] : BT, ZM, ST, SI, SC, TG, CI, CS, CD, EPA, SMAX, PERIOD ; JTGT B02-01-20
08
; [CODE _DATA] : isSPE, SParam, TB, TC, TD, AG, Q, IF, FPX, FPY       ; P100-1(2013)
  FUNC=SLV-H, 1, 0, 1, 9.806, 0.05, , 1.000000
USER
  0.000000,    0.487746362,    0.010000,    0.543622857
  0.010641,    0.547205658,    0.011324,    0.551018111
  0.012049,    0.555074745,    0.012822,    0.559391763
  0.013644,    0.56398537,    0.014519,    0.568873445
  0.015450,    0.574075547,    0.016441,    0.579610673
  0.017495,    0.585500614,    0.018617,    0.59176884
  0.019810,    0.598438258,    0.021080,    0.60553569
  0.022432,    0.613087958,    0.023870,    0.621124674
  0.025401,    0.629676572,    0.027029,    0.638776618
  0.028762,    0.648460573,    0.030607,    0.658765316
  0.032569,    0.66973052,    0.034657,    0.68139865
  0.036879,    0.693815525,    0.039244,    0.707028081
  0.041760,    0.721088283,    0.044438,    0.736049215
  0.047287,    0.751970105,    0.050319,    0.768911299
  0.053545,    0.786939292,    0.056979,    0.80612281
  0.060632,    0.826536171,    0.064519,    0.848258717
  0.068656,    0.871373706,    0.073058,    0.895971098
  0.077743,    0.922145883,    0.082727,    0.94999864
  0.088032,    0.979637209,    0.093676,    1.011176139
  0.099682,    1.044737238,    0.106074,    1.0804507
  0.112875,    1.118452305,    0.120112,    1.158890125
  0.127814,    1.201926202,    0.136009,    1.24771699
  0.144730,    1.296446881,    0.154009,    1.348294682
  0.163884,    1.403472721,    0.174392,    1.408697568
  0.185573,    1.408697568,    0.197472,    1.408697568
  0.210134,    1.408697568,    0.223607,    1.408697568
  0.237944,    1.408697568,    0.253200,    1.408697568
  0.269435,    1.408697568,    0.286711,    1.408697568
  0.305094,    1.408697568,    0.324656,    1.408697568
  0.345472,    1.408697568,    0.367623,    1.408697568
  0.391194,    1.408697568,    0.416277,    1.408697568
  0.442967,    1.408697568,    0.471369,    1.408697568
  0.501593,    1.388657081,    0.533754,    1.304984452
  0.567977,    1.226353658,    0.604394,    1.152461261
  0.643146,    1.083021074,    0.684384,    1.017762939
  0.728265,    0.956438482,    0.774959,    0.898809707
  0.824648,    0.844652108,    0.877523,    0.793757738
  0.933788,    0.745930202,    0.993660,    0.700984916
  1.057370,    0.658748282,    1.125170,    0.619053718
  1.197310,    0.58175466,    1.274080,    0.546700891
  1.355770,    0.513760204,    1.442700,    0.482803543
  1.535200,    0.453713309,    1.633640,    0.426373419
  1.738380,    0.400683781,    1.849840,    0.376541037
  1.968450,    0.353852357,    2.094660,    0.332531614
  2.228970,    0.312494413,    2.371880,    0.293666067
  2.523960,    0.275971359,    2.685800,    0.259341973
  2.858000,    0.24371612,    3.041250,    0.229031047
  3.236250,    0.215230798,    3.443750,    0.202262264

```

MIDAS

PROJECT TITLE :

	Company		Client	
	Author		File Name	L2-CV01_REVISIONE_2

3.664560,	0.184183915,	3.899520,	0.162657116
4.149550,	0.143645944,	4.415620,	0.126856285
4.698740,	0.112029538,	5.000000,	0.098936231
5.320590,	0.087372706,	5.661740,	0.077160588
6.024750,	0.068142382,	6.411040,	0.06017809
6.822120,	0.053144297,	7.259530,	0.046933005
7.724990,	0.041447613,	8.220300,	0.036603283
8.747380,	0.032325063,	9.308210,	0.028547168
9.905010,	0.025210737,	10.000000,	0.024734058
FUNC=SLV-V, 1, 0, 1, 9.806, 0.05, , 1.000000			
USER			
0.000000,	0.245499002,	0.010000,	0.273623505
0.010641,	0.275426848,	0.011324,	0.277345783
0.012049,	0.279387622,	0.012822,	0.281560521
0.013644,	0.283872636,	0.014519,	0.286332968
0.015450,	0.288951359,	0.016441,	0.291737372
0.017495,	0.294701976,	0.018617,	0.297856983
0.019810,	0.301213923,	0.021080,	0.304786298
0.022432,	0.308587605,	0.023870,	0.312632753
0.025401,	0.316937208,	0.027029,	0.321517564
0.028762,	0.326391822,	0.030607,	0.331578543
0.032569,	0.337097695,	0.034657,	0.342970654
0.036879,	0.349220481,	0.039244,	0.355870801
0.041760,	0.362947769,	0.044438,	0.370478105
0.047287,	0.378491619,	0.050319,	0.387018687
0.053545,	0.396092777,	0.056979,	0.405748481
0.060632,	0.416023206,	0.064519,	0.426956888
0.068656,	0.438591432,	0.073058,	0.450972119
0.077743,	0.464146761,	0.082727,	0.478165982
0.088032,	0.493084062,	0.093676,	0.508958656
0.099682,	0.525851077,	0.106074,	0.543826852
0.112875,	0.562954327,	0.120112,	0.583308029
0.127814,	0.604969521,	0.136009,	0.628017551
0.144730,	0.652544493,	0.154009,	0.678641656
0.163884,	0.706414603,	0.174392,	0.709044442
0.185573,	0.709044442,	0.197472,	0.709044442
0.210134,	0.709044442,	0.223607,	0.709044442
0.237944,	0.709044442,	0.253200,	0.709044442
0.269435,	0.709044442,	0.286711,	0.709044442
0.305094,	0.709044442,	0.324656,	0.709044442
0.345472,	0.709044442,	0.367623,	0.709044442
0.391194,	0.709044442,	0.416277,	0.709044442
0.442967,	0.709044442,	0.471369,	0.709044442
0.501593,	0.698957398,	0.533754,	0.656842174
0.567977,	0.617264674,	0.604394,	0.580072168
0.643146,	0.545120607,	0.684384,	0.512274013
0.728265,	0.48140737,	0.774959,	0.452400886
0.824648,	0.425141561,	0.877523,	0.399524728
0.933788,	0.375451535,	0.993660,	0.352829074
1.057370,	0.331569969,	1.125170,	0.311590371
1.197310,	0.292816512,	1.274080,	0.275172782
1.355770,	0.258592636,	1.442700,	0.243011117
1.535200,	0.228369032,	1.633640,	0.214607954
1.738380,	0.201677503,	1.849840,	0.189525655
1.968450,	0.178105686,	2.094660,	0.167374246
2.228970,	0.157288854,	2.371880,	0.14781192
2.523960,	0.138905584,	2.685800,	0.13053546
2.858000,	0.122670447,	3.041250,	0.11527896
3.236250,	0.108332835,	3.443750,	0.10180534
3.664560,	0.092705904,	3.899520,	0.081870749
4.149550,	0.072301792,	4.415620,	0.063850997
4.698740,	0.056388201,	5.000000,	0.049797903

MIDAS

PROJECT TITLE :

MIDAS	Company			Client	
	Author			File Name	L2-CV01_REVISIONE_2
		5.320590,	0.043977595,	5.661740,	0.038837496
		6.024750,	0.034298332,	6.411040,	0.030289639
		6.822120,	0.026749296,	7.259530,	0.023622946
		7.724990,	0.020861965,	8.220300,	0.018423652
		8.747380,	0.016270282,	9.308210,	0.014368741
		9.905010,	0.012689404,	10.000000,	0.012449476
		FUNC=SLD-H, 1, 0,	1, 9.806, 0.05,	, 1.000000	
	USER				
		0.000000,	0.133662448,	0.010000,	0.150771143
		0.010641,	0.151868152,	0.011324,	0.153035479
		0.012049,	0.15427757,	0.012822,	0.155599388
		0.013644,	0.157005894,	0.014519,	0.158502562
		0.015450,	0.160095382,	0.016441,	0.161790169
		0.017495,	0.163593597,	0.018617,	0.16551285
		0.019810,	0.167554944,	0.021080,	0.16972809
		0.022432,	0.172040502,	0.023870,	0.174501245
		0.025401,	0.177119731,	0.027029,	0.179906053
		0.028762,	0.182871161,	0.030607,	0.186026347
		0.032569,	0.189383757,	0.034657,	0.192956395
		0.036879,	0.196758289,	0.039244,	0.200803811
		0.041760,	0.205108872,	0.044438,	0.209689725
		0.047287,	0.214564506,	0.050319,	0.219751691
		0.053545,	0.22527164,	0.056979,	0.231145398
		0.060632,	0.237395717,	0.064519,	0.244046894
		0.068656,	0.251124419,	0.073058,	0.258655837
		0.077743,	0.266670235,	0.082727,	0.275198406
		0.088032,	0.284273371,	0.093676,	0.293930203
		0.099682,	0.304206199,	0.106074,	0.315141221
		0.112875,	0.326776845,	0.120112,	0.339158408
		0.127814,	0.349222131,	0.136009,	0.349222131
		0.144730,	0.349222131,	0.154009,	0.349222131
		0.163884,	0.349222131,	0.174392,	0.349222131
		0.185573,	0.349222131,	0.197472,	0.349222131
		0.210134,	0.349222131,	0.223607,	0.349222131
		0.237944,	0.349222131,	0.253200,	0.349222131
		0.269435,	0.349222131,	0.286711,	0.349222131
		0.305094,	0.349222131,	0.324656,	0.349222131
		0.345472,	0.349222131,	0.367623,	0.349222131
		0.391194,	0.337428277,	0.416277,	0.31709635
		0.442967,	0.297990408,	0.471369,	0.280035211
		0.501593,	0.263161402,	0.533754,	0.247304783
		0.567977,	0.232403631,	0.604394,	0.218400443
		0.643146,	0.205240983,	0.684384,	0.192874055
		0.728265,	0.18125259,	0.774959,	0.170331485
		0.824648,	0.160068195,	0.877523,	0.150423313
		0.933788,	0.14135962,	0.993660,	0.132842136
		1.057370,	0.124837963,	1.125170,	0.117315532
		1.197310,	0.110247068,	1.274080,	0.103604104
		1.355770,	0.097361586,	1.442700,	0.091495056
		1.535200,	0.085982229,	1.633640,	0.080801105
		1.738380,	0.075932717,	1.849840,	0.071357478
		1.968450,	0.067057795,	2.094660,	0.063017348
		2.228970,	0.056714205,	2.371880,	0.050085829
		2.523960,	0.044231876,	2.685800,	0.039061863
		2.858000,	0.034496564,	3.041250,	0.03046464
		3.236250,	0.026903957,	3.443750,	0.023759487
		3.664560,	0.02098247,	3.899520,	0.01853011
		4.149550,	0.016364332,	4.415620,	0.014451633
		4.698740,	0.01276255,	5.000000,	0.011270944
		5.320590,	0.009953612,	5.661740,	0.008790234
		6.024750,	0.007762869,	6.411040,	0.006855566
		6.822120,	0.006054267,	7.259530,	0.005346669

MIDAS

PROJECT TITLE :

MIDAS	Company			Client	
	Author			File Name	L2-CV01_REVISIONE_2
		7.724990,	0.004721766,	8.220300,	0.004169893
		8.747380,	0.003682513,	9.308210,	0.00325213
		9.905010,	0.00287204,	10.000000,	0.002817736
		FUNC=SLC-H, 1, 0,	1, 9.806, 0.05,	, 1.000000	
	USER				
		0.000000,	0.615325955,	0.010000,	0.687708286
		0.010641,	0.692349441,	0.011324,	0.697288087
		0.012049,	0.702543044,	0.012822,	0.708135303
		0.013644,	0.714085855,	0.014519,	0.720417861
		0.015450,	0.727156656,	0.016441,	0.73432685
		0.017495,	0.741956671,	0.018617,	0.750076521
		0.019810,	0.758716076,	0.021080,	0.76791008
		0.022432,	0.777693275,	0.023870,	0.788104026
		0.025401,	0.799182142,	0.027029,	0.810970328
		0.028762,	0.82351491,	0.030607,	0.836863659
		0.032569,	0.851067968,	0.034657,	0.866182846
		0.036879,	0.882267648,	0.039244,	0.899383174
		0.041760,	0.917596739,	0.044438,	0.936977108
		0.047287,	0.957601006,	0.050319,	0.979546605
		0.053545,	1.00290004,	0.056979,	1.027750342
		0.060632,	1.054193779,	0.064519,	1.082333133
		0.068656,	1.112276256,	0.073058,	1.144139682
		0.077743,	1.178046461,	0.082727,	1.214126881
		0.088032,	1.252520641,	0.093676,	1.293376124
		0.099682,	1.336851123,	0.106074,	1.383114289
		0.112875,	1.432341513,	0.120112,	1.484724605
		0.127814,	1.540473476,	0.136009,	1.599790796
		0.144730,	1.662915427,	0.154009,	1.730078992
		0.163884,	1.801556543,	0.174392,	1.877615896
		0.185573,	1.911192325,	0.197472,	1.911192325
		0.210134,	1.911192325,	0.223607,	1.911192325
		0.237944,	1.911192325,	0.253200,	1.911192325
		0.269435,	1.911192325,	0.286711,	1.911192325
		0.305094,	1.911192325,	0.324656,	1.911192325
		0.345472,	1.911192325,	0.367623,	1.911192325
		0.391194,	1.911192325,	0.416277,	1.911192325
		0.442967,	1.911192325,	0.471369,	1.911192325
		0.501593,	1.911192325,	0.533754,	1.911192325
		0.567977,	1.80726798,	0.604394,	1.698373322
		0.643146,	1.59603985,	0.684384,	1.499869438
		0.728265,	1.409496056,	0.774959,	1.324568971
		0.824648,	1.244757333,	0.877523,	1.169754691
		0.933788,	1.099271618,	0.993660,	1.033036094
		1.057370,	0.970792292,	1.125170,	0.912294716
		1.197310,	0.85732738,	1.274080,	0.80566891
		1.355770,	0.757124472,	1.442700,	0.711503878
		1.535200,	0.668633823,	1.633640,	0.628343237
		1.738380,	0.590484615,	1.849840,	0.554905638
		1.968450,	0.521469504,	2.094660,	0.49004929
		2.228970,	0.46052062,	2.371880,	0.432773431
		2.523960,	0.406696875,	2.685800,	0.382190277
		2.858000,	0.359162577,	3.041250,	0.337521297
		3.236250,	0.317183977,	3.443750,	0.298072347
		3.664560,	0.28011184,	3.899520,	0.263234102
		4.149550,	0.242112259,	4.415620,	0.213813636
		4.698740,	0.188823461,	5.000000,	0.166754965
		5.320590,	0.147264883,	5.661740,	0.13005257
		6.024750,	0.114852571,	6.411040,	0.101428922
		6.822120,	0.089573609,	7.259530,	0.079104607
		7.724990,	0.069859091,	8.220300,	0.061694074
		8.747380,	0.054483224,	9.308210,	0.048115659
		9.905010,	0.042492174,	10.000000,	0.041688741

MIDAS

PROJECT TITLE :

	Company		Client	
	Author		File Name	L2-CV01_REVISIONE_2

```

*SPLDCASE ; Spectrum Load Cases
; TYPE, bADDSSIGN, iSIGNTYPE
; NAME=NAME, DIR, ANGLE, SCALE, PMFT, bDAMP, bECC, INTERP, DESC, ; line 1
; COMTYPE, bADDSSIGN, iSIGNTYPE, bMODE ; line 2
; FUNC1, FUNC2, FUNC3, ... ; line 3
; bUSE1, dFACTOR1, bUSE2, dFACTOR2, ..., bUSEn, dFACTORn ; line 4 (bMODE
=YES)
; bCDR, [DR-DC] ; line 5 (bDAMP
=YES)
; [DR-DC] : iMDTYPE, DALL, iMODE1, DAMPING1, iMODE2, DAMPING2, ... ; iMDTYPE=1
; : iMDTYPE, iCOEF, bMASSP, MASSC, bSTIFFP, STIFFC ; iMDTYPE=2, iC
OEF=1
; : iMDTYPE, iCOEF, iCALC, bMASSP, FP1, DR1, bSTIFFP, FP2, DR2 ; iMDTYPE=2, iC
OEF=2
    NAME=EX, XY, 0, 1, 1, NO, NO, LOG, EX
        CQC, NO, 0, YES
        SLV-H
        YES, 1,YES, 1,YES, 1,YES, 1,YES, 1,YES, 1,YES, 1,YES, 1,YES, 1,YES, 1
    NAME=EY, XY, 90, 1, 1, NO, NO, LOG, EY
        CQC, NO, 0, YES
        SLV-H
        YES, 1,YES, 1,YES, 1,YES, 1,YES, 1,YES, 1,YES, 1,YES, 1,YES, 1,YES, 1
    NAME=EZ, Z, 0, 1, 1, NO, NO, LOG, EZ
        CQC, NO, 0, YES
        SLV-V
        YES, 1,YES, 1,YES, 1,YES, 1,YES, 1,YES, 1,YES, 1,YES, 1,YES, 1,YES, 1
    NAME=DX, XY, 0, 1, 1, NO, NO, LOG, DX
        CQC, NO, 0, YES
        SLD-H
        YES, 1,YES, 1,YES, 1,YES, 1,YES, 1,YES, 1,YES, 1,YES, 1,YES, 1,YES, 1
    NAME=CX, XY, 0, 1, 1, NO, NO, LOG, CX
        CQC, NO, 0, YES
        SLC-H
        YES, 1,YES, 1,YES, 1,YES, 1,YES, 1,YES, 1,YES, 1,YES, 1,YES, 1,YES, 1
    NAME=CY, XY, 90, 1, 1, NO, NO, LOG, CY
        CQC, NO, 0, YES
        SLC-H
        YES, 1,YES, 1,YES, 1,YES, 1,YES, 1,YES, 1,YES, 1,YES, 1,YES, 1,YES, 1

*MVLDCODE ; Moving Load Code
; CODE=CODE
    CODE=EUROCODE

*LINELANE ; Traffic Line Lanes
; NAME=NAME, LDIST, GROUP, SKEWS, SKEWE, MOVING, LW, WS, bLANEOPT, ALLOWWIDTH ; line
1
; iELEM1, ECC1, FACT1, bSPAN1, ECCVL... ; from
line 2
    NAME=LC01, CROSS, FASE 2, 0, 0, BOTH, 3, 2, NO, 3
        74, -1, 0, NO, 0, 75, -1, 0, NO, 0, 76, -1, 0, NO, 0
        77, -1, 0, NO, 0, 78, -1, 0, NO, 0, 79, -1, 0, NO, 0
        80, -1, 0, NO, 0, 81, -1, 0, NO, 0, 82, -1, 0, NO, 0
        83, -1, 0, NO, 0, 84, -1, 0, NO, 0, 85, -1, 0, NO, 0
        86, -1, 0, NO, 0, 87, -1, 0, NO, 0, 88, -1, 0, NO, 0
        89, -1, 0, NO, 0, 90, -1, 0, NO, 0, 91, -1, 0, NO, 0
        92, -1, 0, NO, 0, 93, -1, 0, NO, 0, 94, -1, 0, NO, 0
        95, -1, 0, NO, 0, 96, -1, 0, NO, 0, 97, -1, 0, NO, 0
        98, -1, 0, NO, 0, 99, -1, 0, NO, 0, 100, -1, 0, NO, 0
        101, -1, 0, NO, 0, 102, -1, 0, NO, 0, 103, -1, 0, NO, 0
        104, -1, 0, NO, 0, 105, -1, 0, NO, 0, 106, -1, 0, NO, 0
        107, -1, 0, NO, 0, 108, -1, 0, NO, 0, 109, -1, 0, NO, 0

```

MIDAS

PROJECT TITLE :

MIDAS	Company		Client	File Name	L2-CV01_REVISIONE_2
	Author				

110, -1, 0, NO, 0,	111, -1, 0, NO, 0,	112, -1, 0, NO, 0
113, -1, 0, NO, 0,	114, -1, 0, NO, 0,	115, -1, 0, NO, 0
116, -1, 0, NO, 0,	117, -1, 0, NO, 0,	118, -1, 0, NO, 0
119, -1, 0, NO, 0,	120, -1, 0, NO, 0,	121, -1, 0, NO, 0
122, -1, 0, NO, 0,	123, -1, 0, NO, 0	
NAME=LC02, CROSS, FASE 2, 0, 0, BOTH, 3, 2, NO, 3		
74, -4, 0, NO, 0,	75, -4, 0, NO, 0,	76, -4, 0, NO, 0
77, -4, 0, NO, 0,	78, -4, 0, NO, 0,	79, -4, 0, NO, 0
80, -4, 0, NO, 0,	81, -4, 0, NO, 0,	82, -4, 0, NO, 0
83, -4, 0, NO, 0,	84, -4, 0, NO, 0,	85, -4, 0, NO, 0
86, -4, 0, NO, 0,	87, -4, 0, NO, 0,	88, -4, 0, NO, 0
89, -4, 0, NO, 0,	90, -4, 0, NO, 0,	91, -4, 0, NO, 0
92, -4, 0, NO, 0,	93, -4, 0, NO, 0,	94, -4, 0, NO, 0
95, -4, 0, NO, 0,	96, -4, 0, NO, 0,	97, -4, 0, NO, 0
98, -4, 0, NO, 0,	99, -4, 0, NO, 0,	100, -4, 0, NO, 0
101, -4, 0, NO, 0,	102, -4, 0, NO, 0,	103, -4, 0, NO, 0
104, -4, 0, NO, 0,	105, -4, 0, NO, 0,	106, -4, 0, NO, 0
107, -4, 0, NO, 0,	108, -4, 0, NO, 0,	109, -4, 0, NO, 0
110, -4, 0, NO, 0,	111, -4, 0, NO, 0,	112, -4, 0, NO, 0
113, -4, 0, NO, 0,	114, -4, 0, NO, 0,	115, -4, 0, NO, 0
116, -4, 0, NO, 0,	117, -4, 0, NO, 0,	118, -4, 0, NO, 0
119, -4, 0, NO, 0,	120, -4, 0, NO, 0,	121, -4, 0, NO, 0
122, -4, 0, NO, 0,	123, -4, 0, NO, 0	
NAME=LC03, CROSS, FASE 2, 0, 0, BOTH, 3, 2, NO, 3		
74, -7, 0, NO, 0,	75, -7, 0, NO, 0,	76, -7, 0, NO, 0
77, -7, 0, NO, 0,	78, -7, 0, NO, 0,	79, -7, 0, NO, 0
80, -7, 0, NO, 0,	81, -7, 0, NO, 0,	82, -7, 0, NO, 0
83, -7, 0, NO, 0,	84, -7, 0, NO, 0,	85, -7, 0, NO, 0
86, -7, 0, NO, 0,	87, -7, 0, NO, 0,	88, -7, 0, NO, 0
89, -7, 0, NO, 0,	90, -7, 0, NO, 0,	91, -7, 0, NO, 0
92, -7, 0, NO, 0,	93, -7, 0, NO, 0,	94, -7, 0, NO, 0
95, -7, 0, NO, 0,	96, -7, 0, NO, 0,	97, -7, 0, NO, 0
98, -7, 0, NO, 0,	99, -7, 0, NO, 0,	100, -7, 0, NO, 0
101, -7, 0, NO, 0,	102, -7, 0, NO, 0,	103, -7, 0, NO, 0
104, -7, 0, NO, 0,	105, -7, 0, NO, 0,	106, -7, 0, NO, 0
107, -7, 0, NO, 0,	108, -7, 0, NO, 0,	109, -7, 0, NO, 0
110, -7, 0, NO, 0,	111, -7, 0, NO, 0,	112, -7, 0, NO, 0
113, -7, 0, NO, 0,	114, -7, 0, NO, 0,	115, -7, 0, NO, 0
116, -7, 0, NO, 0,	117, -7, 0, NO, 0,	118, -7, 0, NO, 0
119, -7, 0, NO, 0,	120, -7, 0, NO, 0,	121, -7, 0, NO, 0
122, -7, 0, NO, 0,	123, -7, 0, NO, 0	

```
*VEHICLE ; Vehicles
; if Moving Load Code is China
; NAME=NAME, 1, TYPE-NAME, CODE
; standard
; NAME=NAME, 2, LTYPE, [TRUCK/LANE] or [TRAIN/SUBWAY] or [CROWD]
; user: line 1
; LOAD1, DIST1, LOAD2, DIST2, ...
; user: from line 2
; [TRUCK/LANE] : 1, P, Qm, Qq
; truck(JTG)
; [TRUCK/LANE] : 2, P, Qm, Qq
; lane load1
; [TRUCK/LANE] : 3, Qk, Pk1, L1, Pk2, L2
; lane load2
; [TRUCK/LANE] : 4, dW, dD
; crawler type
; [TRUCK/LANE] : 5
; GC type load
; [TRAIN/SUBWAY] : iTYPE, W1, D1, W2, D2
; train-type1,3
```

MIDAS

PROJECT TITLE :

	Company		Client	
	Author		File Name	L2-CV01_REVISIONE_2

```
; [TRAIN/SUBWAY] : iTYPE, DD, FD, BD, MAINCOUNT
; train-type2
; [TRAIN/SUBWAY] : 4, P1, D1, P2, D2, P3, D3, P4, dD, Po, n, IFR
; subway
; [CROWD] : 1, dW1
; crowd-type1
; [CROWD] : 2, dW1, dL1, dW2, dL2, WIDTH
; crowd-type2
; if Moving Load Type is India
; NAME=NAME, 1, TYPE-NAME, CODE
; standard
; NAME=NAME, 2, bWTB, P, D, Pb, Db, dD1, dD2, NDIST
; user: line 1
; NAME=NAME, 2, bWTB, dD1, dD2, NDIST
; user: line 1
;     LOAD1, DIST1, LOAD2, DIST2, ...
; user: from line 2
; if Moving Load Code is CANADA
; NAME=NAME, 1, TYPE-NAME, DLA, CODE, [DYNA]
; standard
; NAME=NAME, 2, bTRAIN, W(W1), PL(D1), PLM(W2), PLV(D2), NDIST, [DYNA]
; user: line 1
;     LOAD1, DIST1, LOAD2, DIST2, ...
; user: from line 2
; [DYNA] : nDYNA, FACT1AXLE, FACT2AXLE, FACT3AXLE
; Dynamic Load Allowance
; if Moving Load Code is BS
; NAME=NAME, 1, TYPE-NAME, CODE, UNITNUM
; standard
; NAME=nLane, FACTOR1, FACTOR2, FACTOR3, FACTOR4, ADDDATA, AL, CA, LL
; HA, HA & HB, HA & HB(Auto)
; NAME=NAME, 2, iSTYPE, W1, W2, W3, L, Pa, Pb, D1, D2, d, UNITNUM
; user(BS 5400)
; NAME=NAME, 2, iSTYPE, [BD37/01-HA], [BS-DATA-LF]
; user(HA)
; NAME=NAME, 2, iSTYPE, [BS-DATA-HB]
; user(HB)
; NAME=NAME, 2, iSTYPE, [BD37/01-HA2], [BS-DATA-HB2], [BS-DATA-LF]
; user(HA&HB)
; NAME=NAME, 2, iSTYPE, [BD37/01-HA], [BD37/01-HB], [BS-DATA-LF]
; user(HA&HB(AUTO))
; NAME=NAME, 2, iSTYPE, W, L
; user(Pedestrian)
; NAME=NAME, 2, iSTYPE, V, AN, MINS, MAXS, P1, D1, P2, D2, ...
; user(Special Vehicle)
; [BS-DATA-HA] : W1, W2, W3, EXP, EXP2, L1, L2, Pa
; [BS-DATA-HA2] : W1, W2, W3, EXP, EXP2, L1, L2
; [BS-DATA-HB] : Pb, D1, D2, d, UNITNUM
; [BS-DATA-HB2] : Pb, D1, D2, d, dd, UNITNUM
; [BS-DATA-LF] : nLT, LF1, LF2, LF3, LF4
; if Moving Load Code is EUROCODE
; NAME=NAME, 1, iTYPE, TYPE-NAME, PSY1, PSY2, PHI, [AF7]
; standard (LM1, FLM1)
; NAME=NAME, 1, iTYPE, TYPE-NAME, bDF, bU, PHI, PSY, ADJ, IN
; standard (others)
; NAME=NAME, 2, 1, [AF7]
; user(Type 1)
;     [LOAD7], D, PHI, TPSY, UPSY
; user(Type 1): line 2
; NAME=NAME, 2, 2, ALP, TPSY, W, BET, LPSY, P1, D1, P2, D2, ...
; user(Type 2)
; NAME=NAME, 2, 3
```

MIDAS

PROJECT TITLE :

	Company		Client	L2-CV01_REVISIONE_2
	Author		File Name	

```

; user(Type 3)
;      [LOADCASE1]
; user(Type 3): line 2
;      [LOADCASE2]
; user(Type 3): line 3
;      [LOADCASE3]
; user(Type 3): line 4
; NAME=NAME, 2, 4, WS, V, AN, MINS, MAXS, DYF, UI, F, P1, D1, P2, D2, ...
; user(Type 4)
; NAME=NAME, 2, 5, INT, bPHI1, PHI1, bPHI2, PHI2
; user(Type 5)
;      [VEHICLE1]
; user(Type 5): line 2
;      [VEHICLE2]
; user(Type 5): line 3
;      [VEHICLE3]
; user(Type 5): line 4
; [AF7] : TF1, TF2, TF3, UF1, UF2, UF3, UF4
; adjustment factor
; [LOAD7] : TL1, TL2, TL3, UL1, UL2, UL3, UL4
; tandem/udl loads
; [LOADCASE] : bUSE, N, bDF, bUI, PHI, P1, L1, P2, L2, ...
; load case
; [VEHICLE] : bUSE, N, P1, L1, P2, L2, ...
; vehicle
; if Moving Load Code is RUSSIA
; NAME=NAME, 1, iTYPE, K, nDYNAFAC, dDYNAFAC, bFATI, nLOADFAC, dLOADFAC
; standard (SK)
; NAME=NAME, 1, iTYPE, K, nDYNAFAC, dDYNAFAC, bFATI, nLOADFAC, dLOADFAC
; standard (SK FATIGUE)
; NAME=NAME, 1, iTYPE, K, nDYNAFAC, dDYNAFAC, dDYNAFAC_UDL
;
;           bFATI, nLOADFAC, dLOADFAC, dLOADFAC_UDL, s1[3], s1_UDL[3]
; standard (AK)
; NAME=NAME, 1, iTYPE, K, nDYNAFAC, dDYNAFAC, nLOADFAC, dLOADFAC,
;
;           bTWOVEHI, TWOVEHI_FACT, b2NDREDUC, 2NDREDUC_FACT
; standard (N14)
; NAME=NAME, 1, iTYPE, K, nDYNAFAC, dDYNAFAC, nLOADFAC, dLOADFAC,
;
;           bTWOVEHI, TWOVEHI_FACT, b2NDREDUC, 2NDREDUC_FACT
; standard (N11)
; NAME=NAME, 1, iTYPE, nDYNAFAC, dDYNAFAC, dEMPTYCAR
;
;           bFATI, nLOADFAC, dLOADFAC,
; standard (SUBWAY TRAINS)
; NAME=NAME, 1, iTYPE, VARIABLE, nDYNAFAC, dDYNAFAC, dEMPTYCAR
;
;           bFATI, nLOADFAC, dLOADFAC,
; standard (TRAMCARS)
; NAME=NAME, 1, iTYPE, nDYNAFAC, dDYNAFAC, bFATI, nLOADFAC, dLOADFAC
; standard (NK-80)
; NAME=NAME, 1, iTYPE, W, D, nDYNAFAC, dDYNAFAC, bFATI, nLOADFAC, dLOADFAC
; standard (NG-60)
; NAME=NAME, 1, iTYPE, BRIDGETYPE, W, bFATI, nLOADFAC, dLOADFAC
; standard (UNIFORM LOAD)
; NAME=NAME, 1, iTYPE, BRIDGETYPE, W, bFATI, nLOADFAC, dLOADFAC
; standard (UNIFORM LOAD(W/O OTHER LOADS))
; NAME=NAME, 1, iTYPE, BRIDGETYPE, P
; standard (CONCENTRATED LOAD (W/O OTHER LOADS))
; NAME=NAME, 2, iTYPE, W, nDYNAFAC, dDYNAFAC, dDYNAFAC_UDL

```

MIDAS

PROJECT TITLE :

	Company		Client	
	Author		File Name	L2-CV01_REVISIONE_2

```
;                                bFATI, nLOADFAC, dLOADFAC, dLOADFAC_UDL, s1[3], s1_UDL[3]
; user (Type 1)
; NAME=NAME, 2, iTYPE, nDYNAFAC, dDYNAFAC, dEMPTYCAR

;                                bFATI, nLOADFAC, dLOADFAC,
; user (Type 2)
; NAME=NAME, 2, iTYPE, Variable, nDYNAFAC, dDYNAFAC, dEMPTYCAR

;                                bFATI, nLOADFAC, dLOADFAC,
; user (Type 3)
; NAME=NAME, 2, iTYPE, nDYNAFAC, dDYNAFAC, nLOADFAC, dLOADFAC

;                                bTWOVEHI, TWOVEHI_FACT, b2NDREDUC, 2NDREDUC_FACT
; user (Type 4)
; NAME=NAME, 2, iTYPE, nDYNAFAC, dDYNAFAC, nLOADFAC, dLOADFAC

;                                bTWOVEHI, TWOVEHI_FACT, b2NDREDUC, 2NDREDUC_FACT
; user (Type 5)
; NAME=NAME, 2, iTYPE, W, D, nDYNAFAC, dDYNAFAC, bFATI, nLOADFAC, dLOADFAC
; user (Type 6)
; NAME=NAME, 2, iTYPE, P, W, bFATI, nLOADFAC, dLOADFAC
; user (Type 7)
; if Moving Load Code is KSCE-LSD15
; NAME=NAME, 1, TYPE-NAME, nLANETYPE, dDYNAFAC, CODE, nLANELOAD, L, CONVERTDIST
; standard
; NAME=NAME, 2, 8, L1, W1, W2, EXP, dDYNAFAC, nLANELOAD, L, CONVERTDIST
; user: line 1 (Type 1)
; NAME=NAME, 2, 1, W1, W2, D1, D2, 0, 0, 0, NO
; user: line 1 (Type 2)
; NAME=NAME, 2, 6, LOADNUM, DIST, W, L, 0, 0, 0, NO
; user: line 1 (Type 3)
;     LOAD1, DIST1, (DIST2_1), LOAD2, DIST2, (DIST2_2), ...
; user: from line 2
; if Moving Load Code is South Africa
; NAME=NAME, 1, TYPE-NAME, CODE, bINCREL, dINCREL
; standard NA
; NAME=NAME, 1, TYPE-NAME, CODE, UNITNUM
; standard NB
; NAME=NAME, 1, TYPE-NAME, CODE, OPPOSITE
; standard NC
; NAME=NAME, 2, TYPE, W1, L, W2, W3, PA, bINCREL, dINCREL
; user NA
; NAME=NAME, 2, TYPE, PB, UNITNUM, DELTA, D1, D2
; user NB
; NAME=NAME, 2, TYPE, P, OPPOSITE, NUM1, NUM2, NUM3 [DIST1], [DIST2], [DIST3]
; user NC
; if Load Type is Permit Truck
; NAME=NAME, 3, AXLE-TYPE-NUM, IMP-FACTOR
; user(Permit Truck)
;     AXLE-TYPE-NAME1, bEDWL1, bSV1, P1, D1, P2, D2, ..., Pn, Dn
; user(from line 2)
;     ...
;     AXLE-TYPE-NAMEn, bEDWLn, bSVn, P1, D1, P2, D2, ..., Pn, Dn
;     AXLE-TYPE1, SPACING1, bVS1, AXLE-TYPE2, SPACING2, bVS2 ...
; line 2+AXLE-TYPE-NUM
; if Moving Load Code is not one of those specified above.
; NAME=NAME, 1, TYPE-NAME, DLA, CODE
; standard
; NAME=NAME, 2, bTRAIN, W(W1), PL(D1), PLM(W2), PLV(D2), NDIST
; user: line 1
;     LOAD1, DIST1, LOAD2, DIST2, ...
; user: from line 2
```

MIDAS

PROJECT TITLE :

MIDAS	Company		Client	File Name
	Author			

```
NAME=Q1A_q1a, 2, 1, 1, 0, 0, 1, 0, 0, 0  
300, 0, 0, 9, 0, 0, 0, 1.2, 1, 1, 1  
NAME=Q1B_q1b, 2, 1, 1, 0, 0, 1, 0, 0, 0  
200, 0, 0, 2.5, 0, 0, 0, 1.2, 1, 1, 1  
NAME=Q1C_q1c, 2, 1, 1, 0, 0, 1, 0, 0, 0  
100, 0, 0, 2.5, 0, 0, 0, 1.2, 1, 1, 1

*MVLD CASE (EURO) ; Moving Load Cases
; NAME=NAME, bOPTIM, iTYPE, DESC, VHL1, VHL2, bLEAD, SERIAL
; ; type 1, 3
; nType, SLN1, SLN2, SLN3, ...
; ; line 2 (nType=1)
; nType, SRA1, SRA2, SRA3, ...
; ; line 2/3 (nType=2)
; nType, FLN1, FLN2, FLN3, ...
; ; line 4 (nType=3)
; NAME=NAME, bOPTIM, iTYPE, DESC, iOPT, bLEAD, SERIAL
; ; type 2
; [SUB1]
; ; line 2
; ...
; ;
; [SUBn]
; ; line n+1
; [SUB] : VCLA, SCA, MIN, MAX, SLN1, SLN2, ...
; ; sub-loadcase
; NAME=NAME, bOPTIM, iTYPE, DESC, iOPT, bLEAD, SERIAL
; ; type 4
; 0, SLN1, SLN2, SLN3, ...
; ; line 2
; 1, SRA1, SRA2, SRA3, ...
; ; line 3
; 2, STradd1, STradd2, STradd3, ...
; ; line 4
; NAME=NAME, bOPTIM, iTYPE, DESC, iOPT, SF1, SF2, SF3, bPSI1, MULF1, MULF2, MULF3, SERIAL
; ; type 5
; [SUB1]
; ; line 2
; ...
; ;
; [SUBn]
; ; line n+1
; ////////////////////////////////;
; ////////////////////////////////;
; Moving Load Optimization
;
; NAME=NAME, bOPTIM, iTYPE, DESC, VHL1, VHL2, bLEAD, MINVEHL, LANEOP, LOADEDLANE, SERIAL
; ; type 1, 3
; nType, SRA1, SRA2, SRA3, ...
; ; line 2 (nType=2)
; nType, FLN1, FLN2, FLN3, ...
; ; line 3 (nType=3)
; NAME=NAME, bOPTIM, iTYPE, DESC, iOPT, bLEAD, MINVEHL, LANEOP, MIN, MAX, SERIAL
; ; type 2
; [ASSGNVEHL1]
; ; line 2
; ...
; ;
; [ASSGNVEHLn]
; ; line n+1
; [ASSGNVEHL] : VC, VCLA, SCA ...
; ; Assignment-Vehicle
```

MIDAS

PROJECT TITLE :

	Company		Client	
	Author		File Name	L2-CV01_REVISIONE_2

```

; NAME=NAME, bOPTIM, iTYPE, DESC, iOPT, bLEAD, MINVEHL, LANEOP, LOADEDLANE, SERIAL
;                                         ; type 4
;      1, SRA1, SRA2, SRA3, ...           ; line 3
; NAME=NAME, bOPTIM, iTYPE, DESC, iOPT, SF1, SF2, SF3, bPSI1, MULF1, MULF2, MULF3, MIN
VEHL, LANEOP, MIN, MAX, SERIAL ; type 5
;      [ASSGNVEHL1]                      ; line 2
;      ...
;      [ASSGNVEHLn]                     ; ...
;      NAME=LM01, NO, 1, , Q1A_q1a, , YES, 1
;          1, LC01
;      NAME=LM02, NO, 1, , Q1B_q1b, , YES, 2
;          1, LC02
;      NAME=LM03, NO, 1, , Q1C_q1c, , YES, 3
;          1, LC03

*CPOSECT4CS      ; Composite Section for Construction Stage
; SEC=SEC, ASTAGE, TYPE, bTAP                                //
line 1
;      [PART-INFO]-1                                         //
from line 2
;      ...
;      [PART-INFO]-n                                         //
;      [PART-INFO] : [COMMON], [SCALE], H, VS                //
TYPE=A,B,NORMAL
;      [COMMON], [SCALE], CY, CZ, [STIFF], H, VS             //
TYPE=USER
;      [COMMON], [SCALE], CYI, CZI, CYJ, CZJ, [STIFF]-I, [STIFF]-J, H, VS //
TYPE=USER, bTAP=YES
;      [COMMON]: PART, MTYPE, MAT, CSTAGE, AGE
;      [SCALE] : AREA, ASY, ASZ, IXX, IYY, IZZ, WAREA
;      [STIFF] : AREA, ASY, ASZ, IXX, IYY, CYP, CYM, CZP, CZM, QYB, QZB, \
;                  X1, X2, X3, X4, Y1, Y2, Y3, Y4
;      SEC=7, FASE 1, NORMAL, NO
;          1, ELEM, , , 0, 1, 1, 1, 1, 1, 1, 1, 0.0235754, 0
;          2, MATL, 2, FASE 3, 0, 1, 1, 1, 1, 1, 1, 0.227273, 0
;      SEC=9, FASE 1, NORMAL, NO
;          1, ELEM, , , 0, 1, 1, 1, 1, 1, 1, 0.0322938, 0
;          2, MATL, 2, FASE 3, 0, 1, 1, 1, 1, 1, 1, 0.227273, 0
;      SEC=8, FASE 1, NORMAL, NO
;          1, ELEM, , , 0, 1, 1, 1, 1, 1, 1, 0.0268557, 0
;          2, MATL, 2, FASE 3, 0, 1, 1, 1, 1, 1, 1, 0.227273, 0
;      SEC=3, FASE 1, NORMAL, NO
;          1, ELEM, , , 0, 1, 1, 1, 1, 1, 1, 0.0187086, 0
;          2, MATL, 2, FASE 3, 0, 1, 1, 1, 1, 1, 1, 0.234568, 0

*STAGE-COLOR      ; Diagram Color for Construction Stage
; STAGENAME, iR(COLOR), iG(COLOR), iB(COLOR)
FASE 1, 210, 210, 210
FASE 2, 0, 128, 128
FASE 3, 0, 192, 192

*LOADCOMB      ; Combinations
; NAME=NAME, KIND, ACTIVE, bES, iTYPE, DESC, iSERV-TYPE, nLCOMTYPE ; line 1
;      ANAL1, LCNAME1, FACT1, ...                                     ; from line 2
;      NAME=SLU1, GEN, ACTIVE, 0, 0, , 0, 0
;          ST, VENTO PONTE SCARICO, 1.5, ST, TERMICA UNIFORME +, 0.9
;          ST, FRENATURA, 1.0125, MV, LM01, 1.0125, MV, LM02, 1.0125
;          MV, LM03, 1.0125, CS, Summation, 1.35

```

MIDAS

PROJECT TITLE :

	Company		Client	
	Author		File Name	L2-CV01_REVISIONE_2

```

NAME=SLU2, GEN, ACTIVE, 0, 0, , 0, 0
    ST, VENTO PONTE SCARICO, 1.5, ST, TERMICA UNIFORME -, 0.9
    ST, FRENATURA, 1.0125, MV, LM01, 1.0125, MV, LM02, 1.0125
    MV, LM03, 1.0125, CS, Summation, 1.35
NAME=SLU3, GEN, ACTIVE, 0, 0, , 0, 0
    ST, VENTO PONTE SCARICO, 1.5, ST, TERMICA GRADIENTE +, 0.9
    ST, FRENATURA, 1.0125, MV, LM01, 1.0125, MV, LM02, 1.0125
    MV, LM03, 1.0125, CS, Summation, 1.35
NAME=SLU4, GEN, ACTIVE, 0, 0, , 0, 0
    ST, VENTO PONTE SCARICO, 1.5, ST, TERMICA GRADIENTE -, 0.9
    ST, FRENATURA, 1.0125, MV, LM01, 1.0125, MV, LM02, 1.0125
    MV, LM03, 1.0125, CS, Summation, 1.35
NAME=SLU5, GEN, ACTIVE, 0, 0, , 0, 0
    ST, VENTO PONTE CARICO, 1.5, ST, TERMICA UNIFORME +, 0.9
    ST, FRENATURA, 1.0125, MV, LM01, 1.0125, MV, LM02, 1.0125
    MV, LM03, 1.0125, CS, Summation, 1.35
NAME=SLU6, GEN, ACTIVE, 0, 0, , 0, 0
    ST, VENTO PONTE CARICO, 1.5, ST, TERMICA UNIFORME -, 0.9
    ST, FRENATURA, 1.0125, MV, LM01, 1.0125, MV, LM02, 1.0125
    MV, LM03, 1.0125, CS, Summation, 1.35
NAME=SLU7, GEN, ACTIVE, 0, 0, , 0, 0
    ST, VENTO PONTE CARICO, 1.5, ST, TERMICA GRADIENTE +, 0.9
    ST, FRENATURA, 1.0125, MV, LM01, 1.0125, MV, LM02, 1.0125
    MV, LM03, 1.0125, CS, Summation, 1.35
NAME=SLU8, GEN, ACTIVE, 0, 0, , 0, 0
    ST, VENTO PONTE CARICO, 1.5, ST, TERMICA GRADIENTE -, 0.9
    ST, FRENATURA, 1.0125, MV, LM01, 1.0125, MV, LM02, 1.0125
    MV, LM03, 1.0125, CS, Summation, 1.35
NAME=SLU9, GEN, ACTIVE, 0, 0, , 0, 0
    ST, VENTO PONTE SCARICO, 0.9, ST, TERMICA UNIFORME +, 0.9
    ST, FRENATURA, 1.35, MV, LM01, 1.35, CS, Summation, 1.35
NAME=SLU10, GEN, ACTIVE, 0, 0, , 0, 0
    ST, VENTO PONTE SCARICO, 0.9, ST, TERMICA UNIFORME -, 0.9
    ST, FRENATURA, 1.35, MV, LM01, 1.35, CS, Summation, 1.35
NAME=SLU11, GEN, ACTIVE, 0, 0, , 0, 0
    ST, VENTO PONTE SCARICO, 0.9, ST, TERMICA GRADIENTE +, 0.9
    ST, FRENATURA, 1.35, MV, LM01, 1.35, CS, Summation, 1.35
NAME=SLU12, GEN, ACTIVE, 0, 0, , 0, 0
    ST, VENTO PONTE SCARICO, 0.9, ST, TERMICA GRADIENTE -, 0.9
    ST, FRENATURA, 1.35, MV, LM01, 1.35, CS, Summation, 1.35
NAME=SLU13, GEN, ACTIVE, 0, 0, , 0, 0
    ST, VENTO PONTE CARICO, 0.9, ST, TERMICA UNIFORME +, 0.9
    ST, FRENATURA, 1.35, MV, LM01, 1.35, CS, Summation, 1.35
NAME=SLU14, GEN, ACTIVE, 0, 0, , 0, 0
    ST, VENTO PONTE CARICO, 0.9, ST, TERMICA UNIFORME -, 0.9
    ST, FRENATURA, 1.35, MV, LM01, 1.35, CS, Summation, 1.35
NAME=SLU15, GEN, ACTIVE, 0, 0, , 0, 0
    ST, VENTO PONTE CARICO, 0.9, ST, TERMICA GRADIENTE +, 0.9
    ST, FRENATURA, 1.35, MV, LM01, 1.35, CS, Summation, 1.35
NAME=SLU16, GEN, ACTIVE, 0, 0, , 0, 0
    ST, VENTO PONTE CARICO, 0.9, ST, TERMICA GRADIENTE -, 0.9
    ST, FRENATURA, 1.35, MV, LM01, 1.35, CS, Summation, 1.35
NAME=SLU17, GEN, ACTIVE, 0, 0, , 0, 0
    ST, VENTO PONTE SCARICO, 0.9, ST, TERMICA UNIFORME +, 0.9
    ST, FRENATURA, 1.35, MV, LM01, 1.35, MV, LM02, 1.35, MV, LM03, 1.35
    CS, Summation, 1.35
NAME=SLU18, GEN, ACTIVE, 0, 0, , 0, 0
    ST, VENTO PONTE SCARICO, 0.9, ST, TERMICA UNIFORME -, 0.9
    ST, FRENATURA, 1.35, MV, LM01, 1.35, MV, LM02, 1.35, MV, LM03, 1.35
    CS, Summation, 1.35
NAME=SLU19, GEN, ACTIVE, 0, 0, , 0, 0
    ST, VENTO PONTE SCARICO, 0.9, ST, TERMICA GRADIENTE +, 0.9

```

MIDAS

PROJECT TITLE :

	Company		Client	
	Author		File Name	L2-CV01_REVISIONE_2

```

ST, FRENATURA, 1.35, MV, LM01, 1.35, MV, LM02, 1.35, MV, LM03, 1.35
CS, Summation, 1.35
NAME=SLU20, GEN, ACTIVE, 0, 0, , 0, 0
    ST, VENTO PONTE SCARICO, 0.9, ST, TERMICA GRADIENTE -, 0.9
    ST, FRENATURA, 1.35, MV, LM01, 1.35, MV, LM02, 1.35, MV, LM03, 1.35
    CS, Summation, 1.35
NAME=SLU21, GEN, ACTIVE, 0, 0, , 0, 0
    ST, VENTO PONTE CARICO, 0.9, ST, TERMICA UNIFORME +, 0.9
    ST, FRENATURA, 1.35, MV, LM01, 1.35, MV, LM02, 1.35, MV, LM03, 1.35
    CS, Summation, 1.35
NAME=SLU22, GEN, ACTIVE, 0, 0, , 0, 0
    ST, VENTO PONTE CARICO, 0.9, ST, TERMICA UNIFORME -, 0.9
    ST, FRENATURA, 1.35, MV, LM01, 1.35, MV, LM02, 1.35, MV, LM03, 1.35
    CS, Summation, 1.35
NAME=SLU23, GEN, ACTIVE, 0, 0, , 0, 0
    ST, VENTO PONTE CARICO, 0.9, ST, TERMICA GRADIENTE +, 0.9
    ST, FRENATURA, 1.35, MV, LM01, 1.35, MV, LM02, 1.35, MV, LM03, 1.35
    CS, Summation, 1.35
NAME=SLU24, GEN, ACTIVE, 0, 0, , 0, 0
    ST, VENTO PONTE CARICO, 0.9, ST, TERMICA GRADIENTE -, 0.9
    ST, FRENATURA, 1.35, MV, LM01, 1.35, MV, LM02, 1.35, MV, LM03, 1.35
    CS, Summation, 1.35
NAME=SLV1, GEN, ACTIVE, 0, 0, , 0, 0
    ST, TERMICA UNIFORME +, 0.5, RS, EX, 1, RS, EY, 0.3, CS, Summation, 1
NAME=SLV2, GEN, ACTIVE, 0, 0, , 0, 0
    ST, TERMICA UNIFORME +, 0.5, RS, EX, -1, RS, EY, 0.3, CS, Summation, 1
NAME=SLV3, GEN, ACTIVE, 0, 0, , 0, 0
    ST, TERMICA UNIFORME +, 0.5, RS, EX, 1, RS, EY, -0.3, CS, Summation, 1
NAME=SLV4, GEN, ACTIVE, 0, 0, , 0, 0
    ST, TERMICA UNIFORME +, 0.5, RS, EX, -1, RS, EY, -0.3, CS, Summation, 1
NAME=SLV5, GEN, ACTIVE, 0, 0, , 0, 0
    ST, TERMICA UNIFORME +, 0.5, RS, EX, 0.3, RS, EY, 1, CS, Summation, 1
NAME=SLV6, GEN, ACTIVE, 0, 0, , 0, 0
    ST, TERMICA UNIFORME +, 0.5, RS, EX, 0.3, RS, EY, -1, CS, Summation, 1
NAME=SLV7, GEN, ACTIVE, 0, 0, , 0, 0
    ST, TERMICA UNIFORME +, 0.5, RS, EX, -0.3, RS, EY, 1, CS, Summation, 1
NAME=SLV8, GEN, ACTIVE, 0, 0, , 0, 0
    ST, TERMICA UNIFORME +, 0.5, RS, EX, -0.3, RS, EY, -1, CS, Summation, 1
NAME=SLV9, GEN, ACTIVE, 0, 0, , 0, 0
    ST, TERMICA UNIFORME -, 0.5, RS, EX, 1, RS, EY, 0.3, CS, Summation, 1
NAME=SLV10, GEN, ACTIVE, 0, 0, , 0, 0
    ST, TERMICA UNIFORME -, 0.5, RS, EX, -1, RS, EY, 0.3, CS, Summation, 1
NAME=SLV11, GEN, ACTIVE, 0, 0, , 0, 0
    ST, TERMICA UNIFORME -, 0.5, RS, EX, 1, RS, EY, -0.3, CS, Summation, 1
NAME=SLV12, GEN, ACTIVE, 0, 0, , 0, 0
    ST, TERMICA UNIFORME -, 0.5, RS, EX, -1, RS, EY, -0.3, CS, Summation, 1
NAME=SLV13, GEN, ACTIVE, 0, 0, , 0, 0
    ST, TERMICA UNIFORME -, 0.5, RS, EX, 0.3, RS, EY, 1, CS, Summation, 1
NAME=SLV14, GEN, ACTIVE, 0, 0, , 0, 0
    ST, TERMICA UNIFORME -, 0.5, RS, EX, 0.3, RS, EY, -1, CS, Summation, 1
NAME=SLV15, GEN, ACTIVE, 0, 0, , 0, 0
    ST, TERMICA UNIFORME -, 0.5, RS, EX, -0.3, RS, EY, 1, CS, Summation, 1
NAME=SLV16, GEN, ACTIVE, 0, 0, , 0, 0
    ST, TERMICA UNIFORME -, 0.5, RS, EX, -0.3, RS, EY, -1, CS, Summation, 1
NAME=SLV17, GEN, ACTIVE, 0, 0, , 0, 0
    ST, TERMICA GRADIENTE +, 0.5, RS, EX, 1, RS, EY, 0.3, CS, Summation, 1
NAME=SLV18, GEN, ACTIVE, 0, 0, , 0, 0
    ST, TERMICA GRADIENTE +, 0.5, RS, EX, -1, RS, EY, 0.3, CS, Summation, 1
NAME=SLV19, GEN, ACTIVE, 0, 0, , 0, 0
    ST, TERMICA GRADIENTE +, 0.5, RS, EX, 1, RS, EY, -0.3, CS, Summation, 1
NAME=SLV20, GEN, ACTIVE, 0, 0, , 0, 0
    ST, TERMICA GRADIENTE +, 0.5, RS, EX, -1, RS, EY, -0.3

```

MIDAS

PROJECT TITLE :

	Company		Client	L2-CV01_REVISIONE_2
	Author		File Name	

```

CS, Summation, 1
NAME=SLV21, GEN, ACTIVE, 0, 0, , 0, 0
    ST, TERMICA GRADIENTE +, 0.5, RS, EX, 0.3, RS, EY, 1, CS, Summation, 1
NAME=SLV22, GEN, ACTIVE, 0, 0, , 0, 0
    ST, TERMICA GRADIENTE +, 0.5, RS, EX, 0.3, RS, EY, -1, CS, Summation, 1
NAME=SLV23, GEN, ACTIVE, 0, 0, , 0, 0
    ST, TERMICA GRADIENTE +, 0.5, RS, EX, -0.3, RS, EY, 1, CS, Summation, 1
NAME=SLV24, GEN, ACTIVE, 0, 0, , 0, 0
    ST, TERMICA GRADIENTE +, 0.5, RS, EX, -0.3, RS, EY, -1
    CS, Summation, 1
NAME=SLV25, GEN, ACTIVE, 0, 0, , 0, 0
    ST, TERMICA GRADIENTE -, 0.5, RS, EX, 1, RS, EY, 0.3, MV, LM03, 0.75
    CS, Summation, 1
NAME=SLV26, GEN, ACTIVE, 0, 0, , 0, 0
    ST, TERMICA GRADIENTE -, 0.5, RS, EX, -1, RS, EY, 0.3, MV, LM03, 0.75
    CS, Summation, 1
NAME=SLV27, GEN, ACTIVE, 0, 0, , 0, 0
    ST, TERMICA GRADIENTE -, 0.5, RS, EX, 1, RS, EY, -0.3, MV, LM03, 0.75
    CS, Summation, 1
NAME=SLV28, GEN, ACTIVE, 0, 0, , 0, 0
    ST, TERMICA GRADIENTE -, 0.5, RS, EX, -1, RS, EY, -0.3, MV, LM03, 0.75
    CS, Summation, 1
NAME=SLV29, GEN, ACTIVE, 0, 0, , 0, 0
    ST, TERMICA GRADIENTE -, 0.5, RS, EX, 0.3, RS, EY, 1, MV, LM03, 0.75
    CS, Summation, 1
NAME=SLV30, GEN, ACTIVE, 0, 0, , 0, 0
    ST, TERMICA GRADIENTE -, 0.5, RS, EX, 0.3, RS, EY, -1, MV, LM03, 0.75
    CS, Summation, 1
NAME=SLV31, GEN, ACTIVE, 0, 0, , 0, 0
    ST, TERMICA GRADIENTE -, 0.5, RS, EX, -0.3, RS, EY, 1, MV, LM03, 0.75
    CS, Summation, 1
NAME=SLV32, GEN, ACTIVE, 0, 0, , 0, 0
    ST, TERMICA GRADIENTE -, 0.5, RS, EX, -0.3, RS, EY, -1, MV, LM03, 0.75
    CS, Summation, 1
NAME=SLV33, GEN, ACTIVE, 0, 0, , 0, 0
    ST, TERMICA UNIFORME +, 0.5, RS, EX, 0.3, RS, EY, 0.3, RS, EZ, 1
    CS, Summation, 1
NAME=SLV34, GEN, ACTIVE, 0, 0, , 0, 0
    ST, TERMICA UNIFORME +, 0.5, RS, EX, -0.3, RS, EY, 0.3, RS, EZ, 1
    CS, Summation, 1
NAME=SLV35, GEN, ACTIVE, 0, 0, , 0, 0
    ST, TERMICA UNIFORME +, 0.5, RS, EX, 0.3, RS, EY, -0.3, RS, EZ, 1
    CS, Summation, 1
NAME=SLV36, GEN, ACTIVE, 0, 0, , 0, 0
    ST, TERMICA UNIFORME +, 0.5, RS, EX, -0.3, RS, EY, -0.3, RS, EZ, 1
    CS, Summation, 1
NAME=SLV37, GEN, ACTIVE, 0, 0, , 0, 0
    ST, TERMICA UNIFORME -, 0.5, RS, EX, 0.3, RS, EY, 0.3, RS, EZ, 1
    CS, Summation, 1
NAME=SLV38, GEN, ACTIVE, 0, 0, , 0, 0
    ST, TERMICA UNIFORME -, 0.5, RS, EX, -0.3, RS, EY, 0.3, RS, EZ, 1
    CS, Summation, 1
NAME=SLV39, GEN, ACTIVE, 0, 0, , 0, 0
    ST, TERMICA UNIFORME -, 0.5, RS, EX, 0.3, RS, EY, -0.3, RS, EZ, 1
    CS, Summation, 1
NAME=SLV40, GEN, ACTIVE, 0, 0, , 0, 0
    ST, TERMICA UNIFORME -, 0.5, RS, EX, -0.3, RS, EY, -0.3, RS, EZ, 1
    CS, Summation, 1
NAME=SLV41, GEN, ACTIVE, 0, 0, , 0, 0
    ST, TERMICA GRADIENTE +, 0.5, RS, EX, 0.3, RS, EY, 0.3, RS, EZ, 1
    CS, Summation, 1
NAME=SLV42, GEN, ACTIVE, 0, 0, , 0, 0

```

MIDAS

PROJECT TITLE :

	Company		Client	
	Author		File Name	L2-CV01_REVISIONE_2

```

ST, TERMICA GRADIENTE +, 0.5, RS, EX, -0.3, RS, EY, 0.3, RS, EZ, 1
CS, Summation, 1
NAME=SLV43, GEN, ACTIVE, 0, 0, , 0, 0
ST, TERMICA GRADIENTE +, 0.5, RS, EX, 0.3, RS, EY, -0.3, RS, EZ, 1
CS, Summation, 1
NAME=SLV44, GEN, ACTIVE, 0, 0, , 0, 0
ST, TERMICA GRADIENTE +, 0.5, RS, EX, -0.3, RS, EY, -0.3, RS, EZ, 1
CS, Summation, 1
NAME=SLV45, GEN, ACTIVE, 0, 0, , 0, 0
ST, TERMICA UNIFORME +, 0.5, RS, EX, 0.3, RS, EY, 0.3, RS, EZ, -1
CS, Summation, 1
NAME=SLV46, GEN, ACTIVE, 0, 0, , 0, 0
ST, TERMICA UNIFORME +, 0.5, RS, EX, -0.3, RS, EY, 0.3, RS, EZ, -1
CS, Summation, 1
NAME=SLV47, GEN, ACTIVE, 0, 0, , 0, 0
ST, TERMICA UNIFORME +, 0.5, RS, EX, 0.3, RS, EY, -0.3, RS, EZ, -1
CS, Summation, 1
NAME=SLV48, GEN, ACTIVE, 0, 0, , 0, 0
ST, TERMICA UNIFORME +, 0.5, RS, EX, -0.3, RS, EY, -0.3, RS, EZ, -1
CS, Summation, 1
NAME=SLV49, GEN, ACTIVE, 0, 0, , 0, 0
ST, TERMICA UNIFORME -, 0.5, RS, EX, 0.3, RS, EY, 0.3, RS, EZ, -1
CS, Summation, 1
NAME=SLV50, GEN, ACTIVE, 0, 0, , 0, 0
ST, TERMICA UNIFORME -, 0.5, RS, EX, -0.3, RS, EY, 0.3, RS, EZ, -1
CS, Summation, 1
NAME=SLV51, GEN, ACTIVE, 0, 0, , 0, 0
ST, TERMICA UNIFORME -, 0.5, RS, EX, 0.3, RS, EY, -0.3, RS, EZ, -1
CS, Summation, 1
NAME=SLV52, GEN, ACTIVE, 0, 0, , 0, 0
ST, TERMICA UNIFORME -, 0.5, RS, EX, -0.3, RS, EY, -0.3, RS, EZ, -1
CS, Summation, 1
NAME=SLV53, GEN, ACTIVE, 0, 0, , 0, 0
ST, TERMICA GRADIENTE +, 0.5, RS, EX, 0.3, RS, EY, 0.3, RS, EZ, -1
CS, Summation, 1
NAME=SLV54, GEN, ACTIVE, 0, 0, , 0, 0
ST, TERMICA GRADIENTE +, 0.5, RS, EX, -0.3, RS, EY, 0.3, RS, EZ, -1
CS, Summation, 1
NAME=SLV55, GEN, ACTIVE, 0, 0, , 0, 0
ST, TERMICA GRADIENTE +, 0.5, RS, EX, 0.3, RS, EY, -0.3, RS, EZ, -1
CS, Summation, 1
NAME=SLV56, GEN, ACTIVE, 0, 0, , 0, 0
ST, TERMICA GRADIENTE +, 0.5, RS, EX, -0.3, RS, EY, -0.3, RS, EZ, -1
CS, Summation, 1
NAME=RARA_1, GEN, ACTIVE, 0, 0, , 0, 0
ST, VENTO PONTE SCARICO, 1, ST, TERMICA UNIFORME +, 0.6
ST, FRENATURA, 0.75, MV, LM01, 0.75, CS, Summation, 1
NAME=RARA_2, GEN, ACTIVE, 0, 0, , 0, 0
ST, VENTO PONTE SCARICO, 1, ST, TERMICA UNIFORME -, 0.6
ST, FRENATURA, 0.75, MV, LM01, 0.75, CS, Summation, 1
NAME=RARA_3, GEN, ACTIVE, 0, 0, , 0, 0
ST, VENTO PONTE SCARICO, 1, ST, TERMICA GRADIENTE +, 0.6
ST, FRENATURA, 0.75, MV, LM01, 0.75, CS, Summation, 1
NAME=RARA_4, GEN, ACTIVE, 0, 0, , 0, 0
ST, VENTO PONTE SCARICO, 1, ST, TERMICA GRADIENTE -, 0.6
ST, FRENATURA, 0.75, MV, LM01, 0.75, CS, Summation, 1
NAME=RARA_5, GEN, ACTIVE, 0, 0, , 0, 0
ST, VENTO PONTE CARICO, 1, ST, TERMICA UNIFORME +, 0.6
ST, FRENATURA, 0.75, MV, LM01, 0.75, CS, Summation, 1
NAME=RARA_6, GEN, ACTIVE, 0, 0, , 0, 0
ST, VENTO PONTE CARICO, 1, ST, TERMICA UNIFORME -, 0.6
ST, FRENATURA, 0.75, MV, LM01, 0.75, CS, Summation, 1

```

MIDAS

PROJECT TITLE :

	Company		Client	L2-CV01_REVISIONE_2
	Author		File Name	

```

NAME=RARA_7, GEN, ACTIVE, 0, 0, , 0, 0
    ST, VENTO PONTE CARICO, 1, ST, TERMICA GRADIENTE +, 0.6
    ST, FRENATURA, 0.75, MV, LM01, 0.75, CS, Summation, 1
NAME=RARA_8, GEN, ACTIVE, 0, 0, , 0, 0
    ST, VENTO PONTE CARICO, 1, ST, TERMICA GRADIENTE -, 0.6
    ST, FRENATURA, 0.75, MV, LM01, 0.75, CS, Summation, 1
NAME=RARA_9, GEN, ACTIVE, 0, 0, , 0, 0
    ST, VENTO PONTE SCARICO, 0.6, ST, TERMICA UNIFORME +, 0.6
    ST, FRENATURA, 1, MV, LM01, 1, CS, Summation, 1
NAME=RARA_10, GEN, ACTIVE, 0, 0, , 0, 0
    ST, VENTO PONTE SCARICO, 0.6, ST, TERMICA UNIFORME -, 0.6
    ST, FRENATURA, 1, MV, LM01, 1, CS, Summation, 1
NAME=RARA_11, GEN, ACTIVE, 0, 0, , 0, 0
    ST, VENTO PONTE SCARICO, 0.6, ST, TERMICA GRADIENTE +, 0.6
    ST, FRENATURA, 1, MV, LM01, 1, CS, Summation, 1
NAME=RARA_12, GEN, ACTIVE, 0, 0, , 0, 0
    ST, VENTO PONTE SCARICO, 0.6, ST, TERMICA GRADIENTE -, 0.6
    ST, FRENATURA, 1, MV, LM01, 1, CS, Summation, 1
NAME=RARA_13, GEN, ACTIVE, 0, 0, , 0, 0
    ST, VENTO PONTE CARICO, 0.6, ST, TERMICA UNIFORME +, 0.6
    ST, FRENATURA, 1, MV, LM01, 1, CS, Summation, 1
NAME=RARA_14, GEN, ACTIVE, 0, 0, , 0, 0
    ST, VENTO PONTE CARICO, 0.6, ST, TERMICA UNIFORME -, 0.6
    ST, FRENATURA, 1, MV, LM01, 1, CS, Summation, 1
NAME=RARA_15, GEN, ACTIVE, 0, 0, , 0, 0
    ST, VENTO PONTE CARICO, 0.6, ST, TERMICA GRADIENTE +, 0.6
    ST, FRENATURA, 1, MV, LM01, 1, CS, Summation, 1
NAME=RARA_16, GEN, ACTIVE, 0, 0, , 0, 0
    ST, VENTO PONTE CARICO, 0.6, ST, TERMICA GRADIENTE -, 0.6
    ST, FRENATURA, 1, MV, LM01, 1, CS, Summation, 1
NAME=REQ_1, GEN, ACTIVE, 0, 0, , 0, 0
    ST, VENTO PONTE SCARICO, 0.2, ST, TERMICA UNIFORME +, 0.5
    ST, FRENATURA, 0.75, MV, LM01, 0.75, CS, Summation, 1
NAME=REQ_2, GEN, ACTIVE, 0, 0, , 0, 0
    ST, VENTO PONTE SCARICO, 0.2, ST, TERMICA UNIFORME -, 0.5
    ST, FRENATURA, 0.75, MV, LM01, 0.75, CS, Summation, 1
NAME=REQ_3, GEN, ACTIVE, 0, 0, , 0, 0
    ST, VENTO PONTE SCARICO, 0.2, ST, TERMICA GRADIENTE +, 0.5
    ST, FRENATURA, 0.75, MV, LM01, 0.75, CS, Summation, 1
NAME=REQ_4, GEN, ACTIVE, 0, 0, , 0, 0
    ST, VENTO PONTE SCARICO, 0.2, ST, TERMICA GRADIENTE -, 0.5
    ST, FRENATURA, 0.75, MV, LM01, 0.75, CS, Summation, 1
NAME=REQ_5, GEN, ACTIVE, 0, 0, , 0, 0
    ST, TERMICA UNIFORME +, 0.5, ST, FRENATURA, 0.75, MV, LM01, 0.75
    CS, Summation, 1
NAME=REQ_6, GEN, ACTIVE, 0, 0, , 0, 0
    ST, TERMICA UNIFORME -, 0.5, ST, FRENATURA, 0.75, MV, LM01, 0.75
    CS, Summation, 1
NAME=REQ_7, GEN, ACTIVE, 0, 0, , 0, 0
    ST, TERMICA GRADIENTE +, 0.5, ST, FRENATURA, 0.75, MV, LM01, 0.75
    CS, Summation, 1
NAME=REQ_8, GEN, ACTIVE, 0, 0, , 0, 0
    ST, TERMICA GRADIENTE -, 0.5, ST, FRENATURA, 0.75, MV, LM01, 0.75
    CS, Summation, 1
NAME=REQ_9, GEN, ACTIVE, 0, 0, , 0, 0
    ST, VENTO PONTE SCARICO, 0.2, ST, TERMICA UNIFORME +, 0.5
    ST, FRENATURA, 0.75, MV, LM01, 0.75, MV, LM02, 0.75, CS, Summation, 1
NAME=REQ_10, GEN, ACTIVE, 0, 0, , 0, 0
    ST, VENTO PONTE SCARICO, 0.2, ST, TERMICA UNIFORME -, 0.5
    ST, FRENATURA, 0.75, MV, LM01, 0.75, MV, LM02, 0.75, CS, Summation, 1
NAME=REQ_11, GEN, ACTIVE, 0, 0, , 0, 0
    ST, VENTO PONTE SCARICO, 0.2, ST, TERMICA GRADIENTE +, 0.5

```

MIDAS

PROJECT TITLE :

	Company		Client	
	Author		File Name	L2-CV01_REVISIONE_2

```

ST, FRENATURA, 0.75, MV, LM01, 0.75, MV, LM02, 0.75, CS, Summation, 1
NAME=FREQ_12, GEN, ACTIVE, 0, 0, , 0, 0
    ST, VENTO PONTE SCARICO, 0.2, ST, TERMICA GRADIENTE -, 0.5
    ST, FRENATURA, 0.75, MV, LM01, 0.75, MV, LM02, 0.75, CS, Summation, 1
NAME=FREQ_13, GEN, ACTIVE, 0, 0, , 0, 0
    ST, TERMICA UNIFORME +, 0.5, ST, FRENATURA, 0.75, MV, LM01, 0.75
    MV, LM02, 0.75, CS, Summation, 1
NAME=FREQ_14, GEN, ACTIVE, 0, 0, , 0, 0
    ST, TERMICA UNIFORME -, 0.5, ST, FRENATURA, 0.75, MV, LM01, 0.75
    MV, LM02, 0.75, CS, Summation, 1
NAME=FREQ_15, GEN, ACTIVE, 0, 0, , 0, 0
    ST, TERMICA GRADIENTE +, 0.5, ST, FRENATURA, 0.75, MV, LM01, 0.75
    MV, LM02, 0.75, CS, Summation, 1
NAME=FREQ_16, GEN, ACTIVE, 0, 0, , 0, 0
    ST, TERMICA GRADIENTE -, 0.5, ST, FRENATURA, 0.75, MV, LM01, 0.75
    MV, LM02, 0.75, CS, Summation, 1
NAME=QP_1, GEN, ACTIVE, 0, 0, , 0, 0
    ST, TERMICA UNIFORME +, 0.5, CS, Summation, 1
NAME=QP_2, GEN, ACTIVE, 0, 0, , 0, 0
    ST, TERMICA UNIFORME -, 0.5, CS, Summation, 1
NAME=QP_3, GEN, ACTIVE, 0, 0, , 0, 0
    ST, TERMICA GRADIENTE +, 0.5, CS, Summation, 1
NAME=QP_4, GEN, ACTIVE, 0, 0, , 0, 0
    ST, TERMICA GRADIENTE -, 0.5, CS, Summation, 1
NAME=SLD1, GEN, ACTIVE, 0, 0, , 0, 0
    ST, TERMICA UNIFORME +, 0.5, RS, DX, 1, CS, Summation, 1
NAME=SLD2, GEN, ACTIVE, 0, 0, , 0, 0
    ST, TERMICA UNIFORME +, 0.5, RS, DX, -1, CS, Summation, 1
NAME=SLD3, GEN, ACTIVE, 0, 0, , 0, 0
    ST, TERMICA UNIFORME +, 0.5, RS, DX, 1, CS, Summation, 1
NAME=SLD4, GEN, ACTIVE, 0, 0, , 0, 0
    ST, TERMICA UNIFORME +, 0.5, RS, DX, -1, CS, Summation, 1
NAME=ENVESLU-SLV, GEN, ACTIVE, 0, 1, , 0, 0
    CB, SLU1, 1, CB, SLU2, 1, CB, SLU3, 1, CB, SLU4, 1, CB, SLU5, 1
    CB, SLU6, 1, CB, SLU7, 1, CB, SLU8, 1, CB, SLU9, 1, CB, SLU10, 1
    CB, SLU11, 1, CB, SLU12, 1, CB, SLU13, 1, CB, SLU14, 1, CB, SLU15, 1
    CB, SLU16, 1, CB, SLU17, 1, CB, SLU18, 1, CB, SLU19, 1, CB, SLU20, 1
    CB, SLU21, 1, CB, SLU22, 1, CB, SLU23, 1, CB, SLU24, 1, CB, SLV1, 1
    CB, SLV2, 1, CB, SLV3, 1, CB, SLV4, 1, CB, SLV5, 1, CB, SLV6, 1
    CB, SLV7, 1, CB, SLV8, 1, CB, SLV9, 1, CB, SLV10, 1, CB, SLV11, 1
    CB, SLV12, 1, CB, SLV13, 1, CB, SLV14, 1, CB, SLV15, 1, CB, SLV16, 1
    CB, SLV17, 1, CB, SLV18, 1, CB, SLV19, 1, CB, SLV20, 1, CB, SLV21, 1
    CB, SLV22, 1, CB, SLV23, 1, CB, SLV24, 1, CB, SLV25, 1, CB, SLV26, 1
    CB, SLV27, 1, CB, SLV28, 1, CB, SLV29, 1, CB, SLV30, 1, CB, SLV31, 1
    CB, SLV32, 1, CB, SLV33, 1, CB, SLV34, 1, CB, SLV35, 1, CB, SLV36, 1
    CB, SLV37, 1, CB, SLV38, 1, CB, SLV39, 1, CB, SLV40, 1, CB, SLV41, 1
    CB, SLV42, 1, CB, SLV43, 1, CB, SLV44, 1, CB, SLV45, 1, CB, SLV46, 1
    CB, SLV47, 1, CB, SLV48, 1, CB, SLV49, 1, CB, SLV50, 1, CB, SLV51, 1
    CB, SLV52, 1, CB, SLV53, 1, CB, SLV54, 1, CB, SLV55, 1, CB, SLV56, 1
NAME=ENVE-RARA, GEN, ACTIVE, 0, 1, , 0, 0
    CB, RARA_1, 1, CB, RARA_2, 1, CB, RARA_3, 1, CB, RARA_4, 1
    CB, RARA_5, 1, CB, RARA_6, 1, CB, RARA_7, 1, CB, RARA_8, 1
    CB, RARA_9, 1, CB, RARA_10, 1, CB, RARA_11, 1, CB, RARA_12, 1
    CB, RARA_13, 1, CB, RARA_14, 1, CB, RARA_15, 1, CB, RARA_16, 1
NAME=ENVE-FREQ, GEN, ACTIVE, 0, 1, , 0, 0
    CB, FREQ_1, 1, CB, FREQ_2, 1, CB, FREQ_3, 1, CB, FREQ_4, 1
    CB, FREQ_5, 1, CB, FREQ_6, 1, CB, FREQ_7, 1, CB, FREQ_8, 1
    CB, FREQ_9, 1, CB, FREQ_10, 1, CB, FREQ_11, 1, CB, FREQ_12, 1
    CB, FREQ_13, 1, CB, FREQ_14, 1, CB, FREQ_15, 1, CB, FREQ_16, 1
NAME=ENVE-QP, GEN, ACTIVE, 0, 1, , 0, 0
    CB, QP_1, 1, CB, QP_2, 1, CB, QP_3, 1, CB, QP_4, 1
NAME=ENVE-SLD, GEN, ACTIVE, 0, 1, , 0, 0

```

MIDAS

PROJECT TITLE :

	Company		Client	L2-CV01_REVISIONE_2
	Author		File Name	

```

CB, SLD1, 1, CB, SLD2, 1, CB, SLD3, 1, CB, SLD4, 1
NAME=LCB126, GEN, ACTIVE, 0, 0, , 0, 0
    ST, VENTO PONTE SCARICO, 1.5, ST, TERMICA UNIFORME +, 0.9
    ST, FRENATURA, 1.0125, MV, LM01, 1.0125, MV, LM02, 1.0125
    MV, LM03, 1.0125, CS, Summation, 1.35
NAME=SLC_X, GEN, ACTIVE, 0, 0, , 0, 0
    RS, CX, 1, RS, CY, 0.3
NAME=SLC_Y, GEN, ACTIVE, 0, 0, , 0, 0
    RS, CY, 1, RS, CX, 0.3
NAME=SLU1, STEEL, STRENGTH, 0, 0, , 0, 0
    ST, VENTO PONTE SCARICO, 1.5, ST, TERMICA UNIFORME +, 0.9
    ST, FRENATURA, 1.0125, MV, LM01, 1.0125, MV, LM02, 1.0125
    MV, LM03, 1.0125, CS, Summation, 1.35
NAME=SLU2, STEEL, STRENGTH, 0, 0, , 0, 0
    ST, VENTO PONTE SCARICO, 1.5, ST, TERMICA UNIFORME -, 0.9
    ST, FRENATURA, 1.0125, MV, LM01, 1.0125, MV, LM02, 1.0125
    MV, LM03, 1.0125, CS, Summation, 1.35
NAME=SLU3, STEEL, STRENGTH, 0, 0, , 0, 0
    ST, VENTO PONTE SCARICO, 1.5, ST, TERMICA GRADIENTE +, 0.9
    ST, FRENATURA, 1.0125, MV, LM01, 1.0125, MV, LM02, 1.0125
    MV, LM03, 1.0125, CS, Summation, 1.35
NAME=SLU4, STEEL, STRENGTH, 0, 0, , 0, 0
    ST, VENTO PONTE SCARICO, 1.5, ST, TERMICA GRADIENTE -, 0.9
    ST, FRENATURA, 1.0125, MV, LM01, 1.0125, MV, LM02, 1.0125
    MV, LM03, 1.0125, CS, Summation, 1.35
NAME=SLU5, STEEL, STRENGTH, 0, 0, , 0, 0
    ST, VENTO PONTE CARICO, 1.5, ST, TERMICA UNIFORME +, 0.9
    ST, FRENATURA, 1.0125, MV, LM01, 1.0125, MV, LM02, 1.0125
    MV, LM03, 1.0125, CS, Summation, 1.35
NAME=SLU6, STEEL, STRENGTH, 0, 0, , 0, 0
    ST, VENTO PONTE CARICO, 1.5, ST, TERMICA UNIFORME -, 0.9
    ST, FRENATURA, 1.0125, MV, LM01, 1.0125, MV, LM02, 1.0125
    MV, LM03, 1.0125, CS, Summation, 1.35
NAME=SLU7, STEEL, STRENGTH, 0, 0, , 0, 0
    ST, VENTO PONTE CARICO, 1.5, ST, TERMICA GRADIENTE +, 0.9
    ST, FRENATURA, 1.0125, MV, LM01, 1.0125, MV, LM02, 1.0125
    MV, LM03, 1.0125, CS, Summation, 1.35
NAME=SLU8, STEEL, STRENGTH, 0, 0, , 0, 0
    ST, VENTO PONTE CARICO, 1.5, ST, TERMICA GRADIENTE -, 0.9
    ST, FRENATURA, 1.0125, MV, LM01, 1.0125, MV, LM02, 1.0125
    MV, LM03, 1.0125, CS, Summation, 1.35
NAME=SLU9, STEEL, STRENGTH, 0, 0, , 0, 0
    ST, VENTO PONTE SCARICO, 0.9, ST, TERMICA UNIFORME +, 0.9
    ST, FRENATURA, 1.35, MV, LM01, 1.35, CS, Summation, 1.35
NAME=SLU10, STEEL, STRENGTH, 0, 0, , 0, 0
    ST, VENTO PONTE SCARICO, 0.9, ST, TERMICA UNIFORME -, 0.9
    ST, FRENATURA, 1.35, MV, LM01, 1.35, CS, Summation, 1.35
NAME=SLU11, STEEL, STRENGTH, 0, 0, , 0, 0
    ST, VENTO PONTE SCARICO, 0.9, ST, TERMICA GRADIENTE +, 0.9
    ST, FRENATURA, 1.35, MV, LM01, 1.35, CS, Summation, 1.35
NAME=SLU12, STEEL, STRENGTH, 0, 0, , 0, 0
    ST, VENTO PONTE SCARICO, 0.9, ST, TERMICA GRADIENTE -, 0.9
    ST, FRENATURA, 1.35, MV, LM01, 1.35, CS, Summation, 1.35
NAME=SLU13, STEEL, STRENGTH, 0, 0, , 0, 0
    ST, VENTO PONTE CARICO, 0.9, ST, TERMICA UNIFORME +, 0.9
    ST, FRENATURA, 1.35, MV, LM01, 1.35, CS, Summation, 1.35
NAME=SLU14, STEEL, STRENGTH, 0, 0, , 0, 0
    ST, VENTO PONTE CARICO, 0.9, ST, TERMICA UNIFORME -, 0.9
    ST, FRENATURA, 1.35, MV, LM01, 1.35, CS, Summation, 1.35
NAME=SLU15, STEEL, STRENGTH, 0, 0, , 0, 0
    ST, VENTO PONTE CARICO, 0.9, ST, TERMICA GRADIENTE +, 0.9
    ST, FRENATURA, 1.35, MV, LM01, 1.35, CS, Summation, 1.35

```

MIDAS

PROJECT TITLE :

	Company		Client	
	Author		File Name	L2-CV01_REVISIONE_2

```

NAME=SLU16, STEEL, STRENGTH, 0, 0, , 0, 0
    ST, VENTO PONTE CARICO, 0.9, ST, TERMICA GRADIENTE -, 0.9
    ST, FRENATURA, 1.35, MV, LM01, 1.35, CS, Summation, 1.35
NAME=SLU17, STEEL, STRENGTH, 0, 0, , 0, 0
    ST, VENTO PONTE SCARICO, 0.9, ST, TERMICA UNIFORME +, 0.9
    ST, FRENATURA, 1.35, MV, LM01, 1.35, MV, LM02, 1.35, MV, LM03, 1.35
    CS, Summation, 1.35
NAME=SLU18, STEEL, STRENGTH, 0, 0, , 0, 0
    ST, VENTO PONTE SCARICO, 0.9, ST, TERMICA UNIFORME -, 0.9
    ST, FRENATURA, 1.35, MV, LM01, 1.35, MV, LM02, 1.35, MV, LM03, 1.35
    CS, Summation, 1.35
NAME=SLU19, STEEL, STRENGTH, 0, 0, , 0, 0
    ST, VENTO PONTE SCARICO, 0.9, ST, TERMICA GRADIENTE +, 0.9
    ST, FRENATURA, 1.35, MV, LM01, 1.35, MV, LM02, 1.35, MV, LM03, 1.35
    CS, Summation, 1.35
NAME=SLU20, STEEL, STRENGTH, 0, 0, , 0, 0
    ST, VENTO PONTE SCARICO, 0.9, ST, TERMICA GRADIENTE -, 0.9
    ST, FRENATURA, 1.35, MV, LM01, 1.35, MV, LM02, 1.35, MV, LM03, 1.35
    CS, Summation, 1.35
NAME=SLU21, STEEL, STRENGTH, 0, 0, , 0, 0
    ST, VENTO PONTE CARICO, 0.9, ST, TERMICA UNIFORME +, 0.9
    ST, FRENATURA, 1.35, MV, LM01, 1.35, MV, LM02, 1.35, MV, LM03, 1.35
    CS, Summation, 1.35
NAME=SLU22, STEEL, STRENGTH, 0, 0, , 0, 0
    ST, VENTO PONTE CARICO, 0.9, ST, TERMICA UNIFORME -, 0.9
    ST, FRENATURA, 1.35, MV, LM01, 1.35, MV, LM02, 1.35, MV, LM03, 1.35
    CS, Summation, 1.35
NAME=SLU23, STEEL, STRENGTH, 0, 0, , 0, 0
    ST, VENTO PONTE CARICO, 0.9, ST, TERMICA GRADIENTE +, 0.9
    ST, FRENATURA, 1.35, MV, LM01, 1.35, MV, LM02, 1.35, MV, LM03, 1.35
    CS, Summation, 1.35
NAME=SLU24, STEEL, STRENGTH, 0, 0, , 0, 0
    ST, VENTO PONTE CARICO, 0.9, ST, TERMICA GRADIENTE -, 0.9
    ST, FRENATURA, 1.35, MV, LM01, 1.35, MV, LM02, 1.35, MV, LM03, 1.35
    CS, Summation, 1.35
NAME=SLV1, STEEL, STRENGTH, 0, 0, , 0, 0
    ST, TERMICA UNIFORME +, 0.5, RS, EX, 1, RS, EY, 0.3, CS, Summation, 1
NAME=SLV2, STEEL, STRENGTH, 0, 0, , 0, 0
    ST, TERMICA UNIFORME +, 0.5, RS, EX, -1, RS, EY, 0.3, CS, Summation, 1
NAME=SLV3, STEEL, STRENGTH, 0, 0, , 0, 0
    ST, TERMICA UNIFORME +, 0.5, RS, EX, 1, RS, EY, -0.3, CS, Summation, 1
NAME=SLV4, STEEL, STRENGTH, 0, 0, , 0, 0
    ST, TERMICA UNIFORME +, 0.5, RS, EX, -1, RS, EY, -0.3, CS, Summation, 1
NAME=SLV5, STEEL, STRENGTH, 0, 0, , 0, 0
    ST, TERMICA UNIFORME +, 0.5, RS, EX, 0.3, RS, EY, 1, CS, Summation, 1
NAME=SLV6, STEEL, STRENGTH, 0, 0, , 0, 0
    ST, TERMICA UNIFORME +, 0.5, RS, EX, 0.3, RS, EY, -1, CS, Summation, 1
NAME=SLV7, STEEL, STRENGTH, 0, 0, , 0, 0
    ST, TERMICA UNIFORME +, 0.5, RS, EX, -0.3, RS, EY, 1, CS, Summation, 1
NAME=SLV8, STEEL, STRENGTH, 0, 0, , 0, 0
    ST, TERMICA UNIFORME +, 0.5, RS, EX, -0.3, RS, EY, -1, CS, Summation, 1
NAME=SLV9, STEEL, STRENGTH, 0, 0, , 0, 0
    ST, TERMICA UNIFORME -, 0.5, RS, EX, 1, RS, EY, 0.3, CS, Summation, 1
NAME=SLV10, STEEL, STRENGTH, 0, 0, , 0, 0
    ST, TERMICA UNIFORME -, 0.5, RS, EX, -1, RS, EY, 0.3, CS, Summation, 1
NAME=SLV11, STEEL, STRENGTH, 0, 0, , 0, 0
    ST, TERMICA UNIFORME -, 0.5, RS, EX, 1, RS, EY, -0.3, CS, Summation, 1
NAME=SLV12, STEEL, STRENGTH, 0, 0, , 0, 0
    ST, TERMICA UNIFORME -, 0.5, RS, EX, -1, RS, EY, -0.3, CS, Summation, 1
NAME=SLV13, STEEL, STRENGTH, 0, 0, , 0, 0
    ST, TERMICA UNIFORME -, 0.5, RS, EX, 0.3, RS, EY, 1, CS, Summation, 1
NAME=SLV14, STEEL, STRENGTH, 0, 0, , 0, 0

```

MIDAS

PROJECT TITLE :

	Company		Client	
	Author		File Name	L2-CV01_REVISIONE_2

```

ST, TERMICA UNIFORME -, 0.5, RS, EX, 0.3, RS, EY, -1, CS, Summation, 1
NAME=SLV15, STEEL, STRENGTH, 0, 0, , 0, 0
ST, TERMICA UNIFORME -, 0.5, RS, EX, -0.3, RS, EY, 1, CS, Summation, 1
NAME=SLV16, STEEL, STRENGTH, 0, 0, , 0, 0
ST, TERMICA UNIFORME -, 0.5, RS, EX, -0.3, RS, EY, -1, CS, Summation, 1
NAME=SLV17, STEEL, STRENGTH, 0, 0, , 0, 0
ST, TERMICA GRADIENTE +, 0.5, RS, EX, 1, RS, EY, 0.3, CS, Summation, 1
NAME=SLV18, STEEL, STRENGTH, 0, 0, , 0, 0
ST, TERMICA GRADIENTE +, 0.5, RS, EX, -1, RS, EY, 0.3, CS, Summation, 1
NAME=SLV19, STEEL, STRENGTH, 0, 0, , 0, 0
ST, TERMICA GRADIENTE +, 0.5, RS, EX, 1, RS, EY, -0.3, CS, Summation, 1
NAME=SLV20, STEEL, STRENGTH, 0, 0, , 0, 0
ST, TERMICA GRADIENTE +, 0.5, RS, EX, -1, RS, EY, -0.3
CS, Summation, 1
NAME=SLV21, STEEL, STRENGTH, 0, 0, , 0, 0
ST, TERMICA GRADIENTE +, 0.5, RS, EX, 0.3, RS, EY, 1, CS, Summation, 1
NAME=SLV22, STEEL, STRENGTH, 0, 0, , 0, 0
ST, TERMICA GRADIENTE +, 0.5, RS, EX, 0.3, RS, EY, -1, CS, Summation, 1
NAME=SLV23, STEEL, STRENGTH, 0, 0, , 0, 0
ST, TERMICA GRADIENTE +, 0.5, RS, EX, -0.3, RS, EY, 1, CS, Summation, 1
NAME=SLV24, STEEL, STRENGTH, 0, 0, , 0, 0
ST, TERMICA GRADIENTE +, 0.5, RS, EX, -0.3, RS, EY, -1
CS, Summation, 1
NAME=SLV25, STEEL, STRENGTH, 0, 0, , 0, 0
ST, TERMICA GRADIENTE -, 0.5, RS, EX, 1, RS, EY, 0.3, MV, LM03, 0.75
CS, Summation, 1
NAME=SLV26, STEEL, STRENGTH, 0, 0, , 0, 0
ST, TERMICA GRADIENTE -, 0.5, RS, EX, -1, RS, EY, 0.3, MV, LM03, 0.75
CS, Summation, 1
NAME=SLV27, STEEL, STRENGTH, 0, 0, , 0, 0
ST, TERMICA GRADIENTE -, 0.5, RS, EX, 1, RS, EY, -0.3, MV, LM03, 0.75
CS, Summation, 1
NAME=SLV28, STEEL, STRENGTH, 0, 0, , 0, 0
ST, TERMICA GRADIENTE -, 0.5, RS, EX, -1, RS, EY, -0.3, MV, LM03, 0.75
CS, Summation, 1
NAME=SLV29, STEEL, STRENGTH, 0, 0, , 0, 0
ST, TERMICA GRADIENTE -, 0.5, RS, EX, 0.3, RS, EY, 1, MV, LM03, 0.75
CS, Summation, 1
NAME=SLV30, STEEL, STRENGTH, 0, 0, , 0, 0
ST, TERMICA GRADIENTE -, 0.5, RS, EX, 0.3, RS, EY, -1, MV, LM03, 0.75
CS, Summation, 1
NAME=SLV31, STEEL, STRENGTH, 0, 0, , 0, 0
ST, TERMICA GRADIENTE -, 0.5, RS, EX, -0.3, RS, EY, 1, MV, LM03, 0.75
CS, Summation, 1
NAME=SLV32, STEEL, STRENGTH, 0, 0, , 0, 0
ST, TERMICA GRADIENTE -, 0.5, RS, EX, -0.3, RS, EY, -1, MV, LM03, 0.75
CS, Summation, 1
NAME=SLV33, STEEL, STRENGTH, 0, 0, , 0, 0
ST, TERMICA UNIFORME +, 0.5, RS, EX, 0.3, RS, EY, 0.3, RS, EZ, 1
CS, Summation, 1
NAME=SLV34, STEEL, STRENGTH, 0, 0, , 0, 0
ST, TERMICA UNIFORME +, 0.5, RS, EX, -0.3, RS, EY, 0.3, RS, EZ, 1
CS, Summation, 1
NAME=SLV35, STEEL, STRENGTH, 0, 0, , 0, 0
ST, TERMICA UNIFORME +, 0.5, RS, EX, 0.3, RS, EY, -0.3, RS, EZ, 1
CS, Summation, 1
NAME=SLV36, STEEL, STRENGTH, 0, 0, , 0, 0
ST, TERMICA UNIFORME +, 0.5, RS, EX, -0.3, RS, EY, -0.3, RS, EZ, 1
CS, Summation, 1
NAME=SLV37, STEEL, STRENGTH, 0, 0, , 0, 0
ST, TERMICA UNIFORME -, 0.5, RS, EX, 0.3, RS, EY, 0.3, RS, EZ, 1
CS, Summation, 1

```

MIDAS

PROJECT TITLE :

	Company		Client	L2-CV01_REVISIONE_2
	Author		File Name	

```

NAME=SLV38, STEEL, STRENGTH, 0, 0, , 0, 0
ST, TERMICA UNIFORME -, 0.5, RS, EX, -0.3, RS, EY, 0.3, RS, EZ, 1
CS, Summation, 1
NAME=SLV39, STEEL, STRENGTH, 0, 0, , 0, 0
ST, TERMICA UNIFORME -, 0.5, RS, EX, 0.3, RS, EY, -0.3, RS, EZ, 1
CS, Summation, 1
NAME=SLV40, STEEL, STRENGTH, 0, 0, , 0, 0
ST, TERMICA UNIFORME -, 0.5, RS, EX, -0.3, RS, EY, -0.3, RS, EZ, 1
CS, Summation, 1
NAME=SLV41, STEEL, STRENGTH, 0, 0, , 0, 0
ST, TERMICA GRADIENTE +, 0.5, RS, EX, 0.3, RS, EY, 0.3, RS, EZ, 1
CS, Summation, 1
NAME=SLV42, STEEL, STRENGTH, 0, 0, , 0, 0
ST, TERMICA GRADIENTE +, 0.5, RS, EX, -0.3, RS, EY, 0.3, RS, EZ, 1
CS, Summation, 1
NAME=SLV43, STEEL, STRENGTH, 0, 0, , 0, 0
ST, TERMICA GRADIENTE +, 0.5, RS, EX, 0.3, RS, EY, -0.3, RS, EZ, 1
CS, Summation, 1
NAME=SLV44, STEEL, STRENGTH, 0, 0, , 0, 0
ST, TERMICA GRADIENTE +, 0.5, RS, EX, -0.3, RS, EY, -0.3, RS, EZ, 1
CS, Summation, 1
NAME=SLV45, STEEL, STRENGTH, 0, 0, , 0, 0
ST, TERMICA UNIFORME +, 0.5, RS, EX, 0.3, RS, EY, 0.3, RS, EZ, -1
CS, Summation, 1
NAME=SLV46, STEEL, STRENGTH, 0, 0, , 0, 0
ST, TERMICA UNIFORME +, 0.5, RS, EX, -0.3, RS, EY, 0.3, RS, EZ, -1
CS, Summation, 1
NAME=SLV47, STEEL, STRENGTH, 0, 0, , 0, 0
ST, TERMICA UNIFORME +, 0.5, RS, EX, 0.3, RS, EY, -0.3, RS, EZ, -1
CS, Summation, 1
NAME=SLV48, STEEL, STRENGTH, 0, 0, , 0, 0
ST, TERMICA UNIFORME +, 0.5, RS, EX, -0.3, RS, EY, -0.3, RS, EZ, -1
CS, Summation, 1
NAME=SLV49, STEEL, STRENGTH, 0, 0, , 0, 0
ST, TERMICA UNIFORME -, 0.5, RS, EX, 0.3, RS, EY, 0.3, RS, EZ, -1
CS, Summation, 1
NAME=SLV50, STEEL, STRENGTH, 0, 0, , 0, 0
ST, TERMICA UNIFORME -, 0.5, RS, EX, -0.3, RS, EY, 0.3, RS, EZ, -1
CS, Summation, 1
NAME=SLV51, STEEL, STRENGTH, 0, 0, , 0, 0
ST, TERMICA UNIFORME -, 0.5, RS, EX, 0.3, RS, EY, -0.3, RS, EZ, -1
CS, Summation, 1
NAME=SLV52, STEEL, STRENGTH, 0, 0, , 0, 0
ST, TERMICA UNIFORME -, 0.5, RS, EX, -0.3, RS, EY, -0.3, RS, EZ, -1
CS, Summation, 1
NAME=SLV53, STEEL, STRENGTH, 0, 0, , 0, 0
ST, TERMICA GRADIENTE +, 0.5, RS, EX, 0.3, RS, EY, 0.3, RS, EZ, -1
CS, Summation, 1
NAME=SLV54, STEEL, STRENGTH, 0, 0, , 0, 0
ST, TERMICA GRADIENTE +, 0.5, RS, EX, -0.3, RS, EY, 0.3, RS, EZ, -1
CS, Summation, 1
NAME=SLV55, STEEL, STRENGTH, 0, 0, , 0, 0
ST, TERMICA GRADIENTE +, 0.5, RS, EX, 0.3, RS, EY, -0.3, RS, EZ, -1
CS, Summation, 1
NAME=SLV56, STEEL, STRENGTH, 0, 0, , 0, 0
ST, TERMICA GRADIENTE +, 0.5, RS, EX, -0.3, RS, EY, -0.3, RS, EZ, -1
CS, Summation, 1
NAME=RARA_1, STEEL, SERVICE, 0, 0, , 0, 0
ST, VENTO PONTE SCARICO, 1, ST, TERMICA UNIFORME +, 0.6
ST, FRENATURA, 0.75, MV, LM01, 0.75, CS, Summation, 1
NAME=RARA_2, STEEL, SERVICE, 0, 0, , 0, 0
ST, VENTO PONTE SCARICO, 1, ST, TERMICA UNIFORME -, 0.6

```

MIDAS

PROJECT TITLE :

	Company		Client	
	Author		File Name	L2-CV01_REVISIONE_2

```

ST, FRENATURA, 0.75, MV, LM01, 0.75, CS, Summation, 1
NAME=RARA_3, STEEL, SERVICE, 0, 0, , 0, 0
    ST, VENTO PONTE SCARICO, 1, ST, TERMICA GRADIENTE +, 0.6
    ST, FRENATURA, 0.75, MV, LM01, 0.75, CS, Summation, 1
NAME=RARA_4, STEEL, SERVICE, 0, 0, , 0, 0
    ST, VENTO PONTE SCARICO, 1, ST, TERMICA GRADIENTE -, 0.6
    ST, FRENATURA, 0.75, MV, LM01, 0.75, CS, Summation, 1
NAME=RARA_5, STEEL, SERVICE, 0, 0, , 0, 0
    ST, VENTO PONTE CARICO, 1, ST, TERMICA UNIFORME +, 0.6
    ST, FRENATURA, 0.75, MV, LM01, 0.75, CS, Summation, 1
NAME=RARA_6, STEEL, SERVICE, 0, 0, , 0, 0
    ST, VENTO PONTE CARICO, 1, ST, TERMICA UNIFORME -, 0.6
    ST, FRENATURA, 0.75, MV, LM01, 0.75, CS, Summation, 1
NAME=RARA_7, STEEL, SERVICE, 0, 0, , 0, 0
    ST, VENTO PONTE CARICO, 1, ST, TERMICA GRADIENTE +, 0.6
    ST, FRENATURA, 0.75, MV, LM01, 0.75, CS, Summation, 1
NAME=RARA_8, STEEL, SERVICE, 0, 0, , 0, 0
    ST, VENTO PONTE CARICO, 1, ST, TERMICA GRADIENTE -, 0.6
    ST, FRENATURA, 0.75, MV, LM01, 0.75, CS, Summation, 1
NAME=RARA_9, STEEL, SERVICE, 0, 0, , 0, 0
    ST, VENTO PONTE SCARICO, 0.6, ST, TERMICA UNIFORME +, 0.6
    ST, FRENATURA, 1, MV, LM01, 1, CS, Summation, 1
NAME=RARA_10, STEEL, SERVICE, 0, 0, , 0, 0
    ST, VENTO PONTE SCARICO, 0.6, ST, TERMICA UNIFORME -, 0.6
    ST, FRENATURA, 1, MV, LM01, 1, CS, Summation, 1
NAME=RARA_11, STEEL, SERVICE, 0, 0, , 0, 0
    ST, VENTO PONTE SCARICO, 0.6, ST, TERMICA GRADIENTE +, 0.6
    ST, FRENATURA, 1, MV, LM01, 1, CS, Summation, 1
NAME=RARA_12, STEEL, SERVICE, 0, 0, , 0, 0
    ST, VENTO PONTE SCARICO, 0.6, ST, TERMICA GRADIENTE -, 0.6
    ST, FRENATURA, 1, MV, LM01, 1, CS, Summation, 1
NAME=RARA_13, STEEL, SERVICE, 0, 0, , 0, 0
    ST, VENTO PONTE CARICO, 0.6, ST, TERMICA UNIFORME +, 0.6
    ST, FRENATURA, 1, MV, LM01, 1, CS, Summation, 1
NAME=RARA_14, STEEL, SERVICE, 0, 0, , 0, 0
    ST, VENTO PONTE CARICO, 0.6, ST, TERMICA UNIFORME -, 0.6
    ST, FRENATURA, 1, MV, LM01, 1, CS, Summation, 1
NAME=RARA_15, STEEL, SERVICE, 0, 0, , 0, 0
    ST, VENTO PONTE CARICO, 0.6, ST, TERMICA GRADIENTE +, 0.6
    ST, FRENATURA, 1, MV, LM01, 1, CS, Summation, 1
NAME=RARA_16, STEEL, SERVICE, 0, 0, , 0, 0
    ST, VENTO PONTE CARICO, 0.6, ST, TERMICA GRADIENTE -, 0.6
    ST, FRENATURA, 1, MV, LM01, 1, CS, Summation, 1
NAME=FREQ_1, STEEL, SERVICE, 0, 0, , 0, 0
    ST, VENTO PONTE SCARICO, 0.2, ST, TERMICA UNIFORME +, 0.5
    ST, FRENATURA, 0.75, MV, LM01, 0.75, CS, Summation, 1
NAME=FREQ_2, STEEL, SERVICE, 0, 0, , 0, 0
    ST, VENTO PONTE SCARICO, 0.2, ST, TERMICA UNIFORME -, 0.5
    ST, FRENATURA, 0.75, MV, LM01, 0.75, CS, Summation, 1
NAME=FREQ_3, STEEL, SERVICE, 0, 0, , 0, 0
    ST, VENTO PONTE SCARICO, 0.2, ST, TERMICA GRADIENTE +, 0.5
    ST, FRENATURA, 0.75, MV, LM01, 0.75, CS, Summation, 1
NAME=FREQ_4, STEEL, SERVICE, 0, 0, , 0, 0
    ST, VENTO PONTE SCARICO, 0.2, ST, TERMICA GRADIENTE -, 0.5
    ST, FRENATURA, 0.75, MV, LM01, 0.75, CS, Summation, 1
NAME=FREQ_5, STEEL, SERVICE, 0, 0, , 0, 0
    ST, TERMICA UNIFORME +, 0.5, ST, FRENATURA, 0.75, MV, LM01, 0.75
    CS, Summation, 1
NAME=FREQ_6, STEEL, SERVICE, 0, 0, , 0, 0
    ST, TERMICA UNIFORME -, 0.5, ST, FRENATURA, 0.75, MV, LM01, 0.75
    CS, Summation, 1
NAME=FREQ_7, STEEL, SERVICE, 0, 0, , 0, 0

```

MIDAS

PROJECT TITLE :

	Company		Client	
	Author		File Name	L2-CV01_REVISIONE_2

```

ST, TERMICA GRADIENTE +, 0.5, ST, FRENATURA, 0.75, MV, LM01, 0.75
CS, Summation, 1
NAME=FREQ_8, STEEL, SERVICE, 0, 0, , 0, 0
ST, TERMICA GRADIENTE -, 0.5, ST, FRENATURA, 0.75, MV, LM01, 0.75
CS, Summation, 1
NAME=FREQ_9, STEEL, SERVICE, 0, 0, , 0, 0
ST, VENTO PONTE SCARICO, 0.2, ST, TERMICA UNIFORME +, 0.5
ST, FRENATURA, 0.75, MV, LM01, 0.75, MV, LM02, 0.75, CS, Summation, 1
NAME=FREQ_10, STEEL, SERVICE, 0, 0, , 0, 0
ST, VENTO PONTE SCARICO, 0.2, ST, TERMICA UNIFORME -, 0.5
ST, FRENATURA, 0.75, MV, LM01, 0.75, MV, LM02, 0.75, CS, Summation, 1
NAME=FREQ_11, STEEL, SERVICE, 0, 0, , 0, 0
ST, VENTO PONTE SCARICO, 0.2, ST, TERMICA GRADIENTE +, 0.5
ST, FRENATURA, 0.75, MV, LM01, 0.75, MV, LM02, 0.75, CS, Summation, 1
NAME=FREQ_12, STEEL, SERVICE, 0, 0, , 0, 0
ST, VENTO PONTE SCARICO, 0.2, ST, TERMICA GRADIENTE -, 0.5
ST, FRENATURA, 0.75, MV, LM01, 0.75, MV, LM02, 0.75, CS, Summation, 1
NAME=FREQ_13, STEEL, SERVICE, 0, 0, , 0, 0
ST, TERMICA UNIFORME +, 0.5, ST, FRENATURA, 0.75, MV, LM01, 0.75
MV, LM02, 0.75, CS, Summation, 1
NAME=FREQ_14, STEEL, SERVICE, 0, 0, , 0, 0
ST, TERMICA UNIFORME -, 0.5, ST, FRENATURA, 0.75, MV, LM01, 0.75
MV, LM02, 0.75, CS, Summation, 1
NAME=FREQ_15, STEEL, SERVICE, 0, 0, , 0, 0
ST, TERMICA GRADIENTE +, 0.5, ST, FRENATURA, 0.75, MV, LM01, 0.75
MV, LM02, 0.75, CS, Summation, 1
NAME=FREQ_16, STEEL, SERVICE, 0, 0, , 0, 0
ST, TERMICA GRADIENTE -, 0.5, ST, FRENATURA, 0.75, MV, LM01, 0.75
MV, LM02, 0.75, CS, Summation, 1
NAME=QP_1, STEEL, SERVICE, 0, 0, , 0, 0
ST, TERMICA UNIFORME +, 0.5, CS, Summation, 1
NAME=QP_2, STEEL, SERVICE, 0, 0, , 0, 0
ST, TERMICA UNIFORME -, 0.5, CS, Summation, 1
NAME=QP_3, STEEL, SERVICE, 0, 0, , 0, 0
ST, TERMICA GRADIENTE +, 0.5, CS, Summation, 1
NAME=QP_4, STEEL, SERVICE, 0, 0, , 0, 0
ST, TERMICA GRADIENTE -, 0.5, CS, Summation, 1
NAME=SLD1, STEEL, SERVICE, 0, 0, , 0, 0
ST, TERMICA UNIFORME +, 0.5, RS, DX, 1, CS, Summation, 1
NAME=SLD2, STEEL, SERVICE, 0, 0, , 0, 0
ST, TERMICA UNIFORME +, 0.5, RS, DX, -1, CS, Summation, 1
NAME=SLD3, STEEL, SERVICE, 0, 0, , 0, 0
ST, TERMICA UNIFORME +, 0.5, RS, DX, 1, CS, Summation, 1
NAME=SLD4, STEEL, SERVICE, 0, 0, , 0, 0
ST, TERMICA UNIFORME +, 0.5, RS, DX, -1, CS, Summation, 1
NAME=ENVESLU-SLV, STEEL, STRENGTH, 0, 1, , 0, 0
CBS, SLU1, 1, CBS, SLU2, 1, CBS, SLU3, 1, CBS, SLU4, 1, CBS, SLU5, 1
CBS, SLU6, 1, CBS, SLU7, 1, CBS, SLU8, 1, CBS, SLU9, 1, CBS, SLU10, 1
CBS, SLU11, 1, CBS, SLU12, 1, CBS, SLU13, 1, CBS, SLU14, 1
CBS, SLU15, 1, CBS, SLU16, 1, CBS, SLU17, 1, CBS, SLU18, 1
CBS, SLU19, 1, CBS, SLU20, 1, CBS, SLU21, 1, CBS, SLU22, 1
CBS, SLU23, 1, CBS, SLU24, 1, CBS, SLV1, 1, CBS, SLV2, 1, CBS, SLV3, 1
CBS, SLV4, 1, CBS, SLV5, 1, CBS, SLV6, 1, CBS, SLV7, 1, CBS, SLV8, 1
CBS, SLV9, 1, CBS, SLV10, 1, CBS, SLV11, 1, CBS, SLV12, 1
CBS, SLV13, 1, CBS, SLV14, 1, CBS, SLV15, 1, CBS, SLV16, 1
CBS, SLV17, 1, CBS, SLV18, 1, CBS, SLV19, 1, CBS, SLV20, 1
CBS, SLV21, 1, CBS, SLV22, 1, CBS, SLV23, 1, CBS, SLV24, 1
CBS, SLV25, 1, CBS, SLV26, 1, CBS, SLV27, 1, CBS, SLV28, 1
CBS, SLV29, 1, CBS, SLV30, 1, CBS, SLV31, 1, CBS, SLV32, 1
CBS, SLV33, 1, CBS, SLV34, 1, CBS, SLV35, 1, CBS, SLV36, 1
CBS, SLV37, 1, CBS, SLV38, 1, CBS, SLV39, 1, CBS, SLV40, 1
CBS, SLV41, 1, CBS, SLV42, 1, CBS, SLV43, 1, CBS, SLV44, 1

```

MIDAS

PROJECT TITLE :

	Company		Client	
	Author		File Name	L2-CV01_REVISIONE_2

```

CBS, SLV45, 1, CBS, SLV46, 1, CBS, SLV47, 1, CBS, SLV48, 1
CBS, SLV49, 1, CBS, SLV50, 1, CBS, SLV51, 1, CBS, SLV52, 1
CBS, SLV53, 1, CBS, SLV54, 1, CBS, SLV55, 1, CBS, SLV56, 1
NAME=ENVE-RARA, STEEL, SERVICE, 0, 1, , 0, 0
    CBS, RARA_1, 1, CBS, RARA_2, 1, CBS, RARA_3, 1, CBS, RARA_4, 1
    CBS, RARA_5, 1, CBS, RARA_6, 1, CBS, RARA_7, 1, CBS, RARA_8, 1
    CBS, RARA_9, 1, CBS, RARA_10, 1, CBS, RARA_11, 1, CBS, RARA_12, 1
    CBS, RARA_13, 1, CBS, RARA_14, 1, CBS, RARA_15, 1, CBS, RARA_16, 1
NAME=ENVE-FREQ, STEEL, SERVICE, 0, 1, , 0, 0
    CBS, FREQ_1, 1, CBS, FREQ_2, 1, CBS, FREQ_3, 1, CBS, FREQ_4, 1
    CBS, FREQ_5, 1, CBS, FREQ_6, 1, CBS, FREQ_7, 1, CBS, FREQ_8, 1
    CBS, FREQ_9, 1, CBS, FREQ_10, 1, CBS, FREQ_11, 1, CBS, FREQ_12, 1
    CBS, FREQ_13, 1, CBS, FREQ_14, 1, CBS, FREQ_15, 1, CBS, FREQ_16, 1
NAME=ENVE-QP, STEEL, SERVICE, 0, 1, , 0, 0
    CBS, QP_1, 1, CBS, QP_2, 1, CBS, QP_3, 1, CBS, QP_4, 1
NAME=ENVE-SLD, STEEL, SERVICE, 0, 1, , 0, 0
    CBS, SLD1, 1, CBS, SLD2, 1, CBS, SLD3, 1, CBS, SLD4, 1
NAME=SLU1, STLCOMP, STRENGTH, 0, 0, , 0, 0
    ST, VENTO PONTE SCARICO, 1.5, ST, TERMICA UNIFORME +, 0.9
    ST, FRENATURA, 1.0125, MV, LM01, 1.0125, MV, LM02, 1.0125
    MV, LM03, 1.0125, CS, Summation, 1.35
NAME=SLU2, STLCOMP, STRENGTH, 0, 0, , 0, 0
    ST, VENTO PONTE SCARICO, 1.5, ST, TERMICA UNIFORME -, 0.9
    ST, FRENATURA, 1.0125, MV, LM01, 1.0125, MV, LM02, 1.0125
    MV, LM03, 1.0125, CS, Summation, 1.35
NAME=SLU3, STLCOMP, STRENGTH, 0, 0, , 0, 0
    ST, VENTO PONTE SCARICO, 1.5, ST, TERMICA GRADIENTE +, 0.9
    ST, FRENATURA, 1.0125, MV, LM01, 1.0125, MV, LM02, 1.0125
    MV, LM03, 1.0125, CS, Summation, 1.35
NAME=SLU4, STLCOMP, STRENGTH, 0, 0, , 0, 0
    ST, VENTO PONTE SCARICO, 1.5, ST, TERMICA GRADIENTE -, 0.9
    ST, FRENATURA, 1.0125, MV, LM01, 1.0125, MV, LM02, 1.0125
    MV, LM03, 1.0125, CS, Summation, 1.35
NAME=SLU5, STLCOMP, STRENGTH, 0, 0, , 0, 0
    ST, VENTO PONTE CARICO, 1.5, ST, TERMICA UNIFORME +, 0.9
    ST, FRENATURA, 1.0125, MV, LM01, 1.0125, MV, LM02, 1.0125
    MV, LM03, 1.0125, CS, Summation, 1.35
NAME=SLU6, STLCOMP, STRENGTH, 0, 0, , 0, 0
    ST, VENTO PONTE CARICO, 1.5, ST, TERMICA UNIFORME -, 0.9
    ST, FRENATURA, 1.0125, MV, LM01, 1.0125, MV, LM02, 1.0125
    MV, LM03, 1.0125, CS, Summation, 1.35
NAME=SLU7, STLCOMP, STRENGTH, 0, 0, , 0, 0
    ST, VENTO PONTE CARICO, 1.5, ST, TERMICA GRADIENTE +, 0.9
    ST, FRENATURA, 1.0125, MV, LM01, 1.0125, MV, LM02, 1.0125
    MV, LM03, 1.0125, CS, Summation, 1.35
NAME=SLU8, STLCOMP, STRENGTH, 0, 0, , 0, 0
    ST, VENTO PONTE CARICO, 1.5, ST, TERMICA GRADIENTE -, 0.9
    ST, FRENATURA, 1.0125, MV, LM01, 1.0125, MV, LM02, 1.0125
    MV, LM03, 1.0125, CS, Summation, 1.35
NAME=SLU9, STLCOMP, STRENGTH, 0, 0, , 0, 0
    ST, VENTO PONTE SCARICO, 0.9, ST, TERMICA UNIFORME +, 0.9
    ST, FRENATURA, 1.35, MV, LM01, 1.35, CS, Summation, 1.35
NAME=SLU10, STLCOMP, STRENGTH, 0, 0, , 0, 0
    ST, VENTO PONTE SCARICO, 0.9, ST, TERMICA UNIFORME -, 0.9
    ST, FRENATURA, 1.35, MV, LM01, 1.35, CS, Summation, 1.35
NAME=SLU11, STLCOMP, STRENGTH, 0, 0, , 0, 0
    ST, VENTO PONTE SCARICO, 0.9, ST, TERMICA GRADIENTE +, 0.9
    ST, FRENATURA, 1.35, MV, LM01, 1.35, CS, Summation, 1.35
NAME=SLU12, STLCOMP, STRENGTH, 0, 0, , 0, 0
    ST, VENTO PONTE SCARICO, 0.9, ST, TERMICA GRADIENTE -, 0.9
    ST, FRENATURA, 1.35, MV, LM01, 1.35, CS, Summation, 1.35
NAME=SLU13, STLCOMP, STRENGTH, 0, 0, , 0, 0

```

MIDAS

PROJECT TITLE :

	Company		Client	
	Author		File Name	L2-CV01_REVISIONE_2

```

ST, VENTO PONTE CARICO, 0.9, ST, TERMICA UNIFORME +, 0.9
ST, FRENATURA, 1.35, MV, LM01, 1.35, CS, Summation, 1.35
NAME=SLU14, STLCOMP, STRENGTH, 0, 0, , 0, 0
ST, VENTO PONTE CARICO, 0.9, ST, TERMICA UNIFORME -, 0.9
ST, FRENATURA, 1.35, MV, LM01, 1.35, CS, Summation, 1.35
NAME=SLU15, STLCOMP, STRENGTH, 0, 0, , 0, 0
ST, VENTO PONTE CARICO, 0.9, ST, TERMICA GRADIENTE +, 0.9
ST, FRENATURA, 1.35, MV, LM01, 1.35, CS, Summation, 1.35
NAME=SLU16, STLCOMP, STRENGTH, 0, 0, , 0, 0
ST, VENTO PONTE CARICO, 0.9, ST, TERMICA GRADIENTE -, 0.9
ST, FRENATURA, 1.35, MV, LM01, 1.35, CS, Summation, 1.35
NAME=SLU17, STLCOMP, STRENGTH, 0, 0, , 0, 0
ST, VENTO PONTE SCARICO, 0.9, ST, TERMICA UNIFORME +, 0.9
ST, FRENATURA, 1.35, MV, LM01, 1.35, MV, LM02, 1.35, MV, LM03, 1.35
CS, Summation, 1.35
NAME=SLU18, STLCOMP, STRENGTH, 0, 0, , 0, 0
ST, VENTO PONTE SCARICO, 0.9, ST, TERMICA UNIFORME -, 0.9
ST, FRENATURA, 1.35, MV, LM01, 1.35, MV, LM02, 1.35, MV, LM03, 1.35
CS, Summation, 1.35
NAME=SLU19, STLCOMP, STRENGTH, 0, 0, , 0, 0
ST, VENTO PONTE SCARICO, 0.9, ST, TERMICA GRADIENTE +, 0.9
ST, FRENATURA, 1.35, MV, LM01, 1.35, MV, LM02, 1.35, MV, LM03, 1.35
CS, Summation, 1.35
NAME=SLU20, STLCOMP, STRENGTH, 0, 0, , 0, 0
ST, VENTO PONTE SCARICO, 0.9, ST, TERMICA GRADIENTE -, 0.9
ST, FRENATURA, 1.35, MV, LM01, 1.35, MV, LM02, 1.35, MV, LM03, 1.35
CS, Summation, 1.35
NAME=SLU21, STLCOMP, STRENGTH, 0, 0, , 0, 0
ST, VENTO PONTE CARICO, 0.9, ST, TERMICA UNIFORME +, 0.9
ST, FRENATURA, 1.35, MV, LM01, 1.35, MV, LM02, 1.35, MV, LM03, 1.35
CS, Summation, 1.35
NAME=SLU22, STLCOMP, STRENGTH, 0, 0, , 0, 0
ST, VENTO PONTE CARICO, 0.9, ST, TERMICA UNIFORME -, 0.9
ST, FRENATURA, 1.35, MV, LM01, 1.35, MV, LM02, 1.35, MV, LM03, 1.35
CS, Summation, 1.35
NAME=SLU23, STLCOMP, STRENGTH, 0, 0, , 0, 0
ST, VENTO PONTE CARICO, 0.9, ST, TERMICA GRADIENTE +, 0.9
ST, FRENATURA, 1.35, MV, LM01, 1.35, MV, LM02, 1.35, MV, LM03, 1.35
CS, Summation, 1.35
NAME=SLU24, STLCOMP, STRENGTH, 0, 0, , 0, 0
ST, VENTO PONTE CARICO, 0.9, ST, TERMICA GRADIENTE -, 0.9
ST, FRENATURA, 1.35, MV, LM01, 1.35, MV, LM02, 1.35, MV, LM03, 1.35
CS, Summation, 1.35
NAME=SLV1, STLCOMP, STRENGTH, 0, 0, , 0, 0
ST, TERMICA UNIFORME +, 0.5, RS, EX, 1, RS, EY, 0.3, CS, Summation, 1
NAME=SLV2, STLCOMP, STRENGTH, 0, 0, , 0, 0
ST, TERMICA UNIFORME +, 0.5, RS, EX, -1, RS, EY, 0.3, CS, Summation, 1
NAME=SLV3, STLCOMP, STRENGTH, 0, 0, , 0, 0
ST, TERMICA UNIFORME +, 0.5, RS, EX, 1, RS, EY, -0.3, CS, Summation, 1
NAME=SLV4, STLCOMP, STRENGTH, 0, 0, , 0, 0
ST, TERMICA UNIFORME +, 0.5, RS, EX, -1, RS, EY, -0.3, CS, Summation, 1
NAME=SLV5, STLCOMP, STRENGTH, 0, 0, , 0, 0
ST, TERMICA UNIFORME +, 0.5, RS, EX, 0.3, RS, EY, 1, CS, Summation, 1
NAME=SLV6, STLCOMP, STRENGTH, 0, 0, , 0, 0
ST, TERMICA UNIFORME +, 0.5, RS, EX, 0.3, RS, EY, -1, CS, Summation, 1
NAME=SLV7, STLCOMP, STRENGTH, 0, 0, , 0, 0
ST, TERMICA UNIFORME +, 0.5, RS, EX, -0.3, RS, EY, 1, CS, Summation, 1
NAME=SLV8, STLCOMP, STRENGTH, 0, 0, , 0, 0
ST, TERMICA UNIFORME +, 0.5, RS, EX, -0.3, RS, EY, -1, CS, Summation, 1
NAME=SLV9, STLCOMP, STRENGTH, 0, 0, , 0, 0
ST, TERMICA UNIFORME -, 0.5, RS, EX, 1, RS, EY, 0.3, CS, Summation, 1
NAME=SLV10, STLCOMP, STRENGTH, 0, 0, , 0, 0

```

MIDAS

PROJECT TITLE :

MIDAS	Company		Client	
	Author		File Name	L2-CV01_REVISIONE_2

```

ST, TERMICA UNIFORME -, 0.5, RS, EX, -1, RS, EY, 0.3, CS, Summation, 1
NAME=SLV11, STLCOMP, STRENGTH, 0, 0, , 0, 0
ST, TERMICA UNIFORME -, 0.5, RS, EX, 1, RS, EY, -0.3, CS, Summation, 1
NAME=SLV12, STLCOMP, STRENGTH, 0, 0, , 0, 0
ST, TERMICA UNIFORME -, 0.5, RS, EX, -1, RS, EY, -0.3, CS, Summation, 1
NAME=SLV13, STLCOMP, STRENGTH, 0, 0, , 0, 0
ST, TERMICA UNIFORME -, 0.5, RS, EX, 0.3, RS, EY, 1, CS, Summation, 1
NAME=SLV14, STLCOMP, STRENGTH, 0, 0, , 0, 0
ST, TERMICA UNIFORME -, 0.5, RS, EX, 0.3, RS, EY, -1, CS, Summation, 1
NAME=SLV15, STLCOMP, STRENGTH, 0, 0, , 0, 0
ST, TERMICA UNIFORME -, 0.5, RS, EX, -0.3, RS, EY, 1, CS, Summation, 1
NAME=SLV16, STLCOMP, STRENGTH, 0, 0, , 0, 0
ST, TERMICA UNIFORME -, 0.5, RS, EX, -0.3, RS, EY, -1, CS, Summation, 1
NAME=SLV17, STLCOMP, STRENGTH, 0, 0, , 0, 0
ST, TERMICA GRADIENTE +, 0.5, RS, EX, 1, RS, EY, 0.3, CS, Summation, 1
NAME=SLV18, STLCOMP, STRENGTH, 0, 0, , 0, 0
ST, TERMICA GRADIENTE +, 0.5, RS, EX, -1, RS, EY, 0.3, CS, Summation, 1
NAME=SLV19, STLCOMP, STRENGTH, 0, 0, , 0, 0
ST, TERMICA GRADIENTE +, 0.5, RS, EX, 1, RS, EY, -0.3, CS, Summation, 1
NAME=SLV20, STLCOMP, STRENGTH, 0, 0, , 0, 0
ST, TERMICA GRADIENTE +, 0.5, RS, EX, -1, RS, EY, -0.3
CS, Summation, 1
NAME=SLV21, STLCOMP, STRENGTH, 0, 0, , 0, 0
ST, TERMICA GRADIENTE +, 0.5, RS, EX, 0.3, RS, EY, 1, CS, Summation, 1
NAME=SLV22, STLCOMP, STRENGTH, 0, 0, , 0, 0
ST, TERMICA GRADIENTE +, 0.5, RS, EX, 0.3, RS, EY, -1, CS, Summation, 1
NAME=SLV23, STLCOMP, STRENGTH, 0, 0, , 0, 0
ST, TERMICA GRADIENTE +, 0.5, RS, EX, -0.3, RS, EY, 1, CS, Summation, 1
NAME=SLV24, STLCOMP, STRENGTH, 0, 0, , 0, 0
ST, TERMICA GRADIENTE +, 0.5, RS, EX, -0.3, RS, EY, -1
CS, Summation, 1
NAME=SLV25, STLCOMP, STRENGTH, 0, 0, , 0, 0
ST, TERMICA GRADIENTE -, 0.5, RS, EX, 1, RS, EY, 0.3, MV, LM03, 0.75
CS, Summation, 1
NAME=SLV26, STLCOMP, STRENGTH, 0, 0, , 0, 0
ST, TERMICA GRADIENTE -, 0.5, RS, EX, -1, RS, EY, 0.3, MV, LM03, 0.75
CS, Summation, 1
NAME=SLV27, STLCOMP, STRENGTH, 0, 0, , 0, 0
ST, TERMICA GRADIENTE -, 0.5, RS, EX, 1, RS, EY, -0.3, MV, LM03, 0.75
CS, Summation, 1
NAME=SLV28, STLCOMP, STRENGTH, 0, 0, , 0, 0
ST, TERMICA GRADIENTE -, 0.5, RS, EX, -1, RS, EY, -0.3, MV, LM03, 0.75
CS, Summation, 1
NAME=SLV29, STLCOMP, STRENGTH, 0, 0, , 0, 0
ST, TERMICA GRADIENTE -, 0.5, RS, EX, 0.3, RS, EY, 1, MV, LM03, 0.75
CS, Summation, 1
NAME=SLV30, STLCOMP, STRENGTH, 0, 0, , 0, 0
ST, TERMICA GRADIENTE -, 0.5, RS, EX, 0.3, RS, EY, -1, MV, LM03, 0.75
CS, Summation, 1
NAME=SLV31, STLCOMP, STRENGTH, 0, 0, , 0, 0
ST, TERMICA GRADIENTE -, 0.5, RS, EX, -0.3, RS, EY, 1, MV, LM03, 0.75
CS, Summation, 1
NAME=SLV32, STLCOMP, STRENGTH, 0, 0, , 0, 0
ST, TERMICA GRADIENTE -, 0.5, RS, EX, -0.3, RS, EY, -1, MV, LM03, 0.75
CS, Summation, 1
NAME=SLV33, STLCOMP, STRENGTH, 0, 0, , 0, 0
ST, TERMICA UNIFORME +, 0.5, RS, EX, 0.3, RS, EY, 0.3, RS, EZ, 1
CS, Summation, 1
NAME=SLV34, STLCOMP, STRENGTH, 0, 0, , 0, 0
ST, TERMICA UNIFORME +, 0.5, RS, EX, -0.3, RS, EY, 0.3, RS, EZ, 1
CS, Summation, 1
NAME=SLV35, STLCOMP, STRENGTH, 0, 0, , 0, 0

```

MIDAS

PROJECT TITLE :

	Company		Client	
	Author		File Name	L2-CV01_REVISIONE_2

```

ST, TERMICA UNIFORME +, 0.5, RS, EX, 0.3, RS, EY, -0.3, RS, EZ, 1
CS, Summation, 1
NAME=SLV36, STLCOMP, STRENGTH, 0, 0, , 0, 0
ST, TERMICA UNIFORME +, 0.5, RS, EX, -0.3, RS, EY, -0.3, RS, EZ, 1
CS, Summation, 1
NAME=SLV37, STLCOMP, STRENGTH, 0, 0, , 0, 0
ST, TERMICA UNIFORME -, 0.5, RS, EX, 0.3, RS, EY, 0.3, RS, EZ, 1
CS, Summation, 1
NAME=SLV38, STLCOMP, STRENGTH, 0, 0, , 0, 0
ST, TERMICA UNIFORME -, 0.5, RS, EX, -0.3, RS, EY, 0.3, RS, EZ, 1
CS, Summation, 1
NAME=SLV39, STLCOMP, STRENGTH, 0, 0, , 0, 0
ST, TERMICA UNIFORME -, 0.5, RS, EX, 0.3, RS, EY, -0.3, RS, EZ, 1
CS, Summation, 1
NAME=SLV40, STLCOMP, STRENGTH, 0, 0, , 0, 0
ST, TERMICA UNIFORME -, 0.5, RS, EX, -0.3, RS, EY, -0.3, RS, EZ, 1
CS, Summation, 1
NAME=SLV41, STLCOMP, STRENGTH, 0, 0, , 0, 0
ST, TERMICA GRADIENTE +, 0.5, RS, EX, 0.3, RS, EY, 0.3, RS, EZ, 1
CS, Summation, 1
NAME=SLV42, STLCOMP, STRENGTH, 0, 0, , 0, 0
ST, TERMICA GRADIENTE +, 0.5, RS, EX, -0.3, RS, EY, 0.3, RS, EZ, 1
CS, Summation, 1
NAME=SLV43, STLCOMP, STRENGTH, 0, 0, , 0, 0
ST, TERMICA GRADIENTE +, 0.5, RS, EX, 0.3, RS, EY, -0.3, RS, EZ, 1
CS, Summation, 1
NAME=SLV44, STLCOMP, STRENGTH, 0, 0, , 0, 0
ST, TERMICA GRADIENTE +, 0.5, RS, EX, -0.3, RS, EY, -0.3, RS, EZ, 1
CS, Summation, 1
NAME=SLV45, STLCOMP, STRENGTH, 0, 0, , 0, 0
ST, TERMICA UNIFORME +, 0.5, RS, EX, 0.3, RS, EY, 0.3, RS, EZ, -1
CS, Summation, 1
NAME=SLV46, STLCOMP, STRENGTH, 0, 0, , 0, 0
ST, TERMICA UNIFORME +, 0.5, RS, EX, -0.3, RS, EY, 0.3, RS, EZ, -1
CS, Summation, 1
NAME=SLV47, STLCOMP, STRENGTH, 0, 0, , 0, 0
ST, TERMICA UNIFORME +, 0.5, RS, EX, 0.3, RS, EY, -0.3, RS, EZ, -1
CS, Summation, 1
NAME=SLV48, STLCOMP, STRENGTH, 0, 0, , 0, 0
ST, TERMICA UNIFORME +, 0.5, RS, EX, -0.3, RS, EY, -0.3, RS, EZ, -1
CS, Summation, 1
NAME=SLV49, STLCOMP, STRENGTH, 0, 0, , 0, 0
ST, TERMICA UNIFORME -, 0.5, RS, EX, 0.3, RS, EY, 0.3, RS, EZ, -1
CS, Summation, 1
NAME=SLV50, STLCOMP, STRENGTH, 0, 0, , 0, 0
ST, TERMICA UNIFORME -, 0.5, RS, EX, -0.3, RS, EY, 0.3, RS, EZ, -1
CS, Summation, 1
NAME=SLV51, STLCOMP, STRENGTH, 0, 0, , 0, 0
ST, TERMICA UNIFORME -, 0.5, RS, EX, 0.3, RS, EY, -0.3, RS, EZ, -1
CS, Summation, 1
NAME=SLV52, STLCOMP, STRENGTH, 0, 0, , 0, 0
ST, TERMICA UNIFORME -, 0.5, RS, EX, -0.3, RS, EY, -0.3, RS, EZ, -1
CS, Summation, 1
NAME=SLV53, STLCOMP, STRENGTH, 0, 0, , 0, 0
ST, TERMICA GRADIENTE +, 0.5, RS, EX, 0.3, RS, EY, 0.3, RS, EZ, -1
CS, Summation, 1
NAME=SLV54, STLCOMP, STRENGTH, 0, 0, , 0, 0
ST, TERMICA GRADIENTE +, 0.5, RS, EX, -0.3, RS, EY, 0.3, RS, EZ, -1
CS, Summation, 1
NAME=SLV55, STLCOMP, STRENGTH, 0, 0, , 0, 0
ST, TERMICA GRADIENTE +, 0.5, RS, EX, 0.3, RS, EY, -0.3, RS, EZ, -1
CS, Summation, 1

```

MIDAS

PROJECT TITLE :

	Company		Client	
	Author		File Name	L2-CV01_REVISIONE_2

```

NAME=SLV56, STLCOMP, STRENGTH, 0, 0, , 0, 0
    ST, TERMICA GRADIENTE +, 0.5, RS, EX, -0.3, RS, EY, -0.3, RS, EZ, -1
    CS, Summation, 1
NAME=RARA_1, STLCOMP, SERVICE, 0, 0, , 0, 0
    ST, VENTO PONTE SCARICO, 1, ST, TERMICA UNIFORME +, 0.6
    ST, FRENATURA, 0.75, MV, LM01, 0.75, CS, Summation, 1
NAME=RARA_2, STLCOMP, SERVICE, 0, 0, , 0, 0
    ST, VENTO PONTE SCARICO, 1, ST, TERMICA UNIFORME -, 0.6
    ST, FRENATURA, 0.75, MV, LM01, 0.75, CS, Summation, 1
NAME=RARA_3, STLCOMP, SERVICE, 0, 0, , 0, 0
    ST, VENTO PONTE SCARICO, 1, ST, TERMICA GRADIENTE +, 0.6
    ST, FRENATURA, 0.75, MV, LM01, 0.75, CS, Summation, 1
NAME=RARA_4, STLCOMP, SERVICE, 0, 0, , 0, 0
    ST, VENTO PONTE SCARICO, 1, ST, TERMICA GRADIENTE -, 0.6
    ST, FRENATURA, 0.75, MV, LM01, 0.75, CS, Summation, 1
NAME=RARA_5, STLCOMP, SERVICE, 0, 0, , 0, 0
    ST, VENTO PONTE CARICO, 1, ST, TERMICA UNIFORME +, 0.6
    ST, FRENATURA, 0.75, MV, LM01, 0.75, CS, Summation, 1
NAME=RARA_6, STLCOMP, SERVICE, 0, 0, , 0, 0
    ST, VENTO PONTE CARICO, 1, ST, TERMICA UNIFORME -, 0.6
    ST, FRENATURA, 0.75, MV, LM01, 0.75, CS, Summation, 1
NAME=RARA_7, STLCOMP, SERVICE, 0, 0, , 0, 0
    ST, VENTO PONTE CARICO, 1, ST, TERMICA GRADIENTE +, 0.6
    ST, FRENATURA, 0.75, MV, LM01, 0.75, CS, Summation, 1
NAME=RARA_8, STLCOMP, SERVICE, 0, 0, , 0, 0
    ST, VENTO PONTE CARICO, 1, ST, TERMICA GRADIENTE -, 0.6
    ST, FRENATURA, 0.75, MV, LM01, 0.75, CS, Summation, 1
NAME=RARA_9, STLCOMP, SERVICE, 0, 0, , 0, 0
    ST, VENTO PONTE SCARICO, 0.6, ST, TERMICA UNIFORME +, 0.6
    ST, FRENATURA, 1, MV, LM01, 1, CS, Summation, 1
NAME=RARA_10, STLCOMP, SERVICE, 0, 0, , 0, 0
    ST, VENTO PONTE SCARICO, 0.6, ST, TERMICA UNIFORME -, 0.6
    ST, FRENATURA, 1, MV, LM01, 1, CS, Summation, 1
NAME=RARA_11, STLCOMP, SERVICE, 0, 0, , 0, 0
    ST, VENTO PONTE SCARICO, 0.6, ST, TERMICA GRADIENTE +, 0.6
    ST, FRENATURA, 1, MV, LM01, 1, CS, Summation, 1
NAME=RARA_12, STLCOMP, SERVICE, 0, 0, , 0, 0
    ST, VENTO PONTE SCARICO, 0.6, ST, TERMICA GRADIENTE -, 0.6
    ST, FRENATURA, 1, MV, LM01, 1, CS, Summation, 1
NAME=RARA_13, STLCOMP, SERVICE, 0, 0, , 0, 0
    ST, VENTO PONTE CARICO, 0.6, ST, TERMICA UNIFORME +, 0.6
    ST, FRENATURA, 1, MV, LM01, 1, CS, Summation, 1
NAME=RARA_14, STLCOMP, SERVICE, 0, 0, , 0, 0
    ST, VENTO PONTE CARICO, 0.6, ST, TERMICA UNIFORME -, 0.6
    ST, FRENATURA, 1, MV, LM01, 1, CS, Summation, 1
NAME=RARA_15, STLCOMP, SERVICE, 0, 0, , 0, 0
    ST, VENTO PONTE CARICO, 0.6, ST, TERMICA GRADIENTE +, 0.6
    ST, FRENATURA, 1, MV, LM01, 1, CS, Summation, 1
NAME=RARA_16, STLCOMP, SERVICE, 0, 0, , 0, 0
    ST, VENTO PONTE CARICO, 0.6, ST, TERMICA GRADIENTE -, 0.6
    ST, FRENATURA, 1, MV, LM01, 1, CS, Summation, 1
NAME=FREQ_1, STLCOMP, SERVICE, 0, 0, , 0, 0
    ST, VENTO PONTE SCARICO, 0.2, ST, TERMICA UNIFORME +, 0.5
    ST, FRENATURA, 0.75, MV, LM01, 0.75, CS, Summation, 1
NAME=FREQ_2, STLCOMP, SERVICE, 0, 0, , 0, 0
    ST, VENTO PONTE SCARICO, 0.2, ST, TERMICA UNIFORME -, 0.5
    ST, FRENATURA, 0.75, MV, LM01, 0.75, CS, Summation, 1
NAME=FREQ_3, STLCOMP, SERVICE, 0, 0, , 0, 0
    ST, VENTO PONTE SCARICO, 0.2, ST, TERMICA GRADIENTE +, 0.5
    ST, FRENATURA, 0.75, MV, LM01, 0.75, CS, Summation, 1
NAME=FREQ_4, STLCOMP, SERVICE, 0, 0, , 0, 0
    ST, VENTO PONTE SCARICO, 0.2, ST, TERMICA GRADIENTE -, 0.5

```

MIDAS

PROJECT TITLE :

	Company		Client	
	Author		File Name	L2-CV01_REVISIONE_2

```

ST, FRENATURA, 0.75, MV, LM01, 0.75, CS, Summation, 1
NAME=FREQ_5, STLCOMP, SERVICE, 0, 0, , 0, 0
    ST, TERMICA UNIFORME +, 0.5, ST, FRENATURA, 0.75, MV, LM01, 0.75
    CS, Summation, 1
NAME=FREQ_6, STLCOMP, SERVICE, 0, 0, , 0, 0
    ST, TERMICA UNIFORME -, 0.5, ST, FRENATURA, 0.75, MV, LM01, 0.75
    CS, Summation, 1
NAME=FREQ_7, STLCOMP, SERVICE, 0, 0, , 0, 0
    ST, TERMICA GRADIENTE +, 0.5, ST, FRENATURA, 0.75, MV, LM01, 0.75
    CS, Summation, 1
NAME=FREQ_8, STLCOMP, SERVICE, 0, 0, , 0, 0
    ST, TERMICA GRADIENTE -, 0.5, ST, FRENATURA, 0.75, MV, LM01, 0.75
    CS, Summation, 1
NAME=FREQ_9, STLCOMP, SERVICE, 0, 0, , 0, 0
    ST, VENTO PONTE SCARICO, 0.2, ST, TERMICA UNIFORME +, 0.5
    ST, FRENATURA, 0.75, MV, LM01, 0.75, MV, LM02, 0.75, CS, Summation, 1
NAME=FREQ_10, STLCOMP, SERVICE, 0, 0, , 0, 0
    ST, VENTO PONTE SCARICO, 0.2, ST, TERMICA UNIFORME -, 0.5
    ST, FRENATURA, 0.75, MV, LM01, 0.75, MV, LM02, 0.75, CS, Summation, 1
NAME=FREQ_11, STLCOMP, SERVICE, 0, 0, , 0, 0
    ST, VENTO PONTE SCARICO, 0.2, ST, TERMICA GRADIENTE +, 0.5
    ST, FRENATURA, 0.75, MV, LM01, 0.75, MV, LM02, 0.75, CS, Summation, 1
NAME=FREQ_12, STLCOMP, SERVICE, 0, 0, , 0, 0
    ST, VENTO PONTE SCARICO, 0.2, ST, TERMICA GRADIENTE -, 0.5
    ST, FRENATURA, 0.75, MV, LM01, 0.75, MV, LM02, 0.75, CS, Summation, 1
NAME=FREQ_13, STLCOMP, SERVICE, 0, 0, , 0, 0
    ST, TERMICA UNIFORME +, 0.5, ST, FRENATURA, 0.75, MV, LM01, 0.75
    MV, LM02, 0.75, CS, Summation, 1
NAME=FREQ_14, STLCOMP, SERVICE, 0, 0, , 0, 0
    ST, TERMICA UNIFORME -, 0.5, ST, FRENATURA, 0.75, MV, LM01, 0.75
    MV, LM02, 0.75, CS, Summation, 1
NAME=FREQ_15, STLCOMP, SERVICE, 0, 0, , 0, 0
    ST, TERMICA GRADIENTE +, 0.5, ST, FRENATURA, 0.75, MV, LM01, 0.75
    MV, LM02, 0.75, CS, Summation, 1
NAME=FREQ_16, STLCOMP, SERVICE, 0, 0, , 0, 0
    ST, TERMICA GRADIENTE -, 0.5, ST, FRENATURA, 0.75, MV, LM01, 0.75
    MV, LM02, 0.75, CS, Summation, 1
NAME=QP_1, STLCOMP, SERVICE, 0, 0, , 0, 0
    ST, TERMICA UNIFORME +, 0.5, CS, Summation, 1
NAME=QP_2, STLCOMP, SERVICE, 0, 0, , 0, 0
    ST, TERMICA UNIFORME -, 0.5, CS, Summation, 1
NAME=QP_3, STLCOMP, SERVICE, 0, 0, , 0, 0
    ST, TERMICA GRADIENTE +, 0.5, CS, Summation, 1
NAME=QP_4, STLCOMP, SERVICE, 0, 0, , 0, 0
    ST, TERMICA GRADIENTE -, 0.5, CS, Summation, 1
NAME=SLD1, STLCOMP, SERVICE, 0, 0, , 0, 0
    ST, TERMICA UNIFORME +, 0.5, RS, DX, 1, CS, Summation, 1
NAME=SLD2, STLCOMP, SERVICE, 0, 0, , 0, 0
    ST, TERMICA UNIFORME +, 0.5, RS, DX, -1, CS, Summation, 1
NAME=SLD3, STLCOMP, SERVICE, 0, 0, , 0, 0
    ST, TERMICA UNIFORME +, 0.5, RS, DX, 1, CS, Summation, 1
NAME=SLD4, STLCOMP, SERVICE, 0, 0, , 0, 0
    ST, TERMICA UNIFORME +, 0.5, RS, DX, -1, CS, Summation, 1
NAME=ENVESLU-SLV, STLCOMP, STRENGTH, 0, 1, , 0, 0
    CBSC, SLU1, 1, CBSC, SLU2, 1, CBSC, SLU3, 1, CBSC, SLU4, 1
    CBSC, SLU5, 1, CBSC, SLU6, 1, CBSC, SLU7, 1, CBSC, SLU8, 1
    CBSC, SLU9, 1, CBSC, SLU10, 1, CBSC, SLU11, 1, CBSC, SLU12, 1
    CBSC, SLU13, 1, CBSC, SLU14, 1, CBSC, SLU15, 1, CBSC, SLU16, 1
    CBSC, SLU17, 1, CBSC, SLU18, 1, CBSC, SLU19, 1, CBSC, SLU20, 1
    CBSC, SLU21, 1, CBSC, SLU22, 1, CBSC, SLU23, 1, CBSC, SLU24, 1
    CBSC, SLV1, 1, CBSC, SLV2, 1, CBSC, SLV3, 1, CBSC, SLV4, 1
    CBSC, SLV5, 1, CBSC, SLV6, 1, CBSC, SLV7, 1, CBSC, SLV8, 1

```

MIDAS

PROJECT TITLE :

	Company		Client	
	Author		File Name	L2-CV01_REVISIONE_2

```

CBSC, SLV9, 1, CBSC, SLV10, 1, CBSC, SLV11, 1, CBSC, SLV12, 1
CBSC, SLV13, 1, CBSC, SLV14, 1, CBSC, SLV15, 1, CBSC, SLV16, 1
CBSC, SLV17, 1, CBSC, SLV18, 1, CBSC, SLV19, 1, CBSC, SLV20, 1
CBSC, SLV21, 1, CBSC, SLV22, 1, CBSC, SLV23, 1, CBSC, SLV24, 1
CBSC, SLV25, 1, CBSC, SLV26, 1, CBSC, SLV27, 1, CBSC, SLV28, 1
CBSC, SLV29, 1, CBSC, SLV30, 1, CBSC, SLV31, 1, CBSC, SLV32, 1
CBSC, SLV33, 1, CBSC, SLV34, 1, CBSC, SLV35, 1, CBSC, SLV36, 1
CBSC, SLV37, 1, CBSC, SLV38, 1, CBSC, SLV39, 1, CBSC, SLV40, 1
CBSC, SLV41, 1, CBSC, SLV42, 1, CBSC, SLV43, 1, CBSC, SLV44, 1
CBSC, SLV45, 1, CBSC, SLV46, 1, CBSC, SLV47, 1, CBSC, SLV48, 1
CBSC, SLV49, 1, CBSC, SLV50, 1, CBSC, SLV51, 1, CBSC, SLV52, 1
CBSC, SLV53, 1, CBSC, SLV54, 1, CBSC, SLV55, 1, CBSC, SLV56, 1
NAME=ENVE-RARA, STLCOMP, SERVICE, 0, 1, , 0, 0
CBSC, RARA_1, 1, CBSC, RARA_2, 1, CBSC, RARA_3, 1, CBSC, RARA_4, 1
CBSC, RARA_5, 1, CBSC, RARA_6, 1, CBSC, RARA_7, 1, CBSC, RARA_8, 1
CBSC, RARA_9, 1, CBSC, RARA_10, 1, CBSC, RARA_11, 1, CBSC, RARA_12, 1
CBSC, RARA_13, 1, CBSC, RARA_14, 1, CBSC, RARA_15, 1, CBSC, RARA_16, 1
NAME=ENVE-FREQ, STLCOMP, SERVICE, 0, 1, , 0, 0
CBSC, FREQ_1, 1, CBSC, FREQ_2, 1, CBSC, FREQ_3, 1, CBSC, FREQ_4, 1
CBSC, FREQ_5, 1, CBSC, FREQ_6, 1, CBSC, FREQ_7, 1, CBSC, FREQ_8, 1
CBSC, FREQ_9, 1, CBSC, FREQ_10, 1, CBSC, FREQ_11, 1, CBSC, FREQ_12, 1
CBSC, FREQ_13, 1, CBSC, FREQ_14, 1, CBSC, FREQ_15, 1, CBSC, FREQ_16, 1
NAME=ENVE-QP, STLCOMP, SERVICE, 0, 1, , 0, 0
CBSC, QP_1, 1, CBSC, QP_2, 1, CBSC, QP_3, 1, CBSC, QP_4, 1
NAME=ENVE-SLD, STLCOMP, SERVICE, 0, 1, , 0, 0
CBSC, SLD1, 1, CBSC, SLD2, 1, CBSC, SLD3, 1, CBSC, SLD4, 1

```

```

*LC-COLOR ; Diagram Color for Load Case
; ANAL, LCNAME, iR1(ALL), iG1(ALL), iB1(ALL), iR2(MIN), iG2(MIN), iB2(MIN), iR3(MAX),
iG2(MAX), iB2(MAX)
CS, Dead Load, 255, 87, 255, 0, 192, 0, 128, 192
CS, Erection Load 1, 0, 128, 57, 255, 87, 87, 160, 192, 255
CS, Erection Load 2, 0, 157, 192, 212, 160, 255, 192, 72, 0
CS, Erection Load 3, 212, 160, 255, 128, 192, 0, 192, 128, 0
CS, Tendon Primary, 192, 0, 192, 192, 72, 0, 128, 192, 0
CS, Tendon Secondary, 163, 160, 255, 0, 128, 192, 255, 255, 255
CS, Creep Primary, 192, 72, 0, 212, 160, 255, 85, 0, 192
CS, Creep Secondary, 0, 192, 192, 192, 128, 0, 0, 128, 57
CS, Shrinkage Primary, 128, 192, 0, 192, 192, 192, 210, 210, 210
CS, Shrinkage Secondary, 0, 192, 192, 255, 0, 192, 255, 255, 87
CS, Summation, 192, 128, 0, 85, 192, 0, 0, 192, 128
ST, PESO PROPRIO ACCIAIO, 192, 72, 0, 0, 128, 255, 255, 160, 255
ST, PESO PROPRIO SOLETTA, 192, 192, 0, 212, 160, 255, 0, 192, 128
ST, PERMANENTE PORTATO, 255, 87, 87, 212, 160, 255, 85, 192, 0
ST, VENTO PONTE SCARICO, 160, 192, 255, 255, 0, 128, 255, 192, 160
ST, VENTO PONTE CARICO, 148, 87, 255, 255, 0, 128, 255, 0, 128
ST, TERMICA UNIFORME +, 255, 255, 87, 160, 192, 255, 146, 0, 255
ST, TERMICA UNIFORME -, 192, 0, 128, 148, 87, 255, 0, 128, 128
ST, TERMICA GRADIENTE +, 255, 87, 87, 255, 160, 255, 255, 192, 87
ST, TERMICA GRADIENTE -, 192, 0, 192, 255, 128, 0, 160, 192, 255
ST, FRENATURA, 0, 157, 192, 163, 160, 255, 255, 255, 255
MV, LM01, 192, 192, 0, 128, 192, 0, 255, 0, 128
MV, LM02, 160, 192, 255, 146, 0, 255, 192, 72, 0
MV, LM03, 85, 192, 0, 128, 192, 0, 255, 192, 160
RS, EX, 255, 0, 192, 255, 0, 192, 0, 128, 255
RS, EY, 128, 192, 0, 0, 128, 128, 212, 160, 255
RS, EZ, 85, 0, 192, 160, 255, 255, 128, 192, 0
RS, DX, 210, 210, 210, 148, 87, 255, 148, 87, 255
RS, CX, 192, 128, 0, 255, 160, 255, 210, 210, 210
CB, SLU1, 0, 128, 57, 0, 157, 192, 163, 160, 255
CB, SLU2, 85, 0, 192, 93, 255, 87, 85, 0, 192
CB, SLU3, 0, 128, 128, 163, 255, 160, 0, 128, 255

```

MIDAS

PROJECT TITLE :

	Company		Client	L2-CV01_REVISIONE_2
	Author		File Name	

CB, SLU4, 0, 128, 57, 0, 128, 128, 255, 0, 128
 CB, SLU5, 255, 255, 87, 255, 0, 192, 0, 157, 192
 CB, SLU6, 0, 128, 192, 255, 255, 255, 212, 160, 255
 CB, SLU7, 255, 255, 255, 163, 160, 255, 255, 128, 0
 CB, SLU8, 0, 128, 255, 85, 0, 192, 255, 192, 160
 CB, SLU9, 148, 87, 255, 0, 128, 192, 0, 128, 128
 CB, SLU10, 255, 128, 0, 0, 128, 192, 0, 128, 57
 CB, SLU11, 78, 0, 255, 148, 87, 255, 93, 255, 87
 CB, SLU12, 192, 0, 128, 0, 128, 255, 255, 255, 87
 CB, SLU13, 0, 128, 57, 0, 192, 192, 0, 128, 255
 CB, SLU14, 192, 192, 192, 255, 255, 255, 192, 128, 0
 CB, SLU15, 78, 0, 255, 192, 0, 128, 0, 128, 192
 CB, SLU16, 93, 255, 87, 255, 255, 255, 85, 192, 0
 CB, SLU17, 255, 255, 87, 78, 0, 255, 192, 192, 0
 CB, SLU18, 163, 160, 255, 0, 128, 255, 0, 128, 255
 CB, SLU19, 255, 255, 255, 160, 255, 192, 192, 0
 CB, SLU20, 255, 255, 87, 212, 160, 255, 0, 192, 128
 CB, SLU21, 0, 157, 192, 255, 255, 255, 93, 255, 87
 CB, SLU22, 255, 192, 87, 160, 192, 255, 255, 255, 255
 CB, SLU23, 146, 0, 255, 255, 0, 192, 163, 160, 255
 CB, SLU24, 255, 255, 87, 0, 192, 128, 0, 192, 128
 CB, SLV1, 212, 160, 255, 255, 128, 0, 0, 192, 128
 CB, SLV2, 210, 210, 210, 255, 255, 255, 0, 128, 255
 CB, SLV3, 0, 128, 57, 0, 128, 57, 163, 255, 160
 CB, SLV4, 255, 192, 87, 128, 192, 0, 148, 87, 255
 CB, SLV5, 255, 255, 87, 128, 192, 0, 0, 192, 128
 CB, SLV6, 255, 255, 255, 146, 0, 255, 85, 0, 192
 CB, SLV7, 192, 0, 128, 210, 210, 210, 255, 128, 0
 CB, SLV8, 85, 0, 192, 163, 160, 255, 160, 192, 255
 CB, SLV9, 0, 128, 255, 255, 255, 0, 128, 128
 CB, SLV10, 192, 72, 0, 0, 128, 192, 212, 160, 255
 CB, SLV11, 255, 192, 160, 93, 255, 87, 148, 87, 255
 CB, SLV12, 192, 192, 192, 255, 0, 192, 255, 160, 255
 CB, SLV13, 255, 160, 255, 160, 192, 255, 163, 255, 160
 CB, SLV14, 192, 128, 0, 0, 128, 57, 93, 255, 87
 CB, SLV15, 85, 192, 0, 255, 0, 192, 255, 255, 87
 CB, SLV16, 160, 192, 255, 255, 192, 160, 85, 0, 192
 CB, SLV17, 210, 210, 210, 0, 128, 255, 255, 192, 87
 CB, SLV18, 255, 0, 192, 192, 192, 0, 93, 255, 87
 CB, SLV19, 212, 160, 255, 0, 192, 128, 255, 128, 0
 CB, SLV20, 192, 192, 192, 160, 255, 255, 255, 192, 87
 CB, SLV21, 255, 255, 255, 87, 87, 255, 255, 255
 CB, SLV22, 78, 0, 255, 148, 87, 255, 148, 87, 255
 CB, SLV23, 163, 255, 160, 255, 0, 192, 0, 192, 128
 CB, SLV24, 192, 192, 0, 255, 255, 87, 192, 192, 192
 CB, SLV25, 210, 210, 210, 255, 255, 255, 78, 0, 255
 CB, SLV26, 146, 0, 255, 146, 0, 255, 128, 192, 0
 CB, SLV27, 192, 128, 0, 212, 160, 255, 255, 160, 255
 CB, SLV28, 146, 0, 255, 192, 0, 128, 146, 0, 255
 CB, SLV29, 210, 210, 210, 163, 255, 160, 255, 255, 255
 CB, SLV30, 210, 210, 210, 192, 192, 192, 146, 0, 255
 CB, SLV31, 192, 128, 0, 192, 192, 192, 255, 255, 87
 CB, SLV32, 255, 192, 87, 255, 87, 87, 0, 128, 255
 CB, SLV33, 163, 160, 255, 255, 0, 192, 212, 160, 255
 CB, SLV34, 78, 0, 255, 192, 0, 192, 192, 0, 128
 CB, SLV35, 85, 192, 0, 255, 192, 87, 210, 210, 210
 CB, SLV36, 0, 128, 57, 255, 192, 87, 212, 160, 255
 CB, SLV37, 192, 72, 0, 255, 192, 160, 210, 210, 210
 CB, SLV38, 128, 192, 0, 146, 0, 255, 255, 87, 128
 CB, SLV39, 192, 192, 0, 210, 210, 210, 210, 210, 210
 CB, SLV40, 146, 0, 255, 160, 192, 255, 210, 210, 210
 CB, SLV41, 255, 0, 192, 255, 255, 255, 160, 192, 255

MIDAS

PROJECT TITLE :

	Company		Client	
	Author		File Name	L2-CV01_REVISIONE_2

CB, SLV42, 148, 87, 255, 192, 72, 0, 148, 87, 255
 CB, SLV43, 255, 87, 128, 255, 0, 128, 255, 128, 0
 CB, SLV44, 0, 157, 192, 93, 255, 87, 255, 0, 192
 CB, SLV45, 148, 87, 255, 255, 0, 192, 0, 128, 255
 CB, SLV46, 192, 0, 192, 85, 192, 0, 255, 192, 87
 CB, SLV47, 160, 255, 255, 78, 0, 255, 192, 192, 0
 CB, SLV48, 0, 157, 192, 192, 0, 192, 0, 128, 255
 CB, SLV49, 0, 192, 128, 93, 255, 87, 146, 0, 255
 CB, SLV50, 93, 255, 87, 212, 160, 255, 163, 255, 160
 CB, SLV51, 163, 255, 160, 0, 192, 192, 192, 192, 192
 CB, SLV52, 148, 87, 255, 128, 192, 0, 192, 72, 0
 CB, SLV53, 78, 0, 255, 192, 192, 192, 78, 0, 255
 CB, SLV54, 160, 192, 255, 255, 192, 87, 160, 255, 255
 CB, SLV55, 0, 192, 128, 255, 255, 255, 255, 87, 128
 CB, SLV56, 192, 192, 0, 128, 192, 0, 0, 192, 128
 CB, RARA_1, 255, 192, 160, 255, 255, 87, 0, 192, 128
 CB, RARA_2, 163, 255, 160, 192, 72, 0, 85, 192, 0
 CB, RARA_3, 192, 0, 128, 255, 192, 160, 0, 157, 192
 CB, RARA_4, 0, 128, 255, 0, 128, 192, 255, 0, 128
 CB, RARA_5, 0, 128, 57, 255, 0, 128, 255, 0, 192
 CB, RARA_6, 163, 255, 160, 0, 192, 128, 192, 192, 192
 CB, RARA_7, 160, 255, 255, 148, 87, 255, 255, 0, 192
 CB, RARA_8, 192, 128, 0, 255, 255, 255, 255, 0, 192
 CB, RARA_9, 0, 157, 192, 160, 255, 255, 212, 160, 255
 CB, RARA_10, 85, 192, 0, 0, 192, 128, 255, 255, 255
 CB, RARA_11, 255, 128, 0, 93, 255, 87, 146, 0, 255
 CB, RARA_12, 0, 128, 255, 255, 0, 128, 192, 0, 128
 CB, RARA_13, 0, 128, 57, 210, 210, 210, 212, 160, 255
 CB, RARA_14, 210, 210, 210, 85, 192, 0, 255, 128, 0
 CB, RARA_15, 255, 0, 128, 255, 192, 87, 85, 0, 192
 CB, RARA_16, 0, 128, 128, 255, 0, 128, 255, 192, 160
 CB, FREQ_1, 163, 160, 255, 212, 160, 255, 192, 192, 0
 CB, FREQ_2, 212, 160, 255, 255, 128, 0, 255, 160, 255
 CB, FREQ_3, 0, 128, 192, 192, 192, 0, 93, 255, 87
 CB, FREQ_4, 0, 192, 128, 93, 255, 87, 0, 128, 128
 CB, FREQ_5, 255, 192, 87, 192, 0, 128, 255, 255, 255
 CB, FREQ_6, 255, 0, 128, 163, 160, 255, 160, 255, 255
 CB, FREQ_7, 255, 128, 0, 85, 192, 0, 160, 255, 255
 CB, FREQ_8, 163, 255, 160, 255, 128, 0, 146, 0, 255
 CB, FREQ_9, 192, 192, 0, 192, 192, 192, 255, 87, 87
 CB, FREQ_10, 0, 157, 192, 0, 128, 192, 93, 255, 87
 CB, FREQ_11, 146, 0, 255, 255, 0, 192, 192, 72, 0
 CB, FREQ_12, 0, 192, 128, 255, 0, 192, 255, 87, 87
 CB, FREQ_13, 146, 0, 255, 255, 0, 192, 255, 160, 255
 CB, FREQ_14, 148, 87, 255, 192, 0, 128, 0, 128, 57
 CB, FREQ_15, 85, 0, 192, 0, 128, 128, 160, 192, 255
 CB, FREQ_16, 192, 0, 192, 255, 192, 87, 192, 192, 0
 CB, QP_1, 210, 210, 210, 0, 192, 192, 255, 192, 87
 CB, QP_2, 210, 210, 210, 0, 128, 255, 163, 160, 255
 CB, QP_3, 192, 192, 192, 255, 192, 87, 160, 192, 255
 CB, QP_4, 160, 192, 255, 255, 160, 255, 163, 255, 160
 CB, SLD1, 0, 128, 192, 78, 0, 255, 192, 128, 0
 CB, SLD2, 148, 87, 255, 163, 255, 160, 255, 87, 128
 CB, SLD3, 0, 157, 192, 160, 255, 255, 128, 192, 0
 CB, SLD4, 192, 0, 192, 255, 192, 160, 85, 192, 0
 CBS, SLU1, 255, 87, 128, 255, 0, 192, 192, 192, 0
 CBS, SLU2, 192, 192, 192, 0, 157, 192, 0, 192, 128
 CBS, SLU3, 0, 192, 192, 160, 255, 255, 148, 87, 255
 CBS, SLU4, 255, 87, 87, 192, 72, 0, 255, 87, 87
 CBS, SLU5, 255, 87, 87, 0, 128, 57, 255, 128, 0
 CBS, SLU6, 0, 128, 255, 0, 128, 128, 78, 0, 255
 CBS, SLU7, 210, 210, 210, 255, 255, 87, 78, 0, 255

MIDAS

PROJECT TITLE :

	Company		Client	File Name
	Author			

CBS, SLU8, 0, 128, 255, 0, 157, 192, 192, 128, 0
CBS, SLU9, 192, 192, 192, 160, 255, 255, 85, 0, 192
CBS, SLU10, 163, 255, 160, 0, 128, 57, 210, 210, 210
CBS, SLU11, 163, 160, 255, 0, 157, 192, 163, 160, 255
CBS, SLU12, 255, 87, 128, 255, 0, 192, 210, 210, 210
CBS, SLU13, 255, 255, 87, 0, 192, 128, 0, 128, 128
CBS, SLU14, 0, 128, 255, 255, 87, 87, 192, 72, 0
CBS, SLU15, 160, 255, 255, 255, 192, 160, 0, 192, 128
CBS, SLU16, 163, 255, 160, 212, 160, 255, 163, 255, 160
CBS, SLU17, 255, 192, 87, 255, 128, 0, 163, 255, 160
CBS, SLU18, 210, 210, 210, 0, 128, 128, 0, 128, 57
CBS, SLU19, 255, 87, 87, 210, 210, 210, 255, 255, 87
CBS, SLU20, 192, 192, 0, 85, 0, 192, 0, 128, 192
CBS, SLU21, 0, 128, 57, 255, 87, 87, 255, 160, 255
CBS, SLU22, 0, 192, 192, 192, 72, 0, 255, 0, 192
CBS, SLU23, 210, 210, 210, 255, 87, 87, 128, 192, 0
CBS, SLU24, 146, 0, 255, 0, 192, 128, 210, 210, 210
CBS, SLV1, 192, 72, 0, 192, 0, 128, 255, 192, 160
CBS, SLV2, 192, 72, 0, 0, 128, 128, 210, 210, 210
CBS, SLV3, 212, 160, 255, 255, 128, 0, 255, 0, 192
CBS, SLV4, 192, 128, 0, 85, 0, 192, 255, 192, 87
CBS, SLV5, 163, 255, 160, 255, 192, 160, 0, 157, 192
CBS, SLV6, 255, 192, 160, 255, 192, 87, 255, 160, 255
CBS, SLV7, 255, 87, 87, 163, 160, 255, 192, 0, 192
CBS, SLV8, 146, 0, 255, 0, 157, 192, 0, 192, 128
CBS, SLV9, 192, 0, 128, 0, 128, 57, 0, 128, 57
CBS, SLV10, 192, 0, 192, 0, 157, 192, 163, 255, 160
CBS, SLV11, 0, 157, 192, 255, 87, 128, 212, 160, 255
CBS, SLV12, 163, 255, 160, 0, 128, 57, 0, 192, 128
CBS, SLV13, 192, 0, 192, 0, 157, 192, 0, 192, 192
CBS, SLV14, 192, 192, 0, 160, 255, 255, 163, 160, 255
CBS, SLV15, 0, 128, 128, 192, 72, 0, 0, 128, 128
CBS, SLV16, 0, 192, 128, 93, 255, 87, 255, 0, 192
CBS, SLV17, 192, 192, 192, 93, 255, 87, 255, 0, 192
CBS, SLV18, 0, 192, 128, 0, 128, 255, 93, 255, 87
CBS, SLV19, 0, 128, 192, 128, 192, 0, 163, 160, 255
CBS, SLV20, 146, 0, 255, 255, 87, 87, 85, 0, 192
CBS, SLV21, 192, 128, 0, 255, 0, 128, 255, 0, 192
CBS, SLV22, 160, 255, 255, 192, 0, 128, 255, 160, 255
CBS, SLV23, 160, 255, 255, 192, 192, 0, 255, 0, 192
CBS, SLV24, 192, 0, 192, 192, 0, 128, 255, 128, 0
CBS, SLV25, 78, 0, 255, 192, 192, 0, 192, 0, 128
CBS, SLV26, 0, 128, 57, 210, 210, 210, 192, 128, 0
CBS, SLV27, 128, 192, 0, 163, 255, 160, 93, 255, 87
CBS, SLV28, 163, 160, 255, 78, 0, 255, 255, 87, 128
CBS, SLV29, 160, 192, 255, 0, 128, 192, 192, 72, 0
CBS, SLV30, 192, 72, 0, 163, 160, 255, 192, 0, 128
CBS, SLV31, 255, 0, 192, 85, 192, 0, 0, 192, 128
CBS, SLV32, 0, 128, 128, 255, 87, 128, 148, 87, 255
CBS, SLV33, 85, 192, 0, 148, 87, 255, 192, 192, 0
CBS, SLV34, 255, 0, 192, 255, 128, 0, 255, 128, 0
CBS, SLV35, 192, 128, 0, 0, 128, 128, 255, 0, 128
CBS, SLV36, 192, 72, 0, 93, 255, 87, 85, 192, 0
CBS, SLV37, 255, 192, 87, 255, 0, 128, 148, 87, 255
CBS, SLV38, 0, 192, 192, 85, 0, 192, 85, 192, 0
CBS, SLV39, 128, 192, 0, 192, 192, 0, 255, 128, 0
CBS, SLV40, 0, 128, 57, 160, 192, 255, 255, 0, 128
CBS, SLV41, 255, 255, 87, 85, 192, 0, 0, 157, 192
CBS, SLV42, 210, 210, 210, 0, 192, 128, 212, 160, 255
CBS, SLV43, 0, 192, 192, 255, 0, 128, 0, 192, 128
CBS, SLV44, 212, 160, 255, 78, 0, 255, 160, 255, 255
CBS, SLV45, 210, 210, 210, 255, 0, 192, 255, 0, 128

MIDAS

PROJECT TITLE :

	Company		Client	
	Author		File Name	L2-CV01_REVISIONE_2

CBS, SLV46, 255, 0, 128, 93, 255, 87, 255, 160, 255
 CBS, SLV47, 146, 0, 255, 255, 192, 87, 128, 192, 0
 CBS, SLV48, 85, 0, 192, 212, 160, 255, 85, 192, 0
 CBS, SLV49, 163, 160, 255, 192, 0, 192, 85, 0, 192
 CBS, SLV50, 212, 160, 255, 0, 157, 192, 163, 160, 255
 CBS, SLV51, 160, 192, 255, 163, 160, 255, 128, 192, 0
 CBS, SLV52, 163, 160, 255, 192, 0, 192, 163, 255, 160
 CBS, SLV53, 146, 0, 255, 255, 255, 255, 128, 192, 0
 CBS, SLV54, 160, 192, 255, 163, 255, 160, 192, 0, 192
 CBS, SLV55, 255, 255, 255, 160, 255, 255, 210, 210, 210
 CBS, SLV56, 192, 72, 0, 255, 192, 160, 255, 128, 0
 CBS, RARA_1, 0, 128, 57, 192, 0, 192, 192, 0, 128
 CBS, RARA_2, 0, 128, 57, 85, 0, 192, 146, 0, 255
 CBS, RARA_3, 255, 255, 87, 148, 87, 255, 148, 87, 255
 CBS, RARA_4, 0, 157, 192, 255, 255, 87, 255, 87, 128
 CBS, RARA_5, 210, 210, 210, 255, 0, 128, 0, 157, 192
 CBS, RARA_6, 0, 128, 255, 192, 0, 192, 0, 128, 128
 CBS, RARA_7, 85, 192, 0, 160, 255, 255, 128, 192, 0
 CBS, RARA_8, 93, 255, 87, 160, 192, 255, 255, 87, 128
 CBS, RARA_9, 0, 128, 255, 210, 210, 210, 85, 0, 192
 CBS, RARA_10, 255, 0, 192, 163, 160, 255, 0, 128, 192
 CBS, RARA_11, 192, 72, 0, 192, 128, 0, 255, 87, 128
 CBS, RARA_12, 255, 0, 192, 85, 0, 192, 192, 192, 192
 CBS, RARA_13, 255, 128, 0, 93, 255, 87, 0, 128, 192
 CBS, RARA_14, 146, 0, 255, 255, 255, 87, 128, 192, 0
 CBS, RARA_15, 0, 128, 255, 0, 128, 128, 192, 0, 128
 CBS, RARA_16, 192, 192, 192, 192, 0, 192, 0, 192, 192
 CBS, FREQ_1, 163, 255, 160, 255, 0, 192, 0, 128, 255
 CBS, FREQ_2, 0, 128, 192, 0, 128, 57, 0, 128, 192
 CBS, FREQ_3, 85, 0, 192, 85, 0, 192, 192, 72, 0
 CBS, FREQ_4, 255, 0, 128, 192, 192, 192, 212, 160, 255
 CBS, FREQ_5, 255, 87, 87, 255, 87, 128, 0, 157, 192
 CBS, FREQ_6, 255, 192, 87, 148, 87, 255, 0, 192, 128
 CBS, FREQ_7, 192, 0, 192, 160, 255, 255, 255, 255, 87
 CBS, FREQ_8, 255, 87, 87, 210, 210, 210, 255, 160, 255
 CBS, FREQ_9, 0, 128, 192, 255, 128, 0, 255, 87, 87
 CBS, FREQ_10, 192, 192, 192, 163, 255, 160, 192, 192, 0
 CBS, FREQ_11, 255, 0, 192, 192, 0, 192, 192, 128, 0
 CBS, FREQ_12, 163, 255, 160, 255, 87, 128, 192, 0, 192
 CBS, FREQ_13, 146, 0, 255, 192, 192, 0, 255, 87, 87
 CBS, FREQ_14, 0, 128, 128, 212, 160, 255, 255, 87, 87
 CBS, FREQ_15, 163, 255, 160, 255, 0, 192, 192, 192, 0
 CBS, FREQ_16, 146, 0, 255, 0, 157, 192, 128, 192, 0
 CBS, QP_1, 210, 210, 210, 192, 72, 0, 163, 255, 160
 CBS, QP_2, 128, 192, 0, 0, 192, 192, 192, 72, 0
 CBS, QP_3, 255, 192, 160, 160, 192, 255, 255, 87, 128
 CBS, QP_4, 192, 0, 192, 163, 255, 160, 160, 192, 255
 CBS, SLD1, 192, 0, 128, 255, 0, 192, 255, 87, 87
 CBS, SLD2, 255, 128, 0, 146, 0, 255, 192, 192, 0
 CBS, SLD3, 93, 255, 87, 0, 192, 192, 163, 160, 255
 CBS, SLD4, 128, 192, 0, 255, 128, 0, 0, 128, 57
 CBSC, SLU1, 85, 192, 0, 255, 0, 192, 255, 128, 0
 CBSC, SLU2, 0, 128, 255, 210, 210, 210, 0, 157, 192
 CBSC, SLU3, 192, 128, 0, 255, 87, 87, 85, 192, 0
 CBSC, SLU4, 255, 192, 160, 192, 0, 192, 255, 87, 87
 CBSC, SLU5, 255, 87, 87, 0, 157, 192, 0, 192, 192
 CBSC, SLU6, 192, 72, 0, 146, 0, 255, 85, 0, 192
 CBSC, SLU7, 160, 192, 255, 146, 0, 255, 0, 157, 192
 CBSC, SLU8, 163, 255, 160, 0, 192, 192, 255, 255, 255
 CBSC, SLU9, 93, 255, 87, 0, 192, 128, 255, 192, 160
 CBSC, SLU10, 128, 192, 0, 192, 72, 0, 0, 128, 128
 CBSC, SLU11, 0, 128, 57, 212, 160, 255, 85, 192, 0

MIDAS

PROJECT TITLE :

	Company		Client	L2-CV01_REVISIONE_2
	Author		File Name	

CBSC, SLU12, 0, 128, 255, 163, 160, 255, 192, 0, 128
 CBSC, SLU13, 255, 87, 128, 210, 210, 210, 192, 128, 0
 CBSC, SLU14, 192, 192, 192, 255, 255, 87, 212, 160, 255
 CBSC, SLU15, 93, 255, 87, 210, 210, 210, 93, 255, 87
 CBSC, SLU16, 192, 72, 0, 255, 87, 128, 0, 128, 192
 CBSC, SLU17, 148, 87, 255, 212, 160, 255, 128, 192, 0
 CBSC, SLU18, 192, 0, 128, 146, 0, 255, 128, 192, 0
 CBSC, SLU19, 163, 160, 255, 192, 72, 0, 160, 255, 255
 CBSC, SLU20, 255, 192, 160, 0, 128, 57, 93, 255, 87
 CBSC, SLU21, 163, 160, 255, 192, 72, 0, 192, 0, 192
 CBSC, SLU22, 163, 160, 255, 210, 210, 210, 192, 0, 192
 CBSC, SLU23, 146, 0, 255, 146, 0, 255, 255, 87, 87
 CBSC, SLU24, 255, 192, 87, 160, 192, 255, 128, 192, 0
 CBSC, SLV1, 0, 192, 128, 163, 160, 255, 210, 210, 210
 CBSC, SLV2, 163, 160, 255, 255, 0, 128, 192, 192, 0
 CBSC, SLV3, 255, 0, 192, 255, 0, 128, 192, 72, 0
 CBSC, SLV4, 255, 255, 87, 128, 192, 0, 212, 160, 255
 CBSC, SLV5, 160, 192, 255, 0, 128, 128, 210, 210, 210
 CBSC, SLV6, 0, 128, 128, 0, 128, 192, 160, 192, 255
 CBSC, SLV7, 192, 0, 192, 128, 192, 0, 0, 157, 192
 CBSC, SLV8, 93, 255, 87, 192, 192, 192, 0, 128, 57
 CBSC, SLV9, 255, 87, 87, 0, 192, 128, 255, 192, 160
 CBSC, SLV10, 192, 0, 192, 255, 255, 255, 160, 192, 255
 CBSC, SLV11, 212, 160, 255, 163, 255, 160, 0, 157, 192
 CBSC, SLV12, 0, 192, 128, 212, 160, 255, 255, 0, 128
 CBSC, SLV13, 192, 0, 128, 160, 192, 255, 0, 128, 192
 CBSC, SLV14, 255, 87, 87, 128, 192, 0, 0, 128, 255
 CBSC, SLV15, 0, 128, 255, 255, 160, 255, 255, 192, 160
 CBSC, SLV16, 192, 192, 192, 0, 192, 192, 0, 192, 128
 CBSC, SLV17, 212, 160, 255, 0, 128, 57, 163, 160, 255
 CBSC, SLV18, 93, 255, 87, 0, 192, 128, 0, 157, 192
 CBSC, SLV19, 93, 255, 87, 128, 192, 0, 146, 0, 255
 CBSC, SLV20, 85, 192, 0, 128, 192, 0, 78, 0, 255
 CBSC, SLV21, 255, 87, 128, 0, 157, 192, 192, 128, 0
 CBSC, SLV22, 192, 128, 0, 0, 128, 128, 160, 255, 255
 CBSC, SLV23, 255, 255, 255, 192, 192, 0, 192, 0, 128
 CBSC, SLV24, 0, 128, 255, 255, 0, 128, 192, 0, 128
 CBSC, SLV25, 255, 192, 160, 212, 160, 255, 0, 192, 192
 CBSC, SLV26, 85, 0, 192, 192, 0, 192, 85, 192, 0
 CBSC, SLV27, 255, 0, 192, 85, 192, 0, 255, 192, 87
 CBSC, SLV28, 0, 128, 255, 85, 192, 0, 0, 192, 192
 CBSC, SLV29, 0, 192, 192, 210, 210, 210, 255, 192, 87
 CBSC, SLV30, 0, 128, 128, 192, 0, 192, 192, 128, 0
 CBSC, SLV31, 163, 160, 255, 255, 160, 255, 0, 128, 255
 CBSC, SLV32, 255, 192, 87, 255, 160, 255, 255, 160, 255
 CBSC, SLV33, 255, 0, 192, 0, 192, 192, 255, 160, 255
 CBSC, SLV34, 0, 128, 57, 128, 192, 0, 192, 192, 0
 CBSC, SLV35, 146, 0, 255, 0, 128, 255, 255, 0, 128
 CBSC, SLV36, 0, 128, 255, 255, 128, 0, 160, 192, 255
 CBSC, SLV37, 160, 255, 255, 0, 192, 192, 255, 192, 160
 CBSC, SLV38, 0, 128, 255, 93, 255, 87, 93, 255, 87
 CBSC, SLV39, 255, 255, 87, 255, 87, 87, 255, 0, 192
 CBSC, SLV40, 0, 128, 128, 255, 87, 87, 163, 160, 255
 CBSC, SLV41, 255, 0, 128, 255, 160, 255, 85, 192, 0
 CBSC, SLV42, 255, 87, 87, 255, 160, 255, 255, 255, 255
 CBSC, SLV43, 163, 160, 255, 255, 87, 128, 255, 128, 0
 CBSC, SLV44, 163, 255, 160, 0, 192, 192, 85, 192, 0
 CBSC, SLV45, 0, 128, 128, 255, 192, 160, 0, 192, 192
 CBSC, SLV46, 255, 160, 255, 0, 157, 192, 85, 192, 0
 CBSC, SLV47, 255, 192, 87, 0, 192, 128, 148, 87, 255
 CBSC, SLV48, 255, 87, 128, 192, 72, 0, 163, 255, 160
 CBSC, SLV49, 163, 255, 160, 163, 160, 255, 255, 192, 160

MIDAS

PROJECT TITLE :

	Company		Client	L2-CV01_REVISIONE_2
	Author		File Name	

CBSC, SLV50, 0, 192, 128, 212, 160, 255, 0, 128, 57
 CBSC, SLV51, 255, 192, 87, 93, 255, 87, 0, 192, 128
 CBSC, SLV52, 146, 0, 255, 0, 192, 128, 146, 0, 255
 CBSC, SLV53, 160, 192, 255, 0, 128, 255, 0, 192, 128
 CBSC, SLV54, 0, 128, 57, 0, 128, 192, 255, 0, 128
 CBSC, SLV55, 160, 192, 255, 163, 160, 255, 255, 0, 128
 CBSC, SLV56, 148, 87, 255, 192, 192, 0, 0, 192, 192
 CBSC, RARA_1, 146, 0, 255, 0, 157, 192, 163, 160, 255
 CBSC, RARA_2, 255, 0, 128, 85, 0, 192, 192, 72, 0
 CBSC, RARA_3, 255, 0, 128, 210, 210, 255, 192, 160
 CBSC, RARA_4, 255, 160, 255, 78, 0, 255, 85, 192, 0
 CBSC, RARA_5, 85, 192, 0, 128, 192, 0, 192, 72, 0
 CBSC, RARA_6, 192, 0, 192, 93, 255, 87, 0, 192, 128
 CBSC, RARA_7, 163, 255, 160, 146, 0, 255, 192, 192, 0
 CBSC, RARA_8, 255, 192, 87, 160, 255, 255, 78, 0, 255
 CBSC, RARA_9, 255, 160, 255, 192, 0, 128, 255, 128, 0
 CBSC, RARA_10, 192, 192, 192, 0, 128, 255, 255, 160, 255
 CBSC, RARA_11, 160, 192, 255, 78, 0, 255, 160, 192, 255
 CBSC, RARA_12, 163, 160, 255, 192, 72, 0, 148, 87, 255
 CBSC, RARA_13, 255, 255, 255, 0, 157, 192, 255, 0, 192
 CBSC, RARA_14, 0, 128, 192, 0, 128, 57, 255, 192, 87
 CBSC, RARA_15, 160, 255, 255, 0, 128, 128, 255, 192, 160
 CBSC, RARA_16, 210, 210, 210, 0, 192, 192, 192, 0, 192
 CBSC, FREQ_1, 192, 128, 0, 85, 0, 192, 255, 0, 192
 CBSC, FREQ_2, 212, 160, 255, 146, 0, 255, 255, 192, 160
 CBSC, FREQ_3, 78, 0, 255, 192, 192, 0, 0, 192, 128
 CBSC, FREQ_4, 85, 192, 0, 212, 160, 255, 192, 72, 0
 CBSC, FREQ_5, 93, 255, 87, 192, 0, 192, 255, 192, 87
 CBSC, FREQ_6, 255, 192, 87, 146, 0, 255, 255, 87, 87
 CBSC, FREQ_7, 85, 192, 0, 255, 255, 255, 210, 210, 210
 CBSC, FREQ_8, 192, 0, 192, 192, 128, 0, 85, 192, 0
 CBSC, FREQ_9, 192, 0, 128, 255, 160, 255, 0, 128, 255
 CBSC, FREQ_10, 0, 128, 255, 146, 0, 255, 78, 0, 255
 CBSC, FREQ_11, 160, 255, 255, 255, 0, 128, 163, 160, 255
 CBSC, FREQ_12, 255, 192, 160, 192, 0, 128, 210, 210, 210
 CBSC, FREQ_13, 210, 210, 210, 93, 255, 87, 163, 255, 160
 CBSC, FREQ_14, 0, 128, 57, 255, 160, 255, 192, 192, 192
 CBSC, FREQ_15, 160, 192, 255, 255, 192, 87, 255, 160, 255
 CBSC, FREQ_16, 93, 255, 87, 255, 255, 255, 255, 255, 255
 CBSC, QP_1, 160, 192, 255, 192, 192, 0, 0, 128, 255
 CBSC, QP_2, 192, 192, 0, 146, 0, 255, 85, 0, 192
 CBSC, QP_3, 93, 255, 87, 255, 255, 255, 0, 128
 CBSC, QP_4, 192, 72, 0, 0, 128, 57, 192, 0, 192
 CBSC, SLD1, 0, 128, 192, 192, 72, 0, 78, 0, 255
 CBSC, SLD2, 163, 160, 255, 0, 128, 192, 192, 0, 192
 CBSC, SLD3, 148, 87, 255, 0, 192, 128, 255, 255, 255
 CBSC, SLD4, 255, 160, 255, 255, 87, 128, 85, 0, 192
 CB, ENVESLU-SLV, 255, 192, 87, 0, 128, 255, 210, 210, 210
 CB, ENVE-RARA, 255, 0, 128, 212, 160, 255, 0, 128, 57
 CB, ENVE-FREQ, 0, 192, 192, 255, 160, 255, 255, 87, 128
 CB, ENVE-QP, 0, 192, 128, 93, 255, 87, 255, 87, 87
 CB, ENVE-SLD, 128, 192, 0, 0, 128, 255, 210, 210, 210
 CBS, ENVESLU-SLV, 255, 87, 87, 93, 255, 87, 192, 0, 192
 CBS, ENVE-RARA, 210, 210, 210, 255, 255, 255, 192, 160
 CBS, ENVE-FREQ, 255, 160, 255, 192, 192, 192, 255, 160, 255
 CBS, ENVE-QP, 85, 192, 0, 146, 0, 255, 255, 192, 160
 CBS, ENVE-SLD, 255, 255, 255, 146, 0, 255, 210, 210, 210
 CBSC, ENVESLU-SLV, 160, 192, 255, 255, 192, 87, 146, 0, 255
 CBSC, ENVE-RARA, 212, 160, 255, 255, 192, 87, 85, 0, 192
 CBSC, ENVE-FREQ, 255, 87, 87, 255, 160, 255, 0, 128, 128
 CBSC, ENVE-QP, 0, 192, 128, 255, 87, 128, 210, 210, 210
 CBSC, ENVE-SLD, 160, 255, 255, 192, 72, 0, 163, 160, 255

MIDAS

PROJECT TITLE :

	Company		Client	
	Author		File Name	L2-CV01_REVISIONE_2

MIDAS

PROJECT TITLE :

	Company		Client	File Name
	Author			

355, RIGD, 16
356, RIGD, 19
357, RIGD, 22
358, RIGD, 25
359, RIGD, 28
360, RIGD, 32
361, RIGD, 31
362, RIGD, 1
363, RIGD, 2

*ENDDATA